



دانشگاه شهید چمران اهواز

دفتر پژوهش شرکت گاز استان خوزستان

گزارش سالیانه فعالیت‌های انجام شده در سال ۱۳۸۷

KHGCRO YR 1387

۲۹ فروردین ماه ۱۳۸۸

گزارش سالانه فعالیت‌های ۱۳۸۷	عنوان
KHCRO YR 1387	کد گزارش
۱۳۸۸ / ۱ / ۲۹	تاریخ
<p>دکتر مرتضی بهبهانی نژاد، عضو هیئت علمی گروه مهندسی مکانیک دانشگاه شهید چمران مهندسی مازیار چنگیزیان، دانشجوی دکترا مهندسی مکانیک دانشگاه شهید چمران مهندس حمید دارابی، کارشناسی ارشد فرآوری و انتقال گاز دانشگاه صنعت نفت اهواز خانم فروزنده عمید، کارشناس شیمی کاربردی، دانشگاه آزاد اسلامی واحد کرج</p>	<p>تدوین کنندگان</p>
<p>در این گزارش شرح فعالیت‌های سال ۱۳۸۷ دفتر پژوهش شرکت گاز استان خوزستان ارائه شده است. در ابتدا فعالیت‌های مرتبط با تکمیل نرم‌افزار انتخاب کنتورها تشریح شده است. پس از آن به فعالیت‌های مربوط به ایستگاه‌های تقلیل‌فشار و اندازه‌گیری با تاکید بر ایستگاه‌های کایپری و زیرزمینی پرداخته شده است. در ادامه فعالیت‌هایی که در ارتباط با مدل‌سازی جریان غیردائم گاز درون خطوط لوله و شبکه انجام شده است، مورد بحث قرار گرفته است. خلاصه مقالات تدوین شده که به همایش‌های معتبر علمی ارسال و ارائه شده است، در قالب فصلی جداگانه در ادامه مطالب آمده است. سپس فعالیت‌های مرتبط با ایجاد غرفه و شرکت در نمایشگاه هفته پژوهش مورد بحث قرار گرفته و در نهایت سایر فعالیت‌هایی که بصورت موردنی ارجاع شده و تعریف شده‌اند ارائه شده است.</p>	<p>چکیده</p>

فهرست مطالب

۱	۱	۱ مقدمه.
۳	۲	۲ طراحی نرم افزار انتخاب کنتور
۳	۱.۲	۱.۲ گنجاندن بخش دبی سنج دیافراگمی در نرم افزار
۸	۲.۲	۲.۲ دبی سنج توربینی
۱۰	۳.۲	۳.۲ شرکت های مختلف ارائه دهنده دبی سنج های توربینی
۱۱	۱.۳.۲	۱.۳.۲ شرکت توس و متک
۱۲	۲.۳.۲	۲.۳.۲ شرکت DMS
۱۶	۳.۳.۲	۳.۳.۲ شرکت Emerson
۱۸	۴.۳.۲	۴.۳.۲ شرکت IMAC
۲۱	۵.۳.۲	۵.۳.۲ شرکت FMC
۲۵	۶.۳.۲	۶.۳.۲ شرکت Elster
۳۲	۷.۳.۲	۷.۳.۲ شرکت BELL
۳۹	۸.۳.۲	۸.۳.۲ شرکت Flow Technology
۴۱	۹.۳.۲	۹.۳.۲ شرکت Tancy Investment Group
۴۵	۱۰.۳.۲	۱۰.۳.۲ شرکت MUELLER
۴۶	۱۱.۳.۲	۱۱.۳.۲ شرکت HOFFER
۵۳	۱۲.۳.۲	۱۲.۳.۲ شرکت Equimeter
۵۷	۱۳.۳.۲	۱۳.۳.۲ شرکت RMG
۶۰	۱۴.۳.۲	۱۴.۳.۲ شرکت Instromet
۶۲	۱۵.۳.۲	۱۵.۳.۲ شرکت ACTARIS
۶۴	۱۶.۳.۲	۱۶.۳.۲ شرکت i-Meter
۶۷	۴.۲	۴.۲ گنجاندن بخش دبی سنج توربینی در نرم افزار
۷۲	۲	۲ بخش تصحیحات اعمال شده به نرم افزار
۷۷	۶.۲	۶.۲ آلیات نرم افزار انتخاب کنتور
۷۹	۷.۲	۷.۲ نصب نرم افزار انتخاب دبی سنج
۷۹	۱.۷.۲	۱.۷.۲ راهنمای نصب

۸۰ ۸۲ منابع

۳۱. استانداردهای تقلیل فشار و اندازه‌گیری

۳۱.۱. استانداردهای کلی ایستگاه‌های تقلیل فشار و اندازه‌گیری ۸۴

۳۱.۱.۱. معیار عملکرد در استانداردهای ایستگاه تقلیل فشار ۸۴

۳۱.۱.۲. آماده ساختن سایت برای نصب ایستگاه‌های استاندارد ۸۵

۳۱.۱.۳. مونتاژ و نصب استاندارد ایستگاه‌ها ۸۵

۳۱.۲. تشکیل کمیسیون و تست یک ایستگاه تقلیل فشار گاز و اندازه‌گیری ۸۶

۳۱.۲.۱. تجدید بنای سایت ۸۶

۳۱.۲.۲. تدوین یک گزارش کامل و مستند سازی ۸۶

۳۱.۲.۳. موقعیت ایستگاه‌ها ۸۶

۳۱.۲.۴. طرح اولیه ایستگاه ۸۷

۳۱.۲.۵. دیگر فرضیات ۸۷

۳۱.۲.۶. استانداردهای ایمنی ایستگاه‌ها ۸۸

۳۱.۲.۷. محیط‌های پر خطر ۸۸

۳۱.۲.۸. محافظت پرسنل ۸۸

۳۱.۲.۹. محافظت در برابر آتش ۸۸

۳۱.۲.۱۰. خطر رعد و برق و اتصال زمین در ایستگاه ۸۹

۳۱.۲.۱۱. روشنایی ۹۰

۳۱.۲.۱۲. خروجی‌ها و حصارکشی‌ها ۹۰

۳۱.۲.۱۳. هواکش و تخلیه ۹۱

۳۱.۲.۱۴. سیستم قطع فعالیت ۹۱

۳۱.۲.۱۵. مارک‌زنی ۹۲

۳۱.۲.۱۶. استانداردهای سازه‌های ایستگاه‌ها ۹۲

۳۱.۲.۱۷. ساختمان‌ها ۹۲

۳۱.۲.۱۸. سازه‌های زیرزمینی ۹۳

۳۱.۲.۱۹. ارتعاشات لوله‌ای ۹۴

۳۱.۲.۲۰. استانداردهای محافظت در برابر خوردگی ایستگاه‌ها ۹۴

۳۱.۲.۲۱. استانداردهای تجهیزات الکتریکی ایستگاه‌ها ۹۵

۹۵	۱۶.۳ استانداردهای فاضلاب ایستگاهها
۹۵	۱.۶.۳ سیالات فرآیندی
۹۵	۲.۶.۳ روان‌آبهای بارانی
۹۵	۳.۶.۳ آبهای روغنی
۹۶	۴.۶.۳ هرزآب
۹۶	۵.۶.۳ تجهیزات زیرزمینی
۹۶	۷.۳ استانداردهای تجهیزات داخلی ایستگاه‌های تقلیل فشار
۹۹	۱.۷.۳ استانداردهای فیلترسازی گاز
۱۰۶	۲.۷.۳ استانداردهای واحد گرمکن
۱۱۵	۳.۷.۳ استانداردهای طراحی واحد بوزنی به گاز
۱۳۴	۴.۷.۳ استانداردهای دبی‌سنچ‌ها
۱۳۷	۵.۷.۳ استانداردهای لوله‌کشی ایستگاهها
۱۴۱	۶.۷.۳ استانداردهای رگولاتورها
۱۴۶	۷.۷.۳ ظرف‌های تحت فشار
۱۴۶	۸.۷.۳ شیرهای ایستگاه
۱۴۶	۸.۳ ایستگاه‌های کابیتی
۱۴۷	۱.۸.۳ مقایسه ایستگاه‌های کابیتی و مسطح از لحاظ تجهیزات و ابعاد
۱۵۱	۲.۸.۳ مزایا، محدودیت‌ها و ملاحظات لازم جهت استفاده از ایستگاه‌های کابیتی
۱۵۳	۳.۸.۳ تحلیل فرآیندی جریان در یک TBS کابیتی و مسطح
۱۶۳	۱۹.۳ ایستگاه‌های زیرزمینی
۱۶۴	۱.۹.۳ مدل BD-RMG 470 - Krysalis
۱۶۵	۲.۹.۳ مدل RMG 470 "Krysalis" PN 16
۱۶۶	۳.۹.۳ مدل BD - RMG „Krysalis 19
۱۶۸	۴.۹.۳ مدل BD - RMG „mini-Krysalis 19
۱۶۸	۵.۹.۳ مدل RMG -UKA 280 „Vector
۱۶۹	۶.۹.۳ مدل RMG 402 „Vector
۱۷۰	۷.۹.۳ مدل RMG-UKA 680 „Vector
۱۷۱	۸.۳.۹ مدل RMG - UKA 16 „Krysalis
۱۷۴	۱۰.۳ طراحی ایستگاه‌های اندازه‌گیری به روش آلتراسونیک

۱۷۵	۳.۱۰.۳ مشخصه‌های USM
۱۷۶	۳.۱۰.۳ ملاحظات کلی طراحی USM
۱۷۷	۳.۱۰.۳ ملاحظات طراحی سایت استفاده از USM
۱۷۸	۳.۱۰.۳ ملاحظات مربوط به طراحی و مونتاژ لوله USM
۱۸۰	۳.۱۰.۳ ملاحظات بهم متصل کردن لوله‌ها
۱۸۱	۳.۱۰.۳ ملاحظات داده‌ای در فرستنده USM
۱۸۲	۳.۱۰.۳ تشکیلات فرستنده USM
۱۸۲	۳.۱۰.۳ ملاحظات داده‌ای کامپیوتری جریان
۱۸۳	۳.۱۰.۳ تشکیلات کامپیوتر جریان
۱۸۴	۳.۱۰.۳ اندازه و ابعاد USM
۱۸۵	۳.۱۰.۳ مواد ساخت USM
۱۸۶	۳.۱۰.۳ شکل دهنده پروفیل جریان
۱۸۷	۳.۱۰.۳ ملاحظات کنترل لوله‌ها و شیرهای رگولاتوری
۱۸۸	۳.۱۰.۳ هدرها
۱۹۰	۳.۱۰.۳ لوله‌کشی لوله اندازه‌گیر
۱۹۳	۳.۱۰.۳ منابع
۱۹۴	۴ بررسی روش‌های حل جریان غیردائم گاز
۱۹۶	۴.۱ روشهای حل دقیق برای تحلیل جریان غیردائم گاز
۲۰۳	۴.۱.۴ روش لکس - فردريش
۲۰۴	۴.۱.۴ روش لکس - وندروف
۲۰۵	۴.۱.۴ روش مکكورمک
۲۰۶	۴.۱.۴ روش رازانوف (برستین - میرین)
۲۰۷	۴.۱.۴ الگوریتم وارمینگ - کاتلر - لومکس (WKL)
۲۰۸	۴.۱.۴ روشهای مرتبه سوم تنظیم شده
۲۱۰	۴.۱.۴ روش ذوزنقه‌ای (TCIM)
۲۱۱	۴.۱.۴ روش گادانوف
۲۱۷	۴.۱.۴ روش رو
۲۲۳	۴.۱.۴ روش تقریب اوشر

۱۱.۴ الگوریتم انکوئیست- اوشر ۲۲۴
۱۲.۱ الگوریتم‌های پادبادسوی مرتبه دوم به بالا ۲۲۶
۱۳.۱ الگوریتم پادبادسوی مرتبه دوم فروم ۲۳۵
۱۴.۱ روش انتقال تصحیحی شار (FCT) ۲۳۷
۱۵.۱ روش‌های با دقت تحلیل بالا ۲۳۹
۱۶.۱ روش کاملاً ضمنی فرمولاسیون دلتا در تحلیل رفتار غیردائم ۲۶۴
۱۷.۱ رائمه خلاصه نتایجی از روش‌های بحث شده ۲۶۸
۱۸.۱ مقایسه نتایج روش‌های عددی با حل دقیق (دسته اول) ۲۶۸
۱۹.۱ مقایسه نتایج روش ضمنی دلتا با الگوریتم TVD (دسته دوم) ۲۸۲
۲. روش توابع تبدیل در حل جریان غیردائم گاز ۲۸۸
۳. رائمه نتایج و بحث روی آنها ۳۰۳
۴.۱ تغییرات متناوب دبی خروجی (نمونه اول) ۳۰۵
۴.۲ تغییرات غیر متناوب در دبی خروجی (نمونه دوم) ۳۰۸
۴.۳.۱ گذر آهسته جریان گاز با دبی خروجی متغیر (نمونه سوم) ۳۰۹
۴.۳.۲ شرایط غیردائم با تغییر ناگهانی دبی ورودی (نمونه چهارم) ۳۱۲
۴.۳.۳ شرایط غیردائم با تغییر ناگهانی فشار ورودی (نمونه پنجم) ۳۱۴
۴.۳.۴ شرایط غیردائم با تغییر ناگهانی فشار خروجی (نمونه ششم) ۳۱۵
۴. مراجع ۳۲۱
۵. شرکت در سمینارها و کنفرانس‌های داخلی و خارجی و مقالات ارائه شده ۳۲۳
۵.۱ نمایشگاه نفت و گاز ۳۲۳
۵.۱.۱ توسعه متک ۳۲۴
۵.۲.۱ شرکت شاتل پارس ۳۲۵
۳.۱.۵ شرکت KOBOLD ۳۲۶
۴.۱.۵ گروه مهرکاناز ۳۲۷
۵.۱.۵ شرکت Endress+Hauser ۳۲۸
۶.۱.۵ شرکت آزمون متمم ۳۲۸
۲.۵ دومین همایش گاز ایران ۳۲۹

۱.۲.۵ شبیه سازی سه بعدی سیستم حفاظت کاتدیک لوله های گاز مدفون در خاک به روش المان مرزی (چکیده).....	۳۳۰
۲.۲.۵ تحلیل جریان گذرای گاز طبیعی با استفاده از توابع تبدیل و مقایسه نتایج آن با روش های عددی غیردائم (چکیده).....	۳۳۰
۳.۵ کنگره‌ی جهانی علوم، مهندسی و تکنولوژی آلمان.....	۳۳۱
۴.۳.۵ کتابخانه سیمولینکی برای شبیه سازی جریان غیردائم گاز درون شبکه (چکیده).....	۳۳۲
۴.۲.۵ مدل سازی رتبه کاسته جریان غیردائم گاز درون لوله‌ها (چکیده).....	۳۳۲
۴.۴ دوازدهمین کنفرانس دینامیک شاره‌ها.....	۳۳۳
۴.۱.۴ نقش تصحیح استاتیکی در مدل سازی رتبه کاسته جریان گذرا درون خطوط لوله گاز طبیعی (چکیده).....	۳۳۳
۴.۵ کنفرانس بین‌المللی مهندسی مکانیک	۳۳۴
۴.۱.۵.۵ تحلیل ویژه جریان گذرای گاز طبیعی درون خطوط لوله (چکیده).....	۳۳۴
۴.۶.۵ دومین کنفرانس لوله و خطوط انتقال نفت و گاز.....	۳۳۴
۴.۱.۶.۵ مقایسه روش المان مرزی و روش مدار معادل در مدل سازی عددی سیستم‌های حفاظت کاتدیک خطوط لوله (چکیده).....	۳۳۵
۴.۲.۶.۵ دقیق و سرعت محاسباتی روش‌های عددی مختلف برای تحلیل جریان گذرای گاز طبیعی (چکیده).....	۳۳۶
۶ فعالیت‌های انجام شده در هفته پژوهش	۳۳۷
۶.۱ اغرفه هفته پژوهش	۳۳۷
۶.۲ سمینارهای هفته پژوهش	۳۴۶
۶.۳ منابع	۳۴۷
۷ سایر فعالیت‌ها	۳۴۸
۷.۱ مصارف نوین گاز طبیعی	۳۴۸
۷.۱.۱.۷ بمبان الکترونیکی لوله‌های پلی‌اتیلن ضخیم با قطر (PE-Xe)	۳۴۸
۷.۲.۱.۷ اتصال به اینترنت از طریق گاز.....	۳۵۰
۷.۲.۷ تکمیل بانک اطلاعاتی پژوهشگران داخلی	۳۵۱
۷.۱.۲.۷ دانشگاه تهران	۳۵۱

۳۵۲	۲.۲.۷ دانشگاه صنعتی شریف
۳۵۲	۳.۲.۷ دانشگاه تربیت مدرس
۳۵۳	۴.۲.۷ دانشگاه اراک
۳۵۳	۵.۲.۷ دانشگاه ارومیه
۳۵۳	۶.۲.۷ دانشگاه اصفهان
۳۵۴	۷.۲.۷ دانشگاه امیرکبیر
۳۵۴	۸.۲.۷ دانشگاه آیلام
۳۵۴	۹.۲.۷ دانشگاه بابل
۳۵۴	۱۰.۲.۷ دانشگاه بوعلی سینا
۳۵۵	۱۱.۲.۷ دانشگاه تبریز
۳۵۵	۱۲.۲.۷ دانشگاه تربیت معلم
۳۵۵	۱۳.۲.۷ دانشکده نفت تهران
۳۵۵	۱۴.۲.۷ دانشگاه رازی کرمانشاه
۳۵۶	۱۵.۲.۷ دانشگاه زنجان
۳۵۶	۱۶.۲.۷ دانشگاه سیستان و بلوچستان
۳۵۶	۱۷.۲.۷ دانشگاه شاهد
۳۵۷	۱۸.۲.۷ دانشگاه شهرکرد
۳۵۷	۱۹.۲.۷ دانشگاه شهید باهنر کرمان
۳۵۷	۲۰.۲.۷ دانشگاه شهید بهشتی
۳۵۸	۲۱.۲.۷ دانشگاه شهید چمران
۳۵۸	۲۲.۲.۷ دانشگاه شیراز
۳۵۸	۲۳.۲.۷ دانشگاه صنعتی اصفهان
۳۵۹	۲۴.۲.۷ دانشگاه صنعتی سهند تبریز
۳۵۹	۲۵.۲.۷ دانشگاه صنعتی شیراز
۳۶۰	۲۶.۲.۷ دانشگاه علم و صنعت
۳۶۰	۲۷.۲.۷ دانشگاه فردوسی مشهد
۳۶۰	۲۸.۲.۷ دانشگاه کاشان
۳۶۱	۲۹.۲.۷ دانشگاه کردستان
۳۶۱	۳۰.۲.۷ دانشگاه گیلان

۳۶۱	۳۱.۲.۷ دانشگاه لرستان.....
۳۶۲	۳۲.۲.۷ دانشگاه خواجه نصیر طوسی.....
۳۶۲	۳۳.۲.۷ دانشکده نفت اهواز.....
۳۶۲	۳۴.۲.۷ دانشکده نفت آبادان.....
۳۶۲	۳۵.۲.۷ دانشگاه یزد.....
۳۶۳	۳.۷ بررسی روش‌های مدل‌سازی عددی سیستم‌های حفاظت کاتدیک (روش مدار معادل).....
۳۶۳	۱.۳.۷ مروری بر روش المان‌مرزی در مدل‌سازی CP.....
۳۶۵	۲.۳.۷ روش مدار معادل در مدل‌سازی CP.....
۳۶۹	۳.۳.۷ منابع.....
۳۶۹	۴.۷ بررسی روش‌های عددی جهت اندازه‌گیری دبی جریان در دبی‌سنچ‌ها.....
۳۷۰	۱.۴.۷ اندازه‌گیری علمی جریان.....
۳۷۱	۲.۴.۷ روش‌های عددی در علم اندازه‌گیری جریان.....
۳۷۱	۳.۴.۷ تحلیل محاسباتی میدان جریان قبل از دبی‌سنچ.....
۳۷۳	۴.۴.۷ تحلیل محاسباتی دبی‌سنچ‌ها.....
۳۷۷	۵.۴.۷ شبیه‌سازی Monte Carlo در ارزیابی خطای تخمینی اندازه‌گیری.....
۳۷۷	۶.۴.۷ منابع.....
۳۷۹	۵.۷ پوشش‌های مقاوم جهت استفاده در محیط‌های آلوده به مشتقات نفتی.....
۳۷۹	۵.۷.۱ انتخاب روکش مناسب.....
۳۸۲	۵.۷.۲ جمع‌بندی.....
۳۸۳	۵.۷.۳ منابع.....
۳۸۴	پیوست الف. جداول مربوط به استاندارد سازی گرمکن (مربوط به N.I.G.C.).....
۳۹۰	پیوست ب. شبیه‌سازی سه‌بعدی سیستم حفاظت کاتدیک لوله‌های گاز مدفون در خاک به روش المان مرزی (مقاله).....
۴۰۱	پیوست پ. تحلیل جریان گذراي گاز طبیعی با استفاده از توابع تبدیل و مقایسه نتایج آن با روش‌های عددی غیر دائم (مقاله).....
۴۰۷	پیوست ت. کتابخانه سیمولینکی برای شبیه‌سازی جریان غیر دائم گاز درون شبکه (مقاله).....

پیوست ث. مدلسازی رتبه کاسته جریان غیر دائم گاز درون لوله‌ها (مقاله).....	۴۱۸
پیوست ج. نقش تصحیح استاتیکی در مدلسازی رتبه کاسته جریان گذرا درون خطوط لوله گاز طبیعی (مقاله).....	۴۲۴
پیوست چ. تحلیل ویژه جریان گذرا ای گاز طبیعی درون خطوط لوله (مقاله).....	۴۲۶
پیوست ح. مقایسه روش المان مرزی و روش مدار معادل در مدلسازی عددی سیستم‌های حفاظت کاتدیک خطوط لوله.....	۴۳۲
پیوست خ. دقت و سرعت محاسباتی روش‌های عددی مختلف برای تحلیل جریان گذرا ای گاز طبیعی (مقاله).....	۴۴۲
پیوست د. غرفه دفتر پژوهش شرکت گاز استان خوزستان از نمای دوربین.....	۴۵۲
پیوست ر. سمینارهای ارائه شده در هفته پژوهش.....	۴۵۶
پیوست ز. استاندارد انتخاب روکش JGS.....	۴۶۴

فهرست شکل‌ها

۵ شکل ۲-۱: صفحه اول نرم افزار
۶ شکل ۲-۲: صفحه ورود اطلاعات عملیاتی دبی‌سنچ
۶ شکل ۲-۳: صفحه Flow Meter Type Selection
۷ شکل ۲-۴: صفحه مربوط به دبی‌سنچ‌های دیافراگمی انتخاب شده
۸ شکل ۲-۵: خصوصیات دبی‌سنچ دیافراگمی انتخاب شده
۸ شکل ۲-۶: دبی‌سنچ توربینی
۹ شکل ۲-۷: دبی‌سنچ از نوع Paddlewheel
۹ شکل ۲-۸: نمائی از طرز عملکرد دبی‌سنچ توربینی
۱۲ شکل ۲-۹: دبی‌سنچ سری CPT شرکت DMS
۱۳ شکل ۲-۱۰: دبی‌سنچ سری EQZ شرکت DMS
۱۵ شکل ۲-۱۱: دبی‌سنچ سری Lx & Gx شرکت DMS
۱۵ شکل ۲-۱۲: دبی‌سنچ سری TBZ شرکت DMS
۱۵ شکل ۲-۱۳: دبی‌سنچ سری TBX شرکت DMS
۱۷ شکل ۲-۱۴: دبی‌سنچ Emerson شرکت Daniel® Gas Turbine
۱۷ شکل ۲-۱۵: دبی‌سنچ Emerson شرکت Daniel® Mini Gas Turbine
۱۸ شکل ۲-۱۶: دبی‌سنچ IMAC شرکت American Meter Turbine Gas
۱۹ شکل ۲-۱۷: دبی‌سنچ IMAC شرکت Q-Series
۲۰ شکل ۲-۱۸: دبی‌سنچ IMAC شرکت SZ Turbine Gas
۲۰ شکل ۲-۱۹: دبی‌سنچ IMAC شرکت High Capacity Turbine
۲۱ شکل ۲-۲۰: دبی‌سنچ IMAC شرکت Rebuilt Turbine Gas
۲۲ شکل ۲-۲۱: دبی‌سنچ سری GT شرکت FMC
۲۳ شکل ۲-۲۲: دبی‌سنچ سری W شرکت FMC
۲۳ شکل ۲-۲۳: دبی‌سنچ سری WC/WG شرکت FMC
۲۴ شکل ۲-۲۴: دبی‌سنچ سری WH شرکت FMC
۲۷ شکل ۲-۲۵: دبی‌سنچ های Elster Series SM-RI
۲۹ شکل ۲-۲۶: دبی‌سنچ سری TRZ2 شرکت Elster
۳۰ شکل ۲-۲۷: دبی‌سنچ سری Q75 شرکت Elster
۳۱ شکل ۲-۲۸: دبی‌سنچ سری Q شرکت Elster

- ۳۱ شکل ۲-۲۹: دبی سنج سری QA / QAe شرکت Elster
- ۳۲ شکل ۲-۳۰: دبی سنج سری Flow Conditioners شرکت Elster
- ۳۵ شکل ۲-۳۱: مدل‌های مختلف دبی سنج‌های Bell ۱/۲" BSP, ۳/۴" BSP.
- ۳۵ شکل ۲-۳۲: مدل‌های مختلف دبی سنج‌های Bell 2" BSP, ۱۱/۲" BSP, ۱" BSP
- ۳/۴" Screwed , ۱" Screwed , ۱ ۱/۴" Screwed, ۱" Screwed, 2" Flanged شکل ۲-۳۳: مدل‌های مختلف دبی سنج‌های Bell 1/2" Screwed, 2" Screwed, 2" Flanged
- ۳۷ شکل ۲-۳۴: مدل‌های مختلف دبی سنج‌های Bell ۳" Flanged شرکت CPT Quantometro
- ۳۹ شکل ۲-۳۵: مدل‌های مختلف دبی سنج‌های گازی توربینی FT Series شرکت Flow Technology
- ۴۰ شکل ۲-۳۶: دبی سنج‌های گازی توربینی FTO Series شرکت Flow Technology
- ۴۱ شکل ۲-۳۷: دبی سنج‌های گازی توربینی TBQC Series شرکت Tancy Investment Group
- ۴۲ شکل ۲-۳۸: دبی سنج‌های گازی توربینی TBQ Series شرکت Tancy Investment Group
- ۴۳ شکل ۲-۳۹: دبی سنج‌های گازی توربینی TBQJ Series شرکت Tancy Investment Group
- ۴۴ شکل ۲-۴۰: دبی سنج‌های گازی توربینی TBQZ Series شرکت Tancy Investment Group
- ۴۵ شکل ۲-۴۱: دبی سنج‌های گازی توربینی GTS Series شرکت MUELLER
- ۴۶ شکل ۲-۴۲: دبی سنج‌های گازی توربینی HO Series شرکت HOFFER
- ۴۷ شکل ۲-۴۳: دبی سنج‌های گازی توربینی MF Series شرکت HOFFER
- ۴۸ شکل ۲-۴۴: دبی سنج‌های گازی توربینی HP Series شرکت HOFFER
- ۴۹ شکل ۲-۴۵: دبی سنج‌های گازی توربینی WING NUT Series شرکت HOFFER
- ۵۰ شکل ۲-۴۶: دبی سنج‌های گازی توربینی WAFER Series شرکت HOFFER
- ۵۱ شکل ۲-۴۷: دبی سنج‌های گازی توربینی PREMIER Series شرکت HOFFER
- ۵۲ شکل ۲-۴۸: دبی سنج‌های گازی توربینی PREMIER Series شرکت HOFFER
- ۵۲ شکل ۲-۴۹: دبی سنج‌های گازی توربینی AUTOCLAVE Series شرکت Equimeter
- ۵۳ شکل ۲-۵۰: دبی سنج‌های گازی توربینی 4" to 12" Mark II شرکت Equimeter
- ۵۴ شکل ۲-۵۱: دبی سنج‌های گازی توربینی 2" & 3" Mark IIE شرکت Equimeter
- ۵۵ شکل ۲-۵۲: دبی سنج‌های گازی توربینی 2" & 3" T-10 شرکت Equimeter
- ۵۶ شکل ۲-۵۳: دبی سنج‌های گازی توربینی 2" & 3" TPL-9 شرکت Equimeter
- ۵۷ شکل ۲-۵۴: دبی سنج‌های گازی توربینی 2" & 3" TPL-9 شرکت RMG
- ۵۸ شکل ۲-۵۵: دبی سنج‌های گازی توربینی TRZ 03 شرکت RMG
- ۵۹ شکل ۲-۵۶: دبی سنج‌های گازی توربینی TRZ 03-TE/L شرکت RMG

..... شکل ۲-۵۷: دبی سنج‌های گازی توربینی سری TRZ 03 L شرکت RMG	۶۰
..... شکل ۲-۵۸: دبی سنج‌های گازی توربینی سری "Q" و "QIC" شرکت Instromet	۶۱
..... شکل ۲-۵۹: دبی سنج‌های گازی توربینی سری X-XIC شرکت Instromet	۶۲
..... شکل ۲-۶۰: دبی سنج‌های گازی توربینی سری Fluxi 2000/TZ شرکت ACTARIS	۶۳
..... شکل ۲-۶۱: دبی سنج‌های گازی توربینی سری MZ شرکت ACTARIS	۶۴
..... شکل ۲-۶۲: دبی سنج‌های گازی توربینی سری i-MTM-CT شرکت i-Meter	۶۵
..... شکل ۲-۶۳: صفحه اول نرم افزار	۶۷
..... شکل ۲-۶۴: صفحه ورود اطلاعات عملیاتی دبی سنج	۶۸
..... شکل ۲-۶۵: صفحه Flow Meter Type Selection	۶۹
..... شکل ۲-۶۶: صفحه مربوط به شرکت‌های مختلف دارای دبی سنج‌های توربینی	۷۰
..... شکل ۲-۶۷: صفحه مربوط به اطلاعات دسترسی به شرکت مختلف دارای دبی سنج‌های توربینی	۷۰
..... شکل ۲-۶۸: مدل‌های ارائه شده توسط شرکت DMS	۷۱
..... شکل ۲-۶۹: خصوصیات دبی سنج انتخاب شده EQZ شرکت DMS	۷۱
..... شکل ۲-۷۰: فرمت نهائی صفحه ابتدایی نرم افزار	۷۲
..... شکل ۲-۷۱: صفحه نحوه محاسبه سرعت گاز در لوله اتصالی به کنتور	۷۳
..... شکل ۲-۷۲: صفحه نحوه محاسبه ضریب تراکم پذیری گاز	۷۴
..... شکل ۲-۷۳: صفحه جدید ورود اطلاعات	۷۵
..... شکل ۲-۷۴: صفحه تبدیل واحد نرم افزار	۷۶
..... شکل ۲-۷۵: صفحه جدید انتخاب نوع کنتور	۷۶
..... شکل ۲-۷۶: شکل جدید صفحه شرکت‌های سازنده دبی سنج‌های توربینی	۷۷
..... شکل ۲-۷۷: فایل‌های موجود در بسته نرم افزاری	۷۹
..... شکل ۲-۷۸: صفحه اول مربوط به نصب نرم افزار	۷۹
..... شکل ۲-۷۹: صفحه اعلام مسیری که نرم افزار قرار است در آن نصب گردد	۸۰
..... شکل ۲-۸۰: صفحه اعلام نصب با موفقیت نرم افزار	۸۰
..... شکل ۳-۱: یک ایستگاه تقلیل فشار ۴۰۰ به ۶۰ با ظرفیت ۲۰۰۰۰ متر مکعب بر ساعت	۹۸
..... شکل ۳-۲: شماتیک یک ایستگاه تقلیل فشار	۹۸
..... شکل ۳-۳: اجزاء مختلف فیلتر ایستاده گاز	۱۰۰
..... شکل ۳-۴: یک فیلتر گاز خشک از نوع QMC	۱۰۰
..... شکل ۳-۵: یک فیلتر گاز خشک از نوع QHC	۱۰۱

..... شکل ۶-۳: اجزاء مختلف فیلتر جداکننده	۱۰۲
..... شکل ۷-۳: اجزاء گرمکن غیرمستقیم گاز	۱۰۶
..... شکل ۸-۳: سیستم کنترل و جرقه‌زن مشعل در گرمکن‌ها	۱۰۷
..... شکل ۹-۳: شماتیک بودارکننده	۱۱۵
..... شکل ۱۰-۳: نقشه شماتیک بودارکن گاز	۱۲۰
..... شکل ۱۱-۳: نمایی از یک دیتاشیت بودارکن تزریقی	۱۲۸
..... شکل ۱۲-۳: شماتیکی از یک دبی‌سنچ توربینی	۱۳۴
..... شکل ۱۳-۳: شماتیکی از یک رگولاتور صنعتی	۱۴۵
..... شکل ۱۴-۳: نمونه‌ای از ایستگاه CGS مسطح	۱۴۷
..... شکل ۱۵-۳: نمونه‌ای از ایستگاه TBS مسطح	۱۴۷
..... شکل ۱۶-۳: نقشه‌ی تیپ یک نمونه TBS مسطح	۱۴۸
..... شکل ۱۷-۳: نمونه‌ای از ایستگاه TBS کابیتی	۱۴۹
..... شکل ۱۸-۳: نقشه‌ی تیپ یک نمونه TBS کابیتی	۱۵۰
..... شکل ۱۹-۳: محدوده‌ی لازم قبل از کنتور توربینی	۱۵۲
..... شکل ۲۰-۳: شماتیکی از یک رگولاتور صنعتی	۱۵۵
..... شکل ۲۱-۳: شماتیکی از یک رگولاتور محوری	۱۵۷
..... شکل ۲۲-۳: شماتیکی از یک رگولاتور شات آف نوع SLAM	۱۵۷
..... شکل ۲۳-۳: نمونه‌ای از یک ایستگاه TBS با ظرفیت ۴۰۰ مترمکعب بر ساعت	۱۵۸
..... شکل ۲۴-۳: نمونه‌ای از یک ایستگاه TBS با یک رگولاتور	۱۵۹
..... شکل ۲۵-۳: نمونه‌ای از یک ایستگاه TBS شبیه سازی شده توسط نرم‌افزار PIPESYS	۱۵۹
..... شکل ۲۶-۳: تغییرات فشار جریان گاز در طول مسیر یک ایستگاه TBS کابیتی یا مسطح	۱۶۰
..... شکل ۲۷-۳: تغییرات سرعت جریان گاز در طول مسیر یک ایستگاه TBS کابیتی یا مسطح	۱۶۱
..... شکل ۲۸-۳: تغییرات دمای جریان گاز در طول مسیر یک ایستگاه TBS کابیتی یا مسطح	۱۶۱
..... شکل ۲۹-۳: تغییرات دمای خروجی نسبت به اختلاف فشار ورود و خروج یک ایستگاه TBS کابیتی یا مسطح	۱۶۲
..... شکل ۳۰-۳: تغییرات دمای خروجی نسبت به تغییرات دبی جریان گاز یک ایستگاه TBS کابیتی یا مسطح	۱۶۲
..... شکل ۳۱-۳: تغییرات دمای خروجی نسبت به تغییرات دمای ورودی گاز یک ایستگاه TBS کابیتی یا مسطح	۱۶۳

..... شکل ۳۲-۳: نمایی از یک ایستگاه زیرزمینی BD-RMG 470 - Krysalis ۱۶۵
..... شکل ۳۳-۳: نمایی از یک ایستگاه زیرزمینی RMG 470 "Krysalis" PN 16 ۱۶۶
..... شکل ۳۴-۳: نمایی از یک ایستگاه زیرزمینی BD - RMG „Krysalis“ 19 ۱۶۷
..... شکل ۳۵-۳: شماتیکی از یک ایستگاه زیرزمینی BD - RMG „mini-Krysalis“ 19 ۱۶۸
..... شکل ۳۶-۳: نمایی از یک ایستگاه زیرزمینی RMG-UKA 280 „Vector“ ۱۶۹
..... شکل ۳۷-۳: نمایی از یک ایستگاه زیرزمینی RMG-UKA 680 „Vector“ ۱۷۱
..... شکل ۳۸-۳: نمایی از یک ایستگاه زیرزمینی RMG - UKA „Krysalis“ 16 ۱۷۲
..... شکل ۳۹-۳: شماتیکی از یک ایستگاه زیرزمینی شرکت Elster ۱۷۳
..... شکل ۴۰-۳: نمایی از یک ایستگاه زیرزمینی مدل Orpheus شرکت Elster ۱۷۴
..... شکل ۴۱-۳: طلوعی تازه در صنعت اندازه‌گیری دبی گاز ۱۷۴
..... شکل ۴۲-۳: شماتیک یک USM (انتخاب المان‌های یک USM بر حسب کاربرد بسیار مهم است) ۱۷۵
..... شکل ۴۳-۳: یک نمونه ایراد در طراحی سایت اندازه‌گیر USM ۱۷۸
..... شکل ۴۴-۳: یک نمونه USM با طول ۱۲۶ فوت و وزن ۹۶۰۰۰ پوند با ظرفیت ۵ میلیارد پوند بر سال ۱۸۰
..... شکل ۴۵-۳: نمونه‌ای از فرستنده USM - فرستنده اطلاعات به صورت گستته ۱۸۲
..... شکل ۴۶-۳: یک کامپیوتر کامل جریان ۱۸۴
..... شکل ۴۷-۳: سوراخ‌های داخلی به نحوی تعییه می‌شوند که ناپیوستگی‌ای در جریان رخ ندهد. ۱۸۵
..... شکل ۴۸-۳: شکل دهنده جریان از نوع صفحه متخلخل ضخیم ۱۸۶
..... شکل ۴۹-۳: پیچ‌های داخل فلنجی برای دو قسمت ورودی به شکل دهنده و شکل دهنده به اندازه‌گیر ۱۸۷
..... شکل ۵۰-۳: نیازهای لوله‌کشی و سهراهی یک ایستگاه USM ۱۸۸
..... شکل ۵۱-۳: شماتیک هدر متصل به USM در سایت ۱۸۹
..... شکل ۵۲-۳: نمونه‌ای از اتصال موازی USM‌ها با یک هدر ۱۸۹
..... شکل ۵۳-۳: چهار نمونه از نحوه اتصال هدر و مزايا و معایب آنها ۱۹۰
..... شکل ۵۴-۳: لوله‌کشی بالادست یک USM یک جهته ۱۹۱
..... شکل ۵۵-۳: قسمت تخلیه USM و نصب چاه حرارتی و پروب تخلیه روی آن ۱۹۱
..... شکل ۵۶-۳: محل نصب پروب‌های چاه حرارتی ۱۹۲
..... شکل ۵۷-۳: نمونه‌ای از یک سایت اندازه‌گیر کوچک ۱۹۲

شکل ۴-۱: خطوط مشخصه راسترو (a) و چپرو (b)	۱۹۷
شکل ۴-۲: بررسی تعریف شرایط اولیه و مرزی در حل مسائل با خطوط مشخصه	۱۹۸
شکل ۴-۳: انواع تعریف شرایط اولیه و مرزی در مسائل با خطوط مشخصه	۱۹۸
شکل ۴-۴: حالت واگرایی خطوط مشخصه در یافتن مقادیر u	۲۰۱
شکل ۴-۵: حالت همگرایی خطوط مشخصه در یافتن مقادیر u	۲۰۱
شکل ۴-۶: حجم کنترلی برای روش لکس-فردریش	۲۰۵
شکل ۴-۷: بررسی شماتیک وضعیت استفاده از گرهای شبکه برای الگوریتم رازانوف	۲۰۷
شکل ۴-۸: شماتیک وضعیت استفاده از گرهای شبکه برای الگوریتم WKL	۲۰۸
شکل ۴-۹: تعیین حجم کنترلی برای روش گادانوف	۲۱۲
شکل ۴-۱۰: هندسه و حل محلی مسئله ریمان در سطوح مشترک المانها (روش گادانوف)	۲۱۴
شکل ۴-۱۱: یک تقریب تکه‌ای ثابت حل در مرحله زمانی n ام	۲۱۶
شکل ۴-۱۲: متوسطگیری از مقادیر دچار اغتشاشات بعد از یک گام زمانی	۲۱۷
شکل ۴-۱۳: دیاگرام موج برای روش رو که به معادله برگر اعمال شود	۲۱۹
شکل ۴-۱۴: حل عددی ناپیوستگی به کمک روش رو	۲۲۰
شکل ۴-۱۵: بررسی حل مسائل با فن انبساطی توسط روش رو	۲۲۱
شکل ۴-۱۶: فن انبساطی بدست آمده با روش راو و مقایسه آن با نتایج حل دقیق	۲۲۲
شکل ۴-۱۷: گسته‌سازی به شیوه الگوریتم پادبادسوی مرتبه دوم	۲۲۸
شکل ۴-۱۸: گسته‌سازی سه نقطه‌ای با $k = -1$ بهروش پادبادسوی مرتبه دوم	۲۳۰
شکل ۴-۱۹: شماتیک تحلیل شارهای عددی برای الگوریتمهای مراتب اول و دوم	۲۳۴
شکل ۴-۲۰: روش رو مرتبه دوم بدون محدودکننده اعمال شده به معادله برگر	۲۳۵
شکل ۴-۲۱: گسته‌سازی مرتبه دوم مکان و زمان	۲۳۶
شکل ۴-۲۲: بررسی عوامل کلی تولید نوسانات در تحلیلهای عددی	۲۴۰
شکل ۴-۲۳: شرط انتروپی برای یک ناپیوستگی با سطح Σ	۲۴۳
شکل ۴-۲۴: وضعیت قرارگیری مقادیر مختلف شار برای دو حالت: $u_R > u_L$ (a) و $u_R < u_L$ (b)	۲۴۴
شکل ۴-۲۵: بررسی عددی حالت خاصی از نمودار $x-u$ و شامل تغییر علامت r	۲۵۵
شکل ۴-۲۶: قلمرو محدودکننده برای الگوریتمهای مختلف	۲۵۶
شکل ۴-۲۷: محدودکننده و نلیر	۲۵۶
شکل ۴-۲۸: محدودکننده minmod	۲۵۶

..... شکل ۴-۲۹: محدودکننده سوپربی (رو) ۲۵۸
..... شکل ۴-۳۰: محدودکنندهای کلی نوع β ۲۵۸
..... شکل ۴-۳۱: محدودکننده چاکراوارتی و اوشر ۲۵۹
..... شکل ۴-۳۲: نحوه عملکرد محدود کننده مینمد ۲۶۱
..... شکل ۴-۳۳: نحوه عملکرد محدود کننده سوپربی ۲۶۲
..... شکل ۴-۳۴: بررسی اثرات استفاده از محدودکنندها در حل عددی با ۱۲۰ گام زمانی ۲۶۳
..... شکل ۴-۳۵: مقایسه حل دقیق و حل عددی رو مرتبه دوم اعمال شده به معادله برگر و با محدود کننده مینمد ۲۶۴
..... شکل ۴-۳۶: مقایسه نتایج روش لکس با حل دقیق ۲۷۰
..... شکل ۴-۳۷: مقایسه نتایج روش لکس-وندروف با حل دقیق ۲۷۰
..... شکل ۴-۳۸: مقایسه نتایج روش مککورمک با حل دقیق ۲۷۱
..... شکل ۴-۳۹: مقایسه نتایج روش اوشر با حل دقیق ۲۷۱
..... شکل ۴-۴۰: مقایسه نتایج روش رو با حل دقیق ۲۷۲
..... شکل ۴-۴۱: مقایسه نتایج روش انتقال تصحیحی شار بر حسب تقریب رو با حل دقیق ۲۷۲
..... شکل ۴-۴۲: مقایسه نتایج روش رازانوف با حل دقیق ۲۷۳
..... شکل ۴-۴۳: مقایسه نتایج روش ذوزنقهای اصلاح شده با حل دقیق ۲۷۴
..... شکل ۴-۴۴: مقایسه نتایج روش انکوئیست-اوشر با حل دقیق ۲۷۴
..... شکل ۴-۴۵: مقایسه نتایج روش گادانوف با حل دقیق ۲۷۵
..... شکل ۴-۴۶: مقایسه نتایج روش فروم مرتبه دوم با حل دقیق ۲۷۵
..... شکل ۴-۴۷: مقایسه نتایج روش لکس وندروف مرتبه دوم با حل دقیق ۲۷۶
..... شکل ۴-۴۸: مقایسه نتایج روش رو مرتبه دوم با حل دقیق ۲۷۶
..... شکل ۴-۴۹: مقایسه نتایج روش انتقال تصحیحی شار با تقریب بوریس-بوک با حل دقیق ۲۷۷
..... شکل ۴-۵۰: مقایسه نتایج روشهای TVD با محدودکننده چاکراوارتی و حل دقیق ۲۷۷
..... شکل ۴-۵۱: مقایسه نتایج روشهای TVD با محدودکننده مینمد و حل دقیق ۲۷۸
..... شکل ۴-۵۲: مقایسه نتایج روشهای TVD با محدودکننده سوپربی و حل دقیق ۲۷۸
..... شکل ۴-۵۳: مقایسه نتایج روشهای TVD با محدودکننده سویسی و حل دقیق ۲۷۹
..... شکل ۴-۵۴: مقایسه نتایج روشهای TVD با محدودکننده ونلیر و حل دقیق ۲۷۹
..... شکل ۴-۵۵: مقایسه نتایج روشن WKL با حل دقیق ۲۸۰
..... شکل ۴-۵۶: مقایسه نتایج روشن WKL تنظیم شده با حل دقیق ۲۸۰

..... شکل ۴-۵۷: تغییرات دبی خروجی بر حسب زمان اعمال شده به حالت دوم	۲۸۳
..... شکل ۴-۵۸: مقایسه نتایج محاسبه شده و تجربی برای فشار خروجی لوله در حالت دوم	۲۸۴
..... شکل ۴-۵۹: مقایسه نتایج محاسبه شده با نتایج روش خطوط برای فشار خروجی لوله در حالت دوم	۲۸۵
..... شکل ۴-۶۰: نتایج روش ضمنی برای فشار در چند نقطه از لوله (حالت دوم)	۲۸۵
..... شکل ۴-۶۱: نتایج الگوریتم TVD برای فشار در چند نقطه از لوله (حالت دوم)	۲۸۶
..... شکل ۴-۶۲: نتایج الگوریتم ضمنی برای توزیع فشار در کل لوله برای چند زمان خاص(حالت دوم)	۲۸۷
..... شکل ۴-۶۳: نتایج الگوریتم TVD برای توزیع فشار در کل لوله برای چند زمان خاص(حالت دوم)	۲۸۷
..... شکل ۴-۶۴: شماتیک توابع تبدیل فشار-دبی درون شبکه	۳۰۰
..... شکل ۴-۶۵: شماتیک توابع تبدیل دبی-دبی درون شبکه	۳۰۱
..... شکل ۴-۶۶: شماتیک یک المان کلی درون شبکه	۳۰۲
..... شکل ۴-۶۷: توابع تبدیل از نوع دبی ورودی و خروجی معلوم	۳۰۴
..... شکل ۴-۶۸: توابع تبدیل از نوع دبی خروجی و فشار ورودی معلوم	۳۰۴
..... شکل ۴-۶۹: توابع تبدیل از نوع دبی ورودی و فشار خروجی معلوم	۳۰۵
..... شکل ۴-۷۰: دبی متناوب اعمال شده به خروجی لوله برای مسأله جريان حالت متناوب	۳۰۶
..... شکل ۴-۷۱: مدل توابع تبدیل به کار گرفته شده برای مسأله جريان حالت متناوب (نرمافزار MATLAB)	۳۰۶
..... شکل ۴-۷۲: مقایسه نتایج روش دلتا با روش توابع تبدیل (مسأله جريان حالت متناوب ۳۰٪ تغییرات)	۳۰۷
..... شکل ۴-۷۳: مقایسه نتایج روش دلتا با روش توابع تبدیل (مسأله جريان حالت متناوب ۰.۵٪ تغییرات)	۳۰۷
..... شکل ۴-۷۴: دبی خروجی غیر منظم اعمال شده به مدل توابع تبدیل	۳۰۹
..... شکل ۴-۷۵: مقایسه نتایج روش توابع تبدیل با الگوریتم ضمنی دلتا برای حالت دبی خروجی غیر منظم	۳۰۹
..... شکل ۴-۷۶: تغییرات دبی خروجی بر حسب زمان اعمال شده به حالت دوم	۳۱۰
..... شکل ۴-۷۷: مقایسه نتایج روش توابع تبدیل با الگوریتم ضمنی دلتا برای نمونه سوم	۳۱۱
..... شکل ۴-۷۸: مقایسه نتایج روش توابع تبدیل با روشهای TVD و آزمایشگاهی برای نمونه سوم ..	۳۱۱

شکل ۴-۷۹: مقایسه نتایج روش توابع تبدیل با روش خطوط برای نمونه سوم ۳۱۲
شکل ۴-۸۰: مدل سیمیولینکی روش توابع تبدیل برای نمونه سوم ۳۱۲
شکل ۴-۸۱: مقایسه نتایج بدست آمده از روش توابع تبدیل و روش دلتا برای فشار ورودی نمونه چهارم ۳۱۳
شکل ۴-۸۲: مقایسه نتایج بدست آمده از روش توابع تبدیل و روش دلتا برای فشار خروجی نمونه چهارم ۳۱۳
شکل ۴-۸۳: مقایسه نتایج بدست آمده از روش توابع تبدیل و روش دلتا برای دبی ورودی نمونه پنجم ۳۱۴
شکل ۴-۸۴: مقایسه نتایج بدست آمده از روش توابع تبدیل و روش دلتا برای فشار خروجی نمونه پنجم ۳۱۴
شکل ۴-۸۵: شماتیک مدل نوع دبی - فشار برای چهار حالت جریان غیردائم (نمونه ششم) ۳۱۶
شکل ۴-۸۶: مقایسه نتایج روش توابع تبدیل و روش عددی برای فشار ورودی (حالت پنجم کار ژو-آدومی) ۳۱۷
شکل ۴-۸۷: مقایسه نتایج روش توابع تبدیل و روش عددی برای دبی خروجی (حالت پنجم کار ژو-آدومی) ۳۱۷
شکل ۴-۸۸: مقایسه نتایج روش توابع تبدیل و روش عددی برای فشار ورودی (حالت ششم کار ژو-آدومی) ۳۱۸
شکل ۴-۸۹: مقایسه نتایج روش توابع تبدیل و روش عددی برای دبی خروجی (حالت ششم کار ژو-آدومی) ۳۱۸
شکل ۴-۹۰: نحوه محاسبه مقادیر نهایی حالت غیردائم از مقادیر اختلافی محاسبه شده در مدل ... ۳۱۹
شکل ۴-۹۱: مقایسه نتایج روش توابع تبدیل و روش عددی برای فشار ورودی (حالت هفتم کار ژو- آدومی) ۳۲۰
شکل ۴-۹۲: مقایسه نتایج روش توابع تبدیل و روش عددی برای دبی خروجی (حالت هفتم کار ژو-آدومی) ۳۲۰
شکل ۴-۹۳: مقایسه نتایج روش توابع تبدیل و روش عددی برای فشار ورودی (حالت هشتم کار ژو-آدومی) ۳۲۱
شکل ۴-۹۴: مقایسه نتایج روش توابع تبدیل و روش عددی برای دبی خروجی (حالت هشتم کار ژو-آدومی) ۳۲۱
شکل ۵-۱: کاتالوگ شرکت توس و متک ۳۲۴

شکل ۵-۲: زمینه فعالیت‌های شرکت‌هایی که شاتل پارس نماینده انحصاری آنها می‌باشد.....	۳۲۵
شکل ۵-۳: زمینه فعالیت‌های شرکت‌هایی که شاتل پارس نماینده انحصاری آنها می‌باشد.....	۳۲۶
شکل ۵-۴: پراکندگی شعبات و نماینده‌های شرکت KOBOLD در سرتاسر دنیا	۳۲۷
شکل ۶-۱: بروشور معرفی دفتر پژوهش شرکت گاز-۱.....	۳۳۹
شکل ۶-۲: بروشور معرفی دفتر پژوهش شرکت گاز-۲.....	۳۳۹
شکل ۶-۳: پوستر شماره ۱ معرفی زمینه‌های تحقیقاتی دفتر پژوهش.....	۳۴۱
شکل ۶-۴: پوستر شماره ۲ معرفی زمینه‌های تحقیقاتی دفتر پژوهش.....	۳۴۲
شکل ۶-۵: نقشه خطوط گاز اروپا و بخشی از خاورمیانه.....	۳۴۳
شکل ۶-۶: نقشه خطوط انتقال گاز و نفت ایران.....	۳۴۴
شکل ۶-۷: نقشه خطوط انتقال گاز استان خوزستان.....	۳۴۵
شکل ۶-۸: نقشه شبکه توزیع گاز شهرستان اهواز.....	۳۴۶
شکل ۷-۱: نمونه مدل‌سازی عددی حفاظت کاتدیک به صورت دوبعدی.....	۳۶۵
شکل ۷-۲: نمونه مدل‌سازی عددی حفاظت کاتدیک به صورت سه‌بعدی	۳۶۵
شکل ۷-۳: نحوه‌ی پیاده‌سازی مقاومت‌ها در طول لوله و در اتصال آن به الکتروولیت	۳۶۶
شکل ۷-۴: منحنی پلاریزاسیون	۳۶۸
شکل ۷-۵: نمونه‌ای از حوزه مورد مطالعه جریان قبل از دبی‌سنجهای	۳۷۳
شکل ۷-۶: نمونه از تحلیل‌های عددی سرعت در مکان‌های مختلف لوله	۳۷۳
شکل ۷-۷: اصول عملکردی یک دبی‌سنچ ریزش گردابه با یک مرز فراصوت پشت جسم ضخیم .	۳۷۴
شکل ۷-۸: منحنی فشار اندازه‌گیری شده در یک دبی‌سنچ گردابه‌ای	۳۷۵

فهرست جداول

جدول ۲-۱: مشخصات دبی‌سنج‌های دیافراگمی	۴
جدول ۲-۲: محدوده دقیق دبی‌سنج‌های شرکت توس و متک	۱۱
جدول ۲-۳: مشخصات دبی‌سنج مدل SM-RI-X	۲۶
جدول ۲-۴: مشخصات دبی‌سنج مدل SM-RI-HT	۲۷
جدول ۲-۵: مشخصات دبی‌سنج مدل SM-RI-P	۲۸
جدول ۲-۶: مشخصات دبی‌سنج مدل TRZ2	۲۹
جدول ۲-۷: محصولات مختلف شرکت Bell Turbine-Gas-Meter	۳۳
جدول ۲-۸: محصولات مختلف شرکت Bell GFT-Turbine-Gas-Meter	۳۴
جدول ۲-۹: محصولات مختلف شرکت Bell TXB-Digital-Turbine-Gas-Meter	۳۶
جدول ۲-۱۰: مدل‌های مختلف Quantometer-Gas-Flow-Turbine-Meter	۳۸
جدول ۲-۱۱: سایر مشخصات سری TRZ 03 شرکت RMG	۵۸
جدول ۲-۱۲: سایر مشخصات سری TRZ 03-TE/L شرکت RMG	۵۹
جدول ۲-۱۳: سایر مشخصات سری TRZ 03 L شرکت RMG	۶۰
جدول ۲-۱۴: مشخصات سری Q و QIC شرکت Instromet	۶۱
جدول ۲-۱۵: مشخصات سری X-XIC شرکت Instromet	۶۲
جدول ۲-۱۶: سایر مشخصات سری iMTM- CT شرکت i-Meter	۶۶
جدول ۲-۱۷: مشخصات سایزهای مختلف سری iMTM-CT شرکت i-Meter	۶۶
جدول ۲-۱۸: مشخصات سایزهای مختلف کنتورهای توربینی	۷۸
جدول ۳-۱: مشخصات و اطلاعات اندازه بدنی فیلترهای خشک	۱۰۲
جدول ۴-۱: بررسی ماکریم خطا روش‌های عددی	۲۸۲
جدول ۴-۲: بررسی زمان مورد نیاز روش‌های عددی برای محاسبه فشار خروجی در لوله	۳۰۸
جدول ۷-۱: معرفی علائم اختصاری استفاده شده در متن	۳۷۹
جدول ۷-۲: مشخصات روکش‌های تایید شده	۳۸۰
جدول ۷-۳: پوشش‌های خارجی مورد استفاده خطوط لوله، اتصالات و خطوط سرویس (OD<24")	۳۸۱

۱ مقدمه

در این گزارش عمدۀ فعالیت‌های انجام‌شده توسط دفتر پژوهش گاز در سال ۱۳۸۷ تشریح شده است. سرفصل‌های انجام شده در سال عبارت از موارد ذیل می‌باشند.

- طراحی نرم‌افزار انتخاب کنتور

در ادامه فعالیت‌های سال گذشته مرتبط با دستگاه‌های اندازه‌گیری دبی در صنایع گاز با توجه به تعدد دبی‌سنچ‌ها و قابلیت‌های متفاوت آنها در زمینه اندازه‌گیری، به منظور سهولت در امر انتخاب کنتور نرم‌افزاری تدوین و به بخش مربوطه در شرکت گاز تقدیم شد.

- ایستگاه‌های تقلیل فشار و اندازه‌گیری گاز

در این سرفصل نیز با معرفی اجزای موجود در ایستگاه‌های تقلیل فشار و ارائه استانداردهای مرتبط، ایستگاه‌های مسطح، کابیتی و زیرزمینی معرفی شده و قابلیت‌ها، مزایا و معایب هر یک مورد بحث و بررسی قرار گرفت.

- بررسی روش‌های حل جریان غیر دائم گاز

این مبحث نیز با توجه به نیاز مبرم برای ارائه حل‌های غیر دائم جریان گاز به سرفصل‌های کاری دفتر پژوهش اضافه گردید. در این راستا انواع روش‌های مدل‌سازی معرفی شده و کاربردی‌ترین آن به عنوان روش مدل‌سازی انتخاب و چندین نمونه مسئله‌ی جریان غیردائم مورد بررسی و تحلیل قرار گرفته است.

- شرکت در کنفرانس‌ها و سمینارهای داخلی و خارجی و مقالات ارائه شده

در این بخش نیز خلاصه‌ای از مقالات ارائه شده‌ی دفتر پژوهش در سمینارها و کنفرانس‌های داخلی و بین‌المللی همراه با معرفی مختصر کنفرانس‌ها ارائه شده است.

- هفته پژوهش

در این فصل نیز فعالیت‌های انجام شده در هفته پژوهش که شامل برگزاری غرفه دفتر پژوهش و ارائه‌ی سeminارهای مرتبط با گاز در این هفته می‌باشد، ارائه شده است.

- سایر فعالیت‌ها

• در این فصل نیز به آن دسته از فعالیت‌های دفتر که بر حسب مورد و نیاز اعلام شده از طرف شرکت گاز، انجام شده‌اند، اشاره شده است. این فعالیت‌ها شامل موارد ذیل می‌شوند.

- مصارف نوین گاز طبیعی
- تکمیل بانک اطلاعاتی پژوهشگران داخلی
- بررسی روش‌های مدل‌سازی عددی سیستم‌های حفاظت کاتدیک (روش مدار معادل)
- بررسی روش‌های عددی جهت اندازه‌گیری دبی جریان در دبی‌سنچ‌ها
- پوشش‌های مقاوم جهت استفاده در محیط‌های آلوده به مشتقات نفتی

۲ طراحی نرم افزار انتخاب کنتور

در فعالیت‌های سال گذشته، نرم افزاری برای انتخاب دبی‌سنچ‌های مختلف در صنایع گاز طراحی اولیه شد. در طراحی ابتدایی این نرم افزار که نمایی از محیط اجرائی آن در گزارش بهمن ماه ۸۶ آورده شد، اطلاعات ورودی لازم برای انتخاب دبی‌سنچ مانند بازه دما، فشار، دبی، ... دبی‌سنچ مورد نظر کاربر در داخل محیط برنامه‌نویسی نرم افزار، گنجانده شده است. در ادامه طراحی نرم افزار انتخاب دبی‌سنچ، تصمیم گرفته شد تا با توجه به اینکه در شبکه گاز شهری استفاده از دبی‌سنچ‌های گازی دیافراگمی و توربینی کاربرد زیادی دارد، کارایی نرم افزار با توجه به بانک اطلاعاتی موجود در گزارش‌های سال ۸۶ (در زمینه کنتورهای دیافراگمی) و همچنین اطلاعاتی که در سال ۸۷ در مورد کنتورهای توربینی بدست آمد، ارتقاء داده شود. ضمناً در این فصل به معرفی شرکت‌های سازنده داخلی و خارجی دبی‌سنچ‌های توربینی گازی پرداخته می‌شود. علاوه بر این، کلیاتی از نرم افزار انتخاب کنتور طراحی شده و روش نصب آن آورده شده است.

۱.۲ گنجاندن بخش دبی‌سنچ دیافراگمی در نرم افزار

با توجه به محصولات شرکت‌های سازنده این دبی‌سنچ‌ها، این نوع دبی‌سنچ‌ها در محدوده‌های استاندارد یکسانی ساخته می‌شوند که در جدول ذیل این استانداردها آورده شده است.

جدول ۱-۲: مشخصات دبی سنج های دیافراگمی

Model	Temperature (c)	Maximum Pressure(bar)	Accuracy	Flow (m3/h)
G 1.6	-20 to 50	0.5 (steel) 1 (Aluminum)	± 3% for Qmin<Q<2Qmax ± 2% for 2Qmin<Q<Qmax	0.016-3
G 2.5	-20 to 50	0.5	± 3% for Qmin<Q<2Qmax ± 2% for 2Qmin<Q<Qmax	0.025-4
G 4	-20 to 50	0.5	± 3% for Qmin<Q<2Qmax ± 2% for 2Qmin<Q<Qmax	0.04-6
G 6	-20 to 50	0.5	± 3% for Qmin<Q<2Qmax ± 2% for 2Qmin<Q<Qmax	0.06-10
G 10	-20 to 50	0.5	± 3% for Qmin<Q<2Qmax ± 2% for 2Qmin<Q<Qmax	0.1-16
G 16	-20 to 50	0.5	± 3% for Qmin<Q<2Qmax ± 2% for 2Qmin<Q<Qmax	0.16-25
G 25	-20 to 50	0.5	± 3% for Qmin<Q<2Qmax ± 2% for 2Qmin<Q<Qmax	0.25-40
G 40	-20 to 50	0.5	± 3% for Qmin<Q<2Qmax ± 2% for 2Qmin<Q<Qmax	0.4-65
G 65	-20 to 50	0.5	± 3% for Qmin<Q<2Qmax ± 2% for 2Qmin<Q<Qmax	0.65-100
G 100	-20 to 50	0.5	± 3% for Qmin<Q<2Qmax ± 2% for 2Qmin<Q<Qmax	1-160
G4 (High Pressure)	-20 to 50	Up to 25	± 3% for Qmin<Q<2Qmax ± 2% for 2Qmin<Q<Qmax	0.04-6
G 6 (High Pressure)	-20 to 50	Other pressure on request	± 3% for Qmin<Q<2Qmax ± 2% for 2Qmin<Q<Qmax	0.06-10

بنابراین همانطور که در جدول ۱-۲ مشاهده می شود، در انتخاب دبی سنج های دیافراگمی پارامترهای دما، فشار، دبی و Accuracy را مدد نظر قرار داده شده است. حال قسمت مربوط به اضافه شدن این بخش در نرم افزار در ادامه آورده شده است.

همانطور که در گزارش اسفند ۸۶، صفحه اول نرم افزار نشان داده شده بود، در اینجا هم این صفحه در شکل ۱-۲ آمده است.



شکل ۱-۲: صفحه اول نرم افزار

با کلیک بر دکمه Input data صفحه input flow meter data ظاهر می شود (شکل ۲-۲). همانطور که در شکل پیداست، در قسمت ورود اطلاعات مربوط به دما، فشار و دبی این قابلیت به نرم افزار اضافه شده تا کاربر بتواند اطلاعات ورودی با واحدهای مختلف را وارد نماید.

The screenshot shows the 'Input Data' window with two main sections: 'Gas Physical Property' and 'Instrument Specifications'. In the 'Gas Physical Property' section, 'Gas Type' is set to 'Clean Gas' and 'Gas Gravity' is 0.6. In the 'Instrument Specifications' section, 'Pipe Size (Inch)' is 3, 'Accuracy of full Scale' is 1%, 'Rangeability' is 6, and 'Relative Cost' is 'Low'. Below these sections are 'Gas Flow Specifications' with tables for Flow Bound (SCFD), Pressure Bound (Psig), and Temperature Bound (F, K, C, R) with ranges from 500 to 700, 1 to 7, and -1 to 50 respectively. At the bottom are '>Main' and 'Next >>' buttons.

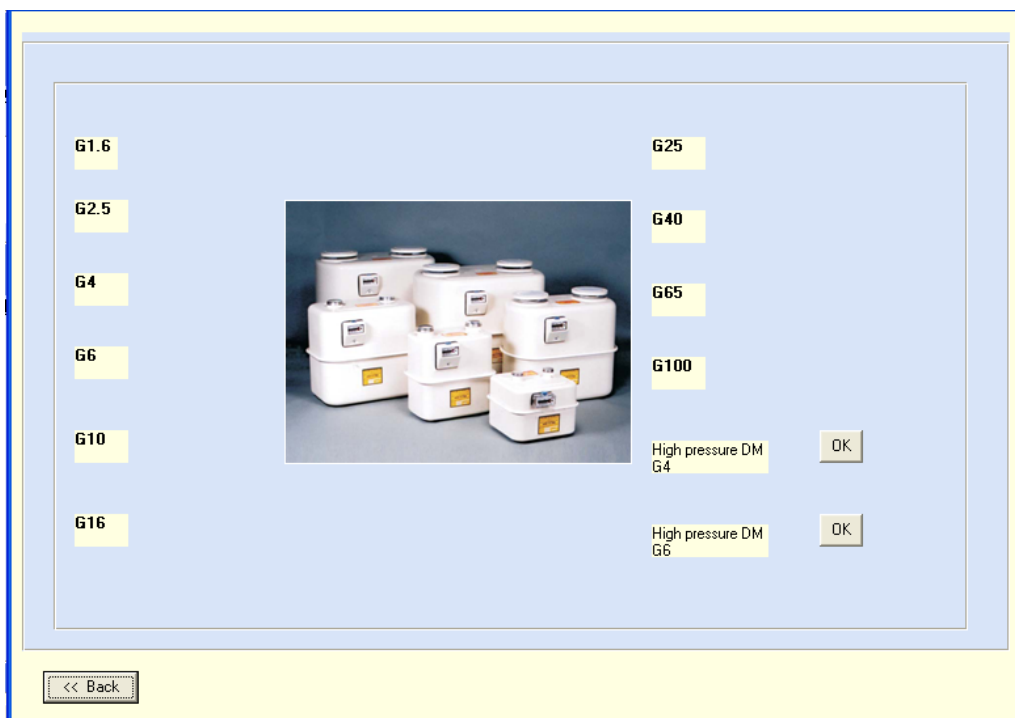
شکل ۲-۲: صفحه ورود اطلاعات عملیاتی دبی سنج

با وارد کردن اطلاعات ورودی و زدن دکمه Next کاربر وارد صفحه Flow Meter Type می شود(شکل ۳-۲). در این شکل همانطور که با دایره قرمز رنگ مشخص شده، بخش Selection مربوط به دبی سنج دیافراگمی آورده شده است. در این قسمت مانند بقیه دبی سنج ها اگر شرایط داده شده در صفحه Input Data، شامل شرایط عملیاتی دبی سنج مورد نظر باشد دکمه جلوی دبی سنج Yes می شود.

The screenshot shows the 'Flow Meter Type Selection' window with several categories of flow meters: Variable Area Flow Meter, Oscillatory Flow Meter, Mass Flow Meter, Turbine Flow Meter, Positive Displacement Flow Meter, Differential Pressure Flow Meter, Ultrasonic Flow Meter, Target Flow Meter, and Diaphragm Flow Meter. The 'Diaphragm Flow Meter' section is circled in red. It contains a note: 'Calculation for this flow meter based on, Flow, temperature and pressure in previous page'. At the bottom are '<< Back', '<< Start Choose Flow Meter>>', and 'Exit' buttons.

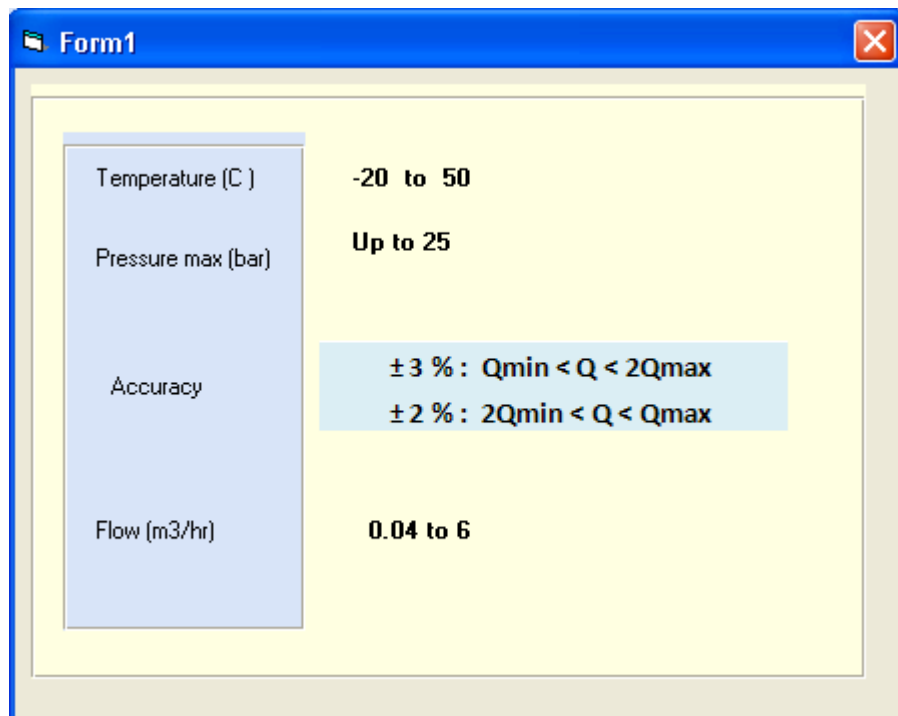
شکل ۳-۲: صفحه Flow Meter Type Selection

حال در این قسمت اگر کاربر بخواهد با توجه به شرایط عملیاتی مورد نظرش دبی سنج دیافراگمی مناسب را پیدا کند، دکمه Yes که جلوی کاربر نمایان شده را می فشارد. با زدن این دکمه (در شکل ۲-۳) با دایره قرمز رنگ مشخص شده است) کاربر وارد صفحه Yes Diaphragm Flow Meter می شود(شکل ۲-۴).



شکل ۲-۴: صفحه مربوط به دبی سنج های دیافراگمی انتخاب شده

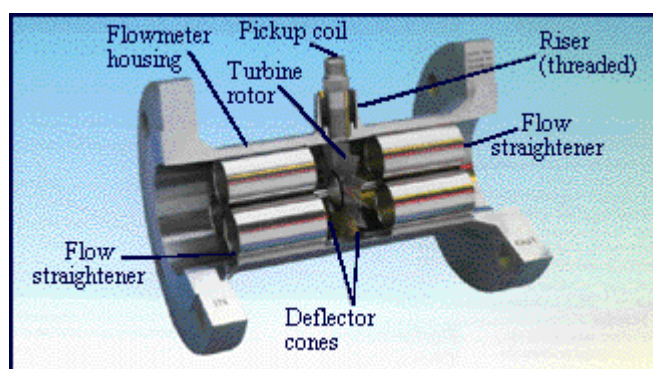
همانطور که در شکل پیداست، در روی مدل های پذیرفته شده توسط نرم افزار، دکمه OK ظاهر می شود. با فشردن دکمه OK ظاهر شده، دیگر خصوصیات دبی سنج انتخاب شده آورده می شود(شکل ۲-۵).



شکل ۲-۵: خصوصیات دبی سنج دیافراگمی انتخاب شده

۲.۲ دبی سنج توربینی

این نوع دبی سنج از نوع دبی سنج هایی است که دارای بخش متحرک می باشد و در دو نوع توربینی و paddlewheel می باشد. در نوع توربینی جهت پره ها عمود بر جهت جریان (شکل ۶-۲) و در نوع paddlewheel جهت پره ها در موازات جریان می باشد (شکل ۷-۲).



شکل ۶-۲: دبی سنج توربینی



شکل ۲-۷: دبی سنج از نوع Paddlewheel

در هر دو دبی سنج، سرعت سیال متناسب با سرعت زاویه‌ای سیال در نظر گرفته می‌شود. پره‌ها از جنسی انتخاب می‌شوند که در آنها مواد مغناطیسی بکار برده شده است. با چرخش پره‌ها به وسیله جریان سیال، ایجاد یک شار مغناطیسی در یک میدان مغناطیسی می‌شود (شکل ۸-۲). هر شار ایجاد پالسی می‌کند که با اندازه‌گیری تعداد پالس‌ها به وسیله یک سنسور، سرعت سیال محاسبه می‌شود.



شکل ۲-۸: نمایی از طرز عملکرد دبی سنج توربینی

از مزایای این دبی سنج می‌توان گفت:

- برای بازه وسیعی از مقدار جریان کاربرد دارد.
- دقت اندازه‌گیری در آن بسیار بالا است.

- برای سیالات مختلف با جنس های متنوع ساخته می شود.
- به خاطر سبکی پره ها، در شرایطی که جریان ناگهان تغییر می کند امکان اندازه گیری دقیق وجود دارد.

از معایب آن، ایجاد افت فشار در جریان سیال می باشد.

۳.۲ شرکت های مختلف ارائه دهنده دبی سنج های توربینی

در گزارش اسفندماه ۸۶ محصولات شرکت های مختلف سازنده دبی سنج های دیافراگمی معرفی گردید. برای تکمیل نرم افزار و گنجاندن انواع مدل دبی سنج های شرکت های سازنده مختلف، در اینجا معرفی شرکت های سازنده دبی سنج توربینی انجام می گردد. از جمله شرکت های سازنده در زمینه دبی سنج های توربینی عبارتند از:

- شرکت توس و متک
- DMS
- Emerson
- IMAC
- FMC
- Elster
- BELL
- Flow Technology
- Tancy Investment Group
- MUELLER
- HOFFER
- Equimeter
- RMG
- Instromet
- ACTARIS
- i-Meter

۱.۳.۲ شرکت توس و متک

این شرکت با بهره‌گیری از کادری متخصص و تجهیزات نرم افزاری و سخت افزاری مورد نیاز، در زمینه تولید کنترلرهای توربینی گاز و دیگر محصولات مرتبط با خدمات اندازه‌گیری از جمله تصحیح کننده‌های الکترونیکی حجم/جریان گاز، با مشارکت شرکت Vemm tec آلمان (که خود دارنده تکنولوژی تولید کنترلرهای گاز Daniel آمریکا می‌باشد) به عنوان سهامدار خارجی در قالب شرکت Joint Venture فعالیت می‌نماید.

دبی سنج‌های توربینی گاز (International Gas Turbine Meter) IGTM دارای دو مدل CT و IM می‌باشد. دبی سنج‌های IGTM-CT برای دقت‌های بالا و نوع IGTM-IM دارای قیمتی اقتصادی‌تر و دقتی قابل قبول هستند. محدوده دقت دو مدل در جدول ۲-۲ آمده است.

جدول ۲-۲: محدوده دقت دبی سنج‌های شرکت توس و متک

Model	Accuracy%	
IGTM-CT	1%	for 0.2 Qmax - Qmax±
	2%	for Qmin- 0.2 Qmax±
IGTM-IM	0.5%	for 0.2 Qmax - Qmax±
	1%	for Qmin- 0.2 Qmax±

محصولات این شرکت شامل دبی سنج‌های توربینی در اندازه‌های "۲، "۳، "۴، "۶ و کلاس‌های #۶۰۰ و #۱۵۰ محدوده اندازه‌گیری G40 الى G6500 می‌باشد که مربوط به محدوده جریان حجمی (m3/hr) - 10000(m3/hr) 8 بوده قابل تحويل می‌باشند. این فلومترها از جنس فولاد کربنی یا فولاد ضد زنگ با فلنچ‌های ANSI 150-600RF و DIN 100-PN100 و PN10-PN100 در محدوده ساخته می‌شود.

محدوده استاندارد دبی سنج‌های IGTM (Ranreability) برای سایزهای بالاتر از (3") DN80 (3") سایزهای کوچکتر از 3 در طراحی‌های خاص یا با گازهای با جرم حجمی کوچکتر از 0.6 محدوده اندازه‌گیری کاهش می‌یابد. به طوری که دبی سنج‌های با محدوده تغییر 1:30 یا بالاتر، طبق سفارش قابل ساخت می‌باشد.

تحت شرایط عادی دبی سنج‌های IGTM جهت کار در محدوده دمائی 10°C - 60°C طراحی شده‌اند.

۴.۳.۲ شرکت DMS

شرکت DMS یک شرکت اروپائی است که در زمینه سیستم‌های اندازه‌گیری انرژی، گاز و آب فعالیت می‌کند، مشخصات این شرکت در ذیل آورده شده است.

The Lodge, Mansfield Road, Eastwood, Nottingham NG16 3AQ
 Tel: 01773 534 555 Fax: 01773 534 666
<http://www.dmsltd.com/Diaphragm/58>
 Email: sales@dmsltd.com

مدل‌های مختلف دبی‌سنج توربینی این شرکت عبارتنداز:

• سری CPT

شکل این سری دبی‌سنج‌ها در زیر آورده شده است.



شکل ۹-۲: دبی‌سنج سری CPT شرکت DMS

مشخصات مدل‌های مختلف این دبی‌سنج هم در ذیل داده شده است.

• مدل CPT50

Available Models:

CPT50/Q40 – 6-65m³/hr Flow Rate

CPT50/Q65 – 10-100m³/hr Flow Rate

Connection: DN50 Wafer Pattern Connection

Pulse Output Standard with Meter

• مدل CPT80

Available Models:

CPT80/Q100 – 8-160m³/hr Flow Rate

CPT80/Q160 – 13-250m³/hr Flow Rate

Connection: DN80 Wafer Pattern Connection

Pulse Output Standard with Meter

• مدل CPT100

Available Models:

CPT100/Q160 – 13-250m³/hr Flow Rate

CPT100/Q250 – 20-400m³/hr Flow Rate

CPT100/Q400 – 32-600m³/hr Flow Rate

Connection: DN100 Wafer Pattern Connection

Pulse Output Standard with Meter

• مدل CPT150

Available Models:

CPT150/Q400 – 32-600m³/hr Flow Rate

CPT150/Q650 – 50-1000m³/hr Flow Rate

CPT150/Q1000 – 80-1600m³/hr Flow Rate

Connection: DN150 Wafer Pattern Connection

Pulse Output Standard with Meter

• سری EQZ

شکل این سری دبی سنج ها در زیر آورده شده است.



شکل ۱۰-۲: دبی سنج سری EQZ DMS شرکت

مشخصات مدل های مختلف این دبی سنج در ذیل داده شده است.

• مدل EQZ40

Available Models:

EQZ40/Q16 – 3-25m³/hr Flow Rate

EQZ40/Q25 – 4-40m³/hr Flow Rate

EQZ40/Q40 – 5-65m³/hr Flow Rate

EQZ40/Q65 – 6-100m³/hr Flow Rate

Connection: DN40 1.5" Screwed Connection

Pulse Output Standard with Meter

EQZ50 مدل •

Available Models:

EQZ50/Q16 – 3-25m³/hr Flow Rate

EQZ50/Q25 – 4-40m³/hr Flow Rate

EQZ50/Q40 – 5-65m³/hr Flow Rate

EQZ50/Q65 – 6-100m³/hr Flow Rate

EQZ50/Q100 – 10-160m³/hr Flow Rate

Connection: DN50 2" Screwed Connection

PN16 Flanged Connection

Pulse Output Standard with Meter

EQZ80 مدل •

Available Models:

EQZ80/Q65 – 10-100m³/hr Flow Rate

EQZ80/Q100 – 12-160m³/hr Flow Rate

EQZ80/Q160 – 15-250m³/hr Flow Rate

EQZ80/Q250 – 20-400m³/hr Flow Rate

Connection: DN80 3" Flanged Connection

Pulse Output Standard with Meter

EQZ100 مدل •

Available Model:

EQZ100/Q65 – 13-160m³/hr Flow Rate

EQZ100/Q100 – 15-250m³/hr Flow Rate

EQZ100/Q160 – 20-400m³/hr Flow Rate

EQZ100/Q250 – 25-650m³/hr Flow Rate

Connection: DN80 3" Flanged Connection

Pulse Output Standard with Meter

Lx & Gx مدل •

از بین این مدل‌ها، مدل Lx برای اندازه گیری جریان مایعات کاربرد بیشتری دارد و Gx صرفا

برای گازها استفاده می‌شود. شکل این سری دبی‌سنج‌ها در زیر آورده شده است.



شکل ۱۱-۲: دبی سنج سری DMS شرکت Lx & Gx

• مدل TBX & TBZ

شکل های این سری دبی سنج ها در زیر آورده شده است.



شکل ۱۲-۲: دبی سنج سری TBZ شرکت DMS



شکل ۱۳-۲: دبی سنج سری TBX شرکت DMS

۳.۳.۲ شرکت Emerson

شرکت Emerson یک کمپانی آمریکایی است که در زمینه سیستم‌های اندازه‌گیری گاز فعالیت می‌کند. این شرکت دارای ۲۶۵ شعبه در سرتاسر دنیا است. مشخصات دو شعبه این شرکت در ذیل آورده شده است.

Emerson U.S. and World Headquarters
 Emerson Electric Co.
 8000 West Florissant Avenue, P.O. Box 4100
 St. Louis MO 63136
 United States
 Phone: +1 314 553 2000
 Web: www.emerson.com

Emerson Middle East Corporate Headquarters
 Emerson Electric Middle East
 P.O. Box 17034, Jebel Ali Free Zone
 Dubai
 United Arab Emirates
 Phone: +971 4 883 5828

مدل‌های مختلف دبی‌سنچ توربینی این شرکت عبارتنداز:

Daniel® Gas Turbine Flow meter •

مشخصات این مدل در ذیل داده شده است.

Key features/benefits:

- Wide rangeability
- maintaining accuracy with different flow rates
- Fewer moving parts
- providing lower maintenance and downtime
- Two standard independent pulse outputs
- External lubrication system

Key industries/applications:

- Custody transfer
- City gates
- Power plants
- Distribution



شکل ۱۴-۲: دبی سنج Emerson Daniel® Gas Turbine شرکت

• سری Daniel® Mini Gas Turbine Flow meter

مشخصات این مدل در ذیل داده شده است.

Key features/benefits:

- Small size
- light weight
- easier installation in limited space applications
- High resolution
- High repeatability
- High rangeability
- Vertical or horizontal installation

Key industries/applications:

- Gate stations for measuring lowest peak loading
- Compressor stations
- Fuel gas



شکل ۱۵-۲: دبی سنج Emerson Daniel® Mini Gas Turbine شرکت

۴.۳.۲ شرکت IMAC

IMAC^۱ یک شرکت آمریکائی در زمینه ساخت دبی سنج های گازی می باشد. مشخصات آن در ذیل آورده شده است.

IMAC is a stocking distributor of American Meter Gas Meters. Large Quantities are kept in stock at all times.

History:

IMAC Systems, Inc. was established in 1978 by Donald E. Kohart Sr. with the help of Junius (Jay) Wilson, William Somers and Robert Calhoun. Five expansions and 25+ years later IMAC Systems, Inc. owns and occupies a modern 33,000 square ft. facility on the Delaware River in Tullytown, PA.

<http://www.imacsystems.com>

انواع دبی سنج های این شرکت در ذیل معرفی می گردد.

American Meter Turbine Gas Meter •

مشخصات اصلی این مدل در ذیل داده شده است.

- Capacity: 500-140,000 scfh
- Max Operating Pressure: 175 PSIG
- Applications: Indoor or outdoor use



شکل ۱۶-۲: دبی سنج American Meter Turbine Gas شرکت IMAC

Q-Series •

مشخصات اصلی این مدل در ذیل داده شده است.

- High capacity 4" or 6" turbine gas meter
- Environmental temp. range 20°F to 140°F
- Gas temp. range 0-120°F
- Heavy duty construction

^۱ International measurement & control system

- ANSI 150 flanged connections
- No-load magnetic coupling
- Maintenance free
- Mounts in vertical or horizontal orientation
- Dual low frequency pulse output

Q-400 Gas Meter:

- Capacity: 1000-25000 scfh
- Max Operating Pressure: 175 PSIG
- Applications: Indoor or outdoor use



شکل ۱۷-۲: دبی سنج Q-Series شرکت IMAC

SZ Series •

مشخصات اصلی این مدل در ذیل داده شده است.

- Maintenance free
- Lightweight, aluminum construction
- Operating Temp. 0°F - +140°F
- Rangeability 20 - 1
- Permanently lubricated bearings
- Low frequency / high frequency pulse output standard
- Rugged mechanical index rotatable through 360°
- Self Supporting Line Mount Design
- Mount in Any Position
- Capacity: 70-15,000 scfh
- Max Operating Pressure: 175 PSIG
- Applications: Indoor or outdoor use



شکل ۱۸-۲: دبی سنج IMAC شرکت SZ Turbine Gas

High Capacity Turbine Meters •

مشخصات اصلی این مدل در ذیل داده شده است.

- Capacity: High
- Max Operating Pressure: N/A
- Applications: Indoor or outdoor use



شکل ۱۹-۲: دبی سنج High Capacity Turbine شرکت IMAC

Rebuilt Turbine Gas Meter •

مشخصات اصلی این مدل در ذیل داده شده است.

- American Turbine Meters in all sizes
- Sensus (formerly: Rockwell / Equitable / Pittsburg / EMCO / Invensys / Equimeter)
- Capacity: 500 to 140,000 SCFH
- Max Operating Pressure: 175 PSIG
- Applications: Indoor or outdoor use



شکل ۲۰-۲: دبی سنج IMAC شرکت Rebuilt Turbine Gas

۵.۳.۲ شرکت FMC

یک شرکت آمریکائی دیگر در زمینه ساخت دبی سنج های گازی می باشد. مشخصات آن در ذیل آورده شده است.

Headquarters

FMC Technologies
1803 Gears Rd

Houston TX 77067

Phone: 281 591 4000

Fax: 281 591 4102

Email: corporate.info@fmcti.com

Chicago Office

200 E Randolph

Chicago IL 60601

Phone: 312 861 6000

Fax: 312 861 6176

Email: corporate.info@fmcti.com

انواع دبی سنج های این شرکت در ذیل معرفی می گردد.

• سری GT

مشخصات اصلی این مدل در ذیل داده شده است.

Features:

- Three Rotors
- One Body suits
- more applications
- without reduction or expansion fittings.
- One Piece Cartridge Internals with integral flow straighteners
- ease of maintenance.
- Tungsten Carbide Bearing System
- long service life.
- Stainless Steel/Tungsten Carbide Construction
- corrosion-free service



شکل ۲-۲۱: دبی سنج سری GT شرکت FMC

• سری W

مشخصات اصلی این مدل در ذیل داده شده است.

Features/Benefits:

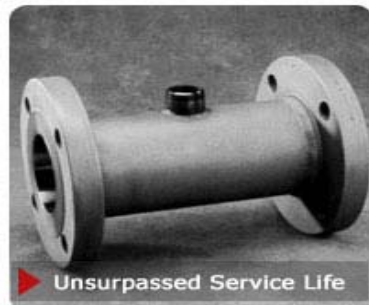
- Rotor Supports - have up and downstream flow straightening vanes to enhance accuracy.
- Helical Cast Rotor - in a heavy duty stainless steel (CD4MCu) design for durability and long service life.
- Journal Bearings and Thrust Balls - are Tungsten Carbide and provide long service life in severe applications.
- Stainless Steel Body and Wetted Parts - provide years of corrosion free service.

Options:

- Rulon Bearins - for highly acidic or caustic solutions.
- Extended Temperature Range - from -200°F to 800°F (-130°C to 426°C).
- Process Connections - available include flanged MNPT (1/2" and 3" only), grooved (victaulic), BSP, Wafer, and others.

General Specifications:

- Linearity_{1,2}: $\pm 0.5\%$ Over-stated Range.
- Repeatability_{1,2}: $\pm 0.05\%$.
- Maximum Over range: 125% of flow rate for intermittent periods.



شکل ۲-۲: دبی سنج سری W شرکت FMC

WC/WG • سری

مشخصات اصلی این مدل در ذیل داده شده است.

Linearity:

- WC: $\pm 0.5\%$
- WG: $\pm 1\%$

Repeatability:

- $\pm 0.05\%$

Pressure Rating:

- 3/4" NPT 7,500 psi 1.0" - 2.0" NPT 5,000 psi *Flange Class determines rating for flanged meters.

Temperature Rate of Bearing:

- Tungsten -40° F to 300° F (-40° C to 149° C) Rulon -40° F to 250° F (-40° C to 121° C)
- High Temperature -200° F to 800° F (-130°C to 426°C)

Connections:

- W3 - Threaded
- W4 - Flanged ANSI Raised Face
- W6 - Grooved
- W9 - Wafer (2" only)



شکل ۲-۳: دبی سنج سری WC/WG شرکت FMC

WH سری •

مشخصات اصلی این مدل در ذیل داده شده است.

Features/Benefits:

- Rotor Supports – heavy-duty upstream and downstream flow straightening for increased accuracy and durability.
- Helical Cast Rotor – cast from a highly wear-resistant stainless steel for durability and long service life.
- Journal Bearings and Thrust Balls – Tungsten Carbide bearing surfaces are extremely durable and reliable.
- All Stainless Steel Construction – All wetted parts are highly corrosion resistant stainless steel ensuring years of corrosion free service.
- Also available in wafer style.

General Specifications:**End Connection/Pressure Rating (CWP):**

- 1" NPT..... 5000 psig (34,473 Pa) 1" & 2" wafer as per connection flange rating to ANSI 1500 lbs

Temperature Rating:

- -40°F to 228°F (-40°C to 109°C)

*Limited by pick-up coil; consult factory for temperatures outside this range.

Linearity:

- $\pm 1.0\%$ over stated range

Repeatability:

- $\pm 0.05\%$

Maximum Overrange:

- 125% of flow rate for intermittent periods



شکل ۲-۲: دبی سنج سری WH شرکت FMC

۶.۳.۲ شرکت Elster

شرکت Elster یک کمپانی آلمانی است، که در زمینه سیستم‌های اندازه‌گیری گاز فعالیت می‌کند. دارای ۳۸ شعبه در سرتاسر دنیا است و مشخصات شعبه ایران این شرکت در ذیل آورده شده است.

Iran

Pilary Co. Ltd.No. 47, Miremad St.Mottahary Ave.Tehran 15878-33113 Iran

P.O.Box: 15815-1135

Tel. +98 21 8875-5664 / +98 21 8875-6344

Fax +98 21 8875-1857

info@pilary.com

ACC & EI Co. 46 Keshavarz Blvd. Suite #2Tehran 14167 Iran

Moe Alizadeh

Tel. +98 21 892 1621

Fax +98 21 892 1620/+98 21 890 4755

info@elster.com

www.elster-instromet.com

انواع دبی‌سنج‌های این شرکت در ذیل معرفی می‌گردد.

Series SM-RI •

SM-RI-X مدل •

مشخصات اصلی این مدل در جدول زیر داده شده است.

جدول ۳-۲: مشخصات دبی سنج مدل SM-RI-X

Meter type		SM-RI-X
Diameter	mm inch	50 - 750 2 - 30
Flow range size		G 40 - G 25000
Qmax	m ³ /h cfh	65 - 40000 2300 - 1,400,000
Rangeability	p = 0 bar g p = 20 bar g p = 50 bar g	1:20 1:50 1:100
Max. error of reading (Qt - Qmax)	1 bar g (Qt = 0.2 Qmax)	±0.5 %
Max. error of reading (Qt - Qmax)	> 5 bar g	±0.5 %
Repeatability	% of reading	< 0.1 %
Upstream straight pipe		2 DN
Downstream straight pipe		2 DN
Type approval		yes
Body material		spheroidal cast iron (up to PN 16), steel
Meter body length		3 DN
Flange ratings	PN ANSI	10 - 100 125 - 900
Pressure range	MPa g bar g psi g	0 - 10 0 - 100 0 - 1450
Temperature range	ambient process	-10 to +65 °C -10 to +65 °C
Ingress protection		IP 44 / IP 67
Index	standard optional	multi-index Encoder S1
LF-sensor	standard	1
HF-sensor	optional	2
Lubrication	standard optional optional	oil pump automatical oil injection

• مدل SM-RI-HT

مشخصات اصلی این مدل در جدول ذیل داده شده است.

جدول ۲-۴: مشخصات دبی سنج مدل SM-RI-HT

Meter type		SM-RI-HT
Diameter	mm inch	150 - 200 6 - 8
Flow range size		G 1000 - G 1600
Qmax	m ³ /h cfh	1600 - 2500 56000 - 88000
Rangeability	p = 0 bar g	1:20
Max. error of reading (Qt - Qmax)	1 bar g (Qt = 0.2 Qmax)	±0.5 %
Repeatability	% of reading	< 0.1 %
Upstream straight pipe		2 DN
Downstream straight pipe		2 DN
Type approval		acc. ISO 9951
Body material		spheroidal cast iron (up to PN 16), steel
Meter body length		3 DN
Flange ratings	PN ANSI	100 600
Pressure range	MPa g bar g psi g	0.8 - 8.95 8 - 89.5 115 - 1300
Temperature range	ambient process	-10 to +65 °C -10 to +170 °C
Ingress Protection		IP 67
LF-sensor	standard	-
HF-sensor	optional	2
Lubrication		oil pump

SM-RI-P مدل •



شکل ۲-۵: دبی سنج های Elster Series SM-RI شرکت

مشخصات اصلی این مدل در جدول ذیل داده شده است.

جدول ۲-۵: مشخصات دبی سنج مدل SM-RI-P

Meter type		SM-RI-P
Diameter	mm inch	50 - 250 2 - 10
Flow range size		G 40 - G 2500
Qmax	m ³ /h cfh	65 - 4000 5800 - 141,000
Rangeability	p = 0 bar g p = 20 bar g p = 50 bar g	1:20 1:50 1:100
Max. error of reading (Qt - Qmax)	1 bar g (Qt = 0.2 Qmax)	±0.5 %
Repeatability	% of reading	< 0.1 %
Upstream straight pipe		2 DN
Downstream straight pipe		2 DN
Type approval		yes
Body material		steel ASTM A 350 LF2
Meter body length		range dependant
Flange ratings	PN ANSI	10 - 100 125 - 600
Pressure range	MPa g bar g psi g	0 - 13 0 - 130 0 - 1885
Temperature range	ambient process	-10 to +65 °C -20 to +65 °C
Ingress Protection		IP 61
LF-sensor	standard	-
HF-sensor	optional	2
Lubrication	standard	2 x oil pump



شکل ۲-۲: دبی سنج سری TRZ2 شرکت Elster

مشخصات اصلی این سری در جدول زیرداده شده است.

جدول ۲-۶: مشخصات دبی سنج مدل TRZ2

Type		TRZ2
Diameter	mm inch	50 - 150 2 - 6
Flow range size	metric imperial	G 65 - G 1000
Qmax	m ³ /h cfh	100 - 1600 3500 - 56500
Rangeability	p = 0 bar g	1:20 (1:30)
Max. error of reading (Qt - Qmax)	1 bar g (Qt = 0.2 Qmax)	±1 %
Max. error of reading (Qt - Qmax)	> 5 bar g (Qt = 0.2 Qmax)	±0.5 %
Repeatability	% of reading	<0.1 %
Upstream straight pipe		2 DN
Downstream straight pipe		2 DN
Type approval		yes
Body material		spheroidal graphite cast iron
Meter body length		3 DN
Flange ratings	PN ANSI	10 - 100 150 - 600
Pressure range	MPa g bar g psi g	0 - 10 0 - 100 0 - 1450
Temperature range	ambient process	-20 to +70 °C -20 to +60 °C
Lubrication	standard optional	permanent oil pump

• سری Q75

مشخصات اصلی این سری در ذیل آورده شده است

- Pressure ratings: ANSI 125 to ANSI 600 and ND 10 to ND 100. Higher pressure ratings on request.
- Nominal diameters: 50 mm (2") to 600 mm (24"). Larger sizes on request
- Flow rates: Up to 25,000 m/h (900,000 cfh) (line conditions).
- Measurement range: 1: 20 at atmospheric conditions*.
- Installation: Up to 200 mm (8") both vertical and horizontal; over 200 mm horizontal only.
- Repeatability: better than $\pm 0.1\%$.
- Measuring accuracy: Between q and $0.2 q \pm 2\%**$ Between $0.2 q$ and $q \pm 1\%**$.
- Temperature range: - 10°C to + 65°C / 150 F to 150 o F. Other emperature ranges on request.



شکل ۲-۲: دبی سنج سری Q75 شرکت Elster

• سری Q

مشخصات اصلی این سری در ذیل داده شده است

- Rangeability : 1 : 20
- Flow ranges : 6 - 1,600 m³/h (210 - 56,500 ft³/h)
- Diameters : DN 50 - 150
- Pressure rates : PN 10 - 100, ANSI 150 – 600



شکل ۲۸-۲: دبی سنج سری Q شرکت Elster

• سری QA / QAe

مشخصات اصلی این سری در ذیل داده شده است

- Rangeability: up to 1:20
- Flow ranges: 1.6 -1,600 m³/h (56 - 56,000 ft³/h)
- Diameters: DN 25 - 150
- Pressure rates: PN 4, PN 16, ANSI 150
- Gas temperature QA: -10°C to +60°C (14° to 140°F)
- Ambient temperature QA: -20°C to +70°C (-4° to 158°F)
- Ambient- / gas temperature QAe: 0°C to +50°C (32° to 122°F)



شکل ۲۹-۲: دبی سنج سری QA / QAe شرکت Elster

• سری Flow Conditioners

مشخصات اصلی این سری در ذیل داده شده است.

- Flow-optimized
- Pressure levels: PN 10 - ANSI 600
- Nominal diameters: DN 50 - DN 400
- Gas-/ambient temperature -20°C C to +60°C
- Two different designs

-types K 2 and K 3 in a wedge attachment

-types BLN with 1 and 2 plates

- Type BLN can be supplied in a version which would be install- led in the pipe any additional attachments in without using the pipe
- Simple installation
- Can be mounted in any position In accordance with DIN EN ISO 5167-1
- Alternative: pipe bundle flow conditioners on request



شکل ۲-۳۰: دبی سنج سری Flow Conditioners شرکت Elster

۷.۳.۲ شرکت BELL

شرکت BELL یک کمپانی انگلیسی است که در زمینه سیستم‌های اندازه‌گیری گاز فعالیت می‌کند. مشخصات این شرکت در ذیل آورده شده است.

Bell Flow Systems Ltd, registered in England and Wales, registered number 3386045
Registered Address: Unit 7 Swan Business Centre Osier Way Buckingham Bucks
MK,181TB,Great,Britain

+44 (0) 1280 817304 +44 (0) 1280 817185

mail@bellflowsystems.co.uk

مدل‌های مختلف این شرکت از مواد مختلفی از جمله: PVC, PVDF, Nylon, Stainless Steel, Aluminum and bronze ساخته شده‌اند. بنابراین علاوه برای کاربردهای استاندارد به منظور مواد خورنده در محیط‌های ایمن و پرخطر مناسب هستند. دبی سنج‌های توربینی این شرکت به سه دسته تقسیم می‌شوند. حال انواع مدل‌های این شرکت معرفی می‌گردد.

GFT-Turbine-Gas-Meter-models •

TXB-Digital-Turbine-Gas-Meter-models •

Quantometer-Gas-Flow-Turbine-Meter-models •

این مدل ها شامل محصولات مختلف می باشند که در جدول ذیل داده شده است.

جدول ۷-۲: محصولات مختلف Turbine-Gas-Meter شرکت Bell

مدلها	تعداد محصولات
GFT-Turbine-Gas-Meter-models	19 Products
Screw Connection Gas Flow Turbines	7 Products
Flange Connection Gas Flow Turbines	7 Products
Wafer Connection Gas Flow Turbine	5 Products
TXB-Digital-Turbine-Gas-Meter-models	7 Products
Quantometer-Gas-Flow-Turbine-Meter-models	14 Products
CPT Gas Quantometers	14 Products

مشخصات اصلی دبی سنج های GFT Gas Turbine در ذیل آمده است.

- ساخته شده از St/Steel
- صحت(در محدوده خطی): + / - 2.0 % (ضمناً بهتر از + / - ۰.۵٪ وقتی از "F112-P") (Rate/Totaliser استفاده شود)
- تکرار پذیری(Repeatability): + / - 0.2 %
- محدوده دمایی: - 30°C to + 120°C (350°C Option)
- سایر مشخصات محصولات مختلف از سری مدل های GFT-Turbine-Gas-Meter در ذیل آمده است.

جدول ۸-۲: محصولات مختلف شرکت GFT-Turbine-Gas-Meter

محصولات	مشخصات
Screw Connection Gas Flow Turbines	
<u>½" BSP Gas Flow Turbine</u>	St/Steel Construction, Screwed Connections 0.3 - 4.2 m ³ /Hr
<u>½" BSP Gas Flow Turbine</u>	St/Steel Construction, Screwed Connections 0.5 - 7 m ³ /Hr
<u>¾" BSP Gas Flow Turbine</u>	St/Steel Construction, Screwed Connections 1 - 14 m ³ /Hr
<u>¾" BSP Gas Flow Turbine</u>	St/Steel Construction, Screwed Connections 2.5 - 35 m ³ /Hr
<u>1" BSP Gas Flow Turbine</u>	St/Steel Construction, Screwed Connections 5 - 70 m ³ /Hr
<u>1½" BSP Gas Flow Turbine</u>	St/Steel Construction, Screwed Connections 10 - 140 m ³ /Hr
<u>2" BSP Gas Flow Turbine</u>	St/Steel Construction, Screwed Connections 18 - 252 m ³ /Hr
Flange Connection Gas Flow Turbines	
<u>¾" Flanged Gas Flow Turbine</u>	St/Steel Construction, Flanged Connections 2.5 - 35 m ³ /Hr
<u>1" Flanged Gas Flow Turbine</u>	St/Steel Construction, Flanged Connections 5 - 70 m ³ /Hr
<u>1½" PN16 Flanged Gas Flow Turbine</u>	St/Steel Construction, Flanged Connections 10 - 140 m ³ /Hr
<u>2" Flanged Gas Flow Turbine</u>	St/Steel Construction, Flanged Connections 18 - 252 m ³ /Hr
<u>3" Flanged Gas Flow Turbine</u>	St/Steel Construction, Flanged Connections 35 - 490 m ³ /Hr
<u>4" Flanged Gas Flow Turbine</u>	St/Steel Construction, Flanged Connections 70 - 980 m ³ /Hr
<u>6" Flanged Gas Flow Turbine</u>	St/Steel Construction, Flanged Connections 140 - 1960 m ³ /Hr

<u>Wafer Connection Gas Flow Turbine</u>	
<u>¾" Wafer Style Gas Flow Turbine</u>	(43 mm R.F. Diameter) St/Steel Construction, Wafer Fitting 2.5 - 35 m ³ /Hr
<u>1" Wafer Style Gas Flow Turbine</u>	(52 mm R.F. Diameter) St/Steel Construction, Wafer Fitting 5 - 70 m ³ /Hr
<u>1½" Wafer Style Gas Flow Turbine</u>	(73 mm R.F. Diameter) St/Steel Construction, Wafer Fitting 10 - 140 m ³ /Hr
<u>2" Wafer Style Gas Flow Turbine</u>	(92 mm R.F. Diameter) St/Steel Construction, Wafer Fitting 18 - 252 m ³ /Hr
<u>3" Wafer Style Gas Flow Turbine</u>	(127 mm R.F. Diameter) St/Steel Construction, Wafer Fitting 35 - 490 m ³ /Hr

شکل مدل های [¾" BSP](#), [½" BSP](#), [1" BSP](#) برای نمونه در زیر داده شده است.



شکل ۳۱-۲: مدل های مختلف دبی سنج های [½" BSP](#), [¾" BSP](#) شرکت Bell

شکل مدل های [2" BSP](#), [1½" BSP](#), [1" BSP](#) برای نمونه در زیر داده شده است.



شکل ۳۲-۲: مدل های مختلف دبی سنج های [2" BSP](#), [1½" BSP](#), [1" BSP](#) شرکت Bell

مشخصات عمده دبی سنج های TXB Gas Turbine در ذیل آمده است.

- نمایشگر دیجیتالی LCD دار (Rate/Total/Re-set Total)
- امکان خروجی پالسی (Open Collector) (امکان کنترل صفحه نمایشگر امکان پذیر است)
- افت فشار پایینتر نسبت به مدل های رقیب به کمک IGE/UP/2، کمتر از 45Pa در 50m3/h
- دقت بالا ($\pm 1\%$ حجمی در حالت full scale)
- قابل نصب در هر موقعیتی هستند
- دارای باطری لتیمی با ۷ سال کارکرد مداوم
- همراه با کارایی تصحیح دما/فشار (اختیاری)
- متراکم و وزن سبک
- قابل راه اندازی با جریانات کمتر از 0.5m3/h تا 300m3/h
- مناسب برای گاز طبیعی، LPG، هوا و غیره

سایر مشخصات محصولات مختلف دبی سنج های از نوع مدل های TXB-Digital-Turbine- Gas-Meter در ذیل آمده است.

جدول ۹-۲: محصولات مختلف TXB-Digital-Turbine-Gas-Meter شرکت Bell

محصولات	مشخصات
3/4" Screwed Digital Gas Flow Turbine	Qmin 1.5 Qmax 30 m3/h Record flow rates less than 0.05m3/h Aluminium Alloy Construction
1" Screwed Digital Gas Flow Turbine	Qmin 1.5 Qmax 30 m3/h Aluminium Alloy Construction
1 1/4" Screwed Digital Gas Flow Turbine	Qmin 1.5 Qmax 30 m3/h Aluminium Alloy Construction
1 1/2" Screwed Digital Gas Flow Turbine	Qmin 1.5 Qmax 30 m3/h Aluminium Alloy Construction
2" Screwed Digital Gas Flow Turbine	Qmin 10 Qmax 100 m3/h Aluminium Alloy Construction
2" Flanged Digital Gas Flow Turbine	Qmin 12.5 Qmax 150 m3/h Aluminium Alloy Construction
3" Flanged Digital Gas Flow Turbine	Qmin 30 Qmax 300 m3/h St/St Construction

شکل مدل‌های ۳/۴" Screwed, 1" Screwed, 1 1/4" Screwed, 1 1/2" Screwed, 2" Flanged
برای نمونه در زیر داده شده است.



شکل ۲-۳۳: مدل‌های مختلف دبی‌سنج‌های Bell 2" Screwed, 2" Flanged شرکت "TBX" برای نمونه در زیر داده شده است.

شکل مدل‌های "۳" Flanged برای نمونه در زیر داده شده است.



شکل ۲-۳۴: مدل‌های مختلف دبی‌سنج‌های "۳" Flanged شرکت "Bell" برای نمونه در زیر داده شده است.

دبی‌سنج‌های گازی توربینی CPT Quantometro با میزان میزان چرخش پره خود که متناسب با میزان نرخ جریان گاز می‌باشد، کار می‌کنند. مشخصات اصلی این دبی‌سنج‌ها در ذیل آمده است.
دارای پره‌های آلومینیومی هستند که این مسئله باعث ایجاد تیغه‌های باریکتر و دارای دقت بالاتر در مقایسه با پره‌های پلاستیکی بیشتر مدل‌های رقیب می‌شود.

دارای کارایی بهتر و افت فشار پایین‌تری در مقایسه با سایر دبی‌سنج‌های رقیب، به کمک IGE/UP/2، هستند.

جدول ۱۰-۲: مدل های مختلف Quantometer-Gas-Flow-Turbine-Meter

مشخصات	محصولات
SKU: CPT50G40 Qmin 6 Qmax 65 m3/h price: UK£825.00	Quantometro Mechanical Gas Meter 50mm
SKU: CPT50G65 Qmin 10 Qmax 100 m3/h price: UK£825.00	Quantometro Mechanical Gas Meter 50mm
SKU: CPT80G100 <u>Qmin 8 Qmax 160 m3/h</u> price: UK£908.00	Quantometro Mechanical Gas Meter 80mm
SKU: CPT80G250 Qmin 20 Qmax 400 m3/h UK£908.00	Quantometro Mechanical Gas Meter 80mm
SKU: CPT80G160 Qmin 13 Qmax 250 m3/h UK£908.00	Quantometro Mechanical Gas Meter 80mm
SKU: CPT100G160 Qmin 13 Qmax 250 m3/h UK£1046.00	Quantometro Mechanical Gas Meter 100mm
SKU: CPT100G250 Qmin 20 Qmax 400 m3/h price: UK£1046.00	Quantometro Mechanical Gas Meter 100mm
SKU: CPT100G400 Qmin 32 Qmax 650 m3/h price: UK£1046.00	Quantometro Mechanical Gas Meter 100mm
SKU: CPT150G400 Qmin 32 Qmax 650 m3/h price: UK£1574.00	Quantometro Mechanical Gas Meter 150mm
SKU: CPT150G650 Qmin 50 Qmax 1000 m3/h price: UK£1574.00	Quantometro Mechanical Gas Meter 150mm
SKU: CPT150G1000 Qmin 80 Qmax 1600 m3/h price: UK£1648.00	Quantometro Mechanical Gas Meter 150mm
SKU: CPT 200G1000 Qmin 80 Qmax 1600 m3/h price: UK£2960.00	Quantometro Mechanical Gas Meter 200mm
SKU: CPT 200G1600 Qmin 130 Qmax 2500 m3/h price: UK£2960.00	Quantometro Mechanical Gas Meter 200mm
SKU: CPT 200G2500 Qmin 200 Qmax 4000 m3/h price: UK£2960.00	Quantometro Mechanical Gas Meter 200mm

شکل مدل هایی از این نمونه در زیر داده شده است.



شکل ۲-۳۵: مدل های مختلف دبی سنج های گازی توربینی Bell CPT Quantometro شرکت

ضمیماً بروشور دبی سنج های این شرکت همراه گزارشات ماهیانه بصورت فایل داده شده است.

۸.۳.۲ شرکت Flow Technology

شرکت Flow Technology یک کمپانی آمریکائی است که محصولات این شرکت در رده های گوناگون دبی سنج ها ارائه شده است. مشخصات این شرکت در ذیل آمده است.

Tempe, Arizona one block south of Warner Road(the nearest major intersection is arner Road and Priest Drive. The facility is half a mile east of I-10 and the Warner Road exit)

By Phone:

Telephone: +1 480 240 3400

Fax: +1 480 240 3401

By Mail:

FTI Flow Technology Inc.

8930 South Beck Ave

Suite #107 Tempe, AZ 85284

<http://www.ftimeters.com>

اصلی ترین مزایای دبی سنج های این شرکت شامل موارد زیر می شود:

- دقت بالا
- زمان پاسخ سریع
- خیلی متراکم و جمع و جور بودن
- ایده اال برای ویسکوزیته های پایین تر از 500 cSt
- قابل استفاده برای مایعات و گازها

- امکان طراحی دبی سنج ها طبق درخواست مشتری

ضمناً این شرکت دارای سری های گوناگونی از دبی سنج های مورد نیاز صنایع مختلف می باشد. بطوری که هم اکنون این شرکت دارای دو مدل دبی سنج توربینی گازی است.

FT Series •

این دبی سنج ها در صنایع گوناگون خودرو، هوا فضا، سیستم های کنترل زیردریا و همچنین در صنایع گاز قابل استفاده می باشند. مهمترین مشخصات این سری در ذیل آورده شده است.

- Designed for a wide range of liquid and gas applications
- Accuracy: $\pm 0.25\%$
- Repeatability: $\pm 0.05\%$ (liquid) and $\pm 0.1\%$ (gas) of reading.
- Excellent speed of response
- Linearity: $\pm 0.1\%$ (100:1) with linearizing electronics
- Liquid Flow Rates: 0.03 to 1,500 GPM (0.11 to 5,677 LPM)
- Gas Flow Rates: 0.09 to 1,500 ACFM (2.55 to 42,480 ALPM)
- Materials of Construction: 316 SS housing and 430F SS rotor
- End Fittings: NPT, AN (MS), Hose Barb, ANSI Flanges, SAE, Tri-Clamp
- Max Pressures: 2000 Bar (30,000 psi), dependant on size and fitting
- Custom Engineered Solutions Available on Request

شكل این سری دبی سنج ها در زیر نشان داده شده است.



شكل ۲-۳۶: دبی سنج های گازی توربینی شرکت Flow Technology FT Series

FTO Series •

این سری دبی سنج ها برای اندازه گیری نرخ های جریان خیلی پایین مایع یا گاز استفاده می شوند. این وسایل اندازه گیری به دقت بالا و حساس به جریانات پایین، توانایی اندازه گیری جریانات کم در حد 0.001 GPM و 0.0015 ACFM در گازها را دارند. ضمناً مهمترین مشخصات این سری در ذیل آورده شده است.

- Low flow instrument grade flow meter for both liquid and gas
- Accuracy: $\pm 0.25\%$
- Repeatability: $\pm 0.1\%$ of reading
- Linearity: $\pm 0.1\%$ (100:1) with linearizing electronics
- Liquid Flow Rates: 0.001 to 2.0 GPM (3.78 to 7,570 mLPM)
- Gas Flow Rates: 0.0015 to 0.3 ACFM (2.55 to 510 ALPH)
- Materials of Construction: 316 SS housing and 17-4PH SS rotor
- End Fittings: Female NPT, AN (MS), and ANSI Flanges
- Bearings: Pivot (sapphire jewel), ball, and journal
- Compact Size: 3 inch face-to-face with NPT and MS connections
- Custom Engineered Solutions Available on Request
-

شکل این سری دبی سنج ها در زیر نشان داده شده است.



شکل ۲-۳۷: دبی سنج های گازی توربینی Flow Technology FTO Series شرکت

ضمناً بروشور دبی سنج های این شرکت همراه گزارشات ماهیانه بصورت فایل داده شده است.

۹.۳.۲ شرکت Tancy Investment Group

یک شرکت چینی است که دارای تنوع محصولات مطلوبی است. مشخصات این شرکت در ذیل آمده است.

Company Name:	Tancy Investment Group Co., Ltd.
Street Address:	Road1.Industry Zone.Lingxi Town.Cangnan
City:	Wenzhou
Province/State:	Zhejiang
Country/Region:	China
Zip:	325800
Telephone:	86-577-64839680
Fax:	86-577-64839090
Website:	http://www.alibaba.com , http://tancyinstrument.en.alibaba.com/

دبی سنج های توربینی گازی این شرکت در زیر معرفی می شوند.

TBQC Series CPU Card Turbine Gas Flow meter •

این مدل دارای کارایی پایدار و قابل اعتمادی می باشد. از جمله خصوصیات بخش کنترل شیر این سری شامل : طراحی با افت فشار صفر با بکارگیری شیر توپی و قطر اسمی شیر معادل با قطر لوله، شیر باز و بسته با اطمینان بالا و بسته شدن فوری شیر هنگامی که باطری در حال ضعیف شدن می باشد. سایر مشخصات این مدل از سایت این شرکت قابل دیدن می باشد.

شکل این سری دبی سنج ها در زیر نشان داده شده است.



شکل ۲-۳۸: دبی سنج های گازی توربینی TBQC Series شرکت Tancy Investment Group

TBQ Gas Turbine Flow meter •

مشخصات این سری در ذیل آورده شده است:

- محدوده جریان: DN25 ~ DN300mm با قطر اسمی: 2.5 ~ 6500m³/h
- محدوده فشار: 0 ~ 1.6 MPa (در سایر فشارها می توان درخواست داده شود)
- دمای سیال: -20C ~ +60C
- دمای محیط: -30C ~ +50C
- میزان میزان EXDIIBT4 EXIAIIC4 (TBQZ) :Explosion-proof
- درجه حفاظت: IP65
- محدوده کاربرد این دبی سنج در اندازه گیری گازهای طبیعی شهری، گاز طبیعی شبکه خطوط توزیع و انتقال، گاز سوختی صنایع نفتی، شیمیایی و برق و ایستگاه تنظیم گاز سوختی

شکل این سری دبی سنج ها در زیر نشان داده شده است.



شکل ۳۹-۲: دبی سنج های گازی توربینی TBQ Series شرکت Tancy Investment Group

TBQJ Gas Turbine Flow meter •

مشخصات این سری شامل موارد زیر می شود :

- طراحی استادانه سازه عبور جریان، جلوگیری از جریان گاز بین شفت ها و بهبود بسیار زیاد در سازگاری medium دبی سنج های توربینی
- طراحی منحصر به فرد سازه ای ضد ضربه و آب بندی شده جهت اطمینان از عملکرد قابل اطمینان و مدت زیاد بدون روغن کاری کردن محورها
- بکارگیری تکنیک آزمایشی غیر مغناطیسی در عوض بخش های حساس مغناطیسی برای جلوگیری از وجود نیروی مغناطیسی و بهبود تست حساسیت و کاهش بیشتر سرعت شروع
- طراحی ساختمانی مستقل، قابلیت تعویض خوب و مناسب و راحت برای نگهداری و تعمیر
- مجهز به یکسوکننده با کارایی خوب و نیاز کم برای خطوط مستقیم (Forward>>2DN, Backward>>1DN) جلو و عقب.

شکل این سری دبی سنج ها در زیر نشان داده شده است.



شکل ۲-۴: دبی سنج های گازی توربینی TBQJ Series شرکت Tancy Investment Group

TBQZ Gas Turbine Flow meter •

مشخصات کامل این مدل به شرح زیر می باشد:

- این مدل می تواند دما و فشار medium را اندازه گیری کند و بطور اتوماتیک ضرایب فشرده سازی (z factors) را تصحیح کند و دما و فشار را هم مستقیماً با اندازه گیری جریان حجمی استاندارد و حجم کل عوض می کند.
- استفاده از یک سنسور نوع جدید، جریان ابتدایی پایین، افت فشار کم، دقیق بالا عملکرد مطمئن، طول عمر کار کرد بالا
- با استفاده از تکنولوژی بسیار پیشرفته micro-processing، دبی سنج جامع تر، دقیق تر و قابل اطمینان تر است
- با استفاده از تکنولوژی پیشرفته micro-dissipation، کم مصرف و دارای قابلیت کار با انرژی داخلی و خارجی را دارد (به کمک دسته ای از باطری های لیتیومی داخلی که می توانند بیش از ۵ سال عمر کنند)
- مطابق با سیگنال فرکانس جریان، ضریب اندازه گیری می تواند در ۸ مرحله مدرج شود.
- مقاوم در برابر فرسایش، دارای نمایشگر LCD خیلی واضح و راحت برای خواندن
- می تواند مستقیماً به کامپیوتر وصل شود. بدین ترتیب هر کامپیوتر توسط رابط RS485 می تواند تنها با ۲ سیم ارتباطی به ۳۲ دبی سنج وصل گردد. بنابراین برای مدیریت و برای نصب آسان و ارزان می باشد.
- سر این دبی سنج می تواند ۱۸۰ درجه بچرخد بدین ترتیب کار کردن با این وسیله و نصب آن آسان است.

شکل این سری دبی سنج ها در زیر نشان داده شده است.



شکل ۱۱-۲: دبی سنج های گازی توربینی TBQZ Series شرکت Tancy Investment Group

۱۰.۳.۲ شرکت MUELLER

این شرکت یک کمپانی آمریکائی است که محصولات آن در رده های گوناگون دبی سنج ها و کنترلرها ارائه شده است. مشخصات این شرکت در ذیل آمده است.

New Hope, MN
5104 Hillsboro Avenue North, New Hope, MN 55428
Tel. 763-531-2222, Fax. 763-31-9278
Cedar Rapids
520 50th AVE DR SW, Cedar Rapids, IA 52404, Tel. 319-365-1196, Fax. 319-365-923
Website: <http://www.muellersales.com>

این شرکت دارای سری های گوناگونی از دبی سنج های مورد نیاز صنایع مختلف می باشد. بطوری که هم اکنون این شرکت دارای یک مدل دبی سنج توربینی گازی است.

GTS Series •

این سری جدید از کنتورهای توربینی از سالها تجربیات کاربردی به خوبی بهره برده است. این مسئله باعث بهبود کارایی و کاهش هزینه نگهداری و حق مالکیت این مدل شده است. این دبی سنج ها یک خروجی مکانیکی برای تنوع زیاد از وسایل کمکی مثل تصحیح کننده های حجم اصلی و ... ارائه داده است. این دبی سنج ها در مدل های فشار پایین، متوسط و بالا در سایز های ۳ اینچ تا ۱۲ اینچ موجود است. مهمترین مشخصات این سری در ذیل آورده شده است.

- مدل‌های با میزان ظرفیت‌های وسیع با کاهش قطر رانش دبی سنج می‌تواند باعث ذخیره اساسی در لوله کشی، پیوندهای لوله و شیرهای بلوکی و غیره می‌شود.
- مدل‌های با نیرومحرکه مکانیکی برای استفاده با تصحیح‌کننده‌های P&T یا مدل‌های با خروجی پالسی الکترونیکی برای اتصال مستقیم به کامپیوترهای رایج است
- تصحیح دمایی الکترونیک با فاکتور فشاری ثابت و شش ماه ذخیره اطلاعات
- سیستم روغن‌کاری Flush-Type برای شستشوی یاتاقان‌های اصلی در حالی که دبی سنج درحال کار است.
- موتورهای آلومینیومی برای مدل‌های فشار بالا و برای دبی سنج‌های با خروجی‌های پالسی فرکانس بالا
- یک سیستم چرخ دنده‌ای به نام Gear Train برای همه انواع سایزها که قطعات یدکی موجود را کاهش می‌دهد.
- منحنی صحت سه نقطه‌ای (Three-Point) که به شکل استاندارد آماده شده
- منحنی صحت سه نقطه‌ای به شکل اختیاری
- منحنی‌های صحت فشار پایین و بالا موجود است

شکل این سری دبی سنج‌ها در زیر نشان داده شده است.



شکل ۲-۲: دبی سنج‌های گازی توربینی GTS Series شرکت MUELLER

۱۱.۳.۲ شرکت HOFFER

شرکت HOFFER که یک کمپانی امریکایی است و در زمینه سیستم‌های اندازه‌گیری گاز فعالیت می‌کند. مشخصات این شرکت در ذیل آورده شده است.

Hoffer Flow Controls, Inc. 107 Kitty Hawk Lane, Elizabeth City NC 27909
Office: (252) 331-1997 ~ 1-800-628-4584 ~ Fax: (252) 331-2886 ~ Email:
info@hofferflow.com, Web site: <http://www.hofferflow.com>

انواع دبی سنج های این شرکت در ذیل معرفی می گردد.

HO SERIES •

مشخصات اصلی این مدل در ذیل داده شده است.

- هزینه پایین
- صحت اندازه گیری خوب (Repeatability: +/-0.25% , Linearity: ±1%)
- فراهم کردن نرخ جریان وسیع ACFM 12000 تا 0.15
- تنوع زیاد اتصالات فرایندی موجود است
- کارکردن در محدوده وسیعی از دما و فشار (-400°F to +350°F)
- استفاده از یاتاقان های گلوله ای سرامیکی مرکب که باعث عمر بالاتر آن می شود.
- ماده سازنده آن به شکل استاندارد stainless steel 316 است.
- سایز دبی سنج ۱/۴ تا ۱۲ اینچ

شکل این سری دبی سنج ها در زیر نشان داده شده است.



شکل ۲-۴۳: دبی سنج های گازی توربینی HO Series شرکت HOFFER

MF SERIES •

وسایل جدیدی با ظرفیت اندازه گیری جریانات کم هستند. بطوری که برای مصارف صنعتی و آزمایشگاهی، جهت رفع نیاز برای اندازه گیری دقیق جریانات نرخ پایین کاربرد بسیاری دارند. این سری از دبی سنج های شرکت HOFFER برای جریان های تمیز، مایعات با ویسکوزیته پایین و متوسط و کاربردهای اندازه گیری گاز استفاده می شوند. سایر مشخصات این سری در زیر آورده شده است.

- نوع اتصالات نهایی: 8-1/2" MS-33656 (در سایر سایزها درخواست لازم است)
- محدوده فشار عملیاتی : 1000 PSI (استاندارد) ، 6000 PSI (اختیاری)
- محدوده دمای عملیاتی: Mag. Pickup: -450 to +450° F و -450 to +850° F
- متریال ساخت: (316 Stainless Steel)
- یاتاقان: (خودروغن کاری) ، (اختیاری)
- Carbon Composite Sleeve ، Sleeve Tungsten Carbide
- موتور: (استاندارد) 17.4 PH ، (اختیاری) 430 Stainless Steel ، (اختیاری) Ni 200
- درپوش: (استاندارد) J-Rulon
- صحت اندازه گیری (Repeatability: +/-0.25% ، Linearity: ±2%)
- فراهم کردن نرخ جریان وسیع ACFM 1 تا 0.005
- سایز دبی سنج 1/2 اینچ

شکل این سری دبی سنج ها در زیر نشان داده شده است.



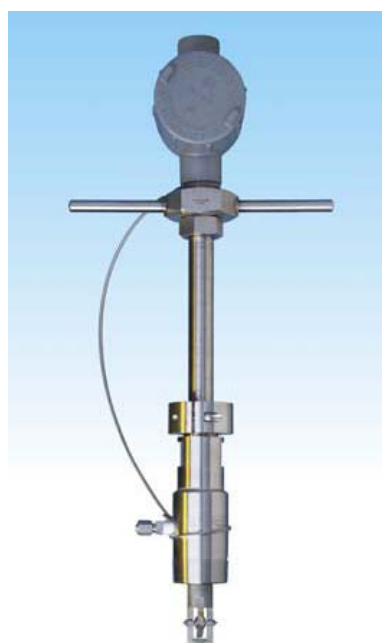
شکل ۲-۴۴: دبی سنج های گازی توربینی MF Series شرکت HOFFER

HP SERIES •

این سری دبی سنج ها برای اندازه گیری جریانات گاز و مایع در خطوط لوله قطر متوسط تا زیاد با دقتهای ذاتی و با قیمت های بسیار پایینتر از دبی سنج های in-line می باشند. سایر مشخصات این سری در زیر آورده شده است.

- هزینه پایین
- افت فشار پایین
- محدوده جریان وسیع برای گازها (FPS ۲۵۰ تا ۵)
- صحت بسیار خوب (Repeatability: +/-0.25%, Linearity: ±2%)
- برای خطوط لوله با قطر ۴ تا ۷ اینچ (در سایر سایزها بایستی درخواست داده شود)
- انعطاف‌پذیری اتصال فرآیندی
- ممکن است بدون متوقف کردن خدمات نصب یا از فعایت حذف شود.
- محدوده دمای عملکرد استاندارد -۲۰ تا +۴۰۰ °F
- ماکریم فشار عملیاتی: مدل قابل تنظیم فشار پایین PSI ۱۵۰ و مدل ثابت PSI ۲۵۰۰
- و مدل قابل تنظیم فشار بالا PSI 2500 (وابسته به اتصال فرآیندی و دما)
- سایز دبی سنج ۴ تا ۷۲ اینچ

شکل این سری دبی‌سنچ‌ها در زیر نشان داده شده است.



شکل ۲-۴۵: دبی‌سنچ‌های گازی توربینی HP Series شرکت HOFFER

WING NUT SERIES •

این سری دبی‌سنچ‌ها برای اندازه‌گیری جریانات گاز و مایع می‌باشند. سایر مشخصات این سری در زیر آورده شده است.

- دقت خطی $\pm 1\%$ روی محدوده جریان ۱:۱۰ (بطور نمونه)
- تکرار پذیری $\pm 0.25\%$
- محدوده دمایی -450 to $+350^{\circ}\text{F}$ در حالت استاندارد
- متریال ساخت : بدنه (Stainless steel) ۴۱۳۰ high chrome alloy steel و داخل (ACFM ۶۰۰ تا ۲.۵ فراهم کردن نرخ جریان وسیع سایز دبی سنج ۱ تا ۳ اینچ)

شکل این سری دبی سنج ها در زیر نشان داده شده است.



شکل ۴-۶: دبی سنج های گازی توربینی WING NUT Series شرکت HOFFER

WAFER SERIES •

این سری دبی سنج ها برای اندازه گیری جریانات گاز و مایع می باشند. سایر مشخصات این سری در زیر آورده شده است.

- صحت اندازه گیری (Repeatability: +/-0.25% , Linearity: $\pm 1\%$)
- فراهم کردن نرخ جریان وسیع ACFM ۰.۱۵ تا ۱۲۰۰۰
- سایز دبی سنج ۱/۴ تا ۱۲ اینچ

شکل این سری دبی سنج ها در زیر نشان داده شده است.



شکل ۲-۴: دبی سنج های گازی توربینی WAFER Series شرکت HOFFER

PREMIER SERIES •

این سری دبی سنج ها برای اندازه گیری جریانات گاز و مایع می باشند. بطوری که برای همه انواع گاز های غیر خوردنده همچون استیلن، دی اکسید کربن، هیدروژن، هوا و گاز طبیعی مناسب می باشد. سایر مشخصات این سری در زیر آورده شده است.

- صحت اندازه گیری (Repeatability: +/-0.1% , Linearity: ±0.5%)
- محدوده دمای عملکرد -450 to +350°F
- محدوده فشار عملکرد ANSI flanges 150# through 2500#
- فراهم کردن نرخ جریان وسیع ACFM 12000 ۰.۱۵ تا ۰.۱ تا
- سایز دبی سنج ۱/۴ تا ۱۲ اینچ
- متریال ساخت :
- بدن (316 Stainless Steel)
- یاتاقان: (خودروغن کاری Ceramic Hybrid Ball Bearings)
- موتور: (استاندارد ۱۷.۴ PH stainless steel)
- اتصالات: (استاندارد ۳۱۶ stainless steel) و Carbon steel (اختیاری)

شکل این سری دبی سنج ها در زیر نشان داده شده است.



شکل ۲-۴۸: دبی سنج های گازی توربینی PREMIER Series شرکت HOFFER

PREMIER SERIES •

مشخصات این سری در زیر آورده شده است.

- هزینه پایین
- صحت اندازه گیری خوب (Repeatability: +/-0.1% , Linearity: ±0.5%)
- فراهم کردن نسبت نرخ جریان وسیع ۱۰۰:۱ تا ۱۰:۱
- افت فشار ۴ تا ۵ در ماکریم نرخ جریان خطی در یک CSTK
- کارکردن در محدوده وسیعی از دما و فشار (-40°F to +350°F)
- استفاده از یاتاقان های گلوله ای سرامیکی مرکب و درپوش یاتاقان های شامل کاربیدتنگستن و کربن سخت
- ماده سازنده آن به شکل استاندارد stainless steel 316 است.
- سایز دبی سنج ۱/۴ تا ۱۲ اینچ

شکل این سری دبی سنج ها در زیر نشان داده شده است.



شکل ۲-۴۹: دبی سنج های گازی توربینی PREMIER Series شرکت HOFFER

AUTOCLAVE SERIES •

این سری دبی سنج ها برای اندازه گیری جریانات گاز و مایع می باشند. سایر مشخصات این سری در زیر آورده شده است.

- صحت اندازه گیری (Repeatability: +/-0.25% , Linearity: ±1%)
- فراهم کردن نرخ جریان وسیع ACFM 43 تا 0.15
- سایز دبی سنج ۱/۴ تا ۱ اینچ

شكل این سری دبی سنج ها در زیر نشان داده شده است.



شکل ۲-۵۰: دبی سنج های گازی توربینی AUTOCLAVE Series شرکت HOFFER

Equimeter شرکت ۱۲.۳.۲

این شرکت فروشنده عمدۀ تجهیزات اندازه گیری گازی و تجهیزات تنظیم کننده فشار از سال ۱۸۸۶ می باشد. در حال حاضر میلیون ها اندازه گیر گازی در همه انواع کاربردها از تولیدات سکوهای دریایی فشار بالا تا آپارتمان های چند واحده در سرویس هستند. مشخصات این شرکت آمریکایی در ذیل آورده شده است.

805 Liberty Boulevard
P.O. Box 528
DuBois, PA 15801
800-375-8875
Fax (814) 375-8460
<http://www.equimeter.com>

انواع دبی سنج های این شرکت در ذیل معرفی می گردد.

4" – 12" Mark II Turbo-Meters •

مشخصات اصلی این مدل در ذیل آورده شده است.

- زاویه تیغه روتور ۳۰ و ۴۰ درجه موجود است. بدین ترتیب دو منحنی فازی کارایی مجزا برای هر سایز اندازه گیر ایجاد می کند.
- یک یا دو خروجی پالسی بوسیله سنسورهای نوک تیغه باعث قدرت تفکیک بالا و سیگنالهای اضافی در عملکرد قابل اطمینان این دبی سنج ها دارد.
- عامل اندازه گیری این دبی سنج ها یک واحد مدرج و قابل تعویض است. در نتیجه امکان تعمیر، به روز کردن و مدرج کردن این واحدها بدون حذف دبی سنج از خط وجود دارد.

سایر مشخصات این مدل در کاتالوگ های این شرکت قابل مشاهده است. شکل این سری دبی سنج ها در زیر نشان داده شده است.



شکل ۲-۵۱: دبی سنج های گازی توربینی 4" to 12" Mark II شرکت Equimeter

Mark IIE 2" & 3" Turbo-Meters •

جدیدترین عضو از خانواده 2" Mark IIE and 3" Mark IIE، به طور کلی دارای مشخصات ذیل می باشد.

- ۴ نرخ فشاری (۲۴۰، ۲۷۵، ۷۲۰ و ۱۴۴۰ PSIG)
- طراحی End-entry با واحد اندازه گیری قابل تعویض
- خروجی پالسی بوسیله تکنولوژی سنسور لبه تیغه
- خروجی پالسی اضافی موجود است

- روغنдан نصب شده روی دبی سنج و روغنдан اتوماتیک موجود است
- بالاترین فشار مدرج شده تا ۹۰۰ PSI است
- روتورهای آلومینیومی

شکل این سری دبی سنج ها در زیر نشان داده شده است.



شکل ۲-۵: دبی سنج های گازی توربینی ۲" & ۳" Mark IIE شرکت Equimeter

2" & 3" T-10 Turbo-Meters •

این نوع دبی سنج ها برای اندازه گیری دقیقتر در انتقال و تولید گاز کاربرد دارند. طراحی متراکم و قوی این اندازه گیرها همراه با بازخوانهای دیجیتالی مستقیم آنها حوزه داده های اندازه گیری دقیق و قابل اطمینانی فراهم می کند. زمینه کاربرد این دبی سنج ها برای ظرفیت های اسمی ۱۰۰۰ CFH در 4 فشار ورودی است. زمینه های پیشنهاد شده شامل موارد زیر است:

- اندازه گیری مستقیم سر چاهی روی چاههای گازی
- ایستگاه های مجاور شهر
- دستگاه های اندازه گیری صنعتی
- انشعاب گازی از جداسنده های تولیدی
- جداسنده های آزمایشی
- اندازه گیرهای امتحانی
- اندازه گیرهای آزمایشی برای ساختن نسبت های گازی به نفتی
- اندازه گیری گاز سوخت کمپرسورها

شکل این سری دبی سنج ها در زیر نشان داده شده است.



شکل ۵۳-۲: دبی سنج های گازی توربینی ۲" & ۳" شرکت Equimeter

2" & 3" TPL-9 Turbo-Meters •

مشخصات اصلی این مدل در ذیل آورده شده است.

- ظرفیت اسمی این دبی سنج در 2 kpa (216 MSCFD) یا 9000 SCFH در واحد متریک (6100 Nm³/day) 255 Nm³/h است. در فشارهای ورودی بالاتر ظرفیت های اندازه گیری به طور مستقیم با ضریب قانون فشار بولی افزایش می یابد.
- بدن ها و اتصالات این دبی سنج ها مطابق با مشخصات ANSI برای ۳۰۰، ۱۵۰، ۶۰۰ PSI از استیل ساخته شده است.
- این مدل زمان از کارافتگی را مینیمم می کند و لیست قطعات یدکی را ساده تر می کند.
- سیستم روغن کاری خارجی یاتاقان ها فراهم است
- نسبت ظرفیت اندازه گیری ماکزیمم به مینیمم جریان (Rangeability) در دقت +/- 1% در شرایط فشار ورودی ثابت و در فشار پایین ۱۰:۱ می باشد.

شکل این سری دبی سنج ها در زیر نشان داده شده است.



شکل ۲-۵۴: دبی سنج های گازی توربینی ۹" & ۳" TPL شرکت Equimeter

۱۳.۳.۲ شرکت RMG

این شرکت یک کمپانی آلمانی است که محصولات آن در رده های گوناگون دبی سنج ها و کنترل ها ارائه شده است. این شرکت با آدرس اینترنتی www.rmg.de دارای سری های گوناگونی از دبی سنج های مورد نیاز صنایع مختلف بوده که در این میان سه مدل دبی سنج توربینی گازی مورد بحث قرار می گیرد.

• سری TRZ 03

بطورکلی این سری از کنتورها برای گاز طبیعی و مواد گازی غیر خورنده مناسب هستند، اما مدل خاصی از این سری برای گاز های خورنده نیز کاربرد دارد. از دیگر مشخصات این نوع می توان به شماره گر مکانیکی نشان دهنده کل جریان گاز عبوری بر حسب واحد های حجمی (متر مکعب)، دقت اندازه گیری بالا، جریان گاز افقی یا عمودی و امکان اتصال به یک وسیله اندازه گیری کمکی (مثل integrator یا load recorder) اشاره کرد. ضمناً سری TRZ 03E هم موجود است که بدون شاخص مکانیکی و با خروجی الکتریکی برای سیستم های کامپیوتری کار می کند. سایر مشخصات این سری مطابق با استاندارد اروپایی PTB² در جدول ذیل آورده شده است. همچنین شکل ۲-۵۵ این سری از دبی سنج ها را نشان می دهد.

² Physikalisch -Technische Bundesanstalt

جدول ۱۱-۲: سایر مشخصات سری TRZ 03 شرکت RMG

Max. service pressure pmax	100 bar
Meter sizes	G 40 to G 16000 (from Qmax 65 m³/h to Qmax 25000 m³/h)
Max. measuring range	1:50
Connections	DN 50 to DN 600 flanged to DIN PN 10, PN 16, PN 25, PN 40, PN 64, PN 100 and flanged to ANSI 150, ANSI 300, ANSI 600



شکل ۲: دبی سنج های گازی توربینی سری TRZ 03 شرکت RMG

• سری TRZ 03-TE/L

از مشخصات خاص این سری از کنتورها می‌توان به واحد جمع‌کننده الکتریکی (با عمر مفید حداقل ۶ سال)، فرستنده پالسی LF و HF در بالای کنتور، خروجی مداوم (به کمک یک منبع تأمین‌کننده انرژی خارجی) و محافظ انفجار (II 2 G EEx ib II C T4) اشاره کرد. همچنین برای گاز طبیعی و مواد گازی غیرخورنده مناسب هستند. از دیگر مشخصات این نوع نشان‌دهنده جریان، دقت اندازه‌گیری بالا، جریان گاز افقی یا عمودی و مناسب بودن برای گاز طبیعی و مواد گازی غیرخورنده می‌باشد. ضمناً سایر مشخصات این سری مطابق با استاندارد اروپایی PTB در جدول ذیل آورده شده است. شکل ۵۶-۲ نمونه‌ای از این سری دبی سنج‌ها را نشان می‌دهد.

جدول ۱۲-۲: سایر مشخصات سری TRZ 03-TE/L شرکت RMG

Max. service pressure p _{max}	100 bar
Meter sizes	G 100 to G 16000 (from Q _{max} 160 m ³ /h to Q _{max} 25000 m ³ /h)
Max. measuring range	1:50
Connections	DN 80 to DN 600 flanged to DIN PN 10, PN 16, PN 25, PN 40, PN 64, PN 100 and flanged to ANSI 150, ANSI 300, ANSI 600



شکل ۱۲-۲: دبی سنج های گازی توربینی سری TRZ 03-TE/L شرکت RMG

• سری TRZ 03 L

تفاوت عمده این سری از کنتورها با سری های قبل مطابقت با راهنمای صنعتی G13 (معادل با تست 8/32-IR راهنمای OIML) و عدم نیاز به لوله ورودی اضافی حتی برای آشفتگی های زیاد جریان می باشد. از طرفی دیگر برای گاز طبیعی و مواد گازی غیر خورنده مناسب هستند، اما مدل خاصی از این سری برای گازهای خورنده نیز کاربرد دارد. از دیگر مشخصات این نوع می توان به شماره گر مکانیکی نشان دهنده کل جریان گاز عبوری بر حسب واحد های حجمی (متر مکعب)، دقت اندازه گیری بالا، جریان گاز افقی یا عمودی، امکان اتصال به یک وسیله اندازه گیری کمکی (مثل integrator یا load recorder) به پیوست خروجی می باشد. ضمناً سایر مشخصات این سری مطابق با استاندارد اروپایی PTB در جدول ذیل آورده شده است. شکل ۱۲-۳ نمونه ای از این سری دبی سنج ها را نشان می دهد.

جدول ۱۳-۲: سایر مشخصات سری TRZ 03 L شرکت RMG

Max. service pressure p _{max}	100 bar
Meter sizes	G 40 to G 10000 (from Q _{max} 65 m ³ /h to Q _{max} 16000 m ³ /h)
Max. measuring range	1:50
Connections	DN 50 to DN 600 flanged to DIN PN 10, PN 16, PN 25, PN 40, PN 64, PN 100 and flanged to ANSI 150, ANSI 300, ANSI 600



شکل ۵۷-۲: دبی سنج های گازی توربینی سری TRZ 03 L شرکت RMG

سایر مشخصات این مدلها در کاتالوگ های ضمیمه شده این شرکت در CD ضمیمه گزارشات ماهیانه قابل مشاهده است.

۱۴.۳.۲ شرکت Instromet

اطلاعاتی از مدل های مختلف شرکت Instromet که یک شرکت آمریکایی است و در زمینه سیستم های اندازه گیری گاز فعالیت می کند در این قسمت ارائه می شود. این شرکت یکی از برجسته ترین شرکت های سازنده تجهیزات اندازه گیری و کنترل گازی در جهان بوده و بیش از ۲۰ کارخانه سازنده و دفاتر فروش بین المللی و نمایندگی در بیش از ۴۰ کشور دارد. آدرس اینترنتی شرکت مذکور www.instrometinc.com بوده و در ادامه محصولات آن مورد بررسی قرار می گیرد.

• سری QIC و Q

این سری از کنتورها برای همه انواع گازهای خورنده کاربرد دارد. از دیگر مشخصات این نوع می توان به خروجی های استاندارد LF و HF اشاره کرد. همچنین این سری دبی سنج ها به یک پمپ روغن همراه مجهز هستند که بدینوسیله روغن می تواند در حالی که کنتور در حال کار

است به یاتاقان‌ها اضافه گردد. ضمناً سایر مشخصات این سری در جدول ذیل آورده شده است.
شکل ۵۸-۲ نمونه‌ای از این سری دبی سنج‌ها را نشان می‌دهد.

جدول ۱۴-۲: مشخصات سری Q و شرکت QIC Instromet

Accuracy:	$\pm 0.5\%$ uncertainty
Diameters:	2", 3", 4", 6", 8", 10", 12", 16", 20", 24", 30"
Flange Ratings:	PN10 - PN100, ANSI150# - ANSI600#
Frequency Transducer:	1 or more proximity probes
Index:	Multi index with LF pulse output
Pressure:	up to 100bar (1,450 psi)
Ranges:	3,500ACFH - 900,000ACFH
Turn-Down Ratio:	1:20 at atmospheric pressure (larger range at higher pressures)
Spec. Sheet / Brochure:	Turbine Gas Meter Type Q Brochure



شکل ۵۸-۲: دبی سنج‌های گازی توربینی سری "Q" و "QIC" شرکت Instromet

• سری X-XIC

این سری از کنتورها نیز برای همه انواع گازهای خورنده کاربرد دارد. از دیگر مشخصات این نوع می‌توان به خروجی‌های استاندارد LF و HF اشاره کرد. همچنین این سری دبی سنج‌های Conditioner دارای جریانی دارای لیسانس X4X را همراه دارند. ضمناً سایر مشخصات این سری در جدول ذیل آورده شده است. شکل ۵۹-۲ نمونه‌ای از این سری دبی سنج‌ها را نشان می‌دهد. سایر مشخصات این مدل‌ها و کاتالوگ‌های ضمیمه شده این شرکت در CD همراه گزارشات ماهیانه قابل مشاهده است.

جدول ۱۵-۲: مشخصات سری X-XIC شرکت Instromet

Accuracy:	$\pm .5\%$ uncertainty ($\pm .25\%$ for larger at high pressure)
Diameters:	2", 3", 4", 6", 8", 10", 12", 16", 20", 24", 30"
Flange Ratings:	PN10 - PN100, ANSI150# - ANSI600#
Flow Conditioner:	Built-in X4X®, fulfills ISO 9951 with only 2D upstream piping
Frequency Transducer:	1 or more proximity probes
Index:	Multi index with LF pulse output
Pressure:	up to 100bar (1,450 psi)
Ranges:	G40 - G25,000
Turn-Down Ratio:	1:20 at atmospheric pressure (larger range at higher pressures)
Spec. Sheet / Brochure:	Turbine Gas Meter Type X Brochure



شکل ۱۵.۳.۲: دبی سنج های گازی توربینی سری X-XIC شرکت Instromet

۱۵.۳.۲ شرکت ACTARIS

این شرکت یکی از سردهسته های جهانی در طراحی و ساخت کنتورها و سیستم های وابسته برای بازارهای الکتریکی، گازی، آبی و حرارتی است. محصولات و سیستم های ابداعی این شرکت در برگیرنده آخرین تکنولوژی ها برای نایل شدن به نیازهای کارفرمahuای سیستم های آبی و انرژی و خدمات همگانی و شرکت های صنعتی است. قابل ذکر است که تنها امکان ارتباطی وب سایت این شرکت <http://www.actaris.com> می باشد. در ادامه انواع دبی سنج های این شرکت معرفی می گردد.

این سری از کنتورها که برای گازهای طبیعی و انواع گازهای فیلتر شده و غیر خورنده کاربرد دارد می تواند جریانات گاز متوسط تا زیاد را در فشار پایین، متوسط یا بالا اندازه گیری کند. چون این سری دبی سنج ها دارای دقت های خیلی زیاد متجاوز از نیازهای استاندارد و حساسیت پایین به اختلالات در جریانات گاز هستند، برای همه انواع کاربردهای مرتبط با توزیع و انتقال گاز بهینه شده اند. در شکل ۶۰-۲ نمونه ای از این سری دبی سنج ها نشان داده شده است. از ویژگی های بارز این سری کنتورها می توان به موارد زیر اشاره کرد:

- رفتار عالی در فشارهای بالا
- کمترین افت فشار
- دارای تأییدیه PTB با یک لوله مستقیم ورودی DN 2، و لوله با اختلالات شدید جریانی خروجی 0 DN
- برآورده کردن همه استانداردهای بین المللی و جاری اروپا
- وجود گزینه های مختلف: نظیر پمپ روغن، فرستنده های پالسی و ...
- محدوده جریان کاربرد: از 8 m³/h تا 10000 m³/h
- اتصالات: DN50 to DN500 mm , Flanging: ISO PN10 to ISO PN110, ANSI150 to ANSI600



شکل ۶۰-۲: دبی سنج های گازی توربینی سری Fluxi 2000/TZ شرکت ACTARIS

• سری MZ

این سری از کنتورها که برای گازهای طبیعی و سایر گازها و انواع گازهای فیلتر شده و غیر خورنده کاربرد دارد، می تواند جریانات گاز کم تا متوسط و زیاد را در فشار پایین، متوسط یا بالا اندازه گیری کند. ضمناً با گزینه های اضافی مختلف و مناسبی که همراه با آنها موجود هستند، از جمله پمپ روغن و یک مدل پوشش PTFE این سری از دبی سنج ها را برای

کارهای اندازه‌گیری سنجی مناسب کرده است. سایر مشخصات این سری در ذیل آورده شده است.

- وجود گزینه‌های مختلف: نظیر پمپ روغن، فرستندها و مدلی برای گازهای مهاجم
- محدوده جریان کاربرد از $6 \text{ m}^3/\text{h}$ تا $10000 \text{ m}^3/\text{h}$
- اتصالات: DN50 to DN400 mm ,Flanging: ISO PN10 to ISO PN110, ANSI150 to ANSI600
- دقت اندازه‌گیری بالا
- دو عدد فرستنده فرکانس پایین که به شکل استاندارد نصب شده است.

همچنین در شکل ۶۱-۲ نمونه‌ای از این سری دبی‌سنجهای نشان داده شده است. سایر مشخصات این مدل‌ها در کاتالوگ‌های ضمیمه شده این شرکت در CD ضمیمه گزارشات ماهیانه قابل مشاهده است.



شکل ۶۱-۲: دبی‌سنجهای گازی توربینی سری MZ شرکت ACTARIS

i-Meter ۱۶.۳.۲

نماینده این شرکت هلندی در ایران که محصولاتی در رده‌های گوناگون دبی‌سنجهای و کنتور دارد شرکت صنایع پارا است که در تهران، خیابان سمييه، پلاک ۸، طبقه چهارم واقع شده است. تلفن شرکت فوق الذکر ۰۹۱۴۱۰۰۱-۸۸۱۴ و شماره فاکس آن ۰۳۸۸۳۸۳۳۳ بوده و در ادامه انواع دبی‌سنجهای آن مورد بحث قرار می‌گیرد.

- سری iMTM-CT

بنا به ادعای شرکت سازنده، مزیت‌های این سری کنتورها عبارتند از:

- هزینه‌های تولید پایین‌تر، که این منجر به قیمت نازل‌تر محصول می‌شود
- هزینه پایین‌تر در طراحی ایستگاه این سری به خریدار آینده اجازه می‌دهد تا با یک RMC ساده که در یک بدنه کنتوری یکسان به لحاظ G-rating تقویت می‌گردد، تقاضای گاز را افزایش بدهد. بنابراین از افزایش گران و پیچیده سایز یک کنتور که با کنتورهای مرسوم کار می‌کنند دوری می‌شود.
- تعمیر آسان در محل با جایگزینی یک RMC از پیش کالیبره شده نو با G-rating یکسان یا دیگر
- کاهش هزینه تعمیر با حذف کردن تنها RMC و برگرداندن آن برای پیاده کردن کامل و برای تعمیر، و بنابراین دوری کردن از این زمان طولانی و غیرقابل قبول زمان تدارک برای تعمیر و اوراق کردن کامل کنتورهای مرسوم
- افزایش زمان عمر با استفاده از یک سیستم روغن که نه تنها روغن را دریاتاقان‌ها و همه قطعات محرک تازه کرده، بلکه همه گرد و خاک‌ها را نیز خارج می‌کند.
- کاهش حساسیت به شرایط سخت گاز با حفاظت بهبود یافته یاتاقان‌های اصلی در برابر گرد و خاک
- مناسب برای ساخت محلی، نصب و تولید مطابق با دستورالعمل‌ها و سطوح کیفی محلی در حالی که هنوز بالاترین قابلیت اعتماد، کارایی و دقت اندازه‌گیری را حفظ می‌کند.

ضمناً شکل ۶۲-۲ نمونه‌ای از این سری دبی‌سنج‌ها را نشان می‌دهد.



شکل ۶۲-۲: دبی‌سنج‌های گازی توربینی سری i-Meter شرکت MTM-CT

سایر مشخصات این سری در جدول ۱۶-۲ و جدول ۱۷-۲ آورده شده‌است.

جدول ۲-۱۶: سایر مشخصات سری i-Meter iMTM- CT شرکت

Applications:	Media: natural gas, town gas, propane, inert gases. Industry: Gas supply, heating manufacturers, chemical industry
Pressure ratings:	Pressure ratings for PN10/16 and ANSI 150. Various flanges are available on request. (DIN Flanges, ANSI Flanges, JIS Flanges and others)
Nominal diameters:	50 mm (2") to 200 mm (8"). Larger sizes on request.
Measuring range:	20: 1 minimum or better at atmospheric conditions up to 50: 1 at higher densities.
Flow rates:	8 m3/h up to 4000 m3/h
Repeatability:	better than 0,1 %
Measuring accuracy:	0,2 Qmax to Qmax : $\pm 1\%$ or better Qmin to 0,2Q max : $\pm 2\%$ or better
Temperature range:	Standard : -25°C to + 60°C On request : -40°C to + 80°C

جدول ۲-۱۷: مشخصات سایزهای مختلف سری i-MTM-CT شرکت

Pipe Size		G-rating	Measurement Range (m3/h) Qmin-Qmax	Height Frequency (Hz)	Overall Length (mm)	Pressure Rating	Body Material
mm	inch						
50	2"	G40	13-65	200-400	150	ANSI 150 DIN PN 10/16	Aluminium GGG40 Carbon Steel
		G65	10-100				
		G100	16-160				
80	3"	G100	16-160	200-300	240	ANSI 150 DIN PN 10/16	Aluminium GGG40 Carbon Steel
		G160	25-250				
		G250	20-400				
		G400	32-650				
100	4"	G160	25-250	200-300	300	ANSI 150 DIN PN 10/16	Aluminium GGG40 Carbon Steel
		G250	20-400				
		G400	32-650				
		G650	50-1000				
150	6"	G400	32-650	100-200	450	ANSI 150 DIN PN 10/16	Aluminium GGG40 Carbon Steel
		G650	50-100				
		G1000	80-1600				
		G1600	130-2500				
200	8"	G650	50-1000	75-150	600	ANSI 150 DIN PN 10/16	Aluminium GGG40 Carbon Steel
		G1000	80-1600				
		G1600	130-2500				
		G2500	200-4000				

۴.۲ گنجاندن بخش دبی سنج توربینی در نرم افزار

در ادامه طراحی نرم افزار انتخاب دبی سنج، تصمیم گرفته شد تا با توجه به اینکه در شبکه گاز شهری استفاده از دبی سنج های گازی توربینی کاربرد زیادی دارد، کارایی نرم افزار ارتقاء داده شود. بدین ترتیب دیتا های شرکت های مختلف که در گزارش فعالیت های ماهیانه قبل گردآوری شده بود را کدنویسی کرده و به بخش دبی سنج های توربینی این نرم افزار افزودیم. حال نرم افزار را اجرا کرده و وارد صفحه اول نرم افزار (شکل ۶۳-۲) می شویم.



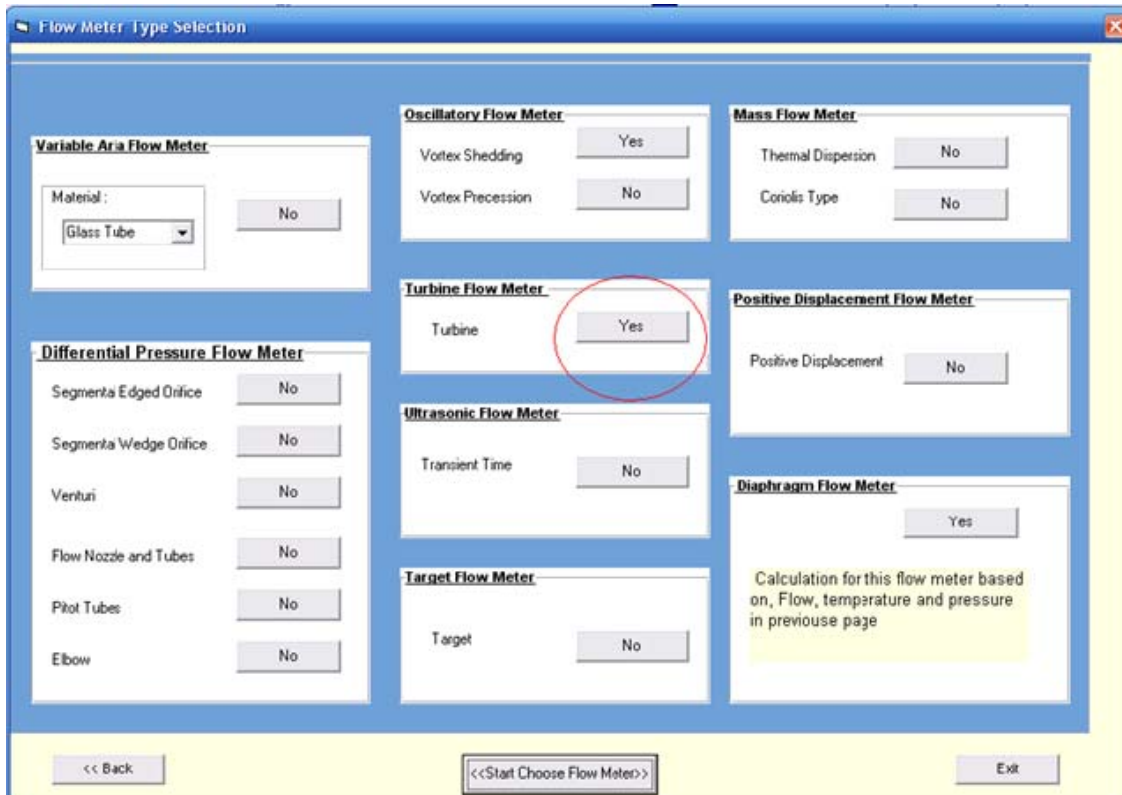
شکل ۶۳-۲: صفحه اول نرم افزار

در این صفحه با کلیک بر دکمه Input data صفحه Input flow meter data ظاهر می شود (شکل ۶۴-۲). همانطور که در شکل پیداست، در این قسمت اطلاعات مربوط به دما، فشار و دبی و سایر اطلاعات لازمه را در صفحه Input Data وارد می کنیم. نمایی از این صفحه در حالتی که در نرم افزار وارد شده را در شکل زیر داریم.

The screenshot shows the 'Input Data' window with two main sections: 'Gas Physical Property' and 'Instrument Specifications'. In the 'Gas Physical Property' section, 'Gas Type' is set to 'Clean Gas' and 'Gas Gravity' is 0.6. In the 'Instrument Specifications' section, 'Pipe Size (Inch)' is 3, 'Accuracy of Full Scale' is 1%, 'Rangeability' is 16, and 'Relative Cost' is 'Medium'. Below these sections are three tables for 'Gas Flow Specifications': 'Flow Bound' (SCFD) with values 500, 6000, 700; 'Pressure Bound' (Psig) with values 1, 5, 7; and 'Temperature Bound' (F) with values -1, 25, 50. At the bottom are buttons for '<< Main' and 'Next >>'.

شکل ۲-۶۴: صفحه ورود اطلاعات عملیاتی دبی سنج

با وارد کردن اطلاعات ورودی و زدن دکمه Next کاربر وارد صفحه Flow Meter Type می شود (شکل ۲-۶۵). در این شکل همانطور که با دایره قرمز رنگ مشخص شده، بخش Selection مربوط به دبی سنج توربینی آورده شده است. در این قسمت مانند بقیه دبی سنج ها اگر شرایط داده شده در صفحه Input Data، شامل شرایط عملیاتی دبی سنج مورد نظر باشد دکمه جلوی دبی سنج Yes می شود.



شکل ۲-۶۵: صفحه Flow Meter Type Selection

حال در این قسمت اگر کاربر بخواهد با توجه به شرایط عملیاتی مورد نظرش دبی سنج مناسب را از شرکت های مختلف پیدا کند، دکمه Yes که جلوی نمایان شده را می فشارد. با زدن دکمه Yes (در شکل ۲-۶۵) با دایره قرمز رنگ مشخص شده است) کاربر وارد صفحه Meter می شود (شکل ۲-۶۶).



شکل ۲-۶۶: صفحه مربوط به شرکت‌های مختلف دارای دبی‌سنج‌های توربینی

همانطور که در شکل پیداست، برخی از شرکت‌هایی که توانسته بودیم اطلاعاتشان را گردآوری کنیم، دیده می‌شود. در این صفحه با فشردن روی آرم هر شرکت، اطلاعات دسترسی به آنها آورده می‌شود(شکل ۲-۶۷).

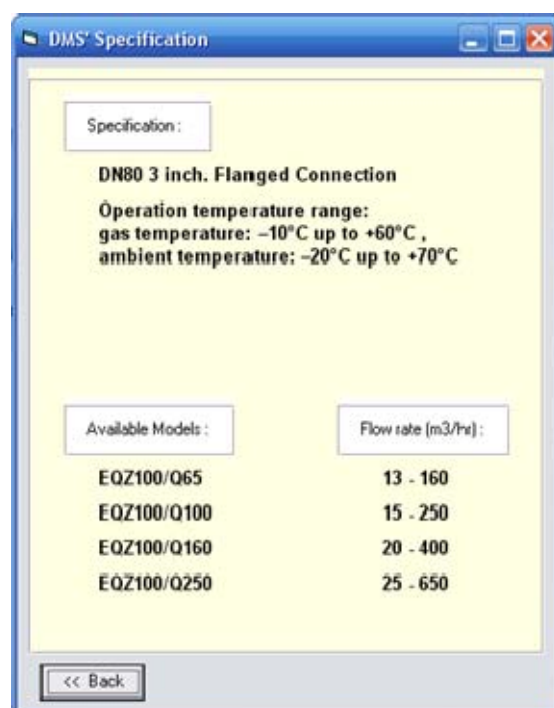


شکل ۲-۶۷: صفحه مربوط به اطلاعات دسترسی به شرکت مختلف دارای دبی‌سنج‌های توربینی

ضمنا مدل های مختلف دبی سنج های توربینی آنها با کلیک روی دکمه Models آنها توسط نرم افزار ظاهر می شود. برای مثال کلیه مدل های ارائه شده توسط شرکت DMS در شکل ۶۸-۲ پیداست، و در روی دکمه OK ظاهر می شود. با فشردن دکمه OK ظاهر شده، دیگر خصوصیات دبی سنج انتخاب شده آورده می شود (شکل ۶۹-۲).



شکل ۶۸-۲: مدل های ارائه شده توسط شرکت DMS



شکل ۶۹-۲: خصوصیات دبی سنج انتخاب شده EQZ شرکت DMS

۵.۲ بخش تصحیحات اعمال شده به نرم افزار

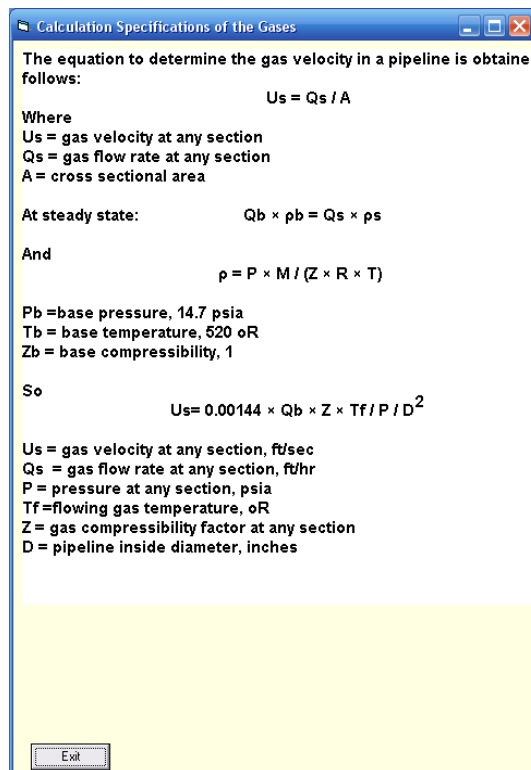
از آنجایی که بایستی در این نرم افزار به دنبال ایجاد خصوصیات جدیدی بود. در این بخش در حدامکان اشکالات موجود بررسی خواهد شد.

اولین اصلاح انجام شده در شکل ظاهری صفحه اول نرم افزار بود که فرمت نهائی این صفحه در شکل ۷۰-۲ آورده شده است.



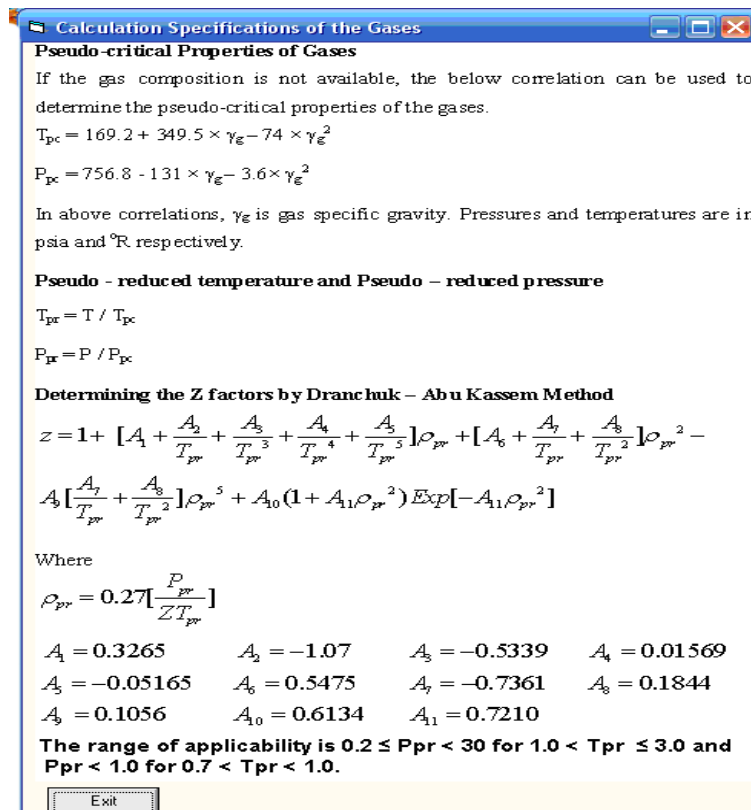
شکل ۷۰-۲: فرمت نهائی صفحه ابتدایی نرم افزار

همان طور که مشاهده می شود روش تعیین سرعت گاز در یک خط لوله که به کنتور متصل خواهد شد در نرم افزار گنجانده شده است. بدین ترتیب که پس از کلیک روی آیکون مربوطه در صفحه اول نرم افزار، کاربر وارد صفحه جدیدی مطابق با شکل ۷۱-۲ می گردد. سرعت گاز در هر بخش لوله نسبت دبی جریان به سطح مقطع عبوری است. در این صفحه مقدار سرعت گاز در حالت استاندارد با توجه به روابط حالت پایا قابل تبدیل به سرعت در شرایط عملیاتی می باشد. در رابطه ساده شده انتهای صفحه، سرعت واقعی گاز بر اساس دبی حالت استاندارد خط لوله، دما و فشار عملیاتی، قطر خط لوله و ضریب تراکم پذیری گاز محاسبه می شود.



شکل ۷۱-۲: صفحه نحوه محاسبه سرعت گاز در لوله اتصالی به کنتور

همچنین آیکون نحوه محاسبه دمای بحرانی (TPC)، دمای کاهش یافته (PPC)، فشار بحرانی (TPR)، فشارکاهش یافته (PPR)، و ضریب تراکم پذیری گاز (Z) در صفحه اول نرم افزار اضافه گردید. این صفحه در شکل ۷۲-۲ آورده شده است. بدین ترتیب که با دانستن مقدار دانسیتے نسبی یک گاز با روابط ارائه شده، ابتدا مقدار دمای بحرانی و فشار بحرانی گاز محاسبه می شود سپس با دانستن مقدار دما و فشار عملیاتی، عباراتی تحت عنوان دمای کاهش یافته و فشار کاهش یافته محاسبه می گردد. بعد از این مرحله با استفاده از معادله و ضرایب ثابت ارائه شده مقدار و ضریب تراکم پذیری گاز بدست خواهد آمد. در انتهای صفحه محدوده کاربرد معادله ارائه شده نشان داده شده است که باید به این نکته توجه شود.



شکل ۷۲-۲: صفحه نحوه محاسبه ضریب تراکم پذیری گاز

از جمله اشکالاتی دیگری که در ارائه به شرکت گاز استان توجه داده شد، حذف پارامتر هزینه از معیارهای انتخاب دبی سنج بود. درنتیجه آیکون تعیین هزینه نسبی (Relative cost) در صفحه ورود اطلاعات حذف گردید و اما خصوصیت دیگری که به نرم افزار اضافه شد، تعیین شدن اتوماتیکی میزان سرعت جريان گاز در دبی سنج است. که اين پارامتر با کوچکترین تغیير در دانسيته نسبی، دبی، فشار، دما و قطر لوله متصل به دبی سنج دائما در صفحه Input data قابل مشاهده توسط کاربر می باشد.

مشکل دیگر نرم افزار که در حال حاضر بر طرف شده است، تعیین محدوده اندازه گیری (Rangeability) پس از وارد کردن بیشترین و کمترین دبی قابل اندازه گیری بطور اتوماتیک توسط نرم افزار است؛ اما از آنجایی که مقدار دبی ماکزیمم کنتور تابع دبی اسمی کنتور است، با فرض عملکرد کنتور در 80° درصد ظرفیتش (طبق درخواست شرکت گاز استان) مقدار دبی ماکزیمم بدست می آید. از طرف دیگر با وارد کردن دبی حداقل کنتور توسط کاربر که همچون دبی اسمی بر اساس شرایط استاندارد است، نرم افزار اقدام به محاسبه محدوده اندازه گیری فشار بالا (Rangeability(MHP)) می کند که در شرایط فشار وارد شده توسط کاربر است. اما از آنجایی که غالباً این فشار مقدار بالایی دارد، محدوده اندازه گیری تعیین شده بسیار بالاتر از شرایط فشار پایین

است که از آن برای محاسبه G-rate کنتور استفاده می‌کنند. پس بدین ترتیب محدوده اندازه‌گیری فشارپایین (Rangeability(MLP)) که نسبت محدوده اندازه‌گیری فشار بالا به محدوده حاصل ضرب دانسیته نسبی در فشار گاز است، در نرم افزار دیده شد. فشار گاز برحسب بار در اینجا اعمال می‌شود. از دیگر اصلاحات انجام شده در صفحه ورود اطلاعات کاربر، امکان مشاهده دبی اسمی و دبی حداکثر در شرایط غیر استاندارد است که این امکان نیز ایجاد شده است. برای تبدیل بین شرایط استاندارد و غیراستاندارد دبی حداکثر و اسمی، از ضریب کلی کنتور استفاده شده است که مقدار آن توسط نرم افزار در شرایط دمایی، فشار و دانسیته‌ای مختلف گاز تغییر می‌کند و توسط کاربر قابل مشاهده است. ضمناً ضریب فشاری (FP) (نسبت فشار عملیاتی بر حسب psia به فشار استاندارد ۱۴.۷ psia)، ضریب دمایی (FT) (نسبت دمای استاندارد R ۵۲۰ به دمای عملیاتی بر حسب R) و عکس ضریب تراکم پذیری (1/Z) نیز مشاهده می‌شود.

دیگر خصوصیتی که به نرم افزار اضافه شد، مقدار دبی حداقل کنتور در شرایط غیراستاندارد می‌باشد. این مقدار از تصحیح مقدار دبی حداقل کنتور در شرایط استاندارد با ضرب در ضریب کلی کنتور و محدوده حاصل ضرب دانسیته نسبی در فشار گاز بدست می‌آید. در اینجا نیز فشار گاز برحسب بار اعمال می‌شود.

ضمنا برای راحتی کاربران امکان اعمال مقدار فشار محیطی و انجام تبدیل واحدها در صفحه ورود اطلاعات قرارداده شده است. فرمت جدید صفحه ورود اطلاعات (Input data) در شکل ۷۳-۲ آورده شده است. صفحه تبدیل واحد نیز در شکل ۷۴-۲ نشان داده شده است.

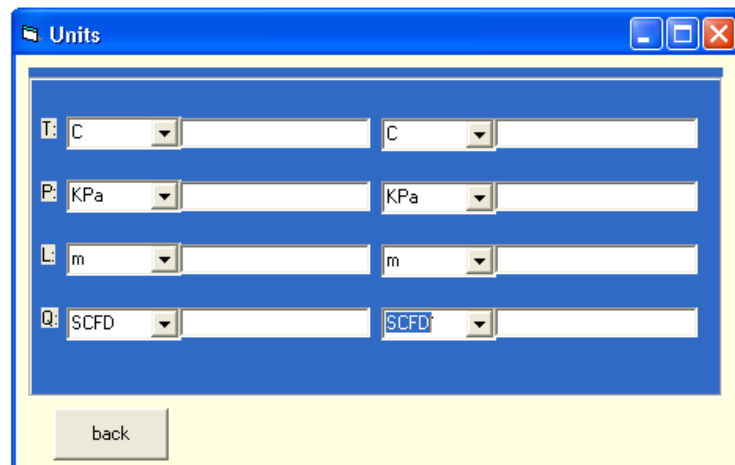
The screenshot shows the 'Input Data' window with the following details:

- Gas Physical Property:**
 - Gas Type: Clean Gas
 - Gas Gravity: 0.6
 - Environmental Pressure: 14.615
- Instrument Specifications:**
 - Pipe Size (Inch): 3
 - Accuracy of full Scale: 1 %
 - T_{pc} (R): 352.26
 - P_{pc} (Psia): 676.9
 - Z (Compressibility): 0.961
 - F_p: 18.006
 - F_t: 1
 - 1 / Z (Compressibility factor): 1.0406
 - Total factor of meter: 18.737
 - Q actual (CMh): 200.004
 - Q Min (CMh): 13
 - Q Max (CMh): 250
 - Rangeability (MHP): 63.63
 - Rangeability (MLP): 19.23
 - Gas Velocity: ft/s (39.993)
- Gas Flow Specifications:**

	Minimum Bound	Nominal	Maximum Bound	
Flow Bound	SCMh	73.62	3747.4	4684.25
Pressure Bound	Psig	0.25	250	300
Temperature Bound	F	-1	60	70

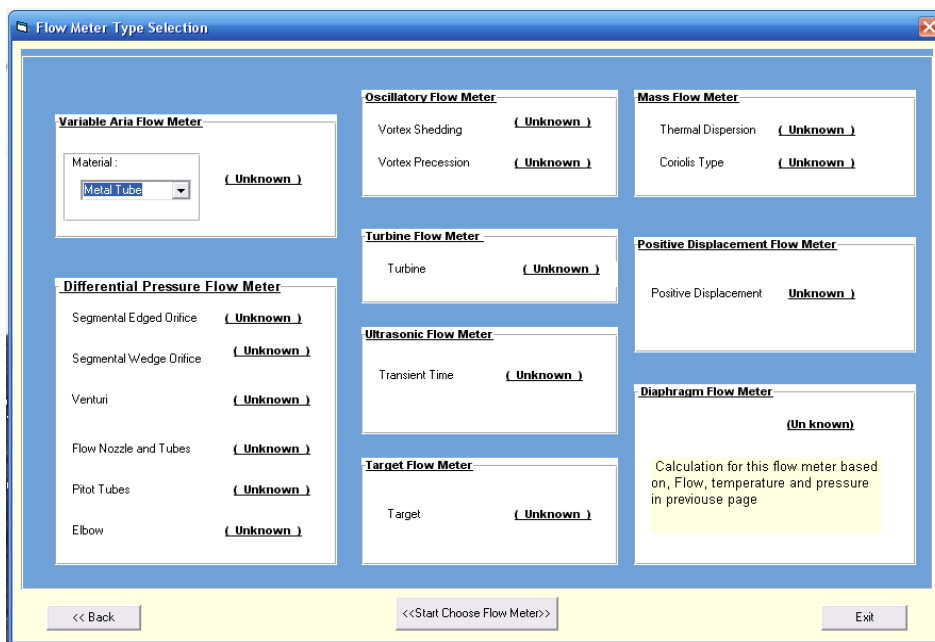
At the bottom of the window are buttons for << Main, Next >>, and Units.

شکل ۷۳-۲: صفحه جدید ورود اطلاعات



شکل ۲-۷۴: صفحه تبدیل واحد نرم افزار

از دیگر تصحیحات اعمال شده، قراردادن حالت پیش فرض Material کنتورهای Variable area در حالت Metal tube است که در شکل ۲-۷۵ این تغییر قابل مشاهده می باشد.



شکل ۲-۷۵: صفحه جدید انتخاب نوع کنتور

ضمنا با جمع آوری اطلاعات شرکت های سازنده دیگر دبی سنج های توربینی به تکمیل نرم افزار پرداخته شده است. بطوریکه صفحه مربوط به شرکت های سازنده دبی سنج های توربینی به شکل زیر در آمد. همان گونه که در شکل ۲-۷۶ ملاحظه می شود امکان پیشنهاد اندازه کنتور توربینی مناسب توسط نرم افزار به کاربر داده شده است. قابل ذکر است که سایز ذکر شده مطابق با جدول ۲-۱۸ براساس استاندارد PTB اروپا آورده شده است.



شکل ۲-۷۶: شکل جدید صفحه شرکت های سازنده دبی سنج های توربینی

۶.۲ کلیات نرم افزار انتخاب کنتور

در این بخش به منظور جمع‌بندی کلیه مواردی که تاکنون برای تدوین نرم افزار استفاده شده است قابلیت‌های فعلی نرم افزار تشریح می‌شود. این نرم افزار در حال حاضر قابلیت انتخاب انواع کنتورهای دیافراگمی و توربینی مورد استفاده در صنایع گازرسانی را دارد. در این نرم افزار برای آشنایی ابتدایی کاربران توضیح کلی از کاربردهای انواع دبی سنج‌ها و شماتیک آنها آورده شده است. همچنین این نرم افزار می‌تواند بر اساس خصوصیات مورد نظر کاربر، نوع کنتور مناسب را پیشنهاد دهد. این خصوصیات که همگی توسط کاربر بایستی در ابتدا به نرم افزار داده شود شامل موارد زیر می‌باشد:

- خصوصیات گاز
- فشار محیطی
- شرایط عملیاتی کنتور یعنی دبی، دما و فشار اسمی
- دقت اندازه‌گیری
- سایر خط‌لوله‌ای که قرار است کنتور روی آن نصب گردد

در این نرم افزار بعد از وارد کردن اطلاعات اولیه لازم امکان مشاهده پارامترهای مختلفی مثل سرعت جریان گاز عبوری در واحدهای مختلف، دبی اسمی، دبی حداقل و دبی حداکثر کنتور در

شرایط غیراستاندارد، ضریب فشاری (FP)، ضریب دمایی (FT) و ضریب تراکم پذیری ($1/Z$)، خصوصیات مختلف گاز مورد نظر مثل دمای بحرانی، فشار بحرانی، دمای کاهش یافته، فشار کاهش یافته و ضریب تراکم پذیری آن و همچنین محدوده جریان فشار بالا و فشار پایین وجود دارد.

جدول ۱۸-۲: مشخصات سایزهای مختلف کنتورهای توربینی

G-rating	Pipe Size	Qmax (m³/h)	Qmin(m³/h), B=30	Qmin(m³/h), B=20	Qmin(m³/h), B=10	Qmin(m³/h), B=5
G 16	2"	25	-	-	-	5
G 25	2"	40	-	-	-	8
G 40	2"	65	-	-	6	13
G 65	2"	100	-	5	10	20
G 100	3"	160	-	8	16	32
G 160	3"	250	8	13	25	50
G 160	4"	250	-	13	25	50
G 250	3"	400	13	20	40	80
G 250	4"	400	-	20	40	80
G 250	6"	400	-	20	40	80
G 400	4"	650	20	32	65	130
G 400	6"	650	-	32	65	130
G 400	8"	650	-	32	65	130
G 650	6"	1000	32	50	100	200
G 650	8"	1000	32	50	100	200
G 1000	6"	1600	50	80	160	320
G 1000	8"	1600	-	80	160	320
G 1000	10"	1600	-	80	160	320
G 1600	8"	2500	80	130	250	500
G 1600	10"	2500	80	130	250	500
G 2500	10"	4000	130	200	400	800
G 2500	12"	4000	-	200	400	800
G 4000	12"	6500	200	320	650	1300
G 4000	16"	6500	-	320	650	1300
G 6500	16"	10000	320	500	1000	2000
G 6500	20"	10000	-	500	1000	2000
G 10000	20"	16000	-	800	1600	3200
G 10000	24"	16000	-	800	1600	3200
G 16000	24"	25000	-	1300	2500	5000

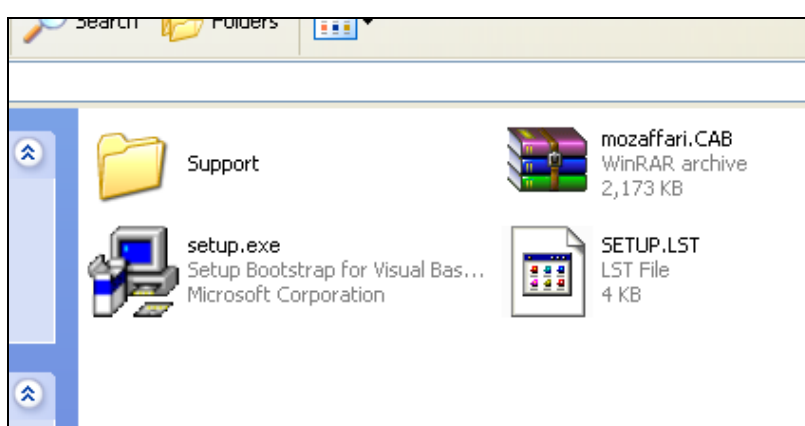
بعد از انتخاب کنتور مناسب توسط نرم افزار امکان مشاهده خصوصیات کلی کنتور مناسب، سایز مطلوب و شرکت های سازنده این نوع کنторها در برنامه وجود دارد. شایان ذکر است که اطلاعات شرکت های متعدد تولید کننده های کنتورهای توربینی و دیافراگمی که مورد نیاز شرکت گاز استان می باشند، در نرم افزار گنجانده شده است. بدین ترتیب کاربر می تواند ضمن مشاهده انواع مدل های شرکت های مختلف، مدل مناسبی را که توسط نرم افزار پیشنهاد می شود و همچنین خصوصیات این مدل ها را ملاحظه کند. علاوه بر آن، امکانات جانبی دیگری نظیر تبدیل واحد پارامترهای مختلف در نرم افزار گنجانده شده است.

۷.۲ نصب نرم افزار انتخاب دبی سنج

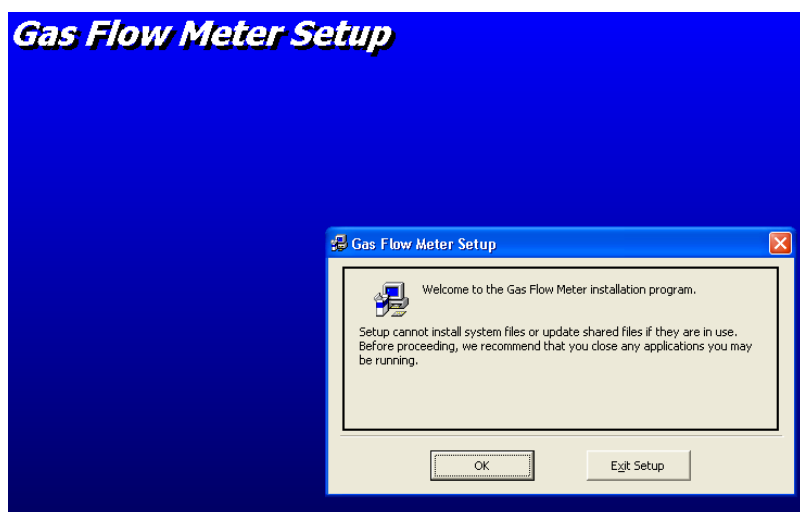
برای استفاده از این نرم افزار، در ابتدا بایستی این نرم افزار مانند هر نرم افزار دیگر نصب گردد. فایل حاوی نصب نرم افزار همراه گزارش می باشد.

۱.۷.۲ راهنمای نصب

فایل حاوی بسته نرم افزار شامل یک فایل با اسم Setup می باشد. با کلیک بر روی این فایل (شکل ۷۷-۲)، صفحه جدیدی نمایان می شود (شکل ۷۸-۲) که در این مرحله بر روی دکمه OK کلیک می شود.

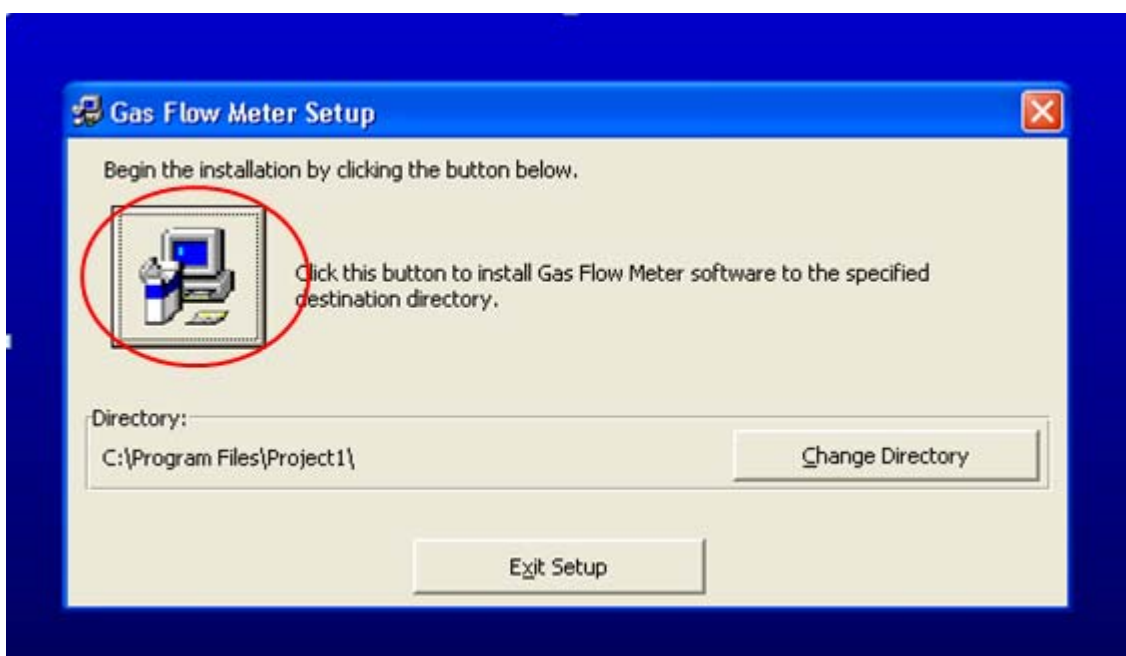


شکل ۷۷-۲: فایل های موجود در بسته نرم افزاری



شکل ۷۸-۲: صفحه اول مربوط به نصب نرم افزار

در مرحله بعد با کلیک بر روی دکمه OK صفحه جدیدی نمایان می شود که در آن از کاربر مسیری را که نرم افزار می خواهد نصب شود پرسیده می شود (شکل ۷۹-۲).



شکل ۷۹-۲: صفحه اعلام مسیری که نرم افزار قرار است در ان نصب گردد.

همانطور که در شکل بالا نمایان می‌باشد، با کلیک بر روی قسمتی که در شکل ۷۹-۲ با دایره قرمز مشخص شده، نرم افزار شروع به نصب می‌کند تا پیغام نصب با موفقیت ظاهر شود (شکل ۸۰-۲).



شکل ۸۰-۲: صفحه اعلام نصب با موفقیت نرم افزار

۸.۲ منابع

- [۱] گزارش ماهیانه فعالیت‌های انجام شده در اردیبهشت ماه ۱۳۸۷، KHGCRO MR 1387-01، دفتر پژوهش شرکت گاز استان خوزستان، خردادماه ۱۳۸۷

[۲] گزارش ماهیانه فعالیت‌های انجام شده در مردادماه ۱۳۸۷، KHCRO MR 1387-04، دفتر پژوهش شرکت گاز استان خوزستان، شهریورماه ۱۳۸۷

[۳] گزارش ماهیانه فعالیت‌های انجام شده در شهریورماه ۱۳۸۷، KHCRO MR 1387-05، دفتر پژوهش شرکت گاز استان خوزستان، مهرماه ۱۳۸۷

[۴] گزارش ماهیانه فعالیت‌های انجام شده در مهرماه ۱۳۸۷، KHCRO MR 1387-06، دفتر پژوهش شرکت گاز استان خوزستان، آبانماه ۱۳۸۷

[۵] گزارش ماهیانه فعالیت‌های انجام شده در آبانماه ۱۳۸۷، KHCRO MR 1387-07، دفتر پژوهش شرکت گاز استان خوزستان، آذرماه ۱۳۸۷

۳ ایستگاه‌های تقلیل فشار و اندازه‌گیری

ایستگاه‌های گاز با اهداف متفاوتی ساخته می‌شوند. دسته‌بندی این ایستگاه‌ها با توجه به کاربرد آنها مشتمل بر موارد ذیل است.

- ایستگاه‌های تقلیل فشار شهری CGS فشار گاز را از Psi ۱۰۰۰ تا حد فشار گاز ورودی به شهر (معمولاً Psi ۲۵۰) پایین می‌آورند.

ایستگاه‌های تقلیل فشار ناحیه‌ای TBS فشار گاز را از فشار گاز ورودی به شهر (معمولاً Psi ۲۵۰) به میزان قابل عبور در لوله‌کشی گاز شهری پایین می‌آورند.

ایستگاه‌های تقلیل فشار CGS/TBS فشار گاز را از Psi ۱۰۰۰ به میزان قابل عبور در لوله‌کشی گاز شهری پایین می‌آورند. این ایستگاه‌ها عموماً در ظرفیت‌های پایین و برای استفاده در روستاهای کار می‌روند.

- ایستگاه‌های اندازه‌گیری جریان گاز METERING در یک فشار مشخص، دبی گاز را در دما و فشارکاری و محیط اندازه‌گیری می‌کنند.

جهت تصفیه گاز ورودی به یک سیستم به کار می‌رود و در ورودی سیستم نصب می‌گردد. همچنین بر اساس نوع استقرار، تقسیم‌بندی ذیل برای ایستگاه‌ها وجود دارد:

- ایستگاه‌های کابیتی
- ایستگاه‌های مسطح

- ایستگاه‌های زیرزمینی

اجزای اصلی ایستگاه‌های تقلیل فشار اعم از CGS، TBS و CGS/TBS با توجه به هدف مشترک آنها در کاهش فشار مشتمل بر موارد ذیل می‌باشد.

۱. شیرها اعم از توپی، اطمینان، مخروطی و شیر قطع

۲. فیلتر گاز خشک

۳. رگولاتور

۴. دبی‌سنچ گاز

شایان ذکر است که CGS‌ها علاوه بر موارد فوق دارای دستگاه بوده‌ی به گاز نیز می‌باشند. بخش اصلی ایستگاه‌های اندازه‌گیری، دبی‌سنچ گاز همراه با شیر آلات مربوطه بوده و بخش اصلی فیلتراسیون نیز فیلتر و تجهیزات مرتبط با آن می‌باشد.

در این ایستگاه‌ها محدوده‌ی دبی ورودی از ۴۰۰ تا ۲،۰۰۰،۰۰۰ متر مکعب استاندارد بر ساعت بوده و محدوده‌ی فشار ورودی بین ۱۵۰ تا ۱۴۰۰ پوند بر اینچ مربع و فشار خروجی بین ۶۰ تا ۲۵۰ پوند بر اینچ مربع می‌باشد. با توجه به اهمیت اینمی و رعایت مسائل استاندارد در کلیه‌ی صنایع وابسته به نفت و گاز، ایستگاه‌های گازی اعم از تقلیل، اندازه‌گیری و فیلتراسیون نیز از این قاعده مستثنی نبوده و هر یک از این ایستگاه‌ها استانداردهای مرتبط به خود را دارا می‌باشند. در این استانداردها با توجه به محدوده‌ی فشار و دبی کاری، تجهیزات قابل استفاده در هر یک از موارد فوق معرفی شده‌است.

یقیناً تک‌تک اجزای یک ایستگاه، اعم از فیلترها، هیترها (گرمکن)، شیرهای کترلی، دبی‌سنچ‌ها، رگولاتورها، بودارکننده و لوله‌کشی و بنا کردن یک ایستگاه و بالطبع طراحی آن شامل استانداردهای خاص خود می‌باشد و بدون بررسی این اجزا عملاً غیر ممکن است. بدین ترتیب مباحثی که در این فصل بدان پرداخته می‌شود مشتمل بر موارد ذیل است.

- تعاریف، ملاحظات و استانداردها کلی در زمینه‌ی طراحی ایستگاه‌های تقلیل فشار و ایستگاه‌های اندازه‌گیری

- استانداردهای اجزای داخلی ایستگاه‌ها

- ایستگاه‌های کابینتی

- ایستگاه‌های زیرزمینی

- استانداردهای طراحی ایستگاههای اندازه‌گیری آلتراسونیک

شایان ذکر است آنچه که در این فصل به آن پرداخته شده است مواردی می‌باشد که با جستجوهای فراوان اینترنتی پیدا شده و در بخش مراجع این فصل به آنها اشاره شده است.

۱.۳ استانداردهای کلی ایستگاههای تقلیل فشار و اندازه‌گیری

جهت طراحی، نصب، نگهداری و تعمیر اجزای مختلف یک شبکه تولید و انتقال گاز طبیعی نیاز به رعایت یکسری استاندارد می‌باشد تا بتوان طبق آن استانداردها از سوی شرکت سازنده و برای مشتری یا خریدار آن قطعات و تجهیزات در تمامی مراحل فوق (از طراحی تا تعمیر) اقدام نمود. در ادامه به برخی از این استانداردها که در مورد ایستگاههای تقلیل فشار و اندازه‌گیری می‌باشد، اشاره خواهد شد.

۱.۱.۳ معیار عملکرد در استانداردهای ایستگاه تقلیل فشار

جهت مکاندهی و مشخص کردن کامل ایستگاههای تقلیل فشار و ایستگاههای اندازه‌گیری، سندسازی و انجام فرایندهای مربوط به مونتاژ تجهیزات و تأسیسات ایستگاهی، یکسری استاندارد به شرح زیر وجود دارد:

- تعیین مکان و تفسیر فرایندهای شرکتی برای مونتاژ و نصب ایستگاههای تقلیل فشار استاندارد، رگولاتورها، وسایل اندازه‌گیری و تجهیزات جانبی در جهت و در ارتباط با نیازهای خاص صنعتی.
- محدوده: نصب، مجوز، اطلاعات تولیدکننده، گواهی‌نامه انجام تست، مقررات کارکرد تجهیزات، فرآیندهای ایمن، فرآیندهای کار.
- محدود کردن مقررات و دستورالعمل‌های کاری طبق فرایندهای شرکت.
- تعیین خطرهای امنیتی، محیطی و بالقوه در ارتباط با پرسوهای شرکتی.
- تعیین و تشریح تجهیزات و مواد برای عیب‌یابی و اشکالات در عملکرد درست در رابطه با تجهیزات ایستگاههای تقلیل فشار و اندازه‌گیری و بر حسب نوع و تابع عملکرد.

محدوده: شیرآلات، لوله‌ها، فیلترها، محافظ لوله‌ها، رگولاتورها، اندازه‌گیرها، گسکیت‌ها، پیچ‌ها، گیج‌ها (شاخص‌ها)، نقاط ارزیابی^۳، رنگ‌کاری، تجهیزات تست، ابزارآلات و فیت‌کننده‌ها.

- تشریح تجهیزات بر اساس خطرهای بالقوه‌ی کاربرد نادرست و یا عملکرد ناصحیح، و تشریح اینکه چگونه از آنها بر اساس فرآیندهای کارخانه‌ای پیش‌گیری کنیم.
- تعیین تجهیزات اساسی طبق فرآیندهای کارخانه.

محدوده: واحد صنعتی، ابزارآلات، مواد، مستندسازی، پرسنل، تجهیزات ارتباطی.

۲.۱.۳ آماده ساختن سایت برای نصب ایستگاههای استاندارد

این جزء شامل قسمت‌های زیر می‌شود:

- تعیین خطرهای ایمنی، جداسازی، حذف و یا حداقل کاهش آنها در فرآیندهای مربوط
- محدوده: موانع ترددی موجود، تجهیزات محافظتی شخصی، خروجی‌ها و راههای عبور، محیط‌های فرار گاز و تخلیه‌ای، آتش، انبار، خفگی، کنترل ترافیک موقت، محافظ محیطی و وسائل و امور کاوش و حفاری.
- آماده ساختن، مدیریت و موقعیت دادن به تجهیزات نصبی و مواد طبق دستورالعمل سازنده.

۳.۱.۳ مونتاژ و نصب استاندارد ایستگاهها

این جزء شامل قسمت‌های زیر می‌شود:

- سوار نمودن و نصب استاندارد ایستگاههای تقلیل فشار و اندازه‌گیری و وسائل جانبی مطابق با دستورالعمل سازنده.

محدوده: روغن‌کاری، کالیبراسیون، تنظیمات شیر اطمینان، فیلترها، خوردگی و دیگر مشخصات سایت.

- استفاده تجهیزات نصبی مطابق با کاتالوگ سازنده

- تنظیم و تأیید قطعات و اجزا مطابق دستورالعمل سازنده

- مونتاژ و نصب

³ Test points

۴.۱.۳ تشكیل کمیسیون و تست یک ایستگاه تقلیل فشار گاز و اندازه‌گیری

این جزء شامل قسمت‌های زیر می‌شود:

- تخلیه کامل ایستگاه مطابق با دستورالعمل سازنده و فرایند شرکت و بر اساس نیاز محدوده: بخارات زائد، شیرهای اطمینان، رگولاتورها، وسایل اندازه‌گیری، تنظیمات فشار، رابطه‌ها و تست‌کننده‌ها.
- تست کردن ایستگاههای تقلیل فشار و اندازه‌گیری بر حسب نیاز و مطابق با دستورالعمل سازنده: بخارات زائد، شیرهای اطمینان، رگولاتورها، وسایل اندازه‌گیری، تنظیمات فشار، رابطه‌ها و تست‌کننده‌ها.

۵.۱.۳ تجدید بنای سایت

این جزء به منظور تدوین استاندارد در زمینه تجدید بنای یک سایت گازی بوده و شامل قسمت‌های زیر است:

- ذخیره کردن تجهیزات و مواد در مکانی امن و مطمئن بلافاصله پس از اقدام یا منظم و مرتب کردن آنها طبق دستور سازنده.
- برداشتن ابزارآلات، تجهیزات و مواد از داخل سایت بر اساس نیاز فرآیندی.
- دوباره برپا کردن و ایمن‌سازی سایت کاری.

۶.۱.۳ تدوین یک گزارش کامل و مستند سازی

- ارتباطدهی اطلاعات به دیگر قسمت‌های داخلی و خارجی مطابق نیاز موجود.
- فرآیندسازی و کامل کردن وقایع به همراه مستندسازی طبق دستورالعمل شرکت.

۷.۱.۳ موقعیت ایستگاهها

ایستگاهها بایستی برپایه خواصی بنا شوند که دارای جواز و لیسانس مربوط هستند. از طرفی در انتخاب موقعیت سایت یک ایستگاه موارد ذیل باید در نظر گرفته شوند:

- سازگاری ساختار و عملکرد ایستگاه با لازمه‌ها و نیازهای معلوم و موجود طراحی آتی.

- کمینه بودن ضربه صدایی و دیگر انتشارات امواج از سایت روی همسایگان موجود یا آتی ایستگاه صرفنظر از مقررات محدودیت برای محیط مسکونی همچوار.
- مشارکت و بکارگیری خصوصیات و موارد طبیعی (مثل گل و گیاه) با یا بدون درنظر گرفتن چشم‌اندازهای ساختمانی در طراحی جهت کاهش ضربات و آسیب‌های زیست‌محیطی و آلودگی‌های صوتی روی همسایگان ایستگاه و نیز زیباسازی ایستگاه
- مقرر کردن دسترسی مداوم به سایت
- کاهش تهدیدات و تداخلات خارجی مانند برخورد خودرو به سایت به هر نحو ممکن.
- اختصاص احتمال خطر برای همسایگان سایت در مورد آتش یا آزادسازی سیالات.
- مناسب بودن وضعیت ارتباطات صدایی و داده‌ای در محوطه ایستگاه (دیتا و صوتی مخابراتی)

۸.۱.۳ طرح اولیه ایستگاه

برای جلوگیری از خطر انتشار و شیوع آتش، بایستی فواصل ممیزی مناسبی از لوله‌کشی و تجهیزات ایستگاه تا ساختمان‌های مجاور، درختکاری و حاشیه جاده‌های اطراف درنظر گرفته شوند. به منظور جلوگیری از انتشار و ارتباط آتش به بیرون این حصارها، فاصله‌ای حداقل به اندازه ۱۵ متر باید بین حصارکشی و ساختمان ایستگاه پمپ یا کمپرسور پیش‌بینی گردد. بهمین منظور باید حداقل فاصله‌ی ۱۵ متری بین حصار و محل نصب شیرهای رگولاتوری، آزادکننده و قطع جریان درنظر گرفته شود. هیچ گونه مواد قابل اشتعالی در فاصله ۱۰ متری از ایستگاه‌ها و بناهای مربوط به پمپ و کمپرسور یا ایستگاه‌های تقلیل فشار و اندازه‌گیر نبایستی حضور داشته باشند. همچنین فضای باز کافی (حداقل ۴ متر بین تجهیزات ایستگاهی) برای جابجایی وسایل اطفاء حریق بایستی در نظر گرفته شوند.

۹.۱.۳ دیگر فرضیات

دیگر فرضیات به صورت مجموعه زیر برای هر ایستگاه در نظر گرفته شوند:

- فاصله بین ادوات و تجهیزات
- امنیت و ایمنی
- کنترل آلودگی ایجاد شده توسط ایستگاه
- کنترل صوت و سر و صدا

- هواکش و فاضلاب
- دفع و تجزیه مایعات

۲.۳ استانداردهای ایمنی ایستگاهها

جهت ایجاد و حفظ ایمنی در یک ایستگاه نکات و موارد ذیل لازم‌الاجرا هستند:

۱.۲.۳ محیط‌های پرخطر

حوزه محیط‌های پرخطر برای هر سایت ایستگاهی باید مطابق استانداردهای AS2430.1 و AS2430.3 تعیین شوند بگونه‌ای که هیچ خطری برای عموم در آنسوی حصار ایستگاه باقی نماند (مگر اینکه از حضور عموم در سطوح و محیط‌هایی فراتر از حصار با اخذ تأییدیه جلوگیری شود).

۲.۲.۳ محافظت پرسنل

یکی دیگر از موارد محافظتی که در طراحی ایستگاه باید رعایت گردد، محافظت پرسنل و بازدیدکننده سایت از هرگونه خطر است. این محافظت می‌باشد با ترکیب طرح اولیه، ایزولاسیون مناسب، گارد، تجهیزات ایمنی مؤثر و طراحی مناسب ساختمانی ایجاد گردد. هنگامیکه ایمنی کامل با استفاده از تجهیزات امکانپذیر نباشد، وسایل محافظتی پرسنل باید در تعداد مناسب و در کیفیتی خوب فراهم و در اختیارشان قرار گیرد.

۳.۲.۳ محافظت در برابر آتش

موارد ذیل بایستی برای محافظت در برابر آتش مد نظر واقع شوند:

- تهییه و نصب تجهیزات اطفای حریق مناسب، پیشرفت و به روز
- ایجاد سیستم‌های تشخیص دود، گاز و آتش در ساختمان‌های محل تجمع گاز و بخارات گازی و نیز در ساختمان‌های پمپ و کمپرسور.

کلیه این سیستم‌ها باید با شروع به کار ایستگاه فعال شده و شامل هشداردهنده‌های (آلارم‌های) محلی یا کنترل از راه دور (ریموت)، خاموش کن اتوماتیک، اطفاء خودکار، سیستم کاهش فشار اضطراری و سیستم خاموشی اضطراری (ESD)^۴ باشند؛ تا هنگامیکه شرایط ایمن به ایستگاه به طور کامل بازنگشته است راهاندازی ایستگاه مقدور نباشد.

⁴ Emergency Shut Down (ESD) system

- وجود سیستم‌های تأمین قدرت برای زمان‌هایی که منبع تأمین توان ایستگاه به هر دلیل اضطراری‌ای از مدار خارج گشته است.
- عایق‌کاری یا حتی‌المقدور خنک‌کاری سطوح داغ کمپرسورها و ماشین‌ها جهت جلوگیری از آتش گرفتن گاز، بخارات و مواد قابل اشتعالی که یا وجود دارند یا جهت جلوگیری از بالاروی قدرت انفجار مخلوط‌های گازی تخلیه می‌گردند.
- کنترل گیاه‌کاری و رشد و نمو گل و گیاه که بعنوان یک خطر آتش‌سوزی به حساب نیایند.
- کنترل مایعات قابل اشتعال

٤.٢.٣ خطر رعد و برق و اتصال زمین^٥ در ایستگاه

لوله‌کشی و سایر تجهیزات ایستگاهی بایستی به طور کامل و مناسب با زمین اتصال الکتریکی داده شوند تا تخلیه ولتاژها و بارهای القایی را تا مرز ایمنی صورت دهند. همچنین تجهیزات کارگاهی، ابزارآلات و حصار و حفاظ ایستگاه می‌بایست به‌طور کامل با زمین اتصال داده شده تا از برق‌گرفتگی پرسنل به هنگام القای الکتریکی این وسایل جلوگیری به عمل آید.

طراحی سیستم اتصال با زمین ایستگاه و لوله‌کشی‌های آن بایستی با سیستم‌های حفاظت کاتدیک و حفاظت در برابر خوردگی لوله‌های مدفون در ایستگاه سازگار باشد؛ این سازگاری و محافظت را می‌توان با ایزو‌لاسیون و عایق‌کاری الکتریکی لوله‌ی زیرزمینی مرتبط با وسایل انحراف الکتریکی ایجاد کرد.

آسیب رعد و برق به تجهیزات گفته شده در بالا و یا خطرات آن برای پرسنل از چهار راه متداول ناشی می‌گردد:

- برخورد مستقیم رعد و برق به تجهیزات زمینی ایستگاه
- برخورد رعد و برق به حواشی تجهیزات زمینی در ایستگاه
- برخورد صاعقه به نزدیکی لوله‌های انتقال گاز
- برخورد صاعقه به منبع تغذیه ورودی الکتریکی یا کنداکتورهای مخابراتی

در واقع حذف کلی و صدرصد خطراتی که متوجه پرسنل در حال ایستادن در مجاورت اجزای فلزی ایستگاه می‌باشند، نشدنی و غیر عملی است، چون برای این کار پوشش‌های اتصال زمین بسیار

⁵ Earthing

وسيعی مورد نياز است که با آن وجود روش ذکر شده تنها به صورت جزئی مؤثر خواهد بود. مخصوصاً در مواردی که خاکهای با مقاومت ويژه بالا وجود دارند، هنوز پتانسیلهای خطرناکی می‌توانند پیرامون سیستم‌های وسعتی از حیث زمین در ایستگاه وجود داشته باشند و از طرفی مقاومت ظاهری (امپدانس) کنداکتور ممکن است اجازه ظهور ولتاژهای قابل توجهی را بین تأسیسات لوله و زمین بدهد. هنگامیکه صدای رعد به گوش رسید کلیه افرادی که بیرون مشغول فعالیت هستند بایستی از مکان‌های قابل انفجار دور شده و به دنبال سرپناهی مناسب بگردند. حفاظتی که باید بدنبال آن بود بایستی حداقل یک سرپوش نرمال را شامل شود؛ یا یک وسیله با بدنه کاملاً فلزی مثل ماشین یا کامیونی را پیدا نمود که سرپوش آن فلزی بوده و خود پرسنل با فلزات آن وسیله تماسی نیابند.

حفاظت از لوله‌ها و تجهیزات ایستگاه با نصب یک سیستم خاموش‌کن مغناطیسی مناسب امکان‌پذیر خواهد بود. نوعاً این سیستم شامل یک یا چند میله صاعقه‌گیر در بالاترین نقاط سازه، کنداکتورهای به سمت پایین مناسب، الکترودهای اتصال به زمین و اتصال منفی تجهیزاتی می‌شود. رعدوبرق‌هایی را که به خاطر برخورد با منبع تغذیه برق ورودی یا کنداکتورهای ارتباطاتی نفوذ می‌کنند، می‌توان با استفاده از یک گیره (محدودکن) ولتاژ مناسب تخفیف اثر داد. جزئیات طراحی چنین سیستم‌های محافظ رعد و برق در AS/NZS 1768 یافت می‌گردد.

انتقال انرژی از برخورد صاعقه‌ها به زمین در نزدیکهای خط لوله می‌تواند بوسیله‌ی نصب اتصال به زمین مناسب کم‌اثر شود. جزئیات بیشتر این حفاظت از لوله در AS/NZS 4853 یافت می‌گردد.

۵.۲.۳ روشنایی

روشنایی مناسب در مناطق و راهروها، در خروجی، دورتادور مناطق حساس پمپ و کمپرسور، و گردآگرد تجهیزات کنترلی باید تعییه گردد.

همچنین در یک ساختمانی که اتوماتیک‌وار سیستم کنترلی ایستگاه تجهیزات برقی و تغذیه‌ای آن را خاموش می‌کند، روشنایی اضطراری باید ایجاد گردد.

۵.۲.۴ خروجی‌ها و حصارکشی‌ها

ایستگاه‌ها باید با حصارهایی با ويژگی‌های ذیل ضمیمه گردد:

- نداشتن ارتفاع کمتر از ۲ متر؛
- محدودکننده‌ی ورودهای غیرمجاز؛
- نداشتن ورودی کمتر از ۲ مورد (آنچنانکه مسیرهای گریز بسیار مجزا از هم فراهم گردد)

• ارائه علامت‌های ممنوعیت و هشدارهای مناسب روی هر دو طرف مطابق AS 1319

دروازه ورود پرسنل بایستی حداقل ۶۰ متر از بین حصار بوده و باید قابلیت باز شدن بدون نیاز به کلید از داخل را داشته باشد. حداقل یکی از دروازه‌های ورودی باید آنچنان ساخته شده و اندازه‌بندی شود که دسترسی به آمبولانس‌ها و تجهیزات آتش‌نشانی با اطمینان انجام گیرد. از سویی فراهم نمودن خروجی‌های اضطراری که معادل با درهای دیگر هستند لازم است.

٧.٢.٣ هوایش و تخلیه

جایی که گاز قابل اشتعال به اتمسفر تخلیه می‌شود، مکان سیستم‌های تخلیه باید جهت بادهای غالب مورد توجه بوده و نیز کمتر کردن ورود هوا به تجهیزات موتورهای احتراقی مورد ملاحظه قرار گیرد. سطوحی که تمرکز کم گاز ممکن است موجب خطر یا مزاحمتی در عملکرد شود نیز باید مورد بررسی قرار گیرند.

٨.٢.٣ سیستم قطع فعالیت

هر ایستگاه باید با سیستمی که اجزاء ایستگاه را به طور امنی مجزا می‌نماید یا کل ایستگاه را از داشتن پتانسیل خطرناکی دور نگه می‌دارد، تجهیز گردد. معمولاً سیستم خاموشی یا قطع فعالیت با یک ساختار سلسله‌مراتبی تکمیل می‌شود. بالاترین سطح این کار ایجاد یک قطع‌کننده اضطراری ایستگاه یا^٦ ESD است که ارتباط میان ایستگاه و فعالیت منبع تغذیه و ابزار تحویل آنرا را قطع می‌نماید. همچنین این سیستم برای یک ایستگاه می‌تواند تخلیه فشاری آن باشد. سطوح پایین‌تر در این سیستم شامل توقف واحدها، تجزیه و قطع ارتباط اجزا، و توقف فعالیت واحد بدون تخلیه فشاری می‌شود. سیستم قطع فعالیت می‌بایست به طور مناسبی و به شکل اتوماتیک، محلی و کنترل از راه دور تجهیز گردد. شیرهای ایزولاسیون باید در خارج ساختمان یا حصار قرار گیرند تا افزایش شدت آتش‌سوزی‌ها با کنار رفتن منبع سوختی از میان برده شود. لازم به ذکر است که در جاییکه سیستم قطع به شکل اتوماتیک طراحی می‌گردد، نتیجه و اثر انقطاع یکدفعه‌ای تغذیه‌ای در فرایندهای پایین‌دست باید مدنظر قرار گیرند.

⁶ Emergency Shut Down

۹.۲.۳ مارکزنی

تجهیزات و لوله‌کشی‌ها بایستی رنگ زده شده و یا مارک گردند آنچنان که اینمی فعالیت ایستگاه با کاملاً مشخص نمودن محتویات، هدف و عملکرد داخل ایستگاه فراهم شده و بالاتر رود. این کار با موارد ذیل همراه است:

- تعیین و شناسایی موقعیت شیرها و کنترل‌گرهای اضطراری
- تعیین محتویات نوع لوله‌کشی مطابق با AS 1345

۳.۰.۳ استانداردهای سازه‌های ایستگاه‌ها

سازه‌ها شامل ساختمان‌ها و فونداسیون‌ها شده و باید مطابق با استانداردهای استرالیایی طراحی شوند. برای هر طراحی بارهای باد و زمین‌لرزه باید در نظر گرفته شوند.

۱.۳.۳ ساختمان‌ها

ساختمان‌ها باید مطابق با استانداردهای ذیل طراحی گردند:

- مواد استفاده شده در ساختمان‌ها که شامل تجهیزات نیز می‌شود باید از مواد سوختنی و قابل اشتعال بوده و مطابق با AS 1530.1 باشند.
- روشنایی محوطه ساختمان‌ها باید برای دسترسی به سایت در شب و نگهداری و تعمیرات در آن هنگام مناسب باشد. برای این امر و برای نور داخل و خارج ساختمان بایستی به ترتیب از استانداردهای AS 1680.2.1 و AS 1158.1 استفاده کرد.
- یک سیستم روشنایی اضطراری که مستقل از هر قطع‌کننده اتوماتیک فعالیت ایستگاه است باید در هر ساختمان استفاده گردد.
- چندین خروجی اضطراری برای بیرون رفتن پرسنل در موقع خطر احتمالی بدون هجوم به یک درب لازم است.
- مسافت در نظر گرفته شده از هر نقطه از ساختمان تا نزدیک‌ترین خروجی باید کمتر از ۲۵ متر بوده و این مسافت باید در امتداد خط مرکزی راهروها، راه‌پله‌ها و گذرگاه‌ها اندازه‌گیری شود.

- درب‌های اضطراری فرار از خطر احتمالی باید از نوع لولایی بوده، از داخل به بیرون باز شده و هیچ نیازی به کلید برای باز شدن نداشته باشند. همچنین بایستی چنین درهایی مارک زده شده و همواره از کیپ‌شدگی آنها جلوگیری بعمل آید.
- تهویه مناسب باید در اتاق‌های کمپرسور، پمپ و دیگر اتاقک‌های ساختمان که دارای هیدرکربن هستند فراهم گردد تا پرسنل به واسطه انياشته شدن بخارات و گازهای قابل اشتعال یا سمی در معرض خطر قرار بگیرند.
- سیستم تهویه باید برای مایعاتی که ممکن است داخل ساختارهای تجهیزاتی آزاد شوند نیز مناسب بوده و باید خصوصیت‌های ذیل را نیز دارا باشد:
 - تخلیه به یک مکان ایمن
 - اگزوژ ایمن و خروج کلیه گازها و بخارات قابل اشتعال
 - جلوگیری از تماس‌های منابع جرقه‌زنی در داخل
 - دارای وسایل چک نمودن فعالیت این سیستم در خارج از ساختمان
 - محدود کننده ورود مواد خارجی

۲.۳.۳ سازه‌های زیرزمینی

گودال‌ها و دیگر سازه‌های زیرزمینی که به نحوی مواد هیدرکربنی را در خود دارند باید به‌گونه‌ای مکان‌دهی، طراحی و بنا شوند که موارد ذیل در آنها فراهم و تجهیز گردیده باشند:

- محدود نمودن تنش‌ها روی لوله‌ها و اجزای لوله‌ای
- محافظت لازم قطعات
- حفاظت کافی و محدودیت قطعات داخل سازه
- حفاظت در برابر جرقه و آتش‌سوزی تصادفی مایعات اشتعال‌پذیر داخل سازه
- محافظت از آسیب‌های وارد به اجزا در برابر بارهای روی پوشش گودال‌ها (مانند رفت و آمد و دیگر بارهای خارجی)
- جلوگیری از ورودهای غیرمجاز به داخل سازه
- وجود مکان کافی و نصب پریازده و مؤثر با لحاظ تعمیرات و نگهداری سیستم مطابق استانداردهای مهندسی طراحی

دقت کافی در طراحی گودال و درپوش آن باید مبذول داشته شود تا در هنگام برداشتن یا تعویض درپوش گودال، این درب به داخل نیفتد.

شیرها باید به گونه‌ای قرار داده شوند که به هنگام دسترسی به گودال های زیرزمینی، محورهای آنها خطری مثل سر خوردن یا افتادن ایجاد نکنند.

هر سازه‌ی تجهیزاتی که دارای حجم داخلی کمتر از ۶ مترمکعب است و هیچ تجهیزاتی از آن بالای سطح زمین قرار نمی‌گیرد، باید تهويه و درزبندی شود.

تجهیزات عایق‌بندی و درزگیری باید شامل خصوصیات ذیل باشند:

- غیر قابل نفوذ برای ورود گاز و بخارات قابل اشتعال
- مجهز به شیرهای اطمینان خلاً و فشاری
- مجهز به پوشش، در یا دریچه برای هر سوراخ بهنحو غیر قابل نفوذ برای گاز یا بخارات اشتعال‌پذیر
- داشتن امکانات تست فضا و اتمسفر داخل بدون نیاز به باز نمودن در یا پوشش

۳.۳.۳ ارتعاشات لوله‌ای

فعالیت تجهیزات ایستگاهی ممکن است باعث ارتعاش و ایجاد شکست ناشی از خستگی در لوله‌ها و محافظه آنها شود؛ از این رو طراحی خط لوله باید فرکانس‌های صوتی‌ای که با فرکانس‌های مکانیکی کمپرسور و لوله‌کشی ایستگاه منطبق هستند را حذف نماید. این طراحی بایستی نیروهای ناشی از ضربان و ارتعاشات فشاری را با مهارکردن ارتعاش لوله بوسیله گیره‌های متداول کم کرده و در سطحی مجاز از تنفس ابقا نماید؛ گیره‌ها و مهارهای خط لوله باید به گونه‌ای باشند که همزمان با این مهار در برابر تنفس، باید به جابجایی‌های ناشی از گرمایش لوله توجه نموده و لوله را برای این مورد آزاد گذاشت.

۴.۳ استانداردهای محافظت در برابر خوردگی ایستگاه‌ها

سیستم‌های محافظت در برابر خوردگی باید به لوله‌کشی ایستگاه و تجهیزات و به صورت سازگار با دوام طراحی اعمال شوند.

هنگامی که طراحی ایستگاه نیاز به لوله‌های فشار زیر زمین دارد، تجهیزاتی باید مهیا گردند تا محافظت از خوردگی خارجی آنها را انجام دهند؛ این امر ممکن است با یک سیستم حفاظت کاتدیک شبیه حفاظت لوله‌های اصلی همراه باشد.

۵.۳ استانداردهای تجهیزات الکتریکی ایستگاهها

تجهیزات الکتریکی باید کاملاً سازگار با استاندارد AS 3000 یا هر استاندارد مورد تأیید دیگر باشند.

۶.۴ استانداردهای فاضلاب ایستگاهها

سایت مربوط به ایستگاه باید به گونه‌ای طراحی گردد که از آلوده کردن خارج ایستگاه توسط مایعات جاری جلوگیری کند. به طور کلی، طراحی ایستگاه باید قادر به تفکیک مایعات کثیف و تمیز روان‌آبهای باران، آبروغن‌ها و سیالات عملکرد ایستگاه به شرح ذیل باشد.

۱.۶.۳ سیالات فرآیندی

سیالات فرآیندی ناشی از شیرهای تخلیه، سیستم‌های اطمینانی فشار، و نشت از تجهیزات باید جدا شده و به یک مخزن انتقال داده شوند؛ به گونه‌ای که به فرآیند بازگشته و یا به تانکی مناسب جهت امحا فرستاده شوند.

۲.۶.۳ روان‌آبهای بارانی

سایت ایستگاه باید برای جدا کردن روان‌آبهای باران در سطوحی که مرتبط با آلودگی توسط کار تجهیزات و تأسیسات نیستند و آبهایی که احتمال آلودگی دارند طراحی گردد. کلیه آبهای غیرآلوده باید به محیطی مناسب خارج سایت تخلیه گشته و آبهای آلوده نیز باید طی مسیری مجزاکننده جهت جلوگیری از خروج آنها از سایت تخلیه گردند؛ اگر خطر بیشتر بودن حجم روان‌آبهای آلوده از ظرفیت این مجزاکننده احساس شود باید شیری در نقطه تخلیه تعبیه گردد تا بقیه مایعات داخل نگهدارنده شوند.

۳.۶.۳ آبهای روغنی

یک سیستم آب روغنی برای تجهیزاتی که عملکردشان پتانسیل تخلیه مخلوط آب و روغن را دارد باید فراهم گردد. آبروغن‌ها باید طی فرآیندی به جداسازی آب و روغن خود وارد گردند. کیفیت آب تخلیه‌ای باید معرفی و تأیید گردد.

ظرفیت سیستم ذخیره و تجزیه آبروغن‌ها باید مناسب و مطابق با بزرگترین مقدار از میان حجم روان‌آبهای سیستم آتش خاموش‌کن، روان‌آبهای باران و روان‌آبهای تجهیزاتی باشد. این سیستم همچنین باید به گونه‌ای طراحی گردد که از ورود مخلوط‌های هوا و بخارات انفجاری به داخل

سیستم فاضلاب جلوگیری نماید. همچنین سیستم فاضلاب باید به گونه‌ای باشد که با تله‌های آتشی طراحی گردیده و بتواند از انتشار آتش درون سیستم دفع فاضلاب جلوگیری بعمل آورد.

۴.۶.۳ هرزآب

هرزآبها و دیگر زباله‌های امور بهداشتی باید در راهی تأییدشده جمع‌آوری، فرآوری و تخلیه شوند.

۴.۶.۵ تجهیزات زیرزمینی

در جاییکه سازه‌های تجهیزاتی تاحدی یا کاملاً زیر زمین قرار می‌گیرند و طغیان آب یا سیلاب‌ها ممکن است فعالیت اینها را مورد تهدید قرار دهد، یک سیستم دفع فاضلاب مناسب و تأیید شده باید نصب گردد. این سیستم دفع فاضلاب باید مناسب برای سیال داخل خط لوله و شرایط ایستگاه باشد. از سویی، ابزارآلات متصل به سیستم کنترل تجهیزات باید برای مانیتور کردن عملکرد امن سیستم دفع فاضلاب تجهیزات زیرزمینی نصب و راهاندازی گردد.

۷.۳ استانداردهای تجهیزات داخلی ایستگاه‌های تقلیل فشار

همواره با توجه به نوع کاربرد و فشار گاز ورودی به ایستگاه، نوع ایستگاه انتخاب می‌شود و با توجه به پارامترهای اصلی زیر طراحی ایستگاه تقلیل فشار انجام می‌پذیرد:

- فشار و دمای عملیاتی گاز ورودی
- فشار و دمای عملیاتی گاز خروجی
- فشار طراحی و تست
- سرعت گاز داخل لوله
- مقدار جریان حجمی گاز

یک ایستگاه تقلیل فشار بسته به نوع تقلیل (فشار ورودی به خروجی) و ظرفیت آن دارای جزئیات فیزیکی و هندسی مخصوص در اجزای خود است؛ اما در عین حال و در شکل کلی، تمامی این مدل ایستگاه‌ها از حیث شکل ظاهری و نوع اجزا یکسان می‌باشند. برای نمونه یک ایستگاه تقلیل فشار ۴۰۰ به ۶۰ پوند بر اینچ مربعی با ظرفیت ۲۰۰۰۰ متر مکعب بر ساعت (شکل ۱-۳)، دارای اجزای زیر از حیث لوله‌کشی می‌باشد:

- شیر عایقی از نوع مخروطی^۷

- شیر عایقی از نوع توپی^۸

- فیلتر خشک عمودی (ایستاده) گاز

- سیستم بودار کننده^۹

- شیر کنترلی

- شیر سماوری

- رگولاتور

- شیر اطمینان قطع کننده جریان^{۱۰}

- شیر اطمینان تخلیه گاز^{۱۱}

- دبی سنج توربینی گاز

- شاخص اندازه‌گیر دما

- شاخص اندازه‌گیر فشار

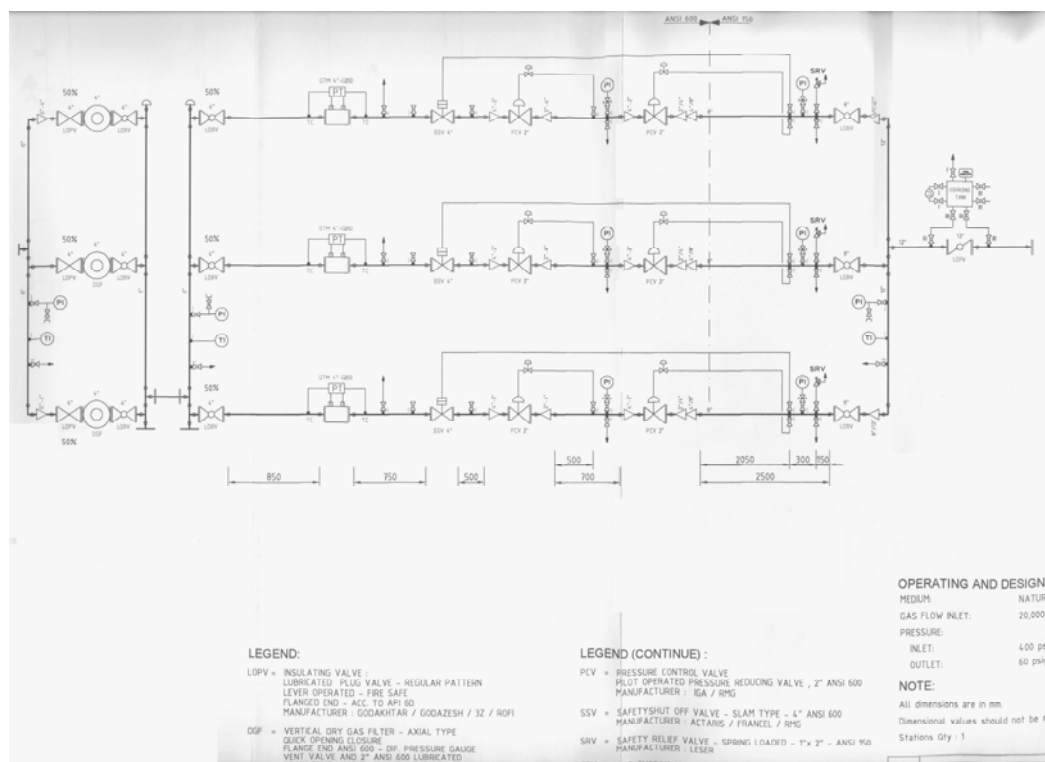
^۷ Plug insulating valve

^۸ Ball insulating valve

^۹ Odorizing system

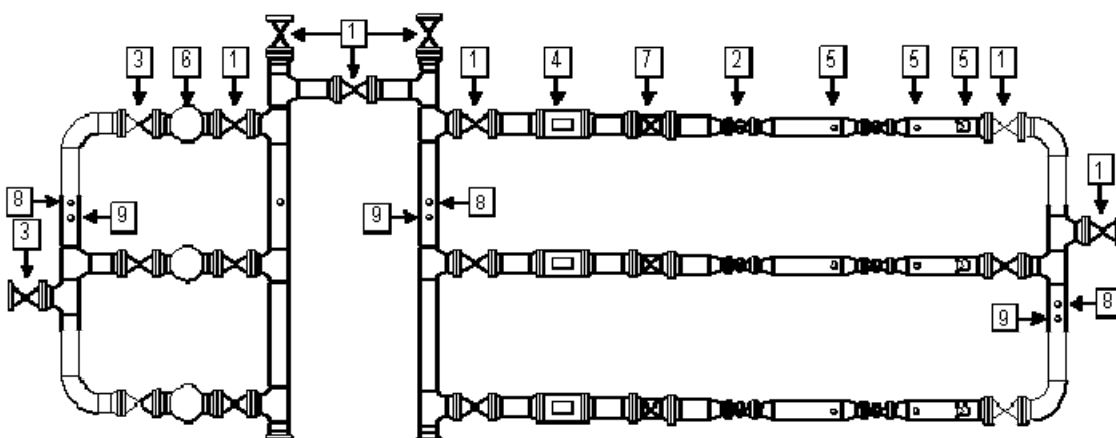
^{۱۰} Safety shut off valve

^{۱۱} Safety relief valve



شکل ۳-۱: یک ایستگاه تقلیل فشار ۴۰۰ به ۶۰ با ظرفیت ۲۰۰۰۰ متر مکعب بر ساعت

علاوه بر موارد بالا، می‌توان به لوله‌کشی‌ها هم اشاره نمود که قطر مناسب هم برای آنها و هم برای شیرآلات به نوع ایستگاه و نوع تقلیل فشار بستگی دارد. عنوان نمونه برای مدل ایستگاه تقلیل فشاری که در بالا اشاره شده است می‌توان به استفاده از سه شیر توپی عایقی ۴ اینچی در ورودی و سه شیر مشابه ۸ اینچی در خروجی اشاره کرد. این امر بخاطر استفاده از شیرهای کنترلی و رگولاتوری با تغییر قطر در مسیرهای سه‌گانه‌ی انتقال گاز (یک مسیر برای مسیر آماده‌باش^{۱۲}) در ایستگاه تقلیل فشار می‌باشد (شکل ۲-۳).



شکل ۲-۳: شماتیک یک ایستگاه تقلیل فشار

- (۱- شیر توپی؛ ۲- رگولاتور؛ ۳- شیر سماوری؛ ۴- کنترل گاز؛ ۵- شیر اطمینان؛ ۶- فیلتر گاز خشک؛ ۷- شیر قطع جریان؛ ۸- فشارسنج؛ ۹- دماسنجد)

¹² Standby

در ادامه این گزارش استانداردهای مربوط به طراحی اجزای داخلی ایستگاههای تقلیل فشار شامل فیلترها، هیترها (گرمکن)، بودارکنندها، دبی‌سنجهای، رگولاتورها، لوله‌کشی ایستگاهها و غیره، اشاره خواهد شد.

لازم به ذکر است که این استانداردها مستقیماً از مرکز تدوین استاندارد شرکت گاز گرفته شده‌اند. همچنین در تدوین استانداردهای فوق‌الذکر و استانداردهای دیگری که تا کنون در گزارشات دفتر (مربوط به بحث ایستگاهها) ذکر شده‌اند.

۱۰.۷.۳ استانداردهای فیلترسازی گاز

جهت جداسازی ذرات زاید و ناخواسته از گاز طبیعی و تحویل سالم آن به مصرف‌کننده می‌بایست طی چند مرحله فیلتراسیون روی گاز صورت پذیرد. ذرات گفته شده گاه به دلیل برش مقطعی از لوله‌ی انتقال گاز و جوش مجدد آن در محیطی که لوله در آن مدفون است وارد گاز می‌گردند. فیلترهای موجود در فرایند انتقال و توزیع گاز طبیعی بر دو دسته کلی ذیل هستند:

- فیلتر گاز خشک

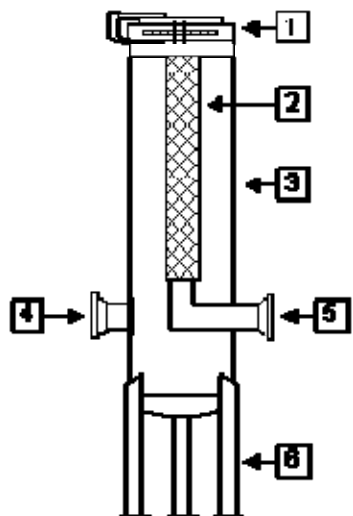
- فیلتر جدا کننده (سپریتور)

فیلتر گاز خشک یکی از جداسازهای کاربردی در صنعت گاز بوده که خود ایستا می‌باشد و برای جداسازی ذرات جامد تا قطر ۵ میکرون از گاز خشک استفاده می‌شود. جداسازی در داخل فیلتر با استفاده از المنت کارتريج قابل تمیز شدن که از جنس پلی پروپیلن می‌باشد انجام می‌شود. شماتیک و اجزای داخلی یک فیلتر از این نوع مطابق شکل ۳-۳ می‌باشند. سایر مشخصات این فیلتر عبارتند از:

- محدوده ظرفیت گاز ورودی: از ۱۵۰ تا ۱۰۰،۰۰۰ متر مکعب استاندارد بر ساعت

- محدوده اندازه: از ۲ اینچ تا ۱۲ اینچ

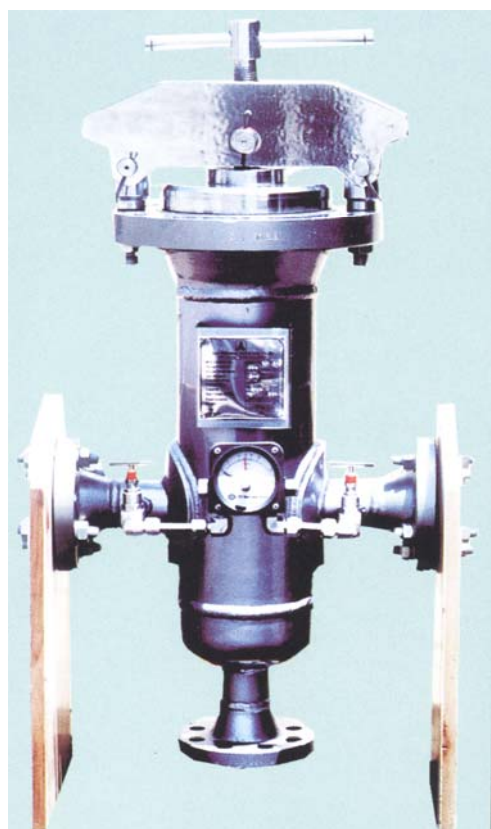
- دسته بندی فشاری: ۱۵۰، ۳۰۰ و ۶۰۰ پوند بر اینچ مربع



شکل ۳-۳: اجزاء مختلف فیلتر ایستاده گاز

(۱- درب فیلتر؛ ۲- المنت کارتیج؛ ۳- بدنه؛ ۴- نازل ورودی؛ ۵- نازل خروجی؛ ۶- پایه)

در دو شکل ذیل هم انواعی از این فیلتر (ساخت شرکت آذرپژوهان اندیش) آورده شده است.



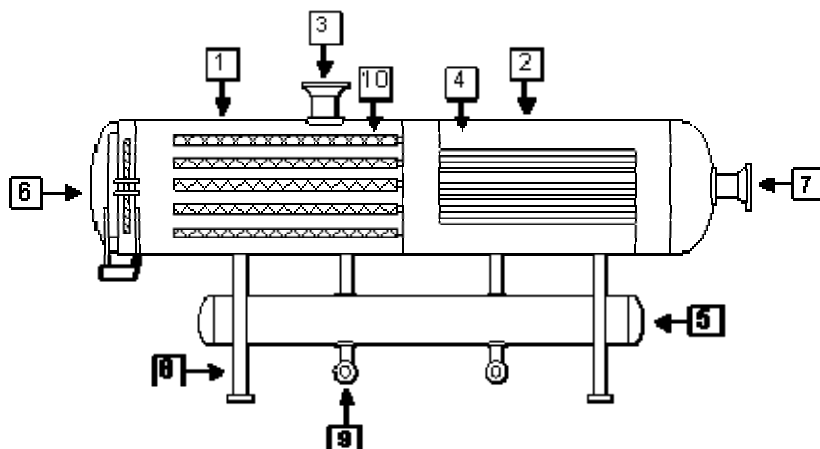
شکل ۳-۴: یک فیلتر گاز خشک از نوع QMC



شکل ۳-۵: یک فیلتر گاز خشک از نوع QHC

اما فیلتر جداکننده (سپریتور) بصورت افقی بوده و نصب شده بر روی پایه‌ای مناسب ساخته می‌شود که با استفاده از المنت کارتریج و صفحات فلزی موج دار، ذرات جامد و مایع را از گاز جدا می‌کند بطوریکه مقدار مایع در داخل گاز طبیعی نباید از ۰.۱ گالن در هر هزار فوت مکعب استاندارد گاز (۱۳.۳۶۶ مترمکعب مایع در هر یک میلیون متر مکعب استاندارد گاز) تجاوز کند. مقدار جریان گاز، فشار عملیاتی و درجه حرارت عملیاتی عوامل مهمی در طراحی و سایز جداکننده‌ها هستند و یکی از مهمترین عوامل در راندمان کلی فیلترها، که معمولاً نادیده گرفته می‌شود، طول المنت است. شماتیک این نوع فیلترها همانند شکل ۳-۶ می‌باشد. سایر مشخصات این فیلتر عبارتند از:

- راندمان جداسازی برای ذرات مایع تا قطر ۵ میکرون و ذرات جامد تا قطر ۳ میکرون٪/۱۰۰ می‌باشد.
- محدوده ظرفیت گاز ورودی: از ۵۰۰۰ تا ۱،۰۰۰،۰۰۰ متر مکعب استاندارد بر ساعت
- محدوده اندازه: از ۳ اینچ تا ۲۰ اینچ
- دسته‌بندی فشاری: ۱۵۰، ۳۰۰ و ۶۰۰ پوند بر اینچ مربع.



شکل ۶-۳: اجزاء مختلف فیلتر جداکننده

- (۱- محل نصب المنت؛ ۲- محل نصب صفحات فلزی موج دار؛ ۳- نازل ورودی گاز؛ ۴- صفحات فلزی موج دار؛ ۵- محل جمع آوری مایعات؛ ۶- درب فیلتر؛ ۷- نازل خروجی گاز؛ ۸- پایه؛ ۹- دریچه تخلیه؛ ۱۰- المنت کارتريج).

برای دانستن اینکه چه استاندارهایی در حال حاضر در شرکت گاز ایران برای فیلترسازی گاز مورد استفاده قرار می‌گیرد، به وبسایت مخصوص این استانداردها مراجعه شده و مواردی که در ادامه می‌آیند از مجموعه استانداردهای واحد امور تدوین استانداردهای این شرکت ((IGS-PM-105(0)) مورد جمع‌بندی قرار گرفته‌اند:

- فیلتر گاز خشک بایستی از نوع پایه‌دار و ایستاده باشد.
- شیر(های) تخلیه مایعات برای این نوع فیلتر لازم هستند.
- اختلاف فشارسنج‌های نوع مدرج در فیلترهای گاز خشک مورد نیاز است.
- بدنه فیلتر متناسب با نرخ فشار می‌باشد (جدول ۱-۳):

جدول ۱-۳: مشخصات و اطلاعات اندازه بدنه فیلترهای خشک

Pressure Rating	Body Size (in.)
ASA 150	10
ASA 300	6
ASA 600	4

بدنه فیلتر بایستی دارای دسته مناسب برای جابجایی راحت باشد.

- فیلترها بایستی مطابق با آخرین کدها و استانداردهای مخازن تحت فشار و بویلهای ASME مراحل طراحی، تولید، بازرگاری و تست را طی کنند. در نظر داشتن این نکته ضروری است که ظروف این فیلترها گاه در زیر آفتاب و باران مستقیم قرار می‌گیرند.
- فیلترها باید به گونه‌ای طراحی گردند که مقاوم در برابر بارهای واردہ از زمین‌لرزه، فشار داخلی مخزن، ضربه بیرونی، وزن مخزن فیلتر، باد و دمای محیطی باشند.
- فیلترها بایستی بتوانند ذرات جامد کمتر از ۵ میکرون را توسط کارتريج یکبار مصرف خود جدا کنند. این کارتريج توسط یک سبد دو لایه (دو دیواره) استیل کادمیومی و به صورت داخلی و خارجی محافظت می‌شود.
- المث کارتريج بهتر است که از نوع باز بوده و از فیبر پلی‌پروفیلینی بافته شده و فایبرگلاس‌های رزینی یا هر جنس معادل اینها ساخته شود.
- المان فیلتری می‌بایست به شکلی محکم بسته شود تا از عبور کنارگذر^{۱۳} ذرات جامد کمتر از ۵ میکرون از حیث اندازه جلوگیری کند.
- فیلترها بایستی به گونه‌ای طراحی شوند که افت فشار تمیز مربوط به فلنچ تا فلنچ در آنها حداقل (کمتر از ۲ پوند بر اینچ مربع) بوده و این افت برای حالت کثیف در حدود ۱۰ پوند باشد؛ در حالیکه مقاومت در برابر اختلاف فشار واردہ حدود ۲۵ پوند بر اینچ مربع باشد.
- کلیه فیلترها می‌بایست به گونه‌ای سوراخ خورده باشند که قابلیت باز و بسته شدن سریع را داشته و بتوان در اسرع وقت نسبت به نیاز تعویض احتمالی کارتريج در آنها اقدام نمود. این باز و بسته کردن فیلتر باید بدون نیاز به هیچ دانش خاص و یا وسایل بالابرندهای و نیز در تمامی جهات (چرخشی) برای بیرون کشیدن قابل انجام باشد.
- فیلتر می‌بایست دارای یک شیر تخلیه مناسب بوده تا قبل از باز نمودن بسته‌بندی آن، آنرا از فشار خالی نمود.
- شیرهای تخلیه مایعات گفته شده در بالا بایستی به صورت فلنچ در انتهای روغنکاری شده بوده و مطابق استاندارد BS 1570 و API 6.D برای شیرهای مخروطی باشند. اندازه این شیر باید حداقل ۲ اینچ برای اندازه بدنه ۶ اینچ و بزرگتر بوده و برای اندازه‌های بدنه ۴ اینچ به پایین شیرهای ۱ اینچی مناسب‌اند.

¹³ By-pass

- فشارسنج‌ها برای هر دو خط با فشار بالا و پایین می‌باشند توسط شیرهای سوزنی متصل گردند. نمایشگر این فشارسنج‌ها از ۰ تا ۲۵ پوند باشد.
- شرکت تولیدی نباید قبل از دریافت طرح یا نقشه نوع فیلتر از مشتری شروع به ساخت نماید.
- با توجه به اینکه باد و زمین‌لرزه همزمان رخ نمی‌دهند بایستی محاسبه بار واردہ بر فیلتر بر اساس بزرگترین این دو و بر حسب نوع منطقه جغرافیایی محل نصب فیلتر صورت پذیرد.
- ظروف فیلتراسیون و قطعات سنگین مربوط به آنها بایستی دارای وسایل مناسب و حلقه‌های پایه جانبی برای بلند کردن و راست کردن فیلتر در موقع جابجایی باشند.
- ماکزیمم سرعت در فیلتر و نیز در المنت کارتريج و ورودی و خروجی فیلتر نبایستی از ۲۰ متر بر ثانیه بیشتر گردد.
- فیلترها باید به گونه‌ای طراحی شوند که نسبت مساحت سطوح خارجی آنها به سطوح داخلی و قسمت سوراخ نباید کمتر از ۸ شود. به عبارت دیگر حاصل تقسیم طول المان به قطر آن باید بزرگتر یا مساوی ۲ باشد.
- فیلترها باید به گونه‌ای طراحی شوند که سطح مقطع قسمت حلقوی بین کیس فیلتر و المنت آن بزرگتر از سطح مقطع سوراخ داخلی المنت باشد.
- کلیه صفحات فلنج کاری شده و اتصالات می‌بایست به نحو مطلوبی در برابر زنگزدگی در فرایندهای حرارتی ساخت فیلتر مثل جوشکاری‌ها محافظت شوند.
- رنگ‌کاری، ساقمه‌پاشی و ماسه‌زنی فیلترها باید مطابق با استاندارد سوئیسی S.I.S 05590-LATES T ۳ میلی‌متر به همراه پوششی میانی از اکسید آهن میکادار خاکستری با ضخامت ۲.۵ میلی‌متر باشند.
- علاوه بر حق لازم و اجباری بازرسی کدهای ASME توسط مشتری، بازرسی کلیه قطعات و مواد نیز بر حسب نیاز مجاز می‌باشد.
- قبل از بازرسی نهایی، کلیه تفاله‌ها و سربارهای ذوب، مواد زائد، خردهریزها، سنگریزه‌ها، تکه‌های جوشکاری، مواد نفتی و دیگر مواد خارجی باید کاملاً استخراج گرددند.
- آزمون رادیوگرافی روی ظرف فیلتر باید مطابق با استاندارد ASME صورت پذیرد.

- حتماً بایستی صفحه نام و مشخصاتی روی فیلتر جوش بخورد؛ این صفحه شامل مشخصات زیر است:

- نام تولیدکننده
- مدل و نوع فیلتر
- اندازه فیلتر
- فشار کاری فیلتر
- فشار طراحی فیلتر
- فشار تست فیلتر
- دمای کاری فیلتر
- وزن فیلتر

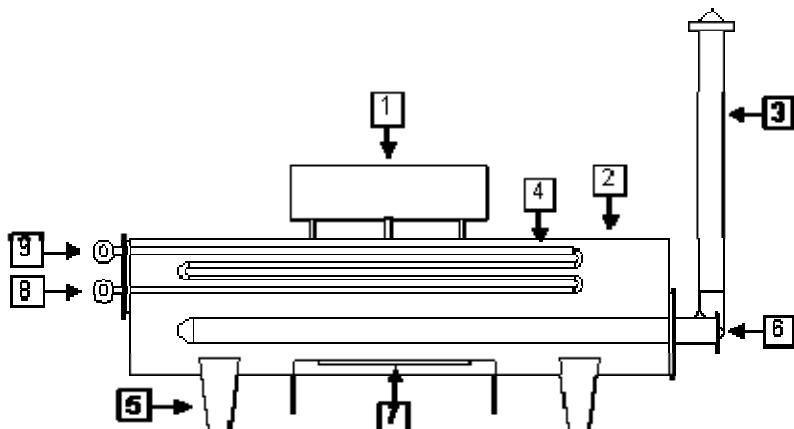
- قطعات قابل انفکاک بایستی بعد از تنش‌زدایی نصب گرددند.
- کلیه سطوح داخلی و خارجی قبل از بسته‌بندی و احیاناً حمل با کشتنی باید خشک شده و کلیه مایعات مربوط به تست‌های مختلف خارج گرددند.
- به هنگام بسته‌بندی، کلیه گسکت‌ها و واشرهای آزاد در بسته‌بندی‌های چوبی جداگانه قرار داده می‌شوند.
- تمام بسته‌بندی‌ها بایستی مناسب برای ذخیر در انبار فیلترها به مدت حداقل ۳ ماه قبل از نصب باشند.
- دفترچه‌های راهنمای استفاده و راهنمای نگهداری و تعمیر فیلتر به همراه لیست کاملی از قطعات و مواد بکار رفته در فیلتر و نقشه طراحی آنها بایستی در بسته‌بندی ارائه گردد.
- نتایج تحلیل شیمیایی و مکانیکی کلیه قطعات در بسته‌بندی ارائه گرددند.
- نتیجه تست‌های رادیوگرافی و معیارهای تنش سیستم به همراه مکان انجام تست‌ها در بسته‌بندی معین گردنند.
- کلیه اسنادسازی و موارد بالا که در بسته‌بندی قرار می‌گیرند باید به زبان انگلیسی باشند.

۲.۷.۳ استانداردهای واحد گرمکن^{۱۴}

گرمکن‌های غیر مستقیم گاز (شکل ۷-۳) معمولاً تمام اتوماتیک بوده و برای گرم کردن گاز طبیعی قبل از کاهش فشار در ایستگاه‌های تقلیل فشار گاز استفاده می‌شوند.

این دستگاه شامل یک حمام (آب، نمک اتکتیک، روغن داغ) می‌باشد که برای جداسازی لوله گاز از لوله آتش که قابل جابجایی است به کار می‌رود. حرارت از لوله آتش به حمام و از حمام به لوله گاز منتقل شده و بدین ترتیب، لوله گاز از شعله مستقیم در امان است. مجموعه داخل بدن گرمکن در شرایط اتمسفریک قرار دارند.

از طرفی، بدلیل انتقال حرارت و چرخش مناسب سیال داخل حمام، لوله آتش در پایین‌ترین قسمت داخل بدن قرار داده می‌شود. این مجموعه با فایبر سرامیکی یا فایبرگلاس عایق شده تا در مقابل شوک‌های شدید مکانیکی و حرارتی مقاوم باشد.



شکل ۷-۳: اجزاء گرمکن غیرمستقیم گاز

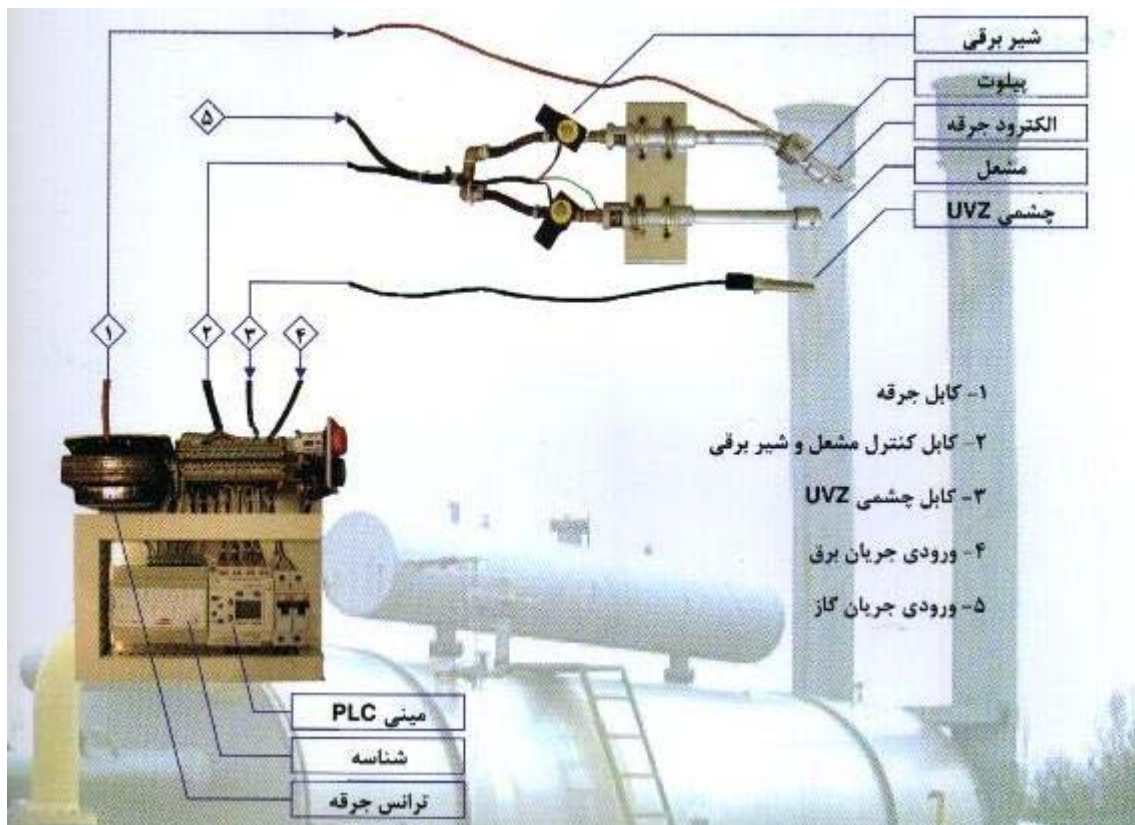
(۱- مخزن انساط؛ ۲- بدن؛ ۳- دودکش؛ ۴- مجموعه لوله؛ ۵- پایه؛ ۶- مشعل و لوله آتش؛ ۷- لوله پیش گرم

سوخت مشعل؛ ۸- ورودی گاز؛ ۹- خروجی گاز)

سیستم کترلی جدیدی طراحی شده است (شکل ۸-۳) که کترول درجه حرارت محلول داخل بدن، درجه حرارت گاز طبیعی خروجی از لوله، باز و بسته شدن شیر برقی روی مسیر سوخت مشعل، باز و بسته شدن شیر برقی روی مسیر سوخت پیلوت و سطح مایع داخل مخزن انساط را انجام می‌دهد. مسیر سوخت مشعل شامل فیلتر گاز خشک، رگولاتور گاز، شیر اطمینان، کترول کننده درجه حرارت و سایر اقلام مورد نیاز می‌باشد. طراحی و سایز کردن دستگاه بر اساس IGS و با استفاده از نرم افزار PROHeater صورت می‌پذیرد. روش کار این سیستم‌ها به این صورت است که مینی PLC نشان داده شده در شکل، با یک واسطه (interface) چشمی UVZ را شناخته و در صورت خاموشی شعله

¹⁴ Heater

مشعل، این چشمی سیستم کنترل را فعال نموده و جرقه زدن اتوماتیک توسط ترانس آغاز شده تا پیلوت روشن گردد. بعد از این مرحله، شیر گاز مجدداً باز شده و مشعل روشن می‌گردد.



شکل ۳-۸: سیستم کنترل و جرقه‌زن مشعل در گرمکن‌ها

سایر مشخصات این گرمکن‌های غیر مستقیم عبارتند از:

- محدوده ظرفیت گاز ورودی: از ۱۰۰۰ تا ۲۵۰،۰۰۰ متر مکعب استاندارد بر ساعت
- دسته بندی فشاری: ۶۰۰ پوند بر اینچ مربع

در مورد استانداردهایی که برای این واحد از ایستگاه بایستی رعایت شود و برای دانستن اینکه چه استاندارهایی در حال حاضر در شرکت گاز ایران برای بوزنی به گاز مورد استفاده قرار می‌گیرد، به وب‌سایت مخصوص این استانداردها مراجعه شده و مواردی که در ادامه می‌آیند از مجموعه استانداردهای واحد امور تدوین استانداردهای این شرکت (IGS-MS-PM-104(1)) مورد جمع‌بندی قرار گرفته‌اند:

- نکات کلی استانداردسازی گرمکن‌ها
- گرمکن باید پایه‌دار و کامل و آماده در هنگام حوادث غیرمتربقه و عملکردهای مراقبت‌نشده باشد.

- مقاومت ساختاری پایه‌ها باید مناسب برای مقاومت در برابر نیروهای جابجایی بوده و از نوعی مونتاژ استیل برخوردار باشند که در هنگام جابجا کردن و یا دستکاری سیستم گرمکن، آسیبی به پایه‌ها نرسد.
- دسته‌های گرمکن بایستی از حیث استحکام مناسب برای بالا بردن و بلند کردن هیتر بدون آسیب رسانند به آن باشند.
- شیر اطمینان بایستی مستقیماً از جعبه آتش گرمکن خارج شده و آن جعبه نیز با حبس‌کننده مشعل تجهیز شده باشد.
- ساختار گرمکن باید به‌گونه‌ای باشد که جعبه آتش و سیم‌پیچ در خلاف جهت هم خارج شوند.
- در ساختمان گرمکن، یک شیر تخلیه به‌همراه یک فیلتر خشک با دقت ۳ میکرون برای سوخت گاز لازم است.
- قسمت‌های الکتریکی بایستی مقاوم در برابر باران و گرد و خاک باشند.
- شار حرارتی برای لوله آتشی نبایستی از مقدار ۳۳۰۰۰ کیلوکالری بر ساعت بر متر مربع تجاوز نماید.
- کدها و استانداردها

کدها و استانداردهای عمومی و مرتبط این سیستم عبارتند از:

 - کلیه فلنج کاری‌ها و لوله کاری‌های فولادی مطابق استاندارد ANSI-B16.5 انجام گیرند.
 - جوش کاری‌ها و فیت کاری‌ها بایستی مطابق با استاندارد ANSI-B16.11 انجام پذیرند.
 - استاندارد مواد مورد استفاده در گرمکن

مواد مصرفی باید مطابق با استانداردهای زیر استفاده گردد:

 - سیم‌پیچ‌ها و هدرها مطابق با استاندارد ASTM A-53 Grade B
 - فیت کاری‌ها طبق استاندارد ASTM A-234
 - فلنج‌ها مطابق استاندارد ASTM A-105 یا ASTM A-181
 - پوسته، تانک انبساط، محافظه‌ها، دودکش و پایه‌ها مطابق ASTM SA-336
 - لوله آتش سیستم مطابق استاندارد ASTM A-53 با ضخامت دیواره یک‌چهارم اینچ برای قطرهای ۲۶ اینچ به پایین و ضخامت ۳۱۲.۰ اینچ برای قطرهای ۲۶ اینچ به بالا
 - استاندارد مربوط به پوسته گرمکن

استاندارد مربوط به پوسته گرمکن به شرح ذیل هستند:

- یک مخزن انساطی در بالای پوسته گرمکن گاز بایستی با اتصال و آببندی مناسب نصب گردد.
- یک شیر توپی ۲ اینچی بایستی با فلتنجی کورشده (سرپوشیده) در زیر پوسته برای اهداف تخلیه‌ای تعییه گردد.
- پوسته می‌بایست با عایق‌کاری فایبرگلاس (دارای ضخامت ۵۰ میلی‌متر) عایق‌بندی شده و بجز کلگی‌های گرمکن با یک پوشش آلومینیومی محافظت گردد.
- استانداردهای سیم‌پیچ

سیم‌پیچ بایستی قابلیت جداکردن را دارا بوده و بعلاوه در برابر انساط گرمایی محافظت شود. همچنین ماکزیمم سرعت مجاز برای گازهای عبوری نباید از ۲۰ متر بر ثانیه تجاوز کند.

- استانداردهای مشعل گرمکن
- مشعل‌های گرمکن می‌بایست در موارد ذیل نیز استانداردسازی شوند:
 - هر مشعل باید با شمعک و سیستم کنترل مجزا تجهیز گردد.
 - مشعل و شمعک باید از گاز پیش‌گرم شده استفاده کنند.
 - روزنه مناسب روی گرمکن باید به‌گونه‌ای تعییه گردد که عملکرد مشعل و شمعک از بیرون گرمکن براحتی قابل مشاهده باشد.
 - تمیزکاری مشعل باید راحت و با کمترین نیاز به بازکردن سیستم انجام شود.
 - قطع‌کننده‌ی اتوماتیک جریان گاز برای مشعل و شمعک باید با وسیله قطع دستی از نیز مجهز گردد.
 - مشعل‌ها و شمعک‌ها باید قابلیت جداشدن از گرمکن را داشته باشند.
 - شمعک بایستی با الکترود جرقه‌زنی و پروب تشخیص شعله‌اش قابل جداشدن باشد.
 - ماکزیمم سرعت مجاز گاز عبوری از مشعل ۲۰ متر بر ثانیه می‌باشد.
 - یک محبوس‌کننده شعله از جنس فلز مقاوم در برابر خوردگی باید برای محافظت در برابر حوادث غیرمتوجه تعییه گردد.
 - شمعک باید جرقه‌زنی نرمی داشته و باعث پایداری شعله در تمامی مودهای کارکرد گرمکن شود.
 - استانداردهای کنترل و ابزار دقیق مربوط به گرمکن

استانداردهای کنترل و ابزار دقیق مربوط به گرمکن مطابق موارد ذیل می‌باشند:

- کنترل کننده‌ها، کتتاکتورها، سوییچ‌کننده‌ها و تشخیص‌دهنده‌ها باید به‌طور مجزا سوار شده، تست گشته و کالیبره گردند. تمامی این تجهیزات به‌همراه میکروسوئیچرها باید در جعبه‌ای موتتاژ گشته و درب آن جعبه قفل شود. پایانه‌های (ترمینال‌های) الکتریکی باید با یک پیچ قفل کن مجهز باشند.
- گرمکن‌ها بایستی برای نگهداری دمایی خاص در گاز و بخارات ان به هنگام خروج از سیستم اتوماتیک کنترل شوند.
- کنترل فرایند اساساً باید مطابق با دیاگرام کنترلی P & I باشد.
- کلیه شیرهای اطمینان تخلیه و قطع جریان باید از حیث خرابی ایمن باشند.
- هر ابزار دقیقی باید با یک صفحه مشخصات به‌طور منفرد معرفی شود.
- محافظت از ابزارآلات کنترلی در برابر باران، گرد و خاک و یخ زدگی می‌باشد و به‌طور کامل انجام پذیرد.
- ابزارآلات کنترلی بایستی برای مقاومت در برابر ماکزیمم فشار و دمای پیش‌بینی شده طراحی شوند.
- شرایط تحت کنترلی باید برای هر کنترل کننده فرایندی فراهم گردد.
- تشخیص‌دهنده دما باید از نوع دو فلزی و دارای صفحه مدرج ۱۰۰ میلی‌متری بوده و سریسته و عایق‌بندی شده باشد.
- فشارسنج‌ها باید از نوع لوله استیلی و چرخ‌دنده دوار استیلی و ضدزنگ بوده و دارای قطر صفحه مدرج ۱۰۰ میلی‌متر باشند. هردو مقیاس bar و psi در صفحه آنها باید وجود داشته باشند.
- شیر تخلیه مناسبی برای اجازه انجام تست باید نصب گردد.
- شیرهای کنترلی می‌باشد متتشکل از اجزای فولادی آهنگری یا ریخته‌گری شده بوده و کمترین اندازه بدنه $3/4$ in. می‌باشد.
- جعبه کنترلی باید با باتری ۱۲ ولت جریان مستقیم (DC) تغذیه شده و برای ابقاء مشعل جرقه‌زنی اتوماتیک، باز شدن شیر سلنوئیدی شمعک و دوباره‌روشن شدن شمعک در صورت خاموشی احتمالی مشعل لازم است.
- شیرهای اصلی و قطع کن جریان به هنگام خاموشی مشعل باید بسته شوند.
- منبع تغذیه ۱۲ ولتی گرمکن بایستی با یک شارژکن برقی ۲۲۰ ولت AC و ۵۰ هرتز تجهیز گردد.

- استانداردهای لوله اگزو^ز

استانداردهایی که باید برای طراحی اگزو^ز در نظر گرفته شوند عبارتند از:

- اگزو^زی که در نظر گرفته می‌شود بایستی با ارتفاع و قطری مناسب برای ماکزیمم نیازهای اولیه طرح گرمکن و با حداقل ۳ میلی‌متر ضخامت دیواره تعییه گردد.
- وسیله و ابزاری که مانع به پایین برگشتن دودها شده و از جنس فلز سبک مقاوم در برابر خوردگی ساخته می‌شود باید بر روی دودکش نصب نمود.
- دودکش باید به گونه‌ای طراحی گردد که گرمکن در بین ۲۵ تا ۱۰۰٪ بازدهی طراحی فعالیت داشته باشد.
- اگزو^ز باید دارای یک محافظ برای جلوگیری از سوختن دست در تماس‌های اتفاقی به بدن آن داشته باشد.
- سه اتصال برای نصب نمونه‌گیر گاز، خروجی‌سنچ اولیه، دماسنچ روی دودکش باید تعییه گردد.
- برای دودکش، هواکش مناسب باید در نظر گرفته شود.
- سه حلقه باید روی دودکش برای نصب سیم‌های مهار جهت محافظت در برابر قدرت باد باید درنظر گرفته شود. حلقه‌های مشابه برای بلندکردن دودکش باید در آن تعییه گردد.
- جهت خارج ساختن خاروخاشاک و گردو خاک، یک فلنچ کورشده مناسب باید در پاییترین نقطه اگزو^ز تعییه گردد.
- تست گرمکن

استانداردهایی جهت تست یک گرمکن نیز وجود دارد که در ذیل می‌آیند:

- سیم‌پیچ‌های گرمکن می‌بایست قبل از محموله‌شدن مطابق با استانداردهای ASME تست گردند. خریدار حداقل ۳۰ روز قبل از تست باید مطلع گردد.
- علاوه بر تست‌های ASME برای نمونه‌گیری‌های هیدرواستاتیک، اندازه‌گیری‌ها و موارد زیر روی گرمکن باید انجام گیرند:
- آب شیر تجاری که با یک پرده ۱۰۰ مشی بدون عوامل خیس‌کننده اضافی فیلتر می‌شود با ایجاد موائع زنگزدگی یا رنگ‌های فلورسنت بعنوان ماده انجام تست هیدرواستاتیک انتخاب گردد.
- فشار وزن مرده هر ۱۵ دقیقه ثبت گردد.

- قبل از تست همه روزنها کور شده، بسته گشته یا کلاهک‌گذاری شود.
- هر سیم‌پیچ گرمکن باید مقاوم در برابر فشار بدون حضور شکست، نشت، آشفتگی و یا اعوجاج در طول تست باشد.
- به هنگام اجازه مونتاژ بدون نشت، تست باید مورد تأیید خریدار قرار گیرد.
- گرمکن‌ها باید برای نشتشی و مقاومت در برابر بار کامل (هنگام پر شدن از آب) تست گردند.
- موارد ذیل باید به صورت اطلاعات جامع در اختیار خریدار قرار گیرد:
 - تاریخ انجام تست
 - شماره سفارش خرید و کالا
 - مقصد بار و محموله (موقعیت خریدار)
 - شماره سریال سیم‌پیچ
 - امضای شاهد تست فروشنده و/یا نماینده خریدار
 - دوره انجام تست
 - دمای محیطی
 - اطلاعات فشارهای وزن مرده
- مختصه از نتایج انجام تست شامل کلیه شکستگی‌ها و ترمیم‌های آنها در صورت وجود عیوب
- تست‌های الکتریکی و ابزار دقیق باید شامل بارها، سیگناها و هر آلام ابزاری شبیه‌سازی باشند.
- استانداردهای رنگ‌کاری

در مورد رنگ‌کاری باید استاندارد سوئدی SA3 Grade sts 055900 رعایت شده و پوشش باید از جنس سیلیکات روی با ضخامت فیلم ۱۵۰ میکرون باشد.

- نظارت و بازررسی
- در مورد نظارت و بازررسی نیز استانداردهای زیر باید مورد ملاحظه واقع شوند:
 - به نماینده مجاز خریدار باید فرصت و اجازه گواهی در مورد تست اجزای گرمکن داده شود.
 - در موعد بازررسی رادیوگراف‌ها باید برای نماینده مجاز خریدار مهیا گردند.

- تولیدکننده باید کلیه استانداردهای مربوط به بویلر و ظرف فشار ASME را در بازرسی رعایت نماید.
- هر گرمکن قبل از بارگیری و محموله‌سازی توسط نماینده مجاز خریدار بازرسی گردد.
- گواهینامه بازرسی مواد با گزارش تست باید به N.I.G.C تحويل داده شود.
- مارک کردن

استانداردهای مارک نمودن گرمکن‌ها به شرح ذیل هستند:

- هر گرمکن باید با صفحه مشخصات همیشگی مربوط به نحوه مقاومت در برابر خوردگی مجهر شود. این صفحه باید بعد از تحويل و نصب به راحتی قابل رویت باشد.
- هر مارک‌سازی روی گرمکن باید مطابق ASME و شامل اطلاعات ذیل باشد:
 - نام سازنده گرمکن
 - سال تولید
 - شماره سریال
 - جذب گرمایی روی سیمپیچ (بر حسب (Btu/H Kcal/H یا
 - تعداد سیمپیچ‌ها و تعداد مسیرهای جریان
 - ضخامت دیواره سیمپیچ، قطر بیرونی و تعداد لوله‌های سیمپیچ در طرح
 - مساحت سطح بیرونی کویل(سیمپیچ)
 - وزن کویل
 - فشار تست هیدرواستاتیک
 - شماره سفارش خرید
 - وزن پوسته (خلالی و پر) بر حسب کیلوگرم
 - ظرفیت حمام آبی (لیتر)
 - ظرفیت (lit) مخزن انبساطی
- داده‌ها و نقشه‌ها

مواردی که در ذیل می‌آیند در مراحل سفارش و خرید باید برای خریدار فراهم گردند:

- دیتاشیت (اطلاعات) N.I.G.C تکمیل شده توسط فروشنده

- طرح‌های مدیریتی حاوی ابعاد و وزن‌ها
- نماهایی داخلی و سطح مقطعی از داخل گرمکن
- لیستی از یدکی‌های پوشیده شده و بسته‌بندی شده با قیمت واحدشان که بطور پیشنهادی و دستورالعملی اولیه برای دو سال فعالیت سیستم لازم هستند.
- ارائه ترتیب‌دهی نهايی و جزئیات نقشه‌ها
- کاتالوگ‌های مفهومی و دیتای تکنیکال ابزارآلات فراهم شده
- دستورالعمل‌های نصب و راهاندازی
- راهنمایی‌های نگهداری سیستم
- مشخصه‌ها و استانداردهای بسته‌بندی

مشخصه‌ها و استانداردهای بسته‌بندی گرمکن حمام آبی غیرمستقیم مطابق دستورالعمل N.I.G.C به شرح ذیل می‌باشند:

- همه ابزارآلات کنترل و ابزار دقیق باید در جعبه‌های چوبی و با اندازه مناسب بسته‌بندی شوند.
- کلیه خطوط حسگر (جز آنهایی که با ابزارآلات بسته‌بندی می‌شوند) باید از حالت مونتاژ باز شده و با پوشش مناسب و به صورت پیچیده در مواد پلاستیکی گرداند پوسته گرمکن قرار داده شوند طوری که در طول جابجایی آسیبی نییند.
- بسته‌بندی پوسته لازم نیست.
- کلیه قطعاتی از گرمکن که به شکل مجزا بسته‌بندی شده‌اند باید با خود گرمکن محموله‌سازی شده و حمل و نقل گردد.
- پس از تأیید تست مجزا کردن باید صورت پذیرد.
- تولیدکننده بایستی مطلوبیت قطعات و عملکرد تجهیزات گرمکن را گارانتی (ضمانت) نماید.
- دوره گارانتی باید یک سال پس از به جریان افتادن گرمکن یا ۱۸ ماه پس از محموله‌سازی گرمکن و تاریخ حمل آن (هر کدام که زودتر اتفاق افتادند) باشد.
- لازم است تولید کننده نسبت به تعمیر و جایگزینی هر قطعه و تجهیزاتی که معیوب هستند در دوره گارانتی اقدام نماید.

در پیوست الف گزارش این ماه برخی از جداول مربوط به استانداردسازی گرمکن (مربوط به N.I.G.C) ارائه می‌گردد.

۳.۷.۳ استانداردهای طراحی واحد بوزنی به گاز

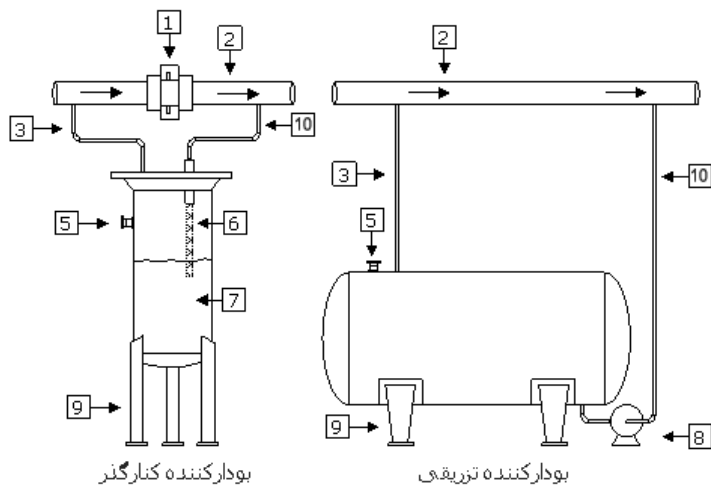
گاز طبیعی در حالت اصلی خود بدون بو بوده و بودار کردن گاز طبیعی به منظور حفاظت از مصرف‌کننده انجام می‌گیرد و در اصل نشان‌دهنده نشتی گاز است. معمولاً^{۱۵} این کار با استفاده از دو نوع متفاوت بودار کننده به شرح زیر انجام می‌شود:

- بودار کننده نوع کنارگذر^{۱۶}

- بودار کننده نوع تزریقی^{۱۷}

- بودار کننده نوع قاشقکی

بودار کننده‌های کنارگذر (by-pass) بر اساس فرآیند جذب عمل می‌کنند به‌طوریکه جریان گاز ناچیزی از خط لوله اصلی وارد بودار کننده شده و سپس گاز بودار شده به خط لوله اصلی بر می‌گردد و با قسمت اصلی جریان گاز مخلوط می‌شود طوری که نهایتاً مقدار مجاز ادورانت در لوله اصلی گاز باید در حدود ۱۰ تا ۲۵ میلی‌گرم در هر متر مکعب استاندارد گاز باشد. یک اریفیس در خط لوله اصلی گاز نصب شده تا اختلاف فشار بین ۱ تا ۳ پوند بر اینچ مربع ایجاد کند. این اختلاف فشار باعث فعالیت ادورایزر (بودار کننده) شده و همچنین رابطه مستقیمی بین مقدار جریان کنار گذر و جریان اصلی گاز ایجاد می‌کند.



شکل ۹-۳: شماتیک بودار کننده

- (۱- اریفیس بزرگ؛ ۲- خط لوله اصلی؛ ۳- ورودی گاز؛ ۴- خروجی گاز؛ ۵- ورودی مایع بودار کننده؛ ۶- فتیله؛ ۷- مایع بودار کننده؛ ۸- پمپ تزریق؛ ۹- پایه)

^{۱۵} By-pass odorizer

^{۱۶} Injection odorizer

^{۱۷} Meter derived odorizer

اما در بودارکننده‌های تزریقی مقدار مشخصی از ماده بودار کننده (۱۰ تا ۲۵ میلی گرم در هر متر مکعب گاز) توسط پمپ به خط لوله اصلی تزریق می‌شود. با توجه به تعداد پالس‌های ارسالی از کنتورهای گاز به کترل پانل، فرمان تزریق توسط کترل پانل به پمپ ارسال می‌گردد. شماتیک یک بودارکننده مطابق شکل ۳-۹ می‌باشد.

استانداردهای مربوط به بودارکننده‌های مختلف در ادامه می‌آید. در مورد بودارکننده کنارگذر باید استانداردهای ذیل مطابق امور تدوین استانداردهای شرکت گاز ((IGS-PM-100(0)) رعایت گردد:

- استانداردها و کدهای بودارکننده کنارگذر

کدها و استانداردهای عمومی و مرتبط این سیستم عبارتند از:

- کلیه فلنج کاری‌ها و لوله کاری‌های فولادی مطابق استاندارد ANSI-B16.5 انجام گیرند.
- جوش کاری‌ها و فیت کاری‌ها بایستی مطابق با استاندارد ANSI-B16.11 انجام پذیرند.

نیازمندی‌های کلی‌ای که لازم هستند در طراحی چنین بودارکننده‌ای اتخاذ گردند به شرح زیرند:

- این مدل از بودارکننده‌ها باید بتوانند در زیر نور مستقیم آفتاب و باران فعالیت نمایند.
- مقاومت در برابر فشار داخلی سیستم بوزنی، وزن ظرف، باد، زمین‌لرزه، ضربه و دما از لازمه‌های طراحی بودار کننده است.

ماکریم ظرفیت باید ۱۰۰۰۰ مترمکعب استاندرد گاز بر ساعت باشد.

- با استفاده از جریان به عنوان کترل، یک شیر پروانه‌ای فلنج شده در خط اصلی برای ایجاد اختلاف فشار مناسب لازم است.

شیر پروانه‌ای باید با فلنج‌های لازم و پیچ‌های میله‌ای توسط تولیدکننده فراهم گردد.

- تانک بودارکننده باید از استیل کربنی ۷۰ ASTM A516 Grade ۳۰۰ که با اپوکسی میکرون پوشیده می‌شود ساخته شود (مطابق BS 5493).

タンک بودارکننده باید با شیرهای اطمینان مناسب (مطابق با استانداردهای ASME) همراه با شیرهای بلوکی (شیر چندقولو) قابل قفل و فیلتر مناسب زغالی تجهیز شود.

- شیر تخلیه باید با فیلتر زغالی مناسب کامل شود.
- کلیه واحدهای بوزنی باید پایه و دسته‌های مناسب برای دستکاری، حمل و نقل و جابجایی داشته باشند.

ماکریم فشار کار مناسب باید توسط پوسته و کلگی سیستم و خصوصیات آنها محدود گردد.

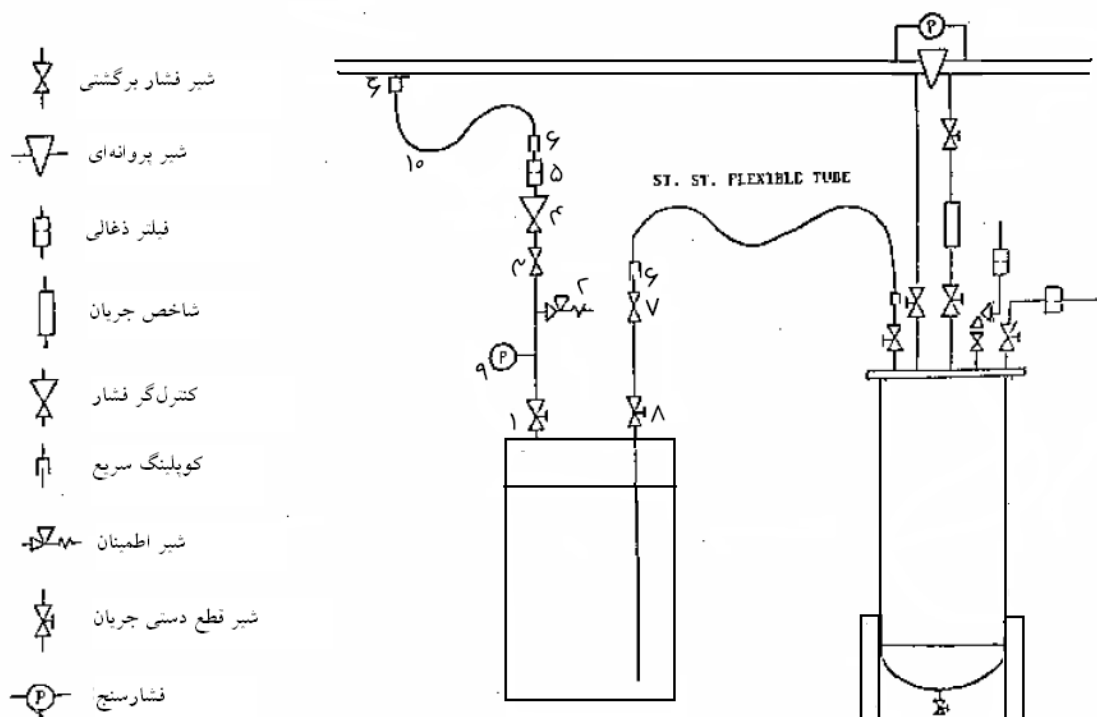
- تولید و ساخت واحد بوزنی نبایستی قبل از وصول اجازه خریدار درباره نقشه‌ها و محاسبات طرح‌ها شروع شود.
- کلیه قطعات فشاری و غیرفشاری‌ای که مستقیماً به پوسته جوش خورده‌اند یا به‌هر طریق غیر قابل جدا شدن هستند یا باید با مواد اضافی مقاوم در برابر خوردگی باشند یا از خود مواد مقاوم در خوردگی تولید شوند. قطعات فشاری قابل تعویض از این قضیه مستثنی هستند.
- موقعیت و کمترین اندازه جوش از نازل‌ها و دیگر اتصالات باید مطابقت با نیازهای تعریف شده در کدهای کاربردی بوده و هر مقاومت خوردگی لازم برای اتصالات بالا نیز مطابق با کد همان نوع اتصالات باشد.
- سوراخ‌کاری در پوسته و کلگی باید مطابق با کدهای کاربردی و مناسب برای فشار و دمای نوشته شده روی ظرف بوزنی باشد.
- ظرف بوزنی باید تجهیزات اولیه‌ای را بمنظور دسترسی داشتن به داخل ظرف برای بازرسی داشته باشد.
- بودارکن کنارگذر باید بوسیله پایه‌ها یا دسته‌های مناسب تجهیز گردد.
- لوله‌کشی مدل ۳۱۶ استیل ضدزنگ باید استفاده شود.
- هر مخزن بوزنی باید با مونتاژ مناسب تجهیز شود. شیشه گیج (شاخص) باید تمیز باقی مانده و خوانا باشد؛ نباید این شاخص در اثر عملکرد بوزنی و یا اشعه آفتاب لکه‌دار گردد و توسط یک محافظ مناسب تجهیز شود.
- شاخص فشاری باید برای تنظیم درست فشار در طول شیر پروانه‌ای آماده باشد
- تانک‌های بودارکن باید برای جریان ماکزیم و سه ماه فعالیت مداوم اندازه‌زده و طراحی شود. (به عبارتی هر تانک بایستی در فواصل سه ماهه تخلیه گردد)
- کلیه جوش‌ها باید با فرآیند جوش فلز حفاظت شده یا جوش اتوماتیک / نیمه اتوماتیک با الکترودهای سازگار با مواد ساخت ظرف بوزن و مطابق با کدهای کاربردی مناسب نجام شوند.
- تولیدکننده باید ساخت و کیفیت الکترودهای جوش را جهت پیشنهاد در ساخت بوزن مشخص کند. بدون اجازه و تأیید خریدار و قبل از آن جوش‌کاری‌ها نباید انجام گیرند.
- کلیه نازل‌ها، سوراخ‌های ورود و اتصال‌های کوچک با استحکام‌سازی‌شان باید با جوش‌های مناسب به ظرف بوزنی متصل گردد.

- جوش‌های جانبی باید طوری واقع شوند که بازرسی ظرف بوزنی براحتی انجام پذیرد.
- عملیات حرارتی مطابق با استانداردهای ASME برای ظروف تحت فشار باشد.
- کلیه سطوح فلنجی و یا اتصالات پیچی باید از زنگزدگی و اکسایش به هنگام عملیات حرارتی محافظت شوند.
- اگر فلنچ جوشی به کار رفته باشد بعد از برطرف کردن تنش، جوشکاری مجاز نمی‌باشد.
- ماده بودار کننده باید تتراهیدروتیوفن (با فرمول شیمیایی C4H8S) یا مرکاپتان باشد.
- نرخ بوزنی برای T.H.T. (تتراهیدروتیوفن) بین ۱۵ تا ۲۵ میلی‌گرم برای هر متر مکعب استاندارد گاز است.
- نرخ بودارکن برای مرکاپتان بین ۱۰ تا ۲۰ میلی‌گرم برای هر متر مکعب استاندارد گاز است. ترکیبات مرکاپتان به صورت ۸۰٪ مرکاپتان ایزوپروپیل و ۱۰٪ مرکاپتان N-پروپیل و ۱۰٪ مرکاپتان ترتیاری بوتیل است.
- به نماینده مجاز خریدار باید فرصت و اجازه گواهی در مورد تست اجزای بودارکن داده شود.
- تولیدکننده باید کلیه استانداردهای مربوط به بویلر و ظرف فشار ASME را در بازرسی رعایت نماید.
- علاوه بر حق لازم و اجباری بازرسی کدهای ASME توسط مشتری، بازرسی کلیه قطعات و مواد نیز بر حسب نیاز مجاز می‌باشد.
- قبل از بازرسی نهایی، کلیه تفاله‌ها و سربارهای ذوب، مواد زائد، خردهریزها، سنگریزه‌ها، تکه‌های جوشکاری، مواد نفتی و دیگر مواد خارجی باید کاملاً استخراج گرددند.
- آزمون رادیوگرافی روی ظرف بوزنی باید مطابق با استاندارد ASME صورت پذیرد.
- هر بوزن کنارگذر قبل از بارگیری و محموله‌سازی توسط نماینده مجاز خریدار بازرسی شده و نکات مناسب درباره بازرسی توسط فروشنده تحويل مشتری گردد.
- گواهینامه بازرسی مواد با گزارش تست باید به N.I.G.C تحويل داده شود؛ علاوه فروشنده باید دسترسی آزاد و آسانی به خریدار جهت امور گواهی داشته باشد.
- بوزن‌ها بایستی مطابق با آخرین کدها و استانداردهای مخازن تحت فشار و بویلرهای ASME مراحل طراحی، تولید، بازرسی و تست را طی کنند.
- کلیه تست‌ها باید شماره سفارش و نام خریدار را شامل شوند.

- درمورد رنگکاری باید استاندارد سوئدی sts 055900 Grade SA3 رعایت شده و پوشش باشد از جنس سیلیکات روی با ضخامت فیلم ۱۵۰ میکرون باشد.
- به نماینده مجاز خریدار باید فرصت و اجازه گواهی در مورد تست اجزا داده شود.
- در موعد بازررسی رادیوگرافها باید برای نماینده مجاز خریدار مهیا گردند.
- تولیدکننده باید کلیه استاندرادهای مربوط به بویلر و ظرف فشار ASME را در بازررسی رعایت نماید.
- هر سیستم بوزنی باید با صفحه مشخصات همیشگی مربوط به نحوه مقاومت در برابر خوردگی مجهز شود. این صفحه باید بعد از تحویل و نصب به راحتی قابل رؤیت باشد.
- هر مارکسازی روی گرمکن باید مطابق ASME و شامل اطلاعات ذیل باشد:
 - نام سازنده گرمکن
 - سال تولید
 - شماره سریال
 - فشار تست هیدرواستاتیک
 - فشار طراحی
 - فشار تنظیم شیر اطمینان (Kg/cm²)
 - دمای طراحی
 - شماره سفارش خرید
 - وزن تانک (خلالی و پر) بر حسب کیلوگرم (lit)
- دیتاشیت (اطلاعات) N.I.G.C تکمیل شده توسط فروشنده باید ارائه گردد.
- طرحهای مدیریتی حاوی ابعاد و وزن‌ها باید ارائه گردند.
- لیستی از ی DKI های پوشیده شده و بسته‌بندی شده با قیمت واحدشان که بطور پیشنهادی و دستورالعملی اولیه برای دو سال فعالیت سیستم لازم هستند.
- ترتیب‌دهی نهایی و جزئیات نقشه‌ها ارائه گردند.
- کاتالوگ‌های مفهومی و دیتای تکنیکال ابزارآلات فراهم شده باید ارائه شوند.
- حتماً دستورالعمل‌های نصب و راهاندازی به خریدار داده شوند.
- راهنمایی‌های نگهداری سیستم به خریدار تحویل داده شوند.

- برای هر بودار کن گاز بسته‌بندی بایستی مطابق با دستورالعمل حفاظتی، بسته‌بندی، و مارکسازی N.I.G.C باشد.
- کلیه سطوح داخلی و خارجی قبل از بسته‌بندی و احیاناً حمل با کشتن باید خشک شده و کلیه مایعات مربوط به تست‌های مختلف خارج گردند.
- به هنگام بسته‌بندی، کلیه فلنج‌های باز با پوشش‌های استیلی مناسب محافظت شده و سوراخ‌های شیردار با درپوش‌هایی که به داخل آنها پیچ خورده است محافظت گردد.
- تولیدکننده بایستی مطلوبیت قطعات و عملکرد تجهیزات گرمکن را گارانتی (ضمانت) نماید.
- دوره گارانتی باید یک سال پس از به جریان افتادن گرمکن یا ۱۸ ماه پس از محموله‌سازی گرمکن و تاریخ حمل آن (هر کدام که زودتر اتفاق افتادند) باشد.
- لازم است تولید کننده نسبت به تعمیر و جایگزینی هر قطعه و تجهیزاتی که معیوب هستند در دوره گارانتی اقدام نماید.

در شکل ۱۰-۳ نقشه تیپی از یک بودارکن کنارگذر ارائه شده است.



شکل ۱۰-۳: نقشه شماتیک بودارکن گاز

- استانداردها و کدهای بودارکننده تزیریقی

در مورد بودارکن نوع تزریقی موارد و استانداردهای ذیل (برگرفته از امور تدوین استانداردهای شرکت گاز و با کد (0) IGS-PM-101) باید رعایت گردد:

- کلیه فلنچ کاری‌ها و لوله کاری‌های فولادی مطابق استاندارد ANSI-B16.5 انجام گیرند.
- جوش کاری‌ها و فیت کاری‌ها بایستی مطابق با استاندارد ANSI-B16.11 انجام پذیرند.
- گسکت‌ها مطابق با استاندارد ANSI-B16.20 و پیچ کاری‌ها مطابق با استاندارد B 2.2 ANSI-B 18.2

نیازمندی‌های کلی‌ای که لازم هستند در طراحی چنین بودارکننده‌ای اتخاذ گردند به شرح زیرند:

- طراحی و تولید بودارکننده باید برای نصب بیرون از ساختمانی و نیز شرایط ناسازگار محیطی در طول سال مناسب باشد
- مقاومت در برابر فشار داخلی سیستم بوزنی، وزن ظرف، باد، زمین‌لرزه، ضربه و دما از لازمه‌های طراحی بودارکننده است.
- تانک بودارکننده باید از استیل کربنی Grade 70 ASTM A516 که با اپوکسی ۳۰۰ میکرون پوشیده می‌شود ساخته شود (مطابق استاندارد N.I.O.C یعنی (IPS-M-TP-215,220 & 225) (1993)
- کلیه واحدهای بوزنی باید پایه و دسته‌های مناسب برای دستکاری، حمل و نقل و جابجایی داشته باشند.
- ماکریزم فشار کار مناسب باید توسط پوسته و کلگی سیستم و خصوصیات آنها محدود گردد.
- تولید و ساخت واحد بوزنی نبایستی قبل از وصول اجازه خریدار درباره نقشه‌ها و محاسبات طرح‌ها شروع شود.
- کلیه قطعات فشاری و غیرفشاری‌ای که مستقیماً به پوسته جوش خورده‌اند یا به‌هر طریق غیر قابل جدا شدن هستند یا باید با مواد اضافی مقاوم در برابر خوردگی باشند یا از خود مواد مقاوم در خوردگی تولید شوند. قطعات فشاری قابل تعویض از این قضیه مستثنی هستند.
- موقعیت و کمترین اندازه جوش از نازل‌ها و دیگر اتصالات باید مطابقت با نیازهای تعریف شده در کدهای کاربردی بوده و هر مقاومت خوردگی لازم برای اتصالات بالا نیز مطابق با کد همان نوع اتصالات باشد.
- شیر تخلیه و فیلتر زغالی مناسب باید تعییه گردد.

- تانک بودارکن تزریقی باید به گونه‌ای طراحی گردد که مقدار لازم ماده بودار برای یک ماه فعالیت مداوم ایستگاه دروازه شهری CGS (گزارش مهرماه ۸۷) در ماکزیمم دبی خط در خود ذخیره سازد.
- بودارکن باید به گونه‌ای طراحی گردد که دوز مشخصی از ماده بودار را به خط گاز تزریق نموده و این طراحی بر اساس دبی فعالیت کامل انجام گیرد.
- ماکزیمم فشار کاری تانک بودار کننده باید روی ۳۰ پوند بر اینچ مریع باشد.
- واحد فشار در این بودارکن شامل موارد ذیل شود:
 - یک کوپلینگ سه‌چهارم اینچ برای عایق‌کاری و تخلیه سریع
 - یک فیلتر
 - یک کنترل‌کننده فشار با خروجی ۵ پوند بر اینچ مریع نسبی
 - یک شیر اطمینان سه‌چهارم اینچ
 - فشارسنج
- کلیه مؤلفه‌های کنترلی باید در جعبه کنترلی مقاوم در برابر انفجار قرار داده شوند.
- یک فیلتر ۵ میکرونی باید در بالادست پمپ تزریق تعییه گردد.
- هر بودارکن تزریقی باید با یک بورت اندازه‌گیری مناسب برای کالیبراسیون پمپ و نیز یک شاخص سطح فعلی تانک مناسب و تطابق داده شود؛ این امور نباید در برابر اثرات عملکرد بوزنی و یا اشعه آفتاب لکه‌دار گردند و توسط یک محافظ مناسب تجهیز شوند.
- کلیه قطعات در تماس با ماده بودارکن باید مقاوم در برابر این ماده باشند.
- پمپ تزریق باید به گونه‌ای اندازه‌سنجی شود که ماکزیمم نرخ تزریق ۲۵ میلی‌گرم بودارکن را برای هر مترمکعب استاندارد جریان گاز فراهم نماید.
- کنترل‌ها باید با استفاده از سیگنال‌های دریافتی از دبی‌سنج (توربینی یا اوریفیسی) برای کنترل پمپ بکار گرفته شوند.
- هر بودارکن باید با یک واحد تولید پالس اضطراری کامل شود که در حالت‌های خرابی و از کار افتادگی در پالس‌های اصلی سیستم، این پالس اضطراری وظیفه راهاندازی دستی واحد را بر عهده گیرد.

- پمپ تزریق باید از نوع سلنوئیدی که با دیافراگم هیدرولیکی بدون آب‌بند کار می‌کند، باشد.
- یک نازل تزریق کن برای فیت‌کردن خط اصلی برای هر واحد فراهم گردد.
- نازل تزریق کن باید با یک شیر غیربرگشتی توپی $\frac{3}{4}$ اینچ (برای دبی‌های ۵۰۰۰ مترمکعب استاندارد بر ساعت به بالا) و یا $\frac{1}{2}$ اینچ (برای دبی‌های زیر SCMH ۵۰۰۰) و یک شیر قطع جریان مناسب همراه با یک لوله سوراخ‌دار تزریق (برای یک تزریق یکنواخت ماده بودار به جریان گاز) تجهیز گردد.
- پمپ، کابینت کترل و سوئیچ اتوماتیک/دستی تغییر باید در مقابل انفجار مقاوم باشند. (مطابق با کلاس EX e II T4)
- سیستم باید به گونه‌ای طراحی و تجهیز گردد که بوسیله منبع تعذیه ۲۲۰ ولت AC و ۵۰ هرتز تک‌فاز کار کند.
- پیوستگی برقی بوسیله ابزار و امکاناتی که کاربر سیستم بودارکننده فراهم می‌سازد خواهد انجام گرفت.
- سیستم UPS باید با منابع برقی محلی بر اساس اطلاعات تولیدکننده و نیز بر اساس استانداردهای نفتی ایران(IPS) و به شماره IPS-M-EL-176 (0)-1994 طراحی و تجهیز گردد.
- محدوده دمای کاری محیط باید از -29°C تا $+60^{\circ}\text{C}$ درجه سانتیگراد درنظر گرفته شود. (مگر آنکه در دیتاشیت در حدودی دیگر باشد).
- سوراخ‌کاری در پوسته و کلگی باید مطابق با کدهای کاربردی و مناسب برای فشار و دمای نوشته شده روی ظرف بوزنی باشد.
- ظرف بوزنی باید تجهیزات اولیه‌ای را بمنظور دسترسی داشتن به داخل ظرف برای بازرسی داشته باشد.
- بودارکن تزریقی باید بوسیله پایه‌ها یا دسته‌های مناسب تجهیز گردد.
- لوله‌کشی مدل ۳۱۶ استیل ضدزنگ باید استفاده شود.

- هر مخزن بوزنی باید با مونتاژ مناسب تجهیز شود. شیشه گیج (شاخص) باید تمیز باقی مانده و خوانا باشد؛ نباید این شاخص در اثر عملکرد بوزنی و یا اشعه آفتاب لکه‌دار گردد و توسط یک محافظ مناسب تجهیز شود.
- شاخص فشاری باید برای تنظیم درست فشار در طول شیر پروانه‌ای آماده باشد.
- تانک‌های بودارکن باید برای جریان ماکزیمم و سه ماه فعالیت مداوم اندازه‌زده و طراحی شود.
(به عبارتی هر تانک بایستی در فواصل سه ماهه تخلیه گردد)
- کلیه جوش‌ها باید با فرآیند جوش فلز حفاظت شده یا جوش اتوماتیک / نیمه‌اتوماتیک با الکترودهای سازگار با مواد ساخت ظرف بوزن و مطابق با کدهای کاربردی مناسب نجام شوند.
- تولیدکننده باید ساخت و کیفیت الکترودهای جوش را جهت پیشنهاد در ساخت بوزن مشخص کند. بدون اجازه و تأیید خریدار و قبل از آن جوش‌کاری‌ها نباید انجام گیرند.
- کلیه نازل‌ها، سوراخ‌های ورود و اتصال‌های کوچک با استحکام‌سازی شان باید با جوش‌های مناسب به ظرف بوزنی متصل گرددند.
- جوش‌های جانبی باید طوری واقع شوند که بازرسی ظرف بوزنی براحتی انجام پذیرد.
- عملیات حرارتی مطابق با استانداردهای ASME برای ظروف تحت فشار باشد.
- کلیه سطوح فلنجدی و یا اتصالات پیچی باید از زنگزدگی و اکسایش به هنگام عملیات حرارتی محافظت شوند.
- اگر فلنجد جوشی به کار رفته باشد بعد از برطرف کردن تنش، جوشکاری مجاز نمی‌باشد.
- ماده بودار کننده باید تراهیدروتیوفن (با فرمول شیمیایی C4H8S) یا مرکاپتان باشد.
- نرخ بوزنی برای T.H.T (تراهیدروتیوفن) بین ۱۵ تا ۲۵ میلی‌گرم برای هر متر مکعب استاندارد گاز است.
- نرخ بودارکن برای مرکاپتان بین ۱۰ تا ۲۰ میلی‌گرم برای هر متر مکعب استاندارد گاز است. ترکیبات مرکاپتان به صورت ۸۰٪ مرکاپتان ایزوپروپیل و ۱۰٪ مرکاپتان N-پروپیل و ۱۰٪ مرکاپتان تریتیاری بوتیل است.

- در تزریق ماده بودارکننده، علاوه بر کلیه استانداردهای اجباری قبل در صورت لزوم همه مواد و تولیدات باید مطابق با گفته‌های تزریق خریدار باشد.
- تولیدکننده باید به‌طور منصفانه خریدار را از آمادگی انجام کلیه تست‌های تزریقی لازم و مطابق با کدها و مشخصه‌های صنعت قبل از بازدید این تست‌ها مطلع سازد.
- به نماینده مجاز خریدار باید فرصت و اجازه گواهی در مورد تست اجزای بودارکن داده شود.
- تولیدکننده باید کلیه استانداردهای مربوط به بویلر و ظرف فشار ASME را در بازرسی رعایت نماید.
- علاوه بر حق لازم و اجباری بازرسی کدهای ASME توسط مشتری، بازرسی کلیه قطعات و مواد نیز بر حسب نیاز مجاز می‌باشد.
- قبل از بازرسی نهایی، کلیه تفاله‌ها و سربارهای ذوب، مواد زائد، خردکریزها، سنگریزه‌ها، تکه‌های جوشکاری، مواد نفتی و دیگر مواد خارجی باید کاملاً استخراج گرددند.
- آزمون رادیوگرافی روی ظرف بوزنی باید مطابق با استاندارد ASME صورت پذیرد.
- هر بوزن تزریقی قبل از بارگیری و محموله‌سازی توسط نماینده مجاز خریدار بازرسی شده و نکات مناسب درباره بازرسی توسط فروشنده تحويل مشتری گردد.
- گواهینامه بازرسی مواد با گزارش تست باید به C.I.G.N تحويل داده شود؛ علاوه فروشنده باید دسترسی آزاد و آسانی به خریدار جهت امور گواهی داشته باشد.
- بوزن‌ها با مستقیم مطابق با آخرین کدها و استانداردهای مخازن تحت فشار و بویلرهای ASME مراحل طراحی، تولید، بازرسی و تست را طی کنند.
- کلیه تست‌ها باید شماره سفارش و نام خریدار را شامل شوند.
- درمورد رنگ‌کاری باید استاندارد سوئدی SA3 Grade 055900 sts رعایت شده و پوشش باید از جنس سیلیکات روی با ضخامت فیلم ۱۵۰ میکرون باشد.
- به نماینده مجاز خریدار باید فرصت و اجازه گواهی در مورد تست تزریق داده شود.
- تولیدکننده باید کلیه استانداردهای مربوط به بویلر و ظرف فشار ASME را در بازرسی رعایت نماید.

- بودارکننده نوع تزریقی باید به صورت زیر تست گردد:
 - بازرسی دیداری باید شامل اطلاعاتی از مهارت، رنگ کاری، مونتاژ و تولید باشد.
 - گواهی نامه تست باید شامل گواهی در مورد مقاوم بودن پمپ، جعبه کنترلی، سوئیچ ها و دیگر قطعات الکتریکی در برابر انفجار به همراه گواهی تأیید اجزای کنترلی و شیر اطمینان باشد.
 - تست عملکرد سیستم نیز باید برای محدودهی ظرفیت موردنیاز و نیز فشار مشخص شده باشد. این تست به همراه تست های مربوط به شیر اطمینان و تست عملکرد انجام گیرد. نهایتاً باید به گواهی N.I.G.C. رسیده و گواهی نامه آن نیز به تأیید این شرکت برسد.
 - هر سیستم بوزنی باید با صفحه مشخصات همیشگی مربوط به نحوه مقاومت در برابر خوردگی مجهز شود. این صفحه باید بعد از تحویل و نصب به راحتی قابل رویت باشد.
 - هر مارکسازی روی گرمکن باید مطابق ASME و شامل اطلاعات ذیل باشد:
 - نام سازنده گرمکن
 - سال تولید
 - شماره سریال
 - شماره مدل و نوع پمپ
 - ماکزیمم ظرفیت پمپ تزریق (لیتر بر ساعت)
 - ماکزیمم حجم تاب خوردگی پمپ تزریق بر هر ضربه (سانتی متر مکعب)
 - سرعت پمپ تزریق (بر حسب تعداد ماکزیمم ضربه بر ساعت)
 - ماکزیمم فشار تزریق پمپ (bar)
 - ولتاژ و فرکانس منع تغذیه
 - دبی گاز (متر مکعب استاندارد بر ساعت)
 - ماکزیمم فشار عملکرد واقعی
 - ظرفیت تانک (lit)
 - دیتاشیت (اطلاعات) N.I.G.C تکمیل شده توسط فروشنده باید ارائه گردد.
 - دیاگرام جریان و ساختار عملکرد بایستی بر روی یک صفحه فلزی دائمی و به صورت پاک نشدنی حک گردد که این صفحه روی جعبه کنترل برای خریدار تعییه می گردد.

- طرحهای مدیریتی حاوی ابعاد و وزن‌ها باید ارائه گردند.
- حتماً دستورالعمل‌های نصب و راهاندازی به خریدار داده شوند.
- راهنمایی‌های نگهداری سیستم بودارکننده به خریدار تحویل داده شوند.
- برای هر بودار کن گاز بسته‌بندی بایستی مطابق با دستورالعمل حفاظتی، بسته‌بندی، و مارک‌سازی N.I.G.C باشد.
- کلیه سطوح داخلی و خارجی قبل از بسته‌بندی و احیاناً حمل با کشتنی باید خشک شده و کلیه مایعات مربوط به تست‌های مختلف خارج گردند.
- به هنگام بسته‌بندی، کلیه فلنچ‌های باز با پوشش‌های استیلی مناسب محافظت شده و سوراخ‌های شیردار با درپوش‌هایی که به داخل آنها پیچ خورده است محافظت گردند..
- تولیدکننده بایستی مطلوبیت قطعات و عملکرد تجهیزات گرمکن را گارانتی (ضمانت) نماید.
- دوره گارانتی باید یک سال پس از به جریان افتادن گرمکن یا ۱۸ ماه پس از محموله‌سازی گرمکن و تاریخ حمل آن (هر کدام که زودتر اتفاق افتادند) باشد.
- لازم است تولیدکننده نسبت به تعمیر و جایگزینی هر قطعه و تجهیزاتی که معیوب هستند در دوره گارانتی اقدام نماید.

در شکل ۱۱-۳ نمایی از یک دیتاشیت بودارکن نوع تزریقی نمایش داده شده است که باید برای هر بودارکن تزریقی تکمیل گردد.

1.	MAX. & MIN. LINE PRESSURE	KG/CM2	PSIA .
2.	MAX. & MIN. GAS TEMP	DEG.C.	
3.	MAX. GAS FLOW	SCMH	
4.	DIAMETER OF GAS LINE	INCH	
5.	TYPE OF THE GAS METER :	() TURBINE () ORIFICE	
6.	ODORANT :	MERCAPTAN	
7.	ODORANT CONCENTRATION	10 -25MG. PER SCM	
8.	INSTALLATION :	OUTDOOR	
9.	INPUT SIGNAL (DIGITAL :) , (ANALOG :)
10.	RELIEF VALVE SET PRESSURE	2.4 KG/CM2 = 35 PSIA	
11.	MAX. DISTANCE FROM GAS METER TO CONTROL CABINET	METERS	
12.	MAX. AMBIENT TEMP.	DEG.C.	
13.	MIN. AMBIENT TEMP.	DEG.C.	
14.	MAX. SUN TEMP.	DEG.C.	
15.	MAX. RELATIVE HUMIDITY	%	
16.	MAX. WIND VELOCITY	KM/H	
17.	TOTAL ANNUAL RAINFALL	MM	
18.	INDENT NO.	ITEM NO.	

شکل ۱۱-۳: نمایی از یک دیتاشیت بودارکن تزریقی

• استانداردها و کدهای بودارکننده قاشقکی

در ادامه به ارائه استانداردهای مربوط به بودارکن نوع قاشقکی پرداخته می‌شود. این استانداردها مطابق با دستورالعمل‌های مرکز امور تدوین استاندارد شرکت ملی گاز و با شماره IGS-PM-102 (0) می‌باشند. کدها و استانداردهای عمومی و مرتبط این سیستم عبارتند از:

- کلیه فلنج‌کاری‌ها و لوله‌کاری‌های فولادی مطابق استاندارد ANSI-B16.5 انجام گیرند.
- جوش‌کاری‌ها و فیت‌کاری‌ها با استاندارد ANSI-B16.11 انجام پذیرند.
- اتصالات چفتی و جوشی مطابق استاندارد ANSI-B16.11 انتخاب می‌گردند.
- واشرها (گسکت‌ها) مطابق با استاندارد ANSI-B 16.20 و پیچ و مهره‌ها مطابق ANSI-B 18.2 , B 2.2 انتخاب و طراحی می‌گردند.
- سایر قطعات به کار رفته در طراحی این بودار به شرح ذیل استانداردسازی و انتخاب می‌گردند:

► شیرآلات: NIGC-IGS-MS-PL-010, 019

» لوله‌کشی: ANSI-B31.8, B31.3

» رنگ‌کاری: NIOC-IPS-E-TP-100

» لوله فولادی بدون درز: ASTM A106

» پوشش‌های اپوکسی: NIOC-IPS-M-TP-215, 220, 225 (1993)

اما نیازمندی‌های کلی‌ای که لازم هستند در طراحی چنین بودارکننده‌ای اتخاذ گردند به شرح زیرند:

- این مدل از بودارکننده‌ها باید بتوانند در زیر نور مستقیم آفتاب و باران فعالیت نمایند.
- مقاومت در برابر فشار داخلی سیستم بوزنی، وزن ظرف، باد، زمین‌لرزه، ضربه و دما از لازمه‌های طراحی بودار کننده است.

ماکریم ظرفیت باید ۱۰۰۰۰ متر مکعب استاندرد گاز بر ساعت باشد.

- آلیاژ مس، برنز، روی و نظایر آنها که در مقابل انواع بودارکن خورده می‌گردند نباید در ساخت اجزا و قطعاتی که در تماس با ماده بودارکننده هستند، استفاده گردد.
- شیرها مربوط به پر و خالی نمودن مخازن اصلی و ایمنی و شیر مابین تانک ذخیره و تانک مربوط به محفظه کتور و نیز شیر تخلیه گاز باید از نوع توپی و با بدنه فولاد کربنی با توپیک و ساقه فولاد ضد زنگ یا آلیاژ غیرآهن با پوشش گرم باشند.
- ظرفیت مخازن بودارکننده به شرح ذیل می‌باشد:

» برای حداکثر ظرفیت ایستگاه بین ۱۰۰۰ و ۲۰۰۰۰ متر مکعب بر ساعت، ظرفیت تقریب مخازن اصلی و ایمنی ۱۰۰۰ لیتر،

» برای حداکثر ظرفیت ایستگاه بین ۳۰۰۰۰ و ۵۰۰۰۰ متر مکعب بر ساعت، ظرفیت تقریب مخازن اصلی و ایمنی ۱۵۰۰ لیتر، و

» برای حداکثر ظرفیت ایستگاه بین ۸۰۰۰ و ۲۰۰۰۰۱ متر مکعب بر ساعت، ظرفیت تقریب مخازن اصلی و ایمنی ۲۰۰۰ لیتر.

- سازنده موظف است اقلام ذیل را برای نصب دستگاه بودار کننده در فاصله حدود ۵ متر از خط به‌شرح زیر آماده نماید:

» یک عدد شیر با رقم دقیق #300

» ۲ عدد شیر سوزنی $\frac{3}{4}$ اینچ

» ۱ عدد مهره و ماسوره پیچی $\frac{3}{4}$ اینچ

» ۱ عدد فلنچ $\frac{3}{4}$ اینچی #300

» ۲ عدد زانویی پیچی $\frac{3}{4}$ اینچی #300

► شیر توپی #300 با اندازه $\frac{3}{4}$ اینچی مابین تانک ذخیره و تانک محفظه کتور جهت جلوگیری از تخلیه تانک محفظه به هنگام پر نمودن تانک ذخیره (مطابق IGS-MS-PL-010)

- دستگاه بودارکننده قاشقکی می‌بایست برای تمام دامنه‌های فشار، طرفیت‌ها و کیفیت‌های مندرج در متن تست‌ها مورد بازرسی قرار گرفته و در این تست می‌توان با رعایت نکات ایمنی مربوط به زنگ نزدن در اینبار بجای ماده بودار کننده از آب استفاده کرد؛ کلیه وسایل برای انجام این تست از قبیل دمنده هوا، وسایل اندازه‌گیری حجم هوا و حجم تزریقی آب باید توسط سازنده فراهم گردد.
- شیر پروانه‌ای باید با فلنج‌های لازم و پیچ‌های میله‌ای توسط تولیدکننده فراهم گردد.
- تانک بودارکننده باید از استیل کربنی ۷۰ ASTM A516 Grade ۳۰۰ که با اپوکسی میکرون پوشیده می‌شود ساخته شود (مطابق BS 5493).
- تانک بودارکننده باید با شیرهای اطمینان مناسب (مطابق با استانداردهای ASME) همراه با شیرهای بلوکی (شیر چندقولو) قابل قفل و فیلتر مناسب زغالی تجهیز شود.
- شیر تخلیه باید با فیلتر زغالی مناسب کامل شود.
- کلیه واحدهای بوزنی باید پایه و دسته‌های مناسب برای دستکاری، حمل و نقل و جابجایی داشته باشند.
- ماکریم فشار کار مناسب باید توسط پوسته و کلگی سیستم و خصوصیات آنها محدود گردد.
- تولید و ساخت واحد بوزنی نبایستی قبل از وصول اجازه خریدار درباره نقشه‌ها و محاسبات طرح‌ها شروع شود.
- کلیه قطعات فشاری و غیرفشاری‌ای که مستقیماً به پوسته جوش خورده‌اند یا به‌هر طریق غیر قابل جدا شدن هستند یا باید با مواد اضافی مقاوم در برابر خوردگی باشند یا از خود مواد مقاوم در خوردگی تولید شوند. قطعات فشاری قابل تعویض از این قضیه مستثنی هستند.
- موقعیت و کمترین اندازه جوش از نازل‌ها و دیگر اتصالات باید مطابقت با نیازهای تعریف شده در کدهای کاربردی بوده و هر مقاومت خوردگی لازم برای اتصالات بالا نیز مطابق با کد همان نوع اتصالات باشد.
- لوله‌کشی مدل ۳۱۶ استیل ضدزنگ باید استفاده شود.

- ظرف بوزنی باید تجهیزات اولیه‌ای را بمنظور دسترسی داشتن به داخل ظرف برای بازررسی داشته باشد.
- سوراخ کاری در پوسته و کلگی باید مطابق با کدهای کاربردی و مناسب برای فشار و دمای نوشته شده روی ظرف بوزنی باشد.
- بودارکن قاشقکی باید بوسیله پایه‌ها یا دسته‌های مناسب تجهیز گردد.
- هر مخزن بوزنی باید با مونتاژ مناسب تجهیز شود. شیشه گیج (شاخص) باید تمیز باقی مانده و خوانا باشد؛ نباید این شاخص در اثر عملکرد بوزنی و یا اشعه آفتاب لکه‌دار گردد و توسط یک محافظ مناسب تجهیز شود.
- شاخص فشاری باید برای تنظیم درست فشار در طول شیر پروانه‌ای آماده باشد
- تانک‌های بودارکن باید برای جریان ماکزیم و سه ماه فعالیت مداوم اندازه‌زده و طراحی شود. (به عبارتی هر تانک بایستی در فواصل سه ماهه تخليه گردد)
- کلیه جوش‌ها باید با فرآیند جوش فلز حفاظت شده یا جوش اتوماتیک / نیمه اتوماتیک با الکترودهای سازگار با مواد ساخت ظرف بوزن و مطابق با کدهای کاربردی مناسب نجام شوند.
- تولیدکننده باید ساخت و کیفیت الکترودهای جوش را جهت پیشنهاد در ساخت بوزن مشخص کند. بدون اجازه و تأیید خریدار و قبل از آن جوش‌کاری‌ها نباید انجام گیرند.
- کلیه نازل‌ها، سوراخ‌های ورود و اتصال‌های کوچک با استحکام‌سازی شان باید با جوش‌های مناسب به ظرف بوزنی متصل گردد.
- جوش‌های جانبی باید طوری واقع شوند که بازررسی ظرف بوزنی براحتی انجام پذیرد.
- عملیات حرارتی مطابق با استانداردهای ASME برای ظروف تحت فشار باشد.
- کلیه سطوح فلنجی و یا اتصالات پیچی باید از زنگزدگی و اکسایش به هنگام عملیات حرارتی محافظت شوند.
- اگر فلنچ جوشی به کار رفته باشد بعد از برطرف کردن تنش، جوشکاری مجاز نمی‌باشد.
- ماده بودارکننده باید تتراهیدروتیوفن (با فرمول شیمیایی C4H8S) یا مرکاپتان باشد.
- نرخ بوزنی برای T.H.T. (تتراهیدروتیوفن) بین ۱۵ تا ۲۵ میلی‌گرم برای هر متر مکعب استاندارد گاز است.

- نرخ بودارکن برای مرکاپتان بین ۱۰ تا ۲۰ میلی‌گرم برای هر متر مکعب استاندارد گاز است. ترکیبات مرکاپتان به صورت ۸۰٪ مرکاپتان ایزوپروپیل و ۱۰٪ مرکاپتان N-پروپیل و ۱۰٪ مرکاپتان ترتیاری بوتیل است.
- به نماینده مجاز خریدار باید فرصت و اجازه گواهی در مورد تست اجزای بودارکن داده شود.
- تولیدکننده باید کلیه استاندرادهای مربوط به بویلر و ظرف فشار ASME را در بازرسی رعایت نماید.
- علاوه بر حق لازم و اجباری بازرسی کدهای ASME توسط مشتری، بازرسی کلیه قطعات و مواد نیز بر حسب نیاز مجاز می‌باشد.
- قبل از بازرسی نهایی، کلیه تفاله‌ها و سربارهای ذوب، مواد زائد، خردهریزها، سنگریزهای، تکه‌های جوشکاری، مواد نفتی و دیگر مواد خارجی باید کاملاً استخراج گرددند.
- آزمون رادیوگرافی روی ظرف بوزنی باید مطابق با استاندارد ASME صورت پذیرد.
- هر بوزن قاشقکی قبل از بارگیری و محموله‌سازی توسط نماینده مجاز خریدار بازرسی شده و نکات مناسب درباره بازرسی توسط فروشنده تحويل مشتری گردد.
- گواهینامه بازرسی مواد با گزارش تست باید به N.I.G.C تحويل داده شود؛ علاوه فروشنده باید دسترسی آزاد و آسانی به خریدار جهت امور گواهی داشته باشد.
- بوزن‌ها بایستی مطابق با آخرين کدها و استاندرادهای مخازن تحت فشار و بویلرهای مراحل طراحی، تولید، بازرسی و تست را طی کنند.
- کلیه تست‌ها باید شماره سفارش و نام خریدار را شامل شوند.
- در مورد رنگ‌کاری باید استاندارد (0) IPS-E-TP-100 رعایت شود.
- به نماینده مجاز خریدار باید فرصت و اجازه گواهی در مورد تست اجزا داده شود.
- در موعد بازرسی رادیوگراف‌ها باید برای نماینده مجاز خریدار مهیا گرددند.
- تولیدکننده باید کلیه استاندرادهای مربوط به بویلر و ظرف فشار ASME را در بازرسی رعایت نماید.
- هر سیستم بوزنی باید با صفحه مشخصات همیشگی مربوط به نحوه مقاومت در برابر خوردگی مجهز شود. این صفحه باید بعد از تحويل و نصب به راحتی قابل رؤیت باشد.
- هر مارک‌سازی روی گرمکن باید مطابق ASME و شامل اطلاعات ذیل باشد:

- نام سازنده گرمکن
- سال تولید
- شماره سریال
- حداکثر توان تزریق ماده بودار به گاز بر حسب میلی لیتر در ساعت فشار طراحی و کارکرد
- ظرفیت تانکهای اصلی و ایمنی (lit)
- فشار تنظیم شیر اطمینان (Kg/cm²)
- دمای طراحی
- شماره سفارش خرید
- دیتاشیت (اطلاعات) N.I.G.C تکمیل شده توسط فروشنده باید ارائه گردد.
- لیستی از یدکی‌های پوشیده شده و بسته‌بندی شده با قیمت واحدشان که بطور پیشنهادی و دستورالعملی اولیه برای دو سال فعالیت سیستم لازم هستند.
- ترتیب‌دهی نهایی و جزئیات نقشه‌ها ارائه گردد.
- کاتالوگ‌های مفهومی و دیتای تکنیکال ابزارآلات فراهم شده باید ارائه شوند.
- حتماً دستورالعمل‌های نصب و راهاندازی به خریدار داده شوند.
- راهنمایان نگهداری سیستم به خریدار تحويل داده شوند.
- برای هر بودار کن گاز بسته‌بندی بایستی مطابق با دستورالعمل حفاظتی، بسته‌بندی، و مارکسازی N.I.G.C باشد.
- کلیه سطوح داخلی و خارجی قبل از بسته‌بندی و احیاناً حمل با کشتن باید خشک شده و کلیه مایعات مربوط به تست‌های مختلف خارج گردد.
- به هنگام بسته‌بندی، کلیه فلنچ‌های باز با پوشش‌های استیلی مناسب محافظت شده و سوراخ‌های شیردار با درپوش‌هایی که به داخل آنها پیچ خورده است محافظت گردد..
- تولیدکننده بایستی مطلوبیت قطعات و عملکرد تجهیزات گرمکن را گارانتی (ضمانت) نماید.
- دوره گارانتی باید یک سال پس از به جریان افتادن گرمکن یا ۱۸ ماه پس از محموله‌سازی گرمکن و تاریخ حمل آن (هر کدام که زودتر اتفاق افتادند) باشد.
- لازم است تولید کننده نسبت به تعمیر و جایگزینی هر قطعه و تجهیزاتی که معیوب هستند در دوره گارانتی اقدام نماید.

۴.۷.۳ استانداردهای دبی سنج‌ها

در مورد استانداردهایی که برای این واحد از ایستگاه بایستی رعایت شود به وبسایت مخصوص این استانداردها مراجعه شده و مواردی که در ادامه می‌آیند از مجموعه استانداردهای واحد امور تدوین استانداردهای شرکت گاز ((0)ES-IN-100 و (1)IGS-M-IN-102) استخراج و مورد جمع‌بندی قرار گرفته‌اند.

- استاندارد نوع دستگاه اندازه‌گیری حجم گاز طبیعی

این استاندارد دربرگیرنده حداقل شرایط عمومی مورد نیاز جهت نوع دستگاه اندازه‌گیری حجمی گاز طبیعی در ایستگاههای تقلیل و اندازه‌گیری فشار گاز می‌باشد:

- برای اندازه‌گیری مصارف گاز ایستگاههای درون شهری (TBS) می‌توان در موقع ضروری و نیاز و بصورت مقطعي، از کنتورهای توربیني قابل حمل استفاده نمود.
- برای اندازه‌گیری مصارف گاز ایستگاههای ورودی رostaها تا ۵۰۰۰ SCM/H کنتور توربیني و بيش از آن از کنتور روزنه‌اي استفاده نمود.
- برای اندازه‌گیری مصارف گاز ایستگاههای ورودی (CGS) می‌بایستی از کنتورهای روزنه‌اي استفاده نمود.



شکل ۱۲-۳: شماتیکی از یک دبی سنج توربینی

استانداردهای شرایط طراحی دبی‌سنجهای توربینی شامل موارد ذیل می‌باشد:

- دبی‌سنجهای بایستی با کیفیت کاری بالا، با بخش‌های محرک ساده و بدون استرس‌های مختلف باشد.
- همه بخش‌های دبی‌سنجهای بایستی در برابر خوردگی از جمله حمله پیوسته گاز طبیعی خشک بودارشده مقاوم باشد.
- دبی‌سنجهای بایستی یک تیکه، گازبندی‌شده و با قابلیت حفظ دقت اندازه‌گیری تحت کل محدوده عملکردی باشد.
- دبی‌سنجهای بایستی دارای قابلیت ثبت ظرفیت تعیین‌شده در مینیمم فشار ورودی باشد و هیچ اضافه بار ظرفیتی نبایستی در سایزکردن دبی‌سنجه در نظر گرفته شود.
- برای راحتی تعمیر و نگهداری، دبی‌سنجهای توربینی از نوع برداشت از بالا (Top Removal) پیشنهاد شده‌است.
- افت فشار در سرتاسر دبی‌سنجه در ظرفیت مجاز و فشار ورودی 18 Mbar نبایستی از 5 Mbar تجاوز کند (برای گاز با چگالی نسبی $1/65$).
- دقت دبی‌سنجهای بایستی برای ظرفیت‌های تا 20% ظرفیت ماکزیمم، $2\% \pm$ و برای ظرفیت‌های بالای 20% ظرفیت ماکریمم، $1\% \pm$ باشد.
- شاخص بایستی دیجیتالی و از نوع قرائت مستقیم باشد.
- دامنه تغییرات مصرفی (Rangeability) دبی‌سنجهای در فشار ورودی 18 Mbar بایستی برای ظرفیت‌های تا $160 \text{ مترمکعب بر ساعت}$ ، $10:1$ و برای ظرفیت‌های بالای $160 \text{ مترمکعب بر ساعت}$ ، $20:1$ باشد.

استانداردهای تست و بازررسی دبی‌سنجهای توربینی نیز شامل موارد ذیل می‌باشد:

- منحنی کارایی دبی‌سنجهای بایستی برای هر دبی‌سنجه مطابق با شماره سریال سازنده پیش‌بینی شده باشد.
- هر دبی‌سنجهای بایستی تحت فشار **PNEUMATICALLY** با $1/25$ برابر ماکریمم فشار عملکردش هنگامی که در آب غرق شده‌است، تست شده باشد.

- بدنه هر دبی‌سنج بایستی تحت فشار آب (HYDRAULICALLY) با $1/5$ برابر ماکزیمم فشار عملکردش تست شده باشد.

- بایستی منحنی عملکرد متشرشده توسط اداره استاندارد کشور برای هر دبی‌سنج پیش‌بینی شده باشد.

استانداردهای رنگ‌کاری دبی‌سنج‌های توربینی نیز شامل موارد ذیل می‌باشد:

- سطح خارجی دبی‌سنج بایستی کاملاً با حذف کردن همه زنگهاش تمیز شده باشد.
- سطوح رنگ شده بایستی بطور کامل عاری از گریس، شن و دیگر مواد خارجی باشد.
- دبی‌سنج بایستی با مطابق با استاندارد NO.SD3 REFERENCE (1977) BS-5493 ضخامت کل 100 میکرون رنگ شده باشد.
- مشخصات رنگ بایستی مطابق با مرجع NO. DF OF BS-5493(1977) باشد.
- رنگ نهایی بایستی آلومینیومی مطابق با ASA-49 باشد.

استانداردهای علامت‌گذاری دبی‌سنج‌های توربینی نیز شامل موارد ذیل می‌باشد:

- هر دبی‌سنج بایستی دارای نوشه‌های ذیل باشد:
 - نام سازنده
 - نوع مدل
 - شماره سریال سازنده
 - میزان سایز فشاری
 - ظرفیت اسمی بر حسب SCM/H
 - ظرفیت در فشار ورودی Mbar 18
 - ظرفیت محور خروجی بر حسب CM/REV
 - تاریخ کالیبراسیون
 - ماکزیمم فشار عملکرد
 - دستور خرید و شماره اقلام جنس
 - سال تولید
- این نوشه‌ها بایستی مستقیماً قابل رویت، به آسانی خوانا، و تحت شرایط معمولی استفاده از دبی‌سنج پاک نشدنی باشند.

استانداردهای بسته‌بندی دبی‌سنچ‌های توربینی مطابق دستورالعمل N.I.G.C به شرح ذیل می‌باشند:

- هر دبی‌سنچ بایستی در یک جعبه مقوایی نازک بسته‌بندی شده باشد.
- جعبه‌های مقوایی نازک بایستی در محفظه‌های چوبی با اندازه مناسب و با شرایط لازم جهت بلند کردن توسط بالابرند، بسته‌بندی شده باشد.

۵.۷.۳ استانداردهای لوله‌کشی ایستگاهها

در ارتباط با استاندارد لوله‌کشی ایستگاههای تقلیل فشار گاز شهری جستجوهای اینترنتی بسیاری انجام گرفت. مواردی که در ادامه می‌آیند از مجموعه استانداردهای واحد امور تدوین استانداردهای این شرکت (IGS-E-CS-410) استخراج و مورد جمع‌بندی قرار گرفته‌اند. نکته قابل توجه در این زمینه، این است که موارد کلی ذکر شده نه تنها قابل اعمال به ایستگاههای گاز شهری بلکه قابل اعمال به ایستگاههای تقویت فشار نیز می‌باشند.

- کدها و استانداردها
- طراحی، ساخت و تست کردن همه لوله‌کشی‌ها در ایستگاهها و خطوط لوله تاسیسات مرتبط، بایستی مطابق با کدها و استانداردهایی ذیل باشد:
 - کتاب راهنمای ASME، بخش او ۲، آخرین ویرایش
 - کتاب راهنمای انجمن استانداردهای ملی آمریکا برای سیستم‌های لوله‌کشی انتقال و توزیع گاز، بخش B31.8
 - جامعه مهندسین مکانیک آمریکا برای کدهای دیگر بخار و ظروف فشاری، بخش VIII، آخرین ویرایش
 - استانداردهای شغلی ایمنی و سلامت
 - برای طراحی لوله‌کشی بخار، آب، نفت و هوا : کد B31.3 انجمن استانداردهای ملی آمریکا برای لوله‌کشی پالایشگاه نفت، آخرین ویرایش
 - ساخت و آزمایش بر طبق ASME، بخش ۱۹۲ و ANSE B31.8، آخرین ویرایش
 - استاندارد ۱۱۰۴ صنعت نفت آمریکا برای جوشکاری خطوط لوله و تاسیسات مرتبط
 - استاندارد ۶۰ صنعت نفت آمریکا برای شیرهای لوله‌کشی
 - کدهای زیر بایستی بکار رود:

پیچهای لوله	ANSI B2.1
های لوله چدنی و fittingهای لبه دار	ANSI B16.1
های لوله استیلی و fittingهای لبه دار با ضمیمه ها	ANSI B16.5
های فولاد نرم با جوشکاری درزی Fitting	ANSI B16.9
اندازه شیرهای آهنی رودررو و سرهم پیوسته	ANSI B16.10
های استیلی ساختگی، جوشکاری دوراهی لوله و پیچ دار fitting	ANSI B16.11
های لوله آهنی، عایق ها و مهره های پشت گیر (lock nuts) با پیچ های لوله plug	ANSI B16.14
واشرهای غیرفلزی برای flange های لوله	ANSI B16.21
های لوله کشی قطر بزرگ flange	MSS-SP-44
های با معیار بالا جوشکاری شده fitting	MSS-SP-75
ابعاد شیر چدنی	ANSI B16.1
کربن استیل	ASTM A216 WCB or A105
کربن استیل دما پایین	ASTM A352 LCB or A350 LFI
فولاد فشرده و قابل انعطاف	ASTM A126 or A335
برنز	ASTM B61 or B62
چدن گردہ ای	ASTM 395 Gr 60-45-15 or A445
مشخصات برای خطوط لوله به سختی آزمایش شده	API 5LX
برای اندازهگیری گاز طبیعی توسط اریفیس	AGA Committee Report #3

همه کدها، استانداردها و مقررات که در اینجا ارجاع داده شده باشند، آخرین ویرایش باشند.

- اگر مقررات داخلی از کدهای ASME، ANSI، یا API بالا تخطی کنند، اصلاحاتی بر روی مقررات، قوانین و کدهای کشور می‌باشند.
- استاندارد مواد مورد استفاده در لوله کشی ایستگاه ها

مواد مصرفی باید مطابق با استانداردهای زیر استفاده گرددند:

- تنها لوله ها، شیرها و اتصالات از جنس استیل در ایستگاه ها مجاز می‌باشند، البته این قاعده کلی، به سیستم های خیلی فشار پایین (psig 60 و زیر آن) محدود نمی‌شود.

- مواد استفاده شده باید مطابق با مشخصات کد ASTM و API لیست شده باشند.
- لوله‌ها و اجزاء لوله‌کشی باید مطابق با استانداردهای ساخت و ابعادی کاربردی API MSS، ANSI یا معادل آنها باشند.
- مواد استفاده شده همان گونه که در استاندارد MSS SP-25 تعیین شده که باید شامل نام و علامت تجاری سازنده باشد، علامت‌گذاری شود.
- در این مشخصات، اندازه لوله بر حسب اینچ نشان داده می‌شود و قطر اسمی لوله را بیان می‌کند. درجه بندی لوله‌ها با علامت "#"، که مشخص کننده استاندارد ANSI است نه فشار واقعی، نشان داده می‌شود. ضمناً میزان فشار کاری با "lb" نشان داده می‌شود.
- سایز لوله‌ها، اتصالات، flangهای کاهش‌دهنده و شیرآلات با سایز اسمی خطوط لوله نشان داده خواهد شد.
- همه شیرآلات "۲" و بزرگتر می‌بایستی مطابق با استاندارد API 6D ساخته شوند، مشخصات برای شیرهای دروازه‌ای (Gate)، توپی (Ball)، پلاگ (Plug) و یکطرفة (Check)
- ماده بدنه شیر بایستی مطابق با مشخصات ذیل باشد:
 - کربن استیل ASTM A216 WCB or A105
 - کربن استیل دما پایین ASTM A352 LCB or A350 LFI
 - فولاد فشرده و قابل انعطاف ASTM A126 or A335
 - برنز ASTM B61 or B62
 - چدن گرده ای ASTM 395 Gr 60-45-15 or A445
- همه flange‌های با قطر اسمی بالاتر از "۱۶" بایستی با استاندارد MSS-SP-44 سفارش داده شود. ضمناً flange‌های دما پایین بایستی مطابق با استاندارد ASTM 350 بجای A105 سفارش داده شود.
- مواد سازنده ظروف بایستی مطابق استاندارد ASTM A515, Gr. 70 یا ASTM A516, Grade 70 باشد مگر اینکه طور دیگر مشخص شده باشد.
- سطوح flange‌های استیلی بایستی دندانه‌دار باشند (هم مرکز یا حلزونی) مگر اینکه طور دیگر ذکر شود.

- جداول مواد لزوما شامل میزان مجاز خوردگی نمی‌شود. هنگامی که این مقدار مشخص شود، ماده تعیین شده بایستی با کدهای صحیح برای همخوانی با میزان فشار بررسی گردد.
- شیرهای برنزی و آهنی بایستی بسته‌بندی استاندارد سازنده را داشته باشند.
- واشرهای کلاهکی بایستی مطابق استاندارد سازنده باشند مگر اینکه طور دیگر ذکر شود.
- استاندارد علائم و اختصارات مورد استفاده در لوله‌کشی ایستگاهها

اولین سری از فهرست علائم باید مطابق با استانداردهای مندرج در زیر استفاده گردد:

#		ANSI rating
ASB	—	asbestos
BB	—	bronze body
B-NS	—	buna-N seat
BT	—	bronze trim
Btmp	—	bore to match pipe
DBB	—	double block and bleed
DSA	—	double submerged arc (weld)
ff	—	full face (gasket)
FF	—	flat face
Flgls	—	flangeless (valves)
FS	—	Forged steel
IB	—	iron body
ID	—	iron disc
IS	—	inside screw
HTIP	—	high tensile iron plug
GR	—	Grade
LB	—	pounds per square inch
LF	—	lube fittings
Lr	—	Lever
NPT	—	national pipe thread
NTP	—	notched throttle plate
OS&Y	—	outside screw and yoke
RF	—	raised face
RS	—	rising stem
RTFS	—	reinforced Teflon seats
Sch	—	Schedule
SHHB	—	solid hex, head bull (plug)
Smls	—	Seamless
SO	—	slip-on
SS	—	soft seat

SSS	—	stainless steel stem
SST	—	stainless steel trim
Std	—	Standard
SW	—	socket weld
SWD	—	solid wedge disc
W/	—	With
WG	—	worm gear
Wch	—	Wrench
Wt	—	Weight
wtmp	—	wall to match pipe
UB	—	unions bonnet
Unions w/IS	—	unions with integral seats

دومین سری از فهرست علائم نیز باید مطابق با استانداردهای مندرج در زیر استفاده گردد:

G	—	gas	ASME Guide, Part 192
SG	—	starting gas	ASME Guide, Part 192
FG	—	fuel gas	ASME Guide, Part 192
PG	—	power gas	ASME Guide, Part 192
EG	—	pilot gas	ASME Guide, Part 192
FA	—	free air	ASME Guide, Part 192
IA	—	instrument air	ANSI B31.3
UA	—	utility air	ANSI B31.3
LO	—	tube oil	ANSI B31.3
E	—	exhaust	ANSI B31.3
DW	—	domestic water	ANSI B31.3
GW	—	raw water	ANSI B31.3
JW	—	jacket water	ANSI B31.3
D	—	drains	ANSI B31.3
V	—	vents	ANSI B31.3

۶.۷.۳ استانداردهای رگولاتورها

در ارتباط با استاندارد رگولاتورهای ایستگاه‌های تقلیل فشار گاز جستجوهای اینترنتی بسیاری انجام گرفت. مواردی که در ادامه می‌آیند از مجموعه استانداردهای واحد امور تدوین استانداردهای این شرکت ((IGS-MS-IN-210(0)) استخراج و مورد جمع‌بندی قرار گرفته‌اند. استانداردهای شرایط طراحی و کاری رگولاتورها شامل موارد ذیل می‌باشد:

- رگولاتور بایستی بخش‌های محرک ساده و تنش‌زدایی شده داشته باشد و به منظور نائل شدن به پایداری عملکردی و دقت مداوم رگولاتور روی یک دوره زمانی و روی یک محدوده شرایط عملکردی با کمترین میزان تعمیر، بایستی از مواد باکیفیت ساخته شود.
- رگولاتور بایستی برای نصب در هوای آزاد مناسب باشد و همه بخش‌هایش باید نسبت به خوردگی اتمسفریک(ATMOSPHERIC) و همچنین حمله پیوسته گاز طبیعی بودارشده و مтанول مقاوم باشد.
- محدوده فشار ورودی (۴۰۰-۲۵۰ psig)، و فشار خروجی (۲۵۰-۶۰ psig)
- محدوده دمای محیطی برای رگولاتور، ۲۹-۶۰ درجه سانتیگراد یا ۲۰-۱۴۰ درجه فارنهایت است.
- حجم استاندارد در ۱۰۱۳ بار (۱۴/۶۹۶ psia) و ۱۵/۶ درجه سانتیگراد (۶۰ F) اندازه‌گیری شود.
- عملکرد رگولاتور بایستی مطابق با موارد ذیل باشد:
 - فشار خروجی رگولاتور در نرخ جریان مشخص شده و فشار ورودی ۲۵۰ psig، روی $17/5 \pm 0/7$ مگابار تنظیم شود.
 - فشار خروجی رگولاتور نبایستی در تغییرات جریان بین ظرفیت صفر و کامل رگولاتور و در فشارهای ورودی (۴۰۰-۲۵۰ psig)، بالاتر از $23/7$ مگابار یا پایین‌تر از 15 مگابار شود.
 - رگولاتور بایستی با ابزار قطع کردن فشار پایین، ابزار قطع کردن فشار بالا و شیر اطمینان داخلی تجهیز شود.
 - محدوده‌های نصب سه ابزار ایمنی رگولاتور شامل موارد ذیل می‌شوند:
 - محدوده تنظیم قطع کننده فشار پایین، $1/2 \pm 8/7$ مگابار
 - محدوده تنظیم قطع کننده فشار بالا، $42/3 \pm 2/5$ مگابار
 - محدوده تنظیم شیر ایمنی داخلی، $62/3 \pm 7/5$ مگابار
 - اتصالات ورودی و خروجی رگولاتور بایستی همراستا باشند. ضمناً جهت جریان بایستی بطور ثابت روی بدنه شیر بر جسته شود.

- اتصالات ورودی و خروجی و منفذ رگولاتور بایستی مطابق با استاندارد ANSI B 1.20.1 باشند.

نحوه کنترل و سرویس رگولاتورهای ایستگاههای تقلیل فشار گاز عبارت است از:

- شیرهای قبل و بعد از رگولاتور را بسته، گاز موجود در طرفین رگولاتور را از طریق شیرهای تخلیه، خارج نمائید. در نتیجه فشار از دو طرف رگولاتور برداشته خواهد شد.
- اگر فشار از لوله های حسگر به رگولاتور اعمال نمی شود، لوله های حسگر را باز نموده و با تمیز کردن و سپس رفع گرفتگی ها امکان عبور جریان گاز را فراهم نمائید.
- رگولاتور را باز نموده و قسمت های مختلف آنرا بازدید نمائید.
- اگر دیافراگم رگولاتور، اریفیس، سیت، پلاک، فنر و دیگر قطعات فرسوده می باشد، آنها را تعویض نمائید.
- اگر قسمت فیدر پیلوت رگولاتور (دیافراگم-ORING-فر) دچار مشکل شود آن قسمت را بازدید و قسمت معیوب را تعمیر یا تعویض کنید.
- پس از تعمیر قسمت های مختلف رگولاتور، آنرا در محل خود نصب نمائید.
- شیرهای قبل و بعد از رگولاتور را باز نمائید.
- فشار خروجی رگولاتور را تنظیم کنید و پس از آزمایش نشتنی، آنرا در سرویس قرار دهید.

مواد سازنده رگولاتور باید مطابق با استانداردهای زیر باشند:

- مواد سازنده بدنه شیر بایستی چدنی و مطابق استاندارد ANSI B16.4 CLASS 125 باشد.
- مواد پوسته های دیافراگمی بایستی از آلومینیوم حدیدهای و مطابق استاندارد ASTM B 85 باشد. ضمناً پوسته دیافراگمی بایستی آنقدر مقاوم باشد که فشار ۷۵۰ مگابار را تحمل نماید.
- دیافراگم که از مواد مصنوعی مختلفی تشکیل شده است بایستی هموزن و بدون تخلخل، شن و ماسه، تاول ها و نقص ها باشد.
- اطلاعات زیر بایستی بطور ثابت روی ورقه اصلی دیافراگم نشان داده شود:

- نام سازنده یا مارک تجاری
- شماره پیمانه

• تاریخ ساخت

- فرها، تنها، اهرم‌بندی شیر و تیغه منفذ خروجی بایستی همواره از یک ماده مقاوم در برابر خوردگی مثل STAINLESS STEEL یا استیل‌های روکش‌دار ضد خوردگی ساخته شود.
 - اریفیس رگولاتور بایستی از برنج و مطابق استاندارد ASTM B16 یا فولاد ضد زنگ ۳۱۶ ساخته شود.
 - پیچ اریفیس شیر بایستی مانع خروج گاز بشود.
 - رگولاتور بایستی تا حرارت ۱۲۱ درجه سانتیگراد را تحمل کند بدون اینکه بر روی مانع خروج گازشدن این پیچ‌ها اثر بگذارد.
 - پیچ‌ها (بجز پیچ‌های تنظیمی) و مهره‌ها بایستی از فولاد ضد زنگ یا استیل روکش‌دار ضد زنگ باشند. شیار داخل پیچ و مهره‌ها بایستی مطابق استاندارد ANSI B1.1 باشد.
 - همه پیچ‌های تنظیمی، سرپوشها، صفحه دیافراگم، دیسک شیر و دهانه شیر اطمینان بایستی از مواد مناسبی ساخته شود تا قابلیت تحمل شرایط ناسازگار مکانیکی، شیمیایی و گرمایی را داشته باشند. این شرایط شامل موارد زیر می‌شود:
 - بازو بسته شدن کامل برای ۱۰۰ بار (برای پیچ‌های تنظیمی و سرپوش‌ها)
 - دمای پایین و بالای -۲۹ و ۱۰۰ درجه سانتیگراد برای ۲۴ ساعت
 - گاز طبیعی بودار شده
 همچنین رنگ‌آمیزی رگولاتورها باید مطابق با استانداردهای زیر باشد:
 - سطح رگولاتور بایستی بصورت صحیح آماده‌سازی و تمیز شده باشد تا عملیات بعدی و رنگ آمیزی یکنواخت را اجازه دهد.
 - بدنه آلومینیومی رگولاتور که در معرض هوا قرار می‌گیرد بایستی یک پوشش از جنس کروم داشته باشد.
 - سطح داخلی رگولاتور بایستی یک پوشش لعابی و رنگ‌آمیزی با ضخامت خشک ۵۰+۱۰ میکرون داشته باشد.
 - رنگ نهایی بایستی خاکستری مطابق با استاندارد ANSI Z55.1 با رنگ شماره ۴۹ یا معادلش، باشد.
- استانداردهای علامت‌گذاری رگولاتورها نیز شامل موارد ذیل می‌باشد:

- هر رگولاتور بایستی دارای نوشته‌های به فارسی یا انگلیسی نوشته شده ذیل باشد:

- نام سازنده یا علامت تجاری آن
- شماره سریال سازنده، نوع و شماره مدل
- شماره N.I.G.C P/O
- ظرفیت رگولاتور بر حسب SCM/H
- سال تولید
- محدوده فشار ورودی و خروجی
- اندازه اریفیس
- نشانه برجسته شده NIGC روی بدنه شیر

- کیفیت خوانایی و چسبنده بودن مواد علامت‌گذاری نبایستی تحت تاثیر گرما، نور خورشید و رطوبت واقع شوند.

استانداردهای بسته‌بندی رگولاتورها مطابق دستورالعمل N.I.G.C به شرح ذیل می‌باشند:

- هر رگولاتور بایستی در یک کیسه پلاستیکی بسته‌بندی شده باشد.
- هر کیسه پلاستیکی بایستی در یک جعبه مقوایی نازک جداده شود.
- جعبه‌های مقوایی نازک بایستی در صندوق‌های چوبی با اندازه مناسب و با شرایط لازم جهت بلند کردن توسط بالابرند، بسته‌بندی شده باشد.



شکل ۱۳-۳: شماتیکی از یک رگولاتور صنعتی

۷.۷.۳ ظرف‌های تحت فشار

مخازن تحت فشار باید با AS 1210 مطابقت داشته باشند.

۸.۷.۳ شیرهای ایستگاه

شیرهای ایزولاسیون ایستگاه و کنارگذر^{۱۸} آن باید در هر واحد دبی‌سنجدی، رگولاسیون، پمپ و یا کمپرسور نصب گردد؛ آنچنانکه ایزوله کردن ایستگاه سریعاً اجرا گردد. چنین شیرهایی باید از حیث اطمینان و ایمنی اثبات شده باشند.

شیرهای ایزولاسیونی که در روی زمین نصب گشته و باعث جداسازی کل یا قسمتی از یک ایستگاه می‌گردند، در موقع خطر یا حالت اضطراری باید ایمن در برابر آتش و مطابق با استاندارد باشند. موقعیت شکست و مود اتز کار افتادگی هر شیر به هنگام فرآیند طراحی باید مشخص گردد. لازم به ذکر است که شیرهای زیر ایزولاسیون باید در موقعیت باز خود قفل گردد.

لازم است که شیرهای کنارگذر مناسب در قسمت‌های پمپ، کمپرسور و دبی‌سنجد ایستگاه نصب گردد.

همچنین خط لوله‌ای که حامل سوخت به یک قسمتی از ایستگاه می‌باشد باید به یک شیر ایزولاسیونی که در موقعیتی با دسترسی آسان و در خارج ساختمان نصب گردیده، تجهیز شود. ملاحظاتی هم باید برای فراهم نمودن یک شیر کنارگذر فشاری در کنار هر شیر ایزولاسیون ایستگاه مدد نظر قرارداده شود.

۸.۳ ایستگاههای کابینتی

در این بخش مروری بر ایستگاههای کابینتی و بررسی مزايا و معایب این ایستگاهها ارائه شده است. مباحثی را که در این بخش بدان پرداخته می‌شود شامل بر موارد ذیل است.

- مقایسه ایستگاههای کابینتی و مسطح از لحاظ تجهیزات و ابعاد
- مزايا، محدودیت‌ها و ملاحظات لازم جهت استفاده از ایستگاههای کابینتی
- تحلیل فرآیندی جریان گاز در یک TBS کابینتی و مسطح
- موارد فوق در ادامه شرح داده شده‌اند.

¹⁸ Bypass

۱.۸.۳ مقایسه ایستگاههای کابینتی و مسطح از لحاظ تجهیزات و ابعاد

ایستگاههایی که در ابتدای فصل بدانها اشاره شد از لحاظ ساخت و نحوه نصب تجهیزات به دو دسته‌ی کلی زیر تقسیم‌بندی می‌شوند.

- ایستگاههای مسطح

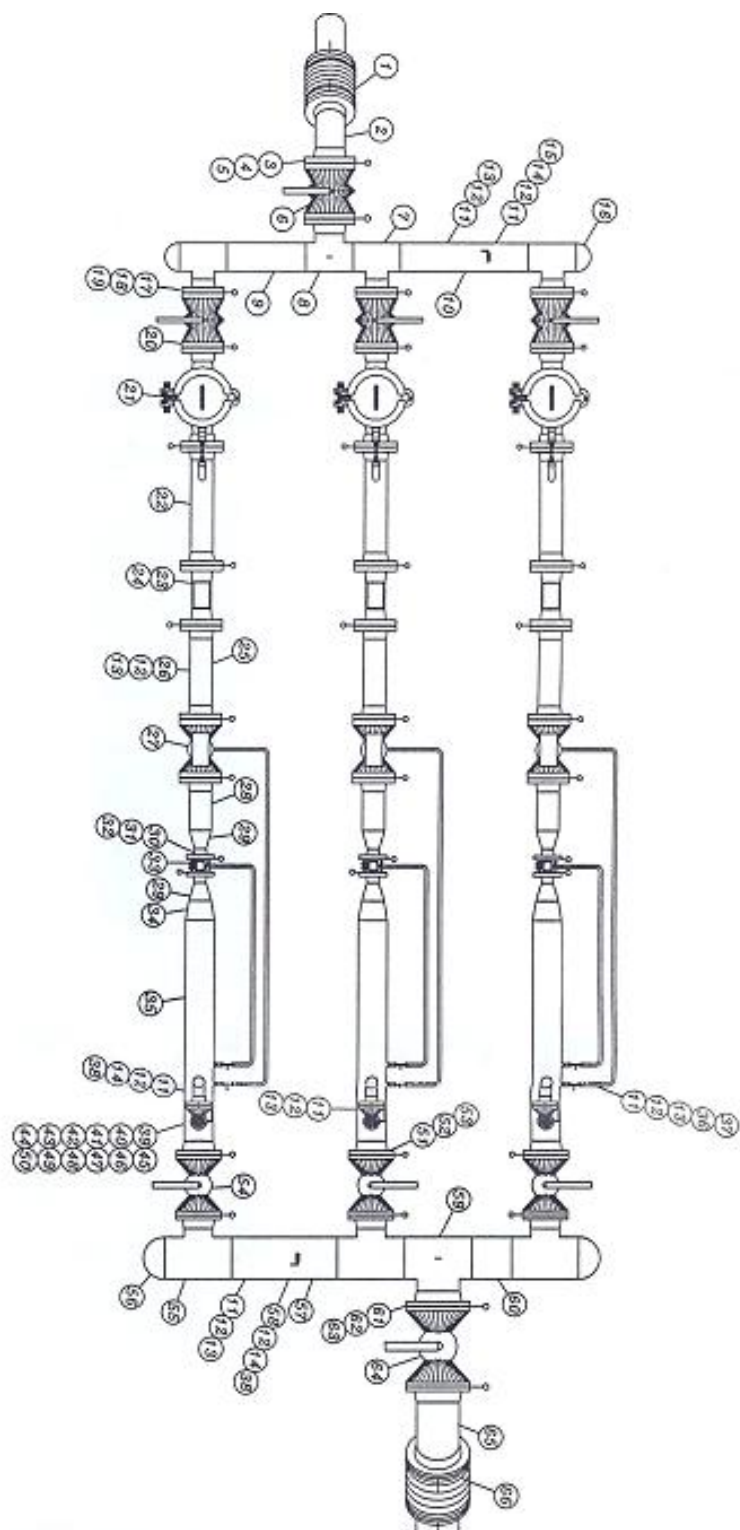
ایستگاههای مسطح، همان نوع متداول ایستگاههای است که تاکنون مورد استفاده قرار می‌گرفته است. در شکل ۱۴-۳، شکل ۱۵-۳ و شکل ۱۶-۳ نمونه‌ای از ایستگاههای مسطح ارائه شده است.



شکل ۱۴-۳: نمونه‌ای از ایستگاه CGS مسطح



شکل ۱۵-۳: نمونه‌ای از ایستگاه TBS مسطح



شکل ۱۶-۳: نقشه‌ی تیپ یک نمونه TBS مسطح

• ایستگاههای کابینتی

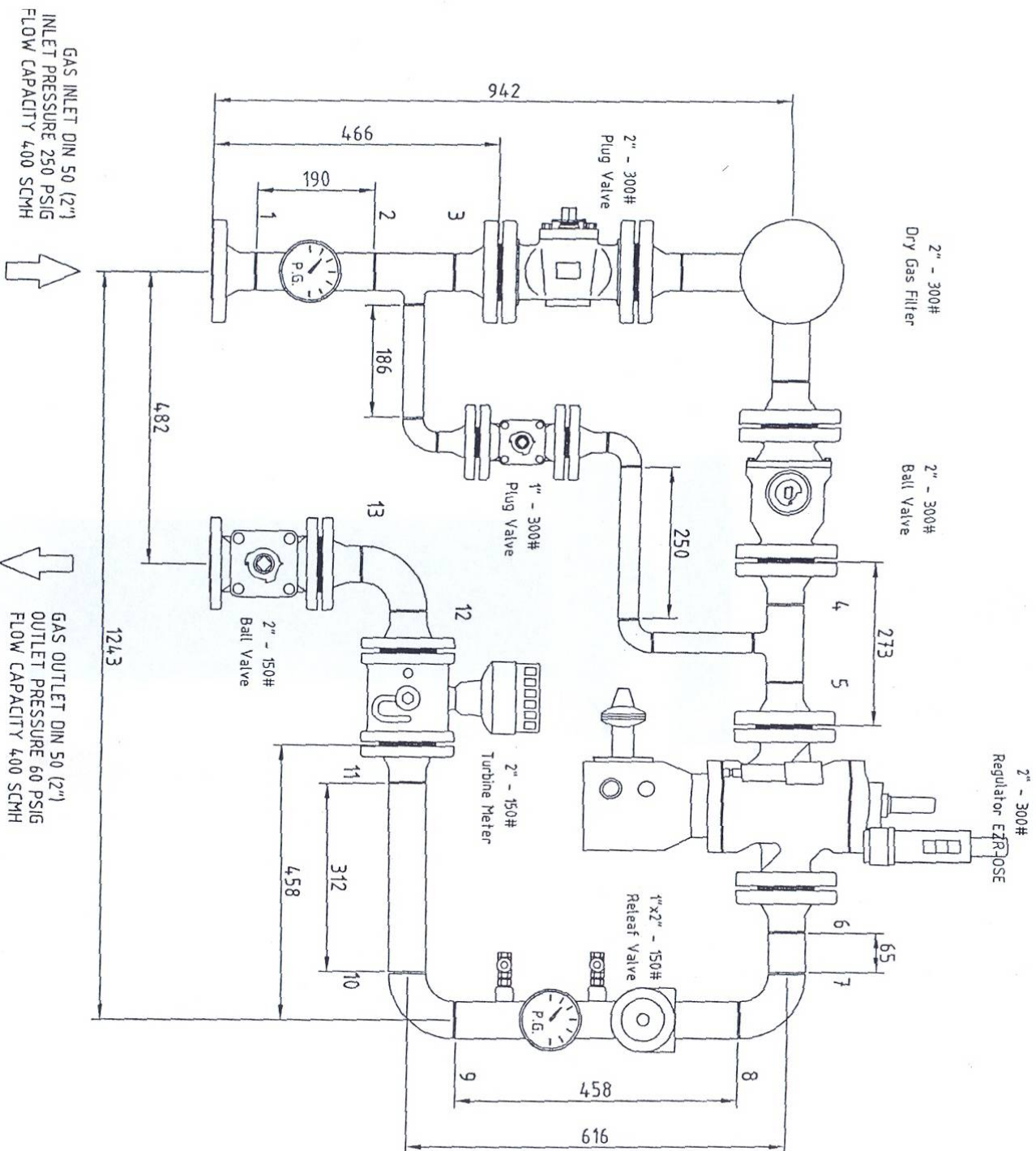
در این نوع ایستگاهها اجزای یک ایستگاه مسطح به صورت فشرده در کنار هم قرار گرفته و کلیه‌ی بخش‌ها در یک محفظه‌ی کابیتی نگهداری می‌شود. شکل ۱۷-۳ و شکل ۱۸-۳ نمونه‌ای از این ایستگاهها را نشان می‌دهند.



شکل ۱۷-۳: نمونه‌ای از ایستگاه TBS کابیتی

همانگونه که در پیش اشاره شد، با توجه به محدوده‌ی کاری ایستگاه، در طراحی، پیاده‌سازی و اجرای ایستگاه‌ها استانداردهایی موجود است که اجزای این ایستگاه‌ها اعم از شیرآلات، دبی‌سنج‌ها و رگولاتورها طبق آن استانداردها انتخاب و جایگذاری می‌شوند. از این‌رو با توجه به اینکه نحوه‌ی نصب (مسطح/کابیتی) تاثیری در فرآیند و هدف تاسیس ایستگاه نداشته از این‌رو تجهیزات به کاربرده شده در این دو نوع ایستگاه نیز یکسان بوده و از یک الگو انتخاب می‌شوند. به عنوان مثال چنانچه قرار باشد یک TBS فشار گاز با دبی $400 \text{ متر مکعب بر ساعت}$ را از 60 Psi به 250 Psi بررساند، طبق استاندارد می‌باشد از شیرهای ۲ اینچ کلاس 300 قبل از رگولاتور و از شیرهای ۲ اینچ کلاس 150 بعد از رگلاتور استفاده نمود. این استاندارد برای هر دو مدل مسطح و کابیتی لازم‌الاجرا بوده و تنها در مدل کابیتی با حذف لوله‌های بین اتصالات ایستگاه کوچکتر شده و در فضای کمتری قابل اجرا می‌باشد. همانگونه که در اشکال فوق مشاهده می‌شود ایستگاه TBS مسطحی که فضایی معادل با 3 در 5 را اشغال می‌نماید را می‌توان در یک کابینت با ابعاد $1\text{در}2\text{ گنجاند}$. البته با توجه به دبی و فشار کاری ایستگاه ابعاد نیز تغییر می‌نمایند. از آنجا که با افزایش دبی گاز سایز لوله‌ها و دیگر تجهیزات نیز افزایش می‌یابد، استفاده از این ایستگاه‌ها در دبی‌های بالای 20000 متر مکعب استاندارد بر ساعت توصیه نمی‌شود. نمونه‌ای از TBS های کابیتی با دبی 20000 متر مکعب استاندارد دارای

بعادی برابر با $4/5$ متر طول، $1/5$ متر عرض و $3/5$ متر ارتفاع می‌باشد. در بخش آتی مزایا و معایب این نوع ایستگاه‌ها بیشتر مورد بحث قرار می‌گیرد.



شکل ۱۸-۳: نقشه‌ی تیپ یک نمونه TBS کابیتی

۲.۸.۳ مزايا، محدوديتها و ملاحظات لازم جهت استفاده از ایستگاههای کابينتی

همانگونه که در بخش قبل اشاره شد، کاهش فضای لازم برای نصب ایستگاه از مهم‌ترین مزیت‌های ایستگاههای کابینتی می‌باشد. به طور کل مزیت‌های این نوع ایستگاهها نسبت به ایستگاههای مسطح را می‌توان موارد ذیل برشمرد.

- نیاز به فضای نصب کمتر نسبت به ایستگاههای نوع مسطح
- سهولت بیشتر در حمل و نقل و نصب ایستگاه
- کاهش هزینه‌های مربوط به ساخت ساختمان ایستگاه
- امکان کترل بیشتر صدا در موقعیت نصب ایستگاه در محل‌های مسکونی باشد.

با وجود مزایای فوق الذکر در اغلب موارد، قیمت تمام‌شده ایستگاههای کابینتی نسبت به ایستگاههای با ظرفیت مشابه از نوع مسطح کمتر می‌باشد. لذا امروزه در اکثر کشورهای اروپایی از این نوع ایستگاهها جهت مصارف صنعتی و شهری استفاده می‌شود و تمایل به استفاده از این نوع ایستگاهها در کشور نیز در حال افزایش می‌باشد.

با توجه به مطالعات انجام‌شده و بررسی ایستگاههای کابینتی موارد زیر به عنوان معايب و یا ملاحظاتی که در استفاده از این ایستگاهها باید در خاطر داشت، مطرح می‌شود.

- عدم سهولت رفع عیب و یا مونتاژ و دمونتاژ ایستگاه
- با توجه به قرارگیری اتصالات در فضایی بسیار کوچکتر از ایستگاههای مسطح و تنگ‌چین‌شدن آنها در کنار هم، یکی از معايب اساسی این ایستگاهها دشواری دسترسی تعمیرکار و یا سرویس کار ایستگاه می‌باشد. این امر با توجه به نیاز مداوم ایستگاه برای بازرسی و سرویس در بلند مدت آزار دهنده و چه بسا منجر به عدم رعایت استانداردهای لازم در سرویس و تعمیر قطعات شود. در این بین با توجه به شرکت‌های متعدد داخلی که در این زمینه فعال هستند مشاهده می‌شود که برخی از آنان محصولات خود را با افزایش سهولت در دسترسی به تجهیزات داخلی ایستگاه معرفی کرده‌اند و می‌توان امید داشت در آینده‌ای نه‌چندان دور با حفظ اندازه ایستگاه، این مشکل را تا حدی مرتفع نمود.

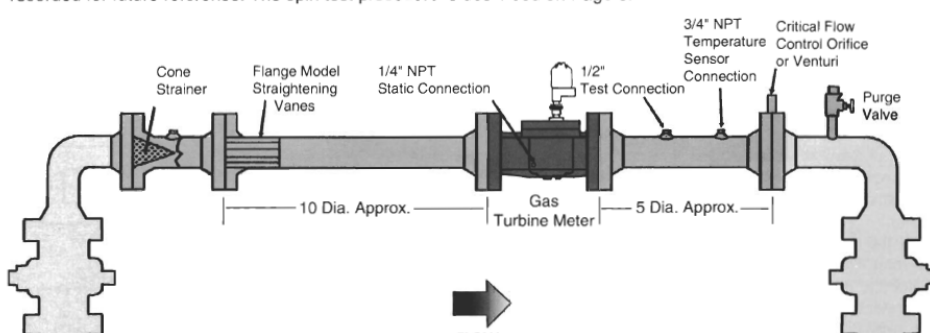
- قطع کامل مسیر در زمان تعمیر و سرویس ایستگاه

در طراحی و استفاده از ایستگاههای کابینتی، با توجه به وجود تنها یک خط عبور جریان، استفاده از ایستگاه عملاً در زمان سرویس و تعمیر قطعات مختل می‌شود. مطابق با شکل ۱۸-۳

تنها مسیر با پس در نظر گرفته شده در ایستگاه، مسیری است که برای تعویض فیلتر لحاظ شده تا در حین تعویض اختلالی در جریان صورت نگیرد از اینرو برای تعویض و تعمیر سایر قطعات می‌بایست کل جریان ورودی و خروجی قطع گردد که این مشکل می‌بایست به‌نحوی برطرف شود.

• دقت در انتخاب دبی‌سنجد گاز

دبی‌سنجهای متعددی در اندازه‌ی دبی گاز در صنایع گازی مورد استفاده قرار می‌گیرند. یکی از پرکاربردترین آنها در ایستگاه‌ها نوع دبی‌سنجد توربینی می‌باشد. این دبی‌سنجد در کنار تمامی مزایایی که دارد دارای محدودیت‌هایی در استفاده نیز می‌باشد. بمنظور اندازه‌گیری دبی جریان به‌کمک این کنتور با دقت قابل قبول، جریان ورودی حتی‌الامکان می‌بایست فاقد چرخش و جریان‌های گردابی باشد. به عبارت دیگر هر چه جریان یکنواخت‌تر باشد، دقت کنتور بالاتر بوده و در غیر این صورت نیاز به اعمال تصحیحاتی به عدد قرائت شده از روی کنتور می‌باشد. به منظور اطمینان از یکنواختی جریان ورودی به این کنتورها استانداردهای مرتبط توصیه می‌کنند در فاصله‌ای برابر با حداقل ۱۰ برابر قطر لوله ورودی به کنتور هیچ گونه تغییر در مسیر جریان (زانویی، سه‌راهی و مانند این‌ها) و هیچ گونه اتصالات دیگری اعم از انواع شیرها و غیره قرار نگیرد. در شکل ۱۹-۳ محدوده‌ی لازم به صورت شماتیک نشان‌داده شده است.



شکل ۱۹-۳: محدوده‌ی لازم قبل از کنتور توربینی

با توجه به موارد فوق همانگونه که در شکل ۱۸-۳ مشاهده می‌شود، از آنجا که کنتور این ایستگاه از نوع توربینی با ورودی ۲ اینچ بوده و با توجه به عدم رعایت فاصله‌ی لازم در ورودی کنتور که حدوداً برابر با $50.8 \times 2 \times 2/54$ (۱۰×۲×۲/۵۴) میلیمتر می‌باشد، ایجاد خطأ در مقدار دبی اندازه‌گیری شده توسط کنتور، امری دور از انتظار نیست. از اینرو جهت اطمینان از صحبت دبی قرائت‌شده می‌بایست تمهیداتی در نظر گرفت که این مورد را مرتفع نماید. این تمهیدات می‌تواند شامل بر تعویض کنتور و به عبارتی انتخاب کنتور مناسب با شرایط حاضر باشد. از جمله موارد دیگر می‌توان به بررسی خطای

ایجاد شده در دبی پرداخت و با انجام تصحیح بدون تغییر کنتور دبی صحیح را محاسبه نمود. تامین فاصله‌ی ورودی تا کنتور نیز می‌تواند یکی دیگر از روش‌های برطرف کردن خطأ باشد.

با بررسی‌های انجام‌گرفته و مطالعه‌ی مزايا و معایب اين نمونه ایستگاهها می‌توان به اين نتیجه رسيد که استفاده از اين ایستگاهها در دبی‌های کمتر از ۲۰۰۰۰ مترمکعب در ساعت با توجه به نیاز به فضای بسیار کمتر از نمونه‌های مسطح، مطلوب می‌باشد. این قضیه با توجه به رشد روزافزون جمعیت و افزایش تراکم هر منطقه و نیز افزایش بهای زمین بیش از پیش باید مورد توجه قرار گیرد. در این راستا بدون شک محدودیت‌ها و مشکلاتی وجود دارد که با کار کارشناسی و ارائه ایده‌های جدید قابل رفع و یا به حداقل رساندن می‌باشند.

۳.۸.۳ تحلیل فرآیندی جریان در یک TBS کایپنی و مسطح

ایستگاههای تقلیل فشار گاز بخش مهمی از سیستم گازرسانی بوده که با اشکال و تجهیزات متفاوت طراحی و نصب می‌گردند و با پیشرفت علوم و فن آوری، ساخت این تجهیزات به طور مرتب تغییر و ارتقا می‌یابد. در یک تقسیم‌بندی کلی جهت هماهنگی مشخصات گاز موجود در خطوط لوله با مشخصات گاز مورد نیاز مصرف‌کنندگان، ایستگاههای تقلیل فشار گاز در سایزها و انواع متفاوت و با محدودیت‌های ظرفیتی و فشاری متنوعی مورد بهره‌برداری قرار می‌گیرد.

بدین ترتیب با توجه به نوع کاربرد و فشار گاز ورودی به ایستگاه، نوع ایستگاه گاز انتخاب می‌شود و با توجه به پارامترهای اصلی زیر طراحی ایستگاه تقلیل فشار گاز انجام می‌گیرد:

- فشار و دمای عملیاتی گاز ورودی
- فشار و دمای عملیاتی گاز خروجی
- فشار طراحی و تست
- سرعت گاز داخل لوله
- مقدار جریان حجمی گاز

اجزای اصلی ایستگاههای گاز نیز به شرح زیر می‌باشد:

- | | |
|------------------|----------------|
| ۱. شیر توپی | ۲. رگولاتور |
| ۴. کنتور گاز | ۵. شیر اطمینان |
| ۷. شیر قطع جریان | ۸. فشارسنج |
| ۹. دماسنج | ۳. شیر مخروطی |
| ۶. فیلتر گاز خشک | |

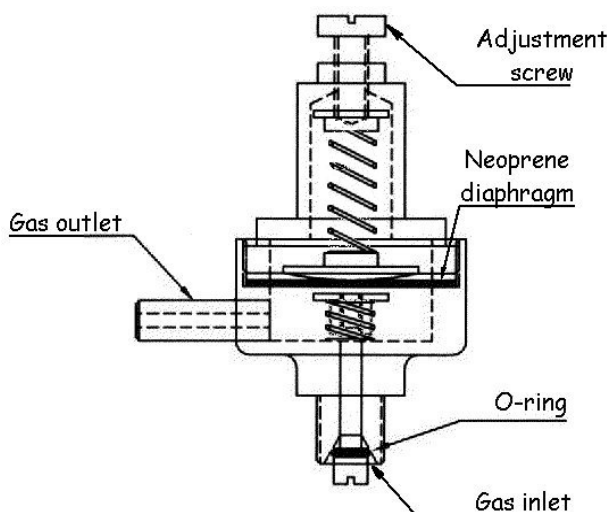
در ایستگاههایی که ظرفیت آنها بیش از پنج هزار متر مکعب در ساعت بوده و تداوم گاز رسانی حیاتی می‌باشد، تعداد و خطوط ایستگاهها بیش از یک خط خواهدبود. معمولاً در اینگونه موارد ظرفیت هر خط درصدی از ظرفیت کل ایستگاه می‌باشد. تقسیم حداقل ظرفیت ایستگاه بین چند خط به دلایل زیر صورت می‌پذیرد:

- میزان مصرف به حداقل ظرفیت ایستگاه برسد.
- هنگام بروز اشکال فنی از قطع کامل گاز جلوگیری به عمل آید.
- انتخاب تجهیزات با ظرفیت بالا سبب عدم دقت در مصارف کم می‌شود.
- خطاهای اندازه گیری حجم گاز کاهش می‌یابد.

ضمناً در ایستگاههای دارای یک خط، جهت بعضی از تجهیزات خط کنار گذر طراحی می‌گردد تا هنگام تعویرات در امر گازرسانی وقفه ای ایجاد نگردد.

این ایستگاهها ضمناً بسته به موقعیت محل می‌تواند بصورت کابیتی (compact) و مسطح (flat) تولید گردد. با این تفاوت که در نوع مسطح هر خط ایستگاه می‌تواند دارای یک رگولاتور محوری و یک شیر قطع کن باشد و یا بجای آنها از یک رگولاتور شات آف نوع SLAM نصب گردد. اما در نوع کابیتی به علت فضای کمتر در هر خط تنها یک رگولاتور شات آف نوع SLAM نصب می‌گردد.

از آنجاییکه مهمترین بخش ایستگاههای تقلیل فشار بخش رگولاتور یا تنظیم کننده فشار جریان گاز می‌باشد لازم است در اینجا، در مورد اصول تئوریک تنظیم و یا تقلیل فشار اشاره مختصراً انجام پذیرد. گاز بعد از عمل فیلتراسیون وارد بخش کاهش فشار و یا تنظیم فشار می‌گردد که در آن هدف، کاهش فشار موجود در شبکه به فشار مورد نیاز مصرف کننده می‌باشد. رگلاتور دستگاهی است که در صورت تغییر جریان گاز می‌تواند میزان فشار آن را در حد معینی کنترل نماید. شماتیکی از یک رگلاتور صنعتی در شکل ۲۰-۳ نشان داده شده است.



شکل ۲۰-۳: شماتیکی از یک رگولاتور صنعتی

رگلاتورها از نظر ساختمانی در انواع فنری و پایلوت دار عرضه می‌گردند. در رگلاتورهای پایلوت دار تغییرات فشار خروجی با نیروی فنر در رگلاتورمتری دیگر به نام پایلوت مقایسه شده و نتیجه آن به صورت فشار گاز به دیافراگم رگلاتور اصلی اعمال می‌گردد و به عبارت دیگر تغییرات فشار خروجی تقویت شده و سپس باعث تغییر وضعیت شیر مانع می‌گردد. پایلوت عبارت است از یک رگلاتور فنری که از فشار ورودی تغذیه شده و مناسب با میزان فشردگی فنر خود فشار خروجی را مهیا می‌سازد. این فشار به عنوان فشار فرمان روی رگلاتور اصلی اعمال می‌شود. از مشخصه‌های فنی که در انتخاب رگلاتورها اهمیت بسیار دارد ظرفیت آنها می‌باشد که رابطه مستقیم با فشار ورودی و خروجی و چگالی گاز و شکل بدنه آن دارد به طوریکه نسبت بین فشار ورودی (P_1) و خروجی (P_2) تعیین کننده نوع جریان خروجی رگلاتور می‌باشد و اگر نسبت $P_2 < P_1/2$ باشد جریان کاملاً بحرانی و $P_2 = P_1/2$ جریان بحرانی و $P_2 > P_1/2$ جریان غیر بحرانی خواهدبود. اگر ضریب ثابت رگلاتور (k) به ساختمان رگلاتور و نوع سیال عبوری بستگی داشته باشد معادله کلی جریان در رگلاتورها به صورت $Q = K (P_2 (P_1 - P_2))^{1/2}$ است. که با توجه به آن و جداول موجود به راحتی می‌توان ظرفیت رگلاتور را در فشارهای مورد نظر بدست آورد.

معمول ترین رگولاتورهایی که امروزه در صنعت گاز و به ویژه در ایستگاه‌های تقلیل فشار کشوز به کار گرفته می‌شوند از نوع محوری و شات آف می‌باشند. از جمله مزایای این نوع رگولاتورها شامل موارد زیر می‌شود:

- ساختار ساده آنها که در آن فقط یک المان متحرک وجود دارد.

- عملکرد آرام آنها در مقایسه با انواع شیرهای کف فلزی (Orifice Type – Globe Type)

- سیستم کنترل آن به صورت Pilot بوده که موجب افزایش دقت عمل آن می‌گردد.
- بالا بودن محدوده اندازه گیری یا Rangability (۰:۱۰۰)
- وسیع بودن دامنه ساخت آن از ۱ اینچ تا ۱۲ اینچ (ANSI cl.150-600)
- ارزان بودن
- قابلیت کاربری آن در شیرهای تقلیل فشار (P.R.V: Pressure Reducing Valve) و شیرهای اطمینان (Relief or B.P.V. : Back Pressure Valve)

اما رگولاتورهای نوع محوری علیرغم مزایای زیاد آنها، معایبی هم دارند که از جمله می‌توان:

- حداقل اختلاف فشار لازم جهت عملکرد صحیح شیر، با تغییر ضخامت و تغییر خاصیت الاستیسیته لاستیک درون شیر، تغییر می‌کند.
- اندازه و ظرفیت شیر با وضعیت لاستیک درون شیر تغییر می‌کند.
- کش آمدن لاستیک درون شیر گاهی موجب بسته شدن (shut off) شیر می‌گردد.
- تعمیرات شیر مشکل بوده و برای تعمیرات، لازم است شیر از جای خود باز شود و خط جریان گاز بسته شود.
- بعضی از مدل‌های آن استاندارد ANSI را پوشش نمی‌دهد بنابراین لازم است اصلاحاتی در لوله کشی مربوطه انجام پذیرد.

و رگولاتورهای شات آف نوع SLAM که اغلب مورد توجه کلیه سازندگان قرار می‌گیرند از مزایای زیر نیز برخوردار می‌باشند:

- تعمیرات ساده‌تر به خاطر اینکه عنصر قابل تعویض در بالای شیر اصلی قرارداد و نیاز به بازکردن شیر از خط اصلی نمی‌باشد.
- حداقل افت فشار جهت بازکردن کامل مجرای شیر ثابت می‌باشد به دلیل اینکه عنصر قابل انعطاف آن در اثر باز شدن شیر افزایش طول نمی‌دهد (کش نمی‌آید)
- عکس العمل سریع شیر در مقابل تغییرات فشار به دلیل به کار بردن شبکه بافته شده ارجاعی (دیافراگم)
- یک دیافراگم برای کلیه افت فشارها کافی می‌باشد.

نمونه ای از پرکاربردترین رگولاتورهایی که امروزه در صنعت گاز و به ویژه در ایستگاههای تقلیل فشار به کار گرفته می‌شوند در شکل ۲۱-۳ و شکل ۲۲-۳ نشان داده شده است.



شکل ۲۱-۳: شماتیکی از یک رگولاتور محوری



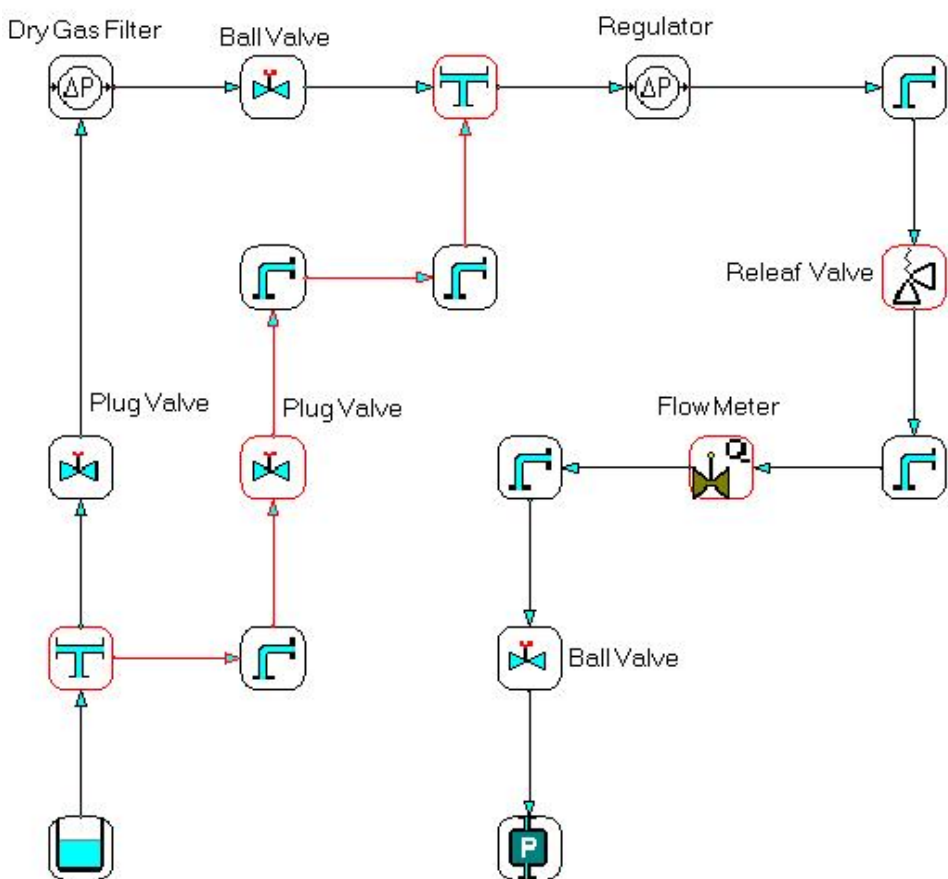
شکل ۲۲-۳: شماتیکی از یک رگولاتور شات آف نوع SLAM

پس با توجه به اینکه عضو اصلی در تعیین فرآیند گاز درون ایستگاه، رگولاتور می‌باشد، انتظار بر این است که از دیدگاه فرآیندی تفاوتی مابین ایستگاههای مسطح و کاپیتی که از یک نوع رگولاتور استفاده می‌کنند، وجود نداشته باشد.

حال برای شبیه‌سازی یک مسئله نمونه، یک ایستگاه TBS (400-250/60) مورد بررسی قرار می‌گیرد. ایستگاه فوق یک ایستگاه تقلیل فشار است که در ابعاد کوچک ساخته شده و به علت حجم و وزن کم آن قابلیت حمل و نصب و بهره برداری نسبتاً آسانی دارد. در نقشه این ایستگاه عموماً یک خط اصلی و یک خط فرعی در نظر گرفته شده که خط فرعی دارای اندازه ۱ اینچ می‌باشد و این ایستگاه بسته به موقعیت محل می‌تواند در دو نوع

مسطح یا کابیتی تویید گردد. در شکل ۲۳-۱، نمونه‌ای از یک ایستگاه TBS با ظرفیت ۴۰۰ هزار مترمکعب بر ساعت ارائه شده است.

به منظور شبیه‌سازی ایستگاه مورد نظر، از نرم‌افزار PIPESYS و PSFF استفاده شده که تا حدی می‌توانند یک ایستگاه تقلیل فشار را شبیه‌سازی و تحلیل نمایند. نمونه‌ای از این ایستگاه TBS که با نرم‌افزار PSFF شبیه سازی شده در شکل ۲۳-۳ نشان داده شده است. قابل ذکر است که نرم‌افزار مربوطه در گزارشات مهر و بهمن سال ۸۵ بطور کامل تشریح شده است. در نقشه این ایستگاه خط فرعی (Bypass) در نظر گرفته شده با رنگ قرمز مشخص می‌باشد.



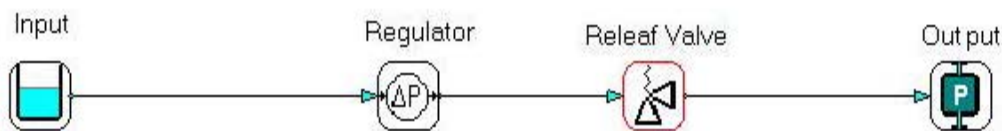
شکل ۲۳-۳: نمونه‌ای از یک ایستگاه TBS با ظرفیت ۴۰۰ مترمکعب بر ساعت

حال برای اینکه این ایستگاه TBS را در حالت کابیتی یا مسطح از نظر فرایندی تحلیل نمود نیاز به فرضیات خاصی می‌باشد. این فرضیات به گونه‌ای هستند که ضمن ساده‌سازی تا حد ممکن مساله، آنرا نیز از واقعیت دور نمی‌کنند. برای مثال از جمله فرضیات در نظر گرفته شده شامل موارد زیر می‌باشد:

- انتخاب Typical Natural Gas به عنوان سیال ورودی

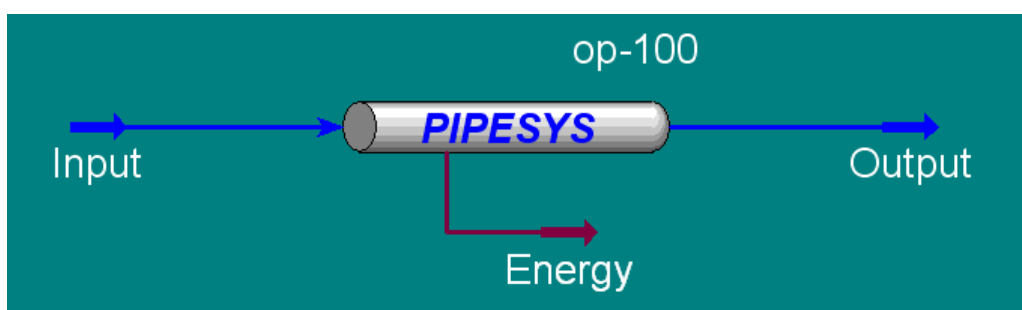
- دمای ورودی ۳۰ درجه سانتیگراد
- فشار ورودی ۲۵۰ psig
- دمای محیط ۴۵ درجه سانتیگراد
- صرفنظر از افت فشار در Valve‌ها (به دلیل ۱۰۰ درصد باز بودن آنها)
- صرفنظر از افت فشار در فیلتر
- صرفنظر از افت فشار در دبی سنج

بدین ترتیب در یک ایستگاه تقلیل فشار قطعه اصلی رگولاتور است که کار افت فشار را انجام می‌دهد. لذا ایستگاه TBS مسئله با یک رگولاتور تنها شبیه سازی شد. این ایستگاه شبیه سازی شده با نرم افزار PSFF در شکل ۲۴-۳ نشان داده شده است.



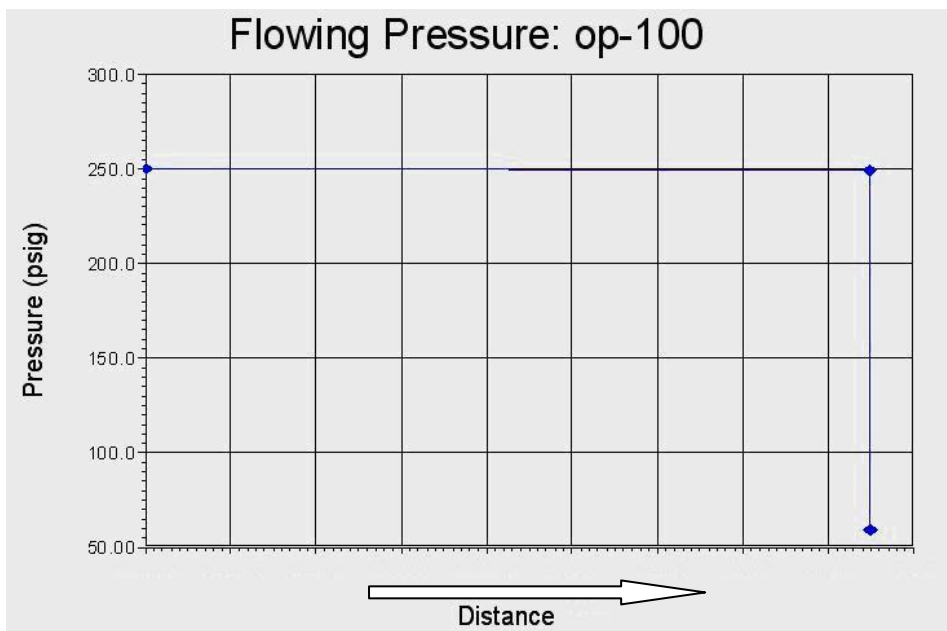
شکل ۲۴-۳: نمونه‌ای از یک ایستگاه TBS با یک رگولاتور

حال از آنجایی که تحلیل‌های صورت گرفته شده باستی در جهت بررسی اثرات تغییرات ورودی ایستگاه روی خروجی آن باشد و در تحلیل‌های مسئله در نرم افزار PSFF با محدودیت‌هایی مواجه بودیم، لذا از نرم افزار دیگری بنام PIPESYS به منظور تحلیل استفاده شد. بدین ترتیب نمونه‌ای از شبیه سازی انجام شده توسط این نرم افزار در شکل ۲۵-۳ آورده شده است.



شکل ۲۵-۳: نمونه‌ای از یک ایستگاه TBS شبیه سازی شده توسط نرم افزار PIPESYS

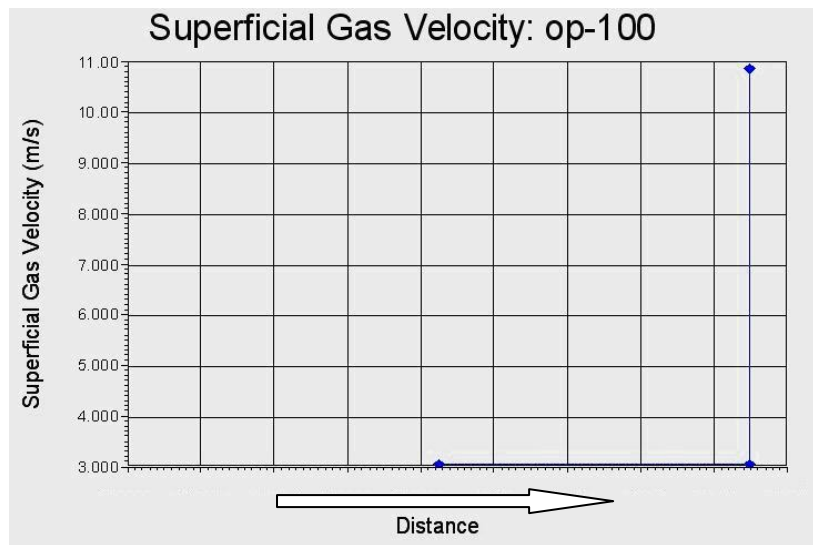
بعد از شبیه‌سازی فرآیند، پارامترهای اصلی این ایستگاه تقلیل فشار گاز بررسی شده است. اولین پارامتر بررسی شده تغییرات فشار جریان در طول مسیر یک ایستگاه TBS کاپیتی یا مسطح است. نتایج این بررسی در شکل ۲۶-۳ ارائه شده است.



شکل ۲۶-۳: تغییرات فشار جریان گاز در طول مسیر یک ایستگاه TBS کاپیتی یا مسطح

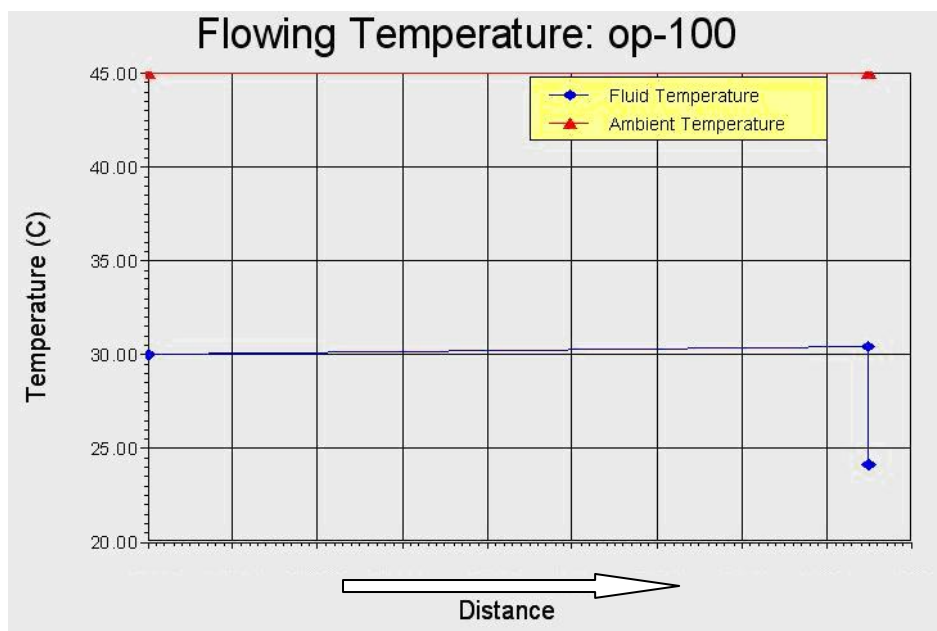
همان‌طور که در شکل بالا مشاهده می‌شود، تقریباً تغییرات فشاری در طول مسیر لوله‌ها تا قبل از ورود گاز به رگولاتور وجود ندارد و پس از رگولاتور است که افت ناگهانی فشار ایجاد می‌شود و پس از آن نیز ثابت می‌ماند. قابل توجه است که بدلیل ثابت بودن فشار پس از رگولاتور ادامه فرآیند در اینجا نشان داده نشده است.

نکته بعدی تغییرات سرعت گاز می‌باشد که در طول مسیر تقریباً وجود ندارد و پس از ورود گاز به رگولاتور است که افزایش ناگهانی سرعت داریم و پس از آن نیز ثابت می‌ماند. این پارامتر در طراحی خطوط لوله اهمیت دارد که در شکل ۲۷-۳ نشان داده شده است.



شکل ۲۷-۳: تغییرات سرعت جریان گاز در طول مسیر یک ایستگاه TBS کابیتی یا مسطح

پارامتر بعدی تغییرات دمای گاز می‌باشد که نتایج مربوط به آن در شکل ۲۸-۳ نشان داده شده است.

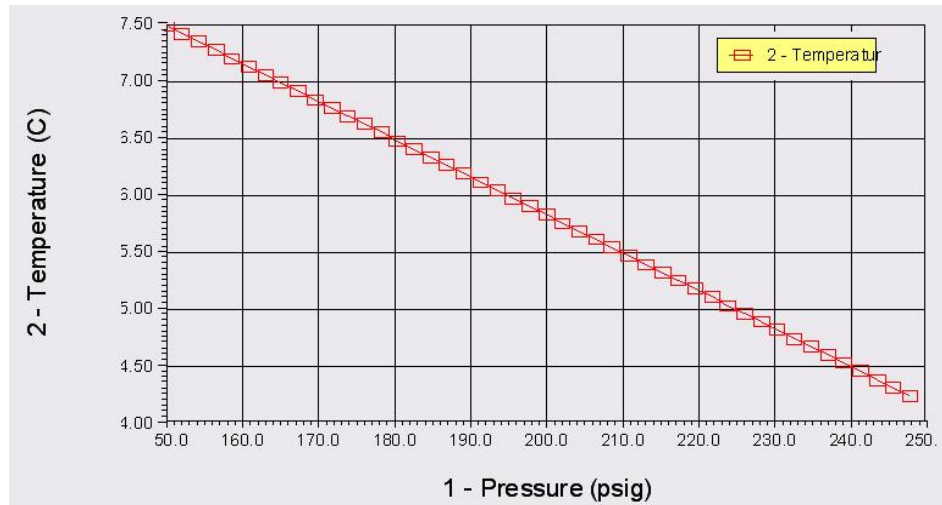


شکل ۲۸-۳: تغییرات دمای جریان گاز در طول مسیر یک ایستگاه TBS کابیتی یا مسطح

همان‌طور که از شکل مشاهده می‌شود، در اثرباد حرارت لوله‌ها با محیط اطراف افزایش دمای بسیار ناچیزی در طول مسیر گاز بوجود می‌آید و پس از ورود گاز به رگولاتور افزایش ناگهانی دما ایجاد می‌شود و پس از رگولاتور نیز تقریباً افزایش چندانی نمی‌یابد.

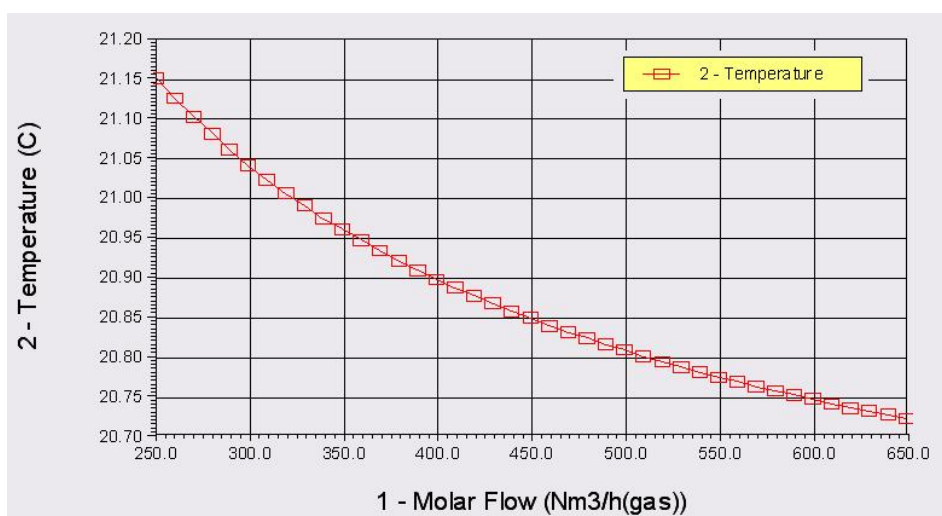
همان‌طور که قبلاً گفته شد، طی فرآیند تقلیل فشار گاز، دمای گاز کاهش می‌یابد. اما آنچه مسلم است این مقدار کاهش به اختلاف فشار بین ورود و خروج و همچنین دمای ورودی بستگی دارد.

شکل ۲۹-۳ تغییرات دمای خروجی را نسبت به اختلاف فشار ورود و خروج با توجه به ثابت بودن فشار خروجی نشان می‌دهد.



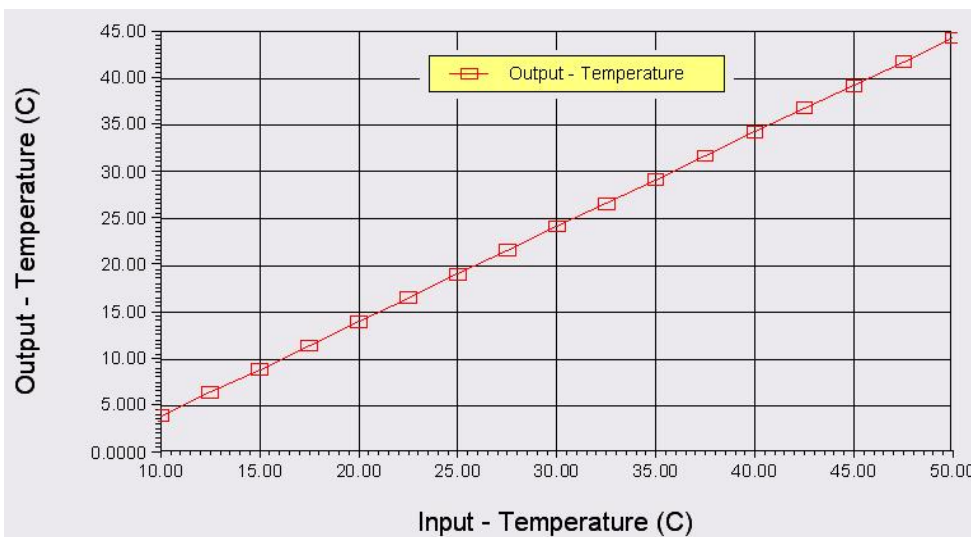
شکل ۲۹-۳: تغییرات دمای خروجی نسبت به اختلاف فشار ورود و خروج یک ایستگاه TBS کابیتی یا مسطح

همانطور که در شکل ۲۹-۳ مشاهده می‌شود با افزایش اختلاف فشار، اختلاف دمای اولیه و ثانویه زیاد می‌شود. این موضوع به آنتالپی ثابت بودن فرایند رگولاتور مربوط می‌شود. زیرا کاهش دما در آن به ضریب ژول-تماسون بستگی دارد. قابل توجه است که این ضریب تابع فشار می‌باشد. همچنین تغییرات دمای خروجی نسبت به تغییرات دبی جریان گاز یک ایستگاه TBS کابیتی یا مسطح نیز که با استدلال مشابه قابل توجیه است در شکل ۳۰-۳ نشان داده شده است.



شکل ۳۰-۳: تغییرات دمای خروجی نسبت به تغییرات دبی جریان گاز یک ایستگاه TBS کابیتی یا مسطح

ضمناً تغییرات دمای خروجی نسبت به تغییرات دمای جریان گاز یک ایستگاه TBS کابیتی یا مسطح در شکل ۳۱-۳ نشان داده شده است. آنچه این شکل نشان می‌دهد افزایش دمای خروجی گاز با افزایش دمای ورودی است در صورتیکه سایر پارامترهای موثر ثابت بمانند.



شکل ۳۱-۳: تغییرات دمای خروجی نسبت به تغییرات دمای ورودی گاز یک ایستگاه TBS کابیتی یا مسطح

۹.۳ ایستگاههای زیرزمینی

از دیگر مواردی که در این بخش آورده شده است جمع‌آوری اطلاعاتی در مورد ایستگاههای تقلیل فشار گاز زیرزمینی بوده است. نتایج بررسی‌ها نشان می‌دهد هنوز مطالعات زیادی صورت نگرفته است. در ادامه، محصولات چند شرکت که در این زمینه در وبسایت خود محصولاتی ارائه داده‌اند آورده شده است.

یکی از این شرکت‌ها، کمپانی آلمانی RMG است که محصولات آن در رده‌های گوناگون تجهیزات صنایع گاز و ایستگاههای تقلیل فشار گاز ارائه شده است. این شرکت با آدرس اینترنتی www.rmg.de دارای سری‌های گوناگونی از ایستگاههای تقلیل فشار بوده که در این میان مدل‌های زیرزمینی در ذیل مورد بحث قرار می‌گیرد. از خصوصیات کلی انواع مدل‌های زیرزمینی این شرکت، به موارد زیر می‌توان اشاره کرد:

- همه عناصر ایستگاههای متداول کاهش فشار گاز را دارا می‌باشند.
- طراحی کاملاً زیر خاک آن، نصب در مکان‌های شهری یا روستایی را اجازه می‌دهد.

- میزان سروصدای کاهش می‌یابد.

- تعمیر و نگهداری آسانی دارد.

- هزینه خرید محل نصب را حداقل می‌کنند.

- از تخریب و آسیب جلوگیری می‌کنند.

سایر مشخصات انواع مدل‌های این شرکت در ادامه آورده شده است.

۱.۹.۳ مدل BD-RMG 470 - Krysalis

این واحد کترلی زیرزمینی گاز بنا به ادعای شرکت سازنده دارای مشخصات ذیل می‌باشد:

- مناسب برای گازهای DVGW G 260، و دیگر گازهای درخواست شده

- روش ساخت آسان

- ماکزیمم فشار ورودی: ۷ بار

- محدوده فشار خروجی: ۰/۰۷۵ تا ۰/۰۲۰ بار

- محدوده قطع شدن زیادشدن فشار(Overpressure cut-off): ۰/۰۳۵ تا ۰/۰۲۰ بار

- محدوده اطمینان داخلی (Internal relief): ۰/۰۳ تا ۰/۱۲ بار

- محدوده دمایی عملکرد: ۲۰-۶۰ درجه سانتیگراد

- اتصالات:

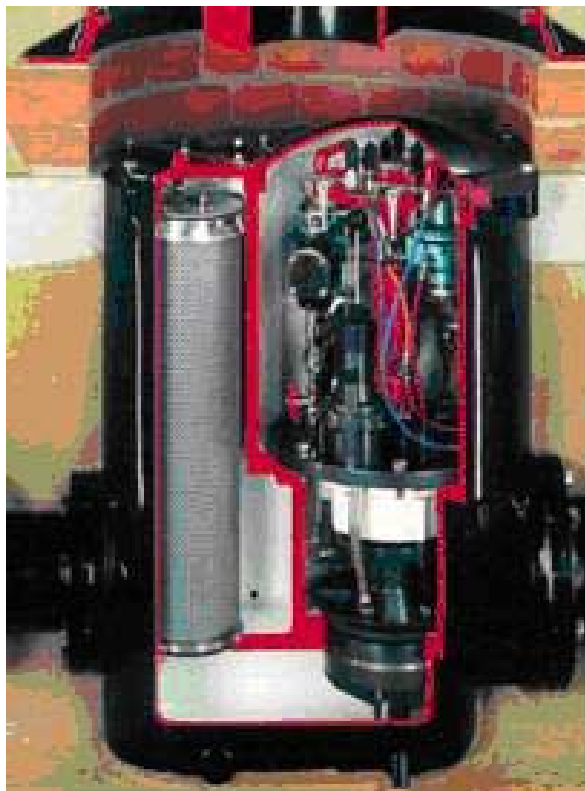
PN16 / DIN 2633

Inlet: DN 150

Outlet: DN 200

شایان ذکر است که DIN^{۱۹} مخفف استاندارد صنایع آلمان به زبان انگلیسی است. نمایی از این مدل ایستگاه زیرزمینی در شکل ۳۲-۳ نشان داده شده است.

^{۱۹} Deutsche Industrie-Norm 'German Industrial Standard'



شکل ۳۲-۳: نمایی از یک ایستگاه زیرزمینی BD-RMG 470 - Krysalis

RMG 470 "Krysalis" PN 16 مدل ۲.۹.۳

این واحد کنترلی زیرزمینی گاز بنا به ادعای شرکت سازنده دارای مشخصات ذیل می‌باشد:

- مطابق با استاندارد DVGW VP 702 ساخته شده است.
- برای گاز طبیعی و همه مواد گازی غیر خورنده مناسب است.
- همه بخش‌های درحال کار در یک بدنه چدنی نشکن نصب شده است.
- روش ساخت آسان
- تائید شده توسط DIN-DVGW
- ماکزیمم فشار ورودی، ۱۶ بار
- محدوده فشار خروجی ، ۰/۰۲ تا ۴ بار
- محدوده قطع شده زیادشدن فشار (Overpressure cut-off)، Wdo، ۰/۰۳ تا ۴۰ بار
- محدوده قطع شده زیادشدن فشار (Overpressure cut-off)، Wdu، ۰/۰۰۵ تا ۴۰ بار

- محدوده اطمینان داخلی (Internal relief)، ۰/۰۴ تا ۸ بار
- محدوده دمایی عملکرد: -۲۰ تا +۶۰ درجه سانتیگراد
- انواع مدلها:
- اتصالات:

PN16 / DIN 2633 and ANSI 150
 Inlet: DN 100
 Outlet: DN 150

نمایی از این مدل ایستگاه زیرزمینی در شکل ۳۳-۳ نشان داده شده است.



شکل ۳۳-۳: نمایی از یک ایستگاه زیرزمینی RMG 470 "Krysalis" PN 16

۳.۹.۳ مدل BD - RMG „Krysalis 19“

این واحد کنترلی زیرزمینی گاز بنا به ادعای شرکت سازنده دارای مشخصات ذیل می‌باشد:

- همه عناصر در حال کار به آسانی قابل تعویض است.
- مناسب برای گازهای DVGW G 260، و دیگر گازهای درخواست شده
- همه لوله‌های جریان هوا و سیستم تهویه در یک لوله تهویه بالای زمین جمع شده‌اند.
- اتفاق فیلتر مجزا این امکان را ایجاد می‌کند که تعمیرات فیلتر بدون حذف واحد کنترل اصلی انجام شود.

- همه بخشها در حال کار در یک بدنه فولادی سخت نصب شده است.
- ماکریم فشار ورودی: ۱۹ بار
- محدوده فشار خروجی بالا، حداقل تا ۷ بار
- حداقل افت فشار: ۰/۵ بار
- ضریب نرخ جریان، ۳ مترمکعب بر ساعت
- انواع مدلها:
- اتصالات:

Flange PN 16/ ANSI 150

Inlet: DN 100 and DN 200

Outlet: DN 150 and DN 200

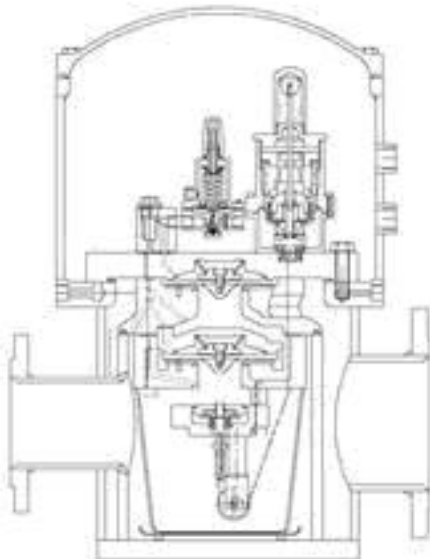
نمایی از این مدل ایستگاه زیرزمینی در شکل ۳۴-۳ نشان داده شده است.



شکل ۳۴-۳: نمایی از یک ایستگاه زیرزمینی BD - RMG „Krysalis 19“

۴.۹.۳ مدل 19 „BD - RMG ,mini-Krysalis

این واحد زیرزمینی دارای همه مشخصات مدل 19 BD - RMG „Krysalis می‌باشد. شماتیکی از این مدل ایستگاه زیرزمینی در شکل ۳۵-۳ نشان داده شده است.



شکل ۳۵-۳: شماتیکی از یک ایستگاه زیرزمینی 19 BD - RMG „mini-Krysalis

۵.۹.۳ مدل 280 „Vector RMG - UKA

این واحد کنترلی زیرزمینی گاز بنا به ادعای شرکت سازنده دارای مشخصات ذیل می‌باشد:

- همه عناصر در حال کار به آسانی قابل تعویض است.
- مناسب برای گازهای DVGW G 260، و دیگر گازهای درخواست شده.
- همه لوله های جریان هوا و سیستم تهویه در یک لوله تهویه بالای زمین جمع شده‌اند.
- همه بخش‌های در حال کار در یک بدنه فولادی سخت نصب شده است.
- رگولاتور با مکانیسم عملکرد مستقیم (direct acting)
- ماکزیمم فشار ورودی، ۴ بار
- محدوده فشار خروجی بالا، ۰/۰۱ تا ۰/۱۳۸ بار
- محدوده دمایی عملکرد: ۱۵-۶۰ درجه سانتیگراد
- اندازه رگولاتور، ۵۰ تا ۸۰ میلی متر

- انواع مدلها:

- ویژگی اختیاری: شیر اطمینان برای فشارهای بیشتر و کمتر از حد مجاز

- اتصالات:

Flange nach PN 16/ DIN 2633, ANSI 150
 Inlet: DN 80, DN 100, DN 150
 Outlet: DN 80, DN 100, DN 150

نمایی از این مدل ایستگاه زیرزمینی در شکل ۳۶-۳ نشان داده شده است.



شکل ۳۶-۳: نمایی از یک ایستگاه زیرزمینی RMG-UKA 280 „Vector“

RMG 402 „Vector“ مدل ۶.۹.۳

این واحد کنترلی زیرزمینی گاز بنا به ادعای شرکت سازنده دارای مشخصات ذیل می‌باشد:

- مناسب برای گازهای DVGW G 260، و دیگر گازهای درخواست شده
- همه لوله‌های جریان هوا و سیستم تهویه در یک لوله تهویه بالای زمین جمع شده‌اند.
- همه بخش‌های درحال کار در یک بدنه فولادی سخت نصب شده است.
- ماکزیمم فشار ورودی، ۱۹ بار
- محدوده فشار خروجی بالا، ۰/۰۲ تا ۴ بار

- محدوده نصب شیر قطع کننده ایمنی، ۰/۰۵ تا ۴/۵ بار
- محدوده دمایی عملکرد : ۱۵ - تا ۶۰ درجه سانتیگراد
- انواع مدلها: active-slam
- ویژگی اختیاری: شیر قطع کننده ایمنی برای فشارهای بیشتر و کمتر از حد مجاز
- اتصالات:

Flange PN 16/DIN 2633, ANSI 150
Inlet: DN 50
Outlet: DN 80

RMG-UKA 680 „Vector“ مدل ۷.۹.۳

این واحد کنترلی زیرزمینی گاز بنا به ادعای شرکت سازنده دارای مشخصات ذیل می‌باشد:

- مناسب برای گازهای DVGW G 260 و دیگر گازهای درخواست شده.
- همه لوله‌های جریان هوا و سیستم تهویه در یک لوله تهویه بالای زمین جمع شده‌اند.
- همه بخش‌های درحال کار در یک بدنه فولادی سخت نصب شده‌است.
- برای مواجه شدن با فشار ورودی پایین و اختلاف فشار حداقل با توان بالا طراحی شده‌است.
- ماکریم فشار ورودی، ۷ بار
- محدوده فشار خروجی، ۰/۰۱۸ تا ۰/۰۰۸ بار
- اندازه واحد کنترل، ۱۵۰ میلی‌متر

انواع مدل‌ها: Slam/Active, Monitor Active, Slam/Monitor/Active

- ویژگی اختیاری: شیر قطع کننده ایمنی و رگولاتور مدل RMG 642

Flange PN 16
Inlet: DN 200, DN 250, DN 300
Outlet: DN 200, DN 250, DN 300

نمایی از این مدل ایستگاه زیرزمینی در شکل ۳۷-۳ نشان داده شده است.



شکل ۳۷-۳: نمایی از یک ایستگاه زیرزمینی RMG-UKA 680 „Vector“

RMG - UKA „Krysalis 16“ مدل ۸.۹.۳

این واحد کنترلی زیرزمینی گاز بنا به ادعای شرکت سازنده دارای مشخصات ذیل می‌باشد:

- همه عناصر در حال کار به آسانی قابل تعویض است.
- مناسب برای گازهای DVGW G 260، و دیگر گازهای درخواست شده
- ماکزیمم فشار ورودی: ۱۶ بار
- محدوده فشار خروجی بالا، ۰/۰۲ تا ۰/۰۴ بار با رگولاتور مدل RMG 402 and RMG 620
- حداقل افت فشار ۰/۵ بار
- محدوده قطع شدن زیادشدن فشار (Overpressure cut-off)، Wdo، ۰/۰۴ تا ۰/۰۵ بار
- محدوده قطع شدن زیادشدن فشار (Overpressure cut-off)، Wdu، ۰/۰۰۵ تا ۰/۰۳ بار
- محدوده اطمینان داخلی (Internal relief)، ۰/۰۴ تا ۰/۰۸ بار
- ضریب نرخ جریان، ۱/۵ مترمکعب بر ساعت
- اتصالات:

Flange PN 16/ ANSI 150
Inlet: DN 100
Outlet: DN 150

نمایی از این مدل ایستگاه زیرزمینی در شکل ۳۸-۳ نشان داده شده است.



شکل ۳۸-۳: نمایی از یک ایستگاه زیرزمینی ۱۶ Krysalis UKA - RMG

شرکت دیگر، کمپانی آلمانی Elster است که در زمینه سیستم‌های اندازهگیری گاز و ایستگاههای تقلیل فشار گاز فعالیت می‌کند. این شرکت که دارای ۳۸ شعبه در سرتاسر دنیا از جمله ایران است دارای سری‌های گوناگونی از ایستگاههای تقلیل فشار زیرزمینی با طراحی‌های خیلی ساده تا بسیار پیشرفته بوده که در ادامه مورد بحث قرار می‌گیرند. قابل ذکر است، آدرس اینترنتی بهمراه سایر اطلاعات از شعبه ایران آن در گزارش مردادماه ۸۷ دفتر آورده شده است.

از خصوصیات کلی انواع مدل‌های زیرزمینی بنا به ادعای این شرکت، به موارد زیر می‌توان اشاره کرد:

- سروصدای کمتر می‌باشد.
- هزینه‌های خرید ایستگاه پاییتتر است.
- هزینه‌های محفظه‌سازی حذف می‌شود.
- خطر تخریب ایستگاه کاهش می‌یابد یا حذف می‌گردد.
- آسانی مکان‌یابی و نقشه‌کشی ایستگاه
- کاهش آلودگی‌های زیست محیطی

نمایی از یک مدل ایستگاه زیرزمینی ساده این شرکت در شکل ۳۹-۳ نشان داده شده است.



شکل ۳۹-۳: شماتیکی از یک ایستگاه زیرزمینی شرکت Elster

ضمنا از خصوصیات خاص انواع مدل‌های زیرزمینی مدل Orpheus، به موارد زیر می‌توان اشاره کرد:

- تعدادی از واحدهای تقلیل فشار کاملاً جامع را شامل می‌شوند که برای نصب در زیر زمین طراحی شده‌اند.
- کاربردهای وسیعی دارند، بطوریکه ممکن است برای فشارهای ورودی از محدوده ۱۴۰ میلی‌بار تا ۱۹ بار با ظرفیت‌های تا ماکریم ۱۰۰۰۰۰ استاندارد مترمکعب‌بر ساعت استفاده شوند.
- سری ۴، Orpheus، برای کاربردهای توزیع و محفظه‌سازی کوچکتر تا ماکریم ظرفیت ۴ بار مناسب است.
- سری ۱۰، Orpheus، برای کاربردهای بزرگتر مناسب است.
- این واحدها که بخوبی آزمایش شده‌اند بمنظور تعمیر و نگهداری راحت‌تر از یک نوع کاتریج و ساختمان راه ورود از بالا (top-entry) استفاده می‌کنند.

نمایی از یک مدل ایستگاه زیرزمینی مدل Orpheus در شکل ۴۰-۳ نشان داده شده است.



Series 10 Orpheus

شکل ۳-۴: نمایی از یک ایستگاه زیرزمینی مدل Orpheus شرکت Elster

۱۰.۳ طراحی ایستگاههای اندازه‌گیری به روش آلتراسونیک

با وجود اینکه طراحی ایستگاههای اندازه‌گیری آلتراسونیک برای خیلی‌ها هنوز تلاشی جدید است، اما در واقع این امر به خوبی در صنعت گاز، کاربردی شده است. اندازه‌گیری دبی جریان به روش آلتراسونیک^{۲۰} (USM) دارای چندین ملاحظه است که در بخش حاضر به مهمترین و اصلی‌ترین آیتم‌ها در این باره اشاره می‌شود.



شکل ۳-۱: طلوعی تازه در صنعت اندازه‌گیری دبی گاز

²⁰ Ultra-Sonic flow Meter

۳.۱۰.۳ مشخصه‌های USM

یک وسیله اندازه‌گیری بر اساس مشخصه‌های عملکرد در کاربرد، انتخاب می‌گردد. فلومتر آلتراسونیک USM وسیله اندازه‌گیری با دقت بالا برای محاسبه بازه وسیعی از دبی‌های جریان از مقادیر کم تا زیاد می‌باشد. این وسایل اندازه‌گیری اغلب قابلیت جایگزینی و برابری با چندین اوریفیس موازی را دارند. از لحاظ دیواره لوله، این وسایل بسیار مقاوم‌تر از اغلب اندازه‌گیرها هستند. این وسایل می‌توانند مقادیر کم دبی یا نرخ جریانات با سرعت بالای عملکرد درون لوله را بدون هیچ‌گونه خوردگی اندازه بگیرند. بعلاوه، دبی‌سنجهای آلتراسونیک در مقایسه با تکنولوژی‌های با دقت بالای مرسوم، در موارد محاسبه دبی گاز ندار عملکرد قابل توجهی داشته و در مواردی که فشار بالا وجود دارد، خوب عمل می‌کنند. بعنوان نمونه برخی از آنها در پاشش و تزریق گاز با فشار ۱۰۰۰۰ پوند بر اینچ مربع کار می‌کنند. به هر حال، قابل توجه است که تنها تعداد کمی طراحی لوله اندازه‌گیر و قالب طرح وسیله برای انواع کاربردها لازم می‌باشد.



شکل ۴-۲: شماتیک یک USM (انتخاب المان‌های یک USM بر حسب کاربرد بسیار مهم است)

۲.۱۰.۳ ملاحظات کلی طراحی USM

ملاحظات زیادی بایستی در انتخاب و طراحی USM استاندارد درنظر گرفته شوند که در ذیل به برخی از مهمترین آنها اشاره می‌شود:

- تطابق این USM با کاربرد مورد نظر
- ضریب ایمنی
- کالیبراسیون روی وسیله
- یک جهته یا دو جهته بودن
- کمترین هزینه و بیشترین بازدهی
- تطابق فضای موجود با طول USM
- ملاحظات نزدیکی به شیر کنترل جریان
- افت فشار
- مشخصات لوله USM (شامل تولرانس سوراخ، زبری سطوح، نحوه قرارگیری لوله جهت محاسبه دبی، شاخص‌گذاری و ...)
- مشخصه‌های مربوط به مواد، ضد زنگ بودن، پوشش نیکلی
- مشخصات رنگ‌کاری
- تست و سندسازی وسیله (یعنی تست اشعه X , H-stat, تیزی و ...)
- مکان و تعداد نقاط کالیبره کردن وسیله
- ماکریم مجاز برای صدای محیطی
- عایق‌کاری شیرها و سوراخ وسیله
- پیشنهادات لوله‌کشی از سوی تولیدکننده
- نوع فلنچ (RF یا RTJ)
- زانویی و لوله‌های تخلیه

- سهراهی‌های کاهش صدا

- استانداردهای موافق با مکانیک وسیله

- استانداردهای موافق با ماهیت اندازه‌گیری وسیله

- استانداردهای موافق با ایمنی وسیله

- نیازهای خاص قراردادی و پیمانی

- نظارت و بازرگانی سریع

- گواهی بر صحبت کالیبراسیون

۳.۱۰.۳ ملاحظات طراحی سایت استفاده از USM

در زیر چند مشخصه که لازم است در طراحی ایستگاه استفاده از USM رعایت شود مرور می‌گردند:

- وجود اتاق تمیزکردن ایستگاه USM

- وجود فضای باز برای تخلیه و خارج کردن ابزارها

- نصب افقی مطلق بدون افتادگی

- نیازها و لازمه‌های وزنی و محافظت دستگاه

- ایزولاسیون و عایق‌کاری لوله اندازه‌گیر

- ملاحظات زمین

- ایجاد فضای مناسب برای فلنچ‌ها در هنگام جوشکاری‌ها

- نحوه دسترسی به وسایل و تجهیزات سرویس‌دهنده

- درجه ایمنی محیط سایت

- جمع‌کننده اضافات و ضایعات وسیله (blow down)

- خیز و بلندشدن سر وسیله (Header)

- کانال‌کشی

- کنترل دسترسی‌ها، حصارکشی

- فاضلاب

- سرپناه، حفاظتها و میزان نور سایت

در هنگام طراحی و نصب المانهای مختلف ایستگاهها توجه به نکات و ملاحظات بسیار ضروری است؛ به عنوان نمونه در شکل ۴۳-۳ برای نصب منبسط‌کننده گاز به دلیل جوشکاری نزدیک شیر، لقی مناسب در نظر گرفته نشده است و این یک نوع ایراد اساسی در طراحی سایت چنین ایستگاههایی است.



شکل ۴۳-۳: یک نمونه ایراد در طراحی سایت اندازه‌گیر USM

۴.۱۰.۳ ملاحظات مربوط به طراحی و مونتاژ لوله USM

لوله اندازه‌گیر جزء جدایی‌ناپذیر یک USM بوده و به عنوان نماینده میزان سطح کارایی نهایی دستگاه شناخته می‌شود. بدون استفاده از طراحی و فرآیندهای مونتاژ با کیفیت، به راحتی ایستگاه اندازه‌گیری به مخاطره خواهد افتاد. در ادامه به برخی از ملاحظات و استانداردهای مربوط به مونتاژ و طراحی لوله دبی سنج آلسونیک اشاره می‌شود:

- صاف کردن طول لوله مطابق استاندارد AGA

- مشخصات مواد به کار رفته (A106، X52، ...)

- مناسب بودن قطر سوراخ دستگاه
- صاف کردن محلهای سایش (فرزکاری) یا جوشکاری
- تطبیق و هم‌تراز بودن لوله با دستگاه اندازه‌گیر
- تناسب و هم‌ترازی پین‌های لوله به وسیله
- راحت بودن در بازکردن و در آوردن فلنج‌ها و نوع فلنج (RTJ یا RF)
- نصب مرکزی و محوری
- نصب چاه حرارتی مطابق AGA 9
- مشخصات گسکت‌ها و پیچ‌ها
- اصلاح و انجام الگوهای فروشنده درباره کالیبراسیون آچارها و گشتاورها
- قابلیت اندازه‌گیری
- پوشش‌ها و رنگ‌های مخصوص
- انجام تست‌های مکانیکی، تست هیدرو و تست اشعه X
- مستندسازی، رادیوگراف‌ها، هیدرو-چارت‌ها
- خوردگی

هم‌ترازی از تناسب قطر سوراخ مهم‌تر می‌باشد. به عنوان نمونه AGA 9 اجازه اتصال لوله به اندازه‌گیر را به میزان رعایت $\pm 1.0\%$ می‌دهد. این بدان معنی است که برای یک سوراخ $11\frac{7}{8}$ اینچی، این مقدار برابر تقریباً $\pm 0.117\%$ (معادل یک‌هشتم اینچ) می‌باشد که این اختلاف بزرگ است. لازم به ذکر است که USM‌ها به خوبی قادر به اندازه‌گیری جریان در حالت‌های هم‌مرکز با لوله بوده ولی حالت‌هایی که در آنها مرکزهای وسیله و لوله بر هم منطبق نیست می‌توانند منشأ تولید خطاهای بزرگی در حدود $0.1\% \text{--} 0.2\%$ شوند. علت این عدم تناسب مراکز در عدم استفاده از تکنیک‌های اجبار در هم‌ترازی محورها و بستن پیچ و مهره‌ها در فلنج نشأت می‌گیرد. همچنین اضافه شدن هر کدام از تولرانس‌های بین قطر داخلی سوراخ‌ها و قطر خارجی پیچ‌ها باعث غیرهم‌مرکزیت می‌گردد.

همچنین تعدادی از ایستگاههای اندازه‌گیری USM صدای بسیار بلندی را گزارش کرده‌اند. یک گسکت فلزی فرمانند در این ایستگاهها برای مشاهده اغتشاشات دبی توسط انحرافات زمانی متناوب ترنسدیوسر استفاده می‌شد که در آنها حلقه محافظ داخلی وجود ندارد. گشتاور فلنجدی (یا گشتاورهای مازاد ممکن) مارپیچ فلزی سیستم را با فشار به داخل سوراخ و جریان عبوری حرکت می‌داده است. اینها انواعی از مسائلی هستند که در موقع عملکرد سیستم باید توسط طراحان در نظر گرفته شده و در انتخاب قطعات این زمینه و نیز در مشخصه‌های مونتاژ توسط آنها دقت شود. اگر مدیر پروژه و یا طراح ایستگاه نتوانند مونتاژگر لوله سیستم اندازه‌گیر را جهت بازررسی نقاط گفته شده ببینند، می‌توان از بررسی کننده‌های قابل اطمینان که دارای دانش این وسایل هستند کمک گرفت.

۳.۵.۱۰ ملاحظات بهم متصل کردن لوله‌ها

- لوله‌کشی درست در هر دو انتهای لوله
- زانویی‌ها در داخل و خارج ایستگاه
- بزرگی یا کوچکی شعاع زانویی‌ها
- هم مرکزیت تقلیل دهنده‌ها و تقویت کننده‌ها
- مکان رگولاتورها و شیرهای کترلی
- قطر هدر و قطر لوله
- زاویه خیز و تیزی هدر
- شیرهای عایق اتصال
- شیرهای کنارگذر^{۲۱} و آب‌بندی آنها



شکل ۳-۴؛ یک نمونه USM با طول ۱۲۶ فوت و وزن ۹۶۰۰۰ پوند با ظرفیت ۵ میلیارد پوند بر سال

²¹ bypass

۳.۱۰.۶ ملاحظات داده‌ای در فرستنده USM

در ذیل لیستی نمونه از داده‌هایی که مستقیماً از فرستنده USM بازیابی می‌شود ارائه می‌گردد:

- دبی حجمی (SCF یا ACF) یا
- نرخ انرژی
- صورت عملکرد و وقایع ساعتی
- صورت عملکرد و وقایع روزانه
- گزارشات بازرگانی
- وضعیت کیفی اطلاعات سیستم
- تصدیق و تأییدیه عملکرد USM
- دمای اندازه‌گیر
- فشار اندازه‌گیر
- سرعت متوسط اندازه‌گیر
- فرکانس اندازه‌گیر
- جهت جریان
- امکانات عیب‌یابی

در شکل ۳-۴ نمونه‌ای از ارسال‌کننده با حالت گسته اطلاعات USM نشان داده شده است.
بازی هر خط I/O قطعات مجزای کارت کامپیوتروی وجود دارد.



شکل ۴۵-۳: نمونه‌ای از فرستنده USM - فرستنده اطلاعات به صورت گسسته

۷.۱۰.۳ تشکیلات فرستنده USM

در یک فرستنده دبی سنج آلتراسونیک تشکیلات زیر وجود دارد:

- سیم‌کشی منبع تغذیه
- UPS
- سیم‌کشی سیگنال
- سیم‌کشی فرستنده گسسته (R&T)
- سیم‌کشی ارتباطی
- محافظت کاتدیک

۸.۱۰.۳ ملاحظات داده‌های کامپیوتری جریان

طراح بایستی در ابتدا و قبل از مشخص کردن انتخاب سخت‌افزار برای کامپیوتر جریان، همه دسته‌بندی‌ها و مقادیر اندازه‌گیری که نیاز است از سیستم اندازه‌گیری جریان بازخوانی شود تعیین کند.

در ادامه لیست نمونهای از اطلاعاتی را که می‌توان مستقیماً از کامپیوتر جریان بازخوانی نمود ارائه می‌گردد:

- دبی حجمی (SCF یا ACF)
- نرخ انرژی
- صورت عملکرد و وقایع ساعتی
- صورت عملکرد و وقایع روزانه
- گزارشات بازررسی
- گزارشات خطاط
- پروتکل‌های ارتباطی
- فرمتهای گزارشاتی
- اتفاق افتادن هشدار USM
- میزان و وضعیت باتری

۹.۱۰.۳ تشکیلات کامپیوتر جریان

در یک کامپیوتر جریان دبی سنج آلتراسونیک تشکیلات زیر وجود دارد:

- سیمکشی منبع تغذیه
- سیستم UPS
- سیمکشی سیگنال
- سیمکشی فرستنده گسسته (R&T)
- سیمکشی ارتباطی
- محافظت کاتدیک
- کابل‌ها و مجاری کامپیوتر جریان به فرستنده گسسته
- کابل‌ها و مجاری کامپیوتر جریان به پنل کنترل

در شکل ۴-۳ یک کامپیوتر کامل جریان که به فرستنده متصل می‌شود، نشان داده شده است.



شکل ۴-۳: یک کامپیوتر کامل جریان

ملاحظات کلی طراحی یک ایستگاه اندازه‌گیری در بالا آورده شد. در ادامه برخی از تصمیمات طراحی که قبل از انتخاب یا مشخص کردن سخت‌افزار کار گرفته‌می‌شوند، ارائه می‌گردند:

۱۰.۱۰.۳ اندازه و ابعاد USM

دو استاندارد اندازه اولیه برای USM وجود دارد: یکی تناسب سوراخ کامل لوله و دیگری قطر کاہشی اندازه‌گیر در مقابل لوله. استفاده از تناسب کامل قطر لوله‌ها باعث عملکرد دقیق بین سرعت‌های ۱ تا ۱۰۰ فوت بر ثانیه می‌شود. از نقطه نظر اقتصادی سرعت‌های زیر ۱ فوت بر ثانیه مرقوم به صرفه نیست. سرعت‌های بالای ۸۰ فوت بر ثانیه هم منجر به فرسایش و خوردگی، ایجاد سریع کثیفی و جرم، مسائل ترک خوردگی و ارتعاشات چاه حرارتی، صدای محیطی بالا تولید شده توسط حالت دهنده صدای آتراسونیک و دیگر موضوعات خواهند شد. سوراخ کامل باعث افت فشار کمتری نسبت به اندازه‌گیرهای با قطر کاہش یافته می‌گردد. انواع اندازه‌گیر با سوراخ کاہشی برای کاربردهایی که گهگاهی اتفاق افتاده و در آنها افت فشار اضافه نگرانی خاصی ایجاد نمی‌کند، استفاده می‌شوند.

یک سایزینگ خوب برای USM-اوریفیس آن است که جریان بازای هر ۲۰۰ پوند بر اینچ مربع را با همان اندازه اوریفیس محاسبه کند. یعنی، برای ۱۰۰۰ پوند بر اینچ مربع نسبی یک USM ۱۲ اینچی در ماکزیمم نسبت ببا بزرگی جریان پنج اوریفیس ۱۲ اینچی را محاسبه کند. برنامه‌های محاسبه اندازه‌ها در ساخت USM‌ها توسط شرکت‌های تولیدی با محاسبه سرعت، دبی حجمی واقعی و دبی حجمی استاندارد داده می‌شود. نمونه‌ای از محاسبه مربوط به ACFH که ممکن است کاربردی و عملی باشد در زیر ارائه می‌گردد:

اندازه‌گیر ۱۲ اینچی:

$$\begin{aligned} 12'' \text{ meter: } \text{Bore} = 11.75''/2 &= 5.875 \text{ squared} = 34.515 * 3.14159 (\text{pi}) = \\ 108.433 \text{ sq. ins.} / 144 &= 0.753 \text{ sq. ft.} * 100 (\text{fps}) = 75.3 \text{ actual cubic feet/second} * 3600 = \\ &271,080 \text{ actual cubic feet/hour.} \end{aligned}$$

لازم به ذکر است که اندازه سیستم، اندازه لوله و اندازه شیر توپی عایق‌کاری سوراخ را می‌دهد. از این رو مشاهده می‌شود که اندازه دستگاه محاسبه آلتراسونیک دبی بسیار مهم است.

۱۱.۱۰.۳ مواد ساخت USM

طراحان در مورد مواد لازم برای USM‌ها باید به این نکته توجه داشته باشند که USM‌ها در مدل‌های LCC، SS304، SS316 و ضدزنگ دوگانه موجود بوده که نوع LCC استیلی را می‌توان با نیکل صفحه‌بندی نمود.



شکل ۴۷-۳: سوراخ‌های داخلی به نحوی تعییه می‌شوند که ناپیوستگی‌ای در جریان رخ ندهد.

۱۲.۱۰.۳ شکل دهنده پروفیل جریان

اندازه‌گیرهای USM چند مسیره اغتشاشات جریان را بیشتر از انواع دیگر تکنولوژی دبی‌سنچ تحمل کرده ولی با این حال جریان‌های خوب از جریان‌های بد برای همه انواع دبی‌سنچ بهتر است. جریان خوب به جریان یکنواخت، دائم و با پروفیل سرعت متقاضی اطلاق شده و جریان بد به جریانی از سیال گفته می‌شود که دارای مومنتوم زاویه‌ای و چرخشی، جریان تقاطعی، چرخش بالک (چرخش حول محور طولی جریان-در یک حالت دربازکن قوطی کنسرو)، جهش (شتاب‌گیری و اتمام شتاب پی در پی در مسیر لوله)، اغتشاشات و آشفتگی و گردابه‌های همراه با هر جزء ترکیب‌شونده باشد.



شکل ۴-۳: شکل دهنده جریان از نوع صفحه متخلخل ضخیم

شکل دهنده‌های جریان در USM در کل یکنوع صفحه کلفت متخلخل با چندین سوراخ مطابق شکل ۴-۳ هستند. این وسایل قادر به متوقف کردن مومنتوم‌های گردابه‌ای و زاویه‌ای ذکر شده در سطوح کم تا متوسط آنها بوده و اجبار کننده به سمت داشتن یک جریان با پروفیل خوب هستند. وظیفه‌ی اصلی این شکل دهنده‌ها مجزا و ایزوله کردن یک اندازه‌گیر از اثرات بی‌درنگ بالادست و هندسه آنها که تابعی مشخص از لوله‌کشی سایت، شیرها، تقلیل دهنده‌ها، منبسط کننده‌ها، انحنایها و

زانویی‌ها هستند، می‌باشد. این ایزولاسیون و اجبار در نوع جریان اطمینان اضافی‌ای را به طراح در آزمایشگاه در زمینه ساخت منطبق‌تر با واقعیت عملکرد سیستم می‌دهد. شکل دهنده جریان بایستی دقیق و به گونه‌ای بر روی خط مرکزی لوله نصب شود که هیچ‌گونه نفوذ گسکت (واشر) به سوراخ لوله اتفاق نیفتاده باشد (شکل ۴۸-۳).

لازم به ذکر است که شکل دهنده‌های جریان مقدار ناچیزی افت فشار هم ایجاد می‌کنند. در شکل ۴۹-۳ نمونه‌ای از اتصال فلنجه شکل دهنده‌ها به بالادست و پایین‌دست نشان داده شده است.



شکل ۴۹-۳: پیچ‌های داخل فلنجه برای دو قسمت ورودی به شکل دهنده و شکل دهنده به اندازه‌گیر

۱۳.۱۰.۳ ملاحظات کنترل‌ ولوها و شیرهای رگولاتوری

شیرهای رگولاتوری و کنترل جریان می‌توانند تولیدکننده رنج فرکانس آلتراسونیک به هنگام اختلاف فشار مشخص (PSID) در طول شیر باشند. جریان مادون صوتی که از یک شیر خارج می‌گردد هنوز یک فرکانس بالایی (آلتراسونیک) است که از هر دو سر (بالادست و پایین‌دست) انتشار می‌یابد. اختلاف فشار PSID بالا بر روی شیرها ممکن است باعث شوک با مانع یک در خروجی و فرستادن موج شوکی به پایین‌دست همراه با یک سطح انرژی کمتر تششع به بالادست گردد. تله‌هایی که می‌توان برای کاهش و یا حذف نویز در نظر گرفت یکی زانویی‌های ۹۰ درجه و دیگری سه راهی‌ها هستند. ملاحظات زیر در این ساختار شیر-اندازه‌گیر درنظر گرفته شوند:

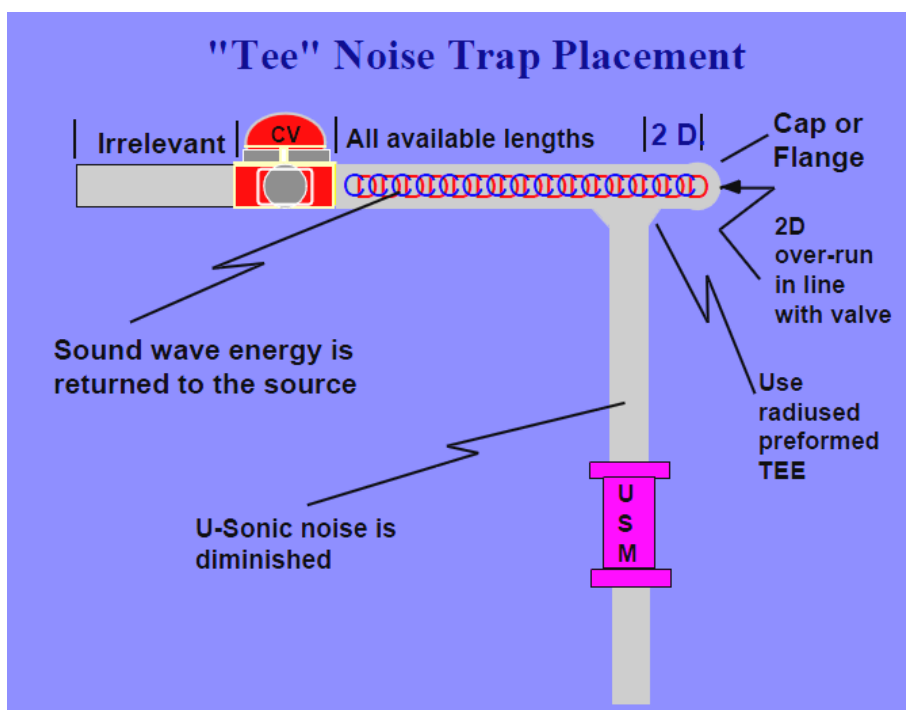
- در صورت امکان شیرها در پایین دست جریان تعییه گردند.

- فاصله‌هایی بین شیرها و اندازه گیر در نظر گرفته شوند.

- خمیدگی‌ها بین شیرها و اندازه‌گیرها می‌توانند باعث کاهش نویز گردند.

- سهراهی‌ها بسیار وسایل مؤثری برای کاهش نویز هستند.

در مورد نیازهای یک ایستگاه در زمینه سهراهی‌ها و سایر اتصالات نیاز به رایزنی با شرکت تولیدی USM می‌باشد؛ چرا که بین تکنولوژی‌های مختلف و موجود ساخت USM نیازهای مختلفی هم وجود دارد (شکل ۵۰-۳).

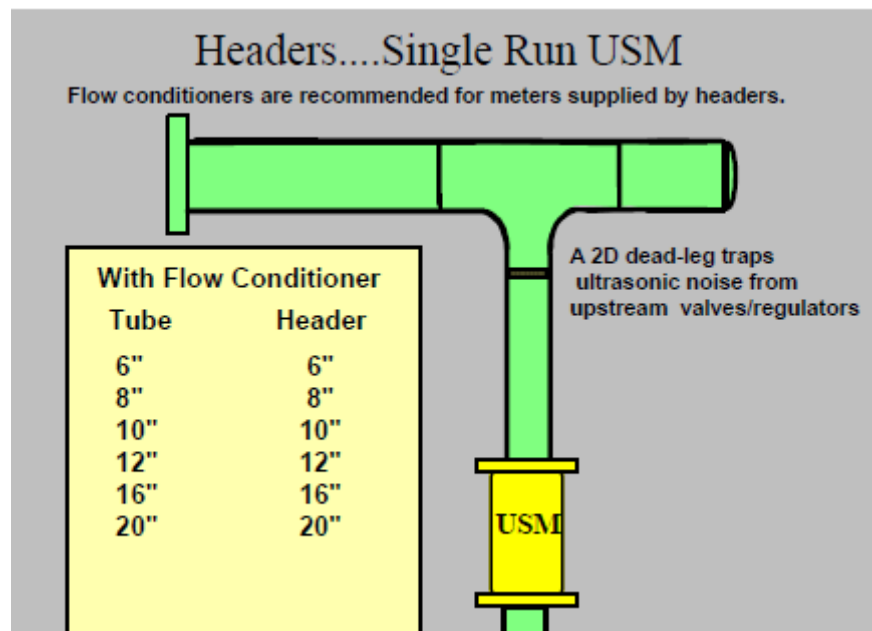


شکل ۵۰-۳: نیازهای لوله‌کشی و سهراهی یک ایستگاه USM

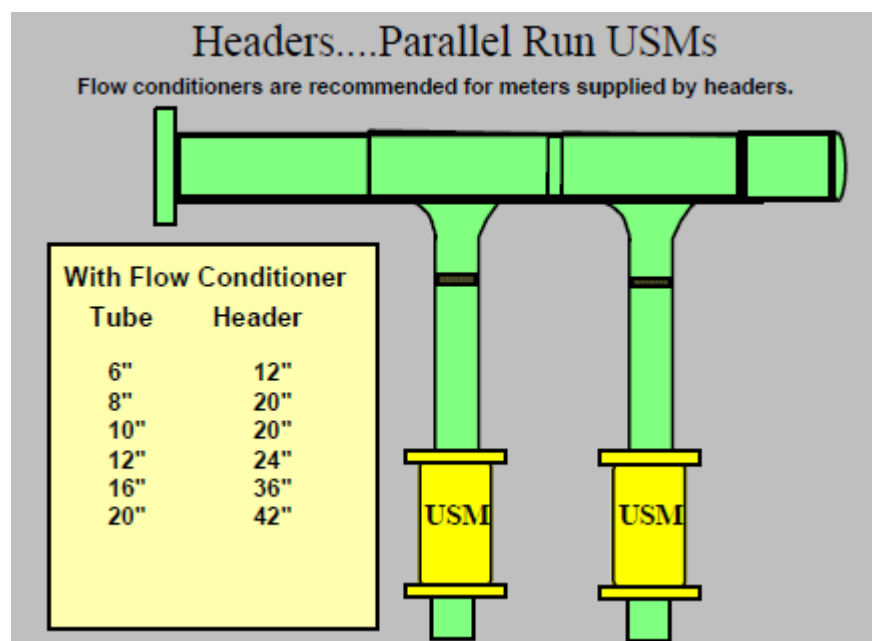
۱۴.۱۰.۳ هدرها

هدرها فرصتی مناسب برای تحویل مناسب جریانات عبوری به اندازه‌گیرها هستند. تعیین اندازه صحیح هدرها هم از لحاظ هزینه‌ها و هم عملکرد حیاتی است. هزینه با افزایش اندازه هدر به سرعت افزایش می‌یابد. از طرفی هدرهای کوچکتر از معمول و یا با اندازه کم، عملکرد هدر را به شدت و مشخصاً پایین می‌آورند. شاید در صنعت سالانه تعداد زیادی هدر با سایز نامتعارف ساخته می‌شود! طراحان ایستگاهها بایستی در مورد بهینه‌سازی لوله‌کشی‌ها و بهروز درآوردن و اضافه و کم کردن آنها

به خوبی آگاه باشند. همچنین درمورد تناسب هدرهای قدیمی با اندازهگیرهای جدید، تعیین محدودیتها و جزئیات با طراحان است. در شکل ۵۱-۳ یک نمونه از هدر و USM تکین و در شکل ۵۲-۳ شماتیکی از یک نمونه اتصال موازی (پارالل) USM‌ها با هدر نشان داده شده است.

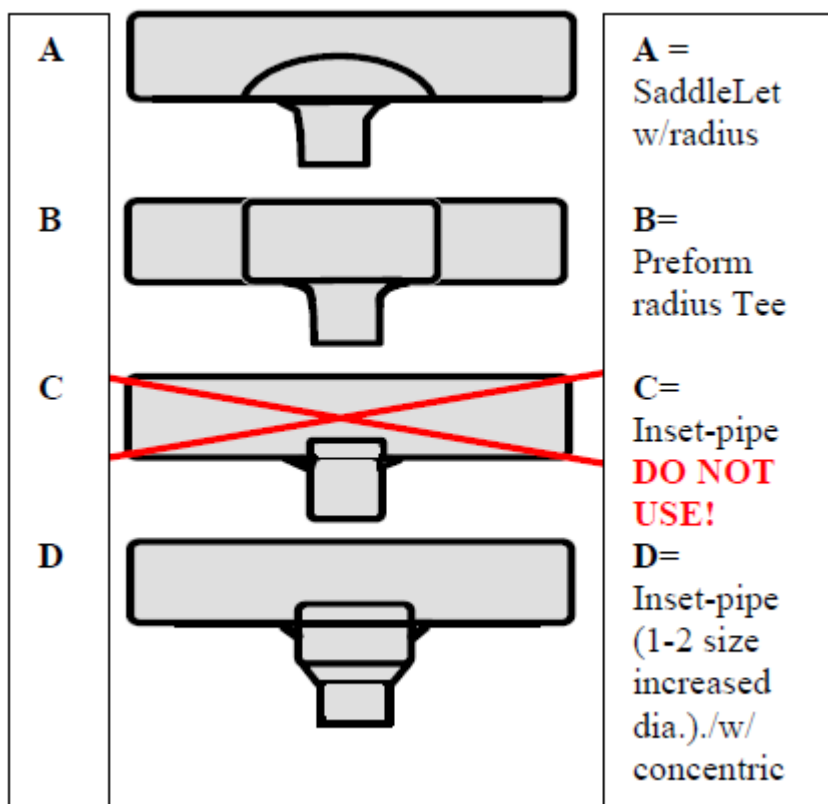


شکل ۵۱-۳: شماتیک هدر متصل به USM در سایت



شکل ۵۲-۳: نمونه از اتصال موازی USM‌ها با یک هدر

در شکل ۳-۵۳ چهار نمونه از نحوه اتصال هدر به سیستم اندازه‌گیر و لوله‌کشی خروجی نشان داده شده است. وقتی برای این چهار نمونه، پایداری جریان عبوری از هدر به سمت اندازه‌گیر مورد ارزیابی واقع می‌گردد، می‌توان متوجه این نکته شد که نمونه‌های A و B برای خروجی‌های روان و آرام جریان مناسب بوده و شاید استفاده از نمونه A آسانتر و ارزانتر برای کار با هدرهای بزرگتر و به تبع آن نمونه B آسانتر و ارزانتر برای کاربردهای کوچک باشد. اما نمونه C جریانی ناپایدار را موجب می‌شود که دلیل آن اتصال تیز به جای شعاعی است. کاربردی‌ترین نمونه اتصال در صنعت با چندین حالت ساخت، نمونه D می‌باشد. طراح USM می‌بایست با توجه به این نکات در انتخاب هدر و اتصال مناسب آن به اندازه‌گیر اقدام نماید.

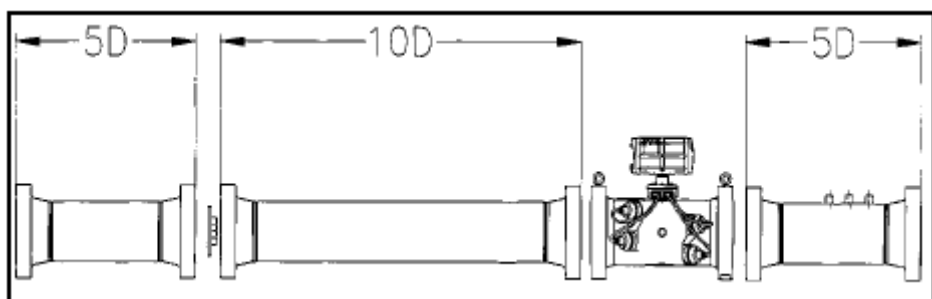


شکل ۳-۵۳: چهار نمونه از نحوه اتصال هدر و مزایا و معایب آنها

۱۵.۱۰.۳ لوله‌کشی لوله اندازه‌گیر

لوله اندازه‌گیر نشان داده شده در شکل ۳-۵۴ یک اندازه‌گیر چندمسیره و تجهیزات نوعی لازم برای USM یک جهته با یک شکل دهنده‌ی صفحه کلفت تکین می‌باشد. طراحان بایستی از بین ها بر اساس پیشنهاد شرکت‌های تولیدکننده آنها، مطابق با استاندارد و پیشنهاد AGA و بر اساس تجربه،

اندازه‌گیر مناسب از حیث اینمنی و کیفیت مونتاژ را جستجو و انتخاب کنند. در شکل ۵۴-۳ یک لوله USM/meter یک طرفه با یک ناحیه تنه‌شینی معادل ۵ برابر قطر در جلوی صفحه شکل دهنده جریان و یک مقطع معادل ۱۰ برابر قطر بین صفحه و اندازه‌گیر نشان‌داده می‌شود. ناحیه تخلیه ۵ برابر قطر فضای کافی را برای قراردهی چاه حرارتی در پایین دست و لقی کافی برای نصب و ترکیب‌بندی پیچ‌های فلنج می‌دهد. اما برای USM‌های دوطرفه یک شکل دهنده ۱۰ برابر قطر لازم است. در این نوع اندازه‌گیرها چاه حرارتی حداقل باید به اندازه سه برابر قطر از ورودی سیستم فاصله داشته و نوعاً این فاصله بین ۳ تا ۵ برابر قطر است (شکل ۵۵-۳ و شکل ۵۶-۳). شرکت‌های سازنده معمولاً نقشه‌های ترسیمی از مدل‌های آماده و موجود خود را برای راهنمایی استفاده از سه راهی نویز و لوله و اندازه‌گیر ارائه می‌دهند.



شکل ۵۴-۳: لوله‌کشی بالا دست یک USM یک جهت



شکل ۵۵-۳: قسمت تخلیه USM و نصب چاه حرارتی و پروب تخلیه روی آن



شکل ۵۶-۳: محل نصب پروب‌های چاه حرارتی

اندازه‌گیرهای دبی آلتراسونیک وسایل با هندسه، طول و زمان دقیق بوده و توجه به ایستگاههای آنها همانند سایر ایستگاههای جریان گاز حائز اهمیت می‌باشد. برای نمونه همانطور که در شکل ۵۷-۳ نشان داده شده است برای یک سایت اندازه‌گیر التراسونیک کوچک که دارای سه اندازه‌گیر کترلی و سه پایه تقلیل فشار چند رگولاتوره می‌باشد، کلیه ملاحظات فنی-مهندسی و نگهداری گفته شده و یا حتی استانداردهای طراحی و نصب ذکر شده در بالا باید انجام گیرند تا سایتی ایمن و کارا وجود داشته باشد.



شکل ۵۷-۳: نمونه‌ای از یک سایت اندازه‌گیر کوچک

در رابطه با اطلاعات تکمیلی و تکنیکی طراحی و استانداردهای ایستگاههای اندازه‌گیر به روش آلتراسونیک تعداد زیادی مقاله داده شده است. به هر حال در مورد ساخت و راهاندازی این ایستگاهها همیشه باید به این ضربالمثل توجه داشت: دو بار اندازه بگیر و یک بار بیّر!!!

۱۱.۳ منابع

- [۱] گزارش ماهیانه فعالیت‌های انجام شده در شهریورماه ۱۳۸۷، KHCRO MR 1387-05، دفتر پژوهش شرکت گاز استان خوزستان، مهرماه ۱۳۸۷
- [۲] گزارش ماهیانه فعالیت‌های انجام شده در مهرماه ۱۳۸۷، KHCRO MR 1387-06، دفتر پژوهش شرکت گاز استان خوزستان، آبانماه ۱۳۸۷
- [۳] گزارش ماهیانه فعالیت‌های انجام شده در آبانماه ۱۳۸۷، KHCRO MR 1387-07، دفتر پژوهش شرکت گاز استان خوزستان، آذرماه ۱۳۸۷
- [۴] گزارش ماهیانه فعالیت‌های انجام شده در آذرماه ۱۳۸۷، KHCRO MR 1387-08، دفتر پژوهش شرکت گاز استان خوزستان، دیماه ۱۳۸۷
- [۵] گزارش ماهیانه فعالیت‌های انجام شده در دیماه ۱۳۸۷، KHCRO MR 1387-09، دفتر پژوهش شرکت گاز استان خوزستان، بهمنماه ۱۳۸۷
- [۶] گزارش ماهیانه فعالیت‌های انجام شده در بهمنماه ۱۳۸۷، KHCRO MR 1387-10، دفتر پژوهش شرکت گاز استان خوزستان، اسفندماه ۱۳۸۷

۴ بررسی روش‌های حل جریان غیر دائم گاز

یکی از مسائل اساسی در تحلیل جریان گاز درون شبکه‌های گازی بررسی شرایط غیر دائم بر جریان می‌باشد. جهت پی بردن به ماهیت دینامیکی جریان گاز درون لوله‌ها و کنترل لحظه‌ای جریان برحسب فشار یا دبی در سراسر یک شبکه لازم است به حل عددی معادلات حاکم بر آن پرداخته شود که در این روند با معلوم بودن شرایطی از لوله یا شبکه‌ی تحت بررسی، مقادیر دلخواه از پارامترهای جریان سیال از قبیل دما، فشار و دبی آن مشخص خواهند شد. در این راستا بسیاری از روش‌های حل عددی با صرف زمان بسیاری به تحلیل رفتار غیر دائم گاز می‌پردازند. برخی از محققین برای کاهش این زمان تحلیل، از برخی پارامترها و جملات در معادلات حاکم صرفنظر کرده‌اند که این امر از دقت تحلیل خواهد کاست. با ترفندی دیگر می‌توان با خطی‌سازی و استفاده از حوزه فرکانسی به کاهش چشم‌گیر زمان محاسبات کمک شایانی نمود. اما این امر مزایا و معایب خاص خود را دارد. یعنی در کنار کاهش زمان انجام محاسبات، استفاده از تکنیک خطی‌سازی و حوزه لابلás از یک طرف منوط به کم بودن تغییرات حول وضعیت دائم بوده و از طرف دیگر تنها قادر به تعیین مقادیر در ورودی و خروجی یک المان لوله‌ای می‌باشد و اینکه داخل لوله یا آن المان چه اتفاقاتی در حال انجام است از حیطه این روش خارج می‌باشد.

همانگونه که در فوق اشاره شده جهت بررسی شرایط غیر دائم روش‌های مختلفی مورد استفاده قرار می‌گیرد که هر یک دارای مزایا و معایب می‌باشند. یکی از این روش‌ها استفاده از توابع تبدیل برای مدلسازی شبکه‌های گازرسانی می‌باشد. به‌منظور بررسی قابلیت‌های این روش لازم است که روش‌های عددی مستقیم برای تحلیل جریان غیر دائم گاز مورد بحث و بررسی قرار گیرد. لذا عمدۀ روش‌های متداول جریان غیر دائم گاز که در واقع در ارتباط با حل معادلات اویلر در حالت همدما و

با درنظر گرفتن اصطکاک بصورت یک عبارت چشمی باشد، مورد مطالعه و بررسی قرار گرفته و در ادامه روش توابع تبدیل نیز معرفی شده و نتایج حاصل از آن در مقایسه با دیگر روش‌ها ارائه شده است.

با استفاده از فرضیات مختلف، سه دسته مهم در روش‌های تحلیل جریان غیردائم ایجاد می‌شود:

- روش‌های حل معادله جابه‌جاوی خطی یک بعدی (معادله موج) که خود شامل تقسیم‌بندی زیر است:

- حل دقیق
- حل عددی

- روش‌های عددی حل معادله جابه‌جاوی غیرخطی (معادله برگر غیرلزج)

- روش استفاده از توابع تبدیل و استفاده از مدل و حوزه فرکانسی

در بحث استخراج معادلات جریان غیردائم، دسته معادلاتی به شکل هذلولوی نتیجه می‌شوند که اگر این جریان را به شکل غیرلزج درنظر بگیریم، با تعریف کمیتی مثل M با دانسیته ρ و بردار شار f ، شکل عمومی این معادلات به صورت

$$\frac{\partial u}{\partial t} + \frac{\partial f(u)}{\partial x} = 0 \quad (1-4)$$

خواهد شد. از طرفی چون در این معادلات، بردار شار تابعی از دانسیته کمیت می‌باشد، طبق قاعده زنجیره‌ای رابطه

$$\frac{\partial u}{\partial t} + \frac{\partial f}{\partial u} \frac{\partial u}{\partial x} = 0 \quad (2-4)$$

را داشته و با درنظر گرفتن $a = \partial f / \partial u$ باشد، می‌توان داشت:

$$u_t + au_x = 0 \quad (3-4)$$

معادله استخراج شده همان معادله موج یک بعدی با سرعت a می‌باشد؛ البته بیشتر اوقات، معادله موج یک بعدی به شکل زیر

$$u_{tt} = a^2 u_{xx} \quad (4-4)$$

ارائه می‌گردد که به راحتی و با مشتق‌گیری می‌توان از معادله (۳-۴) به رابطه (۴-۴) دست یافت. جهت حل رابطه (۳-۴) که به فرم معادله جابه‌جایی در یک بعد می‌باشد، روش‌ها و الگوریتم‌های مختلفی وجود دارد؛ این روش‌ها به دو دسته کلی زیر تقسیم‌بندی می‌شوند:

- روش‌های حل دقیق
- الگوریتم‌ها و روش‌های حل عددی

۱.۴ روش‌های حل دقیق برای تحلیل جریان غیر دائم گاز

این روش‌ها روی خطوط مشخصه‌ها با ویژگی ثابت $=u$ متمرکز می‌باشند. با این ویژگی برای پارامتری مثل u که تابعی از زمان و مکان بوده و می‌تواند نوعی دانسته یک کمیت خاص باشد، می‌توان نوشت:

$$\frac{du}{dt} = 0 \quad (5-4)$$

از این رو

$$\frac{\partial u}{\partial t} + \frac{\partial u}{\partial x} \frac{\partial x}{\partial t} = 0 \quad (6-4)$$

با مقایسه این رابطه با (۳-۴) می‌توان گفت برای خطوطی که دارای ویژگی ثابت $=u$ هستند، شبی برابر با $\partial x / \partial t = a$ بوده و بهنام خطوط مشخصه معروف می‌باشند. لذا به این روش‌ها، روش مشخصه‌ها^۱ گفته شده و روی دو دسته مسئله اعمال می‌شوند:

- مسائل مقدار اولیه
- مسائل مقدار اولیه و مرزی

در مورد مسائل مقدار اولیه (مسئله کوشی)، صورت کلی و بیان ریاضی به فرم

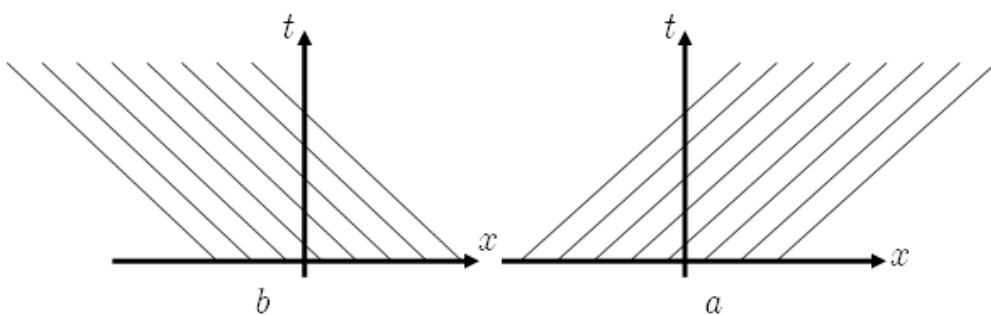
^۱ Method Of Characteristic (MOC)

$$u_t + au_x = 0, \quad u(x, 0) = F(x) \quad (7-4)$$

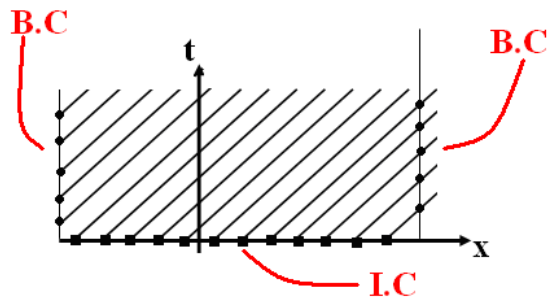
بوده و طرح مسائلی که در آنها علاوه بر شرایط اولیه روی لوله انتقال گاز، شرایط مرزی در زمان-های مختلف هم وجود دارد، به شکل

$$u_t + au_x = 0, \quad u(x, 0) = F(x), \quad u(x_0, t) = G(t) \quad (8-4)$$

می‌باشد که $x = x_0$ نقطه‌ای روی لوله گاز (مثلاً ابتدای آن) است؛ البته دقت کنید که چون در روش مشخصه‌ها در صورت داشتن شرایط اولیه می‌توان به اطلاعات سایر نقاط در زمان و مکان‌های دیگر دست یافت، نیاز به دقت کافی برای تعریف شرایط اولیه و مرزی احساس می‌شود. برای ساده‌تر بیان کردن این مسئله مهم، اگر دو شکل کلی خطوط مشخصه‌ها در نظر گرفته شوند، می‌توان به این نتیجه رسید که این دو شکل شامل خطوط مشخصه راست‌رو و چپ‌رو می‌شوند و بترتیب دارای ویژگی $a < 0$ و $a > 0$ هستند (شکل ۴-۱)؛ برای حالت خطوط مشخصه راست‌رو، اگر شرایط مرزی در مرز راست تعریف شود، یا باید درست تعریف شود یا اینکه اصلاً تعریف نشود (چون مطابق شکل ۴-۲ و از لحاظ فیزیکی نیازی به آن نبوده و شرایط اولیه و خطوط مشخصه به استناد ویژگی ثابت $= u$ روی خطوط، برای تعریف اطلاعات در آن مرز کافی می‌باشند). به همین ترتیب برای خطوط چپ‌رو که در آن نمونه مسائل نیز نیازی به تعریف شرط مرزی در سمت چپ هندسه مسئله نمی‌باشد.

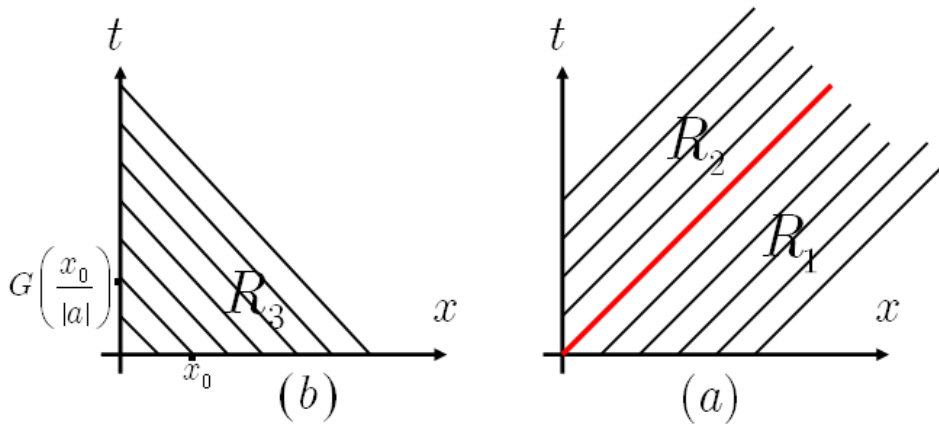


شکل ۴-۱: خطوط مشخصه راست‌رو (a) و چپ‌رو (b)



شکل ۴-۲: بررسی تعریف شرایط اولیه و مرزی در حل مسائل با خطوط مشخصه

جهت روشن تر شدن این زمینه شکل ۴-۱ دو حالت شرط مرزی برای خطوط راست رو و چپ- رو مشخص شده است. در قسمت a از این شکل، شرط مرزی برای مرز $x = 0$ و خطوط مشخصه با $0 < a$ و در قسمت b آن، برای همان مرز در حالت $0 < a$ مشخص گشته است. طبق این شکل، می‌توان برای شرایط اولیه و مرزی در نواحی R_1 , R_2 و R_3 روابط ذیل را نوشت.



شکل ۴-۳: انواع تعریف شرایط اولیه و مرزی در مسائل با خطوط مشخصه

$$R_1 : \quad u(x, t) = u(x - at, 0) = F(x - at) \quad (9-4)$$

$$R_2 : \quad u(x, t) = u(0, t - x/a) = G(t - x/a) \quad (10-4)$$

$$R_3 : \begin{cases} u(x,t) = u(x-at,0) = f(x-at) \\ \text{if I.C. : } u(x_0,0) = F(x_0) \text{ then} \\ \text{B.C. : } u(0,x_0/|a|) = G(x_0/|a|) \\ \Rightarrow F(x_0) = G(x_0/|a|) \end{cases} \quad (11-4)$$

اما برای اینکه به حل مسئله بپردازیم، لازم است تا ابتدا پارامترسازی جدیدی را ترتیب دهیم؛ این کار برای معادلات بقایی که ضریب مشتق نسبت به زمان برابر یک و تساوی به صفر ختم می‌گردد، به صورت زیر است:

$$\begin{cases} \frac{\partial x}{\partial \tau} = a & , \quad x(0) = s \\ \frac{\partial t}{\partial \tau} = 1 & , \quad t(0) = 0 \\ \frac{\partial u}{\partial \tau} = 0 & , \quad u(0) = F \end{cases} \quad (12-4)$$

لذا با اعمال شرایط اولیه نوشته شده خواهیم داشت:

$$\left. \begin{array}{l} x = a\tau + s \\ \tau = t \end{array} \right\} \Rightarrow s = x - at \quad \& \quad u = F(s) = F(x - at) \quad (13-4)$$

به جهت جلوگیری از بی‌جواب بودن مسئله لازم است تا شرط عدم تطابق شرایط اولیه با شرایط مرزی چک شود. برای این‌کار و به بیان ریاضی می‌توان ژاکوبین مسئله را محاسبه و مخالف صفر قرار داد:

$$\begin{vmatrix} \frac{\partial x}{\partial s} & \frac{\partial x}{\partial \tau} \\ \frac{\partial t}{\partial s} & \frac{\partial t}{\partial \tau} \end{vmatrix} \neq 0 \Rightarrow \begin{vmatrix} 1 & 0 \\ 0 & 1 \end{vmatrix} = 1 \neq 0 \quad (14-4)$$

به دیگر سخن جایی که ژاکوبین صفر می‌شود، نقطه شروع شوک بوده و بایستی برای ادامه زمان‌ها در تحلیل از روشی موسوم به حل ضعیف (تعمیم‌یافته) استفاده کرد. اما همانطور که می‌بینیم برای معادله یکبعدی موج مشکلی وجود نخواهد داشت.

از طرفی خود حل ضعیف که در بالا به آن اشاره شد به دو نوع کلی، یکی برای حل واگرایی خطوط مشخصه و دیگری برای حالت همگرایی آنها تقسیم‌بندی می‌شود. اگر بخواهیم برای این موضوع به طور خلاصه مثالی بیاوریم، باید معادله برگر^۱ را بررسی کنیم؛ همانطور که می‌دانیم، این معادله به شکل

$$\frac{\partial u}{\partial t} + u \frac{\partial u}{\partial x} = 0 \quad (15-4)$$

است؛ در این مسئله $u(x, 0) = F(x)$ می‌باشد. با داشتن شرط اولیه $u(a, 0) = a$ می‌توان خطوط مشخصه مسئله را با استفاده از نمودار شرط اولیه $(F(x) - x)$ و به صورت وارون آن رسم کرد؛ اگر ویژگی خطوط مشخصه را به یاد آوریم متوجه خواهیم شد که این امر به این دلیل است که طبق وضعیت خاص این مسئله داریم:

$$\frac{\partial t}{\partial x} = \frac{1}{a} = \frac{1}{u(x, t)} = \frac{1}{u(x, 0)} = \frac{1}{F(x)} \quad (16-4)$$

در این وضعیت دو حالت زیر رخ می‌دهد.

- حالت واگرایی مشخصه‌ها (فن انساطی)

- حالت تداخل مشخصه‌ها (شوک)

اگر شرایط اولیه مسئله موج به شکل

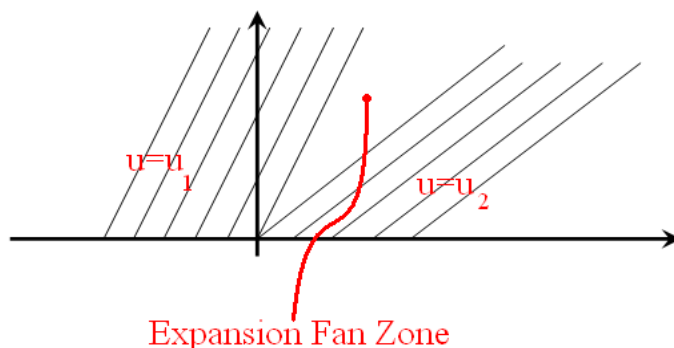
$$u(x, 0) = \begin{cases} u_1 & x < 0 \\ u_2 & x > 0 \end{cases}, \quad a(u_1) < a(u_2) \quad (17-4)$$

باشد آنگاه حالت اول رخ خواهد داد (شکل ۴-۴). از سویی هنگامی که برای شرایط اولیه داشته باشیم:

$$u(x, 0) = \begin{cases} u_1 & x < 0 \\ u_2 & x > 0 \end{cases}, \quad a(u_1) > a(u_2) \quad (18-4)$$

^۱ Burger's Equation

حالت دوم رخ داده و بایستی به حل ضعیف (تعمیم یافته) برای آن روی آورد (شکل ۴-۵).



شکل ۴-۴: حالت واگرایی خطوط مشخصه در یافتن مقادیر u

برای محاسبه مقدار u در دو حالت گفته شده، بترتیب دو رابطه زیر را ارائه داده و مراحل اثبات آنها را به کتب دینامیک سیالات محاسباتی ارجاع می‌دهیم. برای حالت اول داریم:

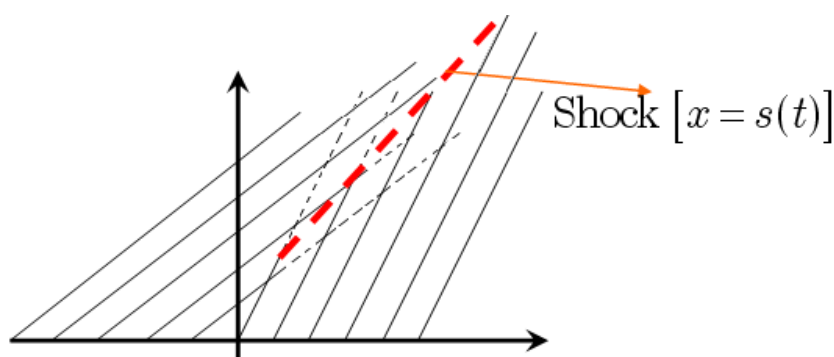
$$\begin{cases} u_1 & x < a(u_1)t \\ g\left(\frac{x}{t}\right) & a(u_1)t < x < a(u_2)t \\ u_2 & x > a(u_2)t \end{cases}, \quad g = a^{-1} \quad (۱۹-۴)$$

با معکوس‌گیری از تابع $a(u)$ و با آرگمان $x/t = u$ تابعی بدست می‌آید که نام آن را $g(x/t)$ گذاشته‌ایم. برای مثال حاضر این تابع برابر با خود x/t خواهد شد.

از طرف دیگر برای حالت دوم و مطابق شکل آن، تداخل خطوط مشخصه باعث تقویت آنها و

ایجاد شوکی با شیب ds/dt می‌شود که داریم:

$$\frac{ds}{dt} = \frac{f(u_1) - f(u_2)}{u_1 - u_2} \quad (۲۰-۴)$$



شکل ۴-۵: حالت همگرایی خطوط مشخصه در یافتن مقادیر u

و در آن f شار بوده و یادآوری می‌کنیم که $\partial f / \partial u = a(u)$. برای مقادیر u قبل و بعد این شوک مقادیر بدست آمده از بقیه تحلیل (مطابق شکل) جایگزین می‌گردد که برای این مثال این مقادیر u_1 و u_2 هستند. بدین ترتیب می‌توان در تمام زمان‌ها و مکان‌ها به مقدار u دست یافت. اما در این کار بیشتر قصد مقایسه و تحلیل انواع روش‌های عددی روی معادلات هذلولوی و بقایی را داریم که در ادامه به برخی از آنها اشاره خواهد شد.

روش‌های حل معادله جابه‌جایی غیرخطی (معادله برگر غیرلزج)^۱ در تحلیل جریان غیردائم گاز مسئله مکانیک سیالات معمولی غیرخطی است و در آن حل دستگاهی برای محاسبه فشار، چگالی، دما و سرعت در نقاط مجهول به کار خواهد رفت. در این راستا معادله‌ای که بتواند حالت غیرخطی و فرم کلی معادلات بقا را پوشش دهد، بسیار مفید است. این معادله نه تنها بایستی با خاصیت غیرخطی معادلات متناسب باشد، بلکه باید خواص فیزیکی معادله جریان سیال را هم به صورت یک جمله جابه‌جایی، یک جمله اتلافی (ناشی از لزجت) و یک جمله وابسته به زمان در بر گیرد. برگر(۱۹۴۸) معادله‌ای با این خصوصیات ارائه کرد:

$$\frac{\partial u}{\partial t} + u \frac{\partial u}{\partial x} = \mu \frac{\partial^2 u}{\partial x^2} \quad (21-4)$$

Unsteady term Convective term Viscous term

اگر جمله ویسکوزیته (سمت راست معادله (۲۱-۴)) در نظر گرفته شود، این معادله جابه‌جایی غیرخطی و به فرم سهموی است؛ و اگر از آن جمله صرفنظر شود به فرم هذلولوی خواهد بود که کار حاضر هم با این فرض که جریان غیرلزج است ادامه می‌یابد. معادله جابه‌جایی غیرخطی حاصل عبارت خواهد شد از:

$$\frac{\partial u}{\partial t} + u \frac{\partial u}{\partial x} = 0 \quad (22-4)$$

روش‌هایی که برای حل این معادله به کار گرفته خواهند شد، در این بخش ارائه می‌گردد. برای فهم بیشتر موضوع، الگوریتم‌های حجم محدود و اختلاف محدود^۱ مختلفی با بحث روی اثر جملات

^۱ Nonlinear Convection Equation (Inviscid Berger Equation)

غیرخطی بحث خواهد شد. معادله (۴-۲۱) را می‌توان بعنوان معادله موج یک‌بعدی غیرخطی در نظر گرفت که هر نقطه روی جبهه این موج می‌تواند با یک سرعت متفاوت منتشر شود. نتیجه تغییر سرعت موج، بهم ریختگی و آشافتگی مشخصه‌ها و فرم راه حل‌های ناپیوستگی شبیه به بحث امواج شوکی در مکانیک سیالات است. اما معادله هذلولوی بحث شده را می‌توان برای راحتی به شکل

$$\frac{\partial u}{\partial t} + \frac{\partial f}{\partial x} = 0 \quad (23-4)$$

بیان نمود که در حالت کلی معادلات، u و $f(u)$ به صورت بردار هستند. البته فرم معادله بالا را ممکن است به شکل $Au_t + Au_x = 0$ هم مطرح کرد که در آن $A = A(u)$ در حالت کلی، ماتریس ژاکوبین $\partial f_i / \partial u_j$ بوده و برای حالت کار حاضر (حالت خاص) که نسبت طول لوله به قطر آن بسیار زیاد است، می‌توان جریان را روی کل سطح مقطع آن، یکجا^۱ و یکنواخت در نظر گرفته و A را به صورت df / du نوشت. معادلات یا دستگاه معادلات ما، به فرم هذلولوی بوده و این بدین معنی است که تمامی مقادیر مشخصه^۲ ماتریس A حقیقی می‌باشند.

در ادامه با روش‌های مختلف حل و چگونگی اعمال آنها در حل معادله غیرخطی و یک‌بعدی جابه‌جایی آشنا شده که این روش‌ها باز به دو دسته حل دقیق و حل عددی تقسیم‌بندی می‌شوند؛ به جهت اختصار، فقط به الگوریتم‌های عددی این زمینه اشاره خواهد شد.

۱۰.۴ روش لکس-فردریش

روش‌های مرتبه اول بندرت برای حل معادلات هذلولوی به کار می‌روند. روش لکس-فردریش از جمله روش‌های مرتبه اول این زمینه است که در سال ۱۹۵۴ ارائه شد. بیان ریاضی این روش به صورت

$$u_i^{n+1} = \frac{u_{i+1}^n + u_{i-1}^n}{2} - \frac{\Delta t}{\Delta x} \frac{f_{i+1}^n - f_{i-1}^n}{2} \quad (24-4)$$

¹ Finite Volume and Finite Difference

² Lumped

³ Eigenvalues

می‌باشد. همانطور که بدیهی است برای معادله برگر نوشته شده، $f = u^2 / 2$ بوده و می‌باشد. از طرفی با محاسبه ضریب بزرگنمایی می‌توان نوشت:

$$G = \cos \phi - i \frac{\Delta t}{\Delta x} A \sin \phi \quad (25-4)$$

لذا جهت پایداری روش و کوچکتر شدن ضریب بزرگنمایی از یک، باید شرط $|u_{\max} \Delta t / \Delta x| \leq 1$ برقرار باشد که u_{\max} بزرگترین مقدار مشخصه ماتریس A با جزء واحد u می‌باشد. بیان دیگر این الگوریتم و به فرم حجم محدود، به صورت زیر می‌باشد:

$$u_i^{n+1} = u_i^n - \frac{\Delta t}{\Delta x} [f_{i+1/2}^n - f_{i-1/2}^n] \quad (26-4)$$

که در آن حجم کنترلی روش، به حالت نشان داده شده در شکل ۶-۴ است. در نتیجه می‌توان رابطه زیر را استخراج نمود:

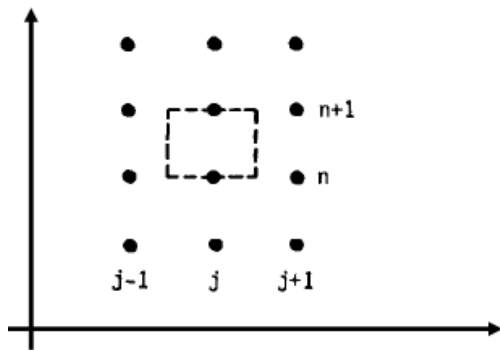
$$f_{i+1/2}^n = \frac{1}{2} \left[f_i + f_{i+1} - \frac{\Delta x}{\Delta t} (u_{i+1} - u_i) \right] \quad (27-4)$$

۲.۱.۴ روش لکس-وندروف

این روش که در سال ۱۹۶۰ ارائه گشت، از جمله اولین روش‌های اختلاف محدود برای معادلات هذلولوی و با مشتقات جزئی بود. فرم کلی این الگوریتم به صورت

$$\begin{aligned} u_i^{n+1} &= u_i^n - \frac{\Delta t}{\Delta x} \frac{f_{i+1}^n - f_{i-1}^n}{2} + \\ &+ \frac{1}{2} \left(\frac{\Delta t}{\Delta x} \right)^2 \left[A_{i+1/2}^n (f_{i+1}^n - f_i^n) - A_{i-1/2}^n (f_i^n - f_{i-1}^n) \right] \end{aligned} \quad (28-4)$$

بوده و محاسبه ماتریس ژاکوبین در وسط بازه‌ها می‌باشد. لذا:



شکل ۴-۶: حجم کنترلی برای روش لکس-فردیش

$$A_{i+1/2} = \frac{(u_i + u_{i+1})}{2}, \quad A_{i-1/2} = \frac{(u_i + u_{i-1})}{2} \quad (29-4)$$

از طرف دیگر ضریب بزرگنمایی به شکل زیر استخراج می‌گردد:

$$G = 1 - 2 \left(\frac{\Delta t}{\Delta x} A \right)^2 (1 - \cos \phi) - 2i \frac{\Delta t}{\Delta x} A \sin \phi \quad (30-4)$$

که این به معنی داشتن محدوده پایداری مشابه روش لکس-فردیش برای این الگوریتم است.

یعنی لازمه کوچکتر از یک بودن G اینست که $|\Delta t / \Delta x| u_{\max} \leq 1$.

۳.۱.۴ روش مک‌کورمک

این روش در سال ۱۹۶۹ مطرح گشته و در قالب نوعی پیش‌بینی-اصلاح روش لکس-وندروف بیان می‌گردد. مرحله اول (مرحله پیش‌بینی) به صورت

$$u_i^* = u_i^n - \frac{\Delta t}{\Delta x} (f_{i+1}^n - f_i^n) \quad (31-4)$$

و مرحله دوم (مرحله تصحیح) به شکل زیر تعریف می‌گردند:

$$u_i^{n+1} = \frac{1}{2} \left[u_i^n + u_i^* - \frac{\Delta t}{\Delta x} (f_i^* - f_{i-1}^*) \right] \quad (32-4)$$

که در آن f_i^* را برابر با مقدار $2 / {}_i^2 u^*$ می‌باشد؛ با ساده کردن این عبارات می‌توان به راحتی فرم اختلاف محدود الگوریتم را به دست آورد. اما برای این روش، شرط پایداری مشابه الگوریتم لکس-وندروف است.

۴.۱.۴ روش رازانوف (برستین-میرین)^۱

فرم کلی این روش مرتبه سوم که بطور همزمان و در سال ۱۹۷۰ توسط رازانوف و برستین-میرین ارائه گشت، دارای سه مرحله است. در مرحله اول داریم:

$$u_{i+1/2}^{(1)} = \frac{1}{2} (u_{i+1}^n + u_i^n) - \frac{1}{3} \frac{\Delta t}{\Delta x} (f_{i+1}^n - f_i^n) \quad (33-4)$$

اما رابطه مربوط به مرحله دوم به شکل زیر است:

$$u_i^{(2)} = u_i^n - \frac{2}{3} \frac{\Delta t}{\Delta x} (f_{i+1/2}^{(1)} - f_{i-1/2}^{(1)}) \quad (34-4)$$

و نهایتاً در مرحله سوم داریم:

$$\begin{aligned} u_i^{n+1} &= u_i^n - \\ &- \frac{1}{24} \frac{\Delta t}{\Delta x} (-2f_{i+2}^n + 7f_{i+1}^n - 7f_{i-1}^n + 2f_{i-2}^n) - \\ &- \frac{3}{8} \frac{\Delta t}{\Delta x} (f_{i+1}^{(2)} - f_{i-1}^{(2)}) - \frac{\omega}{24} (u_{i+2}^n - 4u_{i+1}^n + 6u_i^n - 4u_{i-1}^n + u_{i-2}^n) \end{aligned} \quad (35-4)$$

که آخرین جمله در مرحله سوم دارای دیفرانسیل مرکزی مرتبه چهارم می‌باشد:

$$(\Delta x)^4 \frac{\partial^4 u}{\partial x^4} = u_{i+2}^n - 4u_{i+1}^n + 6u_i^n - 4u_{i-1}^n + u_{i-2}^n \quad (36-4)$$

و از طرف دیگر ω پارامتر دلخواهی بوده و برای ایجاد پایداری به روش اضافه گشته است؛ وقتیکه به بررسی پایداری پرداخته می‌شود، ضریب بزرگنمایی به صورت زیر بدست خواهد آمد:

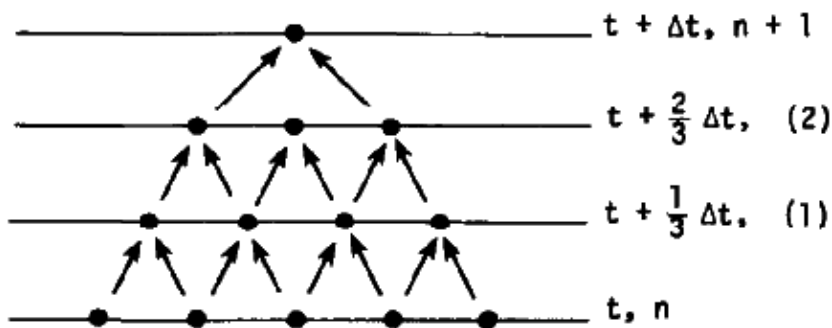
^۱ Rusanov (Burstein-Mirin) Algorithm

$$G = \left\{ 1 - \left(\frac{\Delta t}{\Delta x} u \right)^2 \frac{\sin^2 \phi}{2} - \frac{\omega}{6} (1 - \cos \phi) \right\} + i \frac{\Delta t}{\Delta x} u \sin \phi \times \\ \times \left\{ 1 + \frac{1}{3} (1 - \cos \phi) \left[1 - \left(\frac{\Delta t}{\Delta x} u \right)^2 \right] \right\} \quad (37-4)$$

و به این نتیجه می‌توان رسید که شرط پایداری به صورت

$$\begin{cases} \left| \left(\frac{\Delta t}{\Delta x} u \right) u_{\max} \right| \leq 1, \\ 4 \left| \left(\frac{\Delta t}{\Delta x} u \right) u_{\max} \right|^2 - \left| \left(\frac{\Delta t}{\Delta x} u \right) u_{\max} \right|^4 \leq \omega \leq 3 \end{cases} \quad (38-4)$$

می‌باشد. از سوی دیگر، به طور کلی شماتیک هرمی روی نقاط و گره‌های شبکه برای این روش به صورت شکل ۷-۴ است.



شکل ۷-۴: بررسی شماتیک وضعیت استفاده از گره‌های شبکه برای الگوریتم رازانوف

۱.۵.۱.۴ الگوریتم وارمینگ-کاتلر-لومکس (WKL)^۱

همانطور که قبلاً و در حل معادله موج خطی بیان شد، این روش به صورت مرتبه سوم طرح شده و از روش مک‌کورمک برای دو مرحله اول (تا حدود $\Delta t / 3$) و از الگوریتم رازانوف در گام سوم استفاده می‌شود. به طور کلی، مرحله اول این روش به شکل زیر می‌باشد:

$$u_i^{(1)} = u_i^n - \frac{2}{3} \frac{\Delta t}{\Delta x} (f_{i+1}^n - f_i^n) \quad (39-4)$$

به همین ترتیب برای مرحله دوم داریم:

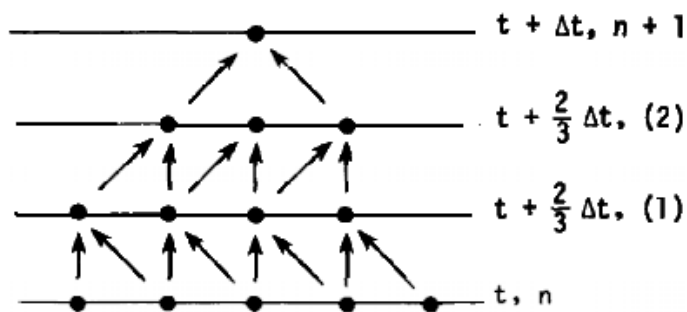
^۱ Warming-Kutler-Lomax (WKL) Algorithm

$$u_i^{(2)} = \frac{1}{2} \left[u_i^n + u_i^{(1)} - \frac{2}{3} \frac{\Delta t}{\Delta x} (f_i^{(1)} - f_{i-1}^{(1)}) \right] \quad (40-4)$$

و بالاخره مرحله سوم به شکل زیر نوشته می‌شود:

$$\begin{aligned} u_i^{n+1} &= u_i^n - \\ &- \frac{1}{24} \frac{\Delta t}{\Delta x} (-2f_{i+2}^n + 7f_{i+1}^n - 7f_{i-1}^n + 2f_{i-2}^n) + \\ &- \frac{3}{8} \frac{\Delta t}{\Delta x} (f_{i+1}^{(2)} - f_{i-1}^{(2)}) - \frac{\omega}{24} (u_{i+2}^n - 4u_{i+1}^n + 6u_i^n - 4u_{i-1}^n + u_{i-2}^n) \end{aligned} \quad (41-4)$$

در هر جای رابطه بالا و برای معادله برگر، f با هر نمادی معادل $u^2 / 2$ در نظر گرفته می‌شود. محدوده پایداری این روش مشابه روش رازانوف بوده و بعلاوه، معادله بهبودیافته آن هم عیناً معادله‌ای همانند روش رازانوف می‌باشد. از سویی، مزیت این روش بر روش رازانوف در عدم استفاده از نقاط بین سلولی در شبکه (مثل $i/2 + 1$) است. شماتیک استفاده از نقاط شبکه برای این روش هم در شکل ۴-۸ نشان داده شده است.



شکل ۴-۸: شماتیک وضعیت استفاده از گره‌های شبکه برای الگوریتم WKL

۴.۶.۶ روش‌های مرتبه سوم تنظیم شده^۱

پارامتر ω که در مرحله سوم دو روش قبل مورد استفاده قرار گرفت، به دلخواه و در محدوده ارضای پایداری انتخاب می‌گردد. سابقاً این پارامتر در ابتدای محاسبات و به طور یکسان در سلول شبکه، انتخاب می‌شد. اما اگر جمله میرایی عددی بر اساس قانون بقا برای مرحله سوم دو روش قبل، به

^۱ - Tuned 3rd Order Methods

صورت $\frac{\partial}{\partial x} \left(\omega \frac{\partial^3 \omega}{\partial x^3} \right)$ تعیین گردد، آنگاه ممکن است مقدار ω در طول محاسبات از نقطه به نقطه تغییرات کند و بقای شار اصلاحی در شبکه تضمین شود. بر اساس این رهیافت، جمله حاوی پارامتر

ω در آخرین مرحله هر دو روش رازانوف و WKL را می‌توان به صورت

$$\begin{aligned} & \frac{-\omega_{i+1/2}^n}{24} (u_{i+2}^n - 3u_{i+1}^n + 3u_i^n - u_{i-1}^n) + \\ & + \frac{-\omega_{i-1/2}^n}{24} (u_{i+1}^n - 3u_i^n + 3u_{i-1}^n - u_{i-2}^n) \end{aligned} \quad (42-4)$$

نوشت. حالا مقادیر $\omega_{i+1/2}^n$ بر اساس عدد کورانت مؤثر^۱ در شبکه عددی تغییر خواهد کرد. وارمینگ پیشنهاد کرد که برای کاهش خطای اتلافی^۲ یا پخشی^۳ این پارامترها در هر نقطه از شبکه محاسباتی تعیین گردد. با بحث روی معادله بهبود یافته^۴ روش می‌توان نوشت:

$$\begin{aligned} \omega_{i+1/2}^n &= \frac{(4\nu_{i+1/2}^2 + 1)(4 - \nu_{i+1/2}^2)}{5}, \\ \omega_{i-1/2}^n &= \frac{(4\nu_{i-1/2}^2 + 1)(4 - \nu_{i-1/2}^2)}{5} \end{aligned} \quad (43-4)$$

که تنها مقدار نامشخص، اعداد کورانت مؤثر $\nu_{i\pm 1/2}$ هستند. وارمینگ برای این پارامترها پیشنهاد کرد که بر اساس متوسط نقاط استفاده شده در مرحله سوم روش‌های یاد شده، محاسبه گردد؛ یعنی

$$\nu_{i+1/2} = \frac{1}{4} (\lambda_{i+2} + \lambda_{i+1} + \lambda_i + \lambda_{i-1}) \frac{\Delta t}{\Delta x} \quad (44-4)$$

و به طور مشابه

$$\nu_{i-1/2} = \frac{1}{4} (\lambda_{i+1} + \lambda_i + \lambda_{i-1} + \lambda_{i-2}) \frac{\Delta t}{\Delta x} \quad (45-4)$$

که λ_i مقدار مشخصه محلی در گره i است. البته برای معادله برگر این مقدار درست برابر همان u است.

^۱ Effective Courant Number (CFL or ν)

^۲ Dissipative

^۳ Dispersive

^۴ MDE

۷.۱.۴ روش ذوزنقه‌ای^۱ (TCIM)

این الگوریتم که حالت اختلاف مرکزی زمان و به شکل ضمنی است، در واقع به شکل زیر روی معادله برگر اعمال می‌گردد:

$$u_i^{n+1} = u_i^n - \frac{\Delta t}{2} \left[\left(\frac{\partial f}{\partial x} \right)^n + \left(\frac{\partial f}{\partial x} \right)^{n+1} \right] \quad (46-4)$$

با تعریف این روش، براحتی قابل درک است که ما نیاز مبرمی به استفاده از تکنیک‌های تکرار یا خطی‌سازی برای حل چنین روش و مسئله غیرخطی خواهیم داشت؛ از این رو بیم و وارمینگ (۱۹۷۶) مدل زیر را پیشنهاد دادند:

$$f^{n+1} \approx f^n + \left(\frac{\partial f}{\partial u} \right)^n (u^{n+1} - u^n) = f^n + A^n (u^{n+1} - u^n) \quad (47-4)$$

پس

$$u_i^{n+1} = u_i^n - \frac{\Delta t}{2} \left[2 \left(\frac{\partial f}{\partial x} \right)^n + \frac{\partial}{\partial x} \left\{ A \left(u_i^{n+1} - u_i^n \right) \right\} \right] \quad (48-4)$$

که اگر مشتقاتی که نسبت به x با اختلاف دیفرانسیل‌های مرکزی مرتبه دوم جایگزین گردند، آنگاه پس از ساده‌سازی عبارت زیر را می‌توان نوشت:

$$\begin{aligned} & -\frac{\Delta t A_{i-1}^n}{4 \Delta x} u_{i-1}^{n+1} + u_i^{n+1} + \frac{\Delta t A_{i+1}^n}{4 \Delta x} u_{i+1}^{n+1} = \\ & = -\frac{\Delta t}{\Delta x} \frac{f_{i+1}^n - f_{i-1}^n}{2} - \frac{\Delta t A_{i-1}^n}{4 \Delta x} u_{i-1}^n + u_i^n + \frac{\Delta t A_{i+1}^n}{4 \Delta x} u_{i+1}^n \end{aligned} \quad (49-4)$$

همان‌طور که قبل اشاره شد، برای معادله برگر ژاکوبین A المان تکی u را شامل می‌شود. دیده خواهد شد که خطی‌سازی بیم و وارمینگ، منجر به دستگاه معادلات جبری خطی خواهد شد که از نوع سیستم‌های مثلثی و قابل حل با الگوریتم توomas می‌باشد. اما همان‌طور که برای روش مشابه اعمالی به معادله موج یک‌بعدی دیده شد، این الگوریتم برای هر گام زمانی دلخواه پایدار است. البته

^۱ Trapezoidal (CTCS type) method

با اضافه کردن یک جمله ویسکوزیته مصنوعی به شکل دیفرانسیل مرتبه چهارم جهت هموارسازی تحلیل عددی در فرم

$$-\frac{\omega}{8} \left(u_{i+2}^n - 4u_{i+1}^n + 6u_i^n - 4u_{i-1}^n + u_{i-2}^n \right) \quad (50-4)$$

دقت الگوریتم بدون تغییر مانده و روند شبیه‌سازی عددی بهتر خواهد شد. حال روش بیم-وارمینگی که عبارت صریح میرایی نوشته شده به آن اضافه گردیده است، برای محدوده $1 \leq \omega < 0$ پایدار خواهد شد؛ همانطور که ملاحظه می‌شود همچنان محدودیتی برای گام زمانی وجود ندارد. البته روش بیم و وارمینگ استفاده کننده از اختلاف دیفرانسیل رو به عقب هم وجود دارد. برای این، با توجه به معادله غیرخطی برگر و گسته‌سازی آن به شکل:

$$u^{n+1} = u^n - \Delta t \left(\frac{\partial f}{\partial x} \right)^{n+1} \quad (51-4)$$

اگر مراحل بالا با دیفرانسیل‌گیری رو به عقب مجدداً تکرار گردند، پس از مجزا کردن عبارات گام زمانی جدید از قدیم، رابطه زیر را می‌توان نوشت:

$$\begin{aligned} -\frac{\Delta t A_{i-1}^n}{2\Delta x} u_{i-1}^{n+1} + u_i^{n+1} + \frac{\Delta t A_{i+1}^n}{2\Delta x} u_{i+1}^{n+1} = \\ = -\frac{\Delta t}{\Delta x} \frac{f_{i+1}^n - f_{i-1}^n}{2} - \frac{\Delta t A_{i-1}^n}{2\Delta x} u_{i-1}^n + u_i^n + \frac{\Delta t A_{i+1}^n}{2\Delta x} u_{i+1}^n \end{aligned} \quad (52-4)$$

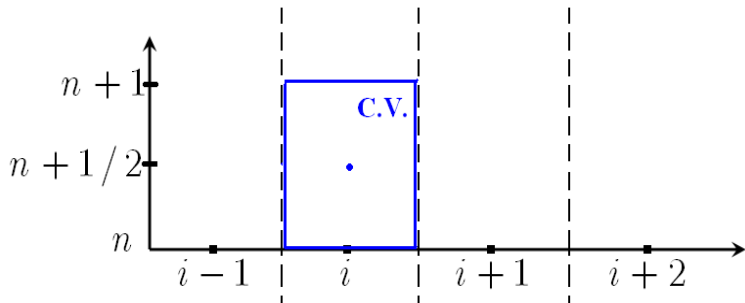
که باز این روش به فرم مثلثی و منجر به حل با استفاده از الگوریتم توماس خواهد شد. از طرفی این روش به تنها یی به صورت بی‌قید و شرط پایدار است؛ اما باز اضافه کردن یک جمله میرایی جهت بهبود نتیجه عددی لازم است.

۸.۱.۴ روش گادانوف^۱

روش‌های عددی‌ای که تاکنون روی معادله برگر اعمال شدند از بسط سری تیلور استفاده می‌نمودند تا تقریبی از مقدار متغیر وابسته را در گام زمانی بعدی بدست آورند. سری‌های تیلور در هر جایی که

^۱ Godunov Scheme

شرايط همگرائي اين سري‌ها ايجاد مي‌شود، خوب کار کرده و تابعی هموار را تقریب مي‌زنند. در حقیقت، برای حالتی که از یک روش اختلاف محدود استفاده می‌شود، فرض بر این است که تقریب با این سري‌ها وسیله خوبی برای بدست آوردن تقریب اختلافی برای تابعی پیوسته و حتی الامکان دارای مشتقات پیوسته باشد؛ اما این امر هنگامی که موج شوکی و یا هر ناپيوستگي ديگري وجود داشته باشد صادق نیست. به دیگر سخن در تحلیل‌های عددی می‌توان یک گام به جلو برداشت و تقابل بین روش گسسته‌سازی و خواص فیزیکی را با اعمال اطلاعات از تحلیل‌های دقیق روی معادلات اویلر در نظر گرفت؛ گادانوف (۱۹۵۹)، همین مسئله را مطرح کرده و با استفاده از روش حجم محدود، حل معادلات بقا و تحلیل مقدار شار را در سطح مشترک سلول‌های شبکه با ارائه حل مسئله ریمان محلی در آن سطح ارائه کرد. در این بخش، به تعریف این دسته از روش‌ها که موسوم به روش‌های گادانوف هستند، پرداخته و به صورت خاص به اعمال این روش‌ها را بر روی معادله برگر پرداخته می‌شود.



شکل ۴-۹: تعیین حجم کنترلی برای روش گادانوف

مجددآً معادله (۴-۲۱) را در حالت غیر لزج و حجم کنترل نشان داده شده در شکل ۹-۴ را در نظر بگیرید؛ در روش گادانوف فرض بر اینست که تحلیل عددی در یک زمان خاص، به صورت تکه‌ای ثابت^۱ روی هر سلول شبکه بوده و با گسترش و تکامل زمان به گام بعدی با استفاده از مرز سلول‌های مجاور انجام پذیرد. اما از طرفی معلوم و بدیهی است که سطح مشترک این نوع سلول‌های تکه به تکه ثابت، دو حالت جریان مختلف را به شکل ناپيوسته (شبیه مسئله ریمان) از هم جدا می‌کند: u_L در طرف چپ و u_R در طرف راست. از این رو می‌توان نتیجه کار را از دوباره حل کردن

^۱ piecewise constant

مسئله با شرایط پیش‌تر، در زمان $n\Delta t = t$ و به صورت فرض داشتن مسئله ریمان محلی^۱ در هر مرز دو سلول، بدست آورد. اما برای اینکه سلول‌ها و سطح تماس آن‌ها در شبکه، به‌طور کامل قابل تحلیل باشند، شرایط خاصی از عدد CFL لازم است. همانگونه که بعداً نشان داده می‌شود، این روش از جمله روش‌های صریح و مرتبه اول از نوع پادبادسو است. باید حجم کنترلی از $t + \Delta t$ به t از $\left(i, n + \frac{1}{2}\right)$ به $x - \Delta x/2$ کشیده می‌شود. اگر حجم کنترلی به صورت مرکزی در انتخاب شود، تقریب عددی برای متغیر وابسته مسئله به صورت زیر می‌تواند نتیجه گردد:

$$\bar{u}_i^{n+1} = \bar{u}_i^n - \frac{\Delta t}{\Delta x} [f(u_{i+1/2}) - f(u_{i-1/2})] \quad (53-4)$$

که در این معادله، مقدار \bar{u} به صورت

$$\bar{u}_i = \frac{1}{\Delta x} \int_{x-\Delta x/2}^{x+\Delta x/2} u(x, t) dx \quad (54-4)$$

تعریف و متوسط‌گیری می‌شود. از طرفی جمله شار هم مقدار متوسط زمانی شار روی سطوح حجم کنترلی می‌باشد. یعنی

$$f = \frac{1}{\Delta t} \int_t^{t+\Delta t} f dt \quad (55-4)$$

روش گادانوف، به حل یک مسئله ریمان محلی در هر سطح مشترک سلولی می‌پردازد تا مقدار شار لازم را جهت پیشرفت حل عددی در مراحل بعد بدست آورد. از طرفی مسئله ریمان برای حالت خاص معادله برگر به فرم

$$\frac{\partial u}{\partial t} + \frac{\partial}{\partial x} \left(\frac{u^2}{2} \right) = 0 \quad (56-4)$$

و با شرایط اولیه

¹ Local

$$u(x,0) = \begin{cases} u_i & x \leq 0 \\ u_{i+1} & x > 0 \end{cases} \quad (57-4)$$

می‌باشد. هندسه مسأله در شکل ۱۰-۴ ترسیم شده است. در هر سطح اشتراکی بین سلولی و به طور محلی، فن انبساطی یا شوکی شروع شده و با زمان رشد می‌کند. از این رو چندین حالت مختلف برای حل این مسأله ایجاد می‌شود. با نوتاسیون

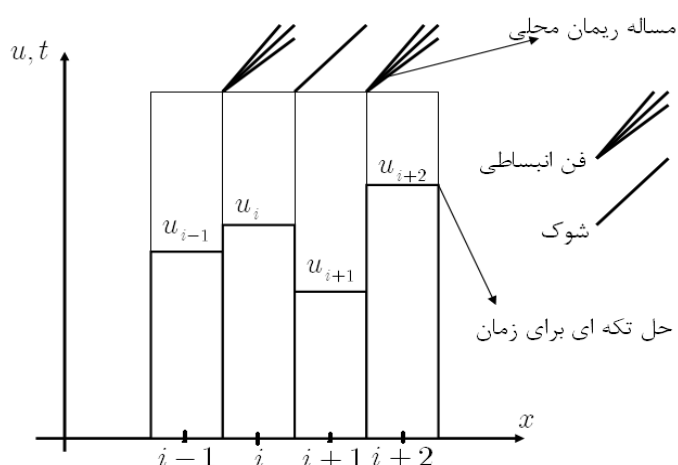
$$c_{i+1/2} = \left(\frac{du}{dt} \right)_{i+1/2} = \frac{u_i + u_{i+1}}{2} \quad (58-4)$$

حالت اول، برای امواج شوک می‌باشد:

$$u_i > u_{i+1};$$

$$u = \begin{cases} u_i & x/t < c_{i+1/2} \\ u_{i+1} & x/t > c_{i+1/2} \end{cases}, \quad (59-4)$$

$$f_{i+1/2} = \begin{cases} \frac{1}{2} u_i^2 & c_{i+1/2} > 0 \\ \frac{1}{2} u_{i+1}^2 & c_{i+1/2} < 0 \end{cases}$$



شکل ۱۰-۴: هندسه و حل محلی مسأله ریمان در سطوح مشترک المان‌ها (روش گادانوف)

و حالت دوم هم حالتی برای بیان فن انبساطی است:

$$u_i < u_{i+1} ;$$

$$u = \begin{cases} u_i & x/t < u_i \\ x/t & u_i < x/t < u_{i+1} \\ u_{i+1} & x/t > u_{i+1} \end{cases}, \quad (60-4)$$

$$f_{i+1/2} = \begin{cases} 0 & u_i < 0 < u_{i+1} \\ \frac{1}{2} u_i^2 & c_{i+1/2} > 0, \quad u_{i+1} > u_i > 0 \\ \frac{1}{2} u_{i+1}^2 & c_{i+1/2} < 0, \quad u_i < u_{i+1} < 0 \end{cases}$$

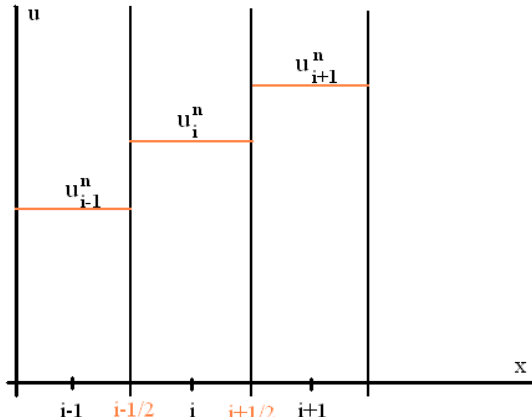
لذا با استناد به رابطه (۴-۵۳)، شارهای لازم برای تحلیل گام زمانی بعدی فراهم خواهند شد. به منظور انجام حل عددی راحت‌تر برای متغیرهای حالت در مرز سلول‌ها و جهت تضمین عدم تداخل امواج در سلول‌های مجاور، حرکت موج تنها در نصف مسافت سلول فرض می‌گردد. در نتیجه محدودیت پایداری برای روش گادانوف به صورت زیر است:

$$\left| u_{\max} \frac{\Delta t}{\Delta x} \right| \leq \frac{1}{2} \quad (61-4)$$

که هر چه مقدار این عبارت به صفر نزدیکتر و از $0/5$ دورتر باشد نتایج بهتری حاصل می‌گردد. به بیانی بهتر، خلاصه‌تر و در قالب سه مرحله، می‌توان روش گادانوف را توضیح داد. این سه مرحله عبارتند از:

۵. تعیین یک تقریب تکه‌ای ثابت حل در مرحله زمانی n ام، مطابق شکل ۴-۱۱؛ بدین منظور تقریب تکه به تکه ثابت، متوسط حل روی سلول‌ها به اندازه Δx بوده و خطأ از مرتبه Δx و روش از نوع مرتبه اول در مکان می‌باشد. باز به جهت تعیین مقادیر u روی هر تکه معادله جابه‌جایی یک‌بعدی را در نظر بگیرید؛ با انتگرال‌گیری می‌توان داشت:

$$\frac{d}{dt} \int_a^b u dx = f(a, t) - f(b, t) \quad (62-4)$$

شکل ۱۱-۴: یک تقریب تکه‌ای ثابت حل در مرحله زمانی n ام

با انتگرال‌گیری مجدد، می‌توان به رابطه زیر رسید:

$$\int_a^b u^{n+1} dx - \int_a^b u^n dx = -\Delta t [f(u(a)) - f(u(b))] \quad (۶۳-۴)$$

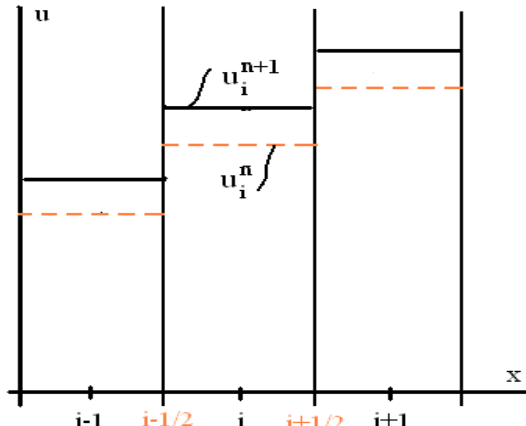
که f متوسط زمانی تابع شار در فواصل $n\Delta t$ و $(n+1)\Delta t$ می‌باشد. با این تعاریف و با ساده کردن رابطه (۶۳-۴) به صورت متوسط‌گیری روی بازه $(i-1/2, i+1/2)$ می‌توان نوشت:

$$\bar{u}_i^{n+1} = \bar{u}_i^n - \frac{\Delta t}{\Delta x} [f(u_{i+1/2}) - f(u_{i-1/2})] \quad (۶۴-۴)$$

۶. بدست آوردن حل دقیق مسئله ریمان یک بعدی به شکل محلی در سطح مشترک سلول‌ها و تعیین مقادیر شار عددی از روی آن؛ به طور کلی، این مرحله به مرحله فیزیکی الگوریتم گادانوف معرف است (شکل ۱۰-۴).

۷. متوسط‌گیری از متغیرهای حالت بعد از یک گام زمانی. پس از اتمام مرحله قبل می‌توان نوشت:

$$u^{(R)} = u^{(R)} \left(\frac{x - [i + 1/2]\Delta x}{t - n\Delta t}, u_i^n, u_i^{n+1} \right) \quad (۶۵-۴)$$



شکل ۴: متوسطگیری از مقادیر دچار اغتشاشات بعد از یک گام زمانی

بالا نویس R اشاره به حل ریمان دارد؛ با این تحلیل، تقریب جدیدی برای تکه‌های ثابت به دست می‌آید (شکل ۴-۱۲). بیان ریاضی جملات گفته شده به شکل زیر است:

$$\begin{aligned}\bar{u}_i^{n+1} &= \frac{1}{\Delta x} \int_{i-1/2}^{i+1/2} u^{(R)}(x, [n+1]\Delta t) dx \\ \bar{u}_i^{n+1} &= \frac{1}{\Delta x} \int_{-\Delta x/2}^0 u^{(R)}\left(\frac{\xi}{\Delta t}, u_i^n, u_{i+1}^n\right) d\xi + \\ &\quad + \frac{1}{\Delta x} \int_0^{\Delta x/2} u^{(R)}\left(\frac{\xi}{\Delta t}, u_{i-1}^n, u_i^n\right) d\xi\end{aligned}\quad (۶۶-۴)$$

از این به بعد برای راحتی کار، از علامت متوسطگیری ($\bar{\cdot}$) روی پارامترها صرفنظر می‌شود.

در الگوریتم توضیح داده شده، برای حالتی که سرعت موج مثبت می‌باشد ($a > 0$)، ناپیوستگی به مقدار $a\Delta t$ و بدون هیچ اصلاحی به سمت راست سلول i ام شیفت می‌یابد. از این‌رو مقدار جدید متوسط روی سلول i ام عبارت است از:

$$u_i^{n+1} = \frac{1}{\Delta x} \int_{i-1/2}^{i+1/2} u^n(x - a\Delta t) dx \quad (۶۷-۴)$$

۹.۱.۴ روش رو^۱

حل معادله برگر به وسیله روش گادانوف برای انجام گرفت و نتایج خوبی گرفته شد. اما به هر حال، وقتی این روش جهت تحلیل معادلات حاکم بر جریان گاز اعمال می‌گردد، لازم است تا

^۱ Roe Scheme

تکنیک‌های تکرار بی‌بازده محاسباتی روی تمامی سلول‌ها، انجام گیرد. رو (۱۹۸۰-۱۹۸۱) یکی از راه‌های گریز از این زمینه را ارائه کرد. وی حل مسئله خطی زیر را پیشنهاد داد:

$$\frac{\partial u}{\partial t} + \bar{A} \frac{\partial u}{\partial x} = 0 \quad (68-4)$$

که در آن \bar{A} ماتریس ثابت، به حالت $\partial f / \partial u$ و وابسته به موقعیت محلی است. البته در حالت خاص (اینجا معادله برگر)، ماتریس \bar{A} به صورت اسکالر و تک المانی می‌باشد. ماتریس \bar{A} برای ارضای آنچه که رو آن را خاصیت u نامید، ایجاد شده و باید شرایط زیر را شامل شود:

۱. برای هر u_i و u_{i+1} ,

$$f_{i+1} - f_i = \bar{A}(u_{i+1} - u_i) \quad (69-4)$$

۲. هنگامی که $u = u_i = u_{i+1}$ ، آنگاه

$$\bar{A}(u_i, u_{i+1}) = \bar{A}(u, u) = \frac{\partial f}{\partial u} = u \quad (70-4)$$

شرط اول برای تضمین بازتولید صحیح پرش^۱ در هنگام وقوع ناپیوستگی‌ها بوده و شرط دوم برای ایجاد و تبدیل مقدار صحیحی از ژاکوبین (در این حالت سرعت موج غیرخطی) در نواحی هموار^۲ می‌باشد.

با اعمال روش رو روی معادله برگر \bar{u} مقدار ثابتی بوده و به مقدار متوسط \bar{A} برمی‌گردد. حال اگر مسئله خطی

$$\frac{\partial u}{\partial t} + \bar{u} \frac{\partial u}{\partial x} = 0 \quad (71-4)$$

در نظر آورده شود که در آن مقدار \bar{u} برای دو سلول مجاور i و $i+1$ ام از اولین شرط بالا تعیین می‌گردد. یعنی:

¹ jump

² Smooth Regions

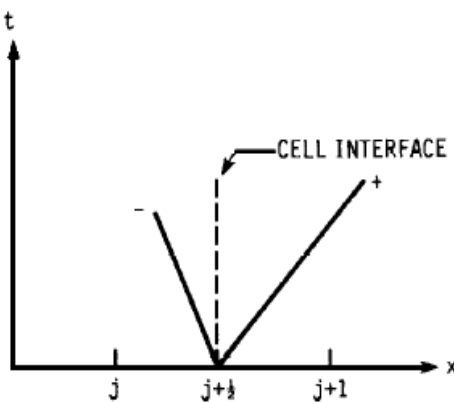
$$\bar{u} = \bar{u}_{i+1/2} = \frac{f_{i+1} - f_i}{u_{i+1} - u_i} \quad (72-4)$$

لذا معادله برگر منجر به رابطه زیر خواهد شد.

$$\bar{u}_{i+1/2} = \begin{cases} \frac{u_i + u_{i+1}}{2} & \text{for } u_i \neq u_{i+1} \\ u_i & \text{for } u_i = u_{i+1} \end{cases} \quad (73-4)$$

این اطلاعات، مسئله ریمان غیرخطی را به یک حالت خطی تقلیل داده و روابط رنکین-هوگونیوت مستقیماً رابطه بین پرش در شار و پرش در متغیر وابسته u را برای یک موج می‌دهند. یعنی:

$$f_{i+1} - f_i = \bar{u}_{i+1/2} (u_{i+1} - u_i) \quad (74-4)$$



شکل ۴-۱۳: دیاگرام موج برای روش رو که به معادله برگر اعمال شود.

در نتیجه، این حل کننده ریمان تنها به تشخیص ناپیوستگی‌ها می‌پردازد و قادر به تمیز انبساط‌هایی که شامل ناپیوستگی و یا شوک می‌شوند، نیست. به منظور اصلاح این حقیقت، مسئله تقریب ریمان را برای معادله برگر مطابق شکل ۱۳-۴ در نظر بگیرید. برای این حالت به راحتی می‌توان دید که موج یکتایی از سطح مشترک سلول نشأت می‌گیرد. این موج بسته به $\bar{u}_{i+1/2} = dx/dt$ در هر دو جهت مثبت یا منفی قابل انتشار است. با استفاده از تعاریف می‌توان نوشت:

$$f_{i+1/2} - f_i = \bar{u}_{i+1/2}^- (u_{i+1} - u_i) \quad (75-4)$$

یا

$$f_{i+1} - f_{i+1/2} = \bar{u}_{i+1/2}^+ (u_{i+1} - u_i) \quad (76-4)$$

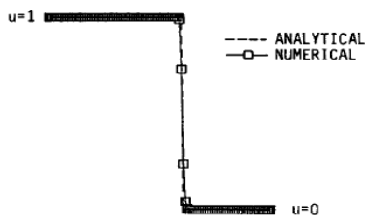
که از این رو شار عددی را می‌توان به فرم متقارن و به حالت زیر نوشت:

$$f_{i+1/2} = \frac{f_i + f_{i+1}}{2} + \frac{1}{2} (\bar{u}_{i+1/2}^- - \bar{u}_{i+1/2}^+) (u_{i+1} - u_i) \quad (77-4)$$

اگر توزیع و انتشار موج را برای دو حالت راست و چپ به صورت مجزا بررسی کنیم، شار عددی در یک رابطه می‌تواند خلاصه شود:

$$f_{i+1/2} = \frac{f_i + f_{i+1}}{2} - \frac{1}{2} |\bar{u}_{i+1/2}| (u_{i+1} - u_i) \quad (78-4)$$

شکل ۴-۴ نشان‌دهنده محاسبه انتشار ناپیوستگی توسط روش رو است که نتایج، تطابق خوبی را با حل دقیق نشان می‌دهند.

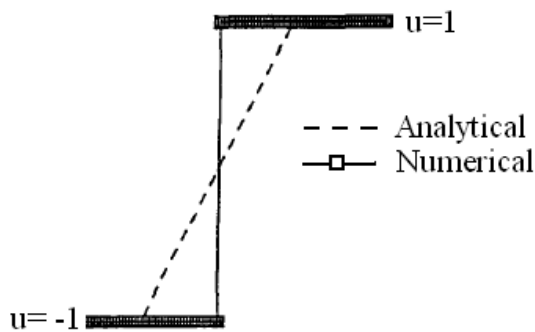


شکل ۴-۴: حل عددی ناپیوستگی به کمک روش رو

محدوده پایداری روش رو، مشابه محدوده متداول الگوریتم‌های صریح و به صورت $CFL < 1$ می‌باشد. اما اگر دقت گردد می‌توان متوجه شد که فرمولاسیون رو، به انتشار اختلاف متغیرهای وابسته در دو نقطه‌ای که مابین آنها ناپیوستگی وجود دارد، می‌پردازد که نتیجه این کار ظهور احتمالی شرایط غیر فیزیکی فن انبساطی است؛ در روش برگر مسئله مهم، به صفر رسیدن $\bar{u}_{i+1/2}$ می‌باشد. پدید آمدن این امر در حالت تحول صوتی (نقطه بحرانی $a(u^*) = 0$) بوده و مثال کلاسیک این زمینه، حل روش رو با شرایط اولیه

$$u = \begin{cases} -1 & 0 < x \leq x_0 \\ +1 & x_0 < x \leq L \end{cases} \quad (79-4)$$

می‌باشد. حل تحلیلی و دقیق این مثال به صورت فن انبساطی متumerکز در $x = x_0$ است که در شکل ۱۵-۴ به همراه حل رو نشان داده شده است؛ در این تحلیل شرایط اولیه به خوبی نمایش داده شده در حالیکه شوک انبساطی نادرست است. این امر همان گونه که پیش از این هم به آن اشاره شد، به خاطر عدم توانایی الگوریتم در قائل شدن تمایز بین شوک‌های تراکمی و انبساطی می‌باشد.



شکل ۱۵-۴: بررسی حل مسائل با فن انبساطی توسط روش رو

در اصل وجود فن انبساطی ناقض شرط انتروپی و مجاز کننده شرایط فیزیکی نادرست است. اولینیک^۱ (۱۹۵۷) و پس از آن لکس (۱۹۷۳) به ارائه شرایطی پرداختند که روش‌های حل ناپیوستگی معادلات هذلولوی باید آنها را ارضاء کنند و در بخش‌های بعد به آن اشاره خواهد شد. بیان ساده شرطی که به معادله برگر اعمال می‌شود به صورت زیر است:

$$u_R < \left(\frac{dx}{dt} \right)_{x_0} < u_L \quad (80-4)$$

که u_R و u_L به ترتیب مقادیر طرفهای راست و چپ ناپیوستگی هستند. شرایط اولیه برای فن این شرط را نقض می‌کند و باعث حذف شوک‌های انبساطی خواهند شد. یعنی برخلاف روش

^۱ Oleinik

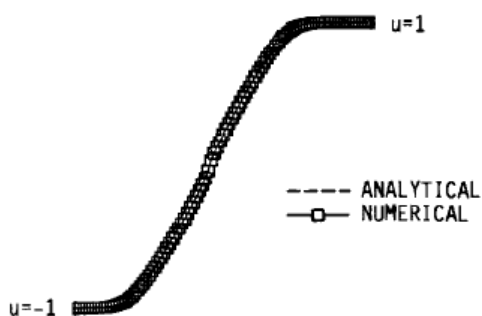
گادانوف، اصلاح عددی لازم است. از جمله روش‌های انجام این عملیات، توسط هارتمن و هیمن^۱ (۱۹۸۳) به صورت اصلاح $\bar{u}_{i+1/2}$ ارائه گشته است؛ فرض کنید:

$$\varepsilon = \max\left(0, \frac{u_{i+1} - u_i}{2}\right) \quad (81-4)$$

آنگاه

$$\bar{u}_{i+1/2} = \begin{cases} \bar{u}_{i+1/2} & \bar{u}_{i+1/2} \geq \varepsilon \\ 0 & \bar{u}_{i+1/2} < \varepsilon \end{cases} \quad (82-4)$$

حالت تراکمی ($\varepsilon = 0$) بدون تغییر از الگوریتم استفاده می‌کند تا ناپیوستگی را انتشار دهد؛ در حالی که وضعیت فن انبساطی ($\varepsilon = \frac{u_{i+1} - u_i}{2}$) نیازمند تصحیح است. شکل ۱۶-۴ مقایسه حل مثال ذکر شده توسط روش رو با تحلیل دقیق بوده و نشان‌دهنده مطابقت بسیار خوب این دو روش می‌باشد؛ البته این امر از روش مرتبه اولی مثل الگوریتم رو که دارای خاصیت اتلافی و رفتاری هموار (بدون نوسانات) در حل عددی می‌باشد، منطقی به نظر می‌رسد. اصلاح روش رو به شیوه بالا در واقع افزودن مقدار کافی از خاصیت اتلافی در موقعی است که نقطه بحرانی یا صوتی ($a(u^*) = 0$) اتفاق می‌افتد.



شکل ۱۶-۴: فن انبساطی بدست آمده با روش راو و مقایسه آن با نتایج حل دقیق

^۱ Harten and Hyman

۱۰.۱.۴ روش تقریب اوشر^۱

این تقریب، نشأت گرفته از روش‌های پادبادسو می‌باشد و از الگوی زیر کار خود را شروع می‌کند:

$$\begin{cases} \text{if } a(u) = \frac{\partial f}{\partial u} \geq 0 \rightarrow \text{FTBS scheme} \\ \text{if } a(u) = \frac{\partial f}{\partial u} < 0 \rightarrow \text{FTFS scheme} \end{cases} \quad (83-4)$$

برای یک تابع شار که برای آن رابطه $f''(u) > 0$ برقرار است، مقدار بحرانی که به مقدار صوتی^۲

هم معروفست، پارامتری منحصر به فرد بوده و بیان آن با رابطه زیر می‌باشد:

$$a(u^*) = 0 \quad (84-4)$$

همانطور که پیش از این هم دیده شد، با تعریف این نقطه مشکلات تازه‌ای ایجاد می‌شود؛ چون علامت $a(u)$ در نقطه مذکور تغییر می‌کند، مدیریت روش سخت شده و انتخاب نوع پادبادسو دقت خاصی را می‌طلبد. در این حالت از یک فرآیند سوئیچ استفاده می‌کنیم؛ به این ترتیب که یک تابع سوئیچ به نام $(u)\mu$ و معروف به روش مارمن-کول^۳ به صورت

$$\mu = \begin{cases} 0 & \text{if } a(u) < 0 \text{ or } u < u^* \\ 1 & \text{if } a(u) \geq 0 \text{ or } u \geq u^* \end{cases} \quad (85-4)$$

تعریف می‌کنیم. از این رو برای قسمت‌های مثبت و منفی شار (ناشی از امواج با شبیه دارای همین علامت) می‌توان رابطه‌های زیر را اراده کرد:

$$\begin{cases} f^+(u) = \mu f(u) \\ f^-(u) = (1 - \mu) f(u) \end{cases} \quad (86-4)$$

که با توجه به روابط بالا می‌توان نوشت:

^۱ Osher Approximation

^۲ sonic value

^۳ Murman-Cole (MC method)

$$f = f^+ + f^- \quad (87-4)$$

لذا این روش به صورت زیر خواهد شد:

$$\begin{aligned} u_i^{n+1} = u_i^n - \frac{\Delta t}{\Delta x} [f^+(u_i) - f^+(u_{i-1})] - \\ - \frac{\Delta t}{\Delta x} [f^-(u_{i+1}) - f^-(u_i)] \end{aligned} \quad (88-4)$$

۱۱.۱.۴ الگوریتم انکوئیست - اوشر^۱

در بخش معرفی روش راو دیده شد که در آن، هر دو موج تراکمی و انبساطی بوسیله ناپیوستگی‌ها جایگزین شدند. اوشر و انکوئیست (۱۹۸۰-۱۹۸۱) تغییرات متغیر وابسته را در طول امواج به صورت یک تحول پیوسته در مکان بحث کرده و روشی را ایجاد کردند که دارای خاصیت یکنواختی است و هر دو موج تراکمی و انبساطی را به درستی بحث می‌کند. در این روش، ناپیوستگی‌های شوکی در حل دقیق مسئله ریمان با امواج تراکمی ملایم و هموار^۲ جایگزین شده‌ی و ناپیوستگی‌ها اغلب با دو نقطه میانی دوباره حل می‌شوند. محدوده پایداری این تقریب‌زننده حل ریمان، با محدوده پایداری معمول در روش‌های صریح (یعنی $1 < \nu$) مطابقت دارد.

شارهای f^+ و f^- در حالت خاص از این الگوریتم و برای یک تابع شار محدب (کوثر) مثل حالت شار معادله برگر، به صورت زیر تعریف می‌شوند:

$$f^+ = f[\max(u, u^*)], \quad f^- = f[\min(u, u^*)] \quad (89-4)$$

در این تحلیل، موقعیت نقطه صوتی در سوئیچ شدن انتگرال‌گیری مشخص می‌شود. اما مطابق رابطه (۸۷-۴) شار در هر مکان به صورت جمع سهم امواج عبوری با شبکهای مثبت و منفی نوشته می‌شود. در هر حالت (کلی)، هر کدام از مؤلفه‌های رابطه یاد شده به صورت زیر محاسبه خواهند شد:

^۱ Enquist-Osher

^۲ Smooth

$$\begin{aligned} f^+(u) &= \int_{\xi=0}^{\xi=u} \mu(\xi) f'(\xi) d\xi \\ f^-(u) &= \int_{\xi=0}^{\xi=u} [1 - \mu(\xi)] f'(\xi) d\xi \end{aligned} \quad (90-4)$$

در رابطه بالا پارامتر سوئیچ طبق رابطه (۸۵-۴) تعریف گشته و برای معادله برگر عبارت (ξ) برابر $2/\xi^2$ بیان می‌گردد. با این نوتاسیون و نیز با استفاده از الگوریتم راو، می‌توان شار عددی سطح مشترک سلول‌ها را با شروع از هر دو طرف آن بدست آورد:

$$\begin{aligned} f_{i+1/2} &= f_i + \int_{u_i}^{u_{i+1}} [1 - \mu(\tau)] f'(\tau) d\tau , \\ f_{i+1/2} &= f_{i+1} - \int_{u_i}^{u_{i+1}} \mu(\tau) f'(\tau) d\tau \end{aligned} \quad (91-4)$$

لذا شار عددی ذکر شده به فرم متقارن خواهد شد:

$$f_{i+1/2} = \frac{f_i + f_{i+1}}{2} - \frac{1}{2} \int_{u_i}^{u_{i+1}} |u| du \quad (92-4)$$

که مشتق شار، ژاکوبین را ارائه داده و از این رو عبارت سوئیچ با $|u|$ جایگزین می‌گردد. با این تعریف شار در سطح مشترک سلول‌ها، فرم درست معادله برگر به فرم زیر بازنویسی می‌شود که در حالت هم‌علامتی u_i و u_{i+1} می‌توان گفت:

$$f_{i+1/2} = \begin{cases} u_{i+1}^2 / 2 & u_i, u_{i+1} < 0 \\ u_i^2 / 2 & u_i, u_{i+1} > 0 \end{cases} \quad (93-4)$$

و در موقعیتی که علامت u_i و u_{i+1} مخالف یکدیگر باشد، می‌توان گفت:

$$f_{i+1/2} = \begin{cases} 0 & u_i < 0 < u_{i+1} \\ (u_i^2 + u_{i+1}^2) / 2 & u_i > 0 > u_{i+1} \end{cases} \quad (94-4)$$

به بیانی دیگر هم می‌توان به شار عددی $f_{i+1/2}$ در این روش دست یافت؛ بدین ترتیب که اگر به فرم زیر شارهای مثبت و منفی تعریف شوند:

$$\begin{cases} f^+(u) = \int_0^u \max[f', 0] d\xi \equiv \int_0^u a^+(\xi) d\xi \\ f^-(u) = \int_0^u \min[f', 0] d\xi \equiv \int_0^u a^-(\xi) d\xi \end{cases} \quad (95-4)$$

آنگاه:

$$\begin{aligned} f_{i+1/2} &= \int_0^{u_i} \mu f'(u) du + \\ &\quad + \int_0^{u_{i+1}} [1 - \mu] f'(u) du \\ &= \int_0^{u_i} \mu f'(u) du + \\ &\quad + \int_0^{u_i} [1 - \mu] f'(u) du + \int_{u_i}^{u_{i+1}} [1 - \mu] f'(u) du \\ &= \int_0^{u_i} \mu f'(u) du + \int_0^{u_i} f'(u) du - \\ &\quad - \int_0^{u_i} \mu f'(u) du + \int_{u_i}^{u_{i+1}} [1 - \mu] f'(u) du \end{aligned} \quad (96-4)$$

یا

$$f_{i+1/2} = f_i + \int_{u_i}^{u_{i+1}} [1 - \mu] f'(u) du \equiv f_i + \int_{u_i}^{u_{i+1}} a^-(u) du \quad (97-4)$$

و از این رو برای گام زمانی بعد می‌توان داشت:

$$u_i^{n+1} = u_i^n - \frac{\Delta t}{\Delta x} \left\{ \int_{u_{i-1}}^{u_i} \mu f'(u) du + \int_{u_i}^{u_{i+1}} [1 - \mu] f'(u) du \right\} \quad (98-4)$$

۱۲.۱.۴ الگوریتم‌های پادبادسوی مرتبه دوم به بالا^۱

بعنوان مقدمه‌ای روی این بخش، به این یادآوری می‌پردازیم که مشکل برخی روش‌های پادبادسوی در دارا بودن آنها از یک ضعف حل عددی یا به دیگر سخن، وجود نوسان‌هایی^۲ حول نقطه ناپیوستگی بود؛ به هر حال مرتب بالاتر روش پادبادسو دارای چنین ضعفی هستند و همانطور که خواهیم دید، با استی محدودیت‌هایی همچون انتروپی، تغییرات کلی و یکنواختی حل عددی (برای

¹ Higher-Order Upwind Schemes

² Over- and Under-shoots

هماهنگی با فیزیک مسئله) رعایت شوند. اما تنها راه غلبه بر این محدودیت‌ها و شرایط، استفاده از مؤلفه‌های غیرخطی است. این مؤلفه‌ها و در کنار آنها گسته‌سازی، بیان‌کننده غیر خطی بودن کامل آنها می‌باشد، حتی اگر این محدودیت‌ها به الگوریتم‌های خطی اعمال شوند.

این مفاهیم اولین بار توسط ون‌لیر^۱ و بوریس- بوک^۲ به ترتیب در سال‌های ۱۹۷۳ و ۱۹۷۶ میلادی، تحت عنوان محدودکننده‌ها^۳ مطرح شد که با کنترل گرادیان‌های حل عددی از بروز نوسانات جلوگیری می‌کردند. اما برای طرح چنین محدودکننده‌ها در روش حل عددی، ابتدا لازم است که الگوریتم‌های مرتبه دوم پادبادسوی موجود را بررسی و مرور کلی کرده و در ادامه آن به بحث این محدودکننده‌ها پردازیم.

در روند اعمال روش‌های اختلاف محدود برای حل معادلات با مشتقات جزیی، با قراردادن نقاط بیشتری در فرم استنسیل^۴، یک تقریب مرتبه بالا بدست خواهد آمد. در روش‌های پادبادسو، یک مشتق درجه اول را می‌توان با دو نقطه به فرم مرتبه اول تقریب زد و این در حالی است که سه نقطه برای یک بیان تقریب مرتبه دوم و ... لازم می‌باشد. به عبارتی می‌توان گفت که الگوریتم‌های با دقت مرتبه دوم و سوم، به ترتیب ناشی از تقریب خطی و سهموی روی هر سلول و دارای خطای قطع^۵ از مرتبه Δx^2 و Δx^3 می‌باشند.

در حل کننده‌های ریمان، یک تقریب مرتبه بالا به وسیله مقادیر شار در مرزهای حجم کنترلی بیان می‌شود. البته در رهیافت الگوریتم گادانوف، متغیرهای حالت در حجم کنترلی ثابت فرض می‌شوند که این فرض برای متدهای مرتبه اول کافی است. ونلیر (۱۹۷۹) این ایده را گسترش داد که در هر سلول شبکه، متغیرهای حالت می‌توانند تغییرات داشته باشند. در این ایده هم مجدداً مقادیر متوسط سلولی از حل ریمان برای بیان تغییر فرض شده در هر حجم کنترلی استفاده می‌شود. یقیناً این ایده منجر به یک برونویابی با دقت و مرتبه بالاتر در بدست آوردن شار یا متغیرهای حالت در مرزهای

¹ Van-Leer

² Boris & Book

³ Limiters

⁴ Stencil

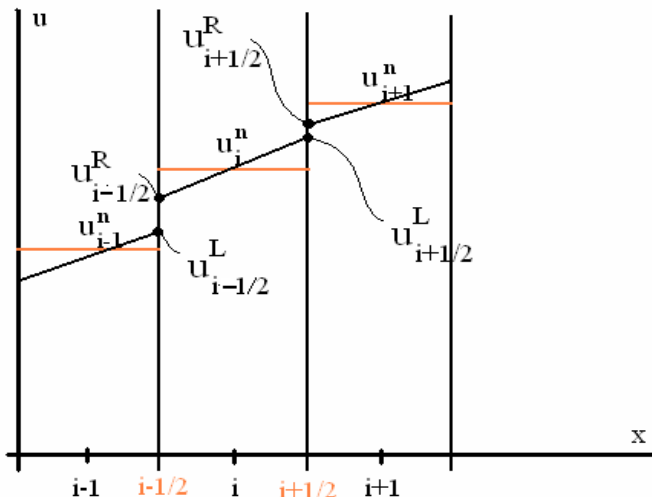
⁵ Truncation Error (T.E.)

سلول‌ها خواهد شد. برای چنین بروندیابی، ولنیر عبارت "الگوریتم‌های با اختلاف بالادست مرکزی یکنوا برای قوانین بقا^۱" را ابداع کرد که به اختصار به روش‌های MUSCL معروف هستند.

همانگونه که ذکر شد، در روش مرتبه اول گادانوف، مقدار متوسط متغیر وابسته به صورت مقدار ثابت آن متغیر در سلول شبکه تنظیم می‌شود؛ اما در روش‌های مرتبه بالا، بسته به دقت و مرتبه دلخواه و مطلوب، متغیرهای وابسته به صورت برازش منحنی با یک چندجمله‌ای مرتبه دلخواه در هر سلول، بدست می‌آیند. برای سادگی بحث تقریب تکه‌ای خطی مطابق شکل ۴-۱۷ را در نظر بگیرید. برای سلول Ω بیان تغییرات برای u ، یک تابع موقعیت در سلول می‌باشد و متوسط مقدار u به سلول اختصاص داده می‌شود. با استفاده از سری تیلور برای حجم کنترل می‌توان نوشت:

$$u_{i+1/2} = u_i + \frac{\Delta x}{2} (u_x)_i + \frac{(\Delta x)^2}{8} (u_{xx})_i + \dots \quad (49-4)$$

که مشتقات به صورت متوسط سلولی بدست می‌آیند.



شکل ۴-۱۷: گسسته‌سازی به شیوه الگوریتم پادبادسوی مرتبه دوم

لذا مطابق این بسط تیلور، برای بیان متغیرهای سلول Ω که در آن طرف مقادیر راست و چپ معلوم است، معمولاً^۱ بروندیابی زیر انجام می‌پذیرد:

^۱ Monotone Upstream-Centered Schemes for Conservation Laws (MUSCL)

$$\left\{ \begin{array}{l} u_{i+1/2}^L = u_i + \frac{1}{2}(\delta u_i) + \frac{k}{4}(\delta^2 u_i) + \dots \\ = u_i + \frac{1-k}{4}\delta u_{i-1/2} + \frac{1+k}{4}\delta u_{i+1/2} \\ = u_i + \frac{1-k}{4}(u_i - u_{i-1}) + \frac{1+k}{4}(u_{i+1} - u_i) \\ \\ u_{i-1/2}^R = u_i - \frac{1}{2}(\delta u_i) + \frac{k}{4}(\delta^2 u_i) + \dots \\ = u_i - \frac{1+k}{4}\delta u_{i-1/2} - \frac{1-k}{4}\delta u_{i+1/2} \\ = u_i - \frac{1+k}{4}(u_i - u_{i-1}) - \frac{1-k}{4}(u_{i+1} - u_i) \end{array} \right. \quad (100-4)$$

با مقدار دادن به k ، حالت‌های مختلفی رخ می‌دهد. برای نمونه

$$k = \begin{cases} -1 & \text{upwind scheme} \\ 0 & \text{Fromm's method} \\ 1 & \text{Central differenc} \end{cases} \quad (101-4)$$

همچنین می‌توان پارامتری مثل ϵ تعريف کرد و هر دو روش مرتبه اول و دوم را با آن پوشش داد. به بیان دیگر:

$$\left\{ \begin{array}{l} u_{i+1/2}^L = u_i + \frac{\epsilon}{4}[(1-k)(u_i - u_{i-1}) + (1+k)(u_{i+1} - u_i)] \\ u_{i-1/2}^R = u_i - \frac{\epsilon}{4}[(1+k)(u_i - u_{i-1}) + (1-k)(u_{i+1} - u_i)] \end{array} \right. \quad (102-4)$$

به همین ترتیب برای $u_{i+1/2}^R$ در طرف راست سطح مشترک می‌توان گفت:

$$u_{i+1/2}^R = u_{i+1} - \frac{\epsilon}{4}[(1+k)(u_{i+1} - u_i) + (1-k)(u_{i+2} - u_{i+1})] \quad (103-4)$$

حال اگر ϵ برابر با صفر باشد حالت الگوریتم پادبادسوی مرتبه اول ایجاد شده و با قراردادن مقادیر مختلف دیگر بهجای ϵ و k دقت‌های مرتب بالا تولید خواهند شد. الگوریتم‌های پادبادسو

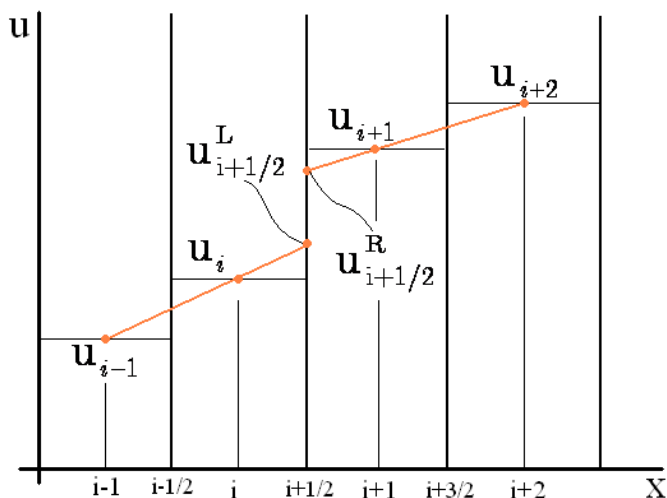
برای حالت بروندابی خطی که در آن $-1 = k$ و مطابق با شکل ۱۸-۴ است، به صورت زیر خواهد شد:

$$\begin{cases} u_{i+1/2}^L = u_i + \frac{\varepsilon}{2}(u_i - u_{i-1}) \\ u_{i+1/2}^R = u_i - \frac{\varepsilon}{2}(u_{i+2} - u_{i+1}) \end{cases}, k = -1 \quad (104-4)$$

که در آن با فرض $\varepsilon = 1$ دقیقاً به معادلات مرتبه دوم رسیده می‌شود. حالت دیگر، میان‌بابی خطی بین بالادست و پایین‌دست نقطه منظور با $k = 0$ است که برای آن عبارات زیر داده می‌شود:

$$\begin{cases} u_{i+1/2}^R = u_{i+1} - \frac{\varepsilon}{4}(u_{i+2} - u_i) \\ u_{i+1/2}^L = u_i + \frac{\varepsilon}{4}(u_{i+1} - u_{i-1}) \end{cases}, k = 0 \quad (105-4)$$

و مجدداً برای داشتن روش‌های مرتبه دوم می‌بایست حالت $\varepsilon = 1$ را در نظر گرفت.



شکل ۱۸-۴: گسسته‌سازی سه نقطه‌ای با $k = -1$ به روش پادبادسوی مرتبه دوم

اما اگر $k = 1$ در نظر گرفته شود، عبارات زیر بدست خواهد آمد:

$$\begin{cases} u_{i+1/2}^L = u_i + \frac{\varepsilon}{2}(u_{i+1} - u_i) \\ u_{i-1/2}^R = u_i - \frac{\varepsilon}{2}(u_i - u_{i-1}) \end{cases} \quad (106-4)$$

به راحتی می‌توان دید که در این حالت و برای الگوریتم‌های مرتبه دوم ($\varepsilon = 1$)، تقریب هر نقطه به صورت میانگین حسابی اعداد همسایه‌اش محاسبه می‌گردد؛ کاراکتر و مشخصه پادبادسو بودن روش حذف شده و الگوریتم مذکور به فرم مرکزی^۱ در می‌آید. لذا در این حالت، ناپیوستگی خاصی در سطح مشترک سلول‌ها وجود نخواهد داشت:

$$\left\{ \begin{array}{l} u_{i-1/2}^R = \frac{u_i + u_{i-1}}{2} \\ u_{i+1/2}^R = \frac{u_{i+1} + u_i}{2} \\ u_{i+1/2}^L = \frac{u_{i+1} + u_i}{2} \end{array} \right\} \rightarrow \text{No discontinuity!} \quad , k = 1 \quad (107-4)$$

حال یک بار دیگر تمامی ایده‌های بالا در ذهن مرور کرده و هدف اصلی را که محاسبه شار عددی چنین روش‌هایی (مراتب بالای پادبادسو) می‌باشد، دنبال کنید. این هدف همانگونه که پیش از این به آن اشاره شده است جهت نیل به تحلیل عددی متغیر وابسته در گام‌های زمانی مختلف در معادله برگر می‌باشد. برای انجام این مهم، می‌توان با تعریف شار عددی در روش مرتبه اول شروع کرد::

$$f_{i+1/2} = f(u_i, u_{i+1}) \quad (108-4)$$

آنگاه شار عددی مرتبه دوم به ترتیب زیر محاسبه خواهد شد:

$$f_{i+1/2}^{(2)} = f(u_{i+1/2}^L, u_{i+1/2}^R) \quad (109-4)$$

و به همین ترتیب برای نقاط دیگر شبکه تحلیل عددی (مثل $f_{i-1/2}$) کار ادامه می‌یابد. در نتیجه الگوریتم نیمه‌گسسته‌سازی شده پادبادسو، به شکل زیر درخواهد آمد:

^۱ central

$$\frac{du_i}{dt} = \frac{-1}{\Delta x} \left[f_{i+1/2}^{(2)} - f_{i-1/2}^{(2)} \right] \quad (110-4)$$

برای نمونه روش مرتبه اول راو^۱ را به شکل زیر در نظر بگیرید:

$$f_{i+1/2,Roe}^{(1)} = \frac{1}{2} (f_i + f_{i+1}) - \frac{1}{2} |\bar{A}|_{i+1/2} (u_{i+1} - u_i) \quad (111-4)$$

بیان مرتبه دوم این روش به حالت زیر در خواهد آمد:

$$\begin{aligned} f_{i+1/2,Roe}^{(2)} &= \frac{1}{2} \left[f(u_{i+1/2}^L) + f(u_{i+1/2}^R) \right] - \\ &- \frac{1}{2} |\bar{A}|_{i+1/2}^{(2)} \left[u_{i+1/2}^R - u_{i+1/2}^L \right] \end{aligned} \quad (112-4)$$

همانطور که پیش از این هم به آن اشاره شد، برای حالت معادله برگر مقدار $|\bar{A}|$ به صورت بوده و می‌توان عبارت بالا را به شکل زیر ساده کرد:

$$f_{i+1/2,Roe}^{(2)} = \frac{1}{2} \left[f(u_{i+1/2}^L) + f(u_{i+1/2}^R) - |\bar{u}_{i+1/2}| (u_{i+1/2}^R - u_{i+1/2}^L) \right] \quad (113-4)$$

که:

$$|\bar{u}_{i+1/2}| = \frac{f(u_{i+1/2}^R) - f(u_{i+1/2}^L)}{u_{i+1/2}^R - u_{i+1/2}^L} \quad (114-4)$$

حتی در اینجا دیگر می‌توان یک روش صریح دو مرحله‌ای (پیش‌بینی-اصلاح) را مثل لکس-وندروف دو مرحله‌ای که تولیدکننده دقت مرتبه دوم در زمان و در مکان است، ایجاد کرد؛ یعنی مرحله پیش‌بینی به فرم:

$$u_i^{n+1/2} = u_i^n - \frac{\Delta t}{2\Delta x} (f_{i+1/2}^n - f_{i-1/2}^n) \quad (115-4)$$

^۱ Roe scheme

بوده و در آن f شار مرتبه اول می‌باشد. حال برونویابی متغیری که پیش از این به آن اشاره شد، به جهت بدست آوردن مقادیر متغیر وابسته روی سطوح مشترک راست و چپ اعمال می‌گردد. در

نتیجه:

$$\begin{aligned} u_{i+1/2}^{L,n+1/2} &= u_i^{n+1/2} + \frac{1-k}{4} \delta u_{i-1/2}^{n+1/2} + \frac{1+k}{4} \delta u_{i+1/2}^{n+1/2} \\ u_{i+1/2}^{R,n+1/2} &= u_i^{n+1/2} - \frac{1+k}{4} \delta u_{i+1/2}^{n+1/2} - \frac{1-k}{4} \delta u_{i+3/2}^{n+1/2} \end{aligned} \quad (116-4)$$

اما مرحله اصلاح به شکل زیر خواهد بود:

$$u_i^{n+1} = u_i^n - \frac{\Delta t}{\Delta x} \left(f_{i+1/2}^{n+1/2} - f_{i-1/2}^{n+1/2} \right) \quad (117-4)$$

که در آن داریم:

$$f_{i+1/2}^{n+1/2} = f \left(u_{i+1/2}^{L,n+1/2}, u_{i+1/2}^{R,n+1/2} \right) \quad (118-4)$$

پایداری این روش وابسته به برونویابی استفاده شده برای بیان عبارات شار است. همانگونه که در بخش‌های قبل دیده شد برای روش‌های مرکزی عدد کورانت کمتر از ۱ برای پایداری لازم بود و برای روش‌های پادبادسو، محدوده مقادیر کمتر از عدد کورانت برابر ۲ را نیز می‌توانست شامل شود. لذا الگوریتم‌های پادبادسوی مرتبه بالا، محدودیت پایداری کمتری نسبت به روش‌های مرکزی دارند. در ادامه، به بررسی و مقایسه شار عددی مراتب اول و دوم و روابط مربوط به آنها با توجه به شکل ۱۹-۴ پرداخته می‌شود؛ برای یک شار مرتبه دوم داریم:

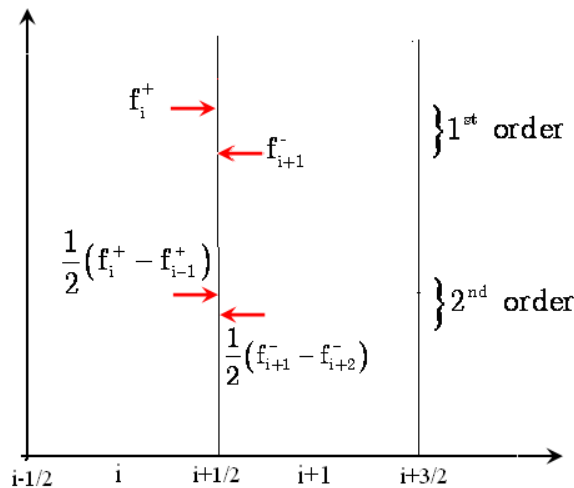
$$f_{i+1/2}^{(2)} = f_{i+1/2}^{+b} + f_{i+1/2}^{-f} \quad (119-4)$$

که در آن f و b به ترتیب نماینده اختلاف دیفرانسیلی رو به عقب و رو به جلو هستند. همچنین داریم:

$$\begin{cases} f_{i+1/2}^{+b} = f_i^+ + \frac{\varepsilon}{4} [(1-k)(f_i^+ - f_{i-1}^+) + (1-k)(f_{i+1}^+ - f_i^+)] \\ f_{i+1/2}^{-f} = f_{i+1}^- - \frac{\varepsilon}{4} [(1+k)(f_{i+1}^- - f_i^-) + (1-k)(f_{i+2}^- - f_{i+1}^-)] \end{cases} \quad (120-4)$$

لذا از رابطه (۱۱۹-۴) نتیجه گرفته می‌شود که:

$$\begin{aligned} f_{i+1/2}^{(2)} &= f_{i+1/2} + \frac{1}{2} \left[\frac{1-k}{2} (f_i - f_{i-1/2}) + \frac{1+k}{2} (f_{i+1} - f_{i+1/2}) \right] + \\ &\quad + \frac{1}{2} \left[\frac{1+k}{2} (f_i - f_{i+1/2}) + \frac{1-k}{2} (f_{i+1} - f_{i+3/2}) \right] \end{aligned} \quad (121-4)$$



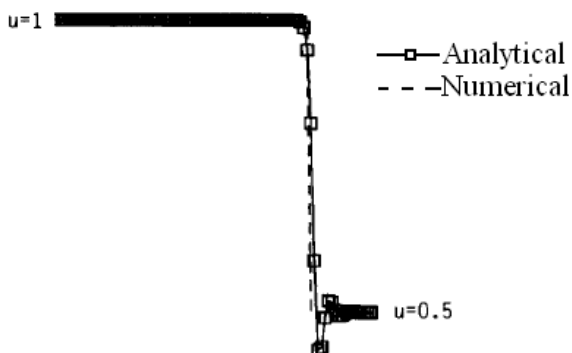
شکل ۱۹-۴: شماتیک تحلیل شارهای عددی برای الگوریتم‌های مرتبه اول و دوم

عبارت قبل را به فرم مرکزی هم می‌توان بیان کرد:

$$f_{i+1/2}^{(2)} = \frac{1}{2} (f_i + f_{i+1}) - \frac{1-k}{4} [f_{i+3/2} - 2f_{i+1/2} + f_{i-1/2}] \quad (122-4)$$

که به ازای تمامی مقادیر k ، صورت نوشته شده حالتی مرتبه دوم داشته و برای خطای قطع به عبارت $TE = (1-k)\Delta x^2 f_{xx} / 4$ می‌توان رسید. حال مجدداً به روش رو مرتبه دوم که در بالا به عبارت آن دست یافته شد، برگردید. شکل ۲۰-۴ نشان‌دهنده نتایج به دست آمده از اعمال روش‌های مرتبه دوم (راو مرتبه دوم) روی معادله برگر بوده و همانگونه که از ماهیت روش‌های مرتبه دوم

انتظار می‌رفت نوسانات در حل عددی بروز یافته‌اند. مطلوب اینست که این نوسانات را حذف و یا کم کرده و وضعیت یکنواخت پروفیل اولیه را حفظ کرد. بهبود نتایج وقتی حاصل می‌شود که با مفهوم محدودکننده‌ها آشنایی پیدا کرده و به جهت کاهش بالاروی‌ها و پایین‌روی‌های^۱ حل عددی، آنها را به الگوریتم اضافه کرد در بخش‌های آتی بیشتر به این مهم پرداخته خواهد شد.



شکل ۲۰-۴: روش رو مرتبه دوم بدون محدودکننده اعمال شده به معادله برگر

۱۳.۱۰.۴ الگوریتم پادبادسوی مرتبه دوم فروم^۲

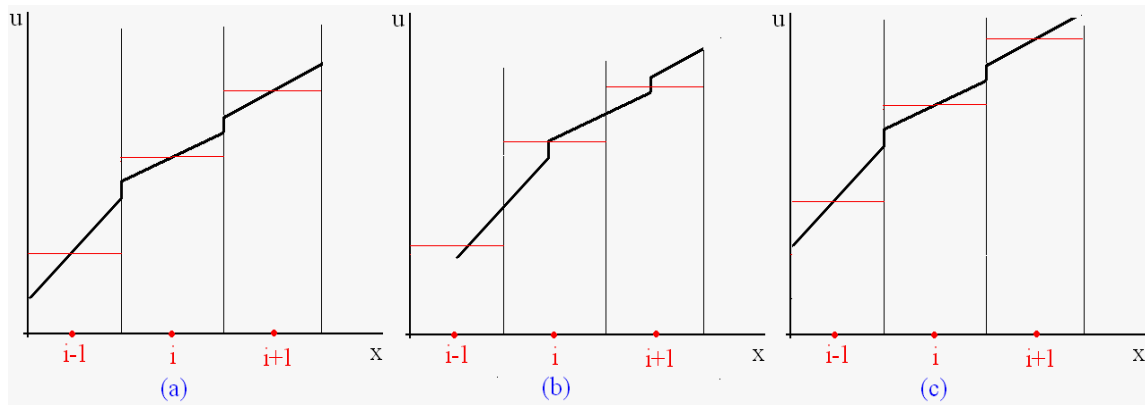
تا اینجا برای روش‌های تحلیل عددی به گسته‌سازی مکان با دقت مرتبه دوم و بالاتر از آن پرداخته شد، اما این امر برای هردوی زمان و مکان صورت نگرفت. جهت شروع این تحلیل می‌توان روشی با دقت مرتبه اول در زمان و مرتبه دوم در مکان را در نظر گرفت:

$$u_i^{n+1} = u_i^n - \frac{\Delta t}{\Delta x} \left(f_{i+1/2}^{(2)} - f_{i-1/2}^{(2)} \right) \quad (123-4)$$

که جملات آن قبلًا فرموله شده‌اند؛ این الگوریتم بی قید و شرط با مشکل ناپایداری مواجه است. از سوی دیگر مطابق شکل ۲۱-۴، انتشار موج با سرعت a و به اندازه $a\Delta t$ پس از هر گام زمانی Δt صورت می‌گیرد؛ در این شکل انتشار موج در سه حالت توزیع اولیه، پس از انتشار و در وضعیت جدید تقریب (تکه‌ای خطی) نشان داده شده است. به بیان ریاضی نیز می‌توان این تقریب را ارائه کرد:

¹ Over- and Under-shoots

² Fromm-scheme



شکل ۲۱-۴: گسته‌سازی مرتبه دوم مکان و زمان

(حالت a : توزیع و تقریب اولیه خطی، حالت b : انتشار طی یک گام زمانی ، و حالت c : خط جدید تقریب تکه‌ای روی شبکه)

$$u^n(x) = u_i^n + \frac{(x - x_i)(u_{i+1}^n - u_{i-1}^n)}{2\Delta x} \quad x_{i-1/2} < x < x_{i+1/2} \quad (124-4)$$

اگر حل مسئله هذلولوی ریمان به شکل زیر باشد:

$$u(x, t) = u^n(x - at) \quad (125-4)$$

آنگاه رابطه تقریب زمانی در گام بعدی زمان ($n+1$) خواهد شد:

$$u_i^{n+1} = \frac{1}{\Delta x} \int_{i+1/2}^{i-1/2} u^n(x - a\Delta t) dx \quad (126-4)$$

پس از انتگرال‌گیری، عبارت بالا به شکل زیر در خواهد آمد:

$$\begin{aligned} u_i^{n+1} = & \frac{\nu}{2} \left[u_{i-1/2}^L + u^n(x_{i-1/2} - a\Delta t) \right] + \\ & + \frac{(1-\nu)}{2} \left[u_{i-1/2}^R + u^n(x_{i+1/2} - a\Delta t) \right] \end{aligned} \quad (127-4)$$

چون این روش از جمله روش‌های با فرض تقارن ($k = 0$ و به صورت مرکزی) می‌باشد، از روابط (۱۰۵-۴) برای حل مسئله ریمان می‌توان نوشت:

$$\begin{aligned} u_i^{n+1} &= u_i^n - \nu(u_i^n - u_{i-1}^n) - \\ &- \frac{\nu(1-\nu)}{4}(u_{i+1}^n - u_i^n - u_{i-1}^n + u_{i-2}^n) \end{aligned} \quad (128-4)$$

این معادله در واقع همان روش فروم (۱۹۶۸) است که برای حل معادله جابه‌جایی یک‌بعدی خطی (مسئله ریمان) کاربرد دارد.

۱۴.۱.۴ روش انتقال تصحیحی شار^۱ (FCT)

همانطور که پیش از این هم اشاره شد، روش FCT، ترکیب دو روش با دقت‌های بالا و پایین است؛ که در آن روش با دقت بالا در نواحی هموار جریان اعمال می‌شود در حالیکه متند با دقت پایین نزدیک ناپیوستگی‌ها (به جهت دستیابی به یک راه حل یکنوا) اعمال می‌گردد. باز مراحل روش FCT به شکل زیر خلاصه می‌شود:

۱. محاسبه شار انتقالی روش با دقت پایین ($f_{i+1/2}^L$).

۲. محاسبه شار انتقالی روش با دقت بالا ($f_{i+1/2}^H$).

۳. محاسبه مقدار انتقالی و پخشی جدید و مرتبه پایین.

$$u_i^{TD} = u_i^n - \frac{\Delta t}{\Delta x_i} (f_{i+1/2}^L - f_{i-1/2}^L) \quad (129-4)$$

۴. تعیین شار ضد پخشی:

$$f_{i+1/2}^{AD} = f_{i+1/2}^H - f_{i+1/2}^L \quad (130-4)$$

۵. عاری کردن مرحله از نوسانات تحلیل عددی:

^۱ Flux-Corrected Transport (FCT)

$$f_{i+1/2}^C = C_{i+1/2} f_{i+1/2}^{AD} \quad \text{where} \quad 0 \leq C_{i+1/2} \leq 1 \quad (131-4)$$

۶. تعیین مقدار جدید u_i^{n+1} . یعنی:

$$u_i^{n+1} = u_i^{TD} - \frac{\Delta t}{\Delta x} \left(f_{i+1/2}^C - f_{i-1/2}^C \right) \quad (132-4)$$

اما در ادامه بحث روش FCT، سعی در ارائه نخستین تکنیک این زمینه را که توسط بوریس و بوک در سال ۱۹۷۳ مطرح گشت، می‌باشد. این تکنیک به صورت روش چند مرحله‌ای بوده و بیان آن در مرحله اول (مرحله پیش‌بینی) به شکل:

$$\text{Predictor : } \bar{u}_i = u_i^n - \frac{\Delta t}{\Delta x} \left\{ f_{i+1/2}^{B-B} - f_{i-1/2}^{B-B} \right\} \quad (133-4)$$

و در مرحله دوم (اصلاح) به صورت:

$$\text{Corrector : } u_i^{n+1} = \bar{u}_i - \frac{\Delta t}{\Delta x} \left\{ f_{i+1/2}^* - f_{i-1/2}^* \right\} \quad (134-4)$$

می‌باشد. شارهای استفاده شده در این دو مرحله به فرم زیر تعریف می‌شوند:

$$f_{i+1/2}^{B-B} = \frac{f_i^n + f_{i+1}^n}{2} - \frac{\Delta x}{\Delta t} \frac{\left[4\nu^2 + 1 \right]}{8} \left(u_{i+1}^n - u_i^n \right) \quad (135-4)$$

$$f_{i+1/2}^* = \frac{\Delta x}{\Delta t} \times \min \operatorname{mod} \left[\left(\bar{u}_i - \bar{u}_{i-1} \right), \frac{\left(\bar{u}_{i+1} - \bar{u}_i \right)}{8}, \left(\bar{u}_{i+2} - \bar{u}_{i+1} \right) \right] \quad (136-4)$$

لازم به ذکر است که تعریف کلیتابع آماری $\min \operatorname{mod}$ به صورت زیر می‌باشد:

$$\begin{aligned} \min \operatorname{mod}(x, y, z) &= \operatorname{sgn}(x) \times \\ &\max [0, \min \{ |x|, y \cdot \operatorname{sgn}(x), z \cdot \operatorname{sgn}(x) \}] \end{aligned} \quad (137-4)$$

۱۵.۱.۴ روش‌های با دقت تحلیل بالا^۱

در بخش‌های قبل دیده شد که الگوریتم‌های پادبادسو به تنها بی نمی‌توانند جلوی ایجاد نوسانات حول ناپیوستگی‌ها و ناشی از تحلیل عددی را بگیرند؛ از این رو واضح است که مفاهیم دیگری تبیین شوند تا مکانیزم تولید بالاروی و پایین‌روی^۲ حول وضعیت حل دقیق روش‌تر و اصلاح گردد.

تحلیل‌های فیزیکی معادلات اویلر و نویر-استوکس، به هیچ وجه ماهیت ایجاد نقاط اکسترمم در روند تکامل تحلیل را ندارند (این امر حداقل برای جریان یک‌بعدی به راحتی قابل اثبات است). از این رو نوسانات تولیدی، به خاطر تحلیل‌های عددی انجام شده می‌باشد.

ماهیت نوسانات و دلایل ایجاد آن‌ها

روشی مثل گادانوف (بخش‌های قبل) را که دارای دقت تحلیل مرتبه اول است، در نظر بگیرید؛ گذر از دقت مرتبه اول به دوم، شامل جایگزینی نحوه ارائه متغیرهای حالت از تکه‌ای ثابت روی هر سلول شبکه به تکه‌ای خطی می‌شود. بنابراین نوسانات موقعی شروع می‌شوند که در این بیان‌های تکه‌ای خطی، شبیب یک سلول از اختلاف مقادیر متوسط سلول‌های همسایه (کناری) بیشتر شود؛ همانگونه که در شکل ۲۳-۴ ملاحظه می‌شود، اگر شبیب سلول n ام خیلی زیاد باشد، حل معادله جابه‌جایی^۳ در گام زمانی $1+n$ ام (که با شیفت دادن به مقدار $a\Delta t$ در گام زمانی n ام بدست می‌آید) منجر به رابطه متوسط سلولی

$$u_i^{n+1} < u_{i-1}^{n+1} \quad (138-4)$$

خواهد شد؛ این در حالی است که این مقادیر در گام زمانی قبل به صورت زیر با یکدیگر رابطه داشته‌اند:

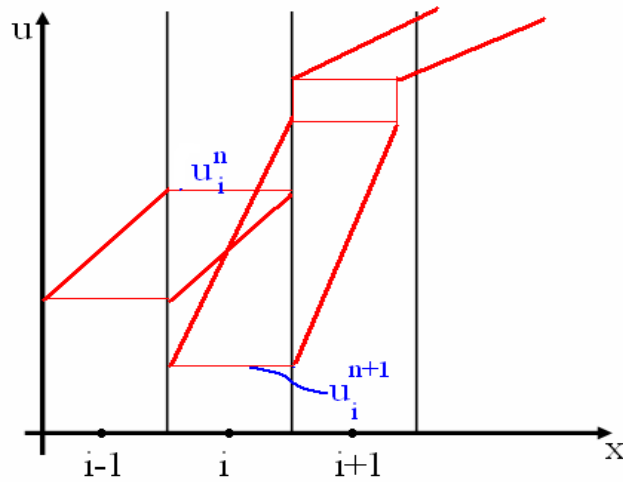
$$u_i^n > u_{i-1}^n \quad (139-4)$$

¹ High Resolution Schemes

² Over- and Under-shoots

³ Convection Equation

و از این رو یک بالاروی^۱ در حل زمان $n+1$ ام رخ خواهد داد. لذا جهت جلوگیری از نوسانات در یک تحلیل عددی بایستی از گرادیان‌های بزرگ جلوگیری شود؛ به دیگر سخن لازم است تا در هر گام زمانی گرادیان‌ها با محدوده درست چک شوند.



شکل ۲۲-۴: بررسی عوامل کلی تولید نوسانات در تحلیل‌های عددی

همانطور که اشاره شد حل معادله برگری که شامل نوسانات ناخواسته نشود منظور و مطلوب ماست و این امر زمانی حاصل می‌شود که شیب متغیرهای استفاده شده در بروندیابی به صورتی محدود شوند که مقادیر نقطه نهایی در سلول شبکه ایجاد مقدار جدید مینیمم یا ماکزیمم نکند. اگر فرض شود که $u_{i-1}^n > u_{i+1}^n$ باشد، مطلوب در واقع این است که:

$$u_{i-1/2}^R \geq u_{i-1}, \quad u_{i+1/2}^L \leq u_{i+1} \quad (140-4)$$

برای این حالت بروندیابی، یک کنترل ساده بوسیله محدودکننده‌های شیب قابل اجراست. بدین صورت که

$$\begin{aligned} u_{i+1/2}^L &= u_i + \frac{1-\kappa}{4} \Psi_{i-1/2}^+ \delta u_{i-1/2} + \frac{1+\kappa}{4} \Psi_{i+1/2}^- \delta u_{i+1/2} \\ u_{i+1/2}^R &= u_{i+1} - \frac{1+\kappa}{4} \Psi_{i+1/2}^+ \delta u_{i+1/2} - \frac{1-\kappa}{4} \Psi_{i+3/2}^- \delta u_{i+3/2} \end{aligned} \quad (141-4)$$

^۱ Under-shoot

در این معادلات مقادیر $\Psi_i^{\pm} \delta u_i$ در واقع همان شبکهای محدود شده هستند. حال تعداد زیادی محدودکننده قابل تعریف بوده و همانطور که در قسمت‌های آتی بخش ۱۵.۱.۴ اشاره خواهد شد، یکی از آن محدودکننده‌ها به صورت زیر می‌باشد:

$$\begin{aligned}\Psi_{i+1/2}^- \delta u_{i+1/2} &= \min \text{mod} \left\{ (u_{i+1} - u_i), \omega(u_i - u_{i-1}) \right\} \\ \Psi_{i+1/2}^+ \delta u_{i+1/2} &= \min \text{mod} \left\{ (u_{i+1} - u_i), \omega(u_{i+2} - u_{i+1}) \right\}\end{aligned}\quad (142-4)$$

در این روابط مقادیر κ مخالف ۱ و محدود مقادیر ω به شکل زیر است:

$$1 \leq \omega \leq \frac{3 - \kappa}{1 - \kappa} \quad (143-4)$$

باید به خاطر داشت که فرآیند عملکرد روش‌های پادبادسوسی با دقت تحلیل بالا، شامل جلوگیری از تولید نوسانات با دستکاری روی مکانیزم تولید آنهاست. این دستکاری‌ها مانند اعمال جملات اتلاف مصنوعی به متدهای مرکزی^۱ هستند که اجازه رشد نوسانات را از الگوریتم حل سلب کرده و آن‌ها را میرا می‌کنند.

گادانوف (۱۹۵۹) برای حل مشکل نوسانات، نشان داد که نهایتاً تمامی روش‌های خطی یکنوا می‌توانند به صورت مرتبه اول باشند؛ از این رو هر فرآیند خطی که گرادیان‌ها در روش مرتبه دوم آن‌ها محدود می‌شوند، نمی‌توانند هدف را برآورده سازند و لذا نیاز به استفاده از فاکتورهای دیگر اصلاح کننده و غیر خطی به نام محدودکننده‌ها احساس خواهد شد. بیان این فاکتورها اولین بار در سال ۱۹۷۳ و توسط ولنلیر^۲ مطرح شدند.

از آنجایی که نقش این محدودکننده‌ها، اعمال قید به روش‌های عددی جهت نزدیکی هر چه بیشتر به حل اویلر است، لذا تعریف و تبیین شرایط و خصوصیات ریاضی "غیرنوسانی" معادلات اویلر در ابتدای امر لازم به نظر می‌رسد. این شرایط عبارتند از:

۱. شرط انتروپی

۲. شرط یکنواهی

¹ central
² Van Leer

۳. شرط کاهش تغییرات کلی

شرط اول گفته شده، خیلی مرتبط با تحلیل رفتار نوسانی نیست؛ اما روش‌هایی را که طی آن‌ها انتروپی کاهش یافته و نقض قانون دوم ترمودینامیک تحقق می‌یابد، به‌طور فیزیکی غیرقابل پذیرش دانسته و آنرا مربوط به حل ضعیف عددی می‌داند؛ جهت تکمیل بحث‌های حاضر گادانوف (۱۹۵۹)، لکس (۱۹۷۳)، ونلیر (۱۹۷۹ و ۱۹۷۳) روی یکنواختی و روش‌های گادانوف مرتبه دوم بحث کرده و ماجدا و اوشر^۱ (۱۹۷۹)، کرندال^۲ (۱۹۸۰) و هارتمن (۱۹۸۳) مفهوم TVD را بیان کرده‌اند. ونلیر^۳ (۱۹۷۴) بسط متغیر وابسته را به مرزهای سلول‌ها محدود کرد تا بتواند از نوسانات حل عددی جلوگیری نماید. سویی‌بی^۴ (۱۹۸۴) و رو (۱۹۸۵) محدودکننده‌هایی را بر اساس مدل‌های TVD روش لکس-وندروف گسترش دادند، در حالی که هارتمن (۱۹۷۸) مفهوم شار اصلاحی را برای رسیدن به همان اثر اعمال کرد. در ادامه به بحث درباره خواص گفته شده خواهیم پرداخت.

شرط انتروپی^۵ برای معادلات غیرلزج

سیستم معادلات غیرلزج (اویلر) از نقطه نظر ریاضی فرم دیفرانسیلی معادلات بقا را ارضا نکرده ولی فرم انتگرالی آن‌ها (یا به‌طور کلی حل ضعیف) را ارضا می‌کند. این تحلیل‌ها، ارضا کننده روابط رنکین-هوگونیوت^۶ می‌باشند؛ اما به‌هرحال چندین روش حل ناپیوستگی وجود دارد که برخی از آنها مفهوم و معنی فیزیکی ندارند.

طبق قانون دوم ترمودینامیک (که بیان می‌کند در هر روند آدیباتیک واقعی و فیزیکی، انتروپی فقط اجازه افزایش طی تبدیل و انتقال سیستم را دارد) تنها فن‌های انساطی و شوک‌های تراکمی باقی می‌مانند که بعلت عدم قابلیت تبیین با پدیده‌های فیزیکی متناظر با کاهش انتروپی می‌باشند. از این‌رو مدل‌های جریان غیرلزج هیچ مکانیزم اتلاف داخلی (همچون اثرات ویسکوزیته) نداشته و لذا شرط دیگری بایستی به سیستم معادلات اضافه و اعمال گردد تا شوک یا ناپیوستگی‌های غیر فیزیکی، رد و حذف شوند. این شرط بهنام شرط انتروپی معروف است. در یک قانون بقای هذلولوی به‌فرم

¹ Majda and Osher

² Crandall

³ Sweby

⁴ Entropy Condition

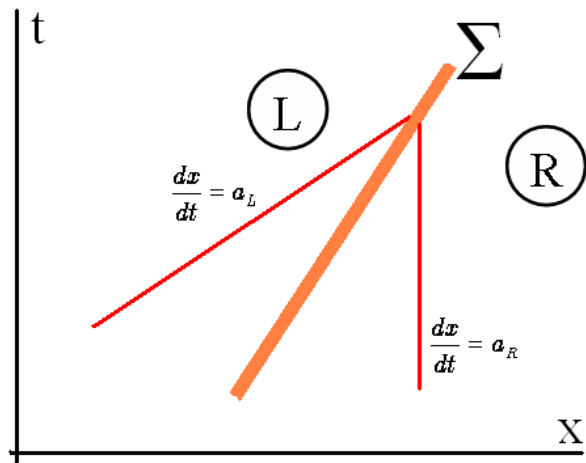
⁵ Rankin-Hogoniot Relations

$u_t + af_x = 0$ ، شرایط باید به گونه‌ای واقع گردند که در حل ناپیوستگی به صورت $u_L < u_R$ ، سرعت

موج $a(u) = f_u$ به شکل زیر باشد:

$$a_R = a(u_R) < c < a(u_L) = a_L \quad (144-4)$$

که c سرعت انتشار ناپیوستگی بوده و ارضا کننده روابط رنکین-هوگونیوت می‌باشد؛ u_L و u_R هم مقادیر متغیر وابسته در طرف‌های راست و چپ ناپیوستگی هستند. شرط انتروپی بیان می‌کند که مشخصه‌ها در هر طرف ناپیوستگی با سطح Σ به هم در آن سطح تلاقی یابند (شکل ۲۳-۴). این سطح می‌تواند همان شوک تراکمی باشد.



شکل ۲۳-۴: شرط انتروپی برای یک ناپیوستگی با سطح Σ

برای یک تابع شار به فرم

$$\frac{\partial a(u)}{\partial u} = \frac{\partial^2 f}{\partial u^2} = f_{uu} \quad (145-4)$$

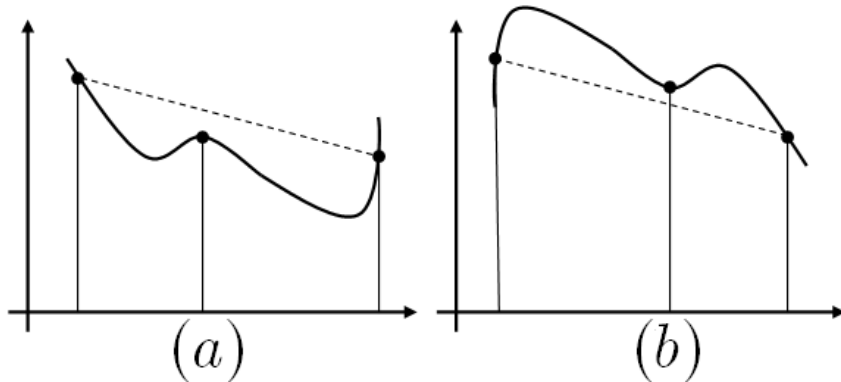
نشان داده می‌شود که شرط انتروپی منجر به حل یکتاپی به‌ازای هر مجموعه از داده‌های (شرایط) اولیه خواهد شد. اما طبق شکل ۲۴-۴ می‌توان شرط انتروپی را برای شار f به صورت زیر ثابت کرد: اگر $u_L < u_R$ باشد، بایستی:

$$f(\alpha u_R + [1 - \alpha] u_L) \leq \alpha f(u_R) + (1 - \alpha) f(u_L) \quad (146-4)$$

و اگر $u_R > u_L$ باشد، باید داشته باشیم:

$$f(\alpha u_R + [1 - \alpha] u_L) \geq \alpha f(u_R) + (1 - \alpha) f(u_L) \quad (147-4)$$

به عبارت دیگر و از لحاظ هندسی، این شرط بیان می‌کند که برای $u_R < u_L$ ، منحنی $f(u)$ زیر وتر RL در شکل ۲۴-۴ افتاده و برای حالت $u_R > u_L$ این منحنی بالای وتر مذکور واقع می‌شود. توجه داشته باشید که شارهای f در معادلات اویلر دارای خاصیت تحدب بوده و از طرفی شب وتر RL، در واقع سرعت انتشار ناپیوستگی اتصال u_R و u_L می‌باشد. از این رو:



شکل ۲۴-۴: وضعیت قرارگیری مقادیر مختلف شار برای دو حالت: (a) $u_R < u_L$ و (b) $u_R > u_L$

$$c = \frac{f(u_R) - f(u_L)}{u_R - u_L}, \begin{cases} a(u_R) < c < a(u_L) & \text{for } u_R < u_L \\ a(u_L) < c < a(u_R) & \text{for } u_R > u_L \end{cases} \quad (148-4)$$

اما بیان هندسی شرط انتروپی، منجر به فرمولاسیونی معروف به شرط اولینیک^۱ یا شرط E می‌شود. یعنی برای هر u بین u_R و u_L در حالت RP کمتر از شب RP می‌باشد:

¹ Oleinik Condition

$$\frac{f(u) - f(u_R)}{u - u_R} \leq \frac{f(u_L) - f(u_R)}{u_L - u_R} \leq \frac{f(u_L) - f(u)}{u_L - u}$$

(۱۴۹-۴)

$$\left\{ \text{For } u_R < u < u_L \right\}$$

مهم‌تر اینکه برای کاربردهای عملی در هر مسئله مقدار اولیه، حل کلی منحصر به فردی داشته و این حل، شرط انتروپی را برآورده می‌کند.

از طرفی برای ایجاد محدودیت در معادلات هذلولوی و به شرط اینکه u سرعت سیال باشد، سمت راست رابطه $u_t + f_x = \nu u_{xx}$ بیانگر نوعی جمله ویسکوزیته در معادله نویر- استوکس یک- بعدی است. این نتیجه مهم، دلایل به کارگیری شرط انتروپی را در محاسبه عددی معادلات جریان غیر لزج ارائه می‌دهد و بیان می‌کند که اگر جمله ویسکوزیته مناسب برای معادلات گسته‌سازی شده انتخاب شود، ناپیوستگی‌های فیزیکی هرگز ظاهر نمی‌شوند.

شرط یکنواهی^۱

هنگامی یک الگوریتم عددی یکنوا فرض می‌شود که منجر به رفتار نوسانی در حل عددی نشود. یک رفتار نرم و هموار^۲ در حل عددی ناشی از عوامل مختلفی است که قوی‌ترین و ضعیف‌ترین آن‌ها بترتیب شرط یکنواهی و کاهش تغییرات کلی هستند. برای بیان صریح‌تر این شرط باید یک الگوریتم عددی مانند

$$u_i^{n+1} = H(u_{i-k}^n, u_{i-k+1}^n, \dots, u_{i+k}^n) \quad (150-4)$$

در نظر گرفته شود که این روش عددی به معادله $u_t + f_x = 0$ اعمال شده است؛ الگوریتم ذکر شده به این شرط یکنواست که H به ازای کلیه آرگمان‌های افزایش صرف داشته و نوسانی نداشته باشد. به دیگر سخن:

$$\frac{\partial H}{\partial u_j}(u_{i-k}, u_{i-k+1}, \dots, u_{i+k}) \geq 0 \quad \text{for all } i-k \leq j \leq i+k \quad (151-4)$$

¹ Monotonicity Condition

² Smooth

یا جهت ارضای شرط یکنواختی حالت خاص تابع H (بیان خطی آن) به صورت

$$u_i^{n+1} = \sum_k b_k u_{i+k}^n \quad (152-4)$$

باید تمام b_k ها غیر منفی (مثبت یا صفر) باشند که در آن b_k ضرایب حقیقی هستند.

جهت ارائه خاصیتی از روش‌های یکنوا، هارتون (۱۹۷۶) به همراه گروهی نشان داد که یک الگوریتم یکنوا، همواره متناظر با حالت‌های فیزیکی قابل پذیرش بوده و به بیان دیگر ناقص تولید پدیده‌هایی غیر فیزیکی مثل شوک‌های انساطی می‌باشند و از این رو شرط انتروپی را هم ارضامی کنند. به خاطر داشته باشید که اگر در روش حل عددی خاصی به صورت تابعی از زمان (t):

افزایش جدیدی طی متغیر x نتواند رخ دهد؛ و
مقدار یک مینیمم محلی افزایشی نبوده و مقدار یک ماکزیمم محلی خاصیت کاهشی نداشته باشد،
آنگاه، روش را "حفظ کننده یکنواختی" می‌نامند؛ این حالت بیان می‌کند که یک روش، دارای خواص گفته شده است، اگر در هنگامی که u_i^n یکنواست، u_i^{n+1} هم یکنوا باقی بماند. به عبارت دیگر در این حالت، پروفیل‌های یکنوا طی گسسته‌سازی و تحلیل، حفظ شده و نوسانات^۱ ظاهر نخواهند شد.

شرط کاهش تغییرات کلی (TVD)

مفهوم تغییرات کلی (TV) برای هر قانون بقا اسکالاری $u_t + f_x = 0$ مثل معادله برگر به صورت زیر بیان می‌شود:

$$TV = \int \left| \frac{\partial u}{\partial x} \right| dx \quad (153-4)$$

اما شرط کاهش تغییرات کلی به این شکل بیان می‌شود که تغییرات کلی برای هر حل از لحاظ فیزیکی قابل قبول، با زمان افزایش پیدا نکند (لکس-۱۹۷۳). از طرفی برای یک حل گسسته سازی روی قانون بقا، می‌توان گفت:

¹ Over- and Under-shoots

$$TV(u) = \sum_i |u_{i+1} - u_i| \quad (154-4)$$

که شرط اینکه روش TVD خوانده شود اینست که

$$TV(u^{n+1}) \leq TV(u^n) \quad (155-4)$$

اگر به مفهوم خاصیت یکنواختی برگشته و روش حفظ کننده یکنواختی مروری مجدد گردند، براحتی می‌توان به سلسله ارتباطات زیر بین ویژگی‌های یکنواختی و کاهش تغییرات کلی رسید:

تمامی روش‌های یکنوا، TVD هستند؛

تمامی روش‌های TVD، حفظ کننده یکنواختی هستند.

برای روش‌های با فرم خطی، که در آن‌هاتابع H به صورت رابطه (۱۵۲-۴) می‌باشد، حفظ یکنواختی دقیقاً منجر به همان شرط یکنواختی می‌شود.

در ادامه، به منظور استخراج روابط و شرایط TVD نیاز به بازنویسی روش، تحت یک فرم اختلافی و نمایی می‌باشد؛ یعنی با استفاده از اختلاف نقاط شبکه. لذا معادله گسترش‌سازی شده‌ی:

$$\frac{du}{dt}\Bigg)_i = \frac{-1}{\Delta x} (f_{i+1/2} - f_{i-1/2}), \quad f_{i+1/2} = f(u_i, u_{i+1}) \quad (156-4)$$

به صورت زیر نوشته می‌شود:

$$\frac{du}{dt}\Bigg)_i = \frac{-1}{\Delta x} (C_{i+1/2}^- \delta u_{i+1/2} + C_{i-1/2}^+ \delta u_{i-1/2}) \quad (157-4)$$

که در آن:

$$\begin{cases} C_{i+1/2}^- \delta u_{i+1/2} = f_{i+1/2} - f_i \equiv a_{i+1/2}^- (u_{i+1} - u_i) \\ C_{i-1/2}^+ \delta u_{i-1/2} = f_i - f_{i-1/2} \equiv a_{i-1/2}^+ (u_i - u_{i-1}) \end{cases} \quad (158-4)$$

و نیز C^+ و C^- ، به ترتیب قسمت‌هایی از امواج دارای سرعت‌های مثبت و منفی را شامل شده که سازگار با تعاریف a^+ و a^- می‌باشند؛ یا

$$C_{i+1/2}^+ + C_{i+1/2}^- = \frac{\delta f_{i+1/2}}{\delta u_{i+1/2}} = \frac{f_{i+1} - f_i}{u_{i+1} - u_i} = a_{i+1/2} \quad (159-4)$$

همچنین می‌توان شار عددی روش‌های در نظر گرفته شده را به فرم اختلاف‌های مرکزی بعلاوه یک جمله اتلافی منظور کرد؛ یعنی

$$f_{i+1/2} = \frac{f_i + f_{i+1}}{2} - \frac{\bar{D}_{i+1/2} \delta u_{i+1/2}}{2} \quad (160-4)$$

که \bar{D} به صورت ضریب لزجت (ویسکوزیته) مصنوعی^۱ روش در نظر گرفته می‌شود؛ تابع \bar{D} به صورت منحصر به فرد، روش سه نقطه‌ای را تعریف کرده و با عبارات مربوط به C^\pm ارتباط پیدا می‌کند. به عبارت دیگر:

$$C_{i+1/2}^- = \frac{a_{i+1/2} - \bar{D}_{i+1/2}}{2}, \quad C_{i+1/2}^+ = \frac{a_{i+1/2} + \bar{D}_{i+1/2}}{2} \quad (161-4)$$

در عبارت فوق، $a_{i+1/2}$ با معادله (۱۵۹-۴) تعریف گشته و ضریب ویسکوزیته عددی \bar{D} به شکل زیر بیان می‌گردد:

$$\bar{D}_{i+1/2} = C_{i+1/2}^+ - C_{i+1/2}^- \quad (162-4)$$

می‌توان جهت راحتی هر چه بیشتر، خانواده‌ای از روش‌ها را به فرم زیر در نظر گرفت:

$$\begin{aligned} u_i^{n+1} + \frac{\Delta t}{\Delta x} \theta (f_{i+1/2}^{n+1} - f_{i-1/2}^{n+1}) &= \\ &= u_i^n - \frac{\Delta t}{\Delta x} (1 - \theta) (f_{i+1/2}^n - f_{i-1/2}^n) \end{aligned} \quad (163-4)$$

که با مقدار دادن به θ دسته روش‌های مختلفی حاصل خواهند شد؛ بدین ترتیب که رابطه بالا اگر $\theta = 0$ باشد، به روش‌های صریح و اگر $\theta \neq 0$ باشد به روش‌های ضمنی تبدیل خواهد شد. اما اگر $\theta = 1/2$ در نظر گرفته شود، حاصل یک عبارت و اختلاف دیفرانسیلی ذوزنقه‌ای است که در

^۱ Artificial Viscosity

آن فرم مرتبه دوم زمانی ایجاد شده است. این خانواده تک‌پارامتری از روش‌های حل عددی باز قابل ساده کردن بیشتر است؛ این امر با تعریف

$$\bar{f}_{i+1/2} = (1 - \theta) f_{i+1/2}^n + \theta f_{i+1/2}^{n+1} \quad (164-4)$$

صورت می‌گیرد و معادله (۱۶۳-۴) به صورت زیر ساده می‌شود:

$$u_i^{n+1} = u_i^n - \frac{\Delta t}{\Delta x} (\bar{f}_{i+1/2} - \bar{f}_{i-1/2}) \quad (165-4)$$

از سویی در معادله نوشته شده دو بخش اساسی چپ و راست یا بخش‌های ضمنی و صریح وجود دارد:

$$L(u^{n+1}) = R(u^n) \quad (166-4)$$

که در آن:

$$L(u_i) = u_i + \frac{\Delta t}{\Delta x} \theta (f_{i+1/2} - f_{i-1/2}) \quad (167-4)$$

$$R(u_i) = u_i - \frac{\Delta t}{\Delta x} (1 - \theta) (f_{i+1/2} - f_{i-1/2}) \quad (168-4)$$

هارتون (۱۹۸۴) نشان داد که به منظور اطمینان خاطر از TVD بودن روش گفته شده بایستی داشت:

$$TV[R(u^n)] \leq TV(u^n), \quad TV[L(u^{n+1})] \geq TV(u^{n+1}) \quad (169-4)$$

وی با بازنویسی معادله (۱۶۳-۴) به فرم

$$\begin{aligned} u_i^{n+1} - \theta \frac{\Delta t}{\Delta x} [C_{i+1/2}^- \delta u_{i+1/2} - C_{i-1/2}^+ \delta u_{i-1/2}]^{n+1} &= \\ &= u_i^n + \frac{\Delta t}{\Delta x} (1 - \theta) [C_{i+1/2}^- \delta u_{i+1/2} + C_{i-1/2}^+ \delta u_{i-1/2}]^n \end{aligned} \quad (170-4)$$

نشان داد که شرایط گفته شده، با محدوده $0 \leq -\theta C_{i+1/2}^\pm \Delta t / \Delta x \leq -\infty$ ، به شکل زیر

هستند:

$$\frac{\Delta t}{\Delta x} (1 - \theta) C_{i+1/2}^\pm \geq 0 , \quad \frac{\Delta t}{\Delta x} (1 - \theta) \{C_{i+1/2}^+ + C_{i+1/2}^-\} \leq 1 \quad (171-4)$$

در حالت‌های $\theta = 0$ و $\theta = 1$ شرط کاهش تغییرات کلی ارضاء شده و این عمل برای حالتی که $\theta = 0.5$ است صورت نمی‌پذیرد؛ اینجاست که نیاز به اعمال محدودکننده‌ها جهت جلوگیری از نوسانات احساس می‌شود.

شرایط برای TVD های سه نقطه‌ای

شرط لازم جهت TVD بودن برای روش‌های سه نقطه‌ای صریح و ضمنی، توسط هارتین و برای روش‌های چند نقطه‌ای کلی، بهوسیله لکس و جیمزون^۱ بدست آمده است؛ اگر و فقط اگر دو شرط TVD و $C_{i+1/2}^- \leq 0$ هم‌مان برقرار باشند، روش نیمه-گسسته‌سازی شده (۱۵۷-۴)، است. برای اثبات این قضیه، فرض کنید s تابع علامت اختلاف مرکزی به شکل زیر باشد:

$$s_{i+1/2} = \operatorname{sgn}(\delta u_{i+1/2}) \quad (172-4)$$

جهت ارضای شرط TVD بایستی:

$$\frac{dTV(u)}{dt} \leq 0 \quad (173-4)$$

از این رو طبق تعریف:

$$\frac{dTV(u)}{dt} = \sum_i s_{i+1/2} \frac{d(u_{i+1} - u_i)}{dt} \quad (174-4)$$

حضور $s_{i+1/2}$ به معنی ضرب علامت جمله دوم داخل \sum در علامت خودش بوده و عامل مثبت شدن عبارت (همان قدر مطلق گیری) می‌شود؛ اما برای دو du_{i+1} / dt و du_i / dt می‌توان از رابطه (۱۵۷-۴) کمک گرفت؛ لذا

^۱ Lax and Jameson

$$\frac{dTV(u)}{dt} = \frac{-1}{\Delta x} \sum_i s_{i+1/2} \times \\ \times \left[\left(C_{i+3/2}^- \delta u_{i+3/2} + C_{i+1/2}^+ \delta u_{i+1/2} \right) - \right. \\ \left. - \left(C_{i+1/2}^- \delta u_{i+1/2} + C_{i-1/2}^+ \delta u_{i-1/2} \right) \right] \quad (175-4)$$

با سادهسازی عبارت و به خصوص برای $\delta u_{i+3/2} = \delta u_{i-1/2} = 0$ و $\delta u_{i+1/2} = 1$ و طبق شرط

TVD می‌توان داشت:

$$\frac{-1}{\Delta x} \sum_i \left\{ (+1) \left[C_{i+1/2}^+ - C_{i+1/2}^- \right] \delta u_{i+1/2} \right\} \leq 0 \quad (176-4)$$

يعنى:

$$C_{i+1/2}^+ \geq 0 \quad , \quad C_{i+1/2}^- \leq 0 \quad (177-4)$$

که همان قضیه گفته شده است. حال باید شرط TVD بودن برای یک روش صریح مثل

$$u_i^{n+1} = u_i^n - \frac{\Delta t}{\Delta x} \left[C_{i+1/2}^- \delta u_{i+1/2} + C_{i-1/2}^+ \delta u_{i-1/2} \right] \quad (178-4)$$

بررسی شود؛ این شرط عبارتست از:

$$\frac{\Delta t}{\Delta x} \left[C_{i+1/2}^+ - C_{i+1/2}^- \right] \leq 1 \quad (179-4)$$

که این شرط بسیار شبیه شرط CFL است؛ به بیان دیگر این شرط عبارتست از:

$$\frac{\Delta t}{\Delta x} \left| a_{i+1/2} \right| \leq \frac{\Delta t}{\Delta x} \bar{D}_{i+1/2} \leq 1 \quad (180-4)$$

روش‌های مرتبه دوم TVD با محدود کننده‌ها

این روش‌ها با دستورالعمل زیر تولید می‌گردند:

یک شار عددی مرتبه اول یکنوا انتخاب می‌گردد؛

این شار عددی به دقت مرتبه دوم برده می‌شود (مباحثت بخش‌های قبلی)؛

دامنه تغییرات ظاهر شده، با جملاتی اضافه بر روابط بالا و در قالب یک سری محدود‌کننده غیر خطی، محدود می‌گردد؛

انتگرال زمانی این روش (که با دستورالعمل بخش‌های بعد گفته خواهد شد) انجام شده و نهایتاً و در صورت امکان،

برای روش حاصل، شرط انتروپی هم چک می‌شود.

اما، بیایید برای تعریف محدود‌کننده‌ها برای معادله جابه‌جایی $0 = u_t + f_x$ ، روشی پابداسو را

از نوع مرتبه دوم و نیمه-گسسته‌سازی شده، در نظر گرفته شود:

$$\frac{du}{dt} \Big|_i = -a^+ \left[\frac{3u_i - 4u_{i-1} + u_{i-2}}{2\Delta x} \right] - a^- \left[\frac{-3u_i + 4u_{i+1} - u_{i+2}}{2\Delta x} \right] \quad (181-4)$$

که می‌توان این رابطه را به صورت زیر بازنویسی کرد:

$$\begin{aligned} \frac{du}{dt} \Big|_i &= -\frac{a^+}{\Delta x} \left[(u_i - u_{i-1}) + \frac{1}{2}(u_i - u_{i-1}) - \frac{1}{2}(u_{i-1} - u_{i-2}) \right] + \\ &\quad + \frac{a^-}{\Delta x} \left[(u_{i+1} - u_i) + \frac{1}{2}(u_{i+1} - u_i) - \frac{1}{2}(u_{i+2} - u_{i+1}) \right] \end{aligned} \quad (182-4)$$

در عبارت فوق، پارامترهای a^+ و a^- با عبارات زیر بیان می‌گردند:

$$a^+ = (a + |a|)/2, \quad a^- = (a - |a|)/2 \quad (183-4)$$

بالاخره در این مرحله نوبت به محدودکردن می‌رسد که برای آن، جملات دوم و سوم در هر برانکت به صورت زیر محدود می‌شوند:

$$\begin{aligned} \frac{du}{dt} \Big|_i &= \\ &- \frac{a^+}{\Delta x} \left[(u_i - u_{i-1}) + \frac{1}{2}\Psi_{i-1/2}^+ (u_i - u_{i-1}) - \frac{1}{2}\Psi_{i-3/2}^+ (u_{i-1} - u_{i-2}) \right] + \\ &- \frac{a^-}{\Delta x} \left[(u_{i+1} - u_i) + \frac{1}{2}\Psi_{i+1/2}^- (u_{i+1} - u_i) - \frac{1}{2}\Psi_{i+3/2}^- (u_{i+2} - u_{i+1}) \right] \end{aligned} \quad (184-4)$$

توجه داشته باشید که زیرنویس مربوط به Ψ توسط بازه اعمال محدودیت، تعیین شده و از سوی دیگر روابط نوشته شده، به ازای $1 = \Psi$ منجر به روابط بدون محدودیت قبل خواهند شد. حال پارامتر جدیدی را به فرم زیر تعریف می‌کنیم:

$$r_{i+1/2}^+ = \frac{u_{i+2} - u_{i+1}}{u_{i+1} - u_i}, \quad r_{i+1/2}^- = \frac{u_i - u_{i-1}}{u_{i+1} - u_i} \quad (185-4)$$

که مخرج کسر، معادل با زیرنویس r بوده و از جمع مخرج و اثر بالانویس r ، می‌توان صورت کسر متناظر را تعیین کرد. طبق جهت پادباسی مرتبط (+ یا -)، محدودکننده (Ψ) می‌تواند به صورت تابعی از r ‌های بالا تعریف و بیان گردد. به عبارت دیگر و برای امواج با سرعت انتشار مثبت ($a \geq 0$ ،

$$\Psi_{i-1/2}^+ = \Psi(r_{i-1/2}^+, r_{i+1/2}^+) \quad (186-4)$$

و برای امواج با سرعت منفی ($a \leq 0$)

$$\Psi_{i+1/2}^- = \Psi(r_{i+1/2}^-, r_{i+3/2}^-) \quad (187-4)$$

خواهد بود. برای بدست آوردن شرایط TVD، بایستی فرم معادله محدود شده (۱۸۴-۴) را به قالب معادله (۱۵۷-۴) برد. بدین منظور می‌توان نوشت:

$$\begin{aligned} \left. \frac{du}{dt} \right|_i &= -\frac{a^+}{\Delta x} \left[1 + \frac{1}{2} \Psi_{i-1/2}^+ - \frac{1}{2} \frac{\Psi_{i-3/2}^+}{r_{i-3/2}^+} \right] (u_i - u_{i-1}) + \\ &\quad - \frac{a^-}{\Delta x} \left[1 + \frac{1}{2} \Psi_{i+1/2}^- - \frac{1}{2} \frac{\Psi_{i+3/2}^-}{r_{i+3/2}^-} \right] (u_{i+1} - u_i) \end{aligned} \quad (188-4)$$

لذا شرط TVD بودن روش (کاهش تغییرات کلی با زمان)، این است که روابط زیر برقرار باشند:

$$1 + \frac{1}{2} \Psi_{i-1/2}^+ - \frac{1}{2} \frac{\Psi_{i-3/2}^+}{r_{i-3/2}^+} \geq 0, \quad 1 + \frac{1}{2} \Psi_{i+1/2}^- - \frac{1}{2} \frac{\Psi_{i+3/2}^-}{r_{i+3/2}^-} \geq 0 \quad (189-4)$$

اما اگر حالت‌های پادبادسوی تکی در نظر گرفته شده و وابستگی تابع محدودیت کمتر فرض شود، با کاهش پشتیبانی این روش از حالت کلی مواجه شده ولی وابستگی‌ها ساده و نزدیک‌تر خواهند شد؛ به دیگر سخن برای امواج با سرعت انتشار مثبت و منفی،

$$\begin{cases} \Psi_{i-1/2}^+ = \Psi(r_{i-1/2}^+) & , \\ \Psi_{i+1/2}^- = \Psi(r_{i+1/2}^-) & , \end{cases} \quad \begin{cases} \Psi_{i-3/2}^+ = \Psi(r_{i-3/2}^+) \\ \Psi_{i+3/2}^- = \Psi(r_{i+3/2}^-) \end{cases} \quad (190-4)$$

به ترتیب برقرار خواهند بود. از این رو شرایط

$$\frac{\Psi(r_{i-3/2}^+)}{r_{i-3/2}^+} - \Psi(r_{i-1/2}^+) \leq 2, \quad \frac{\Psi(r_{i+3/2}^-)}{r_{i+3/2}^-} - \Psi(r_{i+1/2}^-) \leq 2 \quad (191-4)$$

بعنوان شرایط کاهش تغییرات کلی برای حالت‌های موج مثبت و منفی، در نظر گرفته می‌شوند که هر دوی این شرط‌ها معادل با

$$\frac{\Psi(r)}{r} - \Psi(s) \leq 2 \quad (192-4)$$

نیز هستند. توجه داشته باشید که به جز موضع صفر شدن شیب نمودار $x - u$ ، در باقی حالت‌ها مقدار r مثبت می‌باشد (شکل ۲۵-۴)؛ از این رو برای حالت محدودیت می‌توان به طریق زیر عمل کرد تا روش کاملاً یکنوا و با کاهش تغییرات کلی درآید:

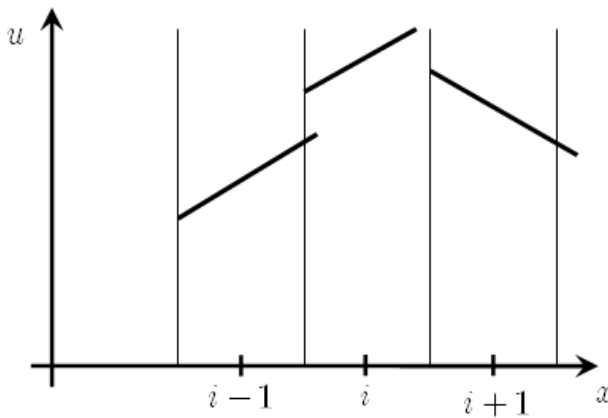
$$\Psi \geq 0 \quad \text{for } r \geq 0, \quad \Psi = 0 \quad \text{for } r \leq 0 \quad (193-4)$$

لذا می‌توان رابطه (۱۹۲-۴) را به فرم $\Psi \leq 2r$ اصلاح کرد. جهت ارائه مثال دیگری در این زمینه، محدود کننده به روش بیم – وارمینگ اعمال می‌گردد:

$$u_i^{n+1} = u_i^n - \nu(u_i^n - u_{i-1}^n) - \frac{\nu}{2}(1-\nu)\nabla \left\{ \Psi(r_{i-1/2}^+) (u_i^n - u_{i-1}^n) \right\} \quad (194-4)$$

برای شرط شبه CFL و با محدود کننده می‌توان داشت:

$$\begin{cases} 0 \leq \tau C_{i-1/2}^+ = \nu \left\{ 1 + \frac{1}{2}(1-\nu) \left[\Psi(r_{i-1/2}^+) - \frac{\Psi(r_{i-3/2}^+)}{r_{i-3/2}^+} \right] \right\} \leq 1, \\ C_{i+1/2}^- = 0 \end{cases} \quad (195-4)$$



شکل ۴-۲۵: بررسی عددی حالت خاصی از نمودار $x-u$ و شامل تغییر علامت r

که این شرایط، منجر به محدوده‌های:

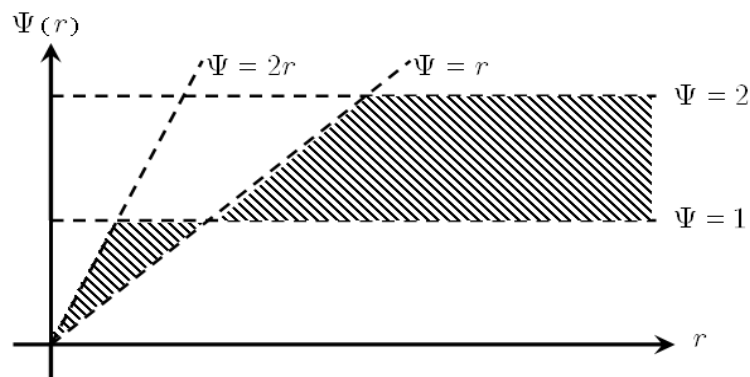
$$\frac{\Psi(r)}{r} - \Psi(s) \leq \frac{2}{1-\nu}, \quad \Psi(s) - \frac{\Psi(r)}{r} \leq \frac{2}{\nu} \quad (196-4)$$

شده که این معادلات در محدوده $0 \leq r \leq 1$ ارضامی‌شوند. از این رو شرط کلی محدودیت TVD

برای روش بیم-وارمینگ به شکل زیر است:

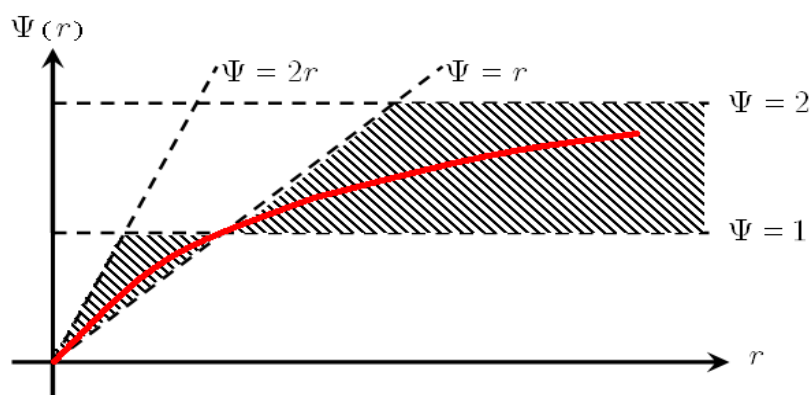
$$0 \leq \Psi(r) \leq \min(2r, 2) \quad (197-4)$$

اما با تست الگوریتم‌های موجود دیگر، می‌توان خانواده‌ای از محدودکننده‌های Ψ را بدست آورد که در آن برای رعایت شرط TVD بودن الگوریتم، بایستی قسمت هاشور خورده شکل ۴-۲۶ بعنوان محدوده اعمال محدودکننده در نظر گرفته شود.

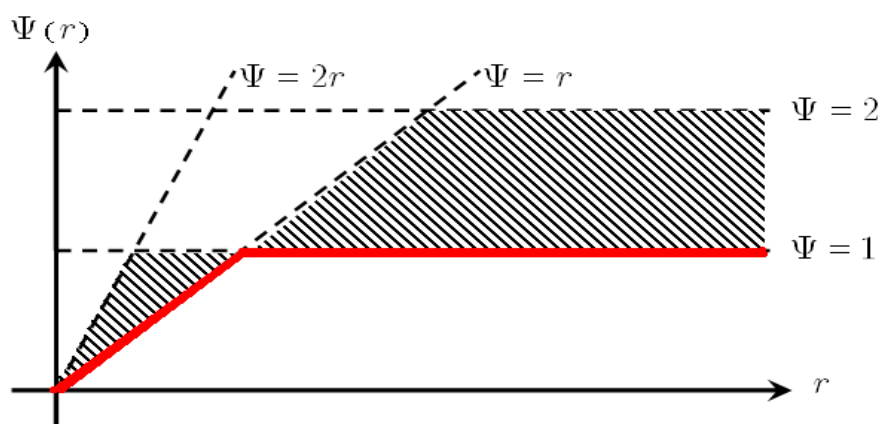


شکل ۴: قلمرو محدودکننده برای الگوریتم‌های مختلف

به طور کلی، توابع محدودکننده مختلفی برای روش‌های مرتبه دوم پادبادسو، در کتب و مقالات استناد و تعریف شده‌اند که آنها در شکل ۴ تا شکل ۳۱-۴ ارائه خواهند شد.



شکل ۴: محدودکننده ونلیر



شکل ۴: محدودکننده minmod

برای شروع، به روشی که توسط ونلیر^۱ (۱۹۷۴)، بعنوان نخستین آنها و به شکل

$$\Psi(r) = \frac{r + |r|}{1 + r} \quad (198-4)$$

ارائه شد اشاره می‌گردد؛ این روش در شکل ۲۷-۴ نشان داده شده است. محدودکننده مشابه دیگری که در حل عددی، رفتاری نرم‌تر از خود بروز می‌دهد، توسط ون آلبادا^۲ (۱۹۸۲) به فرم زیر ارائه گشت:

$$\Psi(r) = \frac{r^2 + r}{1 + r^2} \quad (199-4)$$

که برای مقادیر بزرگ r این مقدار به عدد یک می‌کند. حسن این تغییر، در عدم صفر شدن مخرج و از این رو جلوگیری از بی نتیجه ماندن اجرای برنامه است.

از طرفی محدوده پایینی در شرایط TVD در نظر گرفته شده برای ناپیوستگی‌ها، دارای دقت خوبی نبوده و به تابع minmod معروف می‌باشد؛ این تابع در شکل ۲۸-۴ رسم شده و به یکی از دو بیان زیر ارائه می‌شود:

$$\Psi(r) = \min \text{mod}(1, r) \quad \text{or:}$$

$$\Psi(r) = \begin{cases} \min(r, 1) & \text{if } r > 0 \\ 0 & \text{if } r < 0 \end{cases} \quad (200-4)$$

البته جهت یادآوری لازم است تا تعریف minmod را برای دو متغیر دلخواه به صورت زیر بیان کرد:

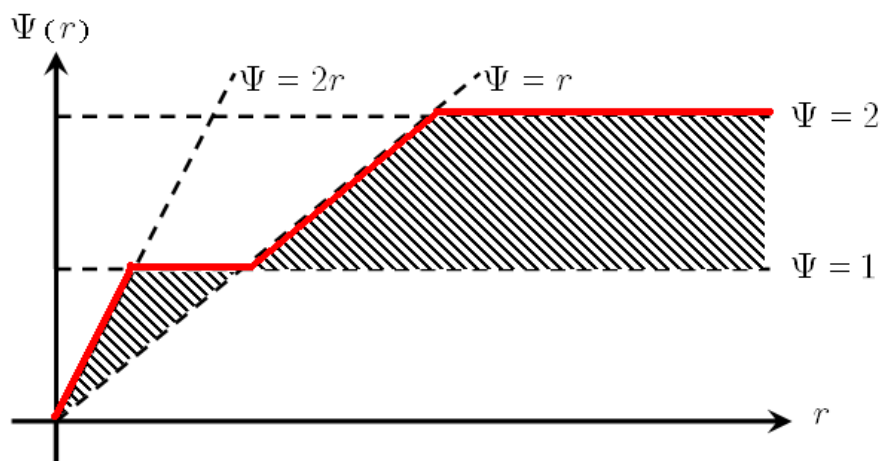
$$\min \text{mod}(x, y) = \text{sgn}(x) \cdot \max[0, \min(|x|, y \cdot \text{sgn}(x))] \quad (201-4)$$

یا بر اساس هم‌علامت و غیر هم‌علامت بودن x و y (علامت xy :

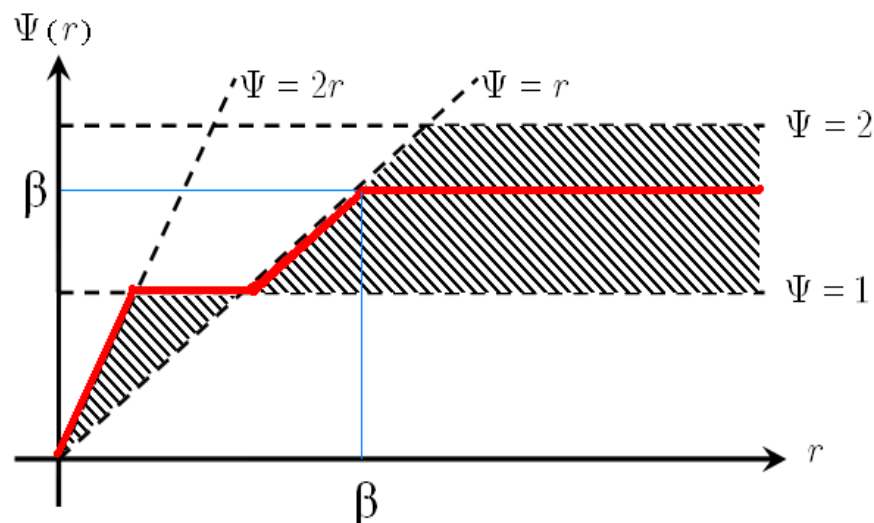
¹ Van Leer

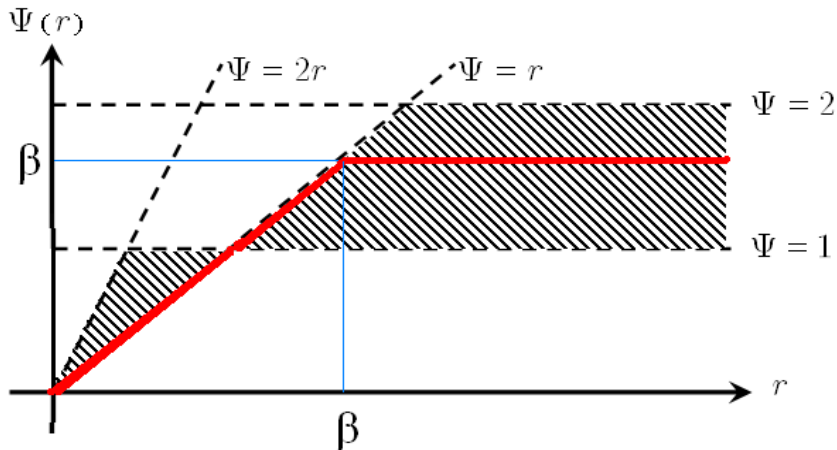
² Van Albada

$$\min \text{mod}(x, y) = \begin{cases} x & \text{if } xy > 0 \text{ and } |x| < |y| \\ y & \text{if } xy > 0 \text{ and } |x| > |y| \\ 0 & \text{if } xy < 0 \end{cases} \quad (202-4)$$



شکل ۴: محدودکننده سوپربی (رو)

شکل ۴: محدودکننده‌های کلی نوع β



شکل ۳۱-۴: محدودکننده چاکراوارتی و اوشر

که برای راحتی کار استفاده از محدودکننده Ψ می‌توان از فرم دوم نوشته شده در روابط (۴-۲۰۰) استفاده کرد. اما از سوی دیگر، محدودیت بالایی روش‌های با شرط TVD مرتبه دوم، توسط رو^۱ (۱۹۸۵) تحت عنوان محدودساز سوپربی^۲ در نظر گرفته شده و به برخی خواص جالب آن اشاره شد. شکل ۲۹-۴ به این محدودیت می‌پردازد. در کل، طبق شکل رسم شده و به بیان ریاضی، محدودکننده سوپربی با رابطه

$$\Psi(r) = \max[0, \min(2r, 1), \min(r, 2)] \quad (203-4)$$

ارائه می‌گردد. همانگونه که قبلاً هم اشاره شد، می‌توان خانواده‌ای از چند محدودکننده را در اختیار داشت. کافی است پارامتری مثل β را به صورت $2 < \beta < 1$ تعریف کرده و محدودکننده کلی زیر را با آن بیان کنیم:

$$\Psi(r) = \max[0, \min(\beta r, 1), \min(r, \beta)] \quad (204-4)$$

حال با مقدار دهی به β ، می‌توان محدودکننده‌های مختلفی را (حتی غیر از آنچه گفته شد) ارائه کرد. این محدودکننده‌ها به سویی بی^۳ (۱۹۸۴) نسبت داده شده و در شکل ۳۰-۴ نشان داده شده‌اند.

¹ Roe² superbee³ Sweby

نهایتاً، بیاید محدودکننده‌های چاکراوارتی و اوشر^۱ که در شکل ۴-۳۱ نشان داده شده‌اند، در نظر شوند. توجه کنید که تمام روش‌های فوق بجز روش آخر، دارای تقارن زیر هستند:

$$\frac{\Psi(r)}{r} = \Psi\left(\frac{1}{r}\right) \quad (205-4)$$

که از آن می‌توان نتیجه گرفت که گرادیان‌های رو به عقب و رو به جلو با رفتاری یکسان ظاهر می‌شوند.

همیشه توجه داشته باشید که محدودکننده‌های مختلف، بخاطر وجود نسبت‌های u/Ψ غیر خطی هستند (حتی اگر به روش‌های خطی حل عددی اعمال گردند). در اینجا، دیگر به مرحله کاربرد این محدودکننده‌ها رسیده و می‌توان حل نقطه n ام را در گام زمانی $1+n$ داشت؛ بدین صورت که به جای جمله $u_{i-1} - u_i$ ، تصحیح غیرخطی $(u_i - u_{i-1})/\Psi$ را قرار می‌دهند. بعنوان نمونه، محدودکننده minmod را در نظر بگیرید. با اعمال این محدودکننده عملاً مراحل زیر انجام می‌گیرند:

اگر داشته باشیم:

$$\frac{(u_i - u_{i-1})}{\Delta x} > \frac{(u_{i+1} - u_i)}{\Delta x} \quad \equiv \quad r < 1 \quad (206-4)$$

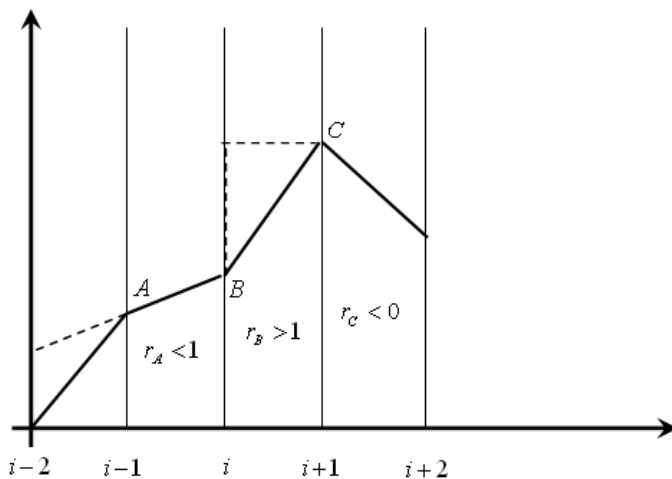
آنگاه $r = (u_i - u_{i-1})/\Delta x$ در نظر گرفته و سهم $u_{i-1}^n - u_i^n$ در تولید u_i^{n+1} ، با مقدار کوچکتر (یعنی $u_{i+1}^n - u_i^n$) جایگزین می‌شود.

اگر $r > 1$ ، نقش و سهم $u_{i-1}^n - u_i^n$ در ایجاد u_i^{n+1} بدون تغییر مانده و بالاخره، اگر شبی دو بازه متوالی، تغییر علامت دهنند ($0 < r < 1$)، نقطه i جدید هیچ سهمی از بالادست دریافت نمی‌کند.

مثلاً در شکل ۴-۳۲ نقطه A متناظر با نسبت $1 < r$ می‌باشد. لذا سهم شرکت (A) در محاسبه گام زمانی بعدی، به مقدار تغییرات پایین‌دست (یعنی $[u(B) - u(A)]/u$) محدود می‌شود (خطوط خط-چین). از سوی دیگر در نقطه B چون $1 < r < C$ ، سهم آن در گام زمانی جدید صفر بوده و لذا این المان، بدون تغییر می‌باشد. نهایتاً برای $C < r < 0$ می‌باشد، لذا سهم این نقطه از بالادست صفر شده و طبق شکل تنظیم می‌گردد. بعنوان مثالی دیگر، محدودکننده سوپربی را می‌توان مد نظر

^۱ Chakravarthy and Osher

قرار داد. مطابق با محدودیتی که این روش اعمال می‌کند و طبق روابط نوشته شده، اگر $r < 1/2$ باشد، $2r = 2r(\Psi)$ شده و لذا سهم $u_i^{n+1} - u_{i-1}^n$ با مقدار کوچکتر، یعنی $(u_i^n - u_{i+1}^n) 2$ جایگزین خواهد شد. از طرفی برای حالتی که $0 < r < 1$ باشد، $0 = r(\Psi)$ شده و این در حالی است که اگر نسبت اختلافها در محدوده $1 < r < 5/4$ واقع شود، $\Psi(r) = 2r$ خواهد شد و از این رو مقدار بزرگتر حفظ گردیده و چیزی جایگزین نخواهد گردید (به دلیل وضعیت $1 = \Psi(r)$). حال برای این محدودکننده، حالتی را در نظر بگیرید که $1 < r < 2$ باشد؛ چون با استفاده از تعریف $\Psi(r) = r$ خواهد شد، لذا باز مقدار بزرگتر عنوان یک بخش به حل جدید اضافه و منتقل خواهد شد. نهایتاً اگر حالتی را برای این محدودکننده در نظر گرفته شوند که $r > 2$ است. بدلیل اینکه برای این وضعیت $2 = \Psi(r)$ می‌شود، می‌توان گفت که مقدار کوچکتر، یعنی $2(u_i - u_{i-1})$ منتقل خواهد شد. تمام این وضعیت‌ها را برای محدودکننده سوپربی، می‌توان در شکل ۴-۳۳ دید. مجدداً در این شکل خط‌چین‌ها نماینده حالت جدید و تصحیح شده می‌باشند.

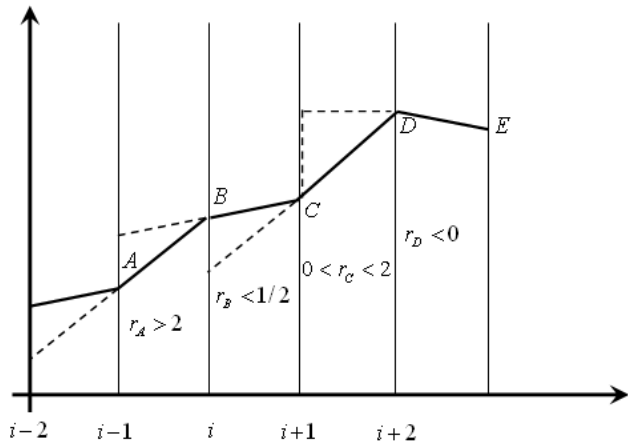


شکل ۴-۳۲: نحوه عملکرد محدود کننده مینمود

اما می‌توان عنوان نمونه و فیدبکی از حل جریان با محدودکننده‌ها، شکل ۴-۴ را در نظر گرفت. این شکل، نمایش‌دهنده نتایج حل عددی جابه‌جایی یک موج سینوسی با فرکانس کم، با استفاده از ۱۲۰ گام زمانی، 101 نقطه و $CFL=0.5$ است. معادله جابه‌جایی خطی^۱ با روش

^۱ Linear Convection Equation

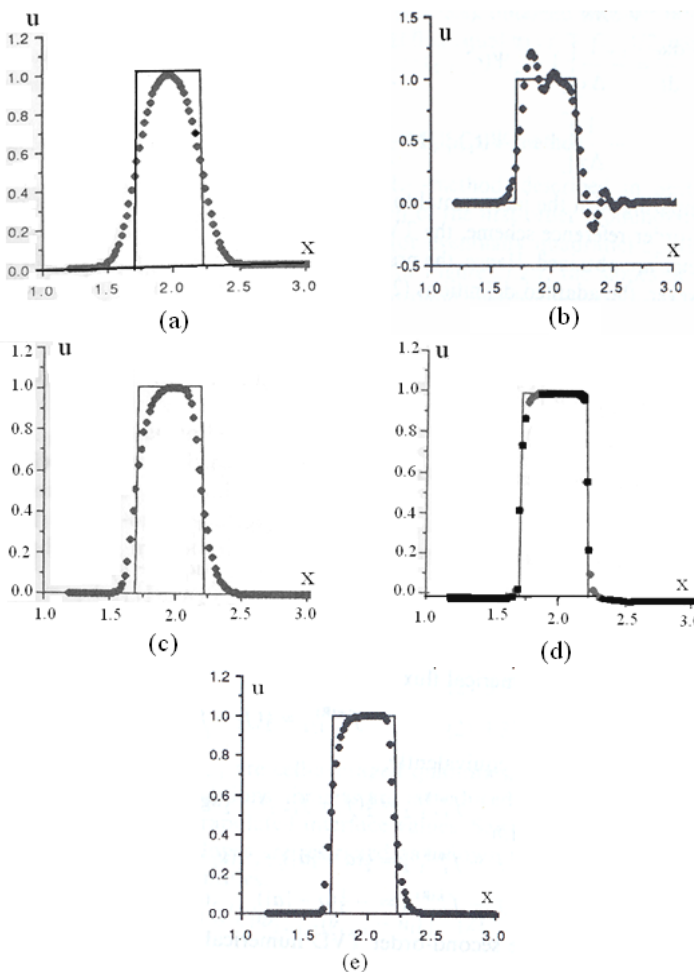
پادبادسوی مرتب اول و دوم حل گردیده و سرآخراً روی روش مرتبه دوم، محدودکننده‌های مینمد و سوپربی اعمال گردیده است.



شکل ۴-۳۳: نحوه عملکرد محدودکننده سوپربی

در قسمت a این شکل براحتی می‌توان اثرات جملات اتلافی^۱ را در مقابل حل دقیق دید که این اتلافات جزء ذات روش‌های مرتبه اول می‌باشد. اما در قسمت b، می‌توان به نقش روش‌های پادبادسوی مرتبه دوم در بهبود حل، دست یافت؛ لیکن حضور و پیدایش نوسانات در ناپیوستگی شبیه‌ها، نتیجه و نشان استفاده از روش مرتبه دوم است. البته بکارگیری محدودکننده‌ها روی الگوریتم‌های پادبادسوی مرتبه دوم، نوسانات را بطور کامل برداشته و حل یکنواختی را ایجاد خواهد کرد. به‌حال، دقت تحلیل عددی حول نقاط ماکزیمم و مینیمم و توسط محدودکننده مینمد، کاهش یافته است (قسمت c).

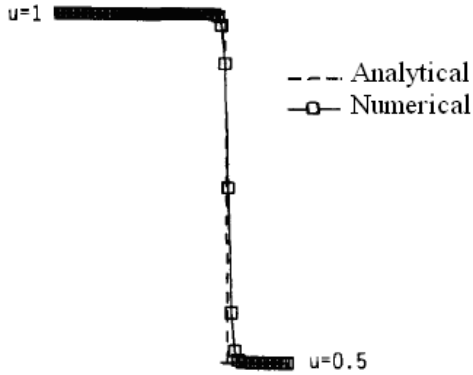
^۱ Dissipation Terms



شکل ۴-۴: بررسی اثرات استفاده از محدودکننده‌ها در حل عددی با ۱۲۰ گام زمانی

(a) روش پادبادسوی مرتبه اول - (b) روش پادبادسوی مرتبه دوم -
(c)، (d) و (e) بترتیب روش پادبادسوی مرتبه دوم با محدودکننده مینمدم، ولنیر و سوپرپی

از طرفی در بخش d به آسانی می‌توان نقش استفاده از محدودکننده ولنیر، در کاهش نوسانات حل عددی مرتبه دوم را دیده و بالاخره در قسمت e از این شکل، می‌توان رفتار حل عددی با اعمال محدودکننده سوپرپی را دید. در این حالت و همانگونه که از شکل پیداست، اکسترمم‌ها مسطح شده و گرادیان‌های با شب تند ایجاد شده‌اند. از این رو این تحلیل برای ناپیوستگی‌های تند به خوبی جواب داده ولی برای مباحث حل نرم و هموار، نتیجه درخور توجه و مناسبی نمی‌دهد. بعنوان مثال دیگری در این زمینه می‌توان به شکل ۴-۵ اشاره کرد که در آن مقایسه حل دقیق و حل عددی رو مرتبه دوم اعمالی به معادله برگر با محدودکننده مینمدم مشاهده می‌شود که با نگاهی مجدد به شکل ۴-۲۰ متوجه بهبود نوسانات عددی می‌توان شد.



شکل ۴-۳۵: مقایسه حل دقیق و حل عددی رو مرتبه دوم اعمال شده به معادله برگر و با محدود کننده مینمدد

۱۶.۱.۴ روش کاملاً ضمنی فرمولاسیون دلتا در تحلیل رفتار غیردائم

از دیگر روش‌های مرسوم در تحلیل جریان غیردائم گاز طبیعی می‌توان به نوعی روش ضمنی اشاره کرد که در آن از تحلیل موسوم به فرمولاسیون Δ استفاده می‌شود. در این روش اختلاف دیفرانسیل پارامترهای مرتبط با فشار و دبی بین گام‌های زمانی $n+1$ و n در ماتریسی آورده شده و پس از محاسبه، درایه‌های این ماتریس با مقادیر مرتبط از گام زمانی قبل (n) جمع بسته می‌شوند. با مرور مجدد معادلات حاکم بر جریان گذراي گاز به صورت:

معادله پیوستگی(بقای جرم):

$$\frac{\partial \rho}{\partial t} + \frac{\partial(\rho u)}{\partial x} = -\rho u \beta \quad (207-4)$$

معادله بقای مومنتوم:

$$\frac{\partial(\rho u)}{\partial t} + \frac{\partial(\rho u^2 + P)}{\partial x} = -\frac{\rho u |u|}{2D} f - \rho g \sin \alpha - \rho u^2 \beta \quad (208-4)$$

معادله بقای انرژی:

$$\frac{\partial(\rho e_0)}{\partial t} + \frac{\partial[(\rho e_0 + P) u]}{\partial x} = \frac{\rho u^2 |u|}{2D} f + \rho q - (\rho e_0 + P) u \beta \quad (209-4)$$

می‌توان معادلات ساده شده (۲۰۷-۴) تا (۲۰۹-۴) را به به فرم ماتریسی زیر نیز بازنویسی کرد:

$$\frac{\partial [U]}{\partial t} + \frac{\partial [F]}{\partial x} = [R] \quad (210-4)$$

که در آن:

$$[U] = \begin{bmatrix} \rho \\ \rho u \\ \rho e_0 \end{bmatrix} \quad (211-4)$$

$$[F] = \begin{bmatrix} \rho u \\ \rho u^2 + P \\ (\rho e_0 + P)u \end{bmatrix} \quad (212-4)$$

$$[R] = \begin{bmatrix} -\rho u \beta \\ -\frac{\rho u |u|}{2D} f - \rho g \sin \alpha - \rho u^2 \beta \\ \frac{\rho u^2 |u|}{2D} f + \rho q - (\rho e_0 + P) u \beta \end{bmatrix} \quad (213-4)$$

از این رو با گسسته‌سازی می‌توان عبارت زیر را استخراج کرد:

$$\frac{U^{n+1} - U^n}{\Delta t} + \frac{\partial}{\partial x} [F]^{n+1} = [R]^{n+1} \quad (214-4)$$

و در آن:

$$\begin{cases} [F]^{n+1} = [F]^n + \frac{\partial [F]}{\partial t} \Delta t, \\ [R]^{n+1} = [R]^n + \frac{\partial [R]}{\partial t} \Delta t \end{cases} \quad (215-4)$$

از طرفی مطابق قاعده‌ی زنجیره‌ای:

$$\begin{cases} [F]^{n+1} = [F]^n + \frac{\partial [F]}{\partial [U]} \frac{\partial [U]}{\partial t} \Delta t, \\ [R]^{n+1} = [R]^n + \frac{\partial [R]}{\partial [U]} \frac{\partial [U]}{\partial t} \Delta t \end{cases} \quad (216-4)$$

بخش اول از جمله دوم سمت راست تساوی اول، همان ژاکوبین ماتریس شار است که شامل جملاتی بر حسب سرعت سیال و سرعت صوت در آن می‌شود. این ماتریس به صورت زیر بیان می‌گردد:

$$A(u) = J(F, U) = \frac{\partial [F]}{\partial [U]} \quad (217-4)$$

به همین ترتیب برای ژاکوبین ماتریس $[R]$:

$$B(u) = J(R, U) = \frac{\partial [R]}{\partial [U]} \quad (218-4)$$

با نام‌گذاری $[\Delta U]/\Delta t$ در می- $[U]^{n+1} - [U]^n$ ، گسته‌سازی برای $\partial[U]/\partial t$ به شکل $\partial[\Delta U]/\partial t$ باشد. آید که با قراردادن عبارات استخراج شده در سیستم معادلات حاکم به رابطه زیر دست می‌یابیم:

$$\frac{[\Delta U]}{\Delta t} + \frac{\partial}{\partial x} [F]^n + \frac{\partial}{\partial x} A(u) \frac{[\Delta U]}{\Delta t} \Delta t = [R]^n + B(u) \frac{[\Delta U]}{\Delta t} \Delta t \quad (219-4)$$

اما در این کار، فرض بر جریان همدماهی غیردائم گاز طبیعی بوده و از این رو حالت ماتریس‌های مسئله به فرم دو بعدی خواهد شد. با این فرض و با فرض عدم شب لوله و نیز عدم تغییر سطح مقطع در مسیر آن، ماتریس‌های $A(u)$ و $B(u)$ به شکل زیر قابل استخراج هستند:

$$A(u) = \begin{bmatrix} 0 & 1 \\ -u^2 + c^2 & 2u \end{bmatrix}, \quad B(u) = \begin{bmatrix} 0 & 0 \\ f \frac{u|u|}{2D} & -f \frac{u}{D} \end{bmatrix} \quad (220-4)$$

اما ماتریس $A(u)$ دارای بردارهای ویژه‌ی کاملی است که از این رو می‌توان آنرا به صورت

$$A(u) = XDX^{-1} \quad (221-4)$$

نوشت. ماتریس X در واقع از ترکیب بردارهای ویژه ماتریس $(u)A$ به صورت ستونی و در کنار هم بدست آمده و ماتریس D نیز دارای این ویژگی است که اعضای روی قطر اصلی اش مقادیر ویژه ماتریس ژاکوبین و دیگر درایه‌های آن صفر می‌باشند. حال اگر دو ماتریس D^+ و D^- را به این صورت تعریف کنیم که بترتیب دارای مؤلفه مثبت و منفی از ماتریس D بوده و از جمع آنها D بدست آید، آنگاه می‌توان ماتریس‌های زیر را تعریف کرد:

$$A^+(u) = XD^+X^{-1}, \quad A^-(u) = XD^-X^{-1} \quad (222-4)$$

$$[F]^+(u) = A^+(u)[U], \quad [F]^{-}(u) = A^-(u)[U] \quad (223-4)$$

این جداسازی‌ها برای آن انجام می‌گیرند که بتوان برای مشتقات مکانی مطابق اصول پادبادسو، اطلاعات را از بالادست برای امواج چپ‌رو گرفته و از پایین دست برای امواج راست‌رو. با این تعاریف می‌توان دستگاه گسسته‌سازی شده معادلات حاکم (رابطه (۲۱۹-۴)) را با فاکتور‌گیری و ضرب طرفین آن در Δt به شکل زیر بازنویسی نمود:

$$\begin{aligned} [\Delta U] \left\{ I + \frac{\Delta t}{\Delta x} [(A_i^+ - A_{i-1}^+) + (A_{i+1}^- - A_i^-)] - \Delta t B_i \right\} = \\ - \frac{\Delta t}{\Delta x} \{(F_i^+ - F_{i-1}^+) + (F_{i+1}^- - F_i^-)\} + \Delta t R_i \end{aligned} \quad (224-4)$$

و با مرتب‌سازی بیشتر می‌توان رابطه زیر را استخراج کرد:

$$\begin{aligned} - \frac{\Delta t}{\Delta x} A_{i-1}^+ [\Delta U]_{i-1} + \left\{ I + \frac{\Delta t}{\Delta x} (A_i^+ - A_i^-) - \Delta t B_i \right\} [\Delta U]_i + \\ + \frac{\Delta t}{\Delta x} A_{i+1}^- [\Delta U]_{i+1} = \\ - \frac{\Delta t}{\Delta x} \{(F_i^+ - F_{i-1}^+) + (F_{i+1}^- - F_i^-)\} + \Delta t R_i \end{aligned} \quad (225-4)$$

این معادله را می‌توان با ارائه شرایط مرزی مناسب به صورت برونویابی، با الگوریتم توomas بلوکی حل کرد. نتیجه‌ای که از این حل بدست می‌آید، ماتریسی متاشکل از $[\Delta U]_i$ ها در نقاط مختلف شبکه تحلیل بوده و گام بعدی زمانی، برابر با حاصل جمع این عبارت با $[U]^n$ در گام زمانی قبل می‌-

باشد. بدلیل آنکه این روش، تغییرات متغیرهای مسئله را در هر مرحله از محاسبات بدست می‌آورد به آن روش دلتا^۱ اطلاق می‌شود.

۱۷.۱۴ ارائه خلاصه نتایجی از روش‌های بحث شده

در این بخش به مقایسه دقت روش‌های مختلف عددی بحث شده در بخش قبلی پرداخته می‌شود. این نتایج شامل موارد ذیل می‌گردد:

- نتایج روش‌های عددی مختلف در تحلیل یک تابع پله‌ای سرعت در حال گذر درون لوله گاز
- نتایج روش فرمولاسیون دلتا

۱۸.۱۴ مقایسه نتایج روش‌های عددی با حل دقیق (دسته اول)

برای این دسته از نتایج، حالتی از جریان را در نظر می‌گیریم که در آن شبیه‌سازی حرکتی بر اساس فرضیات معادله برگر (رابطه (۱۵-۴)) امکان‌پذیر باشد. از طرفی این حالت از جریان دارای شرط اولیه

$$u = \begin{cases} 0.0 & \text{for } t \leq 0.0 \\ 1.0 - x & \text{for } 0.0 \leq t \leq 1.0 \\ 1.0 & \text{for } t \geq 1.0 \end{cases} \quad (۲۲۶-۴)$$

در نظر گرفته شده و در نهایت، یافته‌های تحلیل عددی این نمونه با نتایج بدست آمده از حل دقیق برای این مسئله خاص، مقایسه خواهند گردید.

مطابق حل دقیق (بخش ۱.۴)، برای زمان‌های تحلیل کمتر از یک ثانیه کاهش نزولی مقادیر u از یک به صفر بین مکان‌های $x = 0$ تا $x = 1$ اتفاق افتاده و پس از آن این مقادیر در مقدار صفر باقی می‌مانند. اما برای بعد از یک ثانیه پروفیل مقادیر u به حالت یک پله کاهشی ثابت از یک به صفر درآمده و با افزایش زمان، این موج پله‌ای با حفظ شکل به سمت راست محور مکان ($x \geq 1.0$) حرکت می‌کند. جهت مقایسه نتایج روش‌های مختلف عددی با حل دقیق این مسئله، زمان $t = ۳.۴$ ثانیه مورد تحلیل قرار داده شد. اما برای گام زمانی و مکانی روش‌های عددی بترتیب مقادیر

^۱ Delta (Δ)

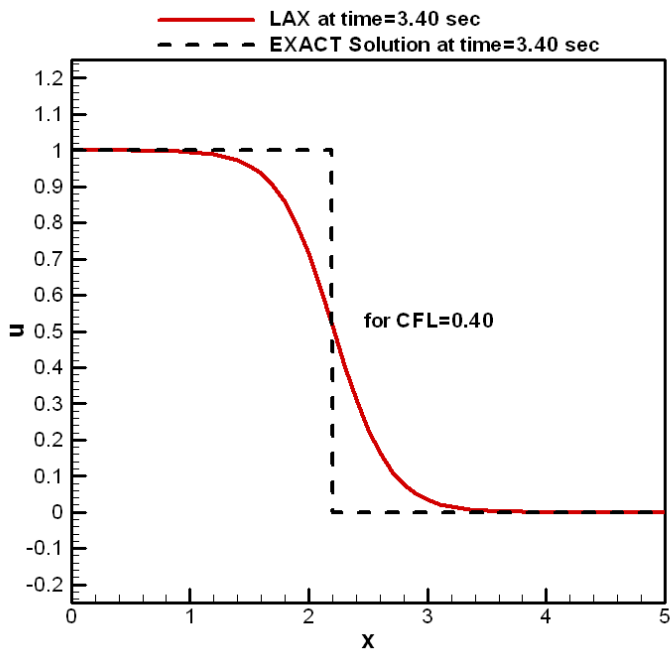
$\Delta t = 0.04$ و $\Delta x = 0.1$ در نظر گرفته شده است. با این فرض، عدد کورانت ماکزیمم مسئله با

توجه به $1 = u_{\max} = a_{\max} = 0.4$ برابر با v خواهد شد.

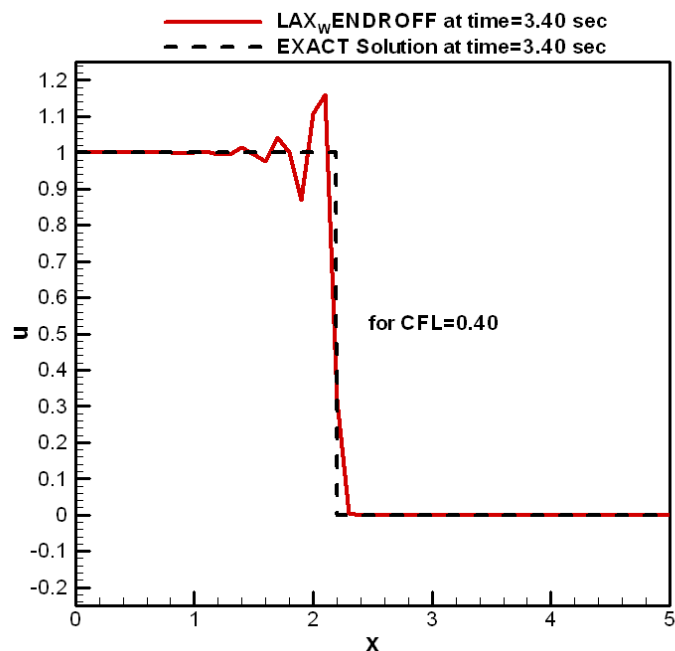
شکل ۴-۳۶ تا شکل ۴-۵۶ به نتایج ذکر شده می‌پردازند. همانطور که مشاهده می‌شود برخی از روش‌های عددی مانند لکس-وندروف، مک‌کورمک، رازانوف، ذوزنقه‌ای، فروم مرتبه دوم و WKL دارای نوساناتی نزدیک به نقطه ناپیوستگی بوده و در این میان روش لکس-وندروف و فروم مرتبه دوم دارای بیشترین و روش‌های WKL تنظیمی، مک‌کورمک و رازانوف با ω بزرگ دارای کمترین این نوسانات می‌باشند. لازم به یادآوری است که این نوسانات تماماً به خاطر ضعف آن روش عددی در تحلیل می‌باشد که با افزودن جملات با ویسکوزیته مصنوعی (عددی) می‌توان این مشکل را تا حدی بهبود بخشید.

دیگر روش‌های عددی با مقداری اختلاف با حل دقیق و بدون نوسان در همسایگی ناپیوستگی، رفتار جریان را شبیه‌سازی می‌کنند. در این میان شکل ۴-۳۷ را با شکل ۴-۴۷ مقایسه کنید. این دو شکل روش لکس-وندروف را در دو حالت مرتبه اول و دوم نشان می‌دهند. به خوبی یکنوا شدن روش را با افزایش مرتبه می‌توان مشاهده نمود.

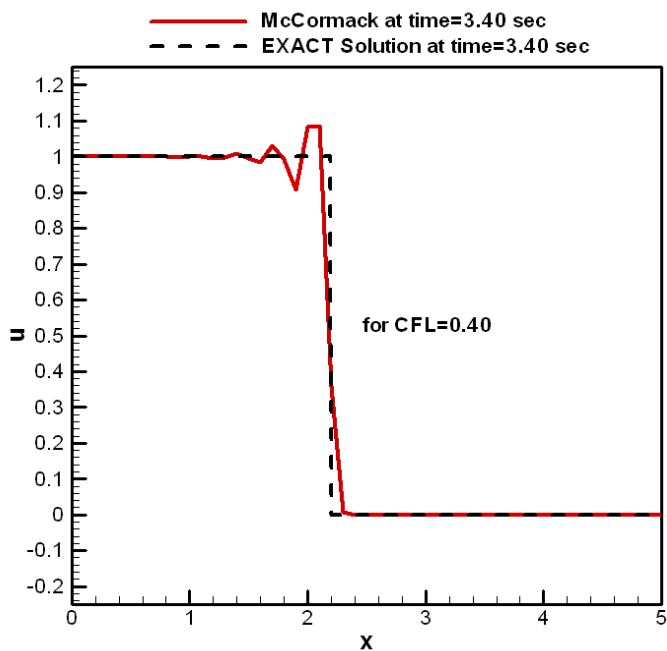
شکل ۴-۴ نتیجه تحلیل عددی روش انتقال تصحیحی شار با تقریب رو می‌باشد؛ همانطور که مشاهده می‌شود با افزایش پارامتر $C_{i+1/2}$ نتایج بهبود می‌یابند.



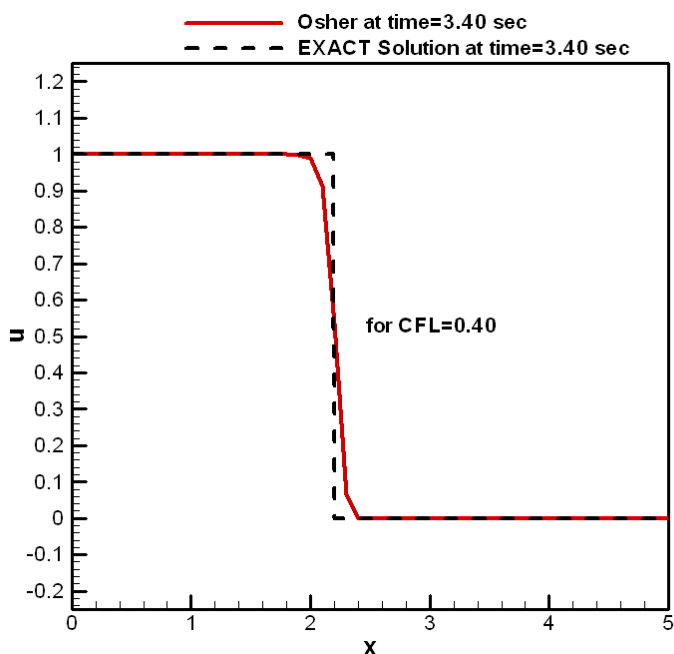
شکل ۴-۳۶: مقایسه نتایج روش لکس با حل دقیق



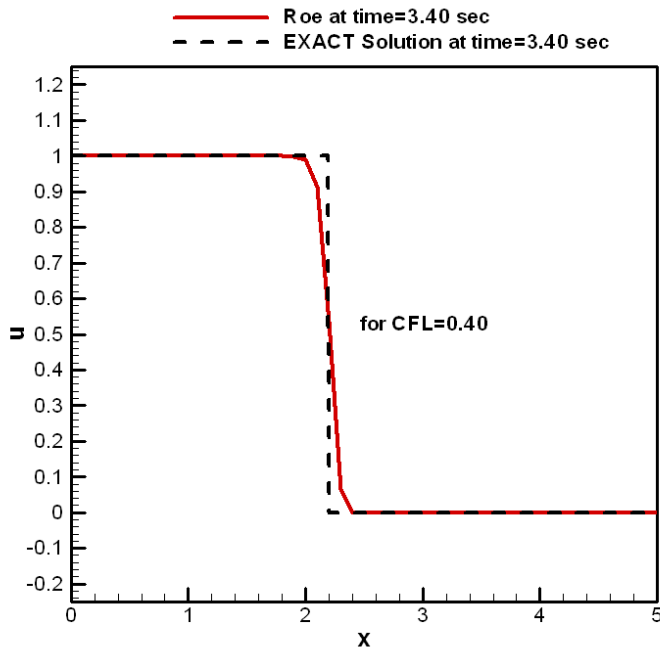
شکل ۴-۳۷: مقایسه نتایج روش لکس-وندروف با حل دقیق



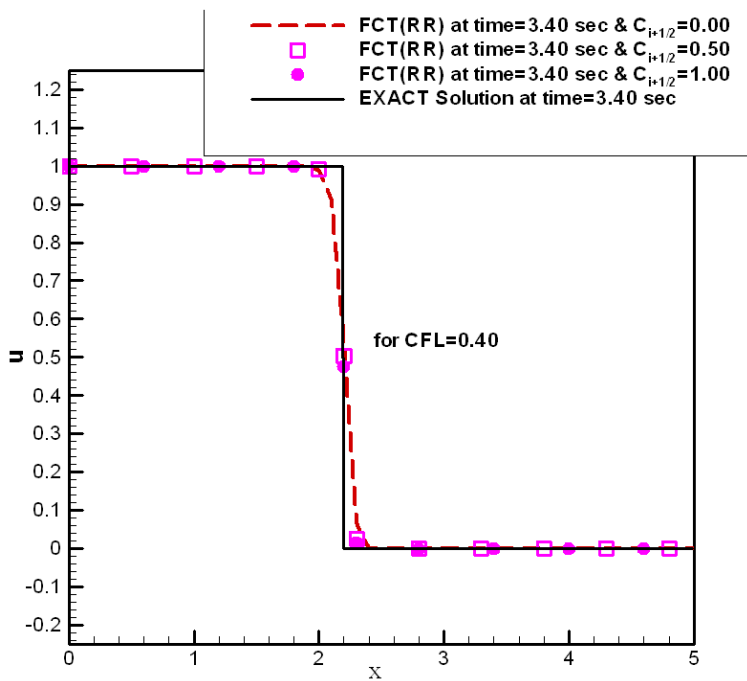
شکل ۴-۳۸: مقایسه نتایج روش مک‌کورمک با حل دقیق



شکل ۴-۳۹: مقایسه نتایج روش اوشر با حل دقیق



شکل ۴-۴۰: مقایسه نتایج روش رو با حل دقیق



شکل ۴-۴۱: مقایسه نتایج انتقال تصحیحی شار بر حسب تقریب رو با حل دقیق

با توجه به نتایج روش رازانوف که در شکل ۴-۴۲ ارائه گردیده‌اند متوجه این نکته خواهیم شد که در مقادیر کمتر و نزدیکتر به یک برای پارامتر ω نتایج بهتری از لحاظ مدلسازی گرفته می‌شود اما با این حال برای مقادیر بزرگ‌تر این متغیر روش یکنواختی بیشتری می‌یابد.

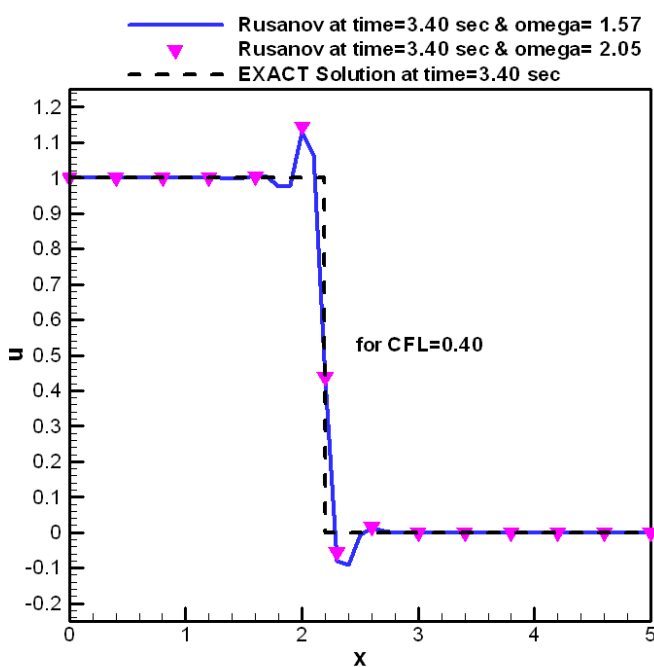
حال اگر شکل ۴-۴ را بررسی شود، مشاهده می‌شود که در روش ضمنی ذوزنقه‌ای اصلاح شده با افزایش پارامتر ω میزان نوسانات کمتر و در عوض همپوشانی روش نیز کمتر می‌گردد.

از طرفی با مقایسه شکل ۴-۴ با شکل ۴-۸ امی توان به افزایش دقت روش رو با بالاروی مرتبه آن پی برد.

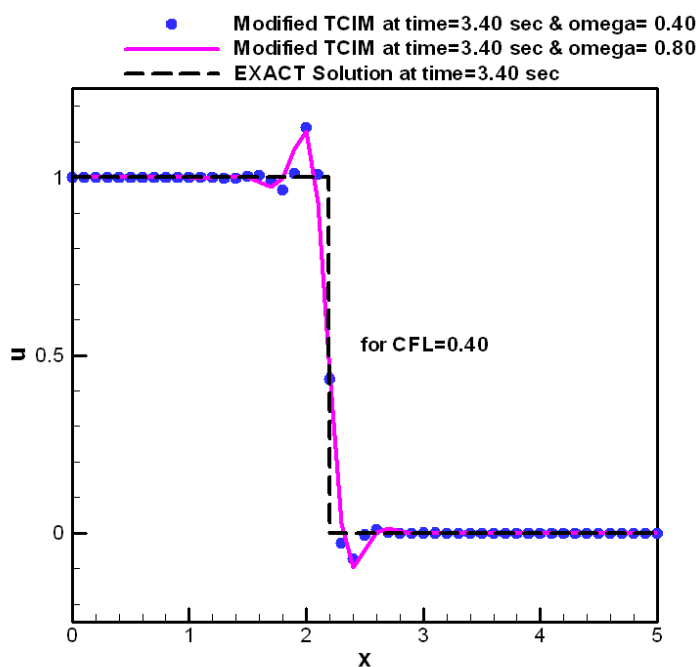
جهت بررسی دقت محدودکننده‌ها در شبیه‌سازی این مسئله، شکل ۴-۵ را در نظر بگیرید. این شکل محدودکننده چاکراوارتی را نشان می‌دهد و با دقت در آن دیده می‌شود که با افزایش مقدار پارامتر (بخش ۱۵.۱.۴) می‌توان به نتایج نزدیکتری به حل دقیق دست یافت.

در میان محدودکننده‌های مختلف می‌توان به دقت بهتر نوع سوپربی پی برد. این امر با مقایسه نتایج شکل ۴-۵ با باقی محدودکننده‌ها قابل مشاهده می‌باشد. این محدودکننده حالت تقارن را در ناپیوستگی‌ها حفظ کرده و در کل نتایج را در مقایسه با سایر محدودکننده‌ها بهتر و نزدیکتر به حل دقیق ارائه می‌دهد.

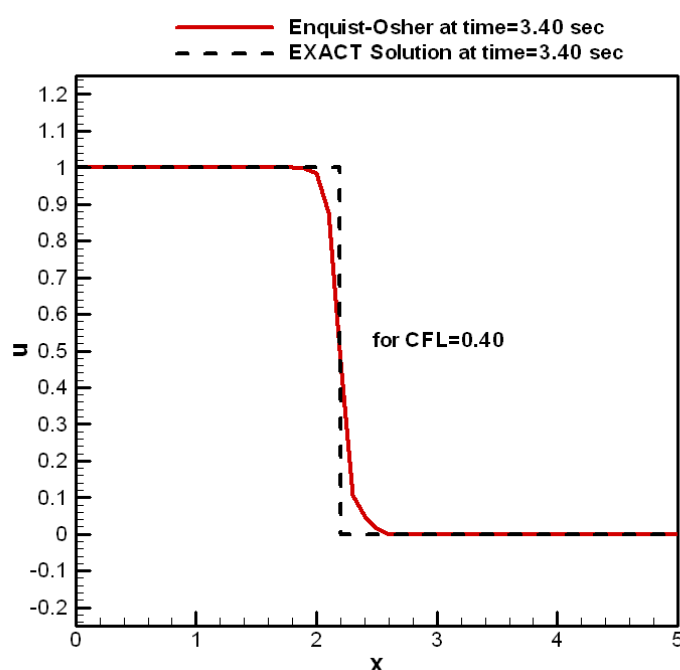
نتایج روش WKL بدون اصلاح و نوع تنظیم شده را می‌توان به ترتیب در شکل ۴-۵ و شکل ۴-۶ مشاهده کرد. باز می‌توان اینگونه نتیجه گرفت که با افزایش مقدار پارامتر ω از شدت نوسانات کمتر و از دقت همپوشانی روش تا حدودی کاسته می‌شود.



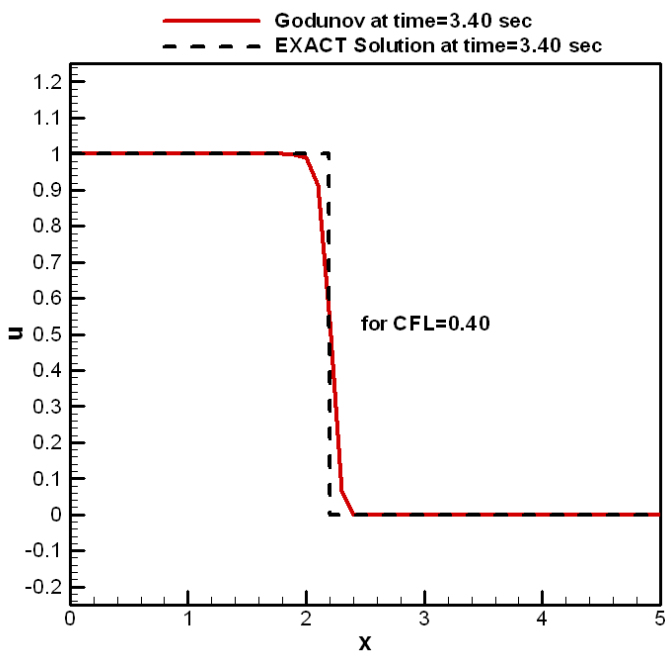
شکل ۴-۴: مقایسه نتایج روش رازانوف با حل دقیق



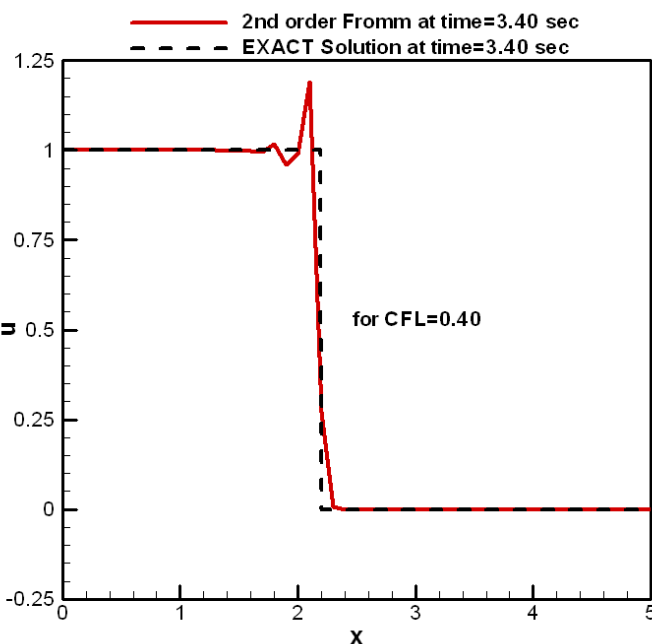
شکل ۴-۳: مقایسه نتایج روش ذوزنقه‌ای اصلاح شده با حل دقیق



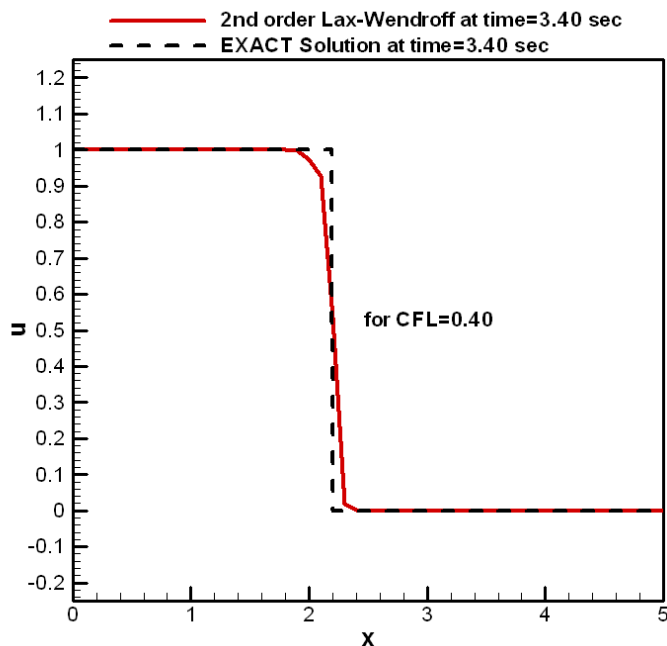
شکل ۴-۴: مقایسه نتایج روش انکوئیست-اوشر با حل دقیق



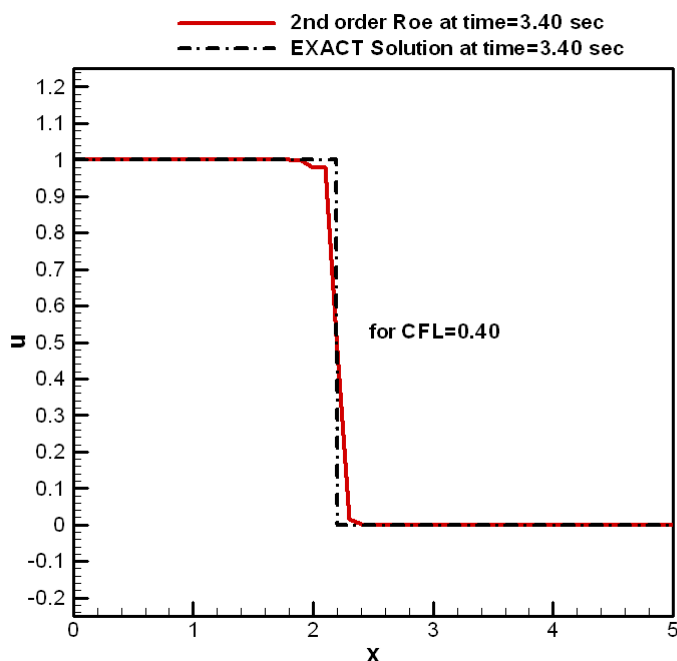
شکل ۴-۵: مقایسه نتایج روش گادانوف با حل دقیق



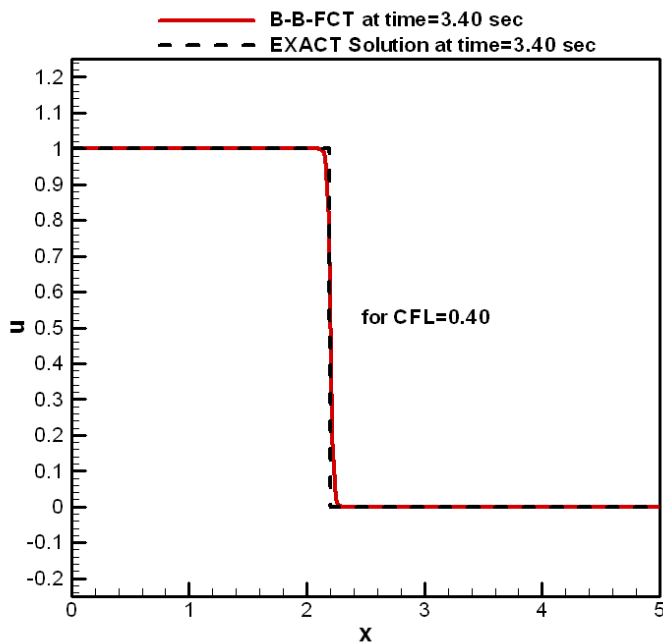
شکل ۴-۶: مقایسه نتایج روش فروم مرتبه دوم با حل دقیق



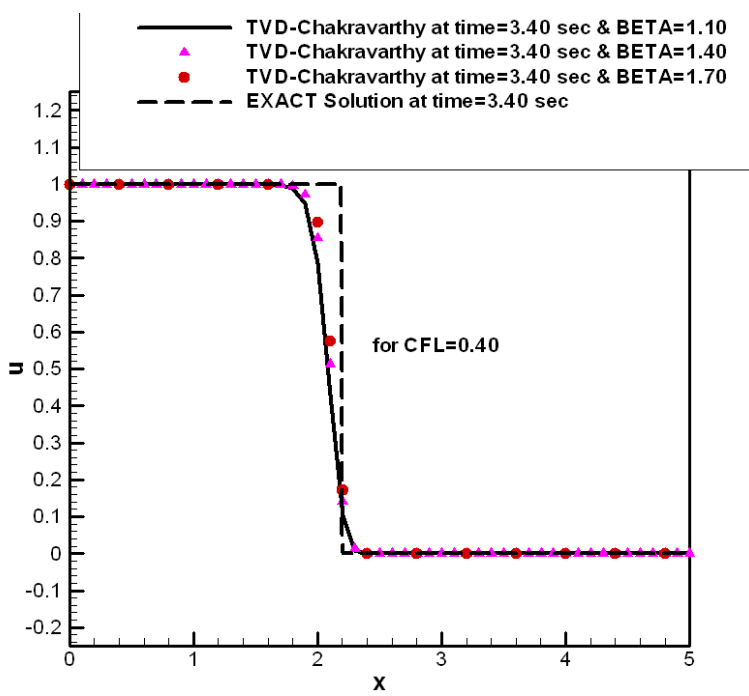
شکل ۴-۴۷: مقایسه نتایج روش لکس وندروف مرتبه دوم با حل دقیق



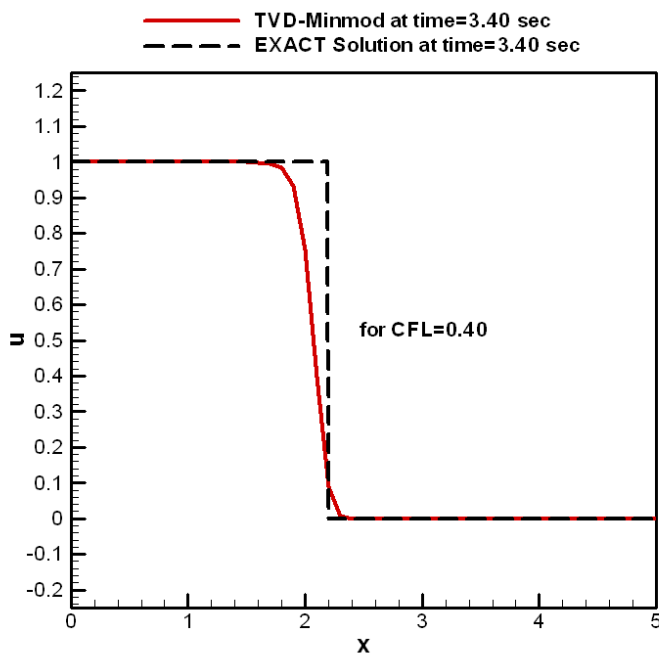
شکل ۴-۴۸: مقایسه نتایج روش رو مرتبه دوم با حل دقیق



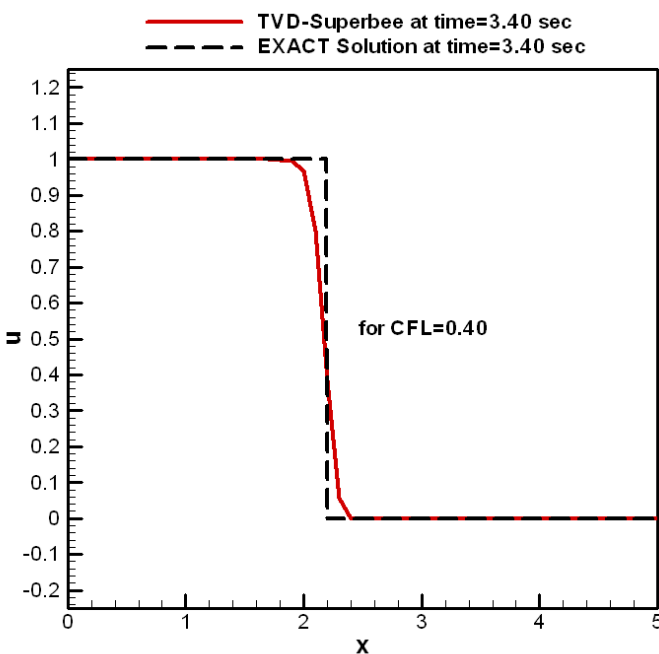
شکل ۴-۴۹: مقایسه نتایج روش انتقال تصحیحی شار با تقریب بوریس-بوک با حل دقیق



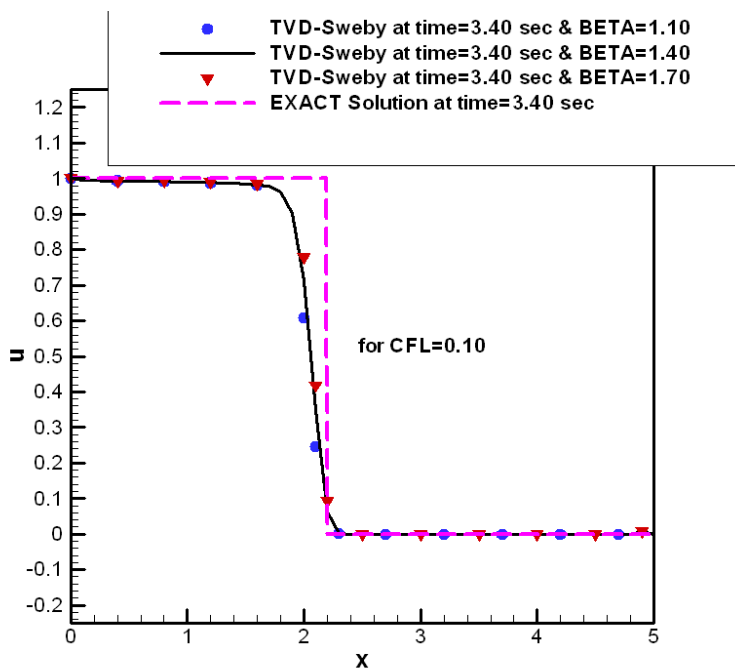
شکل ۴-۵۰: مقایسه نتایج روش‌های TVD با محدودکننده چاکراوارتی و حل دقیق



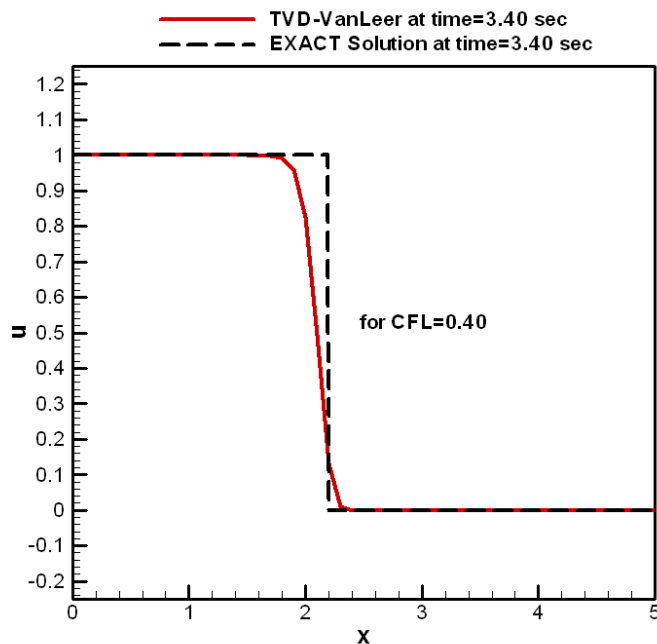
شکل ۴-۵۱: مقایسه نتایج روش‌های TVD با محدودکننده مینمود و حل دقیق



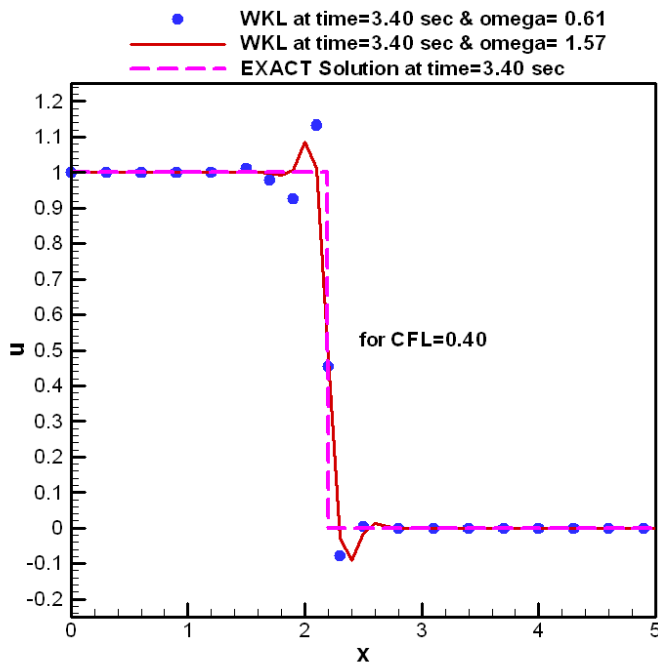
شکل ۴-۵۲: مقایسه نتایج روش‌های TVD با محدودکننده سوپربی و حل دقیق



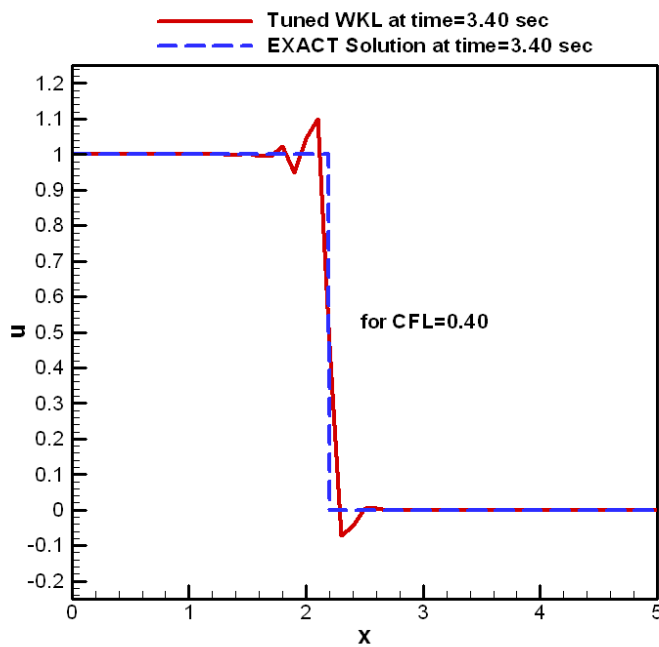
شکل ۴-۵۳: مقایسه نتایج روش‌های TVD با محدودکننده سوییبی و حل دقیق



شکل ۴-۵۴: مقایسه نتایج روش‌های TVD با محدودکننده ونلیر و حل دقیق



شکل ۴-۵۵: مقایسه نتایج روش WKL با حل دقیق



شکل ۴-۵۶: مقایسه نتایج روش WKL تنظیم شده با حل دقیق

اما با نگاهی اجمالی به نتایج روش‌های عددی ارائه شده متوجه خواهیم شد که در میان این روش‌ها، الگوریتم رو در دقت ریز، روش انتقال تصحیحی شار با تقریب بوریس-بوک و روش

گادانوف در دقت درشت برای مدلسازی تغییر ناگهانی مطرح شده از سایر روش‌ها بهتر نتیجه داده‌اند که در بین آنها روش FCT دارای بهترین دقت مشاهده می‌گردد. این امر به خاطر آن است که این روش در واقع از ترکیب دو روش با مرتبه خطای قطع مختلف بدست آمده است.

علاوه بر همپوشانی بسیار عالی با حل دقیق، مشکل نوسانات عددی حول ناپیوستگی نیز در روش انتقال تصحیحی شار از نوع بوریس بوک وجود ندارد. از طرفی این روش دارای خاصیت توافق با هر اندازه ریزی شبکه گسسته‌سازی بوده و بعلاوه برخلاف برخی از روش‌ها برای داشتن پاسخی مناسب و یکنوا محدود به طیف خاصی از عدد کورانت نمی‌باشد. از سویی، این روش مشکل نیاز به بررسی المان به المان شبکه مکانی را که برخی الگوریتم‌ها مثل گادانوف با آن مواجه هستند، ندارد.

در جدول ۴-۱ به مقایسه متوسط^۱ RMS درصد خطای روش‌های مختلف عددی (که در این بخش بحث شده‌اند) نسبت به حل دقیق و برای دو حالت شبکه گسسته‌سازی ریز (گام زمانی و مکانی به ترتیب $\Delta t = 0.004$ و $\Delta x = 0.01$) و درشت ($\Delta t = 0.04$ و $\Delta x = 0.1$) پرداخته شده است. توجه داشته باشید که عدد کورانت در دو حالت یکسان بوده و ملاک قیاس دو ستون این جدول صرفاً دقت گسسته‌سازی است. از نتایج این جدول نیز می‌توان روش FCT با تقریب بوریس-بوک را از میان تمامی روش‌ها، جهت شبیه‌سازی تغییرات ناگهانی انتخاب کرد. اما این روش در عین داشتن دقت به دلیل ماهیت صریح خود، حین اجرا مشکل صرف زمان نسبتاً زیاد را در قیاس با روش‌های ضمنی مثل روش دلتا دارد. از این رو برای حالت‌هایی از جریان که در آنها تغییرات ناگهانی برای متغیر وابسته‌ی مسئله وجود ندارد، می‌توان از روش‌های ضمنی که هم دارای سرعت بالا و هم دارای دقت نسبتاً خوبی هستند استفاده نمود.

^۱ Root Mean Square = $\sqrt{x_1^2 + x_2^2 + \dots + x_N^2} / N$

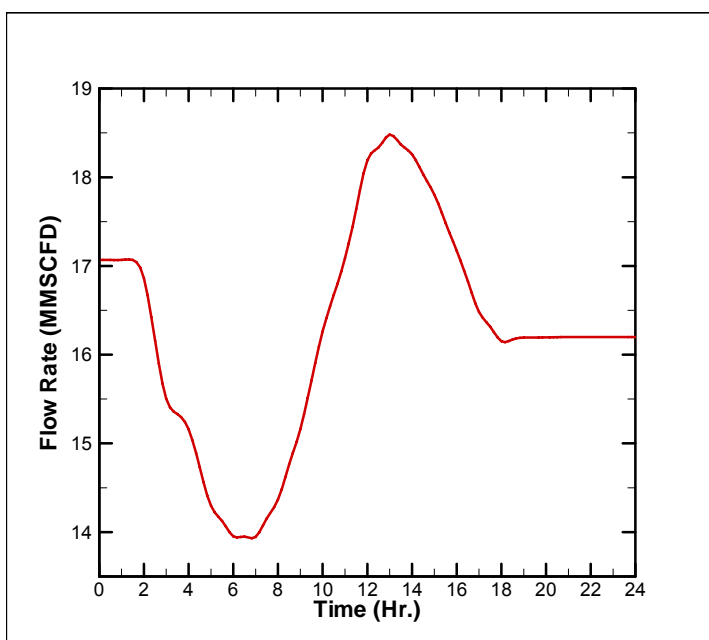
جدول ۴-۴: بررسی ماتریس خطای روش‌های عددی

نام روش عددی	متوجه RMS درصد خطای در دقت ۰.۰۱ مکانی و ۰.۰۰۴ زمانی	متوجه RMS درصد خطای در دقت ۰.۰۰۱ مکانی و ۰.۰۰۴ زمانی	متوجه RMS درصد خطای در دقت ۰.۰۰۴ زمانی و ۰.۰۰۱ مکانی
لکس	۱/۷۰۰	۸/۸	
لکسوندروف	۶/۶۴	۲/۱۹	
مک‌کورمک	۶/۶۰	۲/۱۸	
رازانوف	۶/۶۶	۲/۲۰	
WKL	۶/۶۳	۲/۱۸	
WKL تنظیمی	۶/۶۳	۲/۱۶	
ذوزنقه‌ای	۶/۶۴	۲/۱۷	
گادانوف	۶/۲۸	۳/۲۴	
رو	۶/۵۳	۲/۱۰	
اوشر	۶/۵۳	۲/۱۶	
انکوئیست - اوشر	۶/۴۹	۲/۱۶	
رو مرتبه دوم	۶/۵۵	۲/۱۴	
لکسوندروف مرتبه دوم	۶/۵۳	۲/۱۸	
فروم مرتبه دوم	۶/۶۳	واگرا	
FCT با تقریب رو	۶/۵۵	واگرا	
FCT با تقریب بوریس - بوک	۱/۵	۰/۵۵	
TVD-chakravarthy	۶/۲۷	واگرا	
TVD-vanleer	۶/۱۵	واگرا	
TVD-minmod	۶/۰۶	واگرا	
TVD-superbee	۶/۴۲	۲/۲	
TVD-sweby	۶/۹۸	واگرا	

۱۹.۱.۴ مقایسه نتایج روش ضمنی دلتا با الگوریتم TVD (دسته دوم)

در این قسمت به مقایسه نتایج بدست آمده از روش کاملاً ضمنی بحث شده در بخش ۱۶.۱.۴ و نتایج الگوریتم TVD روی هشت حالت خاص جریان، پرداخته خواهد شد. این هشت حالت که مربوط به جریان گذرا می‌باشند قبلًا با استفاده از روش TVD و توسط ژو و آدومی [۷] مورد تحلیل واقع شده‌اند که در این کار نتایج آنها مورد استفاده قرار خواهد گرفت. هشت حالت مطرح شده به طور خلاصه به شرح ذیل می‌باشند حالت دوم یک حالت تقریباً واقعی از جریان درون یک لوله برای مدت

۲۴ ساعت می‌باشد. در این حالت لوله‌ای با قطر داخلی $8/5$ اینچ، طول $44/9$ مایل و زبری $0/0243$ اینچ در حالت اولیه دارای جریان یکنواخت $MMSCFD\ 17/07$ و توزیع فشار، متناسب با این توزیع دبی می‌باشد. طی ۲۴ ساعت مدلسازی دبی خروجی مطابق شکل ۵۷-۴ تغییر کرده و در این مدت زمان، فشار ورودی $610\ psi$ ثابت نگه داشته می‌شود. سرعت صوت درون گاز برای این حالت $1207/3\ ft/sec$ بوده و چگالی نسبی گاز طبیعی در دمای ثابت شیوه‌سازی (50^0F) برابر $0/675$ می‌باشد. برای محاسبه ضریب اصطکاک این حالت از پارامترهای مسئله در جریان حالت دائم می‌توان کمک گرفته و مقدار آن را ثابت فرض نمود.



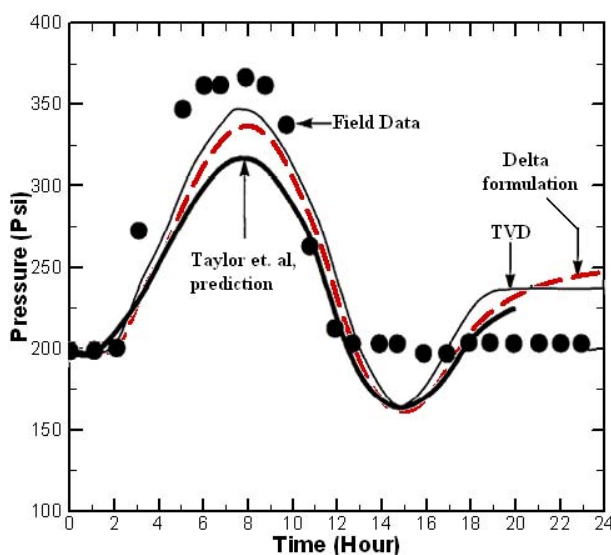
شکل ۵۷-۴: تغییرات دبی خروجی بر حسب زمان اعمال شده به حالت دوم

در شکل ۵۸-۴ به مقایسه نتایج روش ضمنی با مقادیر بدست آمده از روش‌های TVD و آزمایشگاهی برای توزیع فشار در خروجی لوله پرداخته شده است. همچنین در این شکل نتایجی که از کار تیلور و همکارانش [۸] به دست آمده، آورده شده است. آنها در کار مشابهی با صرفنظر کردن از جمله اینرسی در معادله مومنتوم و ایجاد دستگاه معادلات حاکم با مشتقات جزئی خطی به حل آن با روش خطوط مشخصه^۱ پرداختند. همانطور که مشاهده می‌شود توافق خوبی در بین این روش‌ها برای نتایج روش ضمنی با نتایج حاصل از آزمایش وجود دارد. این یافته‌ها نشان می‌دهند که با وجود ماهیت سیکلی دبی اعمال شده در خروجی، فشار در حدود دو ساعت اول مدلسازی ثابت می‌ماند. دلیل

^۱ MOC (Method of Characteristics)

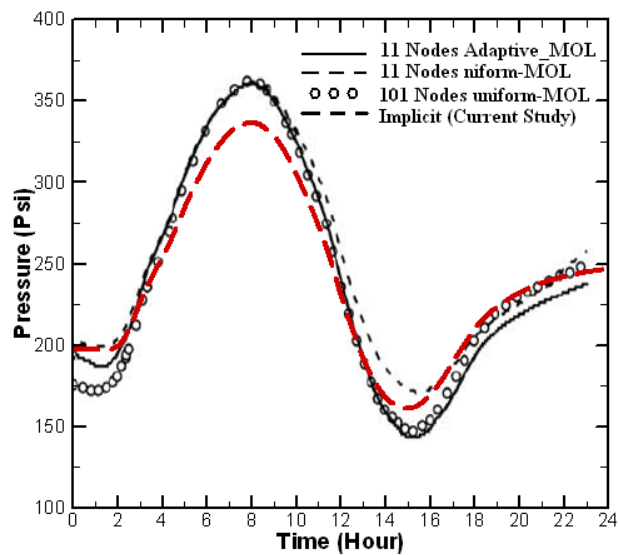
منطقی این پدیده را می‌توان با توجه به اینرسی و میرایی توجیه نمود. با توجه به ماهیت غیرخطی مدل و روش حاضر که در آن از هیچ جمله یا پارامتر معادلات حاکم صرفنظر نشده است مشاهده می‌شود که به خصوص در ۶ ساعت اول شبیه‌سازی و ساعات ۱۰ تا ۱۷ آن تطابق بسیار خوبی بین روش TVD و روش ضمنی حاضر وجود دارد.

از طرفی در شکل ۵۹-۴ به مقایسه نتایج بدست آمده از روش ضمنی با یافته‌های حاصل از روش خطوط^۱ که در کار تنتیس و مارگاریس [۱۰] آورده شده است، پرداخته می‌شود. با ملاحظه این شکل به راحتی می‌توان متوجه نزدیکی بیشتر مقادیر بین روش ضمنی با روش خطوط نسبت به روش TVD شد.

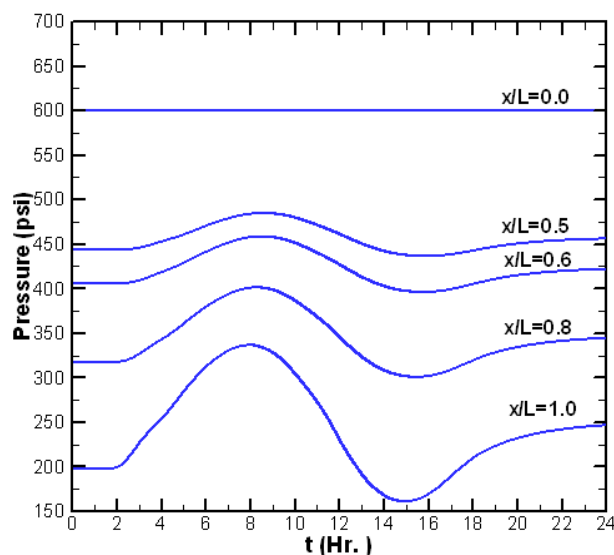


شکل ۵۹-۴: مقایسه نتایج محاسبه شده و تجربی برای فشار خروجی لوله در حالت دوم

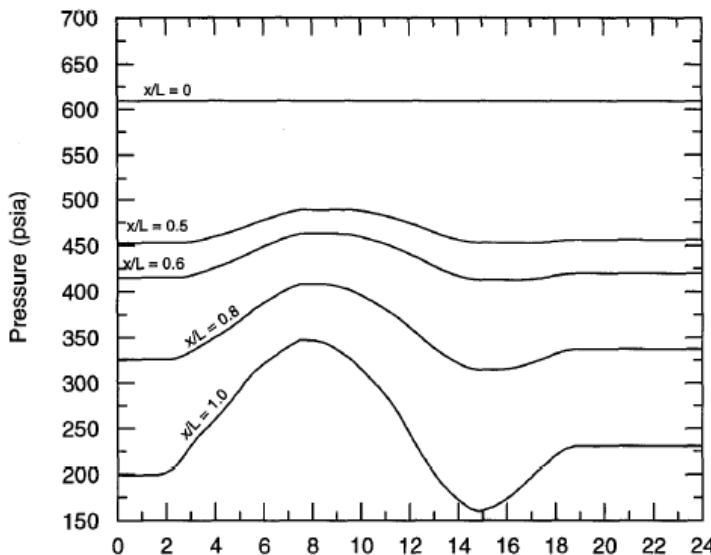
^۱ Method of Lines (MOL)



شکل ۴-۵۹: مقایسه نتایج محاسبه شده با نتایج خطوط برای فشار خروجی لوله در حالت دوم



شکل ۴-۶۰: نتایج روش ضمنی برای فشار در چند نقطه از لوله (حالت دوم)

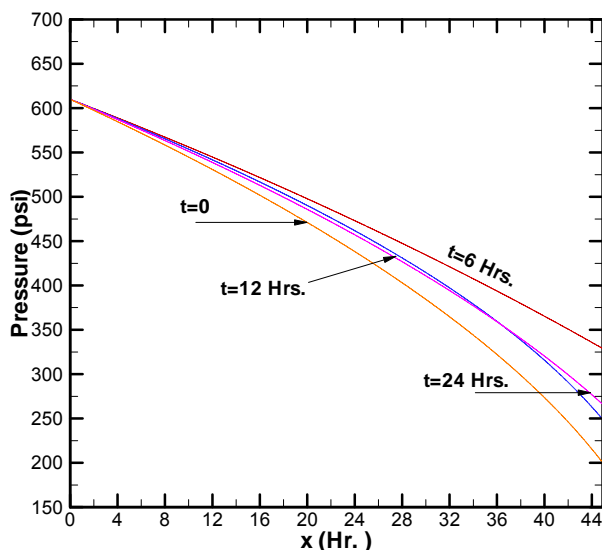


شکل ۶۱-۴: نتایج الگوریتم TVD برای فشار در چند نقطه از لوله (حالت دوم)

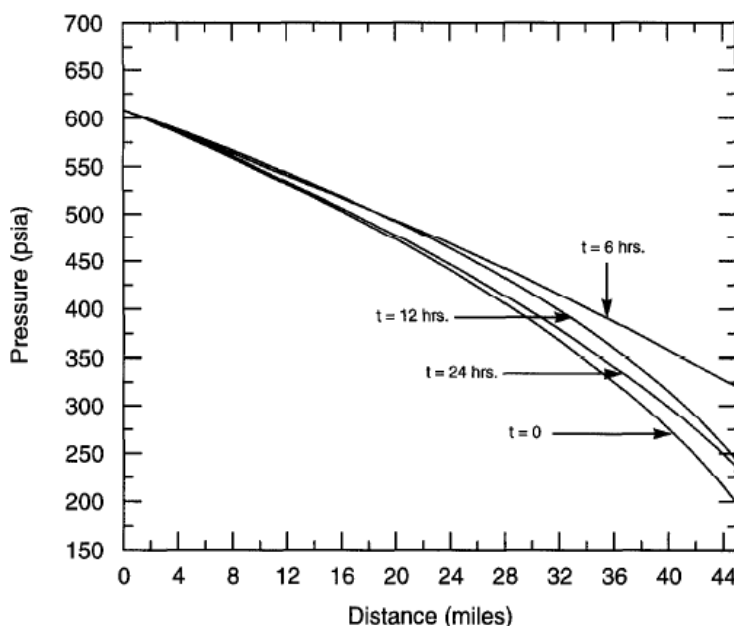
همچنین نتایج تغییرات نقاط فشار مختلف لوله بر حسب زمان برای دو حالت روش ضمنی دلتا (کار حاضر) و روش TVD (مرجع [۷]) به ترتیب در شکل ۶۰-۴ و شکل ۶۱-۴ آورده شده است که مجدداً متوجه توافق مناسب بین آنها خواهیم شد (L/x نسبت موقعیت مورد نظر به کل طول لوله است، به عنوان نمونه $x/L = 0.5$ بیانگر وسط لوله و $x/L = 0$ بیانگر ابتدای آن می‌باشد). همچنین مشاهده می‌شود که روند تغییرات مقادیر فشار از ورودی به خروجی دارای سیری نزولی است که علت آن افت فشار ناشی از عبور جریان و دبی حاصل از آن می‌باشد.

در شکل ۶۲-۴ توزیع فشار درون لوله برای چهار لحظه ابتدا، ششمین، دوازدهمین و بیست و چهارمین ساعت شبیه‌سازی به نمایش گذاشته شده است. این نتایج از روش ضمنی بدست آمده‌اند و نتایج مشابه آنها و حاصل از روش TVD در شکل ۶۳-۴ نشان داده شده است. می‌توان ملاحظه کرد که نتایج برای زمان‌های مختلف در دو روش بسیار نزدیک به هم بوده و افت فشار به دست آمده از دو روش در ساعات مختلف و برای نقاط مختلف لوله تقریباً یکسان می‌باشد. از طرفی منحنی مربوط به لحظه صفر همان نموداری است که برای توزیع فشار حالت دائم (شرط اولیه) استفاده شده است. با توجه به این شکل‌ها به راحتی می‌توان افت فشار یکنواخت را درون لوله از ورودی به خروجی برای هر چهار زمان مشاهده کرد. همچنین در این شکل‌ها می‌توان دید که افت فشار بر حسب زمان در ۱۰ مایل ابتدای لوله خیلی زیاد نیست که علت این امر در تغییر سیکلی دبی در خروجی و اثر کم

آن در ورودی که مرزی با فشار ثابت است می‌باشد. این مسئله را به طور واضح‌تر در شکل ۶۰-۴ یا شکل ۶۱-۴ می‌توان دید. همانطور که در این دو شکل می‌بینیم برای هر زمان اثرات تغییر فشار از خروجی (منحنی زیرین) به ورودی (بالاترین منحنی) کمتر و کمتر می‌گردد و یا به عبارتی دامنه تغییرات در آنها رو به کاهش می‌گذارد.



شکل ۶۲-۴: نتایج الگوریتم ضمنی برای توزیع فشار در کل لوله برای چند زمان خاص(حالت دوم)



شکل ۶۳-۴: نتایج الگوریتم TVD برای توزیع فشار در کل لوله برای چند زمان خاص(حالت دوم)

۲.۴ روش توابع تبدیل در حل جریان غیر دائم گاز

در اینجا قصد بر این است که به بیان توصیف فرکانسی جریان غیر دائم گاز در حالت کلی و بدون صرفنظر از هیچ جمله از معادله مومنتوم پرداخته شود. معادلات بقای حاکم بر جریان گذراي گاز و برای حالت کلی لوله به صورت نشان داده شده در معادلات (۲۲۷-۴) تا (۲۲۹-۴) هستند.

$$\frac{\partial \rho}{\partial t} + \frac{\partial(\rho u)}{\partial x} = -\rho u \beta \quad (227-4)$$

$$\frac{\partial(\rho u)}{\partial t} + \frac{\partial(\rho u^2 + P)}{\partial x} = -\frac{\rho u |u|}{2D} f - \rho g \sin \alpha - \rho u^2 \beta \quad (228-4)$$

$$\frac{\partial(\rho e_0)}{\partial t} + \frac{\partial[(\rho e_0 + P) u]}{\partial x} = \frac{\rho u^2 |u|}{2D} f + \rho q - (\rho e_0 + P) u \beta \quad (229-4)$$

که در آن f ، β و دیگر پارامترها در جدول الف-۱ (پیوست) بیان می‌گردند. با تقریب خوبی، می‌توان از رابطه $\sin(\alpha) \approx \Delta h / L$ استفاده کرد. از طرفی ضریب تراکم‌پذیری، به شکل $Z = 1 + \hat{k}P$ قابل تعریف است که \hat{k} با فرض جریان هم‌دما جدول‌بندی می‌گردد. حال با استفاده از ساده‌سازی گفته شده، با معادله حالت و با بیان دبی جرمی، می‌توان تا حد امکان معادله‌های پیوستگی و بقای مومنتوم را بر حسب جملاتی از دبی و فشار مرتب کرد.

$$\frac{\partial}{\partial t} \left(\frac{P}{(1 + \hat{k}P) RT} \right) + \frac{1}{A} \frac{\partial \dot{m}}{\partial x} = -\frac{\dot{m}}{A} \beta \quad (230-4)$$

$$\begin{aligned} \frac{\partial P}{\partial x} &= -\frac{1}{A} \frac{\partial \dot{m}}{\partial t} - RT \frac{\partial}{\partial x} \left(\frac{1 + \hat{k}P}{A^2 P} \dot{m}^2 \right) - \\ &\quad - \frac{f}{2DA^2} \frac{\dot{m} |\dot{m}|}{P} (1 + \hat{k}P) RT - \\ &\quad - g \frac{\Delta h}{L} \frac{P}{(1 + \hat{k}P) RT} - \frac{(1 + \hat{k}P) RT}{A^2 P} \dot{m}^2 \beta \end{aligned} \quad (231-4)$$

می‌توان جملات دوم و آخر سمت راست تساوی معادله مومتوم را به ترتیب با استفاده از تعاریف گفته شده و با استفاده از معادله پیوستگی، باز ساده‌تر کرد.

$$-RT \frac{\partial}{\partial x} \left(\frac{1 + \hat{k}P}{A^2 P} \dot{m}^2 \right) = 2 \frac{RT}{PA^3} \dot{m}^2 (1 + \hat{k}P) \frac{dA}{dx} + \quad (232-4)$$

$$-2\dot{m} \frac{RT}{A^2 P} (1 + \hat{k}P) \frac{\partial \dot{m}}{\partial x} - \frac{RT}{A^2} \dot{m}^2 \frac{\partial}{\partial x} \left(\frac{1 + \hat{k}P}{P} \right)$$

$$\begin{aligned} & -\frac{(1 + \hat{k}P)RT}{A^2 P} \dot{m}^2 \beta = \\ & = \frac{(1 + \hat{k}P)RT}{AP} \dot{m} \left\{ \frac{\partial}{\partial t} \left(\frac{P}{(1 + \hat{k}P)RT} \right) + \frac{1}{A} \frac{\partial \dot{m}}{\partial x} \right\} \end{aligned} \quad (233-4)$$

لذا معادله بقای مومتوم به صورت زیر بازنویسی خواهد شد.

$$\begin{aligned} \frac{\partial P}{\partial x} = & -\frac{1}{A} \frac{\partial \dot{m}}{\partial t} + 2 \frac{RT}{PA^2} \dot{m}^2 (1 + \hat{k}P) \beta - \\ & - \frac{\dot{m}RT}{A^2} \frac{\partial}{\partial x} \left(\frac{\dot{m}(1 + \hat{k}P)}{P} \right) + \\ & - \frac{f}{2DA^2} \frac{\dot{m}|\dot{m}|}{P} (1 + \hat{k}P) RT - g \frac{\Delta h}{L} \frac{P}{(1 + \hat{k}P)RT} + \\ & + \frac{(1 + \hat{k}P)RT}{AP} \dot{m} \left\{ \frac{\partial}{\partial t} \left(\frac{P}{(1 + \hat{k}P)RT} \right) \right\} \end{aligned} \quad (234-4)$$

همانطور که مشاهده می‌شود، کلیه جملات بر حسب فشار و دبی مرتب شده‌اند که این امر تحلیل مسئله را با استفاده از ورودی و خروجی‌هایی که بر اساس همین دو پارامتر هستند، بسیار راحت‌تر خواهد نمود. جهت تحلیل مسئله در فضای لایاس و بررسی فرکانسی پاسخ‌ها، نیاز به خط‌سازی معادلات بالا می‌باشد؛ برای این، می‌توان از بسط تیلور تک‌تک جملات استفاده کرده و جملات با

مرتبه دوم به بالا در آن حذف کرد؛ برای نمونه، خطی‌سازی جمله‌ای در معادلات نوشته شده که به شکل تابع $F(u_1, u_2, u_3, u_4, \dots)$ است، به فرم زیر خواهد شد.

$$\begin{aligned} F(u_1, u_2, u_3, u_4, \dots) &\approx F(u_{1,0}, u_{2,0}, u_{3,0}, u_{4,0}, \dots) + \\ &+ \frac{\partial F}{\partial u_1} \Bigg|_{\substack{u_1=u_{1,0} \\ u_2=u_{2,0} \\ u_3=u_{3,0} \\ \dots}} (u_1 - u_{1,0}) + \frac{\partial F}{\partial u_2} \Bigg|_{\substack{u_1=u_{1,0} \\ u_2=u_{2,0} \\ u_3=u_{3,0} \\ \dots}} (u_2 - u_{2,0}) + \\ &+ \frac{\partial F}{\partial u_3} \Bigg|_{\substack{u_1=u_{1,0} \\ u_2=u_{2,0} \\ u_3=u_{3,0} \\ \dots}} (u_3 - u_{3,0}) + \dots \end{aligned} \quad (235-4)$$

البته می‌توان جهت راحتی گرفتن لاپلاس، هر کدام از اختلاف‌های متغیر از مقدار ثابتش را با اوپراتور Δ نشان داد. برای وضوح بیشتر، با فرض جملات زیر،

$$F(P, \dot{m}) = RT \frac{\partial}{\partial x} \left(\frac{1 + \hat{k}P}{A^2 P} \dot{m}^2 \right) \quad (236-4)$$

خطی‌سازی این جمله به شکل:

$$\begin{aligned} \Delta F &= \frac{2\dot{m}_0 R T_0}{A_0^2} \frac{(1 + \hat{k}P_0)}{P_0} \frac{\partial \Delta \dot{m}}{\partial x} + \\ &+ \frac{\dot{m}_0^2 R T_0}{A_0^2} \frac{[\hat{k}P_0 - (1 + \hat{k}P_0)]}{P_0^2} \frac{\partial \Delta P}{\partial x} \end{aligned} \quad (237-4)$$

خواهد شد. با توجه به این نکته، پس از خطی‌سازی همه‌ی جملات معادلات پیوستگی و بقای مومنتوم حول نقاط P_0 ، A_0 ، Z_0 ، T_0 ، \dot{m}_0 و ... می‌توان نوشت:

$$\frac{1}{R_0 T_0} \frac{[(1 + \hat{k}P_0) - \hat{k}P_0]}{(1 + \hat{k}P_0)^2} \frac{\partial \Delta P}{\partial t} + \frac{1}{A_0} \frac{\partial \Delta \dot{m}}{\partial x} = - \frac{\dot{m}_0}{A_0^2} \frac{d \Delta A}{dx} \quad (238-4)$$

$$\begin{aligned}
\frac{\partial \Delta P}{\partial x} = & -\frac{1}{A_0} \frac{\partial \Delta \dot{m}}{\partial t} + 2 \frac{R T_0}{P_0 A_0^2} \dot{m}_0^2 (1 + \hat{k} P_0) \frac{1}{A_0} \frac{d \Delta A}{dx} + \\
& - \frac{\dot{m}_0 R T_0}{A_0^2} \frac{(1 + \hat{k} P_0)}{P_0} \frac{\partial \Delta \dot{m}}{\partial x} - \\
& - \frac{\dot{m}_0^2 R T_0}{A_0^2} \frac{[\hat{k} P_0 - (1 + \hat{k} P_0)]}{P_0^2} \frac{\partial \Delta P}{\partial x} + \\
& - 2 \frac{f}{2 D A_0^2} \frac{|\dot{m}_0| \Delta \dot{m}}{P_0} (1 + \hat{k} P_0) R T_0 + \\
& - \frac{f}{2 D A^2} \dot{m}_0 |\dot{m}_0| R T_0 \frac{[\hat{k} P_0 - (1 + \hat{k} P_0)]}{P_0^2} \Delta P + \\
& - g \frac{\Delta h}{L} \frac{[(1 + \hat{k} P_0) - \hat{k} P_0] \Delta P}{(1 + \hat{k} P_0)^2 R T_0} + \\
& + \frac{\dot{m}_0 (1 + \hat{k} P_0)}{A_0 P_0} \frac{[(1 + \hat{k} P_0) - \hat{k} P_0]}{(1 + \hat{k} P_0)^2} \frac{\partial \Delta P}{\partial t}
\end{aligned} \tag{۲۳۹-۴}$$

با مرتب کردن و ساده‌سازی جملات نوشته شده و جایگزینی $Z_0 = (1 + \hat{k} P_0)$ و بعد از آن جایگزینی با سرعت صوت به صورت $c = Z_0 \sqrt{R T_0}$ ، می‌توان از روابط بالا به عبارات زیر دست

یافت:

$$\begin{aligned}
\frac{1}{c^2} \frac{\partial \Delta P}{\partial t} + \frac{1}{A_0} \frac{\partial \Delta \dot{m}}{\partial x} = & - \frac{\dot{m}_0}{A_0^2} \frac{d \Delta A}{dx} \\
\left\{ 1 - \frac{\dot{m}_0^2 R T_0}{P_0^2 A_0^2} \right\} \frac{\partial \Delta P}{\partial x} = & - \frac{1}{A_0} \frac{\partial \Delta \dot{m}}{\partial t} - \frac{\dot{m}_0 c^2}{Z_0 A_0^2 P_0} \frac{\partial \Delta \dot{m}}{\partial x} - \\
& - \frac{|\dot{m}_0| f c^2}{D Z_0 A_0^2 P_0} \Delta \dot{m} + \frac{f R T_0}{2 D A^2} \frac{|\dot{m}_0|}{P_0^2} \Delta P - g \frac{\Delta h}{L} \frac{\Delta P}{c^2} + \\
& + \frac{\dot{m}_0}{A_0 Z_0 P_0} \frac{\partial \Delta P}{\partial t} + \frac{2 c^2 \dot{m}_0^2}{Z_0 P_0 A_0^3} \frac{d \Delta A}{dx}
\end{aligned} \tag{۲۴۰-۴}$$

همچنین با استفاده از معادله (۲۴۰-۴) (پیوستگی) می‌توان رابطه زیر را استخراج کرد:

$$\frac{\partial \Delta \dot{m}}{\partial x} = -\frac{\dot{m}_0}{A_0} \frac{d\Delta A}{dx} - \frac{A_0}{c^2} \frac{\partial \Delta P}{\partial t} \quad (242-4)$$

و از این رابطه، برای مرتب کردن جملات رابطه مومنتوم استفاده کرد:

$$\begin{aligned} & \left\{ 1 - \frac{\dot{m}_0^2 R T_0}{P_0^2 A_0^2} \right\} \frac{\partial \Delta P}{\partial x} = \\ & -\frac{1}{A_0} \frac{\partial \Delta \dot{m}}{\partial t} + \frac{2\dot{m}_0}{Z_0 A_0 P_0} \frac{\partial \Delta P}{\partial t} - \frac{|\dot{m}_0| f c^2}{D Z_0 A_0^2 P_0} \Delta \dot{m} + \\ & + \left\{ \frac{f R T_0}{2 D A^2} \frac{|\dot{m}_0|}{P_0^2} - \frac{g \Delta h}{L c^2} \right\} \Delta P + \frac{3 c^2 \dot{m}_0^2}{Z_0 P_0 A_0^3} \frac{d \Delta A}{dx} \end{aligned} \quad (243-4)$$

از طرفی می‌توان پارامتر بدون بعد $x/L = \xi$ را برای هر موقعیت از لوله تعریف کرده و در همان موقعیت (ξ) ، سرعت متوسط گاز را به شکل $u_0(\xi) = \dot{m}_0 Z_0 R T_0 / P_0 A_0$ بیان کرد؛ پارامترهای بی‌بعد دیگری که مناسب این رابطه هستند عبارتند از:

$$\begin{aligned} t^* &= t / (L/c), \quad P^* = P / P_s \\ \rho^* &= \rho / \rho_s = (P / c^2) / (P_s / c^2) = P^* \\ \dot{m}^* &= \dot{m} c / P_s A_0 \end{aligned} \quad (244-4)$$

از این رو با استفاده از رابطه (244-4) معادلات پیوستگی و مومنتوم بحث شده در بالا (روابط (242-4) و (243-4)) به شکل زیر درخواهند آمد:

$$\begin{aligned} \frac{\partial \Delta \dot{m}^*}{\partial \xi} &= -\frac{\partial \Delta P^*}{\partial t^*} - \frac{\dot{m}_0^*}{A_0} \frac{d \Delta A}{d \xi} \quad (245-4) \\ \left[1 - \frac{u_0^2(\xi)}{c^2} \right] \frac{\partial \Delta P^*}{\partial \xi} &= -\frac{\partial \Delta \dot{m}^*}{\partial t^*} + \frac{2u_0(\xi)}{c} \frac{\partial \Delta P^*}{\partial t^*} - \\ & - \frac{|u_0(\xi)| f L}{D c} \Delta \dot{m}^* + \left\{ \frac{f L}{2 D} \frac{|u_0(\xi)|}{c^2} - \frac{g \Delta h}{c^2} \right\} \Delta P + \quad (246-4) \\ & + \frac{3 P_0^* Z_0}{A_0} \frac{u_0^2(\xi)}{c^2} \frac{d \Delta A}{d \xi} \end{aligned}$$

حتی با تعیین روابط زیر نیز کار را می‌توان راحت‌تر کرد:

$$L^* = L / D, \quad u^* = u_0(\xi) / c \quad (247-4)$$

و برای راحتی محاسبات برای کل لوله، می‌توان مقدار متوسطی را برای u_0 به صورت زیر در نظر گرفت:

$$u_0 = \frac{(\dot{m}_{in} + \dot{m}_{out}) Z_0 R T_0}{(P_{in} + P_{out}) A_0} \quad (248-4)$$

که با این تفسیر، روابط بی‌بعد بقای مومنتوم و پیوستگی به فرم زیر در خواهد آمد:

$$\frac{\partial \Delta \dot{m}^*}{\partial \xi} = -\frac{\partial \Delta P^*}{\partial t^*} - \dot{m}_0^* \frac{d \Delta A}{A_0 d \xi} \quad (249-4)$$

$$\begin{aligned} [1 - u^{*2}] \frac{\partial \Delta P^*}{\partial \xi} &= -\frac{\partial \Delta \dot{m}^*}{\partial t^*} + 2u^* \frac{\partial \Delta P^*}{\partial t^*} - |u^*| f L^* \Delta \dot{m}^* + \\ &+ \left\{ \frac{f L^*}{2} u^* |u^*| - \frac{g \Delta h}{c^2} \right\} \Delta P^* + 3P_0^* Z_0 u^{*2} \frac{d \Delta A}{A_0 d \xi} \end{aligned} \quad (250-4)$$

در این مرحله می‌توان به سادگی تمام جملات را به حوزه‌ی لاپلاس برد:

$$\frac{\partial \Delta \dot{m}^*(s)}{\partial \xi} = -s \Delta P^*(s) - \dot{m}_0^* \frac{d \Delta A(s)}{A_0 d \xi} \quad (251-4)$$

$$\begin{aligned} [1 - u^{*2}] \frac{\partial \Delta P^*(s)}{\partial \xi} &= -s \Delta \dot{m}^*(s) + 2u^* s \Delta P^*(s) + \\ &- |u^*| f L^* \Delta \dot{m}^*(s) + \left\{ \frac{f L^*}{2} u^* |u^*| - \frac{g \Delta h}{c^2} \right\} \Delta P^*(s) + \\ &+ 3P_0^* Z_0 u^{*2} \frac{d \Delta A(s)}{A_0 d \xi} \end{aligned} \quad (252-4)$$

به‌دلیل آنکه در جریان گاز و در اغلب اوقات $c \ll u_0$ می‌باشد (مثلاً سرعت گاز در حدود ۲۰ m/s و سرعت صوت در آن حدوداً ۴۰۰–۳۰۰ m/s)، لذا می‌توان از جمله‌ی $u^{*2} = u_0^2 / c^2$ نسبت

به عدد یک صرفنظر کرد. از طرفی معمولاً تغییر مداوم سطح مقطع با مکان بسیار نادر بوده و از این رو $\beta = d[\Delta A(s)]/d\xi \approx 0$ و $A = A_0$ را خواهند داشت:

$$\frac{\partial \Delta \dot{m}^*(s)}{\partial \xi} = -s \Delta P^*(s) \quad (253-4)$$

$$\begin{aligned} \frac{\partial \Delta P^*(s)}{\partial \xi} = & -\left[|u^*| f L^* + s\right] \Delta \dot{m}^*(s) + \\ & + \left\{ \frac{f L^*}{2} u^* |u^*| - \frac{g \Delta h}{c^2} + 2 u^* s \right\} \Delta P^*(s) \end{aligned} \quad (254-4)$$

حال اگر پارامترهای زیر تعریف شوند:

$$\alpha(s) = \alpha_1 + \alpha_2 s, \quad \beta(s) = \beta_1 s, \quad \gamma(s) = \gamma_1 + \gamma_2 s \quad (255-4)$$

که در آن:

$$\begin{cases} \alpha_1 = |u^*| f L^* & \gamma_1 = \frac{f L^*}{2} u^* |u^*| - \frac{g \Delta h}{c^2} \\ \alpha_2 = L/c & \\ \beta_1 = L/c & \gamma_2 = 2 u^* L / c \end{cases} \quad (256-4)$$

آنگاه سیستم معادلات به دست آمده به شکل زیر خواهد شد:

$$\begin{cases} \frac{\partial \Delta \dot{m}^*(s)}{\partial \xi} = -\beta(s) \Delta P^*(s) \\ \frac{\partial \Delta P^*(s)}{\partial \xi} = \gamma(s) \Delta P^*(s) - \alpha(s) \Delta \dot{m}^*(s) \end{cases} \quad (257-4)$$

اگر $Y(\xi) = \begin{bmatrix} \Delta P^*(s) \\ \Delta M^*(s) \end{bmatrix}$ باشد، آنگاه:

$$\frac{dY(\xi)}{d\xi} = \begin{bmatrix} \gamma(s) & -\alpha(s) \\ -\beta(s) & 0 \end{bmatrix} Y(\xi) = M_s Y(\xi) \quad (258-4)$$

از آنجایی که کلیه عناصر ماتریس M_s نسبت به ξ مستقل هستند، لذا می‌توان مطابق رابطه‌ی بیکر^۱، حل زیر را برای دستگاه نوشته شده در نظر گرفت:

$$Y(\xi) = e^{M_s(\xi - \xi_0)} Y(\xi_0) \quad (259-4)$$

با مقداری عملیات ریاضی می‌توان به عبارت زیر دست یافت:

$$\begin{cases} \xi_{in} = \xi_0 = 0, & \xi_{out} = 1 \\ Y(\xi_{in}) = \begin{bmatrix} \Delta P_{in}^*(s) \\ \Delta M_{in}^*(s) \end{bmatrix}, & Y(\xi_{out}) = \begin{bmatrix} \Delta P_{out}^*(s) \\ \Delta M_{out}^*(s) \end{bmatrix} \end{cases} \quad (260)$$

می‌توان با محاسبه برای نقطه خروجی لوله ($x = L$), به دستگاه زیر دست یافت:

$$\begin{cases} \Delta P_{out}^* = e^{\gamma/2} \left(\frac{a}{b} \sinh(b) + \cosh(b) \right) \Delta P_{in}^* - \\ \quad - e^{\gamma/2} \left(\frac{\alpha}{b} \sinh(b) \right) \Delta M_{in}^* \\ \Delta M_{out}^* = e^{\gamma/2} \left(\frac{-\beta}{b} \sinh(b) \right) \Delta P_{in}^* - \\ \quad - e^{\gamma/2} \left(\frac{a}{b} \sinh(b) - \cosh(b) \right) \Delta M_{in}^* \end{cases} \quad (261-4)$$

مطابق بحث انجام شده روی متغیرهای ورودی- خروجی، برای المان‌هایی از شبکه که دارای مدل از نوع فشار-دبی هستند، بهتر است توابع تبدیل نیز بر همین اساس مرتب شوند:

¹ Baker Equation

$$\left\{ \begin{array}{l} \Delta P_{out}^*(s) = e^{\gamma/2} \frac{2b}{2b \cosh(b) - \gamma \sinh(b)} \Delta P_{in}^*(s) + \\ \quad - \frac{2\alpha \sinh(b)}{2b \cosh(b) - \gamma \sinh(b)} \Delta M_{out}^*(s) \\ \Delta M_{in}^*(s) = \frac{2\beta \sinh(b)}{2b \cosh(b) - \gamma \sinh(b)} \Delta P_{in}^*(s) + \\ \quad + e^{-\gamma/2} \frac{2b}{2b \cosh(b) - \gamma \sinh(b)} \Delta M_{out}^*(s) \end{array} \right. \quad (262-4)$$

اکنون توابع تبدیل به شکل زیر نام‌گذاری می‌شوند:

$$\left\{ \begin{array}{l} F_{P_{out}, P_{in}}(s) = \frac{2be^{\gamma(s)/2}}{H(s)} \\ F_{P_{out}, M_{out}}(s) = \frac{-2\alpha(s) \sinh(b)}{H(s)} \\ F_{M_{in}, P_{in}}(s) = \frac{2\beta(s) \sinh(b)}{H(s)} \\ F_{M_{in}, M_{out}}(s) = \frac{2be^{-\gamma(s)/2}}{H(s)} \end{array} \right. \quad (263-4)$$

که

$$H(s) = 2b \cosh(b) - \gamma(s) \sinh(b) \quad (264-4)$$

بوده و چون این شکل از توابع تبدیل، گویای مرتبه آن نخواهد بود، لذا باید به بسط

توابع $\cosh(b)$ و $\sinh(b)$ پرداخت:

$$\begin{aligned} H(s) &= 2b \left(1 + \frac{1}{2!} b^2 + \frac{1}{4!} b^4 + \dots \right) + \\ &\quad - b\gamma(s) \left(1 + \frac{1}{3!} b^2 + \frac{1}{5!} b^4 + \dots \right) \end{aligned} \quad (265-4)$$

با توجه به تعریف $b = \sqrt{\gamma^2 + 4\alpha\beta}/2$

Deno. =

$$= 2b \left\{ \left[1 + \frac{1}{8} (\gamma^2 + 4\alpha\beta) + \frac{1}{384} (\gamma^2 + 4\alpha\beta)^2 + \dots \right] + \right. \\ \left. - \frac{\gamma(s)}{2} \left[1 + \frac{1}{24} (\gamma^2 + 4\alpha\beta) + \frac{1}{1920} (\gamma^2 + 4\alpha\beta)^2 + \dots \right] \right\} \quad (266-4)$$

در این مرحله می‌توان با استفاده از روابط (۲۵۵-۴) به جایگزینی و مرتب کردن عبارات مربوط به مخرج توابع تبدیل بر حسب ضرایبی از اوپراتور لاپلاس (s) پرداخت:

$$\begin{aligned} Deno. = & 2b \left\{ \left[-\frac{1}{2} \gamma_1 + \frac{1}{8} \gamma_1^2 - \frac{1}{48} \gamma_1^3 + \frac{1}{384} \gamma_1^4 - \dots + \dots \right] + \right. \\ & + \left[\frac{1}{2} \alpha_1 \beta_1 \left(1 - \frac{1}{6} \gamma_1 + \frac{1}{24} \gamma_1^2 - \frac{1}{240} \gamma_1^3 + \dots \right) + \right. \\ & \left. - \frac{\gamma_2}{2} \left(1 - \frac{1}{2} \gamma_1 + \frac{1}{8} \gamma_1^2 - \frac{1}{48} \gamma_1^3 + \frac{1}{384} \gamma_1^4 - \dots \right) \right] s + \\ & + \left[\frac{1}{24} \alpha_1^2 \beta_1^2 \left(1 - \frac{1}{10} \gamma_1 \right) + \frac{1}{2} \alpha_2 \beta_1 \left(1 - \frac{1}{6} \gamma_1 + \frac{1}{24} \gamma_1^2 - \frac{1}{240} \gamma_1^3 + \dots \right) + \right. \\ & - \frac{1}{12} \alpha_1 \beta_1 \gamma_2 \left(1 - \frac{1}{2} \gamma_1 - \frac{1}{16} \gamma_1^2 - \dots \right) + \frac{1}{8} \gamma_2^2 \left(1 - \frac{1}{2} \gamma_1 + \right. \\ & \left. \left. + \frac{1}{8} \gamma_1^2 - \dots + \dots \right) \right] s^2 + \dots \end{aligned} \quad (267-4)$$

از طرفی با جایگزینی صورت کسرهای توابع تبدیل بر حسب سری تیلور، می‌توان تک‌تک آنها را ساده‌سازی کرد؛ برای نمونه:

$$F_{P_{out}, P_{in}}(s) = \frac{2be^{\gamma_1} \left(1 + \frac{1}{2} \gamma_2 s + \frac{1}{8} \gamma_2^2 s^2 + \dots \right)}{2b \left(1 + \hat{a}_1 s + \hat{a}_2 s^2 + \dots \right)} \quad (268-4)$$

که در آن:

$$\hat{a}_1 = e^{\frac{\gamma_1}{2}} \left[\frac{1}{2} \alpha_1 \beta_1 \left(1 - \frac{1}{6} \gamma_1 + \frac{1}{24} \gamma_1^2 - \frac{1}{240} \gamma_1^3 + \dots \right) \right] - \frac{\gamma_2}{2} \quad (269-4)$$

$$\hat{a}_2 = e^{\frac{\gamma_1}{2}} \left[\frac{1}{24} \alpha_1^2 \beta_1^2 \left(1 - \frac{1}{10} \gamma_1 \right) + \frac{1}{2} \alpha_2 \beta_1 \left(1 - \frac{1}{6} \gamma_1 + \frac{1}{24} \gamma_1^2 + \right. \right. \\ \left. \left. - \frac{1}{240} \gamma_1^3 + \dots \right) - \frac{1}{12} \alpha_1 \beta_1 \gamma_2 \left(1 - \frac{1}{2} \gamma_1 - \frac{1}{16} \gamma_1^2 - \dots \right) \right] + \frac{1}{8} \gamma_2^2 \quad (270-4)$$

با تقسیم تقریبی صورت و مخرج، عبارت زیر بدست خواهد آمد:

$$F_{P_{out}, P_{in}}(s) = k_1 \frac{1}{1 + a_1 s + a_2 s^2} \quad (271-4)$$

که در آن:

$$k_1 = e^{\gamma_1}, \quad a_1 = \hat{a}_1 - \frac{1}{2} \gamma_2, \quad a_2 = \hat{a}_2 + \frac{1}{8} \gamma_2^2 - \frac{1}{2} \gamma_2 \hat{a}_1 \quad (272-4)$$

به همین ترتیب برای دیگر توابع تبدیل، عبارات زیر استخراج می‌شود:

$$\begin{cases} F_{P_{out}, M_{out}}(s) = k_2 \frac{1 + b_1 s + b_2 s^2}{1 + \hat{a}_1 s + \hat{a}_2 s^2} \\ F_{M_{in}, P_{in}}(s) = \frac{c_1 s + c_2 s^2}{1 + \hat{a}_1 s + \hat{a}_2 s^2} \\ F_{M_{in}, M_{out}}(s) = \frac{1}{1 + d_1 s + d_2 s^2} \end{cases} \quad (273-4)$$

که در عبارات نوشته شده،

$$k_2 = e^{\frac{\gamma_1}{2}} \alpha_1 \left(1 + \frac{1}{24} \gamma_1^2 + \frac{1}{1920} \gamma_1^4 \right) \quad (274-4)$$

$$b_1 = \frac{\alpha_2}{\alpha_1} + \frac{\left(\alpha_1 \beta_1 + \frac{1}{12} \gamma_1 \gamma_2 \right) \left(1 + \frac{1}{40} \gamma_1^2 \right)}{1 + \frac{1}{4} \gamma_1^2 + \frac{1}{320} \gamma_1^4} \quad (275-4)$$

$$\begin{aligned}
 b_2 &= \frac{1}{1 + \frac{1}{24} \gamma_1^2 + \frac{1}{1920} \gamma_1^4} \times \\
 &\left\{ \frac{\alpha_2}{\alpha_1} \left(\frac{1}{6} \alpha_1 \beta_1 + \frac{1}{12} \gamma_1 \gamma_2 \right) \left(1 + \frac{1}{40} \gamma_1^2 \right) + \right. \\
 &+ \frac{1}{120} \alpha_1^2 \beta_1^2 + \frac{1}{6} \alpha_2 \beta_1 \left(1 + \frac{1}{40} \gamma_1^2 \right) + \frac{1}{120} \alpha_1 \beta_1 \gamma_1 \gamma_2 + \\
 &\left. + \frac{1}{4} \gamma_2^2 \left(\frac{1}{6} + \frac{1}{80} \gamma_1^2 \right) \right\} \tag{۲۷۶-۴}
 \end{aligned}$$

بوده و روابط مربوط به ضرائب c_1 ، c_2 و d_1 و d_2 به شکل زیر می‌باشند:

$$c_1 = e^{\frac{\gamma_1}{2}} \beta_1 \left(1 + \frac{1}{24} \gamma_1^2 + \frac{1}{1920} \gamma_1^4 \right) \tag{۲۷۷-۴}$$

$$c_2 = e^{\frac{\gamma_1}{2}} \beta_1 \left(\frac{1}{6} \alpha_1 \beta_1 + \frac{1}{12} \gamma_1 \gamma_2 \right) \left(1 + \frac{1}{40} \gamma_1^2 \right) \tag{۲۷۸-۴}$$

$$d_1 = \hat{a}_1 + \frac{1}{2} \gamma_2 \tag{۲۷۹-۴}$$

$$d_2 = \hat{a}_2 + \frac{1}{8} \gamma_2^2 + \frac{1}{2} \gamma_2 \hat{a}_1 \tag{۲۸۰-۴}$$

و \hat{a}_1 و \hat{a}_2 از روابط (۲۶۹-۴) و (۲۷۰-۴) بدست می‌آیند. همچنین با تقریب بیشتر، می‌توان فرم مرتبه‌ی اول توابع تبدیل فوق را نیز به دست آورد. بدین ترتیب که در استخراج بسط تیلور توابع تبدیل، جملات با مرتبه کمتری از اوپراتور s در نظر گرفته شوند:

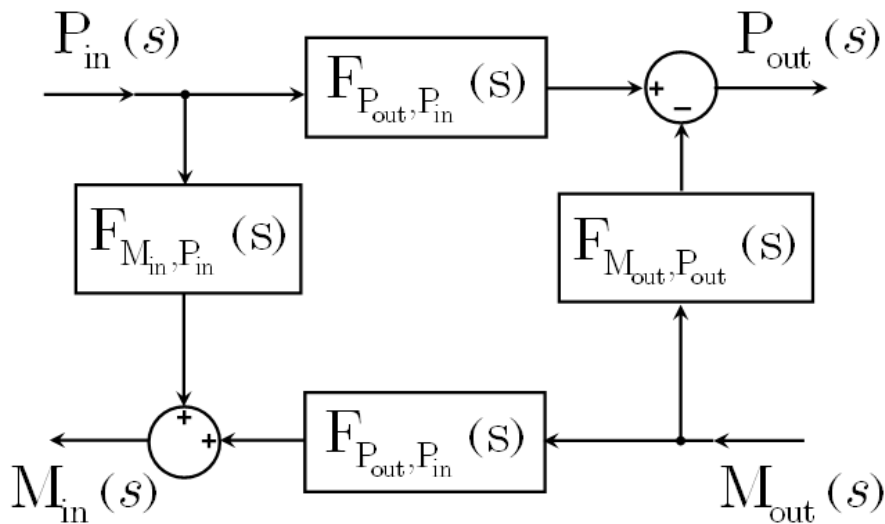
$$F_{P_{out}, P_{in}}(s) = k_1 \frac{1}{1 + a_1 s} \tag{۲۸۱-۴}$$

$$F_{P_{out}, M_{out}}(s) = k_2 \frac{1 + b_1 s}{1 + \hat{a}_1 s} \tag{۲۸۲-۴}$$

$$F_{M_{in}, P_{in}}(s) = \frac{c_1 s}{1 + \hat{a}_1 s} \tag{۲۸۳-۴}$$

$$F_{M_{in}, M_{out}}(s) = \frac{1}{1 + d_1 s} \quad (284-4)$$

حال می‌توان فرم شماتیک زیر را برای هر المان شبکه‌ای که در آن تغییرات فشار ورودی و دبی خروجی معلوم است، طراحی و تحلیل کرد:



شکل ۴-۶۴: شماتیک توابع تبدیل فشار-دبی درون شبکه

به دلیل آنکه در یک شبکه همواره المان‌های مناسب برای مدل دبی-دبی نیز وجود دارند، توابع تبدیل از این نوع را نیز بایست در اختیار داشت. برای این منظور می‌توان با استفاده از روابط (۴-۲۸۱) تا (۴-۲۸۴) نوشت:

$$\Delta P_{out}^*(s) = k_1 \frac{1}{1 + a_1 s} \Delta P_{in}^*(s) - k_2 \frac{1 + b_1 s}{1 + \hat{a}_1 s} \Delta M_{out}^* \quad (285-4)$$

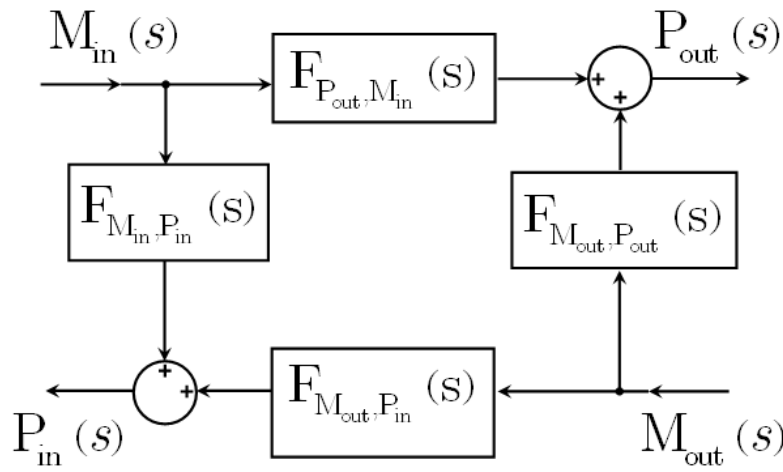
$$\Delta M_{in}^*(s) = \frac{c_1 s}{1 + \hat{a}_1 s} \Delta P_{in}^*(s) + \frac{1}{1 + d_1 s} \Delta M_{out}^* \quad (286-4)$$

حال بایستی متغیرهای خروجی را بر حسب ورودی‌ها نوشت:

$$\Delta P_{in}^*(s) = \frac{1 + \hat{a}_1 s}{c_1 s} \Delta M_{in}^*(s) - \frac{1 + \hat{a}_1 s}{(1 + d_1 s)(c_1 s)} \Delta M_{out}^* \quad (287-4)$$

$$\begin{aligned} \Delta P_{out}^*(s) &= \frac{k_1}{c_1 s} \Delta M_{in}^*(s) - \\ &- k_1 \frac{1 + \hat{a}_1 s}{c_1 s} \left(\frac{1}{(1 + a_1 s)(1 + d_1 s)} + k_2 \frac{1 + b_1 s}{1 + \hat{a}_1 s} \right) \Delta M_{out}^*(s) \end{aligned} \quad (288-4)$$

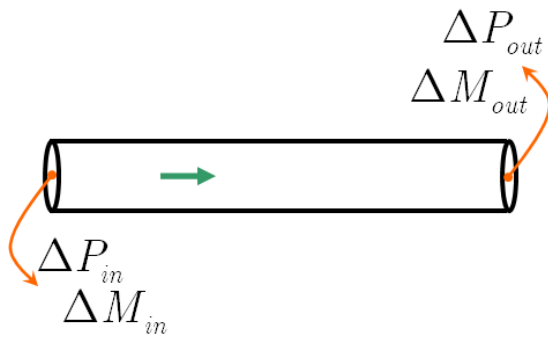
که برای این حالت شماتیک توابع تبدیل به صورت شکل ۶۵-۴ در خواهد آمد.



شکل ۶۵-۴: شماتیک توابع تبدیل دبی-دبی درون شبکه

به طور کلی برای هر نوع چینش شبکه و برای هر نوع اطلاعات ورودی معلوم برای المان‌ها می-توان توابع تبدیل مربوطه را استخراج کرد. بدین منظور المان نشان داده شده در شکل ۶۶-۴ را در نظر بگیرید. برای این المان چهار متغیر M_{in} , P_{in} , M_{out} , P_{out} قابل بررسی است. از طرفی مطابق روابط (۲۸۱-۴) تا (۲۸۴-۴)، توابع تبدیل برای حالتی از المان که در آن P_{in} و M_{out} معلوم‌اند استخراج گردید. اگر با استفاده از روابط (۲۸۵-۴) و (۲۸۶-۴)، دستگاه معادلات این روابط را به شکل زیر تشکیل دهیم:

$$\begin{cases} \Delta P_{out}^*(s) = \text{TF}_1 \Delta P_{in}^*(s) + \text{TF}_3 \Delta M_{out}^* \\ \Delta M_{in}^*(s) = \text{TF}_2 \Delta P_{in}^*(s) + \text{TF}_4 \Delta M_{out}^*(s) \end{cases} \quad (289-4)$$



شکل ۶۶-۴: شماتیک یک المان کلی درون شبکه

که در آن:

$$\left\{ \begin{array}{l} \text{TF}_1 = F_{P_{out}, P_{in}} \\ \text{TF}_2 = F_{M_{in}, P_{in}} \\ \text{TF}_3 = F_{M_{out}, P_{out}} \\ \text{TF}_4 = F_{M_{in}, M_{out}} \end{array} \right. \quad (۲۹۰-۴)$$

متغیرهای مورد نظر برای هر نوع چینش المان را می‌توان به راحتی با حل دستگاه (۲۸۹-۴) و بر اساس همان متغیرها به عنوان مجهول، استخراج نمود. به بیان دیگر برای المانی که در آن دبی ورودی و دبی خروجی به عنوان تابعی از زمان معلوم هستند این معادلات به شکل زیر استخراج خواهند شد:

$$\left\{ \begin{array}{l} \Delta P_{in}^*(s) = \frac{1}{\text{TF}_2} \Delta M_{in}^*(s) - \frac{\text{TF}_4}{\text{TF}_2} \Delta M_{out}^*(s) \\ \Delta P_{out}^*(s) = \frac{\text{TF}_1}{\text{TF}_2} \Delta M_{in}^*(s) - \left(\frac{\text{TF}_1 \text{TF}_4}{\text{TF}_2} - \text{TF}_3 \right) \Delta M_{out}^* \end{array} \right. \quad (۲۹۱-۴)$$

از طرفی برای آرایش المانی که در آن تغییرات زمانی فشار ورودی و فشار خروجی معلوم است، این روابط به صورت زیر در خواهند آمد:

$$\left\{ \begin{array}{l} \Delta M_{in}^*(s) = -\frac{\text{TF}_1}{\text{TF}_3} \Delta P_{in}^*(s) + \frac{1}{\text{TF}_3} \Delta P_{out}^*(s) \\ \Delta M_{out}^*(s) = \left(\text{TF}_2 - \frac{\text{TF}_1 \text{TF}_4}{\text{TF}_3} \right) \Delta P_{in}^*(s) - \frac{\text{TF}_4}{\text{TF}_3} \Delta P_{out}^* \end{array} \right. \quad (۲۹۲-۴)$$

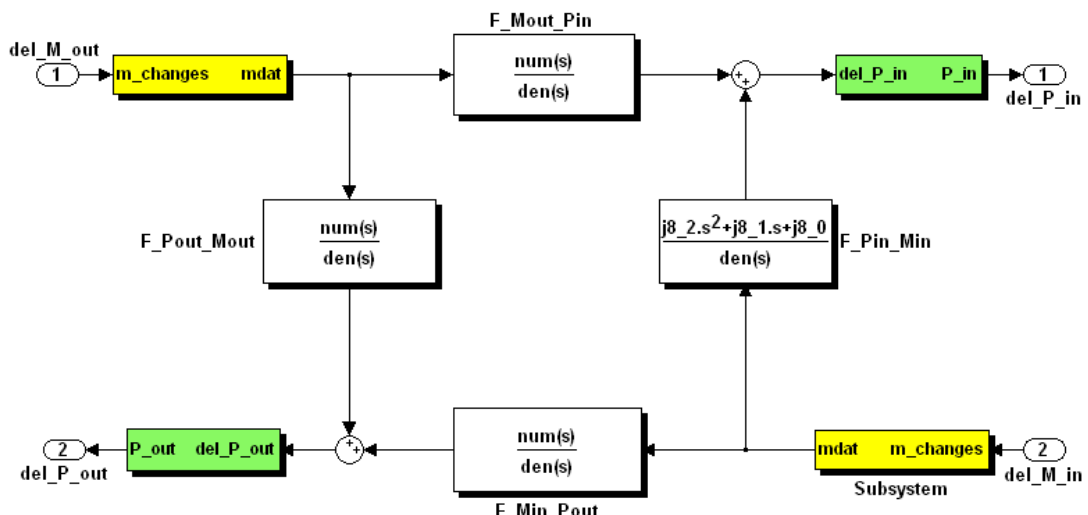
و نهایتاً برای سیستمی که در آن تغییرات فشار خروجی و دبی ورودی بر حسب زمان معلوم می‌باشد، این معادلات به شکل زیر استخراج شده و مرتب می‌شوند:

$$\left\{ \begin{array}{l} \Delta P_{in}^*(s) = \frac{\text{TF}_4}{\text{TF}_4 \text{TF}_1 - \text{TF}_3 \text{TF}_2} \Delta P_{out}^*(s) - \\ \quad - \frac{\text{TF}_3}{\text{TF}_4 \text{TF}_1 - \text{TF}_3 \text{TF}_2} \Delta M_{in}^*(s) \\ \Delta M_{out}^*(s) = - \frac{\text{TF}_2}{\text{TF}_4 \text{TF}_1 - \text{TF}_3 \text{TF}_2} \Delta P_{out}^*(s) + \\ \quad + \frac{\text{TF}_1}{\text{TF}_4 \text{TF}_1 - \text{TF}_3 \text{TF}_2} \Delta M_{in}^*(s) \end{array} \right. \quad (۲۹۳-۴)$$

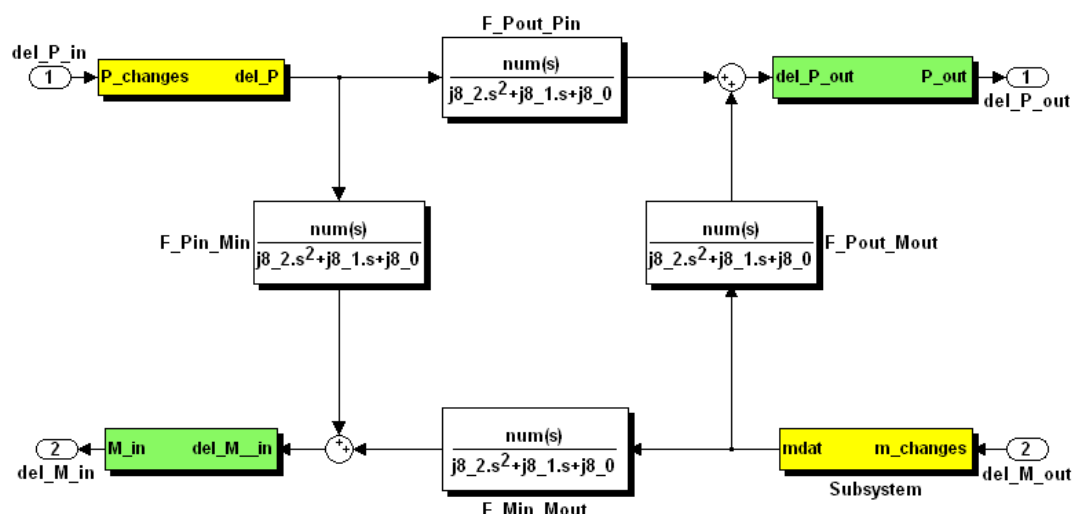
۳.۴ ارائه نتایج و بحث روی آنها

در این بخش به ارائه نتایج بدست آمده از روش توابع تبدیل و حوزه فرکانسی که به چند حالت گذراي مطرح شده در بخش‌های قبل اعمال گردیده است، پرداخته خواهد شد. به طور کلی این روش را به دلیل اینکه به خطی‌سازی معادلات حاکم می‌پردازد، می‌توان به محدوده تغییرات نرمال و نه خیلی زیاد حول وضعیت دائم اعمال نمود. اما با این وجود مزیت اصلی استفاده از این روش در اینست که زمان کمتری را برای انجام محاسبات نسبت به سایر روش‌ها لازم دارد. همچنین با دقت در معادلات استخراج شده برای این روش، می‌توان متوجه حضور پارامتر طول لوله به خصوص موقع محاسبه پارامترهای t^* و L^* در روابط (۲۴۷-۴) و (۲۴۴-۴) شد. علاوه بر این مقادیر، مطابق رابطه (۲۴۸-۴) مقدار پارامتر u_0 که خطی‌سازی حول آن انجام می‌گیرد نیز به نوعی درگیر با اندازه طول لوله می‌شود. این امر به خاطر حضور فشارها و دبی‌های ورودی و خروجی لوله (اول و آخر آن) در رابطه ذکر شده می‌باشد. لذا با افزایش طول در نظر گرفته شده برای خطی‌سازی معادلات، دقت محاسبه تا حدودی کم خواهد شد. از این رو بهتر است که برای محاسبات روی لوله‌های بلند یا توابع تبدیل به صورت چندگانه روی بخش‌های لوله‌ای که به چند المان تقسیم گشته است اعمال گردد یا اینکه به صورت حدس و خطایی بهترین مقدار را برای u_0 در خطی‌سازی پیدا کنیم.

توابع تبدیلی را که در بخش قبل برای حالت‌های مختلف آرایش المان‌ها و لوله‌ها از حیث دبی یا فشار معلوم در ورودی و خروجی آنها بدست آمده‌اند، می‌توان با نرم‌افزاری مثل MATLAB شبیه‌سازی کرد. این توابع در بخش سیمولینک این نرم‌افزار قابل مدل کردن می‌باشند. شکل ۶۷-۴ نشان‌دهنده توابع تبدیل برای حالتی است که در آن دبی ورودی و خروجی معلوم بوده و فشار در این دو قسمت از لوله مجهول می‌باشند. شکل ۶۸-۴ هم مدلی برای حالتی از توابع تبدیل که در آنها فشار ورودی و دبی خروجی معلوم است، می‌باشد. از طرف دیگر شکل ۶۹-۴ نشان دهنده مدل توابع تبدیل برای حالتی از المان یا لوله است که در آن دبی ورودی و فشار خروجی معلوم باشد.

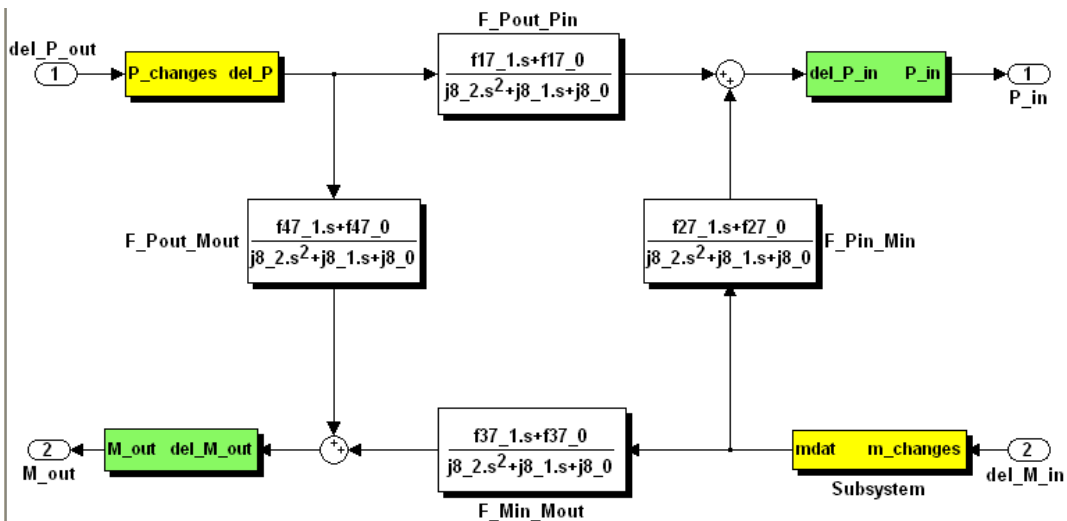


شکل ۶۷-۴: توابع تبدیل از نوع دبی ورودی و خروجی معلوم



شکل ۶۸-۴: توابع تبدیل از نوع دبی خروجی و فشار ورودی معلوم

برای بررسی دقت کار این توابع تبدیل و قبل از اینکه حالت‌های مختلف تحقیق ژو و آدومی [۱] با حوزه فرکانسی مورد تحلیل قرار گیرند، می‌توان به بررسی یک حالت با تغییرات منظم و پریودیک (دوره‌ای و متناوب) برای متغیرهای جریان با استفاده از توابع تبدیل پرداخت.



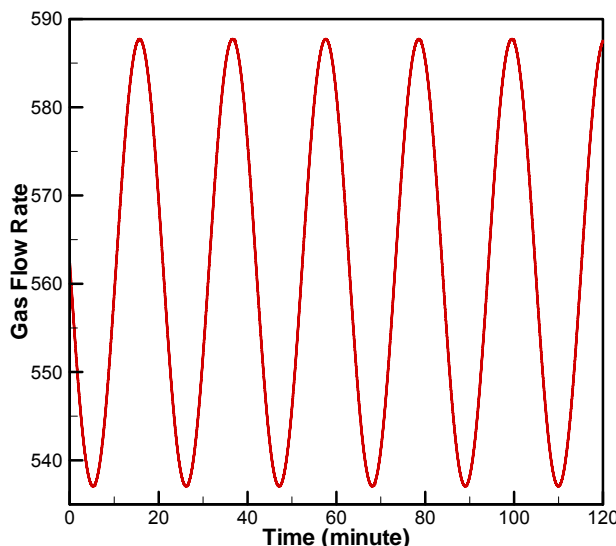
شکل ۴-۶۹: توابع تبدیل از نوع دبی ورودی و فشار خروجی معلوم

۱.۳.۴ تغییرات متناوب دبی خروجی (نمونه اول)

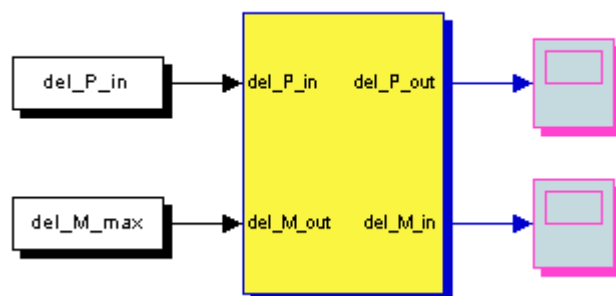
بیایید توابع از نوع تغییرات دبی خروجی و فشار ورودی معلوم را در نظر بگیریم. لوله مورد مطالعه دارای طول ۲۰۰.۰۰۰ فوت (۳۷/۸۸ مایل) و قطر ۸/۱۵ اینچ می‌باشد. ضریب اصطکاک را ثابت و برابر ۰/۰۲۵۶ در نظر گرفته و فشار را در ورودی برابر ۶۰۰ پوند بر اینچ مربع می‌گیریم.

زمان کل شبیه‌سازی ۱۲۰ دقیقه می‌باشد. در این مدل که در شکل ۴-۷۱ کشیده شده است ورودی تغییرات دبی خروجی و فشار ورودی به صورت درصدی از حالت پایدار قابل تعریف می‌باشند. لذا مدل را برای دو مقدار ۵ و ۳۰ درصد دامنه تغییرات نوسانی حول وضعیت پایدار دبی در خروجی لوله (شکل ۴-۷۰ برای حالت ۳۰٪ تغییرات) و عدم تغییر برای فشار ورودی اجرا کرده و نتایج را با مقادیری که از روش ضمنی به دست آمده است مقایسه می‌کنیم. این مقایسه به ترتیب در شکل ۴-۷۲ و شکل ۴-۷۳ آورده شده است.

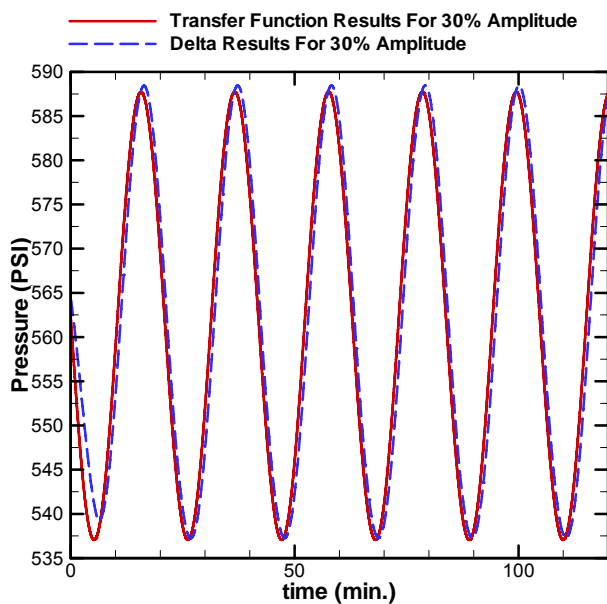
اما برای دانستن اینکه قابلیت مدلسازی این مدل چه میزان و تا چه درصدی از تغییرات نسبت به حالت دائم می‌باشد می‌توان به افزایش این درصد تا مقداری که نتایج با روش عددی فاصله می‌گیرند و یا به عبارتی درصد خطا از حد معقولی فراتر می‌رود ادامه داد. پس از طی این مرحله می‌توان دید که این مقدار برای مدل حاضر و در مسئله مطرح شده حدود ۷۰ درصد وضعیت دائم می‌باشد. یعنی اگر دامنه تغییرات نوسانی دبی گاز در خروجی لوله تا حدود ۷۰ درصد حالت دائم مسئله هم افزایش بیابد، باز با این مدل می‌توان شبیه‌سازی لوله را با دقت بالایی و صرف زمان بسیار کمی انجام داد.



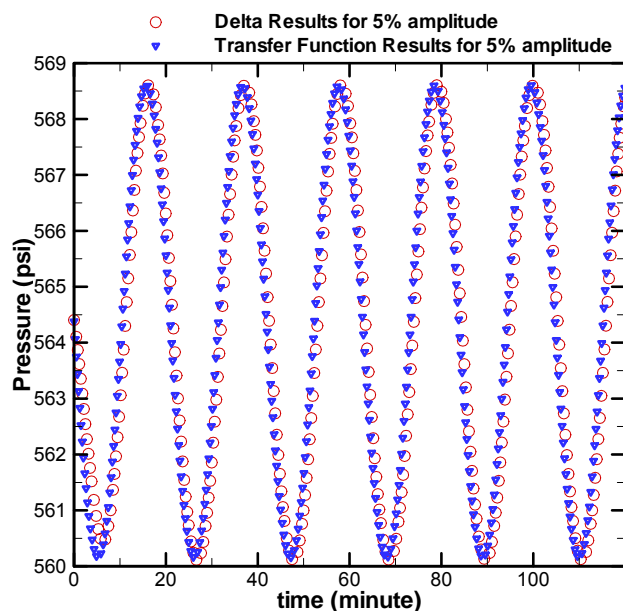
شکل ۴-۷۰: دبی متناوب اعمال شده به خروجی لوله برای مسئله جریان حالت متناوب



شکل ۴-۷۱: مدل توابع تبدیل به کار گرفته شده برای مسئله جریان حالت متناوب (نرم‌افزار MATLAB)



شکل ۴-۷۲: مقایسه نتایج روش دلتا با روش توابع تبدیل (مسئله جریان حالت متناوب ۳۰٪ تغییرات)



شکل ۴-۷۳: مقایسه نتایج روش دلتا با روش توابع تبدیل (مسئله جریان حالت متناوب ۵٪ تغییرات)

استفاده از مدل توابع تبدیل در کنار محدودیت اعمال تغییرات در شرایط مرزی و ایجاد حالت

غیردائم دارای مزایای زیر نیز می‌باشد:

- زمان انجام محاسبات در این روش نسبت به سایر روش‌های عددی بسیار پایین است. این امر هم به خاطر استفاده از حوزه لاپلاس بوده و هم به دلیل عدم محدودیت در استفاده از گام

زمانی دلخواه می‌باشد. البته برای داشتن دقت و وضوح نمایش بالا بهتر است گام زمانی خیلی زیاد هم نباشد. برای مقایسه بهتر مدت زمان انجام محاسبات در روش‌های مختلف می‌توان برای این مسئله خاص، زمانی را که هر یک از روش‌ها در محاسبات خود با یک CPU یکسان لازم دارند به صورت جدولی مرتب کرد. این مقایسه در جدول ۴-۴ ارائه گردیده است.

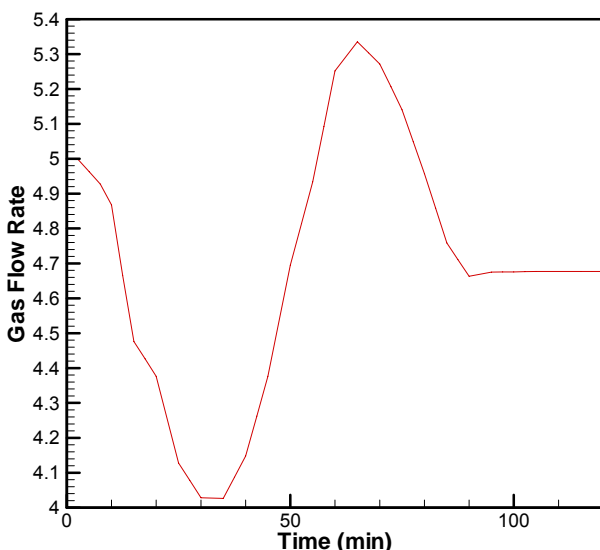
جدول ۴-۴: بررسی زمان مورد نیاز روش‌های عددی برای محاسبه فشار خروجی در لوله

نام روش عددی	زمان مورد نیاز (بر حسب ثانیه) برای اجرای ۱۲۰ دقیقه شبیه‌سازی جریان گذراي نوسانی با ۳۰٪ دامنه تغییرات دبی خروجی حول وضعیت دائم
FCT	۱۱۲۰/۲۰
ضممنی	۳۴/۵۲
توابع تبدیل	۱/۱۸

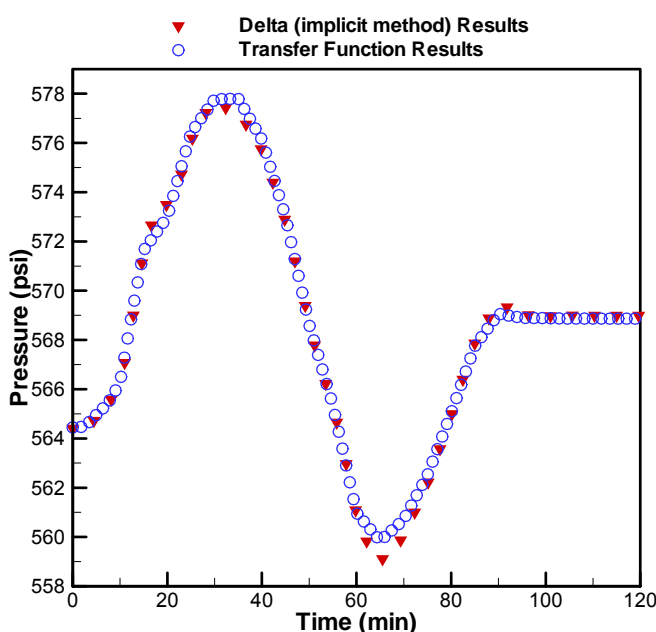
- به دلیل اینکه روابط استخراج شده برای توابع تبدیل کاملاً بی‌بعد هستند، در مسائل مشابه از لحاظ معلومات و مجھولات، می‌توان به راحتی و بدون احتیاج به بررسی هندسه لوله یا المان نتایج مشابهی را در نظر گرفت.

۲.۳.۴ تغییرات غیر متناوب در دبی خروجی (نمونه دوم)

در ادامه می‌توان به بررسی همان هندسه لوله نمونه اول با تغییرات غیر متناوب دبی در خروجی برای ۱۲۰ دقیقه (مطابق شکل ۷۴-۴) پرداخت. نتایجی که از این حالت گرفته شده در شکل ۷۵-۴ با نتایج بدست آمده از روش ضمنی دلتا مقایسه شده است. همانطور که مشاهده می‌شود دقت این الگوریتم برای تغییرات غیر منظم در حدود ۱۰ درصد دبی حالت پایدار، در مقایسه با روش‌های عددی رضایت بخش می‌باشد.



شکل ۴-۷۴: دبی خروجی غیر منظم اعمال شده به مدل توابع تبدیل

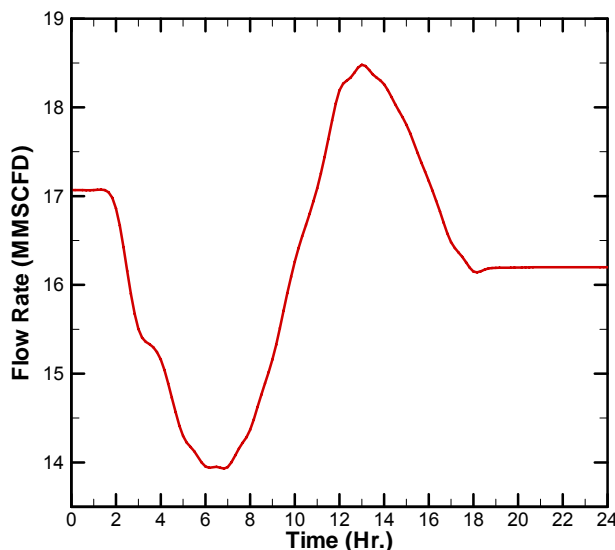


شکل ۴-۷۵: مقایسه نتایج روش تبدیل با الگوریتم ضمئی دلتا برای حالت دبی خروجی غیر منظم

۳.۳.۴ گذر آهسته جریان گاز با دبی خروجی متغیر (نمونه سوم)

این نمونه مسئله در واقع همان حالت دوم کار ژو و آدومی [۱] می‌باشد. در این حالت لوله‌ای با قطر داخلی ۸/۵ اینچ، طول ۴۴/۹ مایل و زبری ۰/۰۲۴۳٪، اینچ در حالت اولیه (حالت دائم) دارای جریان یکنواخت ۱۷/۰۷ MMSCFD و توزیع فشار، متناسب با این توزیع دبی می‌باشد. از طرفی دبی

خروچی اعمال شده به مدل به صورت شکل ۷۶-۴ بوده و کل زمان شبیه‌سازی ۲۴ ساعت می‌باشد. در این مدت زمان، فشار ورودی 610 psi ثابت نگه داشته می‌شود. سرعت صوت درون گاز برای این حالت $1207/3 \text{ ft/sec}$ بوده و چگالی نسبی گاز طبیعی در دمای ثابت شبیه‌سازی (50°F) برابر 0.675 می‌باشد. برای محاسبه ضریب اصطکاک این حالت از پارامترهای مسئله در جریان حالت دائم می‌توان کمک گرفته و مقدار آن را ثابت فرض نمود.

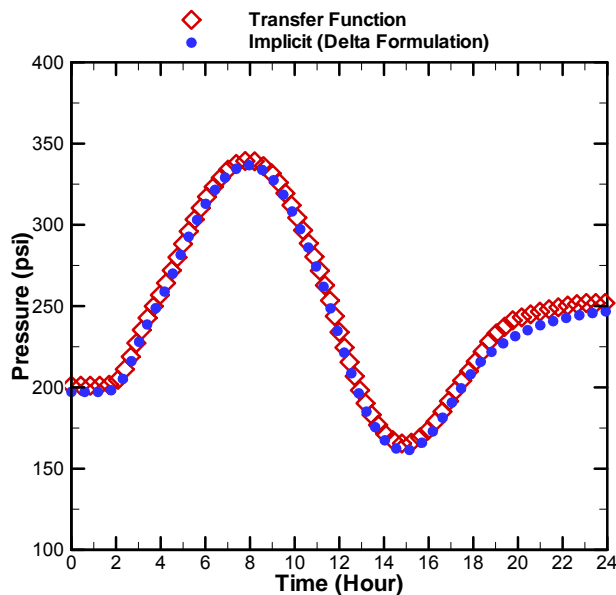


شکل ۷۶-۴: تغییرات دبی خروچی بر حسب زمان اعمال شده به حالت دوم نتایج بدست آمده از روش توابع تبدیل برای فشار خروچی در شکل ۷۷-۴ با روش ضمنی فرمولاسیون دلتا و در شکل ۷۸-۴ با سایر روش‌های عددی و آزمایشگاهی مقایسه گردیده است. می‌توان دید که دقت بالای این روش در کنار زمان کم ارائه نتایج، آن را از دیگر روش‌ها متمایز می‌کند. لازم به ذکر است که برای داشتن جواب‌های پایدار، بایستی خطی‌سازی را حول مقدار متوسط u_0 بر حسب کل دامنه تغییرات دبی در خروچی انجام داد.

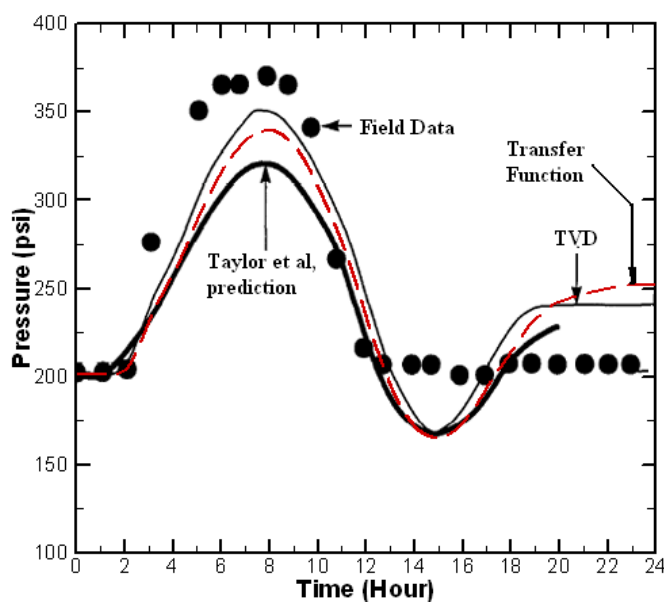
همچنین در شکل ۷۹-۴ به مقایسه نتایج بدست آمده از روش توابع تبدیل با یافته‌های حاصل از روش خطوط^۱ که در کار تنتیس و مارگاریس [۲] آورده شده است، پرداخته می‌شود. با ملاحظه این شکل به راحتی می‌توان متوجه نزدیکی بین مقادیر روش توابع تبدیل با روش خطوط نیز شد. با

^۱ Method of Lines (MOL)

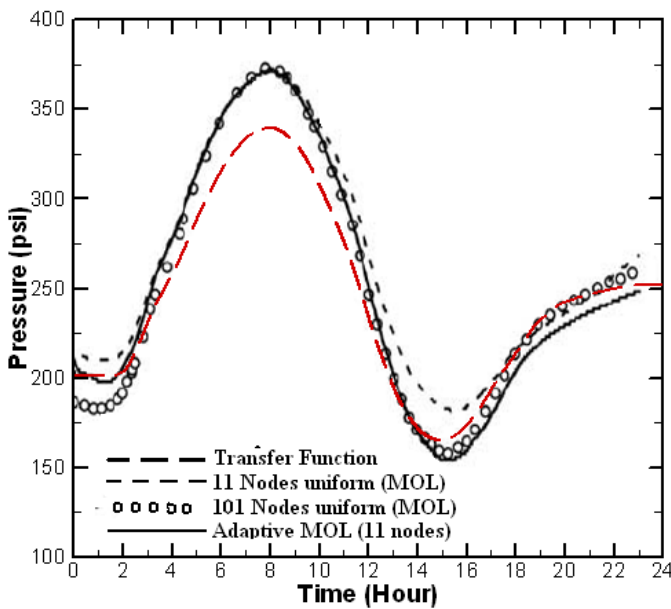
بررسی این نتایج و نتایجی که از روش ضمنی به دست آمده است، دقت مناسب روش توابع تبدیل ضمن سرعت محاسباتی بسیار برای آن مورد تأیید قرار می‌گیرد.



شکل ۴-۷۷: مقایسه نتایج روش توابع تبدیل با الگوریتم ضمنی دلتا برای نمونه سوم

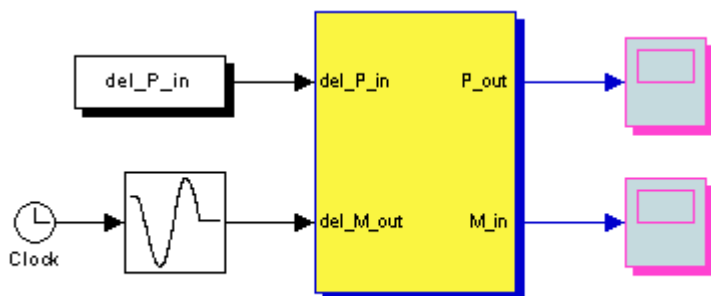


شکل ۴-۷۸: مقایسه نتایج روش توابع تبدیل با روش‌های TVD و آزمایشگاهی برای نمونه سوم



شکل ۴-۷۹: مقایسه نتایج روش توابع تبدیل با روش خطوط برای نمونه سوم

در شکل ۴-۸۰ مدل سیمیولینکی این نمونه ارائه گردیده است. همانطور که مشاهده می‌گردد از قابلیت میانیابی و برونویابی نرم‌افزار MATLAB (بلوک Look-up Table) نیز استفاده شده است که علت آن داشتن دقیق‌تر ورودی مدل (برای تغییرات دبی در خروجی لوله) بر حسب زمان است.



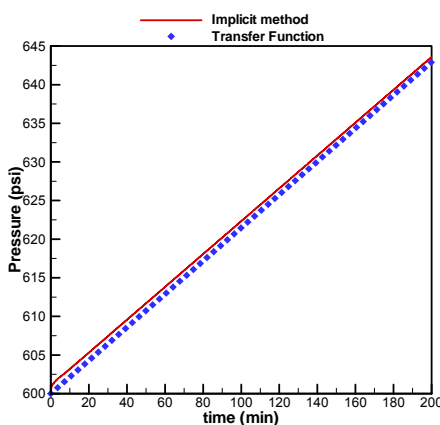
شکل ۴-۸۰: مدل سیمیولینکی روش توابع تبدیل برای نمونه سوم

۴.۳.۴ شرایط غیردائم با تغییر ناگهانی دبی ورودی (نمونه چهارم)

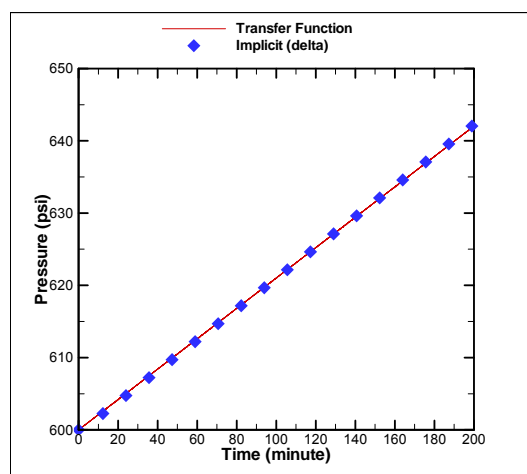
در این نمونه، دبی در ورودی به طور ناگهانی از صفر (شرط اولیه) به مقدار ۱۸/۰ MMSCFD افزایش یافته و دبی خروجی در آن تغییری نمی‌یابد (خروچی لوله برای تمام لحظات بسته است). همانطور که قبل اشاره شد، در این مسأله شرایط اولیه به صورت بدون جریان و فشار یکنواخت ۶۰۰ پوند بر اینچ مربع می‌باشد. لذا می‌توان این شرط اولیه را به عنوان نوعی حالت پایدار برای

مدلسازی با روش توابع تبدیل در نظر گرفت اما مشکل از جایی شروع می‌گردد که در مخرج رابطه (۴-۴) برای تعریف u_0 مقادیر دبی حالت پایدار قرار می‌گیرند که با این اوصاف این پارامتر به سمت بینهایت میل کرده و شبیه‌سازی با روش توابع تبدیل را دچار ناپایداری خواهد کرد. برای حل این مشکل می‌توان خطی‌سازی را حول نقاط دیگری انجام داد. این فرض به اصل نتایج هیچ لطمہ‌ای وارد نمی‌کند چرا که نهایتاً این تغییرات فشارها و دبی‌ها هستند که در مدل مبادله می‌گردند.

برای زمان مدل‌سازی حدوداً ۲۰۰ دقیقه، نتایج بدست آمده از روش توابع تبدیل برای فشارهای ورودی در شکل ۸۱-۴ و برای فشار خروجی در شکل ۸۲-۴ با نتایج روش ضمنی مقایسه گردیده است. همانطور که می‌بینیم با گذشت زمان، فاصله بین نمودارهای حاصل از دو روش برای فشار ورودی کمتر و کمتر می‌گردد.



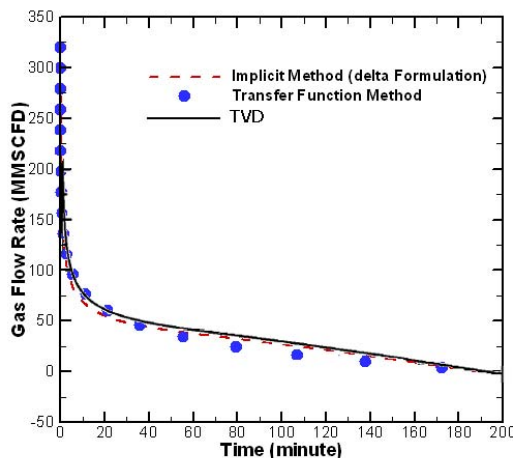
شکل ۸۱-۴: مقایسه نتایج بدست آمده از روش توابع تبدیل و روش دلتا برای فشار ورودی نمونه چهارم



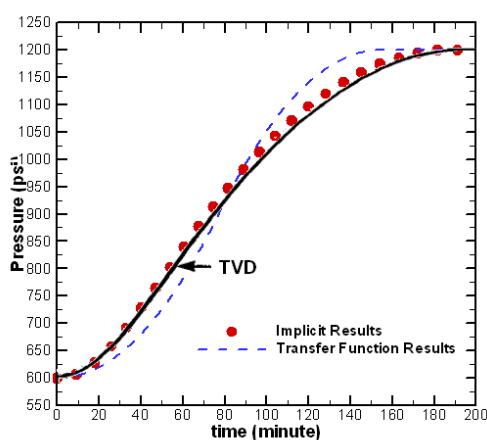
شکل ۸۲-۴: مقایسه نتایج بدست آمده از روش توابع تبدیل و روش دلتا برای فشار خروجی نمونه چهارم

۵.۳.۴ شرایط غیردائم با تغییر ناگهانی فشار ورودی (نمونه پنجم)

در این نمونه، هندسه مسئله و پارامترها به حالتی است که در آن فشار در ورودی به طور ناگهانی از $600/0 \text{ psi}$ (شرایط اولیه) به مقدار $1200/0 \text{ psi}$ افزایش یافته و دبی خروجی در آن تغییری نمی‌یابد (شیر خروجی لوله برای تمام لحظات بسته است). همانطور که قبلًا هم اشاره شد، در این مسئله شرایط اولیه به صورت بدون جریان و فشار یکنواخت 600 پوند بر اینچ مربع می‌باشد. همانند نمونه قبل می‌توان خطی‌سازی را حول نقاط دیگری غیر از متوسط وضعیت پایدار لوله انجام داد. برای زمان مدل‌سازی حدوداً 200 دقیقه، نتایج بدست آمده از روش توابع تبدیل برای دبی ورودی در شکل ۸۳-۴ و برای فشار خروجی در شکل ۸۴-۴ با نتایج روش ضمنی و الگوریتم TVD (تحقیق ژو و آدمی) مقایسه گردیده است.



شکل ۸۳-۴: مقایسه نتایج بدست آمده از روش توابع تبدیل و روش دلتا برای دبی ورودی نمونه پنجم



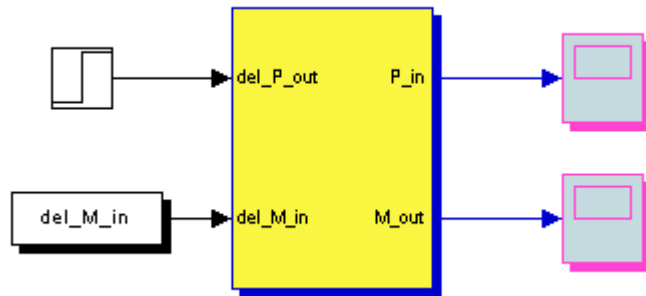
شکل ۸۴-۴: مقایسه نتایج بدست آمده از روش توابع تبدیل و روش دلتا برای فشار خروجی نمونه پنجم

همانطور که در این دو شکل می‌بینیم نتایجی که از روش توابع تبدیل به دست آمده‌اند به خصوص برای دبی ورودی با نتایج تحلیل عددی بسیار نزدیک بوده و این نتایج برای فشار خروجی با متوسط خطای $4/5$ درصد مطابقت زیادی با یافته‌های عددی دارد. علت ایجاد عقب و جلوشدگی دو قوس برای نمودار فشار روش توابع تبدیل، تغییر ناگهانی بسیار زیاد فشار در ورودی است که با تقریب بالاتر از تقریب خطی در توابع تبدیل می‌توان آن را بهبود داد.

۶.۳.۴ شرایط غیردائم با تغییر ناگهانی فشار خروجی (نمونه ششم)

در این دسته از شرایط به چهار حالت آخر تحقیق ژو و آدومی (تغییر فشار خروجی و ثابت ماندن دبی ورودی) می‌پردازیم. در دو حالت آخر که شکافی در وسط لوله اتفاق افتاده و دو سر آن تا پایان شبیه‌سازی بسته می‌ماند، می‌توان با توجه به وجود تقارن در شرایط مسئله نصف طول را مورد بررسی قرار داده و در نهایت با استفاده از قرینه‌سازی، نتایج را به کل لوله تعمیم داد. در این چهار حالت شرایط اولیه یکسان و به صورت بدون جریان و فشار یکنواخت $1200/0 \text{ psi}$ می‌باشد. در حالت پنجم و ششم آن تحقیق، فشار در خروجی به طور ناگهانی به ترتیب به 600 و $14/7$ کاهش ناگهانی پیدا کرده و در آن مقدار باقی می‌ماند. اما در دو حالت آخر یعنی حالت‌های هفتم و هشتم فشار در وسط لوله به ترتیب به مقادیر 600 و $14/7$ کاهش ناگهانی پیدا می‌کند.

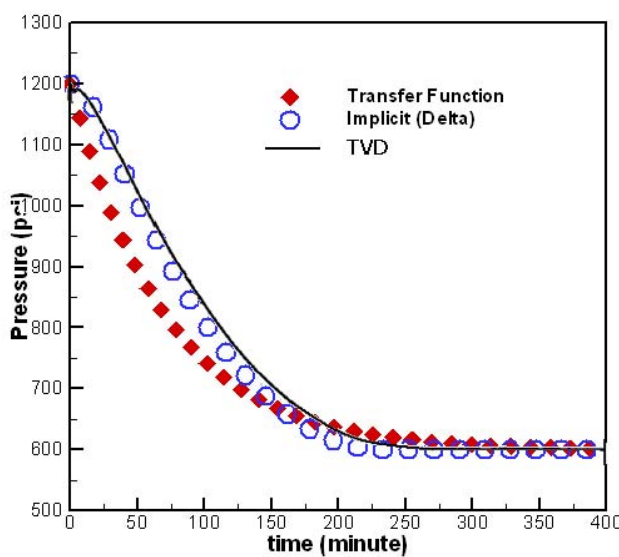
با این توصیف می‌توان مدل مشترکی برای چهار حالت گفته شده با استفاده از توابع تبدیل ترتیب داده و در آن فقط مقادیر هندسی و شرایطی جریان را تغییر داد. این مدل از دسته مدل‌های با دبی ورودی و فشار خروجی معلوم می‌باشد. شماتیک این نوع مدل در محیط نرم‌افزار MATLAB در شکل ۴-۸۵ نشان داده شده است. با دادن ورودی‌های با تغییرات ناگهانی کم به این مدل می‌توان نتایج بسیار خوبی گرفت؛ اما به هر حال برای اینکه بتوان نتایج را با یافته‌های عددی و با کار ژو و آدومی مقایسه کرد، چهار حالت گفته شده را که دارای تغییرات بسیار زیاد حول حالت پایدار می‌باشند با این مدل بررسی می‌کنیم.



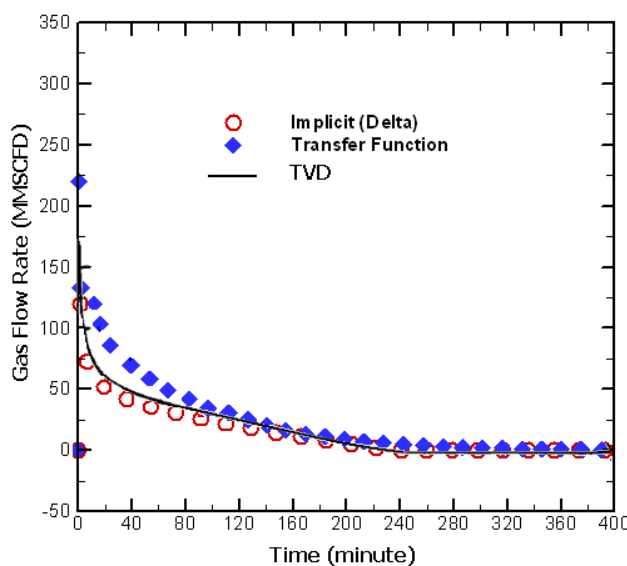
شکل ۸۵-۴: شماتیک مدل نوع دبی- فشار برای چهار حالت جریان غیر دائم (نمونه ششم)

نتایج به دست آمده برای فشار ورودی حالت پنجم کار ژو و آدومی در شکل ۸۶-۴ و برای دبی خروجی آن حالت در شکل ۸۷-۴ با یافته‌های عددی مقایسه گردیده است. مشاهده می‌شود که در نمودار مربوط به مقایسه فشار ورودی برای زمان‌های بعد از ۱۵۰ دقیقه و در نمودار دبی خروجی برای زمان پس از ۸۰ دقیقه نزدیکی بسیار بالایی بین نتایج عددی با روش توابع تبدیل ایجاد می‌گردد. در زمان‌های قبل از این دو زمان نیز، همانطور که در دو نمودار می‌توان دید، نتایج روش توابع تبدیل بیشتر نزدیک به نتایج روش ضمنی برای فشار و نزدیک به نتایج روش TVD برای دبی می‌باشد.

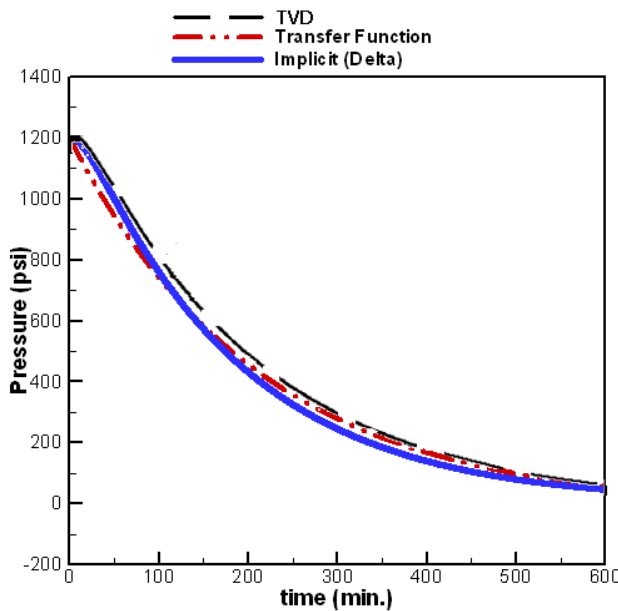
همچنین نتایج به دست آمده برای فشار ورودی حالت ششم تحقیق ژو در شکل ۸۸-۴ و برای دبی خروجی آن حالت در شکل ۸۹-۴ با یافته‌های عددی مورد مقایسه واقع شده است. مجدداً می‌توان متوجه نزدیکی بیشتر یافته‌های توابع تبدیل به نتایج فرمولاسیون دلتا (روش ضمنی) در نمودار فشار ورودی و به نتایج TVD در نمودار دبی خروجی شد. این به علت ماهیت فیزیکی و هندسی یکسان در تعریف این دو حالت به هنگام شبیه‌سازی عددی می‌باشد.



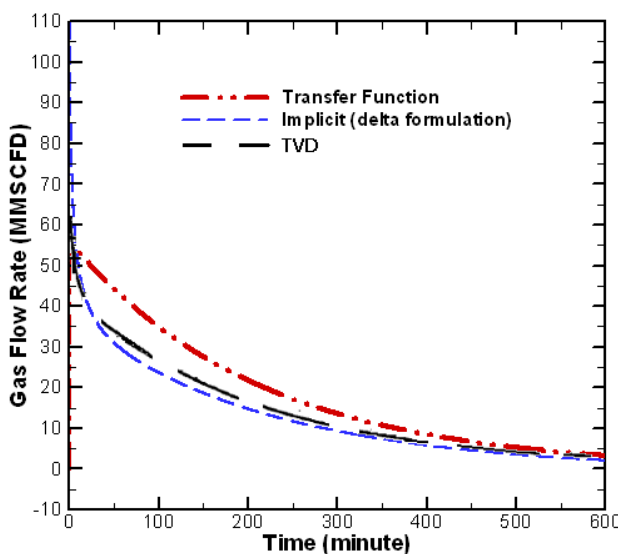
شکل ۴-۸۶: مقایسه نتایج روش تبدیل و روش عددی برای فشار ورودی (حالت پنجم کار ژو-آدومی)



شکل ۴-۸۷: مقایسه نتایج روش تبدیل و روش عددی برای دبی خروجی (حالت پنجم کار ژو-آدومی)



شکل ۴-۸۸: مقایسه نتایج روش تبدیل و روش عددی برای فشار ورودی (حالت ششم کار ژو-آدومی)

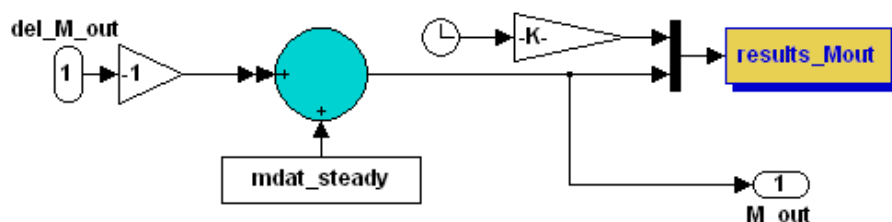


شکل ۴-۸۹: مقایسه نتایج روش تبدیل و روش عددی برای دبی خروجی (حالت ششم کار ژو-آدومی)

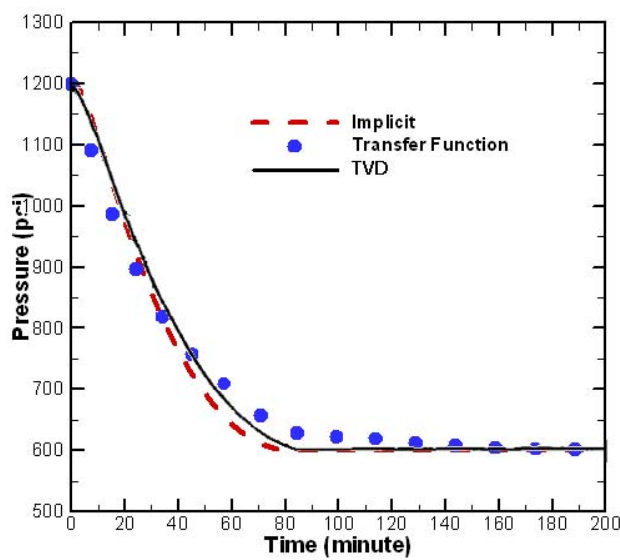
از طرف دیگر مقایسه نتایج عددی دبی خروجی و فشار ورودی برای حالت‌های هفتم و هشتم از تحقیق یاد شده با یافته‌های به دست آمده از روش توابع تبدیل و حوزه فرکانسی را می‌توان از شکل ۴-۹۱ تا شکل ۴-۹۴ مشاهده نمود. همانطور که دیده می‌شود، در نمودارهای این دو حالت نیز نتایج توابع تبدیل، همپوشانی بسیار خوبی با یافته‌های عددی TVD دارند.

با مشاهده این نتایج می‌توان گفت که با استفاده از روش توابع تبدیل و با انتخاب مقادیر مناسب جهت خطی‌سازی در حوزه فرکانس در موارد مختلف بدون نیاز به صرف وقت زیاد می‌توان به شبیه‌سازی لوله یا شبکه پرداخت. دقت نتایج به دست آمده در این موارد مرتبط با حالت فیزیکی و هندسی مدل است؛ به عبارت دیگر این روش در مواردی می‌تواند بسیار خوب نتیجه دهد که در آن تغییرات ناگهانی زیاد از حد حول وضعیت تعادل و حالت پایدار با زمان وجود نداشته باشد.

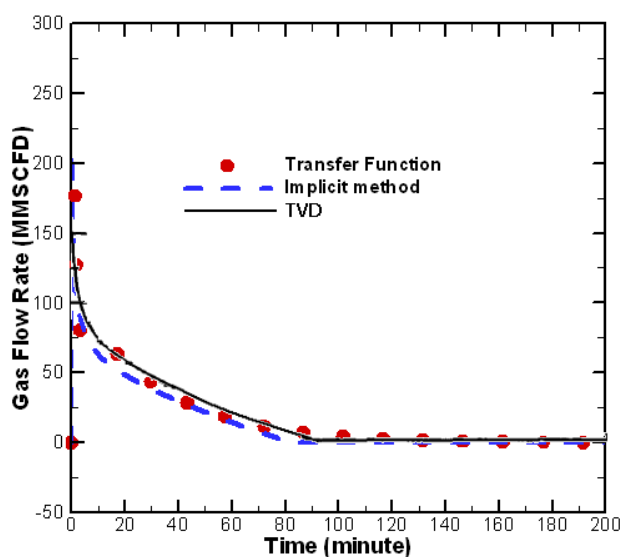
به علاوه در حالت‌هایی که نمی‌توان از نوع متوسط حالت دائم المان یا لوله برای یافتن مقدار پارامترهای خطی‌سازی استفاده کرد (همانند نمونه‌های تغییر ناگهانی از حالت بدون جریان در لوله)، می‌توان به صورت حدس و خطایی و یا به شکل تجربی این مقادیر را عوض کرده تا از بروز تقسیم بر صفر و ایجاد ناپایداری در مدل توابع تبدیل جلوگیری نمود. تغییر این مقادیر هیچ گونه لطمه یا تغییری در جواب‌های نهایی ایجاد نخواهد کرد چرا که در مدل توابع تبدیل مقادیر اختلاف پارامترهای جریان (مثل دبی یا فشار) وارد می‌شوند که در نهایت، مقادیر جدید با جمع بستن آنها با مقادیر حالت پایدار بدست خواهند آمد (شکل ۹۰-۴).



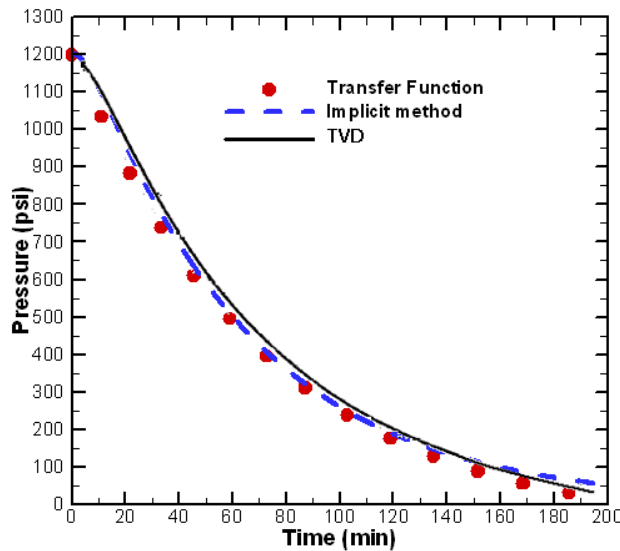
شکل ۹۰-۴: نحوه محاسبه مقادیر نهایی حالت غیردائم از مقادیر اختلافی محاسبه شده در مدل



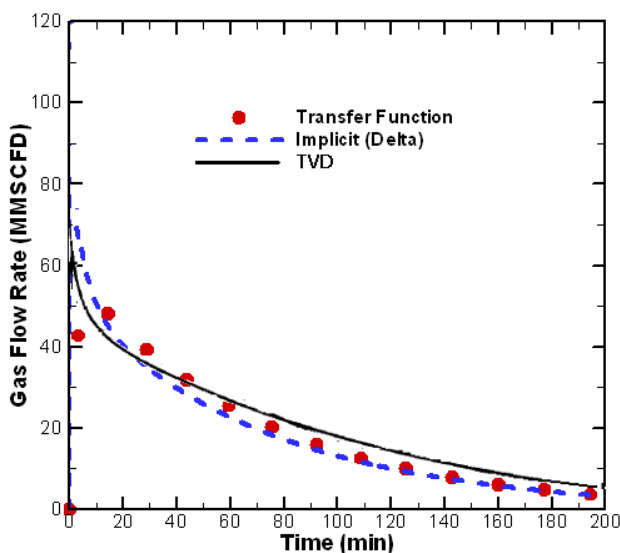
شکل ۴-۹۱: مقایسه نتایج روش تبدیل و روش عددی برای فشار ورودی (حالت هفتم کار ژو-آدومی)



شکل ۴-۹۲: مقایسه نتایج روش تبدیل و روش عددی برای دبی خروجی (حالت هفتم کار ژو-آدومی)



شکل ۴-۹۳: مقایسه نتایج روش تبدیل و روش عددی برای فشار ورودی (حالت هشتم کار ژو-آدومی)



شکل ۴-۹۴: مقایسه نتایج روش تبدیل و روش عددی برای دبی خروجی (حالت هشتم کار ژو-آدومی)

۴.۴ مراجع

- [1] Zhou, J. and Adewumi, M.A., (1996), “*Simulation of Transient Flow in Natural Gas Pipelines*”, the Pennsylvania State University, Petroleum and Natural Gas Engineering, GRI-PA 16802.
- [2] Tentis E., Margaris D., Papanikas D., (2003), “*Transient gas flow simulation using an Adaptive Method of Lines*”, Fluid Mechanics Laboratory, University of Patras, 26500 Patras, Greece, pp 481-487.

-
- [3] Kralik J., Stiegler P., Vostry Z., Zavorka J., (1998), “*Dynamic modeling of large scale networks with application to gas distribution*”, 1st ed., Inst. of Information Thory and Automation of the Czechoslovak Academy of Sciences Prague, Czechoslovakia, ELSEVIER Amesterdam-Axford.

۵ شرکت در سمینارها و کنفرانس‌های داخلی و خارجی و مقالات ارائه شده

یکی از مسئولیت‌های دفتر پژوهش شرکت گاز استان خوزستان تعامل و ارتباط با محافل علمی و صنعتی ملی و بین‌المللی می‌باشد. در این راستا از آنجا که کنفرانس‌ها و همایش‌های داخلی و خارجی محل مناسی جهت تبادل اطلاعات و آگاهی از پیشرفت‌ها و نوآوری‌های انجام گرفته در زمینه صنایع مرتبط با تولید، فرآوری، انتقال و توزیع گاز می‌باشند، شرکت در این کنفرانس‌ها جزء برنامه‌های سالانه دفتر می‌باشد. شایان ذکر است که شرکت پرسنل دفتر پژوهش در کنفرانس‌های علمی همراه با ارائه مقاله از طرف دفتر پژوهش در این کنفرانس‌ها بوده است. در ادامه مختصراً این کنفرانس‌ها و مقالات ارائه شده در آنها شرح داده شده‌اند.

۱.۵ نمایشگاه نفت و گاز

پیرامون تشکیل نمایشگاه نفت و گاز (فروردین ۸۷) در تهران، از طرف دفتر پژوهش شرکت گاز استان خوزستان برنامه‌ای برای بازدید از این نمایشگاه تدارک دیده شد. هدف از این بازدید آشنایی با شرکت‌های مختلف داخلی و خارجی مرتبط با صنعت گاز و آشنایی با آخرین تکنولوژی روز دنیا بوده است. با توجه به برنامه‌ی یک ساله‌ی دفتر پژوهش، یکی از اهداف مد نظر، آشنایی با شرکت‌هایی بوده که در زمینه ساخت سیستم‌های اندازه‌گیری دبی جریان گاز (دبی‌سنچ) فعالیت داشتند. با آشنایی شرکت‌های مختلف داخلی و خارجی و تهیه کاتالوگ انواع دبی‌سنچ‌های ساخته شده توسط این شرکتها، بانک اطلاعاتی در زمینه تهیه نرم‌افزار انتخاب دبی‌سنچ‌های مختلف گازی کاملتر می‌شود.

از جمله شاخص‌ترین شرکت‌هایی که مورد بازدید قرار گرفتند عبارت بودند از:

۱.۱.۵ تووس متک

عمده فعالیتهای این شرکت به صورت خلاصه در شکل ۱-۵ آورده شده است.



 توس و متک (سهامی خالص)

$Q_{\max} = 1000 \text{ SCMH}$
(PTB Approve)

Calibration Facility for Gas Meters up to $Q_{\max} = 1000 \text{ SCMH}$
(PTB Approval)



فلومترهای توربینی گاز
IGTM Gas Turbine Meter



دستگاه تصمیح کننده مقادیر حجم/حریان گاز
PTZ-BOX V2 Electronic Volume/Flow Rate Converter



فلومترهای روتاری گاز
OMEGA V Rotary Gas Meter



دستگاه تصمیح کننده سطح بالی مقادیر حجم/حریان گاز
GAS-CADA High Level Electronic Volume/Flow Rate Converter



فلومترهای توربینی مایعات
Liquid Turbine Meter



فلیترهای مایعات با صافی سبدی
Liquid Filter with Basket Type Strainers



فلومترهای دنده تخم مرغی مایعات
Liquid Oval Gear Meter



دستگاه سیار کروماتوگرافی گاز
Mobile Process Gas Chromatograph



شکل ۱-۵: کاتالوگ شرکت تووس و متک

۲.۱.۵ شرکت شاتل پارس

این شرکت به عنوان مشاور فنی و خدمات بعد از فروش تعدادی از معتبرترین کمپانی‌های سازنده سیستم‌های اندازه گیری، ابزار دقیق و کنترل، فعالیت خود را به صورت اختصاصی بر روی تجهیزات فرآیندی مرکز نموده است. در شکل ۲-۵ ۳-۵ شرکت‌هایی که شاتل پارس نماینده انحصاری آنها می‌باشد به همراه زمینه فعالیت هر کدام آورده شده است.

۱. KROHNE

- 1.1. Flow meters
 - 1.1.1. Glass / Metal type Variable Area Flow meters
 - 1.1.2. Electromagnetic Flow meters
 - 1.1.3. Ultrasonic Flow meters
 - 1.1.4. Mass Flow meters
 - 1.1.5. Flow Controllers
- 1.2. Level Measuring Instruments
 - 1.2.1. Radar Level Gauge
 - 1.2.2. Ultrasonic
 - 1.2.3. Float Type
 - 1.2.4. Displacer & Level Switches
- 1.3. Metering Systems
- 1.4. Communication Engineering
- 1.5. Tank Management Systems
- 1.6. Leak Detection Systems



۲. HACH ULTRA (Polymetron)

- 2.1. Liquid Analyzers
 - 2.1.1. pH, Redox, Conductivity
 - 2.1.2. Turbidity, Dissolved Gases
 - 2.1.3. Concentration, Total Hardness, Sodium
 - 2.1.4. Silica phosphate, Hydrazine, Chlorine
 - 2.1.5. Suspended Solid, T.O.C. (Total Organic Carbon)
 - 2.1.6. T.C. (Total Carbon)



۳. Honeywell Analytics (Sieger)

- 3.1. Fire & Gas Detection
 - 3.1.1. Flame, Smoke, Heat Detectors
 - 3.1.2. Combustible & Toxic Gas Detectors
 - 3.1.3. Control Systems...



تهران - خیابان شهید دکتر قندی، پلاک ۱۰۹، کد پستی: ۱۵۵۴۹ | تلفن: ۰۲۱ ۸۸۷۵۱۷۷۳ | فکس: ۰۲۱ ۸۸۷۵۱۷۷۴

No. 109, Dr.Ghandi Ave., Tehran 15549 - IRAN Tel: +98 21 8875 1771 - Fax: +98 21 8875 1773 e-mail: shuttlepars@shuttlepars.com

شکل ۲-۵: زمینه فعالیت‌های شرکت‌هایی که شاتل پارس نماینده انحصاری آنها می‌باشد.

3.1.4. Portable Gas Detectors

4. ARCA

- 4.1. Control Valve (globe style) (signal/double seated)
- 4.2. Three way control valve
- 4.3. Steam conditioning and pressure reducing control valves
- 4.4. Butterfly Valves
- 4.5. Valve accessories such as intelligent positioner,...

**5. GEORGIN**

- 5.1. Pressure and Temperature Transmitters
- 5.2. Switches for Ex and None Ex Areas
- 5.3. Remote I/O
- 5.4. Relays
- 5.5. Barriers

**6. FISCHER**

- 6.1. Pressure Instruments
- 6.2. Temperature Instruments
- 6.3. PID Controllers
- 6.4. Differential Pressure Instruments
- 6.5. Different Electronics: Buffer Amplifier & Signal Converter
- 6.6. Mini -PLC (FICON-M)

**7. NET SAFETY**

- 7.1. F&G Control Systems
- 7.2. Flame Detectors
- 7.3. Gas Detectors
- 7.4. Smoke Detectors
- 7.5. F&G Calibration Accessories

**8. IFTG (Indutrade Flow Technology Group)**

Package supplier of Valves, Pumps and Field Instruments

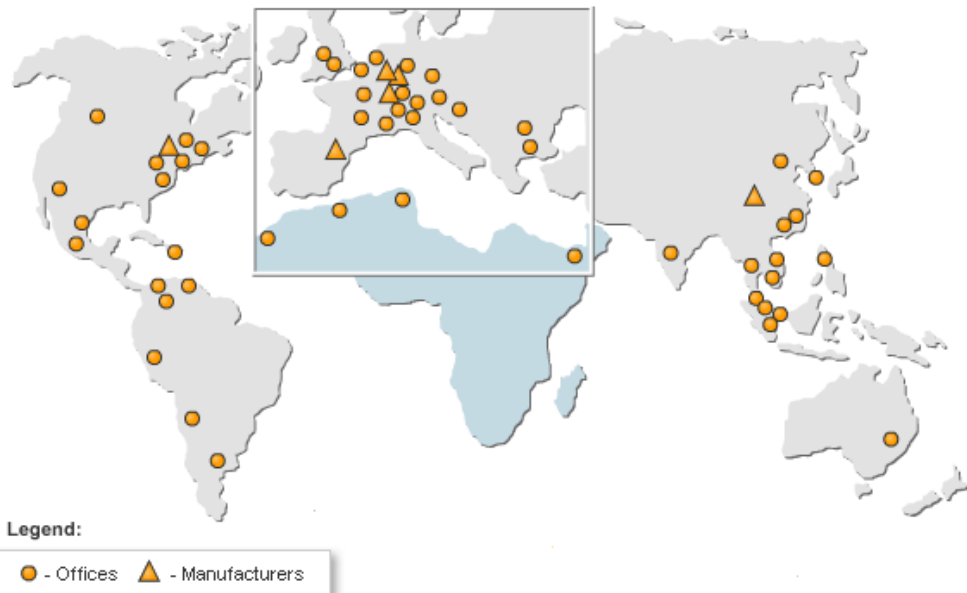
شکل ۳-۵: زمینه فعالیت‌های شرکت‌هایی که شاتل پارس نماینده انحصاری آنها می‌باشد

۳.۱.۵ شرکت KOBOLD

این شرکت آلمانی، سازنده انواع سیستمهای اندازه‌گیری و کنترل می‌باشد. سیستم‌های اندازه‌گیری و کنترل شامل:

- Flow •
- Pressure •
- Level •
- Temperature •
- Humidity •
- Rotation •
- Conductivity •
- pH – Value/Redox •
- Turbidity •
- Time •

این شرکت سرتاسر دنیا دارای کارخانه و نمایندگی می‌باشد. در شکل ۴-۵ نمائی از این پراکندگی شعبات در سرتاسر دنیا آورده شده است.



شکل ۴-۵: پراکندگی شعبات و نمایندگی‌های شرکت KOBOLD در سرتاسر دنیا مشخصات این شرکت در ذیل آورده شده است.

Tel:+49 (0) 6192-299-0

Fax:+49 (0) 6192-23398

Email address: Info.de@Kobold.com

۴.۱.۵ گروه مهرکانا

این گروه در زمینه مشاوره و تامین تجهیزات ابزار دقیق به عنوان نماینده رسمی چند شرکت معتبر خارجی می‌باشد. این شرکت در زمینه تامین دبی‌سنچ‌های مورد نیاز صنایع مختلف از جمله، نیروگاه، پتروشیمی، فولاد، سیمان، آب و فاضلاب فعالیت دارد. شرکت‌های خارجی که گروه مهرکانا به عنوان نماینده رسمی آنها در داخل کشور فعالیت دارند، عبارتند از:

- شرکت Heinrichs، که یک شرکت آلمانی با سابقه 100 سال در زمینه تولید دبی‌سنچ‌های جرمی (Coriolis) فعالیت دارد.
- شرکت Sick Mailhak آلمان
- شرکت KEM آلمان، سازنده دبی‌سنچ‌های دقیق توربینی

- شرکت Badger ، سازنده رنج وسیعی از دبی‌سنجهای الکترومغناطیسی بوده و محصولات این شرکت در آمریکا و اروپای غربی ساخته می‌شود.

- شرکت Bronkhorst

۵.۱.۵ شرکت Endress+Hauser

این شرکت آلمانی در سال ۱۹۵۳ توسط دکتر Georg Endress و شریکش Ludwig Hauser افتتاح شد. فعالیت این شرکت در زمینه ساخت سیستم‌های اندازه‌گیری، سطح (Level)، فشار، دما، آنالیز مایع و ... می‌باشد.

این شرکت سازنده دبی‌سنجهای برای سیالات مختلف مانند، مایع، گاز و بخار می‌باشد. مدل‌های مختلف دبی‌سنچ که توسط این شرکت ساخته می‌شوند، عبارتند از:

- Electromagnetic
- Coriolis
- Ultrasonic
- Vortex
- Thermal
- Differential pressure

۶.۱.۵ شرکت آزمون متمم

این شرکت در زمینه ابزار دقیق، اتوماسیون، کالیبراسیون فعالیت داشته و نماینده انحصاری شرکت‌های خارجی VSE، Sima، Phonix، Forbes Marshall، Heinrichs در داخل کشور می‌باشد. این شرکت در سال ۱۳۷۰ به منظور طراحی و ساخت دستگاه‌های اندازه‌گیری دبی تاسیس گردید. تجهیزات و خدمات قابل ارائه توسط شرکت آزمون متمم عبارتند از:

- تولید و تامین تجهیزات اندازه‌گیری
- دبی‌سنجهای صنعتی و آزمایشگاهی
- تجهیزات اندازه‌گیری سطح مایعات
- تجهیزات اندازه‌گیری فشار، اختلاف فشار و بارومتر
- تجهیزات کنترلی
- کنترل فرآیند و اتوماسیون صنعتی

- نیاز سنجی و مشاوره، طراحی و مهندسی و اجرای سیستم‌های اتوماسیون صنعتی
- تهیه و تامین تجهیزات
- کالیبراسیون دبی‌سنچ‌ها
- کالیبراسیون دبی‌سنچ‌های مایع
- کالیبراسیون دبی‌سنچ‌های گاز

مشخصات این شرکت در ذیل آورده شده است.

Email: info@azmoon-flow.com

www.azmoon-flow.com

tel.: ۰۲۱ ۴۴۲۲۷۳۷۸, ۴۴۲۳۸۴۲۷

Fax: ۰۲۱ ۴۴۲۲۱۹۶۹

۲.۵ دومین همایش گاز ایران

در اواخر خردادماه و در روزهای ۲۵ و ۲۶ از این ماه، دومین همایش گاز ایران در محل همایش‌های سازمان صدا و سیما برگزار گردید که سه نفر از دفتر پژوهش شرکت گاز استان خوزستان نیز در این همایش به عنوان نویسنده‌گان اول یا دوم مقالات حضور یافتند؛ اسامی این نفرات عبارتند از:

- دکتر مرتضی بهبهانی‌ژناد و مهندس مازیار چنگیزیان: نویسنده‌گان اول و دوم مقاله‌ای تحت عنوان " شبیه‌سازی سه‌بعدی سیستم حفاظت کاتدیک لوله‌های گاز مدفون در خاک به روش المان مرزی " (متن کامل مقاله در پیوست ب ارائه شده است).
- مهندس علی باقری: نویسنده مقاله پوستری تحت عنوان " تحلیل جریان گذراي گاز طبیعی با استفاده از توابع تبدیل و مقایسه نتایج آن با روش‌های عددی غیردائم " (متن کامل مقاله در پیوست پ ارائه شده است).

در این همایش که با حضور پژوهشگران و محققین بسیاری از داخل و خارج کشور در تهران برگزار گردید، محورهای کلی ارائه مقالات و پوسترها در این همایش در قالب موارد ذیل بود.

- فرآیند و تبدیلات گازی
- بهینه‌سازی و مصرف انرژی

- روش‌های تأمین گاز در اوج مصرف
- حفاظت صنعتی و خوردنگی
- انتقال و توزیع
- HSE •
- منابع انسانی و مدیریت
- برنامه‌ریزی استراتژیک

در افتتاحیه این همایش، مهندس سید رضا کسايی زاده در سمت مدیر عامل شرکت ملی گاز ایران، مهندس غلامحسین نوذری در سمت وزیر نفت و دکتر پرویز داودی با سمت معاون اولی ریاست جمهوری، به ایراد سخنانی در ارتباط با اهمیت انرژی‌های فسیلی، صرفه‌جویی، راهکارهای بهینه‌سازی آن و اهمیت برگزاری چنین همایش‌هایی پرداختند.

۱۰.۵ شبیه‌سازی سه‌بعدی سیستم حفاظت کاتدیک لوله‌های گاز مدفون در خاک به روش المان مرزی (چکیده)

در مقاله‌ی حاضر سیستم حفاظت کاتدیک با جریان اعمالی و نیز آندفاداشونده لوله‌های مدفون به صورت عددی شبیه‌سازی شده‌است. برای حل عددی از روش المان مرزی استفاده شده و شرایط مرزی مسئله به صورت غیر خطی تعریف شده‌اند. لوله به صورت سه‌بعدی مدل شده و به کمک نتایج مدل‌سازی توزیع پتانسیل و جریان روی تمامی نقاط لوله تعیین می‌شود. در نهایت بمنظور طراحی بهینه سیستم جریان مناسب برای حفاظت لوله (با فرض ثابت بودن تعداد و محل آندها در روش جریان اعمالی) و تعداد و چیدمان مناسب آندها (در روش آند فداشونده) تعیین می‌شوند.

۲۰.۵ تحلیل جریان گذراهی گاز طبیعی با استفاده از توابع تبدیل و مقایسه نتایج آن با روش‌های عددی غیردائم (چکیده)

جریان درون لوله‌های گاز به دلیل حضور تغییرات زمانی، ماهیتی غیردائم داشته و در بسیاری از موارد، فرض جریان دائم خطای بالایی دارد. با تحلیل جریان غیردائم گاز می‌توان به بررسی لحظه‌ای رفتار آن درون شبکه پرداخت. در این مقاله با استفاده از حوزه فرکانس، توابع تبدیل جریان غیردائم

درون لوله‌های گاز طبیعی استخراج شده و به بررسی قابلیت آن در مدلسازی جريان پرداخته می‌شود. جهت این بررسی یافته‌های روش توابع تبدیل با نتایج بدست آمده از روش‌های عددی مستقیم (نظیر الگوریتم‌های صریح و ضمنی اختلاف محدود، روش FCT، روش‌های TVD با محدودکننده) مقایسه می‌گردد. نتایج بدست آمده نشان می‌دهد که می‌توان از روش توابع تبدیل در حالت‌هایی که میزان تغییرات زمانی خواص جريان در آنها نسبت به حالت دائم از ۷۰ درصد تجاوز نمی‌کند، به عنوان روشی که دارای دقت مناسب و سرعت محاسباتی بسیار بیشتری نسبت به سایر روش‌های عددی تحلیل مستقیم جريان غیردائم می‌باشد استفاده کرد. البته برای حالت‌های دارای تغییرات زمانی بیش از این نیز می‌توان تا درصدهایی با در نظر گرفتن نقاط دیگری برای خطی‌سازی حول آن به نتایج دقیق و رضایت‌بخشی دست یافت.

۳.۵ کنگره‌ی جهانی علوم، مهندسی و تکنولوژی آلمان^۱

در اواخر تیرماه سال جاری از طرف دفتر پژوهش شرکت گاز استان خوزستان دو مقاله به کنگره‌ی جهانی علوم، مهندسی و تکنولوژی که در شهر هیدلبرگ آلمان برگزار شد فرستاده و مورد پذیرش واقع گردید. این دو مقاله با عنوان‌های و نویسنده‌گان ذیل می‌باشند.

- بهبهانی‌نژاد، م. و باقری، ع.، ”کتابخانه سیمولینکی برای شبیه‌سازی جريان غیردائم گاز درون شبکه“، تیرماه ۱۳۸۷.

این مقاله یکی از دستاوردهای حاصل از پایان‌نامه مهندس علی باقری با همکاری شرکت گاز استان خوزستان و در زمینه مدلسازی جريان غیردائم با استفاده از توابع تبدیل و تحت عنوان کامل ”بررسی الگوریتم‌های مختلف حل عددی جريان غیردائم درون شبکه‌های گاز شهری و تحلیل دینامیکی یک شبکه نمونه“ می‌باشد. متن لاتین مقاله ارسالی به دبیرخانه کنگره، در پیوست ت ارائه گردیده است.

- بهبهانی‌نژاد، م. و شکاری، ی.، ”مدلسازی رتبه کاسته جريان غیردائم گاز درون لوله‌ها“، تیرماه ۱۳۸۷.

¹ World Congress on Science, Engineering and Technology, Heidelberg, Germany

این مقاله یکی از دستاوردهای حاصل از پایان‌نامه مهندس یونس شکاری با همکاری شرکت گاز استان خوزستان و در زمینه مدلسازی رتبه کاسته جریان غیردائم می‌باشد. متن لاتین مقاله ارسالی به دبیرخانه کنگره، در پیوست ث ارائه گردیده است.

۱.۳.۵ کتابخانه سیمولینکی برای شبیه‌سازی جریان غیردائم گاز درون شبکه (چکیده)

در این مقاله شبیه‌سازی جریان غیردائم گاز برای لوله‌ها و شبکه‌ها ارائه می‌گردد. این شبیه‌سازی بر پایه مدل‌های توابع تبدیل و سیمولینک MATLAB می‌باشد. توابع تبدیل همارز معادلات حاکم و غیرخطی جریان برای انواع مختلف شرط مرزی استخراج شده و سپس یک کتابخانه سیمولینکی با درنظرگیری آن شرایط مرزی ارائه می‌شود. برای اصلاح دقت و بررسی بازدهی محاسباتی در شبیه‌سازی انجام گرفته، نتایج با یافته‌های مشابه و همارز روش‌های عددی اختلاف محدود (مانند TVD، روش خطوط و دیگر روش‌های ضمنی یا صریح اختلاف محدود) مقایسه می‌شوند. اثرات اینرسی جریان و تغییر ارتفاع لوله از سطح زمین نیز در این مدلسازی درنظر گرفته می‌شوند. نشان داده خواهد شد که این شبیه‌سازی دقیق مناسب داشته و از حیث محاسباتی بازدهی بیشتری نسبت به دیگر روش‌ها دارد.

۲.۳.۵ مدلسازی رتبه کاسته جریان غیردائم گاز درون لوله‌ها (چکیده)

در این مقاله مدلسازی رتبه کاسته برای جریان گذرای گاز طبیعی در لوله‌ها ارائه می‌گردد. معادلات اویلر بعنوان معادلات حاکم در نظر گرفته شده و با استفاده از روش تجزیه شار استگر-وارمینگ حل می‌شوند. بعد، فرم خطی شده معادلات استخراج گردیده و دستگاه مقادیر ویژه متناظر بدست می‌آید. سپس تعداد کمی از مودهای ویژه برای ایجاد یک مدل رتبه کاسته مطلوب مورد استفاده واقع می‌شوند. یک حالت نمونه شناخته شده برای توضیح دقت و بازدهی محاسباتی روش ارائه شده ارائه و تحلیل می‌گردد. نتایج بدست آمده در توافقی خوب با یافته‌های روش عددی مستقیم و نتایج تجربی هستند. بعلاوه نشان داده خواهد شد که مدل رتبه کاسته حاضر نسبت به سایر تکنیک‌های عددی مرسوم بازدهی بیشتری در تحلیل جریان غیردائم گاز دارد.

۴.۵ دوازدهمین کنفرانس دینامیک شاره‌ها

هدف این کنفرانس ارائه جدید ترین دستاوردها و تحقیقات انجام گرفته در حوزه علم مکانیک سیالات است. مقالات این کنفرانس عمدتاً حاصل پایان‌نامه‌های ارشد، رساله‌های دکترا و پژوهش‌های محققان می‌باشد. با توجه به گستردگی کاربرد موضوع دینامیک شاره‌ها در علوم و فنون مختلف، شرکت‌کنندگان این کنفرانس شامل اساتید، محققان و دانشجویان رشته‌های مهندسی مکانیک، مهندسی هوافضا، مهندسی شیمی، مهندسی عمران، فیزیک و هواشناسی می‌باشد. دی‌ماه سال ۱۳۸۷ مقاله‌ای با عنوان، نقش تصحیح استاتیکی در مدل‌سازی رتبه‌کاسته جریان گذرا درون خطوط لوله گاز طبیعی^۱، برای ارائه بدين کنفرانس ارسال گردید که مورد پذیرش واقع شد. متن کامل این مقاله در پیوست ج ارائه شده است. این کنفرانس، اردیبهشت‌ماه سال ۱۳۸۸ در دانشگاه صنعتی نوشیروانی با پذیرش ج گزار می‌شود.

۱۴.۵ نقش تصحیح استاتیکی در مدل‌سازی رتبه‌کاسته جریان گذرا درون خطوط لوله گاز طبیعی (چکیده)

در این مقاله تاثیر تصحیح استاتیکی بر مدل‌سازی رتبه‌کاسته جریان گذرا درون خطوط لوله گاز طبیعی بررسی می‌شود. پس از گسترش سازی معادلات حاکم و خطی‌سازی آنها حول حالت دائم، مسئله مقدار ویژه جریان تشکیل و مقادیر ویژه این مسئله محاسبه می‌شوند. با انتخاب تعداد اندکی از مودهای غالب سیستم به عنوان پایه‌های فضای رتبه‌کاسته، و بسط معادلات حاکم در این فضای جدید مدل‌سازی رتبه‌کاسته جریان صورت می‌پذیرد. سپس بهمنظور بهبود نتایج، اثر تصحیح استاتیکی بر مدل‌سازی رتبه‌کاسته جریان بررسی می‌شود. نتایج بهدست آمده نشان می‌دهد که با درنظر گرفتن اثر تصحیح استاتیکی می‌توان با تعداد مودهای بسیار کمی دقیق نتایج بهدست آمده از مدل رتبه‌کاسته را به مقدار قابل توجهی افزایش داد.

^۱ مرتضی بهبهانی‌نژاد، یونس شکاری

۵.۵ کنفرانس بین‌المللی مهندسی مکانیک

این کنفرانس شامل چهار بخش ارائه مقالات علمی و صنعتی، عرضه پوستر طرح‌های برگزیده صنعتی، نمایشگاهی از جدیدترین تولیدات و دستاوردهای صنعتی و کارگاه‌های آموزشی است که با هدف گسترش مرزهای دانش و فناوری و به وجود آوردن فرصتی برای تبادل اطلاعات بین محققان و متخصصان صنعت و دانشگاه و با امید به برداشتن قدمی در حل مشکلات کشور و همچنین بررسی سیر توسعه و تحول مهندسی مکانیک در ایران برگزار می‌گردد. دی‌ماه سال ۱۳۸۷ مقاله‌ای با عنوان، تحلیل ویژه جریان گذراي گاز طبیعی درون خطوط لوله^۱، برای ارائه بدین کنفرانس ارسال گردید که مورد پذیرش واقع شد. متن کامل این مقاله در پیوست (چ) ارائه شده است. این کنفرانس، اردیبهشت‌ماه سال ۱۳۸۸ در دانشگاه صنعتی نوشیروانی بابل برگزار می‌شود.

۱.۵.۵ تحلیل ویژه جریان گذراي گاز طبیعی درون خطوط لوله (چکیده)

در این مقاله تحلیل ویژه جریان گذراي گاز طبیعی درون خطوط لوله صورت پذیرفته است. روش ضمنی تجزیه بردار شار استیگر- وارمینگ به عنوان روش حل عددی مسئله انتخاب شده است. به منظور تحلیل ویژه جریان ابتدا مدل خطی شده این روش استخراج شده و سپس بر اساس این مدل، مسئله مقدار ویژه جریان تشکیل شده است و مودهای ویژه جریان محاسبه شده‌اند. در نهایت مدل‌سازی رتبه‌کاسته جریان بر اساس این مودها صورت پذیرفته و در ادامه کار تاثیر ضریب اصطکاک لوله بر فتاو مقادیر ویژه جریان بررسی شده است. نتایج به دست آمده نشان می‌دهند که سیستم معادلات عددی حاکم پایدار می‌باشد و با افزایش ضریب اصطکاک لوله، اندازه مودهای غالب در صفحه λ کوچکتر می‌شوند.

۶.۶ دومین کنفرانس لوله و خطوط انتقال نفت و گاز

جمهوری اسلامی ایران با برخورداری از ۱۴ هزار کیلومتر خطوط لوله انتقال نفت و بیش از ۲۲ هزار کیلومتر خطوط لوله انتقال گاز دارای طولانی‌ترین شبکه خطوط لوله نفت و گاز در منطقه خاورمیانه

^۱ مرتضی بهبهانی‌نژاد، یونس شکاری

می‌باشد. همچنین طرح‌های در دست طراحی و اجرای خط لوله در ایران (خطوط اصلی انتقال گاز شامل خطوط ۵۶ اینچ ایگات ۴، ۵، ۶، ۷، ۸ و ۹ و خطوط متعدد انتقال نفت خام و فرآوردهای نفتی) جمهوری اسلامی ایران را به مهد صنعت لوله‌سازی و اجرای طرح‌های خط لوله در منطقه خاورمیانه و یکی از مهم‌ترین کشورهای دنیا از این نظر تبدیل کرده است.

از سوی دیگر شرایط منحصر به فرد ایران از نظر حجم منابع هیدروکربوری و همچنین جایگاه کشور در میان کشورهای همسایه و منطقه خاورمیانه، ایران را به شاهراه انتقال انرژی و نقطه اتصال منابع انرژی خاورمیانه و کشورهای منطقه به بازارهای اروپا و آسیای جنوب شرقی مبدل نموده است. اولین کنفرانس لوله و صنایع وابسته در تاریخ ۲۶-۲۷ تیر ماه ۱۳۸۶ باهدف آشنایی با کلیه دستاوردها، تکنولوژی‌ها، توانمندی‌ها و نیز چالش‌های موجود در صنعت لوله و خطوط انتقال نفت و گاز با حضور بیش از ۱۵۰۰ نفر از مدیران و کارشناسان برگزار گردید. با توجه به پتانسیل‌های موجود در کشور، دومین کنفرانس لوله در خردادماه سال ۱۳۸۸ در تهران برگزار می‌شود. برای شرکت در این کنفرانس در اسفندماه سال ۱۳۸۷ دو مقاله‌ی ذیل آماده و برای این کنفرانس ارسال گردید.

- مقایسه روش المان‌مرزی و روش مدار معادل در مدل‌سازی عددی سیستم‌های حفاظت کاتدیک خطوط لوله^۱ (متن کامل در پیوست ح)
- دقت و سرعت محاسباتی روش‌های عددی مختلف برای تحلیل جریان گذراي گاز طبیعی^۲ (متن کامل در پیوست خ)

۱.۶.۵ مقایسه روش المان‌مرزی و روش مدار معادل در مدل‌سازی عددی سیستم‌های حفاظت کاتدیک خطوط لوله (چکیده)

در این مقاله دو روش مختلف برای مدل‌سازی عددی سیستم‌های حفاظت کاتدیک خطوط لوله ارائه شده است. روش اول، روش المان‌مرزی (BEM) و دیگری روشی ساده‌تر است که در اینجا از آن به عنوان روش مدار معادل (ECM) یاد شده است. جریان اعمالی لازم به منظور حفاظت خط لوله مربوطه با استفاده از هر دو روش محاسبه شده است. در روش المان‌مرزی از منحنی غیرخطی

^۱ مرتضی بهبهانی‌نژاد، مازیار چنگیزیان

^۲ مرتضی بهبهانی‌نژاد، یونس شکاری

پلاریزاسیون و در روش مدار معادل متحنی پلاریزاسیون خطی شده مورد استفاده قرار گرفته است. نتایج بدست آمده از هر دو روش با یکدیگر مقایسه شده و مزایا و معایب هر کدام از روش‌ها مورد بحث قرار گرفته است. این نتیجه‌گیری بدست آمده است که نتایج روش مدار معادل شدیداً به نحوه خطی‌سازی وابسته است. از طرف دیگر، این روش تنها با فرض فاصله‌ی بسیار زیاد لوله و آند قابل استفاده می‌باشد.

۲.۶.۵ دقت و سرعت محاسباتی روش‌های عددی مختلف برای تحلیل جریان گذراي گاز طبیعی (چکیده)

در این تحقیق دو روش برای تحلیل عددی جریان گذراي گاز طبیعی درون خطوط لوله مورد بررسی قرار گرفته است. روش اختلاف محدود ضمنی تجزیه بردار شار استیگر-وارمینگ و روش اختلاف محدود صریح انتقال تصحیحی شار به معادلات حاکم بر این جریان اعمال شده است. دو نمونه از جریان‌هایی که در عمل رخ می‌دهند، با استفاده از این دو روش تحلیل و سرعت محاسباتی روش‌های به کار رفته با هم مقایسه شده‌اند. نتایج به دست آمده نشان می‌دهد که روش ضمنی تجزیه بردار شار زمان محاسباتی بسیار کمتری نسبت به روش انتقال تصحیحی شار دارد.

۶ فعالیت‌های انجام شده در هفته پژوهش

بدون شک تحولات سریع و شگفت جهانی در دهه‌های اخیر مرهون پژوهش، ژرف‌نگری، همانندیشی، درون و بروناوری و نوآوری صاحبان اندیشه و تخصص و آینده‌نگری و جامع اندیشی مدیران در زمینه‌های گوناگون می‌باشد. از این‌رو به جرأت میتوان گفت که در این عصر توسعه‌ی پایدار جز از طریق ایجاد زیرساخت‌های لازم برای تعامل بین دانشمندان و پژوهشگران از یک سو و بدنی اصلی جامعه از سوی دیگر دست یافتنی نیست. ضمن اینکه اهمیت پژوهش با توجه به نقشی که در تولید علم و فناوری و در نتیجه توسعه کشور دارد بر هیچکس پوشیده نیست ولی آنچه از اهمیت بیشتری برخوردار است هدفمند کردن پژوهش‌ها در راستای رفع نیازهای کشور، پرکردن شکاف میان تحقیق و تولید و تلاش برای برقراری ارتباط هرچه نزدیک‌تر بین آنها و کاربردی کردن تحقیقات است. چنان که در بیانات سال‌های اخیر مقام معظم رهبری نیز، به کرات به این موارد اشاره شده‌است. هفته پژوهش که از سال ۷۹ تاکنون همه ساله در کشور برگزار شده‌است یکی از موقعیت‌هایی است که در صورت بهره‌گیری مناسب در زمینه آسیب‌شناسی، آگاهی‌بخشی و همچنین ارائه برنامه‌های کوتاه‌مدت و بلندمدت در این زمینه‌ها مؤثر خواهد بود. همچنین هفته‌ی پژوهش و جشنواره‌های گوناگون فرصتی است تا ضمن تقدیر از پژوهشگران بر جسته و فرهیخته، کلیه‌ی دستاوردهای پژوهشی و علمی این عزیزان را، چراغ راه توسعه‌ی اقتصادی و فرهنگی و اجتماعی کشور نموده و آینده‌ای روشن برای محققین جوان و سخت کوش ترسیم نمائیم.

۱.۶ غرفه هفته پژوهش

در سالی که از سوی مقام معظم رهبری به نام سال نوآوری و شکوفایی نامگذاری شده و در آستانه سی‌امین سال‌گرد پیروزی شکوهمند انقلاب اسلامی، نمایشگاه دستاوردهای پژوهش و فناوری بطور همزمان با مراسم بزرگداشت هفته پژوهش از تاریخ ۱۶ لغایت ۲۰ آذرماه در استان خوزستان و در دانشگاه شهید چمران اهواز برگزار گردید. بدین ترتیب از عموم دستگاه‌های اجرایی، دانشگاه‌ها و

پژوهشگاه‌های تحقیقاتی علاقمند استان دعوت شد به احداث غرفه اقدام نمایند. در همین راستا دفتر پژوهش شرکت گاز استان خوزستان با انگیزه شناساندن آخرین نوآوری‌ها و تکنولوژی‌های جدید مطرح در صنایع گاز و مرتبط با فعالیت‌های شرکت گاز استان خوزستان و همچنین ایجاد یک بستر پژوهشی جهت سوق دادن فعالیت‌های تحقیقاتی اعضای هیئت علمی و دانشجویان به سمت نیازهای تحقیقاتی آن با همکاری و مساعدت دفتر ارتباط با صنعت دانشگاه شهید چمران اقدام به دایر کردن غرفه نمود.

اگر چه دفتر پژوهش برای برنامه‌ریزی به منظور برگزاری غرفه در تنگنای زمانی قرار گرفته بود اما با تلاش مستمر و در فرست زمانی محدود همه فعالیت‌ها به خوبی انجام شد. بطوريکه به منظور ارائه هر چه بهتر غرفه در هفته پژوهش چندین مورد در نظر گرفته شد که در ذیل به آنها اشاره می‌شود.

با توجه به اهداف و انگیزه‌های اصلی در ایجاد دفتر پژوهش، سعی برآن بود برای بازدیدکنندگان غرفه که طیف شغلی و تحصیلی مختلفی را دربر می‌گرفتند، خدمات دفتر در پیگیری و یافتن آخرین نوآوری‌ها و تکنولوژی‌های جدید در زمینه صنعت گاز و مرتبط با فرآیندها و فعالیت‌های شرکت گاز خوزستان، مسائل و مشکلاتی که توسط شرکت گاز استان خوزستان به این دفتر ارجاع می‌شود، و اولویت‌های پژوهشی شرکت گاز خوزستان، در جهت تعریف پروژه کارشناسی، کارشناسی ارشد و دکترا دانشجویان بیان شود.

همچنین اکنون که زمانی نزدیک به ۲.۵ سال از تاسیس دفتر پژوهش می‌گذرد، به منظور معرفی و آشنایی علاقمندان با اهداف و زمینه‌های فعالیت دفتر پژوهش بروشوری با محترای مطالبی در مورد اهداف و زمینه‌های فعالیت دفتر پژوهش طراحی و ارائه گردید که در شکل ۱-۶ و شکل ۲-۶ دیده می‌شود.

دفتر پژوهش شرکت گاز استان خوزستان

به عنوان هفته پژوهش
۱۶ الی ۲۰ آذرماه ۱۴۰۰

تلفن داخلی داشتگاه ۵۷۴۷ و ۵۷۴۸
تلفن: ۰۶۱-۳۳۷۵۴۹۸

Email: khgco@scu.ac.ir

مکان

این دفتر در حال حاضر بر مبنای داشتن یک میراث باز و داشتن یک مهندس داشتگاه شهید چمران و مجاور کتابخانه این دانشگاه واقع است. دفتر پژوهش گاز اداری چهار طبقه اداری متشتمل بیو مادربروت موکر و گارانتسان اسلام پیش از این طبقات را می‌توان بازدید کرد که به سایر پژوهشگران و دانشجویان که در راستای اهداف دفتر پژوهش شرکت گاز استان خوزستان می‌باشد.

ویژگیات و فعالیت آن

دفتر پژوهش شرکت گاز استان خوزستان در راستای سرویس‌های امنیتی و امنیتی و مطابق با معاشرین بحث و تحقیقات ایجاد و پیشین این موکر اقدام به توسعه و پیاده‌سازی پژوهشی با این اینستگاهی دفترهای گزارشات مایه‌های ایست کسب موجود در این دفتر، طرح‌های تطبیقی و معرفی پرسنل و بروخت خودکار موکر با صفت گاز نموده است.

شکل ۶-۱: بروشور معرفی دفتر پژوهش شرکت گاز-۱

✓ یک گزاره‌ی سینتیاره‌ی علمی به جهت آشنایی اساسی و دانشجویان را مسئله و مشکلات و افرادی‌های پژوهشی شرکت گاز استان خوزستان

✓ هدایت دانشجویان در جهت که بیان پژوهش کارشناسی، کارشناسی ارشد و دکترا

از پژوهش

دفتر پژوهش شرکت گاز استان خوزستان با تأکید بر دانشجویان تخریجی تراویث‌ها و تکمیل‌هایی‌های جدید در همانیم گاز و موکر و با تعلیمات‌هایی شرکت گاز استان خوزستان و تیز ایجاد یک پست پژوهشی به علاوه‌تانی که مانند در زمینه فرآیندهای تقلیل دفعه ۱ معروف گاز طیینی تعلیمات پژوهشی داشته باشد.

✓ پیگیری و پیالانی تخریجی تراویث‌ها و تکمیل‌هایی جدید در زمینه مهندسی گاز و موکر با فرآیندهای پژوهشی و تعلیمات‌هایی شرکت گاز استان خوزستان

✓ پیگیری و تکمیل‌هایی کلیخانه‌ای و ایتوئی در زمینه تخریجی پلکانه‌ی حمل و پژوهشی در زمینه گاز در داخل و خارج کشور

✓ ارائه مشاوره در زمینه مسائل و مشکلاتی که در سطح شرکت گاز استان خوزستان به این دفتر ارجاع می‌شوند

✓ تهیه یک ملک اطلاعاتی از موسسات تطبیقاتی گاز در داخل و خارج کشور

✓ ارائه گزارش‌های ماهیانه سالانه و انتشار ارتباط با فرآیندهای و تعلیمات‌های شرکت گاز استان خوزستان

تاریخچه

دفتر پژوهش شرکت گاز استان خوزستان پیشتر رسماً از ۱۳۷۵ هجری شمسی تأسیس شد و در دانشگاه مهندسی داشتگاه شهید چمران آغاز شد. این دفتر در ابتدا با یک میراث داشت چشمی، یک نظر و تحقیقی کارشناسی ارشد و یک کارشناسی کارشناسی را اسرع گردید و در حال حاضر با تیمی مشکل از یک دکترا و مهندسی تکمیلی، یک کارشناسی ارشد و مهندسی مکانیکی، یک نظر کارشناسی ارشد و مهندسی مهندسی مکانیکی، یک نظر کارشناسی ارشد و گاز و یک نظر کارشناسی ارشد و تحقیقی تراویثی می‌باشد. این موکر با تکمیل این تعلیمات خود ادامه می‌دهد.

پیشتر داشتگاه با همیعت در خصوص تعلیمات پایه و کاربرویی همیعت ترقیت و تعمیف گاز طیینی تلاشی شده است.

شکل ۶-۲: بروشور معرفی دفتر پژوهش شرکت گاز-۲

در برگه معرفی دفتر، موارد مختلفی از جمله تاریخچه، اهداف و شرح خدمات و سایر مطالب مربوط دفتر پژوهش شرکت گاز استان خوزستان به چشم می‌خورد. ضمناً سعی بر آن شد فعالیت‌های

انجام شده توسط دفتر به شکل بروشورهای دیگری در اختیار بازدید کنندگان قرار گیرد. از طرف دیگر کلیه طرح‌های تحقیقاتی، پایان نامه‌های دانشجویی و گزارشات ماهانه مرتبط با دفتر برای مشاهده علاقمندان در غرفه قرار داده شده‌بود.

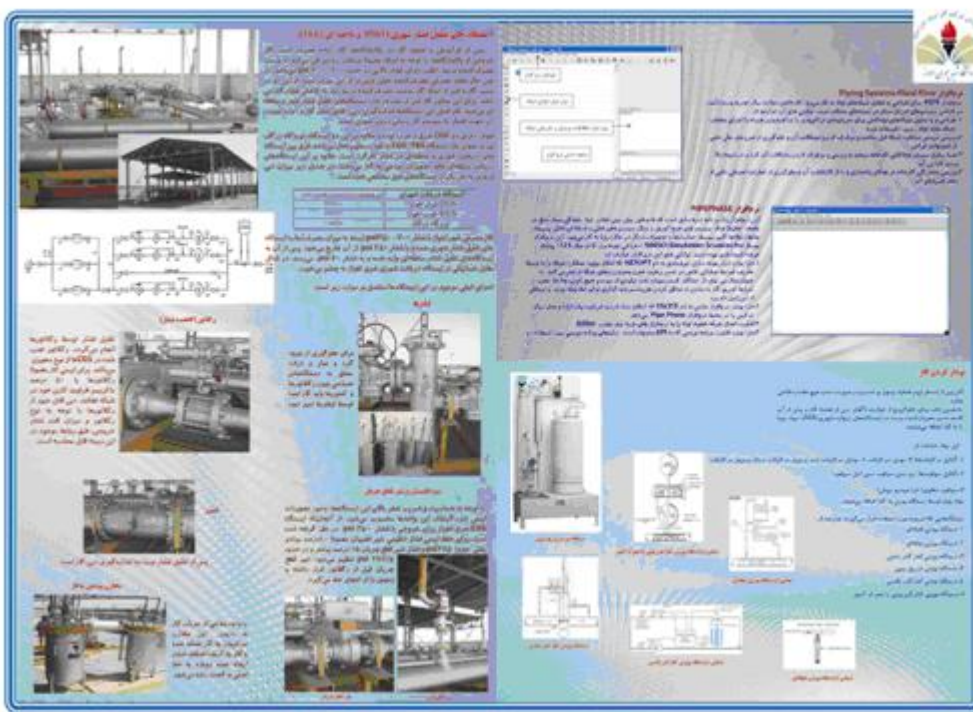
از دیگر کارهای انجام شده، پخش فیلم معرفی دفتر و فیلم‌های در ارتباط با صنایع گاز کشور بود، که پس از راه اندازی غرفه و مراجعه علاقمندان و ابراز علاقه برای همراه داشتن اطلاعاتی در مورد فعالیت‌ها و زمینه‌های کاری دفتر، تصمیم بر آن شد که CD معرفی دفتر و فعالیت‌های آن در اختیار علاقمندان قرار گیرد.

در ادامه معرفی زمینه فعالیت‌های انجام شده توسط دفتر، چندین پوستر در غرفه استفاده شد. در این پوسترهای زمینه‌هایی که مورد مطالعه دفتر پژوهش قرار گرفته‌اند به طور مختصر معرفی شده‌اند. که پوستر شماره ۱ مشتمل بر موارد زیر بود.

- ایستگاه‌های تقلیل فشار شهری (CGS) و ناحیه‌ای (TBS) و اجزای اصلی موجود در این ایستگاه‌ها (فیلترها، رگولاتور(کاهنده فشار)، شیر اطمینان و شیر قطع جریان، کنتور، مخازن بوده‌ی به گاز)

- نرم‌افزارهای مدل‌سازی جریان همچون نرم‌افزار Piping Systems Fluid Flow و نرم‌افزار PIPEPHASE

- بودارکردن گاز و دستگاه‌های بوزنی مختلف (دستگاه بوزنی فتیله‌ای، دستگاه بوزنی چکه‌ای، دستگاه بوزنی کنارگذر جذبی، دستگاه بوزنی تزریق پمپی، دستگاه بوزنی کنارگذر پالسی، دستگاه بوزنی کنارگذر پمپی با محرک کنتور)



شکل ۶-۳: پوستر شماره ۱ معرفی زمینه‌های تحقیقاتی دفتر پژوهش

در ادامه معرفی زمینه فعالیت‌های انجام شده توسط دفتر، پوستر شماره ۲ نیز مشتمل بر موارد زیر بود.

- روش‌های جلوگیری از خوردگی مثل حفاظت گالوانیکی و جریان اعمالی
- توپک، دلایل مختلف و روش‌های متعدد عملیات توپک رانی در خطوط لوله همچون توپک رانی حین عملیات و توپک رانی با توقف عملیات
- معرفی چند نمونه از پرکاربردترین کنتورهای متداول در صنایع گاز مثل کنتورهای دیافراگمی، کنتورهای توربینی، کنتورهای آلسونیک، کنتورهای روزنه‌ای، کنتورهای ورتکس شدینگ



شکل ۶-۴: پوستر شماره ۲ معرفی زمینه‌های تحقیقاتی دفتر پژوهش

همچنین پوسترهای دیگری درباره پروژه سیستم جامع اندازه گیری شرکت گاز استان توسط نرم افزار GIS در معرض عموم قرار گرفت.

ازطرف دیگر در راستای آشنایی علاقهمندان با توزیع شبکه انتقال گاز، نصب چهار نقشه از توزیع خطوط انتقال گاز در غرفه ممکن شد. این نقشه‌ها مشتمل بر موارد زیر بود.

۴. نقشه خطوط انتقال گاز اروپا و خاورمیانه



شکل ۶-۵: نقشه خطوط گاز اروپا و بخشی از خاورمیانه

۵. نقشه خطوط انتقال گاز و نفت ایران

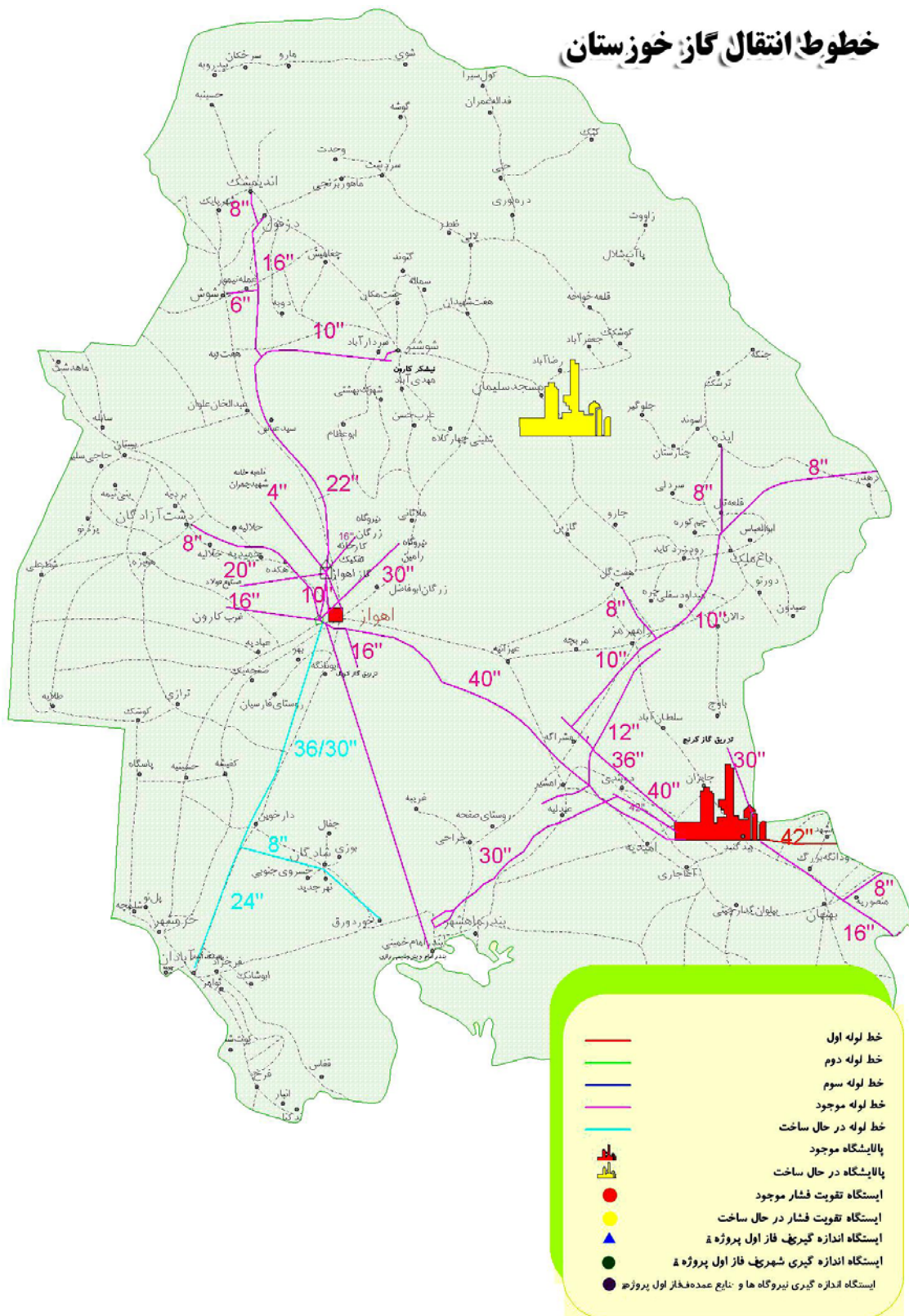


نقشه فوق توسط شرکت منطقه ۱ عملیات انتقال گاز تهیه شده است

شکل ۶-۶: نقشه خطوط انتقال گاز و نفت ایران

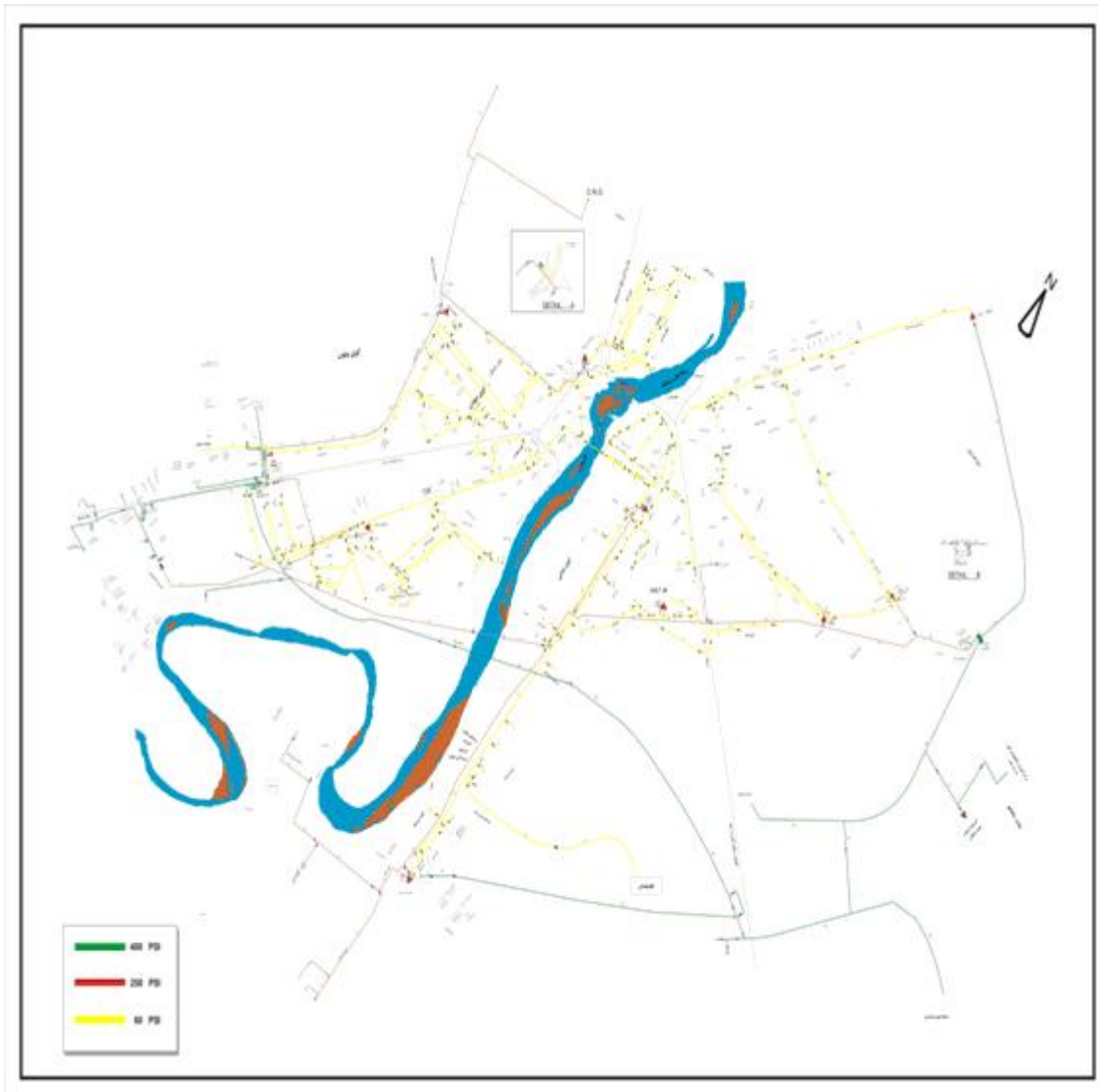
۶. نقشه خطوط انتقال گاز استان خوزستان

خطوط انتقال گاز خوزستان



شکل ۶-۷: نقشه خطوط انتقال گاز استان خوزستان

۷. نقشه شبکه توزیع گاز اهواز



شکل ۶-۸: نقشه شبکه توزیع گاز شهرستان اهواز

نکته دیگر همکاری شرکت پالایش گاز بیدبلند در برگزاری غرفه امسال بود. این شرکت به منظور آشنایی بازدیدکنندگان با در اختیار گرفتن بخشی از غرفه با امکانات مناسبی همچون تهیه بروشور، استند، برگه‌های معرفی پروژه‌های دانشجویی و فیلمی از قطعات مختلف صنایع پالایش گاز به معرفی هر چه بیشتر فعالیت‌های شرکت پالایش گاز بیدبلند پرداخت. نمونه‌ای از عکس‌های گرفته شده از غرفه گاز در پیوست د گردآوری شده است.

۶. سیناریوهای هفته پژوهش

در این قسمت سیناریوهای ارائه شده در هفته پژوهش، ارائه شده است.

به منظور آشنایی هر چه بیشتر علاقهمندان با فعالیت‌های دفتر پژوهش، یک سمینار مرتبط با فعالیت‌های پژوهشی دفتر در هفته پژوهش تحت عنوان وضعیت حال و آینده ایستگاه‌های گاز شهری تهیه و ارائه گردید. اعم مباحث این سمینار شامل معرفی ایستگاه‌های مختلف در امر گازرسانی، وضعیت حال ایستگاه‌ها، وضعیت آتی مورد انتظار ایستگاه‌ها و ارائه راهکارهای سازنده جهت ادامه تدوین استانداردها و طراحی ایستگاه‌ها می‌باشد. اسلایدهای ارائه شده در این سمینار در پیوست رآورده شده‌است.

۳.۶ متابع

[۱] گزارش ماهیانه فعالیت‌های انجام شده در آذرماه ۱۳۸۷، KHCRO MR 1387-08، دفتر پژوهش شرکت گاز استان خوزستان، دی‌ماه ۱۳۸۷

۷ سایر فعالیت‌ها

در کنار انجام برنامه‌های از پیش تعیین شده‌ی دفتر در برنامه‌ریزی سالیانه، بسته به نیاز فعالیت‌های دیگری انجام گرفته که در این فصل بدان‌ها اشاره می‌شود. عمدّه‌ی این فعالیت‌ها عبارت از موارد ذیل می‌باشد.

- مصارف نوین گاز طبیعی
- تکمیل بانک اطلاعاتی پژوهشگران داخلی
- بررسی روش‌های مدل‌سازی عددی سیستم‌های حفاظت کاتدیک (روش مدار معادل)
- بررسی روش‌های عددی جهت اندازه‌گیری دبی جریان در دبی‌سنچ‌ها
- پوشش‌های مقاوم جهت استفاده در محیط‌های آلوده به مشتقات نفتی

۱.۷ مصارف نوین گاز طبیعی

در جهت آشنایی با تکنولوژی‌های روز دنیا در ارتباط با صنعت گاز، از طرف دفتر پژوهش شرکت گاز جستجوهایی در اینترنت انجام گرفته و موضوعاتی انتخاب شده که در ذیل به آن اشاره می‌شود.

۱.۱.۷ بمباران الکترونیکی لوله‌های پلی‌اتیلن ضخیم با قطر (PE-Xe)

فرآیند زنجیره‌سازی پلی‌اتیلن به‌وسیله تشعشع، یک تکنولوژی کاملاً شناخته شده‌است. برای بیشتر از ۲۰ سال لوله‌های PE-Xc در اقطار تا ۴۰ میلیمتر و ضخامت جداره تا ۴ میلیمتر به صورت موفقیت آمیزی در بازار لوله‌های بهداشتی و گرمایشی مورد استفاده قرار گرفته‌است.

به کمک توسعه یک تکنولوژی جدید زنجیره سازی و به مدد تشعشع در پیوند که به وسیله تابش جمعی از الکترون‌های پر انرژی (10Mev) حاصل می‌شود، زنجیره‌های لوله پلی‌اتیلن تا قطر ۴۵۰ میلیمتر و ضخامت جداره ۴۰ میلیمتر و طول ۱۲ متر پدید می‌آید. فرآیند زنجیره‌سازی لوله‌های پلی‌اتیلن ضخیم و با قطر بزرگ به کمک توسعه یک تکنولوژی جدید ممکن شده است. این تکنولوژی با به کارگیری یک لوله انتقال جدید تشعشع در کارخانه مربوط به ساخت این لوله واقع در شهر رادبرگ آلمان، توانست لوله‌های به طول ۱۲ متر را ایجاد کند. تحقیقات انجام شده بر روی این نوع لوله‌ها که با تکنولوژی جدید و این شیوه ساخته شده‌اند، نشان داد که این لوله‌ها با وجود قطر بزرگ‌شان دارای مقاومت بسیار خوبی در برابر رشد ترک هستند.

- لوله‌های PE-Xc یک شبکه مطمئن و ایمن

لوله‌های PE-Xc به وجود آورنده یک شبکه مطمئن هستند. این ادعا به وسیله نتایج حاصل از چند تست کنترل کیفیت، توجیه‌پذیر است. ایجاد شیار و ترک و رشد آنها، در مرحله نصب لوله در زمین‌هایی که خاک برگشتی آنها حاوی سنگ است و زمین دفن لوله صخره‌ای است، به عنوان یک رویداد اجتناب‌ناپذیر است. استفاده از لوله‌های PE-Xc جهت شبکه‌گذاری در این منطقه‌ها، توصیه می‌شود. بسیاری از مراکز شناخته شده تست، برنامه‌های تست مناسبی برای لوله‌های PE-Xc تنظیم نموده‌اند.

- Notch-Test(۱۳۴۷۹ ISO)

در این تست بر روی جداره بیرونی یک لوله به وسیله یک دستگاه مناسب شیار زنی، چهار شیار به فاصله 90° و عمق 20% ضخامت لوله، ایجاد می‌کنند. سپس لوله تحت فشار تست و تنش معین قرار می‌گیرد تا زمانیکه لوله بترکد. زمان شکست اندازه‌گیری می‌شود که بیانگر زمان مقاومت رشد ترک لوله است.

- Test Full Notch Creep(۵۳۴۴۴ FNCT,DIN)

تست FNC در واقع یک تست کششی است که نمونه‌های Notch-Test را بکار می‌گیرد. بر روی نمونه‌های ($110 \times 10 \times 10$ mm)، شیارهای محیطی به عمق $1/6$ میلیمتر ایجاد می‌کنند، سپس قطعه در دمای $80^\circ C$ تحت تنش کششی 4 نیوتون بر میلیمتر مربع قرار می‌گیرد.

- Test 4 Propagation-S Rapid Crack (۱۳۴۷۷ ISO DIS)

فشار داخلی ثابتی به جداره درونی یک لوله به طول معین، وارد می‌شود. سپس بهوسیله یک پرتابه لب تیز به یک انتهای آن ضربه وارد می‌شود. مقاومت در برابر انتشار سریع ترک بهوسیله یک فشار بحرانی که زیر این فشار ترک ایجاد شده، انتشار سریع نیابد، مشخص می‌شود. با توسعه یک تکنولوژی زنجیره سازی بوسیله تابش در اتصالات بكمک شتاب دهنده های پر انرژی تر الکترون (10Mev)، زنجیره سازی لوله‌های پلی اتیلن تا قطر ۴۵۰ میلیمتر و ضخامت ۴۰ میلیمتر و طول ۱۲ متر ممکن می‌شود. در این روش جدید تمام اطراف لوله تحت تابش پیوسته بمباران الکترونی قرار می‌گیرد، که همزمان با جابه‌جائی لوله و چرخش آن هنگام عبور از میدان تابش، خواص زنجیره سازی را تحت الشعاع قرار می‌دهند. لوله‌های PE-Xc در طول فرآیند نصب و در طول بهره برداری، در نتیجه خواصی چون تمایل پائین خزش، مقاومت بالا در برابر فشارهای خارجی، مقاومت بالا در برابر عوامل ایجاد و گسترش شیار و نیز افزایش مقاومت شیمیایی و دمایی، شبکه تضمین شده‌ای را فراهم می‌کنند. قابلیت زنجیره سازی لوله‌های PE تا قطر ۴۵۰ میلیمتر، کاربردهای صنعتی لوله PE-X در ایجاد شبکه‌های آب رسانی و گازرسانی را به نحو چشمگیری افزایش خواهد داد.

۲۰.۷ اتصال به اینترنت از طریق گاز

محققان می‌گویند: می‌توان از شبکه‌های گاز خانگی برای ارسال سیگنال‌های فرآپهن باند استفاده کرد. به گزارش ایننا، تصور این که کاربران اینترنت برای اتصال به شبکه از لوله‌های گاز منزل خود استفاده کنند تا حد زیادی عجیب و شاید خنده‌دار به نظر می‌رسد.

اما محققان یک شرکت در سانتیاگو آمریکا به اسم نترکام سرگرم طراحی روشی برای استفاده از سیگنال‌های بی‌سیم فرآپهن باند جهت انتقال داده‌ها از طریق لوله‌های گاز طبیعی با سرعت پهن باند هستند.

محققان شرکت نترکام ادعا می‌کنند: فناوری جدید این شرکت امکان دسترسی به اینترنت با سرعت ۱۰۰ مگابیت بر ثانیه در خانه‌های کاربران را فراهم می‌کند، چنین سرعتی امکان دریافت فایل‌های صوتی و ویدیویی در زمان خیلی کوتاه را فراهم می‌کند.

البته کارشناسان می‌گویند: هنوز چنین فناوری صرفاً یک ادعا بوده و عملاً به کار گرفته نشده‌است. اما نحوه عمل فناوری پهن باند از طریق لوله‌های گاز چگونه است؟ شرکت نترکام از

انتقال دهنده‌ها و گیرنده‌های رادیویی فراپهن باند برای ارسال سیگنال‌های بی‌سیم از طریق لوله‌ها در هنگام جریان گاز استفاده می‌کند.

فراپهن باند یا UWB یک فناوری ارتباطی در حال توسعه است که داده‌های شبکه‌ای را با سرعت خیلی بالایی ارسال می‌کند، اما در سطح توان بالاتر ممکن است با سیگنال‌های بی‌سیم تداخل کند. اما این مشکل هنگامی که سیگنال‌های فراپهن باند از طریق لوله‌های گاز دفن شده ارسال می‌شود پیش نمی‌آید، در نتیجه می‌توان بدون آن که تداخلی ایجاد شود حجم بالایی از داده را از طریق لوله‌های گاز منتقل کرد. در حالی که بسیاری ایده محققان شرکت نترکام را خنده‌دار می‌دانند این محققان همچنان مصمم هستند که در آینده نه چندان دور طرح خود را عملی کنند. در صورتی که این فناوری عملی شود و اینترنت پرسرعت از طریق لوله‌های گاز به خانه‌های کاربران بیاید، می‌توان متظر تحولات اساسی در بازار دسترسی به پهن باند بود.

۲.۷ تکمیل بانک اطلاعاتی پژوهشگران داخلی

بانک اطلاعاتی تهیه شده شامل اطلاعاتی از قبیل نام، نام خانوادگی، رتبه‌ی علمی، رشته‌ی تحصیلی، دانشگاه محل تدریس، ایمیل، شماره تلفن، فاکس، زمینه‌های تحقیقاتی و پروژه‌های تحقیقاتی است. تاکنون اطلاعات ۲۰۰۶ تن از این پژوهشگران در این بانک موجود می‌باشد، تمامی این اطلاعات با مراجعه به سایت‌های دانشگاه‌های مختلف جمع‌آوری گردیده است و به علت به روز نبودن برخی از این سایت‌ها دستیابی به برخی از این اطلاعات محدود نبوده است. به همین علت برای دستیابی به اطلاعات مذکور در ابتدا مجدداً به سایت مربوطه مراجعه شد و در صورت به روز نبودن سایت، طی ارسال ایمیل به استادی مربوطه از آنها درخواست شد که رزومه‌ای از فعالیت‌های پژوهشی خود را در صورت تمایل به ایمیل دفتر پژوهش شرکت گاز ارسال نمایند. تاکنون به ۸۸ نفر از این پژوهشگران که رزومه‌ی آنها در سایت موجود نبوده است ایمیل ارسال شده است که از میان آنها فقط سه نفر به این ایمیل پاسخ داده‌اند. پیگیری جهت دریافت رزومه همچنان ادامه خواهد یافت. در ادامه اطلاعات موجود در این بانک به‌طور خلاصه و به تفکیک دانشگاه‌ها و دستگاه‌های اجرائی ارائه شده است. نسخه‌ی کامل این بانک همراه با یک لوح فشرده به‌این گذارش ضمیمه شده است.

۱.۲.۷ دانشگاه تهران

اطلاعات مربوط به ۲۲۲ نفر از اعضای هیئت‌علمی دانشگاه تهران در زمینه‌های تخصصی مختلف تاکنون وارد بانک اطلاعاتی شده است. تعداد اعضای هیئت‌علمی رشته‌های مختلف در ذیل آورده شده است:

- ۳۰ نفر مربوط به دانشکده مکانیک
- ۳۸ نفر مربوط به دانشکده عمران
- ۱۴ نفر مربوط به دانشکده صنایع
- ۵۹ نفر مربوط به دانشکده برق و کامپیوتر
- ۱۱ نفر مربوط به دانشکده نقشه برداری
- ۲۲ نفر مربوط به دانشکده متالوژی و مواد
- ۱۵ نفر مربوط به دانشکده معدن
- ۳۳ نفر مربوط به دانشکده مهندسی شیمی

۲.۲.۷ دانشگاه صنعتی شریف

اطلاعات مربوط به ۲۰۶ نفر از اعضای هیئت علمی دانشگاه شریف در زمینه‌های تخصصی مختلف تا کنون وارد بانک اطلاعاتی شده است. تعداد اعضای هیئت علمی رشته‌های مختلف مطابق زیر می‌باشد:

- ۳۲ نفر مربوط به دانشکده مکانیک
- ۳۶ نفر مربوط به دانشکده عمران
- ۱۶ نفر مربوط به دانشکده هوا فضا
- ۳۱ نفر مربوط به دانشکده مهندسی شیمی
- ۵۴ نفر مربوط به دانشکده برق
- ۲۱ نفر مربوط به دانشکده کامپیوتر
- ۱۶ نفر مربوط به دانشکده صنایع

۳.۲.۷ دانشگاه تربیت مدرس

اطلاعات مربوط به ۹۹ نفر از اعضای هیئت علمی دانشگاه تربیت مدرس در زمینه‌های تخصصی مختلف تاکنون وارد بانک اطلاعاتی شده است. تعداد اعضای هیئت علمی رشته‌های مختلف مطابق زیر می‌باشد:

- ۱۷ نفر مربوط به دانشکده مکانیک
- ۱۷ نفر مربوط به دانشکده مهندسی شیمی
- ۲۱ نفر مربوط به دانشکده عمران
- ۲۳ نفر مربوط به دانشکده برق و کامپیوتر
- ۱۱ نفر مربوط به دانشکده مواد
- ۶ نفر مربوط به دانشکده معدن

- ۴ نفر نفر مربوط به دانشکده صنایع

٤.٢.٧ دانشگاه اراک

اطلاعات مربوط به ۲۲ نفر از اعضای هیئت علمی دانشگاه اراک در زمینه‌های تخصصی مختلف تاکنون وارد بانک اطلاعاتی شده است. تعداد اعضای هیئت علمی رشته‌های مختلف مطابق زیر می‌باشد:

- ۵ نفر مربوط به گروه مهندسی شیمی
- ۴ نفر مربوط به گروه مهندسی عمران
- ۷ نفر مربوط به گروه مهندسی مکانیک
- ۲ مربوط به گروه مهندسی برق
- ۱ نفر مربوط به گروه مهندسی صنایع
- ۲ نفر مربوط به گروه معدن و زمین‌شناسی

٥.٢.٧ دانشگاه ارومیه

اطلاعات مربوط به ۳۱ نفر از اعضای هیئت علمی دانشگاه ارومیه در زمینه‌های تخصصی مختلف تاکنون وارد بانک اطلاعاتی شده است. تعداد اعضای هیئت علمی رشته‌های مختلف مطابق زیر می‌باشد:

- ۹ نفر مربوط به گروه مهندسی برق
- ۸ نفر مربوط به گروه مهندسی عمران
- ۸ نفر مربوط به گروه مهندسی مکانیک
- ۲ نفر مربوط به گروه مهندسی کامپیوتر
- ۴ نفر مربوط به گروه مهندسی معدن

٦.٢.٧ دانشگاه اصفهان

اطلاعات مربوط به ۳۷ نفر از اعضای هیئت علمی دانشگاه اصفهان در زمینه‌های تخصصی مختلف تاکنون وارد بانک اطلاعاتی شده است. تعداد اعضای هیئت علمی رشته‌های مختلف مطابق زیر می‌باشد:

- ۵ نفر مربوط به گروه مهندسی عمران
- ۱۳ نفر مربوط به گروه مهندسی کامپیوتر
- ۸ نفر مربوط به گروه مهندسی شیمی

- ۴ نفر مربوط به گروه مهندسی پزشکی
- ۶ نفر مربوط به گروه مهندسی برق

۷.۲.۷ دانشگاه امیرکبیر

اطلاعات مربوط به ۱۷۱ نفر از اعضای هیئت علمی دانشگاه امیرکبیر در زمینه‌های تخصصی مختلف تاکنون وارد بانک اطلاعاتی شده است. تعداد اعضای هیئت علمی رشته‌های مختلف در ذیل آورده شده است:

- ۱۷ نفر مربوط به دانشکده مهندسی معدن
- ۱۱ نفر مربوط به دانشکده مهندسی متالورژی
- ۳۸ نفر مربوط به دانشکده مهندسی مکانیک
- ۲۶ نفر مربوط به دانشکده مهندسی کامپیوتر
- ۱۹ نفر مربوط به دانشکده مهندسی شیمی
- ۴۰ نفر مربوط به دانشکده مهندسی برق
- ۵ نفر مربوط به دانشکده مهندسی صنایع
- ۱۵ نفر مربوط به دانشکده مهندسی هوافضا

۸.۲.۷ دانشگاه ایلام

اطلاعات مربوط به ۴ نفر از اعضای هیئت علمی دانشگاه ایلام در زمینه‌های تخصصی مختلف تاکنون وارد بانک اطلاعاتی شده است.

۹.۲.۷ دانشگاه بابل

اطلاعات مربوط به ۲ نفر از اعضای هیئت علمی دانشگاه بابل در زمینه‌های تخصصی مختلف تاکنون وارد بانک اطلاعاتی شده است.

۱۰.۲.۷ دانشگاه بوعلی سینا

اطلاعات مربوط به ۳۱ نفر از اعضای هیئت علمی دانشگاه بوعلی سینا در زمینه‌های تخصصی مختلف تاکنون وارد بانک اطلاعاتی شده است. تعداد اعضای هیئت علمی رشته‌های مختلف در ذیل آورده شده است:

- ۱۰ نفر مربوط به گروه مهندسی مکانیک
- ۶ نفر مربوط به گروه مهندسی صنایع

- ۳ نفر مربوط به گروه مهندسی برق
- ۴ نفر مربوط به گروه مهندسی کامپیوتر
- ۸ نفر مربوط به گروه مهندسی عمران

۱۱.۲.۷ دانشگاه تبریز

اطلاعات مربوط به ۸۲ نفر از اعضای هیئت علمی دانشگاه تبریز در زمینه‌های تخصصی مختلف تاکنون وارد بانک اطلاعاتی شده است. تعداد اعضای هیئت علمی رشته‌های مختلف در ذیل آورده شده است:

- ۱۸ نفر مربوط به گروه مهندسی مکانیک
- ۲۹ نفر مربوط به گروه مهندسی عمران
- ۲۲ نفر مربوط به گروه مهندسی برق
- ۳ نفر مربوط به گروه مهندسی فناوری اطلاعات
- ۵ نفر مربوط به گروه مهندسی ساخت و تولید
- ۳ نفر مربوط به گروه مهندسی مواد
- ۲ نفر مربوط به گروه مهندسی شیمی

۱۲.۲.۷ دانشگاه تربیت معلم

اطلاعات مربوط به ۷ نفر از اعضای هیئت علمی دانشگاه تربیت معلم در زمینه‌های تخصصی مختلف تاکنون وارد بانک اطلاعاتی شده است.

۱۳.۲.۷ دانشکده نفت تهران

اطلاعات مربوط به ۷ نفر از اعضای هیئت علمی دانشکده نفت تهران در زمینه‌های تخصصی مختلف تاکنون وارد بانک اطلاعاتی شده است.

۱۴.۲.۷ دانشگاه رازی کرمانشاه

اطلاعات مربوط به ۳۹ نفر از اعضای هیئت علمی دانشگاه رازی کرمانشاه در زمینه‌های تخصصی مختلف تاکنون وارد بانک اطلاعاتی شده است. تعداد اعضای هیئت علمی رشته‌های مختلف در ذیل آورده شده است:

- ۱۰ نفر مربوط به گروه مهندسی شیمی
- ۵ نفر مربوط به گروه مهندسی برق

- ۶ نفر مربوط به گروه مهندسی کامپیوتر
- ۴ نفر مربوط به گروه مهندسی عمران
- ۱۴ نفر مربوط به گروه مهندسی مکانیک

۱۵.۲.۷ دانشگاه زنجان

اطلاعات مربوط به ۳۴ نفر از اعضای هیئت علمی دانشگاه زنجان در زمینه‌های تخصصی مختلف تاکنون وارد بانک اطلاعاتی شده است. تعداد اعضای هیئت علمی رشته‌های مختلف در ذیل آورده شده است:

- ۱۰ نفر مربوط به گروه مهندسی عمران
- ۱۰ نفر مربوط به گروه مهندسی برق
- ۶ نفر مربوط به گروه مهندسی مکانیک
- ۲ نفر مربوط به گروه مهندسی کامپیوتر
- ۲ نفر مربوط به گروه مهندسی نقشه‌برداری
- ۴ نفر مربوط به گروه مهندسی معماری

۱۶.۲.۷ دانشگاه سیستان و بلوچستان

اطلاعات مربوط به ۲۷ نفر از اعضای هیئت علمی دانشگاه سیستان و بلوچستان در زمینه‌های تخصصی مختلف تاکنون وارد بانک اطلاعاتی شده است. تعداد اعضای هیئت علمی رشته‌های مختلف در ذیل آورده شده است:

- ۵ نفر مربوط به گروه مهندسی مکانیک
- ۶ نفر مربوط به گروه مهندسی عمران
- ۹ نفر مربوط به گروه مهندسی شیمی
- ۲ نفر مربوط به گروه مهندسی مواد
- ۵ نفر مربوط به گروه مهندسی برق

۱۷.۲.۷ دانشگاه شاهد

اطلاعات مربوط به ۱۰ نفر از اعضای هیئت علمی دانشگاه شاهد در زمینه‌های تخصصی مختلف تاکنون وارد بانک اطلاعاتی شده است.

۱۸.۲.۷ دانشگاه شهرکرد

اطلاعات مربوط به ۱۵ نفر از اعضای هیئت علمی دانشگاه شهرکرد در زمینه‌های تخصصی مختلف تاکنون وارد بانک اطلاعاتی شده است. تعداد اعضای هیئت علمی رشته‌های مختلف در ذیل آورده شده است:

- ۸ نفر مربوط به گروه مهندسی مکانیک
- ۶ نفر مربوط به گروه مهندسی برق
- ۱ نفر مربوط به گروه مهندسی مواد

۱۹.۲.۷ دانشگاه شهید باهنر کرمان

اطلاعات مربوط به ۴۹ نفر از اعضای هیئت علمی دانشگاه شهید باهنر کرمان در زمینه‌های تخصصی مختلف تاکنون وارد بانک اطلاعاتی شده است. تعداد اعضای هیئت علمی رشته‌های مختلف در ذیل آورده شده است:

- ۹ نفر مربوط به گروه مهندسی مکانیک
- ۱۵ نفر مربوط به گروه مهندسی معدن
- ۱۳ نفر مربوط به گروه مهندسی عمران
- ۷ نفر مربوط به گروه مهندسی شیمی
- ۲ نفر مربوط به گروه مهندسی برق
- ۳ نفر مربوط به گروه مهندسی صنایع

۲۰.۲.۷ دانشگاه شهید بهشتی

اطلاعات مربوط به ۲۶ نفر از اعضای هیئت علمی دانشگاه شهید بهشتی در زمینه‌های تخصصی مختلف تاکنون وارد بانک اطلاعاتی شده است. تعداد اعضای هیئت علمی رشته‌های مختلف در ذیل آورده شده است:

- ۱۳ نفر مربوط به گروه مهندسی کامپیوتر
- ۱۲ نفر مربوط به گروه مهندسی برق

۲۱.۲.۷ دانشگاه شهید چمران

اطلاعات مربوط به ۲۷ نفر از اعضای هیئت علمی دانشگاه شهید چمران در زمینه‌های تخصصی مختلف تاکنون وارد بانک اطلاعاتی شده است. تعداد اعضای هیئت علمی رشته‌های مختلف در ذیل آورده شده است:

- ۸ نفر مربوط به گروه مهندسی مکانیک
- ۹ نفر مربوط به گروه مهندسی برق
- ۶ نفر مربوط به گروه مهندسی عمران
- ۲ نفر مربوط به گروه مهندسی متالورژی
- ۲ نفر مربوط به گروه مهندسی کامپیوتر

۲۲.۲.۷ دانشگاه شیراز

اطلاعات مربوط به ۹۲ نفر از اعضای هیئت علمی دانشگاه شیراز در زمینه‌های تخصصی مختلف تاکنون وارد بانک اطلاعاتی شده است. تعداد اعضای هیئت علمی رشته‌های مختلف در ذیل آورده شده است:

- ۱۷ نفر مربوط به گروه مهندسی مکانیک
- ۲۰ نفر مربوط به گروه مهندسی برق
- ۱۴ نفر مربوط به گروه مهندسی راه و ساختمان
- ۱۳ نفر مربوط به گروه مهندسی شیمی
- ۱۴ نفر مربوط به گروه مهندسی مواد
- ۱۰ نفر مربوط به گروه مهندسی کامپیوتر
- ۴ نفر مربوط به گروه مهندسی هسته‌ای

۲۳.۲.۷ دانشگاه صنعتی اصفهان

اطلاعات مربوط به ۱۲۶ نفر از اعضای هیئت علمی دانشگاه صنعتی اصفهان در زمینه‌های تخصصی مختلف تاکنون وارد بانک اطلاعاتی شده است. تعداد اعضای هیئت علمی رشته‌های مختلف در ذیل آورده شده است:

- ۳۱ نفر مربوط به گروه مهندسی برق
- ۱۰ نفر مربوط به گروه مهندسی کامپیوتر
- ۱۷ نفر مربوط به گروه مهندسی شیمی

- ۱۲ نفر مربوط به گروه مهندسی صنایع
- ۱۹ نفر مربوط به گروه مهندسی عمران
- ۲۴ نفر مربوط به گروه مهندسی مواد
- ۱۳ نفر مربوط به گروه مهندسی نساجی

۲۴.۲.۷ دانشگاه صنعتی سهند تبریز

اطلاعات مربوط به ۳۷ نفر از اعضای هیئت علمی دانشگاه صنعتی سهند تبریز در زمینه‌های تخصصی مختلف تاکنون وارد بانک اطلاعاتی شده‌است. تعداد اعضای هیئت علمی رشته‌های مختلف در ذیل آورده شده‌است:

- ۱۰ نفر مربوط به گروه مهندسی برق
- ۱ نفر مربوط به گروه مهندسی کامپیوتر
- ۴ نفر مربوط به گروه مهندسی پلیمر
- ۵ نفر مربوط به گروه مهندسی شیمی
- ۴ نفر مربوط به گروه مهندسی مواد
- ۳ نفر مربوط به گروه مهندسی معدن
- ۴ نفر مربوط به گروه مهندسی عمران
- ۵ نفر مربوط به گروه مهندسی مکانیک

۲۵.۲.۷ دانشگاه صنعتی شیراز

اطلاعات مربوط به ۲۲ نفر از اعضای هیئت علمی دانشگاه صنعتی شیراز در زمینه‌های تخصصی مختلف تاکنون وارد بانک اطلاعاتی شده‌است. تعداد اعضای هیئت علمی رشته‌های مختلف در ذیل آورده شده‌است:

- ۱۲ نفر مربوط به گروه مهندسی برق
- ۳ نفر مربوط به گروه مهندسی شیمی
- ۳ نفر مربوط به گروه مهندسی کامپیوتر
- ۳ نفر مربوط به گروه مهندسی مکانیک
- ۱ نفر مربوط به گروه مهندسی عمران

۲۶.۲.۷ دانشگاه علم و صنعت

اطلاعات مربوط به ۲۳۰ نفر از اعضای هیئت علمی دانشگاه علم و صنعت در زمینه‌های تخصصی مختلف تاکنون وارد بانک اطلاعاتی شده است. تعداد اعضای هیئت علمی رشته‌های مختلف در ذیل آورده شده است:

- ۴۶ نفر مربوط به گروه مهندسی برق
- ۳۳ نفر مربوط به گروه مهندسی مکانیک
- ۲۱ نفر مربوط به گروه مهندسی صنایع
- ۱۲ نفر مربوط به گروه مهندسی شیمی
- ۳۴ نفر مربوط به گروه مهندسی مواد
- ۱۳ نفر مربوط به گروه مهندسی کامپیوتر
- ۱۹ نفر مربوط به گروه مهندسی راه آهن
- ۳۳ نفر مربوط به گروه مهندسی عمران

۲۷.۲.۷ دانشگاه فردوسی مشهد

اطلاعات مربوط به ۱۳۵ نفر از اعضای هیئت علمی دانشگاه فردوسی مشهد در زمینه‌های تخصصی مختلف تاکنون وارد بانک اطلاعاتی شده است. تعداد اعضای هیئت علمی رشته‌های مختلف در ذیل آورده شده است:

- ۱۴ نفر مربوط به گروه مهندسی مواد
- ۳۱ نفر مربوط به گروه مهندسی مکانیک
- ۳۵ نفر مربوط به گروه مهندسی برق
- ۱۴ نفر مربوط به گروه مهندسی شیمی
- ۲۶ نفر مربوط به گروه مهندسی عمران
- ۱۴ نفر مربوط به گروه مهندسی کامپیوتر
- ۱ نفر مربوط به گروه مهندسی صنایع

۲۸.۲.۷ دانشگاه کاشان

اطلاعات مربوط به ۲۲ نفر از اعضای هیئت علمی دانشگاه کاشان در زمینه‌های تخصصی مختلف تاکنون وارد بانک اطلاعاتی شده است. تعداد اعضای هیئت علمی رشته‌های مختلف در ذیل آورده شده است:

- ۸ نفر مربوط به گروه مهندسی مکانیک
- ۳ نفر مربوط به گروه مهندسی برق
- ۴ نفر مربوط به گروه مهندسی شیمی
- ۲ نفر مربوط به گروه مهندسی معدن
- ۵ نفر مربوط به گروه مهندسی کامپیوتر

۲۹.۲.۷ دانشگاه کردستان

اطلاعات مربوط به ۱۰ نفر از اعضای هیئت علمی دانشگاه کردستان در زمینه‌های تخصصی مختلف تاکنون وارد بانک اطلاعاتی شده است.

۳۰.۲.۷ دانشگاه گیلان

اطلاعات مربوط به ۴۱ نفر از اعضای هیئت علمی دانشگاه گیلان در زمینه‌های تخصصی مختلف تاکنون وارد بانک اطلاعاتی شده است. تعداد اعضای هیئت علمی رشته‌های مختلف در ذیل آورده شده است:

- ۸ نفر مربوط به گروه مهندسی برق
- ۲ نفر مربوط به گروه مهندسی کامپیوتر
- ۶ نفر مربوط به گروه مهندسی عمران
- ۲ نفر مربوط به گروه مهندسی شیمی
- ۶ نفر مربوط به گروه مهندسی مکانیک
- ۶ نفر مربوط به گروه مهندسی نساجی

۳۱.۲.۷ دانشگاه لرستان

اطلاعات مربوط به ۴ نفر از اعضای هیئت علمی دانشگاه کردستان در زمینه‌های تخصصی مختلف تاکنون وارد بانک اطلاعاتی شده است. تعداد اعضای هیئت علمی رشته‌های مختلف در ذیل آورده شده است:

- ۲ نفر مربوط به گروه مهندسی الکترونیک
- ۱ نفر مربوط به گروه مهندسی معدن
- ۱ نفر مربوط به گروه مهندسی عمران

۳۲.۷ دانشگاه خواجه نصیر طوسی

اطلاعات مربوط به ۱۴۹ نفر از اعضای هیئت علمی دانشگاه خواجه نصیر طوسی در زمینه‌های تخصصی مختلف تاکنون وارد بانک اطلاعاتی شده است. تعداد اعضای هیئت علمی رشته‌های مختلف در ذیل آورده شده است:

- ۱۴ نفر مربوط به گروه مهندسی مکانیک
- ۲۵ نفر مربوط به گروه مهندسی عمران
- ۱۰ نفر مربوط به دانشکده هوا فضا
- ۱۱ نفر مربوط به گروه مهندسی صنایع
- ۲۱ نفر مربوط به گروه مهندسی نقشه‌برداری
- ۱۴ نفر مربوط به گروه مهندسی برق

۳۳.۷ دانشکده نفت اهواز

اطلاعات مربوط به ۱۳ نفر از اعضای هیئت علمی دانشکده نفت اهواز در زمینه‌های تخصصی مختلف تاکنون وارد بانک اطلاعاتی شده است. تعداد اعضای هیئت علمی رشته‌های مختلف در ذیل آورده شده است:

- ۸ نفر مربوط به گروه مهندسی شیمی
- ۱ نفر مربوط به گروه مهندسی برق
- ۴ نفر مربوط به گروه مهندسی نفت

۳۴.۷ دانشکده نفت آبادان

اطلاعات مربوط به ۷ نفر از اعضای هیئت علمی دانشکده نفت آبادان در زمینه‌های تخصصی مختلف تاکنون وارد بانک اطلاعاتی شده است. تعداد اعضای هیئت علمی رشته‌های مختلف در ذیل آورده شده است:

- ۲ نفر مربوط به گروه مهندسی شیمی
- ۴ نفر مربوط به گروه مهندسی مکانیک

۳۵.۷ دانشگاه یزد

اطلاعات مربوط به ۴۴ نفر از اعضای هیئت علمی دانشگاه یزد در زمینه‌های تخصصی مختلف تاکنون وارد بانک اطلاعاتی شده است. تعداد اعضای هیئت علمی رشته‌های مختلف در ذیل آورده شده است:

- ۷ نفر مربوط به گروه مهندسی عمران
- ۵ نفر مربوط به گروه مهندسی کامپیوتر
- ۶ نفر مربوط به گروه مهندسی برق
- ۳ نفر مربوط به گروه مهندسی مواد
- ۱۱ نفر مربوط به گروه مهندسی مکانیک
- ۵ نفر مربوط به گروه مهندسی معدن
- ۶ نفر مربوط به گروه مهندسی نساجی
- ۱ نفر مربوط به گروه مهندسی صنایع

۳.۷ بررسی روش‌های مدل‌سازی عددی سیستم‌های حفاظت کاتدیک (روش مدار معادل)

بررسی روش‌های مدل‌سازی و طراحی سیستم‌های حفاظت کاتدیک یکی از سرفصل‌های اصلی دفتر پژوهش شرکت گاز می‌باشد. در این راستا نیز تاکنون اقدامات گستردگی انجام گرفته که ماحصل آن چندین مقاله‌ی علمی ارائه شده در کنفرانس‌های بین‌المللی داخلی می‌باشد. یکی از مطرح‌ترین روش‌ها در مدل‌سازی عددی سیستم‌های حفاظت کاتدیک روش المان‌مرزی می‌باشد. عمدتی فعالیت‌های انجام شده در دفتر نیز با تکیه بر این روش به تحلیل و بررسی سیستم‌های حفاظت کاتدیک پرداخته است. نحوه‌ی مدل‌سازی، فرضیات و پارامترهای مهم در مدل‌سازی به تفصیل در گزارش‌های سال ۱۳۸۶ ارائه شده است. در این بخش هدف بررسی روشی دیگر در مدل‌سازی سیستم‌های حفاظت کاتدیک بوده که مبنی بر استفاده از مدارهای معادل می‌باشد. بدین منظور برای درک بهتر تفاوت دو روش مذکور ابتدا روش المان‌مرزی مختصر معرفی شده و در نهایت روش مدارهای معادل تشریح خواهد شد.

۱.۳.۷ مروری بر روش المان‌مرزی در مدل‌سازی CP

با توجه به مطالعات انجام گرفته در باب ماهیت الکتروشیمی پدیده‌ی خوردگی الکتروشیمیایی، معادله‌ی حاکم بر این پدیده همان معادله‌ی لاپلاس مطابق با رابطه‌ی زیر می‌باشد.

$$\nabla^r \phi = 0 \quad (1-7)$$

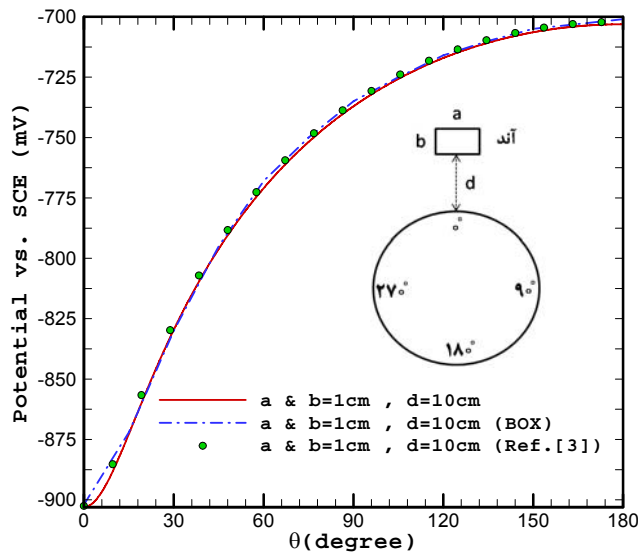
معادله فوق معادله‌ی حاکم بر میدان محاسباتی است که شامل محیط الکتروولیتی است که آند و کاتد در آن غوطه‌ورند. ϕ نیز برابر با پتانسیل درون این ناحیه است. مرزهای این محیط همان سطح

آن و کاتد است. هر معادله‌ی دیفرانسیل به منظور داشتن جواب‌های یکتا نیازمند تعریف شرایط مرزی مناسب می‌باشد. از اینرو همانگونه که اشاره شد مرزهای ناحیه محاسباتی سطح آند و کاتد می‌باشد که می‌بایست مقادیر جریان، پتانسیل و یا رابطه‌ی بین این دو در این مرزها مشخص باشد. با مشخص شدن شرایط مرزی مسئله قابل حل بوده و می‌توان پتانسیل و جریان را در هر نقطه از ناحیه محاسباتی تعیین نمود. از آنجا که در سیستم‌های حفاظت کاتدیک مقدار پتانسیل در خاک چندان اهمیتی نداشته و دانستن پتانسیل و جریان روی مرزها (آند و کاتد) برای تجزیه و تحلیل کفایت می‌کند، از اینرو یافتن روشی که بدون نیاز به حل کامل مسئله بتواند مقادیر مرزی را مشخص نماید بیش از پیش احساس می‌گردد. در این مرحله با توجه به توانایی روش المان مرزی در حل مسائل بدون نیاز به تولید شبکه در کل میدان و تنها با استفاده از نقاط مرزی، این روش به عنوان کاندید اصلی در مدل‌سازی عددی سیستم‌های حفاظت کاتدیک مطرح می‌شود.

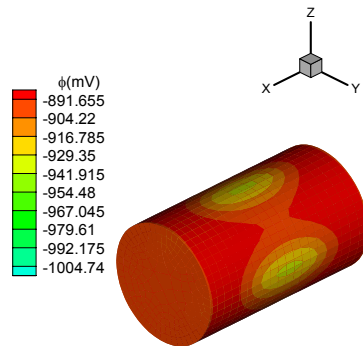
با انتخاب روش المان مرزی و با تعریف شرایط مرزی مسئله قابل حل می‌باشد. پیچیده‌ترین حالت در تعریف شرایط مرزی استفاده از رابطه‌ی غیر خطی بین جریان و پتانسیل روی مرزهاست که از روی منحنی پلاریزاسیون خوردگی فلز آند و کاتد بدست می‌آید. نمونه‌ای از این شرط مرزی برای فولاد کم‌کربن (کاتد) در الکترولیت خاک به شکل زیر بوده که در آن i بر حسب $\mu A/cm^2$ و ϕ بر حسب mV تعریف می‌شود.

$$i = e^{(\phi + 522)/25623} - \left(1 + e^{(\phi + 172)/26492} \right)^{-1} - e^{-(\phi + 942)/57328} \quad (2-7)$$

روی آند نیز می‌توان از رابطه‌ی غیرخطی منحنی پلاریزاسیون استفاده نمود و یا از شرط پتانسیل ثابت (در روش آند فداشونده) یا شرط جریان ثابت (در روش جریان اعمالی) استفاده نمود. دو نمونه از تحلیل‌های انجام گرفته به کمک روش المان مرزی در حالات دوبعدی و سه‌بعدی در شکل ۱-۷ و شکل ۲-۷ ارائه شده‌است.



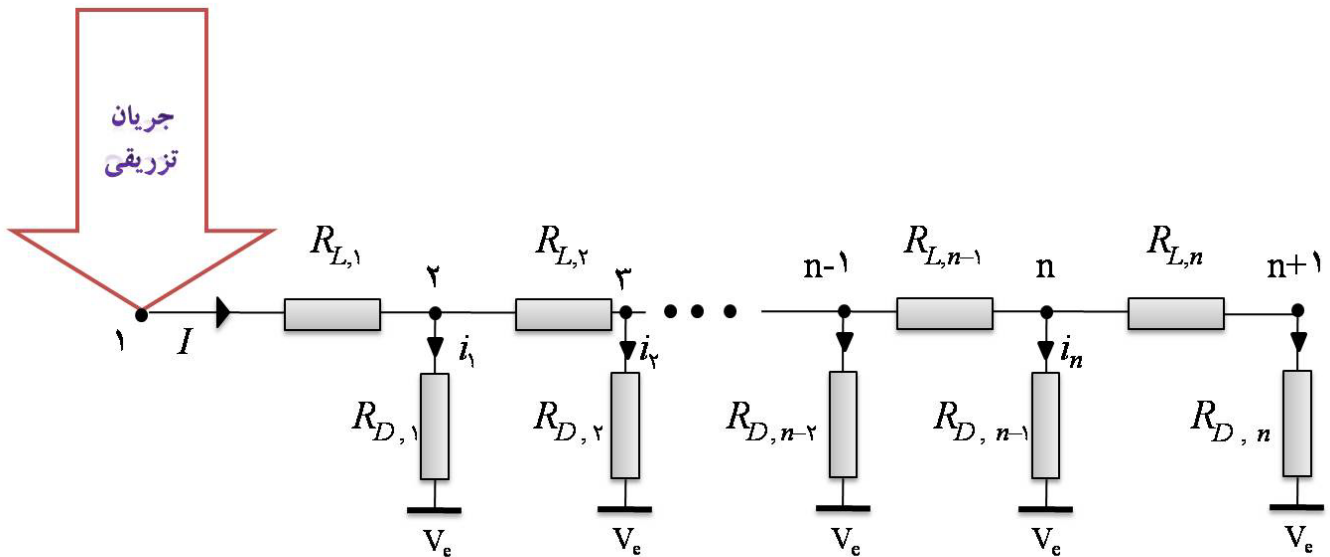
شکل ۱-۷: نمونه مدل‌سازی عددی حفاظت کاتدیک به صورت دو بعدی



شکل ۲-۷: نمونه مدل‌سازی عددی حفاظت کاتدیک به صورت سه بعدی

۴.۳.۷ روش مدار معادل در مدل‌سازی CP

یکی دیگر از روش‌های مدل‌سازی سیستم‌های حفاظت کاتدیک استفاده از روش مدار معادل می‌باشد. در این روش لوله به عنوان یک هادی جریان می‌باشد که در مقاطع مختلف جریان از آن خارج می‌شود. طول لوله به چندین قسمت دلخواه (L_i) تقسیم می‌شود. این قسمت‌ها به صورت مقاومت‌های سری در طول لوله کنار یکدیگر قرار می‌گیرند. بین هر قسمت از لوله شارژ خروجی جریان وجود دارد که ناشی از عدم وجود روکش، خرابی آن و یا عدم مقاومت کافی آن در خروج جریان می‌باشد. مقاومت‌های موجود بر سر این جریان مشتمل بر مقاومت روکش، مقاومت پلاریزاسیون و مقاومت خاک می‌باشد. شماتیک نحوه پیاده‌سازی مقاومت‌ها در شکل ۳-۷ ارائه شده است.



الکتروولیت

شکل ۷-۳: نحوه‌ی پیاده‌سازی مقاومت‌ها در طول لوله و در اتصال آن به الکتروولیت در شکل فوق $R_{L,i}$ برابر با مقاومت طولی در هر بخش و $R_{D,i}$ برابر با مقاومت در برابر خروج جریان از لوله می‌باشد. طبق قانون اهم، رابطه‌ی افت ولتاژ بین نقطه‌ی ۱ و الکتروولیت را به‌شکل زیر می‌توان نوشت.

$$V_1 - IR_{L,1} - i_1 R_{D,1} = V_e \quad (3-7)$$

این رابطه را به‌شکل دیگری چون رابطه‌ی زیر نیز می‌توان بدست آورد.

$$V_1 - IR_{L,1} - (I - i_1) R_{L,2} - i_2 R_{D,2} = V_e \quad (4-7)$$

شکل کلی رابطه فوق به‌شکل زیر حاصل می‌گردد.

$$V_1 - V_e = I \sum_{j=1}^m R_{L,j} - \sum_{j=1}^{m-1} i_j \sum_{k=j+1}^m R_{L,k} + i_m R_{D,m} \quad (5-7)$$

با توجه به روابط فوق می‌توان معادله زیر را نتیجه گرفت.

$$IR_{L,1} + i_1 R_{D,1} = IR_{L,1} + (I - i_1) R_{L,2} + i_2 R_{D,2} = I \sum_{j=1}^m R_{L,j} - \sum_{j=1}^{m-1} i_j \sum_{k=j+1}^m R_{L,k} + i_m R_{D,m} = V_1 - V_e \quad (6-7)$$

با فرض اطلاع از میزان جریان تزریق شده به خط (I معلوم) و اطلاع از میزان مقاومت‌ها، مجهولات مسئله برابر با n مجهول i و مقدار مجهول $V_1 - V_e$ می‌باشد. در کل $n+1$ مجهول

می‌باشد. رابطه (۶-۷) معادله برای n گره نتیجه می‌دهد. معادله $n+1$ نیز به کمک قانون بقای جریان (۷-۷) بدست می‌آید.

$$I = \sum_{j=1}^n i_j \quad (7-7)$$

با معلوم بودن جریان ورودی و مقدار مقاومت‌ها معادلات فوق حل شده و مقدار جریان خروجی در هر مسیر مشخص می‌شود. همانگونه که اشاره شد مقاومت‌های مدار معادل را می‌توان به دو دسته تقسیم نمود [۱].

۱. مقاومت در برابر عبور جریان در راستای طول لوله ($R_{L,i}$)

۲. مقاومت در برابر خروج جریان از محیط لوله $R_{D,i}$

مقاومت‌های طولی را به کمک رابطه‌ی ذیر می‌توان محاسبه نمود.

$$R_{L,i} = \frac{\rho_i L_i}{S_i} \quad (8-7)$$

در رابطه فوق L_i برابر با طول هر بخش از لوله (در اختیار کاربر)، ρ_i برابر با مقاومت ویژه لوله و S_i برابر با سطح مقطع عرضی ضخامت لوله می‌باشد. مقاومت نوع دیگر (مقاومت خروج جریان) خود از ترکیب سه مقاومت خاک همراه با مقاومت پوشش و مقاومت پلاریزاسیون ناشی می‌شود. مقاومت خاک طبق رابطه‌ی زیر تعیین می‌شود [۱].

$$R_{soil,i} = \frac{\rho_{soil}}{2\pi L_i} \ln \frac{L_i^2}{hd} \quad (9-7)$$

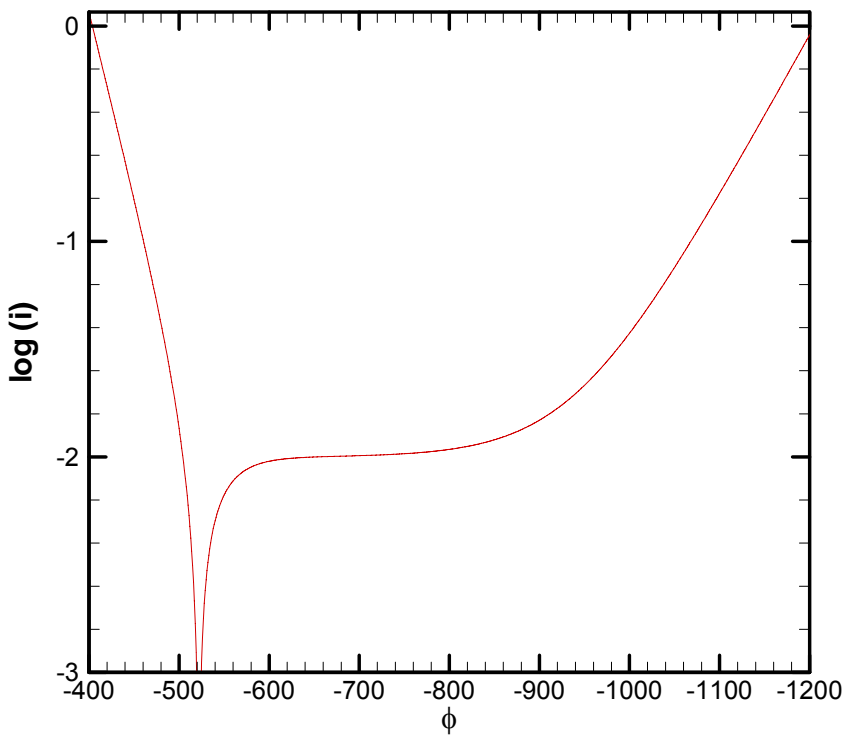
در رابطه فوق L_i برابر با طول هر بخش از لوله (در اختیار کاربر)، ρ_{soil} برابر با مقاومت ویژه خاک، d قطر لوله و h عمق قرارگیری لوله می‌باشد. مقاومت پوشش نیز به کمک رابطه‌ی (۱۰-۷) تعیین می‌شود [۱].

$$R_{por,i} = \frac{R_{ins,i}}{S_{out,i}} \quad (10-7)$$

$R_{ins,i}$ برابر با مقاومت پوشش بوده و $S_{out,i}$ برابر با سطح خارجی لوله می‌باشد. مقاومت پلاریزاسیون نیز به شکل زیر بدست می‌آید [۱].

$$R_{pol,i} = \left(\frac{\partial E}{\partial i} \right)_i / S_{ins,i} \quad (11-7)$$

برای محاسبه می‌بایست از رابطه‌ی (۲-۷) استفاده نمود. با توجه به رابطه‌ی مذکور مشاهده می‌شود که رابطه‌ی غیر خطی بین جریان و پتانسیل وجود دارد از این‌رو نمی‌توان مقاومت پلاریزاسیون را به طور مستقل بدست آورد. برای رفع این مشکل و ایجاد سهولت در حل می‌توان تنها شبیب بخشی از نمودار شکل ۷-۴ را در محاسبات لحاظ نمود که در محدوده‌ی پتانسیل مورد نظر می‌باشد. بدین وسیله $\left(\frac{\partial E}{\partial i} \right)_i$ تعیین شده و مراحل حل تکمیل می‌گردد.



شکل ۷-۴: منحنی پلاریزاسیون

در رابطه (۱۱-۷) مقدار $S_{ins,i}$ برابر با بخشی از سطح خارجی لوله می‌باشد که بدون روکش مانده و یا روکش آن معیوب می‌باشد.

مطلوب ارائه شده در بخش‌های پیش جهت معرفی روش مدارهای معادل بوده و توانایی و صحت فرضیات این روش در حال بررسی می‌باشد. شایان ذکر است که برنامه‌ای نیز مبتنی بر این روش در حال تدوین است و نتایج بررسی این روش در ماه آتی ارائه خواهد شد. در ادامه با توجه به موارد مذکور مزايا و معایب اين روش در مقایسه با روش المان مرزی ارائه می‌شود. موارد ذیل صرفا ناشی از دیدگاه دو روش برای حل بوده و دقت و کارایی روش مدار معادل همچنان در حال بررسی می‌باشد.

• مزایای روش مدار معادل نسبت به روش المان مرزی

۱. سادگی روش و سهولت کاربرد

۲. عدم نیاز به تولید شبکه روی مرزها

۳. تبدیل مسئله سه بعدی به یک بعدی

۴. عدم نیاز به روند تکرار (با فرض منحنی پلاریزاسیون خطی شده) و سرعت بالای حل که ناشی از حل یک سری معادلات خطی می‌باشد.

۵. سهولت بیشتر در مدل‌سازی شبکه‌ها

• معایب روش مدار معادل نسبت به روش المان مرزی

۱. نیاز به فرض اساسی دوری بسیار زیاد آندها از کاتد (وجود پتانسیل یکنواخت در الکتروولیت)

۲. عدم توانایی پیش‌بینی تغییرات پتانسیل در جهت محیطی لوله (ناشی از فرض دوری آندها)

۳. عدم تطابق خطی‌سازی منحنی پلاریزاسیون با شرایط واقعی

۴. عدم کارایی در مدل‌سازی مسائل حفاظت کاتدیک از نوع آند فداشونده

۵. عدم کارایی در مدل‌سازی مسائل با شرایط آند و کاتد نزدیک به هم

۳.۳.۷ منابع

- [۱] V. E. Kasatkin, A. V. Gelman, A. I. Zarepov, I. V. Kasatkina and V. N. Dorofeeva, ‘Computer Simulation of Cathodic Protection Systems for Branched Pipelines’, Protection of materials, Vol. 39, No. 3, 2003, pp 268-273.

۴.۷ بررسی روش‌های عددی جهت اندازه‌گیری دبی جریان در دبی‌سنجهای

در ارتباط با فعالیت‌های درنظر گرفته شده برای اسفندماه ۸۷ فعالیت جدیدی تحت عنوان شبیه‌سازی جریان درون کنتورهای گاز و تخمین دقت اندازه‌گیری آنها درنظر گرفته شد. هدف از این مطالعات این است که مشخص شود در ارتباط با این فعالیت چه کارهایی در سطح کشور و یا دنیا انجام شده است. بدین ترتیب در ارتباط با نحوه صحیح بکار گیری کنتورها زوایای بیشتری روشن خواهد شد.

در این راستا بررسی روش‌های عددی یکی از سرفصل‌های اصلی شبیه‌سازی جریان درون کنتورهای گاز و تخمین دقت اندازه‌گیری آنها می‌باشد. لذا عمدۀ فعالیت‌های انجام شده در دفتر نیز با تکیه بر این روش به تحلیل و بررسی اندازه‌گیری جریان توسط دبی‌سنجهای مختلف می‌باشد. بدین‌منظور با جستجوهای اینترنتی انجام شده در این زمینه یکی از منابعی که بطور نسبتاً جامع به این موضوع پرداخته است مرجع [۱] بوده که بر اساس آن نحوه مدل‌سازی، فرضیات و پارامترهای مهم در مدل‌سازی استخراج شده و در گزارش حاضر به تفصیل ارائه شده است.

۱۰.۴.۷ اندازه‌گیری علمی جریان

برای اندازه‌گیری دقیق جریان جرمی سیال، دبی‌سنجه جرمی مناسبی لازم است بگونه‌ای که قبلاً مطابق با استانداردهای ملی کالیبره باشد. بدین ترتیب کالیبراسیون دبی‌سنجه می‌بایست توسط موسسه استاندارد ملی و یا یک آزمایشگاه معتبر انجام شود. گذشته از دبی‌سنجه کالیبره شده، فرآیند اندازه‌گیری به جهت تعیین کردن خطای تخمینی اندازه‌گیری جریان بایستی معلوم باشد. بر این اساس دبی

جرمی m می‌تواند اینچنین بیان شود:

$$m = (I + C_{cr}) \pm U_c \quad (12-7)$$

که I نشانه دبی‌سنجه، C_{cr} مطابق با تصحیح کالیبراسیون دبی‌سنجه و U_c خطای تخمینی استاندارد بسط‌یافته اندازه‌گیری می‌باشد. بدین ترتیب از معادله (۱۲-۷) سه وظیفه اصلی اندازه‌گیری علمی جریان دیده می‌شود:

- تحقیق و توسعه جهت ارتباطدادن استانداردهای ملی جرم و زمان و درجه‌بندی دبی‌سنجه (تعیین نشانه دبی‌سنجه، I)

• شناسایی فرآیند اندازه‌گیری جهت تعیین ضریب تصحیح، C_{cr}

• مطالعه عدم قطعیت‌ها در فرآیند اندازه‌گیری جهت خطای اندازه‌گیری، U_c

در علم اندازه‌گیری جریان، شبیه‌سازی‌های دینامیک سیالات محاسباتی، CFD^{۹۸} برای مطالعه میدان‌های جریان قبل از دبی‌سنجه بکار می‌رود تا اینکه اثرات تاسیسات مختلف در نشانه دبی‌سنجه مشخص شود. ضمناً پروفایل جریان‌های ورودی مختلف یا ساختمان‌های گوناگون دبی‌سنجه و فرآیند اندازه‌گیری دبی‌سنجه و ارزیابی خطای تخمینی اندازه‌گیری مورد مطالعه قرار می‌گیرد.

⁹⁸ Computational fluid dynamics

در این گزارش، مطالعه مختصری در میان مجموعه مقالات مرتبط با روش‌های عددی در علم اندازه‌گیری جریان انجام شده است. در ارزیابی خطای تخمینی اندازه‌گیری، مخصوصاً برای مدل‌های اندازه‌گیری غیرخطی روش‌های عددی Monte Carlo قابل استفاده می‌باشند. با توجه به محدودیت‌های زمانی تنها مرور کوتاهی بر مقالات نوشتۀ شده و روش‌های استفاده شده در اندازه‌گیری جریان ارائه شده است و مطالعه عمیق‌تر تعدادی مثال شبیه‌سازی، و آینده علم اندازه‌گیری عددی به گزارشات بعدی موکول شده است.

۲.۴.۷ روش‌های عددی در علم اندازه‌گیری جریان

در این بخش کاربردهای روش‌های عددی در زمینه اندازه‌گیری دبی حجمی و جرمی انواع گازها و سیالات دیگر مورد بحث قرار گرفته است. برخی از این کاربردها در ارتباط با میدان جریان قبل از ورود به دبی‌سنچ می‌باشند که می‌توانند در دقت اندازه‌گیری آن تاثیرگذار باشند. برخی دیگر از کاربردها در ارتباط با شبیه‌سازی میدان جریان درون خود دبی‌سنچ می‌باشند و در نهایت نیز بطور مختصر کاربرد روش مونت‌کارلو در ارتباط با تخمین خطای اندازه‌گیری دبی‌سنچ‌ها ارائه شده است.

۳.۴.۷ تحلیل محاسباتی میدان جریان قبل از دبی‌سنچ

این مسئله یکی از علایق اصلی برای سازنده‌ها و همچنین برای خریدارهای انواع دبی‌سنچ‌ها می‌باشد تا بدین ترتیب به نحوی از عکس العمل دبی‌سنچ‌ها به آشتفتگی جریان معین قبل از نصب واقعی آگاهی پیدا کنند. چنانکه هر کسی بخوبی می‌داند، برای مثال، زانویی‌های ساده در لوله‌کشی‌ها، آشتفتگی‌های جریانی همچون حرکت چرخشی و تغییر شکل پروفایل جریان را ایجاد می‌کنند. این اختلالات می‌توانند با استفاده از لوله‌کشی‌های مسقیم بلند یا تصحیح‌کننده‌های جریان در بالادست دبی‌سنچ کاهش داده شوند. اما نکته قابل توجه این می‌باشد که این لوله‌کشی و تاسیسات هزینه نصب را افزایش خواهد داد و باعث ایجاد افت فشار اضافی می‌گردد.

هیلی گنستاک و ارنست [۲]، دو نمونه از موارد رایج که ممکن است باعث اغتشاشات به اندازه‌گیری جریان سیال شود را محاسبه کرده‌اند. این دو نمونه شامل یک زانویی 90° و جریان متلاطم از میان یک زانویی مضاعف (out of-plane) قبل از دبی‌سنچ می‌باشند. از دیدگاه تجربی اثرات هر دو نمونه کاملاً شناخته شده هستند و این دو با استفاده از این نتایج جواب‌های دو روش عددی مختلف بدست آمده را اعتبارسنجی نموده‌اند. بر اساس تجربیات آنها، شبیه‌سازی‌های CFD برای جریان‌های لوله در مقایسه با اندازه‌گیری‌های آزمایشگاهی خیلی ارزانتر می‌باشند و همچنین تحلیل اطلاعات این شبیه‌سازی‌ها آسان‌تر است.

در مقاله‌ای از یه و متینگلی [۳]، شبیه‌سازی عددی دبی‌سنجد آتراسونیک برای میدان‌های جریان لوله کاملاً ۳ بعدی و افتهای (گرادیان‌های) آن انجام شده است. ضمناً دورنمای سطح کارایی تکنیک‌های آتراسونیک travel-time و دو سنسوره برای جریان‌های غیرقابل‌تراکم درون لوله با عدد رینولدز بالا مورد بحث قرار گرفته است. شایان ذکر است که در این مطالعات هر دو پروفایل تحلیلی سرعت (آرام و متلاطم) و یک جریان لوله صنعتی استفاده شده است. بدین ترتیب آنها در این بررسی‌ها متوجه شده‌اند که در یک دبی‌سنجد آتراسونیک دو سنسوره، پروفایل جریان حساسیت بالایی دارد.

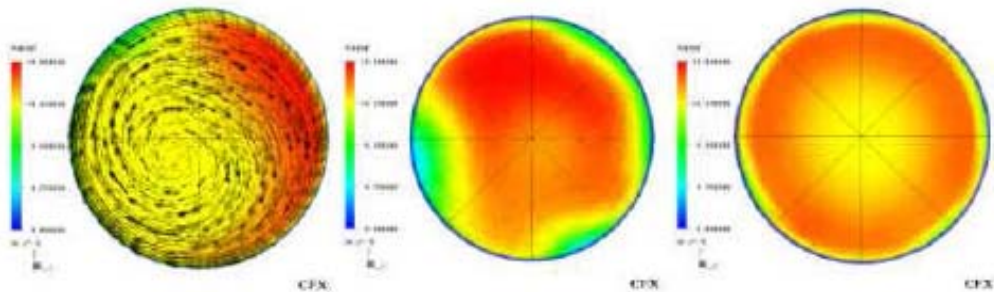
هولم و همکارانش [۴]، با استفاده از پروفایل سرعت بدست آمده از روش‌های تجربی و همچنین با استفاده از یک کد CFD تجاری و یک مدل اندازه‌گیری تئوریک برای دبی‌سنجد های آتراسونیک، ضریب کالیبراسیون برای این نوع دبی‌سنجد را در شرایط نصب مختلف پیش‌بینی نموده‌اند. آنچه که در این مطالعات بدست آمده است نشانگر این می‌باشد که اختلاف بین ضرایب k شبیه‌سازی و تجربی از $1\% \dots 3\%$ می‌باشد. ضمناً آنها منع اصلی خطا را چگونگی مدل‌کردن لایه مرزی و مدل توربولنسی $k - \epsilon$ -استفاده‌شده تصور می‌کنند.

در مقاله‌ای از کن کد و رب [۵]، کارایی یک تصحیح‌کننده جریان قبل از یک دبی‌سنجد توربینی به کمک شبیه‌سازی CFD انجام شده است. بطورکلی دبی‌سنجد های توربینی و اریفیس دار برای عملیات در شرایط ایده‌آل پایین دست لوله‌های مستقیم طراحی شده‌اند. بنابراین این کنتورها در این شرایط کالیبره شده‌اند و صحت اندازه‌گیری آنها شدیداً به شرایط جریانی برخورده شده در ورودی دبی‌سنجد بستگی دارد. پس بدین ترتیب دبی‌سنجد های توربینی به اثرات لوله کشی از جمله اختلالات جریان مثل اثرات جریان جت^{۹۹} و حرکات چرخشی جریان، که بوسیله رگولاتورهای فشاری یا آرایش بندی لوله کشی در ایستگاه‌های گاز شهری ایجاد می‌شوند خیلی حساس می‌باشند. این خطاها که به دلیل اثرات لوله کشی ناصحیح ایجاد می‌گردند به بیش از 3% می‌توانند برسند. نمونه‌ای از حوزه مورد مطالعه جریان قبل از دبی‌سنجد ها در شکل ۵-۷ نشان داده شده است. ضمناً نمونه‌ای از تحلیل‌های عددی سرعت در مکان‌های مختلف لوله در شکل ۶-۷ آورده شده است.

^{۹۹} jet flow



شکل ۵-۷: نمونه‌ای از حوزه مورد مطالعه جریان قبل از دبی‌سنجهای



شکل ۶-۷: نمونه از تحلیل‌های عددی سرعت در مکان‌های مختلف لوله

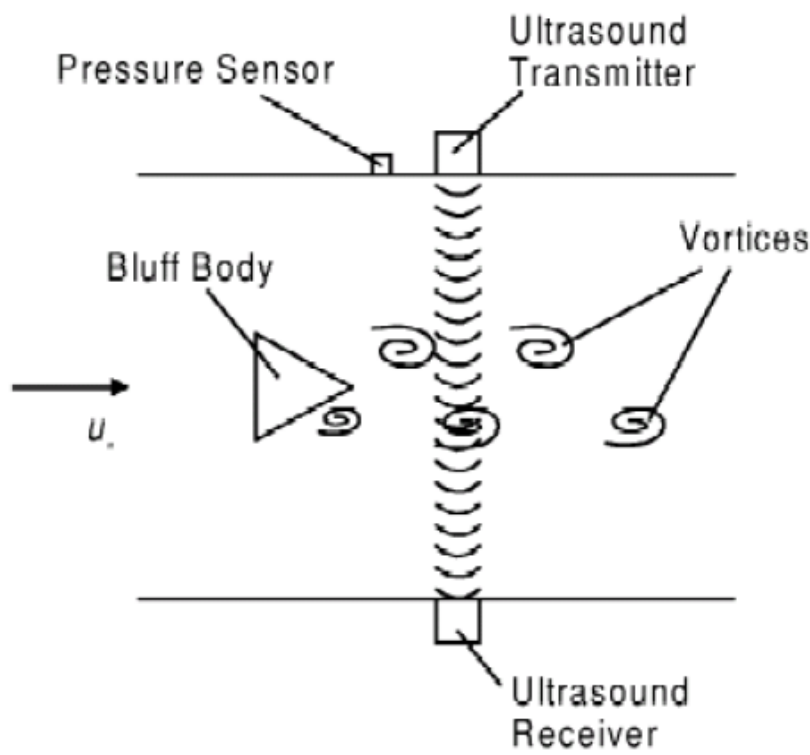
۴.۴.۷ تحلیل محاسباتی دبی‌سنجهای

یکی از زمینه‌های مهم برای اندازه‌گیری میزان دبی جرمی سیالات، بهبود و توسعه دبی‌سنجهای حجمی متداول می‌باشد. در میان این دبی‌سنجهای حجمی، دبی‌سنجهای گردابه‌ای^{۱۰۰} یک نوع بارز و ممتاز است. اصول اندازه‌گیری این دبی‌سنجهای بر اساس فرکانس ریزش گردابه وون کارمن^{۱۰۱} پشت یک جسم ضخیم^{۱۰۲} می‌باشد و نوسانات فشاری تولید شده توسط جسم ضخیم نیز معمولاً با سنسورهای فشاری نمایان می‌شود. اصول عملکردی یک دبی‌سنجهای گردابه به همراه یک مرز فراصوت پشت جسم ضخیم در شکل ۷-۷ نشان داده شده است.

¹⁰⁰ Vortex flowmeter

¹⁰¹ Von Karman

¹⁰² bluff body



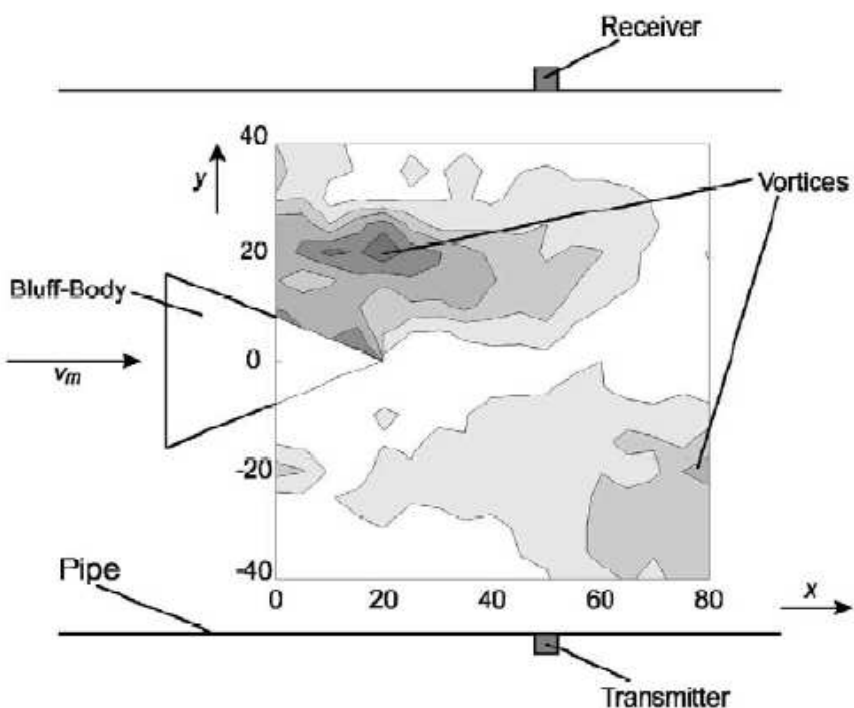
شکل ۷-۷: اصول عملکردی یک دبی‌سنج ریزش گردابه با یک مرز فراصوت پشت جسم ضخیم

نکته قابل توجه این است که در حال حاضر، کنتورهای گردابه‌ای بطور گسترشده در اندازه‌گیری جریان مایعات، گازها و بخارات صنعتی استفاده می‌شوند. این مسئله به خاطر قیمت پایین، نصب آسان، قابلیت اطمینان بالا، نداشتن بخش‌های متحرک و دقت اندازه‌گیری بالای آنها می‌باشد. این نوع دبی‌سنج‌ها معمولاً برای اندازه‌گیری میزان جریان حجمی در جریان درون لوله بکار گرفته می‌شوند. در مقاله‌ای از پانکانین [۶]، جنبه‌های مختلف مشکلات درباره کنتورهای گردابه‌ای بررسی شده است. ضمناً در این مطالعه مشکلات بنیادی و راه حل‌های آنها بر اساس توضیحی از اصول عملکردی این دبی‌سنج‌ها ارائه شده است. بدین ترتیب مهمترین روش‌های بررسی پدیده‌هایی که در دبی‌سنج‌های گردابه‌ای ظاهر می‌گردد شامل موارد زیر می‌باشند:

- تحلیل سیگنال اندازه‌گیری شده
- بررسی میدان جریان با استفاده از یک سرعت‌سنج سیم‌ DAG¹⁰³
- تجسم جریان به همراه پردازش تصویر
- مدل‌سازی عددی جریان

¹⁰³ Hot-wire anemometer

همچنین در مطالعه‌ای از سوی زنگ و همکارانش [۷]، یک شبیه‌سازی CFD به منظور پیدا کردن بهترین موقعیت نصب پورت فشارسنج در این دبی‌سنج‌ها انجام شده است. این مسئله به بهترین دقت در اندازه‌گیری فشار منجر می‌شود. منحنی فشار اندازه‌گیری شده یک مسیر گردابه وون کامن پشت یک جسم ضخیم در یک دبی‌سنج گردابه‌ای در شکل ۸-۷ ارائه شده است.



شکل ۸-۷: منحنی فشار اندازه‌گیری شده در یک دبی‌سنج گردابه‌ای

از سوی دیگر جستجو برای مطلوب‌ترین هندسه برای این کنتورها کار ابتدایی طراحان دبی‌سنج‌های گردابه‌ای شده است. این در حالی است که سال‌ها توجه آنها اساساً بر روی جسم ضخیم و همچنین روی طراحی سنسور متمرکز شده بود. پس بنابراین نه تنها شکل جسم ضخیم بلکه همچنین هندسه کanal در پیشرفت گردابه اثر می‌گذارد و آزمایشات گوناگون انجام شده توسط محققان گوناگون این مسئله را تایید می‌کنند. ضمناً دیواره‌های کanal ریزش گردابه و فرآیند توسعه آن را پایدار می‌سازد. بنابراین مفهوم مخروطی شدن کanal جریان در منطقه توسعه گردابه‌ها مطرح شده است.

در کار دیگری توسط هنس و ویندورفر [۸]، یک روش اندازه‌گیری که سیگنال فراصوت را با کنتورهای گردابه‌ای مرسوم ترکیب می‌کند توضیح داده شده است. آنها در مطالعات خود دو نوع متفاوت جسم ضخیم مثلثی و T شکل را شبیه‌سازی کرده‌اند.

براساس یک شبیه‌سازی عددی که در مرجع [۹] انجام شده است می‌توان نتیجه گرفت که بخاطر انقباض مقطع عرضی (که باعث افزایش سرعت جریان می‌شود) انرژی چرخش گردابه افزایش می‌یابد و همچنین طول عمر گردابه زیاد می‌شود. ضمناً در مرجع [۱۰]، اصول فیزیکی دبی‌سنجد تصحیح-عرضی فراصوت^{۱۰۴} بطور کمی توسط روش‌های مبتنی بر تحلیل سیستمی توضیح داده شده است.

دستگاه‌های میکرومکانیکی از جمله تکنولوژی‌های جدیدی هستند که به سرعت در حال پدیدارشدن می‌باشند، که قابلیت‌های جدید کاربردی آنها بطور پیوسته در حال توسعه می‌باشد. متراکم‌بودن و نسبت‌های سطح به حجم بالای دستگاه‌های سیالاتی با مقیاس میکرو آنها را جایگزین سیستم‌های جریان مرسوم کرده است. با پیشرفت‌های تکنولوژیکی حال حاضر، دستگاه‌های میکرومکانیکی جریان (micro-flow)، میکروپیمپها، میکروشیرها، میکرومبدلها، سنسورهای استفاده شده در اندازه‌گیری‌های جریان، خنک‌کننده‌های الکترونیکی، سیستم‌های میکرومکانیکی و دیگر اجزاء در حد میکرو به واقعیت پیوسته است. این پدیده جریانی همچنین در دبی‌سنجهایی که هم‌اکنون بطور وسیع استفاده می‌شوند و بر پایه جریان آرام در کانال‌های با مقیاس میکرومتر هستند، اتفاق می‌افتد. در مطالعه‌ای از جن و لین [۱۱]، شبیه‌سازی جریان سه‌بعدی برای کانال‌های جریان با مقیاس میکرومتر با استفاده از نیتروژن به عنوان گاز آزمایشی انجام شده است. آنها در این زمینه شبیه‌سازی دو بعدی و سه‌بعدی را انجام داده‌اند و متوجه شده‌اند که فرض دو بعدی برای مطالعه جریان قابل تراکم در میکرومکانال‌های سه‌بعدی درست نمی‌باشد. در چنین حالتی در مقایسه با محاسبات سه‌بعدی ۱۵٪ تا ۴۵٪ سرعت‌های بالاتر و ۷٪ تا ۱۲٪ ضریب اصطکاک نرم‌الایز شده پایین‌تری نتیجه می‌شود.

در دبی‌سنجه کوریولیسی^{۱۰۵} یک لوله اندازه‌گیری انتقال‌دهنده سیال که در حال نوسان در فرکانس طبیعی‌اش می‌باشد، به عنوان یک عنصر حسکننده اولیه استفاده شده است. بدین ترتیب تغییرات فرکانس طبیعی لوله اندازه‌گیری و طریقه تغییر شکل آن، برای اندازه‌گیری‌های دانسیته یک سیال یا میزان جریان جرمی استفاده می‌شوند. با بروینک در مقاله‌ای [۱۲]، جریان یک سیال ویسکوز از میان یک لوله اندازه‌گیری مستقیم یک دبی‌سنجه کوریولیسی را با استفاده از شبیه‌سازی عددی مطالعه کرده است.

همچنین در مقاله‌ای از لاونته و همکارانش [۱۳]، میدان جریان ناپایدار سه‌بعدی پیچیده یک دبی‌سنجه توربینی یک مرحله‌ای مطالعه شده است.

در خیلی از کاربردهای مهندسی از جمله فرآیندهای ساخت نیمه‌رساناها و فرآیندهای شیمیایی نه تنها حجم گاز مصرفی بلکه اندازه‌گیری و کنترل نرخ مصرف آن (دبی حجمی یا جرمی) بسیار مهم

^{۱۰۴} Ultrasound cross-correlation flowmeter

^{۱۰۵} Coriolis flowmeter

و حساس می‌باشد. روش‌های آشکارسازی کل جریان شامل انواع سنسورهای اریفیسی، توربینی، آلتراسونیکی و کوریولیسی هستند. بویژه، در صنایع نیمه‌رساناهای و شیمیایی، کنتورهای جرمی حرارتی^{۱۰۶} به شکل گسترده‌ای برای اندازه‌گیری نرخ‌های جریان جرمی استفاده می‌شوند. در کاری از هن و همکارانش[۱۴]، یک روش عددی ساده برای پدیده‌های انتقال حرارت گذرا در لوله حسگر یک دبی‌سنجد جرمی حرارتی ارائه شده است. بدین ترتیب فرآیند اندازه‌گیری و دقت دبی‌سنجد جرمی حرارتی بدرستی درک شده و بهبود داده می‌شود.

۵.۴.۷ شبیه‌سازی Monte Carlo در ارزیابی خطای تخمینی اندازه‌گیری

برای مدل‌های اندازه‌گیری غیرخطی، روش عددی Monte Carlo ابزار موثری برای محاسبه کردن خطای تخمینی اندازه‌گیری می‌باشد. فرآیند محاسبه با تعریف توزیع احتمال‌های متغیرهای مربوط به مدل اندازه‌گیری شروع می‌شود. بعد از آن، توزیع احتمال کمیت تحت اندازه‌گیری توسط اضافه کردن احتمال‌های ناشی از توزیع احتمال متغیرها به مدل اندازه‌گیری محاسبه می‌گردد. مقدار متوسط توزیع احتمال کمیت تحت اندازه‌گیری، بیانگر مقدار پیش‌بینی شده آن کمیت است و انحراف معیار مربوطه بیانگر خطای تخمینی استاندارد کمیت تحت اندازه‌گیری می‌باشد. فرآیند محاسبه به همراه جزئیات در مرجع [۱۵] توضیح داده شده است. از طرف دیگر، سیلانپا در مقاله‌ای [۱۶]، با موفقیت از این روش در ارزیابی خطای تخمینی دستگاه جدید MIKES برای اندازه‌گیری دانسیته مایعات در سطح خطای تخمینی پایین تر از ۱۵ ppm استفاده کرده است. این روش با خطای تخمینی محاسبه شده از مدل اندازه‌گیری تحلیلی قابل مقایسه می‌باشد.

۶.۴.۷ منابع

- [1] S. Sillanpaa. Numerical methods in flow metrology, 47244M, March 13, 2002.
- [2] A. Hilgenstock and R. Ernst. Analysis of installation effects by means of computational fluid dynamics-cfd vs experiments? Flow measurement and instrumentation, 7:161–171, 1996.
- [3] T. T. Yeh and G. E. Mattingly. Computer simulations of ultrasonic flow meter performance in ideal and non-ideal pipeflows. In Proceedings of the 11th FLOMEKO-conference (CD-ROM), Groningen, The Netherlands, May 12-14. Gasunie research, 2003.
- [4] M. Holm, J. Stang, and J. Delsing. Simulation of flow meter calibration factors for various installation effects. Measurement, 15:235–244, 1995.

¹⁰⁶ Thermal mass flow meters

-
- [5] J. Cancade. Numerical simulation of the smmi flow conditioner. In Proceedings of the 11th FLOMEKO-conference (CD-ROM), Groningen, The Netherlands, May 12-14. Gasunie research, 2003.
- [6] G. L. Pankarin. The vortex flowmeter: various methods of investigating phenomena. Measurement science and technology, 16:R1–R16, 2005.
- [7] Z. Hongjian, H. Yongmei, and S. Zhiqiang. A study of mass flow rate measurement based on the vortex shedding principle. Flow Measurement and Instrumentation, 17:29–38, 2006.
- [8] V. Hansa and H. Windorferb. Comparison of pressure and ultrasound measurements in vortex flow meters. Measurement, 33:121–133, 2003.
- [9] G. L. Pankarin, J. Berlinski, and R. Chmielewski. Numerical modeling of vortices development in tapered duct. In Proceedings of the 11th FLOMEKO-conference (CD-ROM), Groningen, The Netherlands, May 12-14. Gasunie research, 2003.
- [10] F. Schneider, F. Peters, and W. Merzkirch. Quantitative analysis of the cross-correlation ultrasonic flow meter by means of system theory. Measurement science and technology, 14:573–582, 2003.
- [11] V. Jain and C. X. Lin. Numerical modeling of three-dimensional compressible gas flow in microchannels. Journal of micromechanics and microengineering, 16:292–302, 2006.
- [12] G. Bobovnik, J. Kutin, and I. Bajsic. Numerical simulations of the fluid flow in the measuring tube of the coriolis flow meter. In Proceedings of the 11th FLOMEKO-conference (CD-ROM), Groningen, The Netherlands, May 12-14. Gasunie research, 2003.
- [13] E. von Lavante, N. Lazaroski, U. Maatje, T. Kettner, and V. L'otz-Dauer. Numerical simulation of unsteady three-dimensional flow fields in a turbine flow meter. In Proceedings of the 11th FLOMEKO-conference (CD-ROM), Groningen, The Netherlands, May 12-14. Gasunie research, 2003.
- [14] I. Han, D.-K. Kim, and Kim S. J. Study on the transient characteristics of the sensor tube of a thermal mass flow meter. International journal of heat and mass transfer, 48:2583–2592, 2005.
- [15] International Organization for Standardization (ISO). Guide to the expression of uncertainty in measurement GUM - supplement 1: Numerical methods for the propagation of distributions, 2004.

[16] S. Sillanpää. LDCS-laitteiston numeerinen epäavarmuukslaskenta. MIKES flow laboratory report nr. 13, 2005.

۵.۷ پوشش‌های مقاوم جهت استفاده در محیط‌های آلوده به مشتقات نفتی

توسعه‌ی گازرسانی به مناطق مختلف استان خوزستان از جمله شهرستان آبادان و مسجدسلیمان وجود شرایط اقلیمی خاص در این مناطق، استفاده از خطوط لوله، تجهیزات مرتبط، روکش‌ها و سایر موارد را تحت الشعاع قرار داده و می‌بایست قبل از پیاده‌سازی شبکه‌ها از توانایی و کارایی موارد مذکور در این شرایط اقلیمی متفاوت اطمینان حاصل نمود. یکی از تفاوت‌های اساسی خاک این شهرستان‌ها با دیگر نقاط در میزان آلودگی خاک این ناحیه به مواد نفتی می‌باشد. این آلودگی‌های نفتی از پیامدهای جنگ تحمیلی بوده و ناشی از نشت نفت از لوله‌های ترکیده یا از پالایشگاه می‌باشد که در خاک منطقه نفوذ کرده‌اند. بدین منظور جهت تامین گاز این شهرستان‌ها و موارد مشابه می‌بایست تمهیدات لازم اتخاذ شود. در این زمینه نیز از طرف مسئولین محترم بخش توزیع شرکت گاز استان خوزستان درخواستی جهت معرفی روکش مناسب برای نواحی با آلودگی نفتی به دفتر پژوهش گاز استان خوزستان ارسال گردید که نتایج بررسی اولیه این موضوع در ادامه ارائه خواهد شد.

۱.۵.۷ انتخاب روکش مناسب

به‌منظور تعیین روکش مناسب، منابع متعددی مطالعه شد و در نهایت استانداردهای مربوطه در این زمینه ملاک تصمیم‌گیری قرار گرفت. در ابتدا از آنجاکه بسیاری از اصطلاحات و عبارت‌ها در استانداردهای مورد بررسی به صورت مخفف ارائه شده‌اند، جهت رفع ابهام در مطالعه گزارش حاضر، مخفف‌های مورد استفاده در جدول ۱-۷ معرفی می‌شوند.

جدول ۱-۷: معرفی علائم اختصاری استفاده شده در متن

ACS	Approved Coating System
3LPE	Three Layer Polyethylene
FPE	Fusion Bounded Epoxy
CP	Cathodic Protection
SCC	Stress Corrosion Cracking

در منابع مختلف انواع پوشش‌ها جهت استفاده بر روی لوله‌های مدفون معرفی شده‌اند [۱-۵]. در این بین جدیدترین استاندارد گردآوری شده، استاندارد مربوط به شرکت گاز ایران بوده که با عنوان راهنمای انتخاب پوشش و با کد IGS-R-TP-024(0) (پیوست ۱) ارائه شده‌است. این کد انواع روکش‌های مورد تایید را طبق جدول ۲-۷ معرفی می‌نماید.

جدول ۲-۷: مشخصات روکش‌های تایید شده

شماره	عنوان	کد استاندارد
ACS-1	Three layer polyethylene coating for line pipe	IGS-M-TP-010 (Parts1&2)
ACS-2	Fusion Bonded Epoxy for line pipe	ISO 21809-2
ACS-3	Modified bitumen enamel coating for line pipe	IGS-M-TP-016
ACS-4A	Coal tar enamel coating for line pipe	BS 4164 & BS 7873
ACS-4B	Bitumen enamel coating for line pipe	BS EN 10300
ACS-5	Hand applied 3PLY tape	IGS-M-TP-014-2-C
ACS-6	Hand applied laminated bituminous tape	IGS-M-TP-014-5
ACS-7	Hand applied laminated tape	IGS-M-TP-014-4
ACS-8	Shop or field applied two-component EP	NACE RP 01 05
ACS-9	Shop or field applied two-component PUR	IGS-M-TP-020
ASC-10	High temperature 3-Layer heat shrinkable sleeve system for service temperature up to 80 C.	IGS-M-TP-014-3(1)
ASC-11	3-Layer heat shrinkable sleeve system (hot melt adhesive) for service temperature up to 60 C.	IGS-M-TP-014-6
ASC-12	2-Layer heat shrinkable sleeve (mastic adhesive) for service temperature up to 50°C.	IGS-M-TP-014-7
ACS-13	Polymer modified bitumen membrane	IGS-M-TP-014-2-A
ACS-14	Hand applied petrolatum tape	IPS-M-TP-317
ACS-15	Pressure sensitive, hand applied laminated tape for elevated temperature	IGS-R-TP-024(0) Annex A
ACS-16	Field Applied FBE for field girth welds	NACE RP 04 02

در جدول ۲ و جدول ۳ کد IGS-R-TP-024(0) روکش‌های فوق با توجه به محل و شرایط استفاده نیز دسته‌بندی شده‌اند. این گروه‌بندی به طور خلاصه در جدول ۳-۷ ارائه شده‌است.

جدول ۷-۳: پوشش‌های خارجی مورد استفاده خطوط لوله، اتصالات و خطوط سرویس ($OD < 24"$)

گروه کاری	پوشش‌های قابل استفاده
بدنه لوله	ACS-1/ACS-2/ACS-3/ASC-4A/ACS-4B
لوله‌های مدفون و اتصالات مرتبط	ACS-5/ACS-6/ACS-8/ASC-9/ACS-13/ACS-16

با مطالعه خصوصیات پوشش‌های ارائه شده در جدول ۳-۷، مطابق با جدول ۶ کد IGS-R-TP-024(0)، تنها دو نوع روکش ACS-1 و ACS-2 دارای مقاومت عالی نسبت به هیدرولیکین‌ها می‌باشند. همچنین دو نوع روکش مذکور دارای مقاومت بالایی در محیط‌های شیمیایی و نیز در برابر اثرات باکتری‌های مختلف، می‌باشند. البته با توجه به اینکه روکش ACS-2 جاذب قوى رطوبت می‌باشد برای استفاده در محیط‌های مرطوب پیشنهاد نمی‌شود [۱-۵]. از این‌رو تنها گزینه‌ی مطلوب روکش ACS-1 می‌باشد. شایان ذکر است با مطالعه انجام شده در منابع مختلف [۱-۵] به میزان مقاومت دیگر روکش‌ها نسبت به هیدرولیکین‌ها صراحتاً اشاره‌ای نشده‌است.

با توجه به جدول ۲-۷، مشاهده می‌گردد که روکش ACS-1 که از نوع پلی‌اتیلنی سه لایه می‌باشد، برای لوله‌های مدفون پیشنهاد نشده‌است. در این زمینه نیز با بررسی انجام شده، استاندارد این نوع روکش با کد IGS-M-TP-010-2 تهیه و مورد مطالعه قرار گرفت. شرح کار این روکش مطابق با کد مذکور به شرح ذیل می‌باشد.

"THIS PART 2 OF NIGC ENGINEERING STANDARD IGS-ES-TP-010 SPECIFIES THE OPERATIONS AND REQUIREMENTS FOR THE FACTORY APPLICATION OF MATERIALS IDENTIFIED IN NIGC ENGINEERING CONSTRUCTION STANDARD IGS-ES-TP-010 PART1 , TO **BURIED STEEL PIPES** PROVIDING A FINISHED PRODUCT CAPABLE OF PIPE LAYING AND OPERATING AT UP TO 80°C ."

از این‌رو با توجه به مطلب فوق می‌توان نتیجه‌گرفت، روکش ASC-1 برای لوله‌های مدفون نیز قابل استفاده می‌باشد. در جدول ۶ کد IGS-R-TP-024(0) مزايا و معایب این روکش به قرار ذیل ذکر شده‌است.

• مزايا

۱. نیاز به جریان کمتر جهت حفاظت

۲. مقاومت عالی نسبت به هیدروکربن‌ها
 ۳. مقاومت عالی نسبت به جدایش ناشی از حفاظت کاتدیک
 ۴. مقاومت بالا نسبت به سایش
 ۵. چسبندگی عالی به سطح لوله
 ۶. مقاومت الکتریکی بسیار زیاد
 ۷. مقاوم در برابر فشار خاک
 ۸. مقاوم در برابر بسیاری از محیط‌های شیمیایی و باکتریایی
 ۹. مقاوم در برابر نفوذ آب
 ۱۰. قابل استفاده در محدوده‌ی دماهی ۲۰- تا ۸۰ درجه سانتیگراد
- معایب
۱. نیاز به کنترل دقیق در حین اجرا
 ۲. هزینه‌ی اجرای بالا
 ۳. در صورت خرابی لایه FBE تمامی پوشش تحت تاثیر قرار خواهد گرفت.
 ۴. تعمیرات روکش مشکل است.
 ۵. با توجه به اینکه لایه اصلی محافظت از خوردگی از دیده پنهان می‌باشد، صحت یا خرابی روکش زیرین را نمی‌توان با چشم بررسی نمود.

۲.۵.۷ جمع‌بندی

با توجه به مواردی که در بخش قبل بدان‌ها اشاره گردید، موارد ذیل جهت پوشش قابل استفاده در خاک آلوده به مواد نفتی پیشنهاد می‌شود.

۱. استفاده از روکش‌های پلی‌اتیلنی سه‌لایه با کد ACS-1
۲. با توجه به هزینه‌ی بالای اجرایی این نوع پوشش راه‌کار دیگری که می‌توان اشاره نمود استفاده از لوله‌های پلی‌اتیلنی می‌باشد. تنها محدودیتی که در استفاده از این نوع لوله‌ها به‌چشم می‌خورد با توجه به استاندارد IGS-PL-14-01(1) محدودیت فشار درون این لوله‌هاست.

مطابق با کد مذکور حداقل فشار کاری این لوله‌ها برابر با ۴ بار برابر با ۶۰ Psi می‌باشد. از اینرو با توجه به فشار کاری شبکه توزیع می‌توان از این لوله‌ها استفاده نمود. در بقیه موارد نیز می‌توان از لوله‌های فولادی با روکش ACS-1 استفاده نمود.

شایان ذکر است که مطالعات فوق در بازه‌ی زمانی بسیار محدودی انجام شده‌است و لذا پیشنهاد می‌شود به منظور دستیابی به نتایج دقیق‌تر و مطمئن‌تر، این مطالعات در قالب یک طرح تحقیقاتی مورد بررسی قرار گیرد.

۳.۵.۷ منابع

- [1] M. E. Parker, "Pipe Line Corrosion & Cathodic Protection", 3rd edition, Gulf Publishing Company, Houston, TX, 1999.
- [2] W. von Baeckmann, W. Schwenk, W. Prinze, "Handbook of Cathodic Protection", Gulf Publishing Company, Houston, TX, 1997.
- [3] B. Guo and A. Ghalambor, "Natural Gas Engineering Handbook", Gulf Publishing Company, Houston, TX, 2005.
- [4] A. W. Peabody, "Control of Pipe line Corrosion", NACE, 2001.
- [5] D. A. Bayliss and D. H. Deacon, "Steelwork Corrosion Control", 2nd Edition, Taylor & Francis e-Library, 2004.

الف جداول استانداردسازی گرمکن

در این پیوست، به ارائه استاندارد پارامترها، جداول و صفحه مشخصاتی که در حین بسته‌بندی، تولید و مونتاژ گرمکن‌ها باید رعایت گردند پرداخته می‌شود.

جدول ۱: ظرفیت نامی گرمکن

GAS FLOW RATE SCM/H	MIN, REQUIRED ABSORBED HEAT DUTY (1000 Kcal/h)
1,200	20.3
2,000	34
3,000	51
5,000	84
7,500	127
10,000	169
15,000	253
20,000	337
25,000	422
30,000	507
40,000	675
50,000	844
60,000	1010

جدول ٢: مشخصات گاز

COMPONENT	PROCESS GAS	FUEL GAS
	MOL%	MOL%
Methane	84.98	97.534
Ethane	8.96	0.801
Propane	3.26	0.149
Iso butane	0.32	0.039
Normal butane	0.59	0.074
Iso pentane	0.10	0.043
Normal pentane	0.09	0.053
Hexane plus	0.04	0.355
Nitrogen	1.33	0.792
Carbon dioxide	0.33	0.161
Hydrogen sulphide (max.)	5 ppm	5 ppm
H ₂ O	7 1b/mmft ³	7 1b/mmft ³
TOTAL	100	100

جدول ٣: صفحه دیتا و اطلاعات گرمکن

DATA SHEET

<u>NIGC</u>	<u>SUPPLIER</u>
Inquiry No:	Name :
Item No:	Quotation No:
No of units required:	No of units offered :
Date:	Date:

جدول ۴: صفحه دیتای N.I.G.C

Gas flow rate	SCM/H	
Inlet press.	Bar	min. ()max. (70)
Min . inlet temp.	° C	10
Outlet temp.	° C	38
Net absorbed heat duty Kcal/h		Ref. To app. "A"
Max. bath temp.	° C	88
Max. gas velocity in coil M/sec		20
Max. press. Drop in coil	bar	1.75
Design press	bar	72

Design temp.	° C	100
End connection size	inch	
Fuel gas supply pres.	Bar	4-17
Ambient temp	° C	Min.()max. ()
Max. wind velocity Km/h		
Max . rain fall mm/year		
Relative humidity	%	
Max. snow loading	mm	
Earth quake zone		
OBCIV		
Elevation above sea level	M	

جدول ۵: دیتای فرآیندی

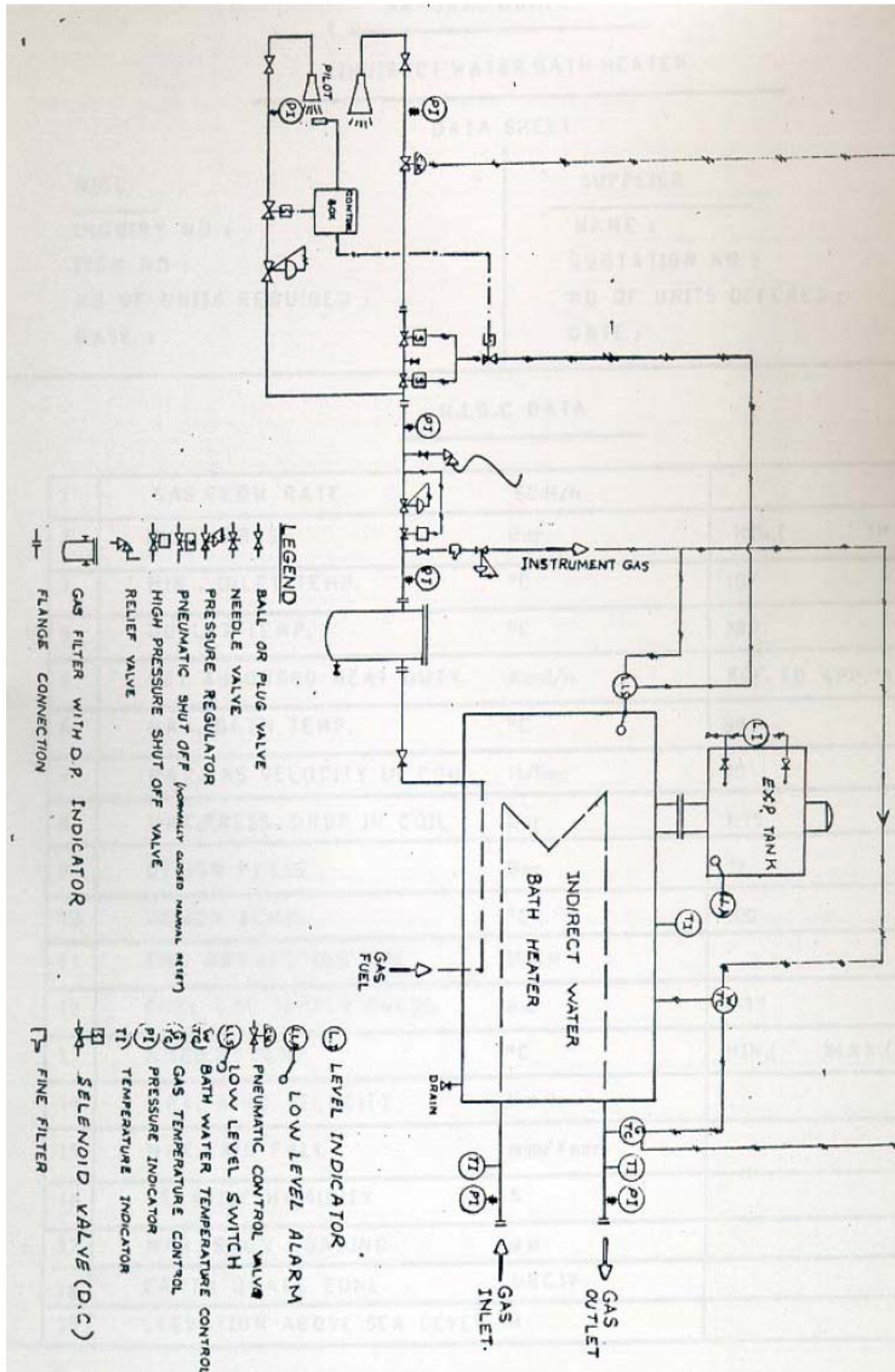
SERVICE CONDITION	Gas flow rate	Scm/h
	Inlet press.	Bar
	Min. inlet temp.	° C
	Outlet temp.	° C
	Net absorbed heat duty	Kcal/h
	Gross heat duty	Kcal/h
	Overall thermal efficiency	%
	Max. bath temp.	° C
	Max. gas velocity in coil	M/Sec
	Max. press. Drop in coil	Bar
	Fuel gas consumption	scm/h

جدول ۶: دیتای مکانیکی

End connection	Type	
	Class	
	Inlet and outlet size	Inch
Coil	Material	
	Outside and inside diameter	mm
	No. of flow paths	
	No. of passes per flow path	
	Total coil outside surface area	
	Design press.	Bar
	Design temp.	° C
Shell	Material	
	Diameter	Mm
	Length	Mm
	Insulation material and thickness	Mm

جدول ۷: دسته‌ای ابزار دقیقی

Gas temperature controller	Temp. range	°C
	Type	
	Manufacturer	
Water bath temperature controller	Temp . range	
	Type	
	Manufacturer	
Water level controller	Type	
	Manufacturer	
	Type	
Gas high pressure shut off valve	Size	Inch
	Manufacturer	
	Set pressure	Bar
W a i n	Type	



شكل ۱: یک نقشه تیپ گرمکن

ب شبیه‌سازی سه‌بعدی سیستم حفاظت کاتدیک لوله-های گاز مدفون در خاک به روش المان مرزی

چکیده

در مقاله‌ی حاضر سیستم حفاظت کاتدیک با جریان اعمالی و نیز آندفاداشونده لوله‌های مدفون به صورت عددی شبیه‌سازی شده است. برای حل عددی از روش المان مرزی استفاده شده و شرایط مرزی مسئله به صورت غیرخطی تعریف شده‌اند. لوله به صورت سه‌بعدی مدل شده و به کمک نتایج مدل‌سازی توزیع پتانسیل و جریان روی تمامی نقاط لوله تعیین می‌شود. در نهایت بمنظور طراحی بهینه سیستم جریان مناسب برای حفاظت لوله (با فرض ثابت بودن تعداد و محل آنها در روش جریان اعمالی) و تعداد و چیدمان مناسب آنها (در روش آند فداشونده) تعیین می‌شوند.

واژه‌های کلیدی: حفاظت کاتدیک، المان مرزی، مدل سه‌بعدی، لوله‌های مدفون، آندفاداشونده، جریان اعمالی

مقدمه

خوردگی گالوانیکی از مرسوم‌ترین انواع خوردگی سازه‌های فلزی می‌باشد. جهت حفاظت سازه از خوردگی گالوانیکی روش‌های متفاوتی مورد استفاده قرار می‌گیرند که از کاراترین آنها می‌توان به روش حفاظت کاتدیک اشاره نمود. روش‌های متداول در طراحی سیستم حفاظت کاتدیک بر پایه‌ی یک سری روابط و فرمول‌های تجربی بنا شده‌اند. به هر میزان که شرائط سازه و محیط پیچیده‌تر باشد، از کارائی این روش‌ها کاسته شده و نمی‌توان سیستم حفاظت کاتدیک مناسبی برای محافظت سازه طراحی نمود.

روش‌های عددی در دو دهی اخیر به عنوان ابزاری توأم‌مند در تحلیل خوردگی و روش‌های حفاظت از آن معرفی شده‌اند. به کمک این روش‌ها توزیع جریان و پتانسیل روی تمامی سطح سازه قابل تعیین می‌باشد. از این

رو علاوه بر تعیین پتانسیل لازم برای حفاظت سازه در مورد وجود پدیده‌ی پتانسیل اضافی روی سطح سازه نیز می‌توان نظر داد. از جمله این روش‌ها به روش اختلاف محدود، المان محدود و روش المان‌های مرزی می‌توان اشاره نمود. در این بین، روش المان‌مرزی بدلیل عدم نیاز به تولید شبکه درون کل تاچیه، به عبارتی انجام گسته‌سازی تنها روی سطوح سازه، از ارجحیت بالاتری نسبت به دو روش دیگر برخوردار است. علاوه بر این در مقایسه با سایر روش‌ها تعداد معادلات کمتر، ماتریس‌های کوچکتر و نیز توانایی حل مسائل با ناحیه‌ی محدود و نامحدود از دیگر قابلیت‌ها و مزایای روش المان مرزی می‌باشد.

مدل‌سازی دوبعدی سیستم حفاظت کاتدیک لوله‌های درون دریا به کمک آند فداشونده با روش المان‌مرزی توسط گری芬، وايت و پاکالاپاتی [۱] انجام شده است. در این مدل با فرض پتانسیل ثابت روی آند و در نظر گرفتن منحنی پلاریزاسیون کاتد (لوله) به صورت یک رابطه‌ی غیرخطی، به تحلیل و بررسی چگونگی توزیع پتانسیل روی لوله پرداخته شده است. کنلی، بون و اورازم نیز به مدل سازی دوبعدی سیستم حفاظت کاتدیک لوله‌هایی با پوشش معیوب پرداخته‌اند [۲]. ایشان با در نظر گرفتن سیستم حفاظت کاتدیک به روش جریان اعمالی، توزیع جریان و پتانسیل روی لوله در خاک با مقاومت بالا با استفاده از شرط مرزی خطی روی لوله محاسبه نموده‌اند. اورازم و بون در ادامه‌ی فعالیت‌های خود به بررسی و مقایسه در نظر گرفتن خرابی پوشش به صورت مرکزی و یا خرابی یکنواخت در کل پوشش که منجر به کاهش بازده پوشش می‌شود می‌پردازنند [۳]. بریچا و دکونیک به مدل‌سازی سه‌بعدی سیستم حفاظت کاتدیک به روش جریان اعمالی، لوله‌های مدفون پرداخته‌اند [۴]. مدل آنها با در نظر گرفتن افت پتانسیل در طول لوله بررسی شده و به منظور بررسی افت پتانسیل در گوشت لوله از روش المان محدود استفاده شده است. امایا و آوکی به شرح قابلیت‌های روی سطح المان‌مرزی در تحلیل مسائل خوردگی با هندسه‌های پیچیده پرداخته و برای نمونه سیستم حفاظت کاتدیک لوله‌های درون مبدل حرارتی و سازه‌های دریایی نامتقارن را تحلیل کرده‌اند [۵]. بهبهانی نژاد و همکاران نیز سیستم حفاظت کاتدیک یک لوله‌ی مدفون را در حالت دو بعدی مدل نموده و تاثیر پارامترهای مختلف چون اندازه و تعداد آندها، فاصله‌ی آند تا کاتد و نیز اثرات وجود یا عدم وجود پوشش و یا قرارگیری آن در جهات مختلف بر توزیع پتانسیل روی سطح کاتد را بررسی نمودند [۶ و ۷].

در مقاله‌ی حاضر ابتدا با توجه به منابع موجود صحت حل سه‌بعدی با شبیه‌سازی نمونه‌ی دوبعدی موجود و اعمال آن برای حالت سه‌بعدی مورد بررسی قرار می‌گیرد. پس از اطمینان از صحت نتایج، مدل سه‌بعدی سیستم حفاظت کاتدیک برای لوله‌ای با طول دلخواه که مدفون شده و به طریق آند فداشونده حفاظت می‌شود، شبیه‌سازی شده و جریان و پتانسیل در کل لوله تعیین می‌گردد. به کمک نتایج حل چیدمان صحیح آندها تعیین خواهد شد. سیستم فوق برای حالت جریان اعمالی نیز مدل شده و جریان لازم برای حفاظت تعیین شده است.

معادلات حاکم بر خوردگی گالوانیکی

عامل محرک در تولید جریان، اختلاف پتانسیل و به عبارتی تمایل فلزات برای آزاد نمودن الکترون می‌باشد. با استفاده از مفاهیم الکتروشیمیابی، معادله‌ی حاکم بر توزیع جریان و پتانسیل بدست می‌آید [۸]. طبق رابطه‌ی پیوستگی (بقای شار) تغییرات جریان در واحد حجم مناسب با شار جریان می‌باشد [۸، ۹].

$$-\nabla I = \frac{\partial q}{\partial t} \quad (1)$$

در حالت دائم، $\frac{\partial q}{\partial t}$ برابر با صفر می‌شود. از طرفی با توجه به رابطه‌ی پتانسیل با میدان الکتریکی در الکتروولیت، $E = -\nabla\phi$ و نیز قانون اهم، $I = KE$ ، معادله‌ی حاکم در الکتروولیت در حالت دائم به صورت ذیل حاصل می‌شود.

$$\nabla(K\nabla\phi) = 0 \quad (2)$$

در رابطه فوق پارامتر K بیانگر هدایت الکتریکی الکتروولیت است. حال چنانچه الکتروولیت همگن فرض شود، معادله‌ی حاکم به شکل نهائی زیر حاصل می‌گردد.

$$\nabla^2\phi = 0 \quad (3)$$

از این رو پتانسیل الکتریکی هر نقطه در الکتروولیت، معادله لaplas را ارضا می‌کند. مقدار جریان در هر نقطه از الکتروولیت به کمک رابطه‌ی ذیل تعیین می‌شود.

$$I_{xi} = -K \frac{\partial\phi}{\partial x_i} \quad (4)$$

در این رابطه I_{xi} دانسیته‌ی جریان در راستای x_i بوده و ϕ تابع پتانسیل می‌باشد.

روش المان مرزی

فرمول‌بندی این روش به طور مبسوط توسط متابع مختلف برای یک الکتروولیت همگن ذکر شده است [۱۰، ۹]. برای حل معادله لaplas همانگونه که در معادلات زیر نشان داده شده شرائط مرزی مختلفی وجود دارد که شامل موارد ذیل می‌باشد.

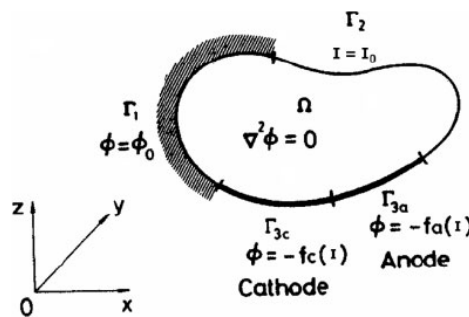
$$\phi = \phi_0 \quad \text{on} \quad \Gamma_1 \quad (5)$$

$$I = I_0 \quad \text{on} \quad \Gamma_2 \quad (6)$$

$$I_a = f(\phi) \quad \text{on} \quad \Gamma_{3a} \quad (7)$$

$$I_c = f(\phi) \quad \text{on} \quad \Gamma_{3c} \quad (8)$$

در شکل زیر Γ کل مرز ناحیه بسته‌ی Ω را تشکیل می‌دهد. شرط مرزی (۵) از نوع شرط مرزی دریچله بوده و یک پتانسیل ثابت روی مرز Γ_1 در نظر می‌گیرد. شرط مرزی (۶) (شرط نیومن) جریانی ثابت روی مرز Γ_2 اعمال کرده و شروط (۷) و (۸) یک رابطه‌ی خطی یا غیر خطی بین جریان و پتانسیل روی آند و کاتد در نظر می‌گیرند.



شکل ۱: شرایط مرزی مختلف برای حل معادله لابلاس

فرم انتگرال مرزی معادله لابلاس به صورت زیر بدست می‌آید [۱۰، ۱۱].

$$c(y)\phi(y) + \int_{\Gamma} \phi(x) I^*(y, x) d\Gamma(x) = \int_{\Gamma} I(x) \phi^*(y, x) d\Gamma(x) \quad (9)$$

* φ جواب اساسی اپراتور لابلاس می‌باشد و * I برابر با گرادیان φ در راستای عمود بر سطح است [۱۱]. با تقسیم مرز مسئله به N المان رابطه‌ی فوق را به صورت زیر می‌توان بازنویسی نمود.

$$c_i \phi_i + \sum_{j=1}^N \int_{\Gamma_j} \phi I^* d\Gamma = \sum_{j=1}^N \int_{\Gamma_j} I \phi^* d\Gamma \quad (10)$$

با اعمال معادله‌ی فوق برای تمام المان‌ها می‌توان در نهایت به فرم ماتریسی زیر رسید.

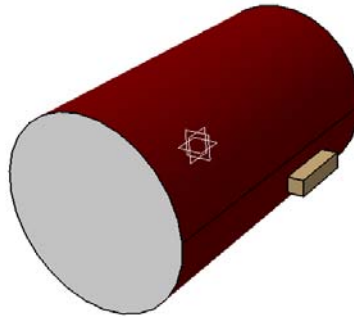
$$H\phi = GI \quad (11)$$

در این رابطه G و H ماتریس‌های تاثیر^۱ و I و φ نیز بردار مقادیر جریان و پتانسیل روی گره‌های مرز می‌باشند. [۱۰] با توجه به شرایط مرزی مختلف، روش‌های متفاوتی برای حل دستگاه معادلات رابطه‌ی (۱۱) وجود دارد. چنانچه شرایط مرزی از نوع دریچله یا نیومن باشند، دستگاه معادلات فوق به روش حذفی گوس قابل حل می‌باشند. چنانچه از رابطه‌ی خطی یا غیرخطی منحنی پلاریزاسیون روی آند و کاتد استفاده شود، نیاز به استفاده از روش‌های تکرار چون روش نیوتون رافسون می‌باشد. [۱۲، ۱۷]

^۱ Influence matrix

مورد مطالعاتی

برای تحلیل سیستم حفاظت کاتدیک یک لوله در محیط مدفون، مدلی مانند شکل ۲ در نظر گرفته شده است.



شکل ۲ : سیستم حفاظت کاتدیک برای یک لوله مدفون با یک آند

معادله‌ی حاکم بر مسئله طبق رابطه‌ی (۳) تعریف شده و شرایط مرزی برای حل روی آند و کاتد با توجه به جنس آنها و الکتروولیت تعیین می‌شوند. با در نظر گرفتن آند از جنس آلیاژ آلومینیوم و استفاده از روش آند فداشونده، پتانسیل روی آن برابر با مقدار ثابت $V = -1055 \text{ mV}$ در نظر گرفته شده ([۱، ۱۱]) و با توجه به اینکه جنس لوله‌های انتقال گاز عمدتاً از فولاد بدون درز بوده، برای منحنی پلاریزاسیون روی سطح لوله (کاتد) از رابطه‌ی زیر استفاده می‌شود [۱، ۱۱]. رابطه‌ی ذیل به کمک یک سری آزمایشات تجربی بدست آمده و در آن مقادیر مربوط به اکسایش آهن، کاهش اکسیژن و تشکیل هیدروژن لحاظ شده است.

$$i = e^{(\phi + 693.91)/24} - \left(\frac{1}{86.06} + e^{(\phi + 521.6)/23.47} \right)^{-1} - e^{-(\phi + 707.57)/55} \quad (12)$$

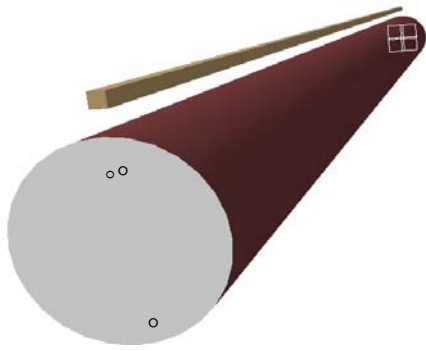
مسئله لوله در محیط مدفون یک مسئله با مرز در بی‌نهایت است. در این حالت یک مجھول به معادلات اضافه شده که برابر با مقدار پتانسیل در بی‌نهایت می‌باشد. برای تعیین این مجھول می‌بایست از معادله‌ی کمکی ذیل کمک گرفت.

$$\int_{\tau} i d\tau = 0 \quad (13)$$

طبق رابطه‌ی فوق مجموع جریان‌های خروجی از آند و ورودی به کاتد باید صفر شود

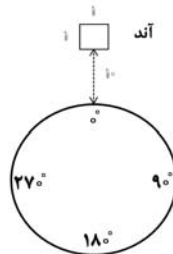
بحث و ارائه نتایج

به‌منظور اطمینان از صحت کد نگارش شده، ابتدا مسئله‌ی سه‌بعدی برای لوله با مقطع دایروی و نسبت طول به قطر ۱۰۰ و آندی با مقطع مربع و هم طول با لوله که به موازات آن قرار گرفته (شکل ۳) مدل می‌شود.



شکل ۳: کاتد و آند بی‌نهایت

پس از تحلیل و تعیین توزیع پتانسیل روی لوله از آنجا که انتظار می‌رود که توزیع پتانسیل در وسط طول لوله از زاویه 0° تا 180° مشابه با توزیع پتانسیل مسئله‌ی دو بعدی به شماتیک ارائه شده در شکل ۴ باشد. با مقایسه نتایج می‌توان صحت محاسبات را بررسی نمود. نتایج این مقایسه برای حالت‌های مختلف المان‌بندی (جدول ۱) روی لوله در شکل ۵ ترسیم شده‌است.

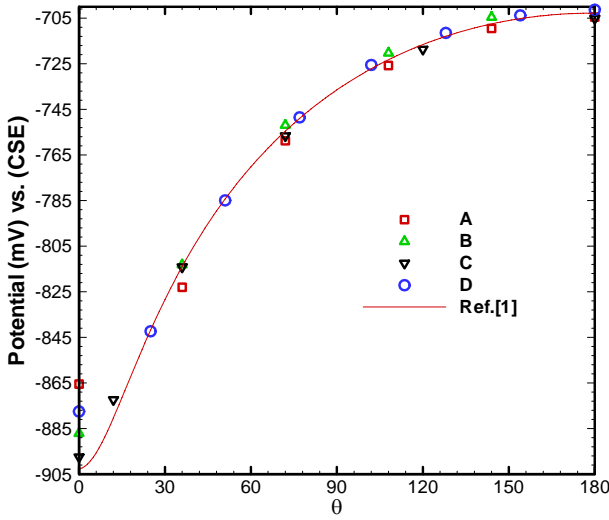


شکل ۴: شماتیک دو بعدی لوله با یک آند

جدول ۱: حالت‌های مختلف شبکه‌بندی لوله

حالت C	حالت D	حالت B	حالت A	
۱۰	۱۴	۲۰	۱۰	تعداد تقسیمات محیط لوله
۱۵۰	۷۵	۷۵	۷۵	طول المان‌ها در راستای محور
۵	-	-	-	استفاده از ضریب تراکم γ

γ Stretching factor



شکل ۵: مقایسه جواب‌های حل سه‌بعدی در وسط لوله با حل مشابه دو بعدی با شبکه‌بندی‌های مختلف با توجه به اشکال فوق و تطابق نتایج با جواب‌های حل دو بعدی از پیش گذاش شده (منبع [۱]) نتایج حاضر قابل اطمینان بوده و می‌توان از آن برای مدل‌سازی سیستم‌های حفاظت کاتدیک سه‌بعدی استفاده نمود. همانگونه که در شکل ۵ مشاهده می‌گردد تغییر طول المان‌ها در راستای محور تاثیر چندانی روی نتایج ندارد و حالت C حالت بهینه‌تری نسبت به بقیه حالات می‌باشد.

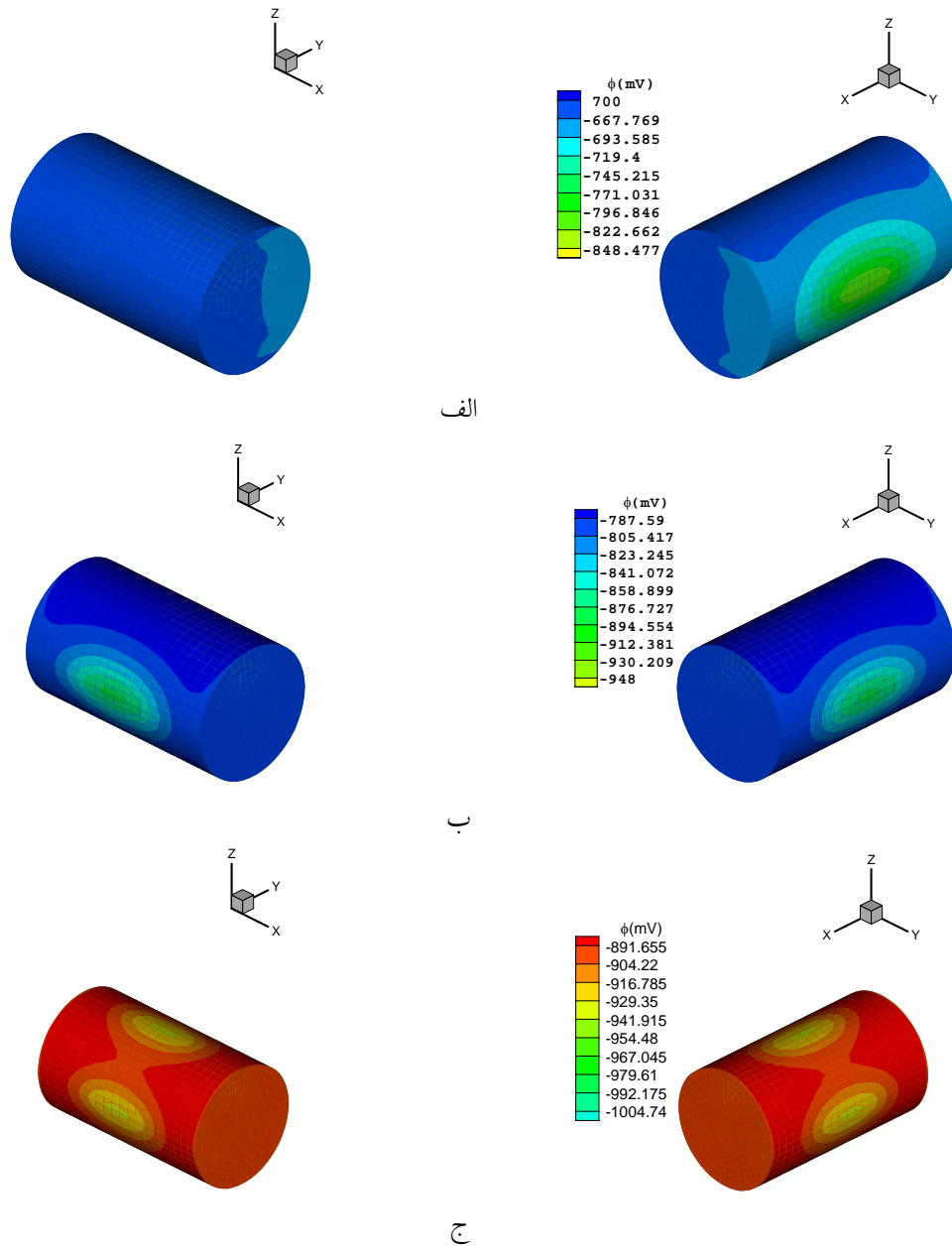
با فرض شبیه‌سازی سیستم حفاظت کاتدیک لوله‌ای مدفون در آب با مشخصات ارائه شده در جدول ۲ و استفاده از روش آند فداشونده نتایج حاصل از شبیه‌سازی در شکل ۶ (الف) ارائه شده است. فاصله‌ی بین آند و کاتد ۰/۱ متر می‌باشد.

جدول ۲: مشخصات لوله و آند

قطع	طول(متر)	جنس	
مربع با ضلع ۰/۱ متر	۰/۲	آلومینیوم (در آند فداشونده)	آند
دایره با قطر ۰/۶	۱	فولاد کم کربن	کاتد (لوله)

مطابق با نتایج این شکل، مشاهده می‌گردد که یک آند به تنها ی قادر به حفاظت از لوله نبوده و همچنان بخش‌هایی از لوله دچار خوردگی خواهند شد. برای رفع این مشکل روش‌های متعددی موجود است که از آن

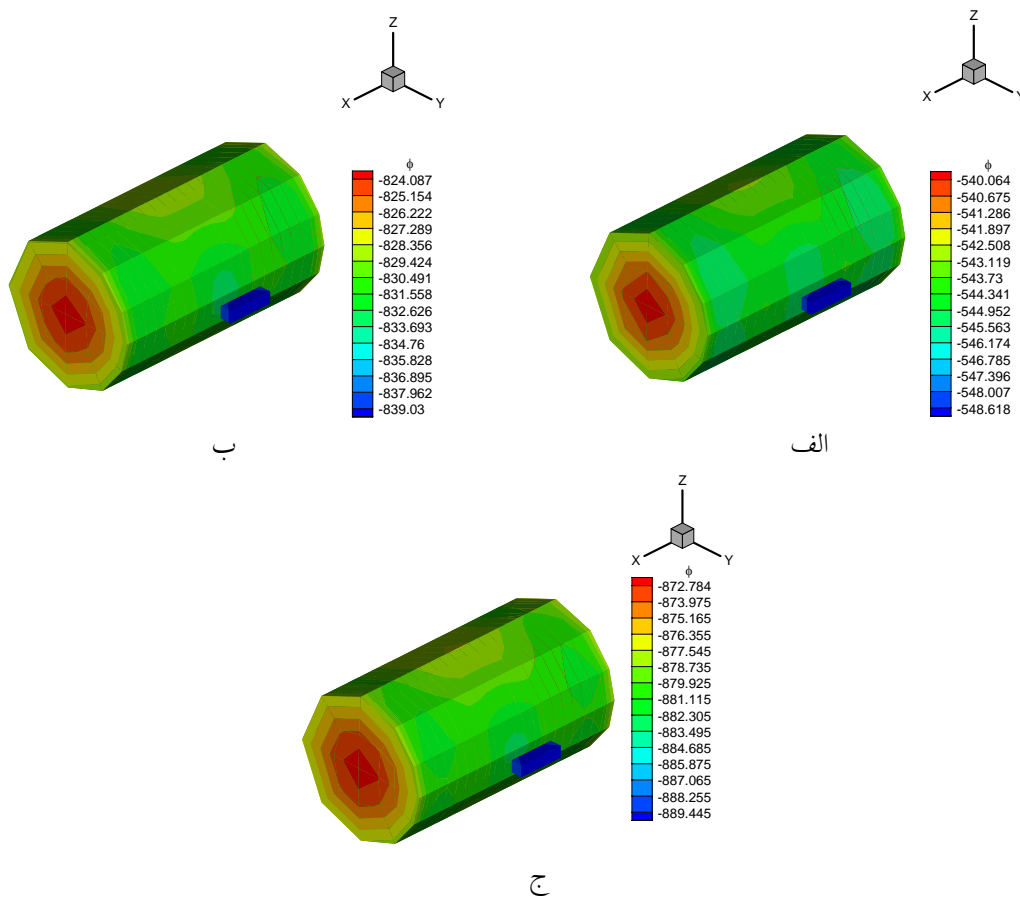
جمله می‌توان به تغییر اندازه آند، تغییر فاصله آند یا تغییر تعداد آندها اشاره نمود. در این بین تغییر تعداد آندها بیشترین تاثیر را در توزیع پتانسیل روی کاتد (لوله) خواهد داشت [۶-۷]. از این‌رو تاثیر افزایش تعداد آندها بر توزیع پتانسیل کاتد مورد بررسی قرار گرفته است. نتایج حاصل از این مدل‌سازی برای دو و چهار آند در شکل ۶ (بخش‌های ب و ج) نشان‌داده شده است.



شکل ۶: توزیع پتانسیل در روش آند فداشونده، (الف: با یک آند) – (ب: با دو آند در طرفین) – (ج: با چهار آند در چهار طرف)

مطابق با شکل های فوق، همانگونه که انتظار می رفت، انتخاب چهار آند در اطراف لوله مناسبترین حالت برای محافظت لوله می باشد.

برای مدل سازی سیستم جریان اعمالی از چیدمان ارائه شده در شکل ۲ با یک آند و مشخصات جدول ۲ استفاده می شود. با در نظر گرفتن جریان اعمال شده به آند برابر با $13/5$ میلی آمپر توزیع پتانسیل در شکل ۷ (الف) ارائه شده است. برای مشاهده اثر افزایش جریان اعمالی به آند، جریان را در حالت ثانویه به دو برابر مقدار حالت قبل رسانده و توزیع پتانسیل روی لوله ناشی از این جریان در شکل ۷(ب) ارائه شده است.



شکل ۷: توزیع پتانسیل در روش جریان اعمالی، الف : جریان برابر با $13/5$ میلی آمپر، ب: جریان برابر با 27 میلی آمپر، ج : جریان برابر با $31/5$ میلی آمپر

همانگونه که انتظار می رفت با افزایش جریان قدر مطلق پتانسیل روی لوله نیز افزایش می یابد.. جریان نهایی برای محافظت کل لوله از خوردگی برابر با $31/5$ میلی آمپر می باشد. پتانسیل لوله ناشی از این جریان در شکل ۷(ج) ارائه شده است.

نتیجه‌گیری

با توجه به نتایج بدست آمده و مقایسه آنها با سایر منابع، می‌توان نتیجه گرفت که روش حاضر قابلیت بسیار بالایی در تحلیل و مدل‌سازی دو بعدی و سه بعدی سیستم حفاظت کاتدیک لوله‌ها با شرائط مرزی غیرخطی دارد. با استفاده از این برنامه می‌توان نسبت به چیدمان صحیح آنها، تعداد آنها، محل قرارگیری و ابعاد آنها نیز میزان جریان لازم برای حفاظت لوله و یا هر سازه‌ی دیگر، اقدام نمود. از مزایای دیگر این روش می‌توان به بررسی کمی و کیفی تاثیر تغییر هر یک از عوامل فوق بر توزیع پتانسیل و جریان روی سازه اشاره نمود. با توجه به اینکه روش حاضر قادر به تعیین پتانسیل روی تمامی نقاط می‌باشد می‌توان به راحتی در مورد ایجاد یا عدم ایجاد پتانسیل اضافی روی سازه اظهار نظر نمود.

منابع

- [1] J. F. Yan, S. N. R. Pakalapati, T. V. Nguyen, R. E. White and R. B. Griffin, " Mathematical Modeling of Cathodic Protection using the Boundary Element Method with a Nonlinear Polarization Curve," *J. Electrochem. Soc.*, Vol. 139, No. 7, July 1992
- [2] K. J. Kennelley, L. Bone and M. E. Orazem, " Current and Potential Distribution on a Coated Pipeline with Holidays Part I – Model and Experimental Verification," *Corrosion Journal*, VOl. 49, N0.3, Mach 1993.
- [3] K. J. Kennelley, L. Bone and M. E. Orazem, " Current and Potential Distribution on a Coated Pipeline with Holidays Part II– Comparison of the effects of Discrete and Distributed Holidays," *Corrosion Journal*, VOl. 49, N0.3, March 1993.
- [4] F. Brichau and J.Deconinck, " A Numerical Model for Cathodic Protection of Buried Pipes ,," *Corrosion Journal*, Vol. 50, No. 1, January 1994.
- [5] K. Amaya, S. Aoki, " Effective Boundary element methods in corrosion analysis ,," *Journal of Engineering Analysis with Boundary Elements*, Vol. 27, pp. 507- 519, 2003.
- [6] بهبهانی‌نژاد، م.، چنگیزیان، م. و سببی، م.، " شبیه‌سازی عددی سیستم حفاظت کاتدیک و بررسی پارامترهای موثر در توزیع پتانسیل روی کاتد به روش المان مرزی" ، مجموعه مقالات هفتمین همایش مهندسی مواد و متالورژی ایران، نجف آباد: دانشگاه آزاد اسلامی، آذرماه ۱۳۸۶.
- [7] چنگیزیان، م.، " تحلیل عددی حفاظت کاتدیک خطوط لوله گاز طبیعی به روش المان مرزی" ، رساله جهت اخذ مدرک کارشناسی ارشد، دانشگاه شهید چمران، شهریور ۱۳۸۶.
- [8] N. Perez, " Electrochemistry and Corrosion Sience ,," KLuwer Academic Publishers, New York, 2004
- [9] A. Adey , " Modeling of Cathodic Protection System," , WIT Press, 2006.

- [10] R. A. Adey, C. A. Brebbia, S. M. Niku, "Application of boundary element in Corrosion Engineering ,". 22 Nov. 2002 (access).
- [11] L. C. Wrobel, " The Boundary Element Method, Vol I: Application in Thermo-Fluids and Acoustics ,", John Willy & Sons, LTD, 2001.
- [12] J. X. Jia, G. Song, A. Atrens, D. St John, J. Baynham and G. Chandler, "Evaluation of the BEASY Program using linear and Piecewise Linear Approaches for the Boundary Condition ,"
Journal of Material & Corrosion, Vol. 55. No. 11, 2004.

پ. تحلیل جریان گذرای گاز طبیعی با استفاده از توابع تبدیل و مقایسه نتایج آن با روش‌های عددی غیردائم

چکیده

جریان درون لوله‌های گاز به دلیل حضور تغییرات زمانی، ماهیتی غیردائم داشته و در بسیاری از موارد، فرض جریان دائم خطای بالایی دارد. با تحلیل جریان غیردائم گاز می‌توان به بررسی لحظه‌ای رفتار آن درون شبکه پرداخت. در این مقاله با استفاده از حوزه فرکانس، توابع تبدیل جریان غیردائم درون لوله‌های گاز طبیعی استخراج شده و به بررسی قابلیت آن در مدلسازی جریان پرداخته می‌شود. جهت این بررسی یافته‌های روش توابع تبدیل با نتایج بدست آمده از روش‌های عددی مستقیم (نظیر الگوریتم‌های صریح و ضمنی اختلاف محدود، روش FCT، روش‌های TVD با محدودکننده) مقایسه می‌گردد. نتایج بدست آمده نشان می‌دهد که می‌توان از روش توابع تبدیل در حالت‌هایی که میزان تغییرات زمانی خواص جریان در آنها نسبت به حالت دائم از ۷۰ درصد تجاوز نمی‌کند، به عنوان روشی که دارای دقت مناسب و سرعت محاسباتی بسیار بیشتری نسبت به سایر روش‌های عددی تحلیل مستقیم جریان غیردائم می‌باشد استفاده کرد. البته برای حالت‌های دارای تغییرات زمانی بیش از این نیز می‌توان تا درصددهایی با در نظر گرفتن نقاط دیگری برای خطی‌سازی حول آن به نتایج دقیق و رضایت‌بخشی دست یافت.

واژه‌های کلیدی: روش توابع تبدیل، جریان گذرای گاز طبیعی، حل عددی جریان گاز

مقدمه

امروزه استفاده از سیستم‌های کنترلی اتوماتیک برای تنظیم خودکار شبکه‌های گازرسانی و نگهداری شبکه شهری در حداقل فشار ممکن مدنظر می‌باشد. از طرفی به دلیل وجود یکسری تغییرات زمانی در عملیات گازرسانی، مثل راهاندازی یا از کار افتادن ایستگاه‌های تقلیل فشار و نشی خلط لوله، جریانی کاملاً غیر دائم درون لوله‌ها ایجاد می‌شود. از سوی دیگر سیستم‌های انتقال گاز طبیعی و گسترش استفاده از این منع انرژی، روز به روز پیچیده‌تر می‌گردد. لذا مدلسازی ریاضی و حل عددی جریان، یکی از ابزارهای مهم برای کمک به طراحی و مطالعات ساختاری این زمینه است.

بحث حل عددی جریان غیر دائم گاز، دارای پیشینه‌ای نسبتاً طولانی بوده و محققین مختلفی در این زمینه فعال بوده‌اند. روش‌های مختلفی هم به شکلی پراکنده در این میان بررسی و یا حتی ابداع شده است که از آن جمله می‌توان به روش خطوط مشخصه [۱]، تعداد زیادی روش اختلاف محدود از قبیل روش‌های صریح لکس-وندروف، لیپ-فراگ و پادبادسو [۲]، و روش‌های ضمنی با اختلاف مرکزی زمان، کرنکنیکلسون و ذوزنقه‌ای [۳]، اشاره کرد. در دسامبر ۱۹۷۱، گروهی به سرپرستی دکتر وایلی، از این روش‌های اختلاف محدود مرکزی ضمنی برای حل شبکه توزیع گاز طبیعی، استفاده کرده و نتایج روش خود را با روش مشخصه‌ها مقایسه کردند [۴]. تحقیقات جدیدی هم در این زمینه روی الگوریتم‌های عددی نوینی مثل روش کاهش تغییرات کلی [۵] یا روش خطوط [۶] انجام شده است؛ این روش‌ها به فرم شماتیک چندگانه با دقت بالا و با قابلیت دستکاری در شرایط مرزی می‌باشند که توسط ابراهیم و آدوومی در سال ۱۹۹۶ انجام گرفته‌اند؛ آنها با بهره‌گیری از روش رانج-کوتای بهبودیافته، حل جریان غیر دائم دو بعدی را برای حل مناطقی از شبکه انتقال گاز طبیعی که دارای ناپیوستگی‌های تندی هستند، ترتیب دادند [۷]. در سال ۲۰۰۳ نیز تنتیس و مارگاریس به حل عددی و شبیه‌سازی جریان گذرای گاز و بررسی عددی معادلات حاکم با استفاده از روش خطوط (MOL) پرداختند [۸].

در این مقاله با خطی‌سازی معادلات حاکم بر جریان غیر دائم و بردن آنها به فضای لایپلاس، توابع تبدیل جریان استخراج شده و نتایج به دست آمده از آن با نتایج روش‌های متداول حل عددی مقایسه می‌گردد.

معادلات حاکم و تعیین توابع تبدیل

در حالت کلی معادلات حاکم بر جریان غیردائم گاز با فرض جریان همدما شامل معادله بقای جرم و مومنتوم به ترتیب به شکل روابط (۱) و (۲) هستند که در آن β به شکل $1/A(dA/dx)$ است:

$$\frac{\partial \rho}{\partial t} + \frac{\partial(\rho u)}{\partial x} = -\rho u \beta \quad (1)$$

$$\frac{\partial(\rho u)}{\partial t} + \frac{\partial(\rho u^2 + P)}{\partial x} = -\frac{\rho u |u|}{2D} f - \rho g \sin \alpha - \rho u^2 \beta \quad (2)$$

با خطی سازی حول نقاط مشخص بر اساس دبی، فشار، دما و ... می‌توان به روابط زیر بر اساس دبی و فشار در ورودی و خروجی و به شکل بی‌بعد در محیط لابلس دست یافت:

$$\begin{aligned} \Delta P_{out}^* (s) &= e^{\gamma/2} \frac{2b}{2b \cosh(b) - \gamma \sinh(b)} \Delta P_{in}^* (s) + \\ &\quad - \frac{2\alpha \sinh(b)}{2b \cosh(b) - \gamma \sinh(b)} \Delta M_{out}^* (s) \end{aligned} \quad (3)$$

$$\begin{aligned} \Delta M_{in}^* (s) &= \frac{2\beta \sinh(b)}{2b \cosh(b) - \gamma \sinh(b)} \Delta P_{in}^* (s) + \\ &\quad + e^{-\gamma/2} \frac{2b}{2b \cosh(b) - \gamma \sinh(b)} \Delta M_{out}^* (s) \end{aligned} \quad (4)$$

حال با استفاده از بسط تیلور می‌توان دستگاه به دست آمده را ساده‌تر کرد:

$$F_{P_{out}, P_{in}}(s) = k_1 \frac{1}{1 + a_1 s + a_2 s^2} \quad (5)$$

$$F_{P_{out}, M_{out}}(s) = k_2 \frac{1 + b_1 s + b_2 s^2}{1 + \hat{a}_1 s + \hat{a}_2 s^2} \quad (6)$$

$$F_{M_{in}, P_{in}}(s) = \frac{c_1 s + c_2 s^2}{1 + \hat{a}_1 s + \hat{a}_2 s^2} \quad (7)$$

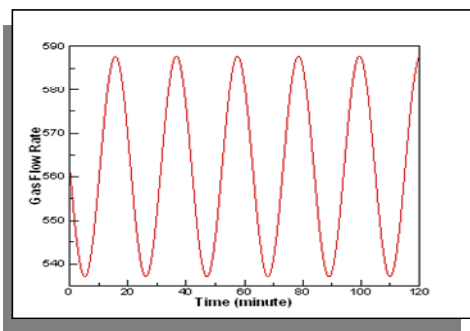
$$F_{M_{in}, P_{in}}(s) = \frac{c_1 s + c_2 s^2}{1 + \hat{a}_1 s + \hat{a}_2 s^2} \quad (8)$$

که هر کدام از پارامترهای این روابط بر اساس هندسه لوله و فیزیک مسأله بیان می‌شوند. نهایتاً با جایگزینی توابعی که در روابط (5) تا (8) به دست آمده‌اند می‌توان به محیط سیمولینکی شکل ۱ دست یافت. این حالت برای لوله‌ای است که در آن مقدار تغییرات زمانی دبی خروجی و فشار ورودی معلوم است. اما برای حالت‌های دیگر با مقادیر معلوم غیر از این می‌توان دستگاه معادله (۳)-(۴) را بر حسب آنها نوشت و مدل مشابهی را استخراج نمود.

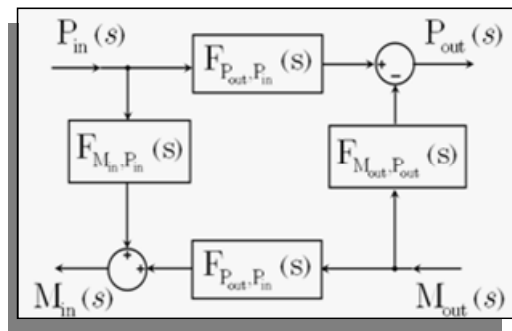
نتایج بدست آمده

جهت بررسی قابلیت این مدل در تحلیل جریان غیر دائم، لوله‌ای با طول ۴۴.۹ مایل و قطر ۸.۵ اینچ که در آن ضریب اصطکاک 0.3 . ثابت فرض می‌گردد، درنظر گرفته شده‌است. این مسئله یک بار برای زمان 120 دقیقه، بدون تغییرات فشار ورودی و با تغییرات دبی خروجی نشان داده شده در شکل ۲ و یکبار هم با دبی خروجی مطابق شکل ۳ مورد مطالعه قرار گرفت. نتایجی که از این مدلها بدست آمده‌اند به ترتیب در شکل ۴ با روش ضمنی و در شکل ۵ با روش TVD و نتایج تجربی مقایسه شده‌اند.

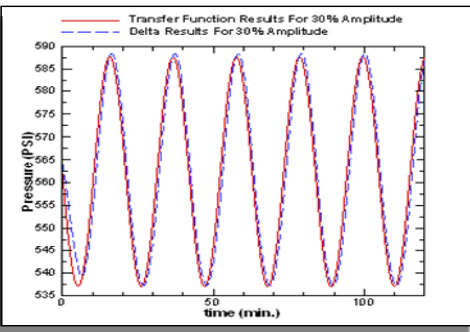
ملاحظه می‌شود که دقت توابع تبدیل در مقایسه با روش‌های عددی بسیار مناسب است. از طرفی با توجه به مقادیر جدول ۱ سرعت بالای انجام محاسبات در این روش نتیجه می‌شود.



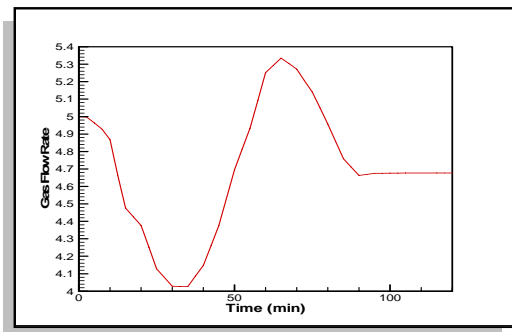
شکل ۲: تغییرات هارمونیک دبی خروجی



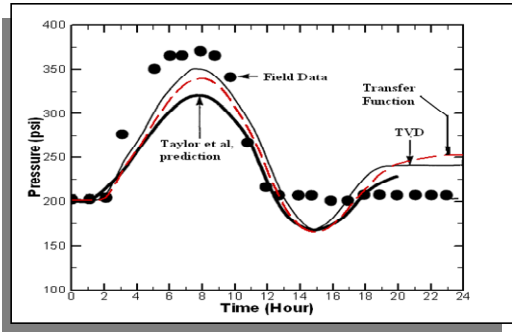
شکل ۱: نمونه‌ای از فرم توابع تبدیل مسئله



شکل ۴: مقایسه نتایج با روش ضمنی



شکل ۳: تغییرات دلخواه دبی خروجی



شکل ۵: مقایسه نتایج با روش‌های عددی و تجربی

جدول ۱: مقایسه زمان CPU لازم برای تحلیل با روش‌های عددی مختلف

نام روش عددی	زمان مورد نیاز (بر حسب ثانیه)
FCT	۱۱۲۰.۲۰
ضمنی	۳۴.۵۲
توابع تبدیل	۱.۱۸

مراجع

- [1] M.J. Zucrow, J.D. Hofmann, “Gas Dynamics”, Vols. I & II, Willey Press, 1976.
- [2] H.H. Rachford, T. Dupont, “A fast highly accurate means of modeling transient flow in gas pipelines by variational methods”, Soc. Pet. Eng. J. 14, 1974, 165–178.
- [3] S. Abarbanel, D. Gottlieb, E. Turkel, “Difference schemes with four order accuracy for hyperbolic”, SIAM J. Appl. Math. 29, 1975, 329–351.
- [4] E.B. Wylie, M.A. Stoner and V.L. Streeter, “Network System Transient Calculation by Implicit Methods”, Soc. Eng. J., 1971, 356-362.
- [5] J. Zhou, M.A. Adewumi, “Simulation of transients in natural gas pipelines using hybrid TVD schemes”, Int. J. Numer. Methods Fluids 32, 2000, 407–437.
- [6] W.E. Schiesser, “The Numerical Method of Lines”, Academic Press, 1991.
- [7] Ibraheem, S.O. and Adewumi, M.A, “Higher-Resolution Numerical Solution for Two-Dimensional Transient Natural Gas Pipeline Flows”, Society of Petroleum Engineers, SPE 35626, 1996, 473-482.
- [8] Tentis E., Margaris D., Papanikas D., (2003), “Transient gas flow simulation using an Adaptive Method of Lines”, Fluid Mechanics Laboratory, University of Patras, 26500 Patras, Greece, pp 481-487

ت. کتابخانه سیمولینکی برای شبیه‌سازی جریان غیردائم گاز درون شبکه (مقاله)

در این پیوست به ارائه اولین مقاله پذیرفته شده در همایش مکانیک سیالات آلمان (ICFM 2008) تحت عنوان ”کتابخانه سیمولینکی برای شبیه‌سازی جریان غیردائم گاز درون شبکه“ پرداخته می‌شود.

A MATLAB Simulink Library for Transient Flow Simulation of Gas Networks

M. Behbahani-Nejad and A. Bagheri

Abstract— An efficient transient flow simulation for gas pipelines and networks is presented. The proposed transient flow simulation is based on the transfer function models and MATLAB-Simulink. The equivalent transfer functions of the nonlinear governing equations are derived for different types of the boundary conditions. Next, a MATLAB-Simulink library is developed and proposed considering any boundary condition type. To verify the accuracy and the computational efficiency of the proposed simulation, the results obtained are compared with those of the conventional finite difference schemes (such as TVD, method of lines, and other finite difference implicit and explicit schemes). The effects of the flow inertia and the pipeline inclination are incorporated in this simulation. It is shown that the proposed simulation has a sufficient accuracy and it is computationally more efficient than the other methods.

Keywords— gas network, MATLAB-Simulink, transfer functions, transient flow.

I. INTRODUCTION

NATURAL gas transportation and distribution are commonly accomplished in many countries through the gas pipelines and networks. Due to the on-line networks controlling and reasons that are incidental or/and accidental to the operation of gas transmission pipelines or networks, transient flows do commonly arise. Thus, pipeline operations are actually transient processes and in fact steady state operations are rarity in practice. The governing equations for a transient subsonic flow analysis of natural gas in pipelines are a set of two nonlinear hyperbolic partial differential equations. Many algorithms and numerical methods such as implicit and explicit finite differences, method of characteristics and so on, have been applied by several researchers for transient flow in gas pipelines. Reddy et al. have proposed an efficient transient flow simulation for gas pipelines and networks using the transfer functions in Laplace domain. They derived the equivalent transfer functions for the governing equations and then, using the convolution theorem, they obtained the series form of the output in the time domain. In the present study the transient flow transfer functions are employed with another efficient approach. The object of this paper is to prepare a MATLAB-Simulink library in order to simulate the transient flow in gas pipelines and networks. For this purpose, the transfer functions of a single pipeline are derived and applied to develop a MATLAB-Simulink library. Next, this library is used for a gas pipeline transient flow simulation and its accuracy and efficiency is compared with those results obtained by an accurate implicit nonlinear finite difference scheme. The idea is then extended for a typical network simulation. The results obtained show that proposed simulation has a sufficient accuracy and is more efficient than the other methods.

Some of investigators have neglected inertia term in momentum equation to linearize partial differential set of equations. However, it will result in loss of accuracy. Yow introduced the concept of inertia multiplier to partially account the effect of the inertia term. Osiadacz et al. simulated transient gas flow with isothermal assumption without neglecting any terms in momentum equation for gas networks. Kiuchi used an implicit method to analyze unsteady gas networks at isothermal

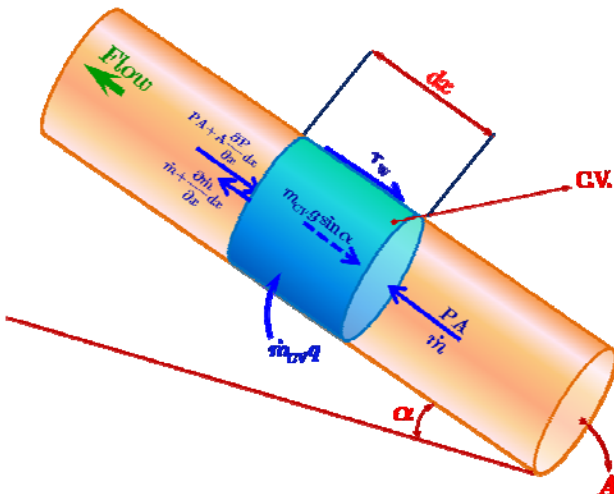


Fig. 1: A control volume in a general gas pipeline

conditions. Dukhovnaya and A. Michael, Zhou and Adewumi, Tantis et al. have used an adaptive method of lines to simulate the transient gas flow in pipelines. Ke and Ti analyzed isothermal transient gas flow in the pipeline networks using

the electrical models for the loops and nodes.

Error! Reference source not found. Recently and in a new work, Gonzales et al. have used MATLAB-Simulink and prepared some S-functions to simulate transient flow in gas networks. At their work, two simplified models have derived containing Crank-Nicolson algorithm and method of characteristics.

Reddy et al. have proposed an efficient transient flow simulation for gas pipelines and networks using the transfer functions in Laplace domain. They derived the equivalent transfer functions for the governing equations and then, using the convolution theorem, they obtained the series form of the output in the time domain. In the present study the transient flow transfer functions are employed with another efficient approach. The object of this paper is to prepare a MATLAB-Simulink library in order to simulate the transient flow in gas pipelines and networks. For this purpose, the transfer functions of a single pipeline are derived and applied to develop a MATLAB-Simulink library. Next, this library is used for a gas pipeline transient flow simulation and its accuracy and efficiency is compared with those results obtained by an accurate implicit nonlinear finite difference scheme. The idea is then extended for a typical network simulation. The results obtained show that proposed simulation has a sufficient accuracy and is more efficient than the other methods.

II. MATHEMATICAL MODEL

The set of partial differential equations describing the general one-dimensional compressible gas flow dynamics through a pipeline under isothermal conditions is obtained by applying the conservation of mass, momentum and an equation of state relating the pressure, density and the temperature. For a general pipe as shown in Fig. 1, these hyperbolic partial differential equations are

$$\frac{\partial \rho}{\partial t} + \frac{\partial (\rho u)}{\partial x} = 0 \quad (1)$$

$$\frac{\partial (\rho u)}{\partial t} + \frac{\partial (\rho u^2 + P)}{\partial x} = -\frac{\rho u |u|}{2D} f - \rho g \sin \alpha \quad (2)$$

$$P = \rho Z R_g T \quad (3)$$

where ρ is the gas density, P is the pressure, u is the gas axial velocity, g is the gravitational acceleration, α is the pipe inclination, f is the friction coefficient, Z is the gas compressibility factor, and D is the pipeline diameter.

The governing equations in matrix form are

$$\frac{\partial \mathbf{U}}{\partial t} + \frac{\partial \mathbf{F}}{\partial x} = \mathbf{R} \quad (4)$$

where

$$\mathbf{F} = \begin{bmatrix} \rho u \\ \rho u^2 + P \end{bmatrix}, \quad \mathbf{R} = \begin{bmatrix} 0 \\ -\frac{\rho u |u|}{2D} f - \rho g \sin \alpha \end{bmatrix} \quad (5)$$

Another form of the relations (1) and (2) versus the gas pressure and the mass flow rate can be written as **Error! Reference source not found.**

$$\frac{\partial}{\partial t} \left(\frac{P}{(1+\hat{k}P)RT} \right) + \frac{1}{A} \frac{\partial \dot{m}}{\partial x} = 0 \quad (6)$$

$$\begin{aligned} \frac{\partial P}{\partial x} &= -\frac{1}{A} \frac{\partial \dot{m}}{\partial t} - RT \frac{\partial}{\partial x} \left(\frac{1+\hat{k}P}{A^2 P} \dot{m}^2 \right) \\ &\quad - \frac{f}{2DA^2} \frac{\dot{m} |\dot{m}|}{P} (1+\hat{k}P) RT - g \frac{\Delta h}{L} \frac{P}{(1+\hat{k}P)RT} \end{aligned} \quad (7)$$

where \dot{m} shows the mass flow rate and \hat{k} is an experimental parameter which is used to compute the compressibility factor, i.e.

$$Z = 1 + \hat{k}P \quad (8)$$

III. FINITE DIFFERENCE SCHEME

The implicit Steger-Warming flux vector splitting method (FSM) in delta formulation has been used as the numerical scheme. This method is chosen, because it doesn't have the problem of numerical instability **Error! Reference source not found.** The finite difference form of the governing equations is

$$\begin{aligned} -\frac{\Delta t}{\Delta x} \mathbf{A}_{i-1}^+ \Delta \mathbf{U}_{i-1} + \left\{ \mathbf{I} + \frac{\Delta t}{\Delta x} (\mathbf{A}_i^+ - \mathbf{A}_i^-) - \Delta t \mathbf{B}_i \right\} \Delta \mathbf{U}_i \\ + \frac{\Delta t}{\Delta x} \mathbf{A}_{i+1}^- \Delta \mathbf{U}_{i+1} = \\ -\frac{\Delta t}{\Delta x} \left\{ (\mathbf{F}_i^+ - \mathbf{F}_{i-1}^+) + (\mathbf{F}_{i+1}^- - \mathbf{F}_i^-) \right\} + \Delta t \mathbf{R}_i \end{aligned} \quad (9)$$

where

$$\Delta \mathbf{U} = \mathbf{U}^{n+1} - \mathbf{U}^n \quad (10)$$

and subscript i indicates the spatial grid point, superscript n indicates the time level, and moreover

$$\begin{aligned} \mathbf{A}^+ &= \begin{pmatrix} \frac{c^2 - u^2}{2c} & \frac{u+c}{2c} \\ \frac{(u+c)^2(c-u)}{2c} & \frac{(u+c)^2}{2c} \end{pmatrix}, \\ \mathbf{A}^- &= \begin{pmatrix} \frac{u^2 - c^2}{2c} & \frac{c-u}{2c} \\ \frac{(u+c)(c-u)^2}{2c} & -\frac{(c-u)^2}{2c} \end{pmatrix} \\ \mathbf{F}^+ &= \begin{pmatrix} \frac{\rho(u+c)}{2} \\ \frac{\rho(u+c)^2}{2} \end{pmatrix}, \quad \mathbf{F}^- = \begin{pmatrix} \frac{\rho(u-c)}{2} \\ \frac{\rho(u-c)^2}{2} \end{pmatrix} \end{aligned} \quad (11)$$

where c is the speed of acoustic wave in the gas flow. When (9) is applied to each grid point, a block tridiagonal system of algebraic equations will be obtained. This equations system can be solved at each time step using Thomas algorithm,

which results in $\Delta \mathbf{U}$. Next, \mathbf{U} at the advanced time level can be calculated using (10).

IV. FLOW TRANSFER FUNCTIONS

To obtain the flow transfer functions, P_o , T_o , A_o , and ρ_o are considered as the reference values and the nonlinear partial differential equations (6) and (7) are linearized about them. Moreover, these reference values are also considered to define the corresponding dimensionless variables expressed as

$$\begin{aligned} \xi &= \frac{x}{L} \\ t^* &= \frac{tc}{L} \\ P^* &= \rho^* = \frac{P}{P_o} \\ \dot{m}^* &= \dot{m} c / P_o A_o \\ u^* &= \frac{u_o}{c} \end{aligned} \quad (12)$$

where u_o is the average gas velocity in the pipe and is calculated as **Error! Reference source not found.**

$$u_o = \frac{(\dot{m}_{in} + \dot{m}_{out}) Z_0 R T_0}{(P_{in} + P_{out}) A_o} \quad (13)$$

When the governing equations (6) and (7) are linearized and the nondimensional variables are used, with some mathematical manipulations one obtains **Error! Reference source not found.**

$$\frac{\partial \Delta \dot{m}^*}{\partial \xi} = -\frac{\partial \Delta P^*}{\partial t^*} \quad (14)$$

$$\begin{aligned} \left[1 - u^{*2} \right] \frac{\partial \Delta P^*}{\partial \xi} &= -\frac{\partial \Delta \dot{m}^*}{\partial t^*} + 2u^* \frac{\partial \Delta P^*}{\partial t^*} - \\ &\quad \left[u^* f L^* \Delta \dot{m}^* + \left\{ \frac{f L^*}{2} u^* |u^*| - \frac{g \Delta h}{c^2} \right\} \Delta P^* \right] \end{aligned} \quad (15)$$

where

$$\begin{aligned} \Delta P^* &= P^* - P_o^* \\ \Delta \dot{m}^* &= \dot{m}^* - \dot{m}_o^* \end{aligned} \quad (16)$$

Since for the practical subsonic transient flows $u^* = u_o / c \ll 1$, one can omits u^{*2} at the left hand side of (15). Taking the Laplace transform of (14) and (15), yields the following two coupled linear ordinary differential equations

$$\frac{\partial \Delta \dot{m}^*(s)}{\partial \xi} = -s \Delta P^*(s) \quad (17)$$

$$\begin{aligned} \frac{\partial \Delta P^*(s)}{\partial \xi} &= - \left[[u^* f L^* + s] \Delta \dot{m}^*(s) + \right. \\ &\quad \left. \left\{ \frac{f L^*}{2} u^* |u^*| - \frac{g \Delta h}{c^2} + 2u^* s \right\} \Delta P^*(s) \right] \end{aligned} \quad (18)$$

After imposing the boundary conditions, the above system of ODE can be solved. For example, if the gas pressure at the

inlet and the mass flow rate at the pipe outlet are specified as functions of time, the above system of ODE results in

$$\left\{ \begin{array}{l} \Delta P_{out}^*(s) = e^{\gamma/2} \frac{2b}{2b \cosh(b) - \gamma \sinh(b)} \Delta P_{in}^*(s) + \\ \quad - \frac{2\alpha \sinh(b)}{2b \cosh(b) - \gamma \sinh(b)} \Delta M_{out}^*(s) \\ \\ \Delta M_{in}^*(s) = \frac{2\beta \sinh(b)}{2b \cosh(b) - \gamma \sinh(b)} \Delta P_{in}^*(s) + \\ \quad + e^{-\gamma/2} \frac{2b}{2b \cosh(b) - \gamma \sinh(b)} \Delta M_{out}^*(s) \end{array} \right. \quad (19)$$

where α, β, b and γ are defined in appendix A. After Taylor-expansion of the hyperbolic terms in (19), the simplified transfer functions are

$$\left\{ \begin{array}{l} \Delta P_{out}^*(s) = F_{P_{out}, P_{in}} \Delta P_{in}^*(s) + F_{M_{out}, P_{out}} \Delta M_{out}^*(s) \\ \Delta M_{in}^*(s) = F_{M_{in}, P_{in}} \Delta P_{in}^*(s) + F_{M_{in}, M_{out}} \Delta M_{out}^*(s) \end{array} \right. \quad (20)$$

where

$$F_{P_{out}, P_{in}}(s) = k_1 \frac{1}{1 + a_1 s + a_2 s^2} \quad (21)$$

$$F_{M_{in}, P_{in}}(s) = \frac{c_1 s + c_2 s^2}{1 + \hat{a}_1 s + \hat{a}_2 s^2} \quad (22)$$

$$F_{P_{out}, M_{out}}(s) = k_2 \frac{1 + b_1 s + b_2 s^2}{1 + \hat{a}_1 s + \hat{a}_2 s^2} \quad (23)$$

$$F_{M_{in}, M_{out}}(s) = \frac{1}{1 + d_1 s + d_2 s^2} \quad (24)$$

The coefficients of the above expansions are also presented in appendix A. For other types of the boundary conditions, similar relations can be obtained.

V. MATLAB SIMULINK MODEL

When the flow transfer functions are obtained, they can be used to make a MATLAB-Simulink model for transient analysis. Fig. 2 shows a Simulink model for a single pipe when the gas pressure at the inlet and the mass flow rate at the outlet are known. For other boundary conditions, similar models can be made.

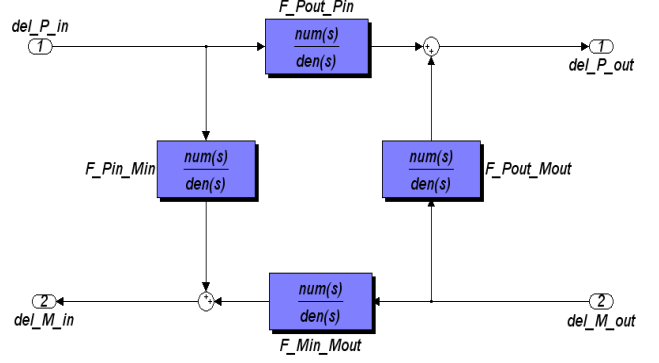


Fig. 2: A simulink model when the pipeline inlet pressure and the outlet gas flow rate are known

At the present work, a Simulink library for each type of the boundary conditions is made in the MATLAB-Simulink browser that is called as shown in Fig. 3. In this library each block has two inputs which are known from the boundary conditions, and two outputs as the results of the transient simulation. Then, the proposed approach is extended to simulate a gas network. A typical network which has been studied by Ke and Ti **Error! Reference source not found.** is considered and simulated with the proposed approach. Fig. 4 shows a schematic of this network and its Simulink model is illustrated in Fig. 5. The accuracy of the obtained results and the computational efficiency of the proposed simulation are discussed in the next section.

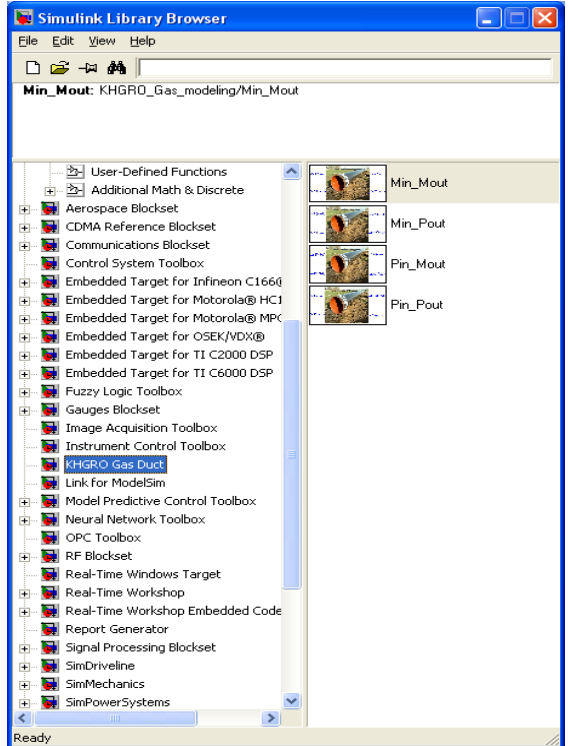


Fig. 3: The present MATLAB-Simulink

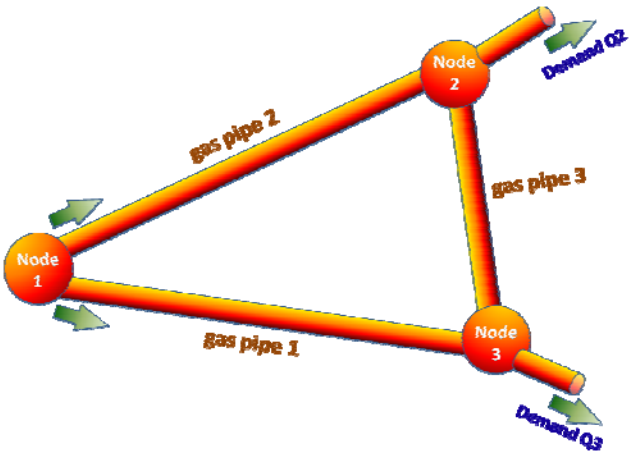


Fig. 4: The gas pipeline network

The pipeline transports natural gas of 0.675 specific gravity at 10°C . The gas viscosity is $1.1831 \times 10^{-5} \text{ N.sec/m}^2$, while the pipeline wall roughness is 0.617 mm and isothermal sound speed equals 367.9 m/s . At the pipeline's inlet, the gas pressure is kept constant at 4.205 MPa , whereas the pipe's mass flow rate at the outlet varies with a 24-hour cycle, corresponding to changes in consumer demand within a day as depicted in Fig. 6.

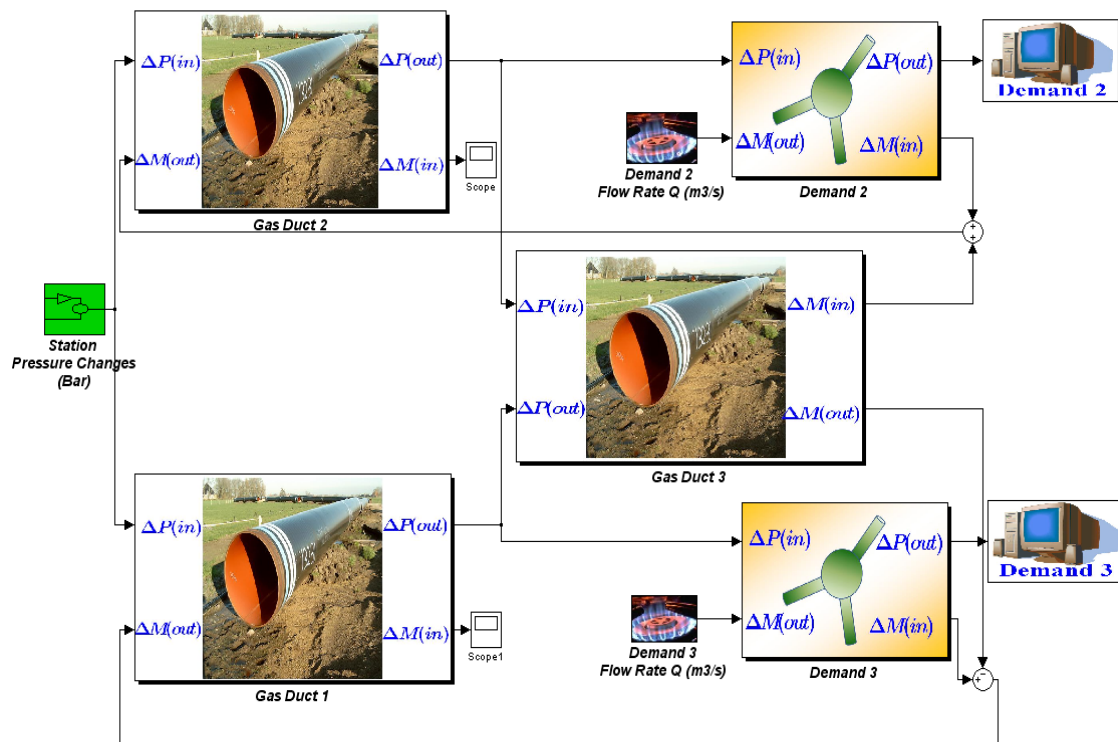


Fig. 5: Simulink model of the gas pipeline network

VI. RESULTS AND DISCUSSIONS

The results of the proposed transient simulation are compared with those of the implicit FSM as an accurate nonlinear finite difference scheme. In order to verify the accuracy of the present implicit FSM, a 72259.5 m long pipeline of 0.2 m diameter was considered as a test case. The test case which its experimental results are available, has been studied by Taylor et al. **Error! Reference source not found.**, Zhou and Adewumi **Error! Reference source not found.**, and also by Tentis et al. **Error! Reference source not found.**

Fig. 7 illustrates the present results of FSM for pressure time changes at the pipe outlet, along with those of the others **Error! Reference source not found.**, **Error! Reference source not found.**, **Error! Reference source not found.** and the experiments. There are some differences between the present nonlinear FSM results with those obtained by the others. However, when they are compared with the experiments, it seems that all of the numerical methods have the nearly similar differences with experiments. The interesting point is the accuracy of the results of the proposed transfer function model. As it is seen in Fig. 7, the present transfer function model can predict the transient behavior of the outlet pressure as nearly accurate as the nonlinear finite difference models.

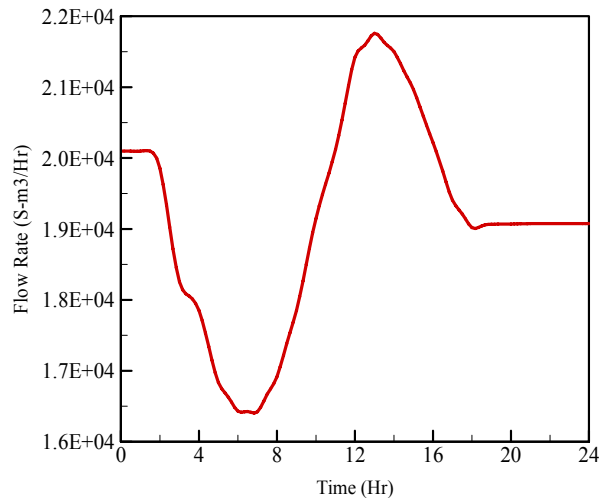


Fig. 6: A 24-hour irregular flow imposed at the pipe outlet

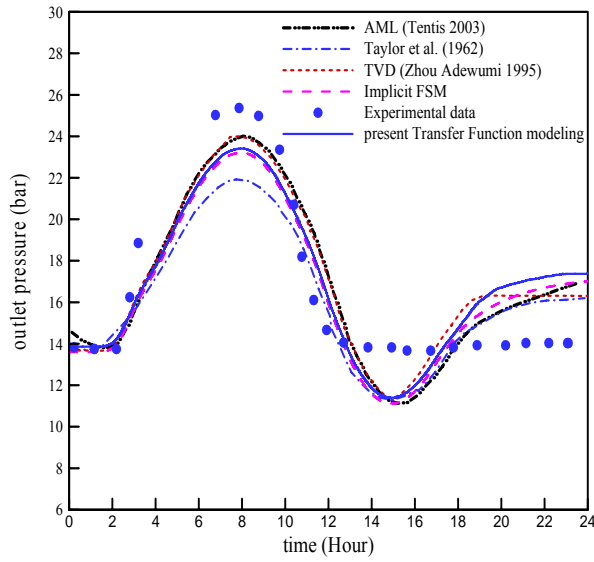


Fig. 7: Comparison of pressure time history at the outlet

A harmonic demand as shown in Fig. 8 was imposed at the pipe outlet as another test case. From Fig. 9, it is observed that the present transfer function model can well follow the results of the implicit FSM after a few minutes. The relatively large errors at the initial times are expected because at these times the outlet pressure does not achieve its purely harmonic behavior.

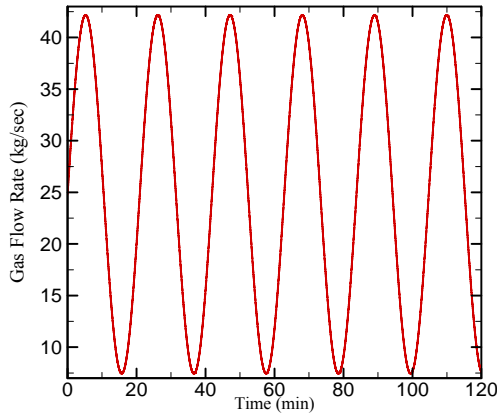


Fig. 8: A periodic demand imposed at the pipe outlet

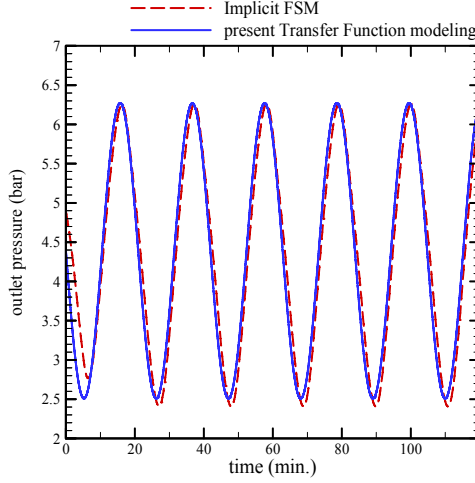


Fig. 9: The gas outlet pressure predicted by the present simulation and implicit FSM

Finally, a typical network as shown in Fig. 4 was considered to confirm the results of the present gas network simulation. The geometrical data of the network is introduced in Table I and the gas demand at the nodes 2 and 3 are illustrated in Fig. 10. The pressure source in the network is node 1 which is maintained at a constant pressure of 50 bar. The gas specific gravity is approximately 0.6, the operational temperature is 278 K, and the friction factor is considered to be constant and equal to 0.003. The present simulation results are compared with those obtained by Ke and Ti **Error! Reference source not found.** in Figs. 11 and 12. As is shown in the figures a good agreement is observed although some differences exist at the sharp points. This behavior implies that the transfer function model results in the sharp changes in the outlet pressure if the demand at the outlet is sharp.

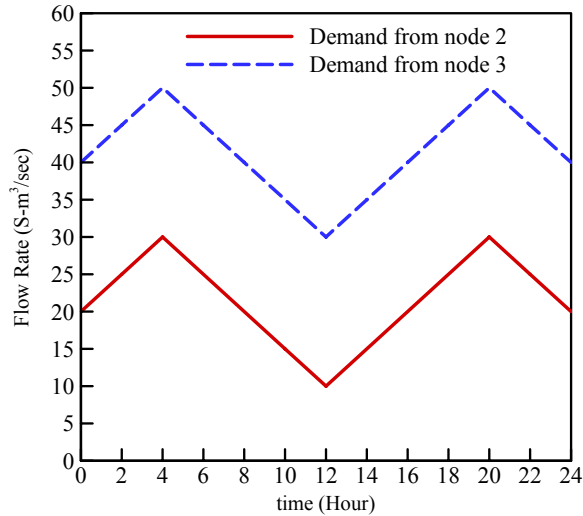


Fig. 10: demands versus time for nodes 2 and 3 of the simulated network

Table I: pipe geometrical data for the related network

Gas Duct ID	From node	To node	Diameter (m)	Length (km)
-------------	-----------	---------	--------------	-------------

1	1	3	0.6	80
2	1	2	0.6	90
3	2	3	0.6	100

The computational efficiency of the proposed simulation is compared with the implicit FSM through the results presented in Table II. It is observed that the proposed simulation is extremely efficient than the conventional finite difference methods.

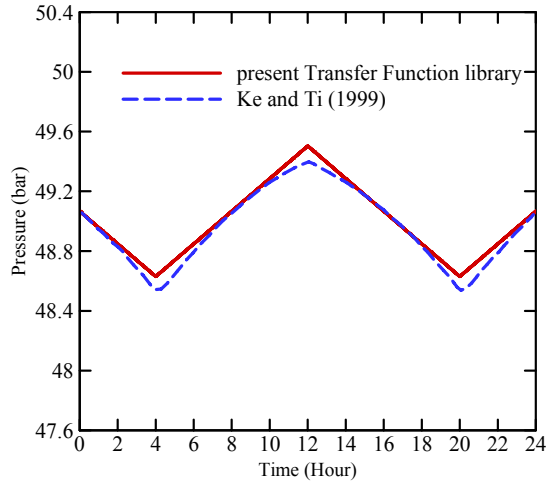


Fig. 11: Outlet pressure results for nodes 2

Table II: Speed comparison between used methods

method	CPU time (s)
transfer function (current study)	1.18
implicit method	34.52

VII. CONCLUSIONS

The proposed simulation can be applied to analyze the transient flow of natural gas in pipelines and networks with a sufficient accuracy. Since the proposed simulation is used the transfer functions of the transient gas flows, it is more computationally efficient than the other finite difference methods. On the other hand, it is an easy task to analyze the transient flows with any boundary condition types using the proposed MATLAB-Simulink library. Moreover, one can assemble the transfer functions of all the network pipes to simulate the dynamic behavior of a gas network. The present study is shown that the proposed simulation extremely reduces the computational time comparing the other numerical schemes. However, because the present simulation is based on the flow transfer functions it only gives the endpoints results and not those distributions along the pipelines.

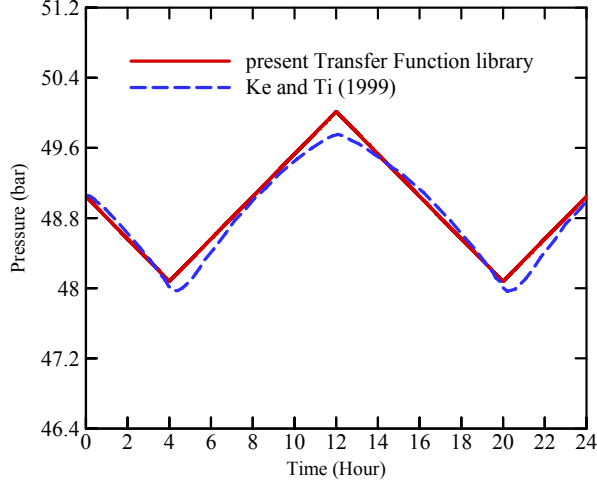


Fig. 12: Outlet pressure results for nodes 3

APPENDIX A

In this appendix, the algebraic expressions of the parameters used in (19) and (21)-(24) are presented. α , β , γ and b which are used in (19) are stated as **Error! Reference source not found.**

$$\begin{aligned}\alpha(s) &= \alpha_1 + \alpha_2 s \\ \beta(s) &= \beta_1 s \\ \gamma(s) &= \gamma_1 + \gamma_2 s \\ b(s) &= \sqrt{\gamma^2 + 4\alpha\beta} / 2\end{aligned}\tag{A-1}$$

where

$$\begin{aligned}\alpha_1 &= |u^*| f L^*, \quad \alpha_2 = L/c, \quad \beta_1 = L/c, \\ \gamma_1 &= \frac{f L^*}{2} u^* |u^*| - \frac{g \Delta h}{c^2}, \quad \gamma_2 = 2u^* L/c\end{aligned}\tag{A-2}$$

The other parameters which have been used in (21)-(24) are **Error! Reference source not found.**

$$\hat{a}_1 = e^{\frac{\gamma_1}{2}} \left[\frac{1}{2} \alpha_1 \beta_1 \left(1 - \frac{1}{6} \gamma_1 + \frac{1}{24} \gamma_1^2 - \frac{1}{240} \gamma_1^3 + \dots \right) \right] - \frac{\gamma_2}{2}\tag{A-3}$$

$$\begin{aligned}\hat{a}_2 &= e^{\frac{\gamma_1}{2}} \left[\frac{1}{24} \alpha_1^2 \beta_1^2 \left(1 - \frac{1}{10} \gamma_1 \right) + \right. \\ &\quad \left. \frac{1}{2} \alpha_2 \beta_1 \left(1 - \frac{1}{6} \gamma_1 + \frac{1}{24} \gamma_1^2 - \frac{1}{240} \gamma_1^3 + \dots \right) \right] - \\ &\quad \frac{1}{12} \alpha_1 \beta_1 \gamma_2 \left(1 - \frac{1}{2} \gamma_1 - \frac{1}{16} \gamma_1^2 - \dots \right) \left] + \frac{1}{8} \gamma_2^2 \right]\end{aligned}\tag{A-4}$$

$$k_1 = e^{\gamma_1}\tag{A-5}$$

$$a_1 = \hat{a}_1 - \frac{1}{2} \gamma_2 \quad (\text{A-6})$$

$$a_2 = \hat{a}_2 + \frac{1}{8} \gamma_2^2 - \frac{1}{2} \gamma_2 \hat{a}_1 \quad (\text{A-7})$$

$$k_2 = e^{\frac{\gamma_1}{2}} \alpha_1 \left(1 + \frac{1}{24} \gamma_1^2 + \frac{1}{1920} \gamma_1^4 \right) \quad (\text{A-8})$$

$$b_1 = \frac{\alpha_2}{\alpha_1} + \frac{\left(\alpha_1 \beta_1 + \frac{1}{12} \gamma_1 \gamma_2 \right) \left(1 + \frac{1}{40} \gamma_1^2 \right)}{1 + \frac{1}{4} \gamma_1^2 + \frac{1}{320} \gamma_1^4} \quad (\text{A-9})$$

$$\begin{aligned} b_2 &= \frac{1}{1 + \frac{1}{24} \gamma_1^2 + \frac{1}{1920} \gamma_1^4} \times \\ &\left\{ \frac{\alpha_2}{\alpha_1} \left(\frac{1}{6} \alpha_1 \beta_1 + \frac{1}{12} \gamma_1 \gamma_2 \right) \left(1 + \frac{1}{40} \gamma_1^2 \right) + \right. \\ &+ \frac{1}{120} \alpha_1^2 \beta_1^2 + \frac{1}{6} \alpha_2 \beta_1 \left(1 + \frac{1}{40} \gamma_1^2 \right) + \frac{1}{120} \alpha_1 \beta_1 \gamma_1 \gamma_2 + \\ &\left. + \frac{1}{4} \gamma_2^2 \left(\frac{1}{6} + \frac{1}{80} \gamma_1^2 \right) \right\} \end{aligned} \quad (\text{A-10})$$

$$c_1 = e^{\frac{\gamma_1}{2}} \beta_1 \left(1 + \frac{1}{24} \gamma_1^2 + \frac{1}{1920} \gamma_1^4 \right) \quad (\text{A-11})$$

$$c_2 = e^{\frac{\gamma_1}{2}} \beta_1 \left(\frac{1}{6} \alpha_1 \beta_1 + \frac{1}{12} \gamma_1 \gamma_2 \right) \left(1 + \frac{1}{40} \gamma_1^2 \right) \quad (\text{A-12})$$

$$d_1 = \hat{a}_1 + \frac{1}{2} \gamma_2 \quad (\text{A-13})$$

$$d_2 = \hat{a}_2 + \frac{1}{8} \gamma_2^2 + \frac{1}{2} \gamma_2 \hat{a}_1 \quad (\text{A-14})$$

ACKNOWLEDGMENT

Khuzestan Gas Company and Shahid Chamran University are acknowledged for providing technical, administrative, and financial assistance.

REFERENCES

- [1] E. B. Wylie, M. A. Stoner, and V. L. Streeter, "Network Transient Calculation by Implicit methods", Soc. Pet Eng. J., 1971, 356-362.
- [2] C. A. Luongo, "An Efficient Program for Transient Flow Simulation in Natural Gas Pipelines", 15th Annual Meeting Pipeline Simulation Interest Group (PSIG), New Orleans, October 1986.
- [3] W. Yow, "Analysis and Control of Transient Flow in Natural Gas Piping System", Ph.D. dissertation, U. of Michigan, Ann Harbor, 1971.
- [4] A. J. Osiadacz, "Simulation and Analysis of Gas Networks", E. & F.N. Spon, London, 1987.
- [5] S. O. Ibraheem and M. A. Adewumi, "Higher-Resolution Numerical Solution for 2-D Transient Natural Gas Pipeline Flows", Soc. of Petroleum Eng., SPE 35626, 1996, pp. 473-482.
- [6] T. Kiuchi, "An Implicit Method for Transient Gas Flow in Pipe Networks", Int. J. Heat and Fluid Flow, Vol. 15, No. 5, 1994, pp. 378-383.
- [7] Y. Dukhovnaya and A. Michael, "Simulation of non-isothermal transient in gas/condensate pipelines using TVD schemes", Petroleum and Natural Gas Eng., The Pennsylvania State University, USA., 2000.
- [8] J. Zhou and M. A. Adewumi, "Simulation of Transient Flow in Natural Gas Pipelines", the Pennsylvania State University, Petroleum and Natural Gas Engineering, GRI-PA 16802, 1996.
- [9] E. Tentis, D. Margaris, and D. Papanikas, "Transient gas flow simulation using an Adaptive Method of Lines", U. of Patras, C. R. Mechanics J., 2003, pp. 481-487.
- [10] S. L. Ke and H. C. Ti, "Transient analysis of isothermal gas flow in pipeline network", chemical eng. J., 1999, 169-177.
- [11] A. H. Gonzales, J. M. De La Cruz, B. D. Andres-Toro, and J. L. Risco-Martin, "Modeling and simulation of a gas distribution pipeline network", Applied Mathematical Modeling J., article in press, 2008.

- [12] H. P. Reddy, S. Narasimhan, and S. M. Bhallamudi, “*Simulation and State Estimation of Transient Flow in Gas Pipeline Networks Using a Transfer Function Model*”, Department of Chemical Engineering and Department of Civil Engineering, Indian Inst. of Technology, Madras, Chennai-600036, India, 2006.
- [13] J. Kralik, P. Stiegler, Z. Vostry, J. Zavorka, “*Dynamic modeling of large scale networks with application to gas distribution*”, 1st ed., Inst. of Information Thory and Automation of the Czechoslovak Academy of Sciences Prague, Czechoslovakia, ELSEVIER Amesterdam-Axford, 1998.
- [14] A. K. Hoffman and S. T. Chiang, “*Computational Fluid Dynamics for Engineers*”, Wichita, Kansas, 2000.
- [15] T. D. Taylor, N. E. Wood, and J. E. Power, “*A Computer Simulation of Gas Flow in Long Pipelines*”, Soc. Pet. Eng. J., Trans. AIME, 225, 1962, 1962, pp. 297-302.
- [16] A. Bagheri, “*Evaluation of Various Numerical Algorithms for Transient Flow Computation in Natural Gas Networks and Dynamic Analysis of a Typical Case*”, M. Sc. Thesis, Mech. Eng. Dept., Shahid Chamran University, Ahvaz, Iran, (in preparation)

ث. مدلسازی رتبه کاسته جریان غیردائم گاز درون لوله‌ها

در این پیوست به ارائه دیگر مقاله پذیرفته شده در همایش مکانیک سیالات آلمان (ICFM 2008) تحت عنوان ”مدلسازی رتبه کاسته جریان غیردائم گاز درون لوله‌ها“ پرداخته می‌شود.

Reduced Order Modeling of Natural Gas Transient Flow in Pipelines

M. Behbahani-Nejad and Y. Shekari

Abstract— A reduced order modeling approach for natural gas transient flow in pipelines is presented. The Euler equations are considered as the governing equations and solved numerically using the implicit Steger-Warming flux vector splitting method. Next, the linearized form of the equations is derived and the corresponding eigensystem is obtained. Then, a few dominant flow eigenmodes are used to construct an efficient reduced-order model. A well-known test case is presented to demonstrate the accuracy and the computational efficiency of the proposed method. The results obtained are in good agreement with those of the direct numerical method and field data. Moreover, it is shown that the present reduced-order model is more efficient than the conventional numerical techniques for transient flow analysis of natural gas in pipelines.

Keywords—Eigenmode, Natural Gas, Reduced Order Modeling, Transient Flow.

I. INTRODUCTION

THE dynamic behavior of long pipelines is characterized by large time constants, sometimes of as much as several hours, due to the resistance to flow in pipes and the large storage capacity of the pipelines. Transients in such complex and large scale systems can be satisfactorily described by the nonhomogeneous, nonlinear hyperbolic, inviscid Euler system of conservation laws in one dimensional form **Error! Reference source not found.** Under isothermal conditions the continuity and momentum equations together with an equation of state constitute the governing equations describing transient flow in natural gas pipelines.

Traditional methods for the numerical analysis of system of governing equations are the Method of Characteristics (MOC) **Error! Reference source not found.** and several finite difference schemes such as explicit finite differences **Error! Reference source not found.** and implicit schemes **Error! Reference source not found.** Recent relevant studies used higher resolution explicit TVD Methods for the solution of sharp discontinuities fronts **Error! Reference source not found.** More recently the Method of Lines has been used with an adaptive mesh for solution system of governing equations of transient natural gas flow **Error! Reference source not found.** However, one prefers a numerical method which is not only accurate but also with low computational cost.

Reduced-order modeling (ROM) is recently known as a computational efficient technique for analysis of unsteady flows. Eigenmodes of the flow are used to construct reduced-order models similar to the normal mode analysis commonly used in structural dynamics. The advantage of a modal approach is that one may construct a reduced-order model by retaining only a few of the original modes. This method has been used for unsteady aerodynamics and aeroelastic problems by several researchers [6] – [14].

Although ROM based on the flow eigenmodes is a well-known numerical technique, it is not yet applied for transient compressible flow analysis in the pipelines. In the present work this approach is chosen to achieve an efficient computational scheme for natural gas transient pipeflows. The nonhomogeneous Euler equations under isothermal condition are numerically solved using the implicit Steger-Warming flux vector splitting method (FSM) and their results are compared with the available experimental results. Next, they are linearized about the steady state condition and the linearized flow results are compared with the corresponding nonlinear ones. Then, the eigensystem of the linearized transient flow is derived and the eigenvalues and eigenvectors are calculated. Based on the above eigenanalysis, a few dominant eigenmodes are used to construct a reduced order model. Next, the results of the present ROM are compared with those of the direct numerical schemes and its accuracy and efficiency is

discussed. Finally, the paper is concluded with some comments about the present eigenanalysis and ROM for natural gas transient flow in pipelines.

II. GOVERNING EQUATIONS

Under isothermal conditions the Euler equations along with a source term due to the pipe friction effect are governed the dynamics of the natural gas in a long pipeline **Error! Reference source not found.** In conservative form they are

$$\frac{\partial \mathbf{Q}}{\partial t} + \frac{\partial \mathbf{E}(\mathbf{Q})}{\partial \mathbf{x}} - \mathbf{H}(\mathbf{Q}) = 0 \quad (1)$$

where

$$\begin{aligned} \mathbf{Q} &= \begin{pmatrix} \rho \\ \rho u \end{pmatrix} \\ \mathbf{E}(\mathbf{Q}) &= \begin{pmatrix} \rho u \\ \rho u^2 + c^2 \rho \end{pmatrix} \\ \mathbf{H}(\mathbf{Q}) &= \begin{pmatrix} 0 \\ -\frac{\rho f_g u |u|}{2D} \end{pmatrix} \end{aligned} \quad (2)$$

In the above equations c is isothermal sound speed, ρ is the gas density, u is the axial gas velocity, D is diameter of the pipe and f_g is the pipe friction factor.

III. FINITE DIFFERENCE SCHEME

The implicit Steger-Warming flux vector splitting method (FSM) has been used as the numerical scheme. This method is chosen, because it doesn't have the problem of numerical instability. In delta formulation, the finite difference form of the method is **Error! Reference source not found.**

$$\begin{aligned} & - \left(\frac{\Delta t}{\Delta x} \mathbf{A}_{j-1}^+ \right) \Delta \mathbf{Q}_{j-1} \\ & + \left(\mathbf{I} + \frac{\Delta t}{\Delta x} (\mathbf{A}_j^+ - \mathbf{A}_j^-) - \Delta t \mathbf{B}_j \right) \Delta \mathbf{Q}_j \\ & + \left(\frac{\Delta t}{\Delta x} \mathbf{A}_j^- + 1 \right) \Delta \mathbf{Q}_{j+1} = \\ & - \frac{\Delta t}{\Delta x} (\mathbf{E}_j^+ - \mathbf{E}_{j-1}^+ + \mathbf{E}_{j+1}^- - \mathbf{E}_j^-) + \Delta t \mathbf{H}_j \end{aligned} \quad (3)$$

where subscript j indicates the spatial grid point, superscript n indicates the time level and

$$\Delta \mathbf{Q} = \mathbf{Q}^{n+1} - \mathbf{Q}^n \quad (4)$$

In relation (3), \mathbf{I} is the identity matrix, \mathbf{A} and \mathbf{B} are Jacobean matrices which are defined as

$$\mathbf{A} = \frac{\partial \mathbf{E}}{\partial \mathbf{Q}}, \quad \mathbf{B} = \frac{\partial \mathbf{H}}{\partial \mathbf{Q}} \quad (5)$$

Moreover, \mathbf{A}^+ and \mathbf{A}^- are respectively the positive and negative parts of the Jacobean matrix \mathbf{A} , namely

$$\mathbf{A}^+ = \begin{pmatrix} \frac{c^2 - u^2}{2c} & \frac{u + c}{2c} \\ \frac{(u + c)^2(c - u)}{2c} & \frac{(u + c)^2}{2c} \end{pmatrix} \quad (6)$$

$$\mathbf{A}^- = \begin{pmatrix} \frac{u^2 - c^2}{2c} & \frac{c - u}{2c} \\ \frac{(u + c)(c - u)^2}{2c} & \frac{(c - u)^2}{2c} \end{pmatrix}$$

In addition, \mathbf{E}^+ and \mathbf{E}^- are the positive and negative parts of the flux vector \mathbf{E} which are represented as

$$\mathbf{E}^+ = \begin{pmatrix} \frac{\rho(u + c)}{2} \\ \frac{\rho(u + c)^2}{2} \end{pmatrix} \quad (7)$$

$$\mathbf{E}^- = \begin{pmatrix} \frac{\rho(u - c)}{2} \\ \frac{\rho(u - c)^2}{2} \end{pmatrix}$$

When equation (3) is applied to each grid point, a block tridiagonal system of algebraic equations is obtained. This equations system is solved at each time step, which results in $\Delta\mathbf{Q}$. Next, \mathbf{Q} at the advanced time step can be calculated using Eq. (4).

IV. LINEARIZED FINITE DIFFERENCE EQUATIONS

To do the eigenanalysis and construct an eigenmode based reduced order model, it is necessary to linearize the equations. For this purpose, the flow field variables at each time step are considered as

$$Q^{n+1} = Q^o + \hat{Q}^{n+1} \quad (8)$$

where Q^o is the corresponding steady state value and \hat{Q} is a small perturbation about it. Substituting equation (8) into (3) and doing some manipulations yields

$$-\left(\frac{\Delta t}{\Delta x}\mathbf{A}_{j-1}^{o+}\right)\hat{\mathbf{Q}}_{j-1}^{n+1} + \left(\mathbf{I} + \frac{\Delta t}{\Delta x}(\mathbf{A}_j^{o+} - \mathbf{A}_j^{o-}) - \Delta t\mathbf{B}_j^o\right)\hat{\mathbf{Q}}_j^{n+1} + \left(\frac{\Delta t}{\Delta x}\mathbf{A}_{j+1}^{o-}\right)\hat{\mathbf{Q}}_{j+1}^{n+1} = \hat{\mathbf{Q}}_j^n \quad (9)$$

The above linearized equation can be represented as

$$\mathbf{W}^o\hat{\mathbf{Q}}^{n+1} = \mathbf{I}\hat{\mathbf{Q}}^n + \mathbf{V}^{n+1} \quad (10)$$

where \mathbf{V} is a vector consisting the imposed values by the boundary conditions and \mathbf{W}^o is made by the left hand side factors of Eq. (9).

V. EIGENANALYSIS AND ROM

For zero forcing function, \mathbf{V} , one can set

$\hat{\mathbf{Q}}_i = \mathbf{x}_i \exp(\lambda_i t)$ and $z_i = \exp(\lambda_i \Delta t)$ to obtain the following generalized eigenvalue problem

$$\mathbf{z}_i \mathbf{W}^o \mathbf{x}_i = \mathbf{I} \mathbf{x}_i \quad (11)$$

where λ_i and z_i are i^{th} eigenvalues in λ -plane and z -plane, respectively, and \mathbf{x}_i is the corresponding eigenvector. More generally Eq. (11) can be written as

$$\mathbf{Z} \mathbf{W}^o \mathbf{X} = \mathbf{I} \mathbf{X} \quad (12)$$

where \mathbf{Z} is a diagonal matrix containing the eigenvalues and \mathbf{X} is a matrix with columns that are the right eigenvectors. On the other hand, the left eigenvectors satisfy the following relation

$$(\mathbf{W}^o)^T \mathbf{Y} \mathbf{Z} = \mathbf{I} \mathbf{Y} \quad (13)$$

where \mathbf{Y} is a matrix with rows that are the left eigenvectors. If the eigenvectors are normalized suitable, they satisfy the following orthogonality conditions

$$\begin{aligned} \mathbf{Y}^T \mathbf{W}^o \mathbf{X} &= \mathbf{I} \\ \mathbf{Y}^T \mathbf{I} \mathbf{X} &= \mathbf{Z} \end{aligned} \quad (14)$$

The dynamic behavior of the fluid can be represented as the sum of the individual eigenmodes, that is,

$$\hat{\mathbf{Q}} = \mathbf{X} \mathbf{c} \quad (15)$$

where \mathbf{c} is the vector of normal mode coordinates. Substitution of (15) into (10), premultiplying by \mathbf{Y}^T , and making use of the orthogonality condition gives a set of N uncoupled equations for the modal coordinates \mathbf{c} ,

$$\mathbf{c}^{n+1} = \mathbf{Z} \mathbf{c}^n + \mathbf{Y}^T \mathbf{V}^{n+1} \quad (16)$$

Now, one may construct a reduced-order model by retaining only a few of the original modes.

VI. RESULTS AND DISCUSSIONS

A 72259.5 m long pipeline of 0.2 m diameter is considered as a test case to verify the results of the present method. Figure 1 shows the test case schematically. The above test case which its experimental results are available, has been studied by Taylor et al. **Error! Reference source not found.**, Zhou and Adewumi **Error! Reference source not found.**, and also by Tentis et al. **Error! Reference source not found.** The pipeline transports natural gas of 0.675 specific gravity at 10°C. The gas viscosity is 11.84×10^{-6} kg/m s while the pipeline wall roughness is 0.617 mm and isothermal sound speed equals 367.9 m/s. At the pipeline's inlet, the gas pressure is kept constant at 4.21 MPa, whereas the pipe's mass flow rate at the outlet varies with a 24-hour cycle, corresponding to changes in consumer demand within a day as is shown in Fig. 2.

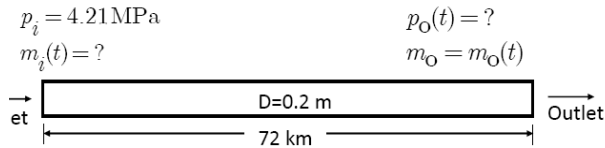


Fig.1 Schematic of the pipeline and its B.Cs.

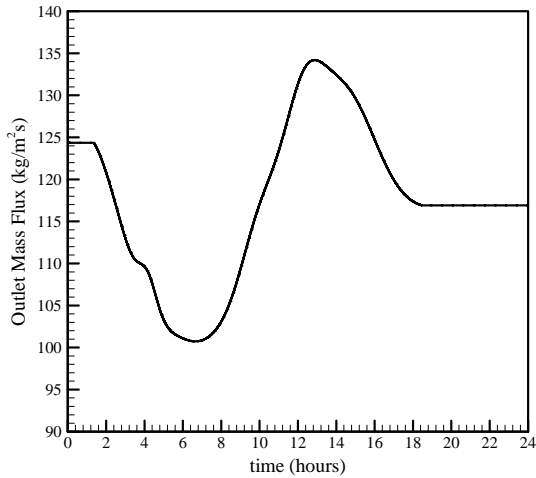


Fig.2 Imposed mass flux at the outlet

Figure 3 illustrates the present results of FSM for pressure time changes at the pipe outlet, along with those of the others [1, 5, 16] and the experiments. There are some differences between the present nonlinear FSM results with those obtained by the others. However, when they are compared with the experiments, it seems that all of the numerical methods have the nearly similar errors. The interesting point is the accuracy of the results of the present linearized FSM. As is shown in Fig. 3, the linearized FSM can predict the transient behavior of the outlet pressure as nearly accurate as the nonlinear models. Thus, one can construct a reduced order model based on the linearized equations to estimate the transient gas pipeflows more efficiently. In figure 4 the gas pressure at some different points are presented and compared with those by Zhou and Adewumi **Error! Reference source not found.** It is observed that the present results are in relatively good agreement with those obtained by the above authors. Moreover, Fig. 4 shows that the present linearized FSM results in the gas pressure as accurate as the nonlinear model.

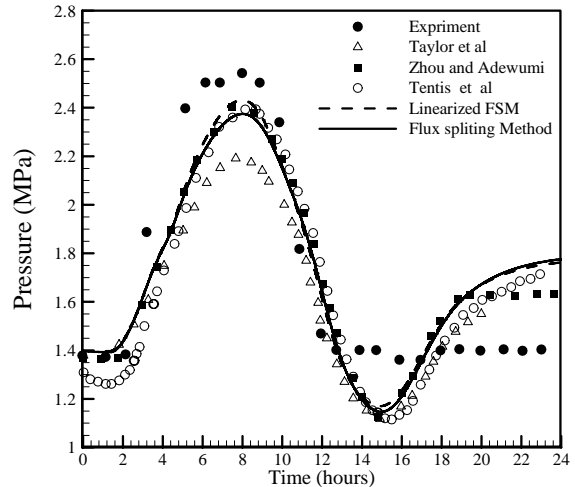


Fig.3 Comparison of pressure time history at the outlet

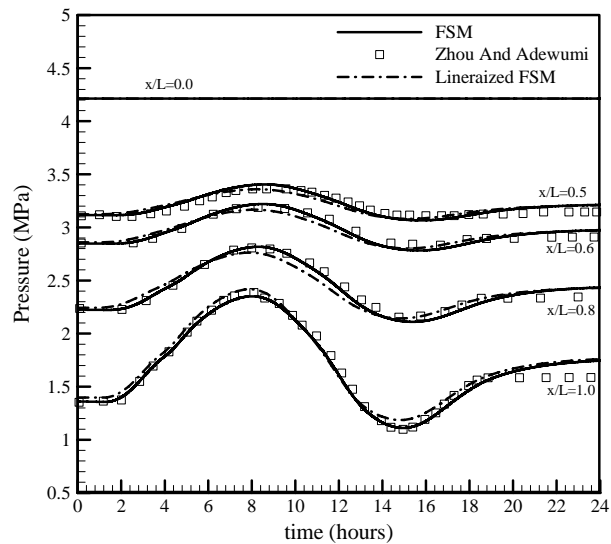


Fig.4 Pressure time history at different points of the pipe

Next, the results of the present eigenanalysis are discussed. The eigenvalues of the present method are shown in Figs. 5 and 6 in λ -plane and z -plane, respectively. In addition, the first 60 eigenvalues in λ -plane are illustrated in Fig. 7. As is shown in Fig. 5, this eigensystem has no any zero eigenvalue in the z -plane. Behbahani-Nejad et al. [17] have been shown that when there is no zero eigenvalue, there is no any quasisteady eigenmode and thus, it is likely to construct a reduced order model without the static correction requirement. On the other hand, Fig. 6 illustrates that the real part of all eigenvalues are negative. In physical point of view, it means that the present numerical technique is stable. Moreover, as is shown in Fig. 7, a few first eigenvalues corresponds the dominant eigenmodes, because their absolute real and imaginary parts are relatively small and therefore they are activated before the other eigenmodes.

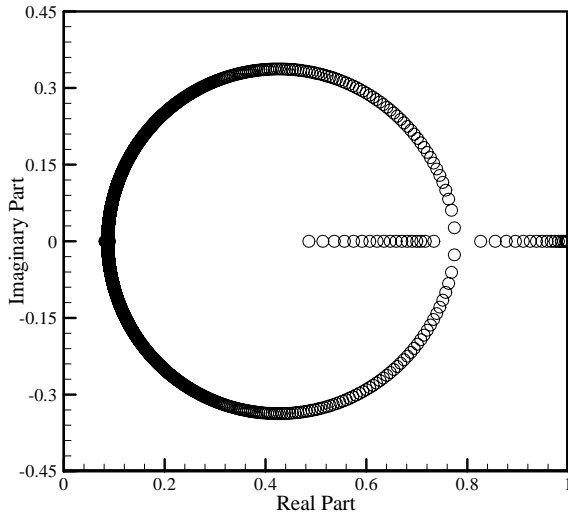


Fig.5 The eigenvalues in z -plane

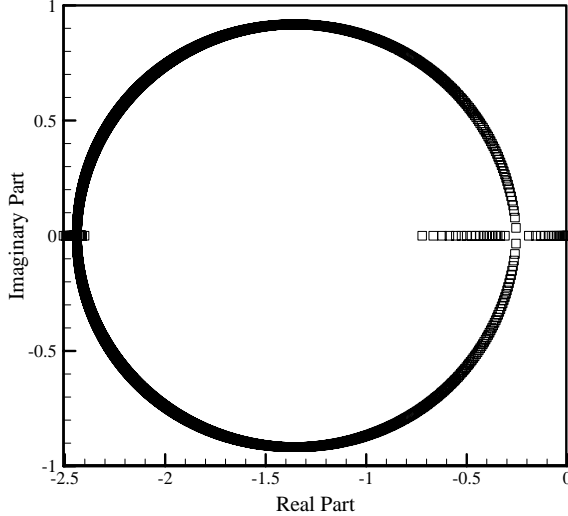


Fig.6 The Eigenvalues in λ -plane

The eigenvalues discussed in the preceding paragraph are used to construct a reduced order model. As there is no any zero eigenvalue, it is expected that the present reduced order model for natural gas transient flow gives satisfactory results without the static correction. Figure 8 shows the pressure time history at the pipe outlet. It is observed that the results of the present ROM with only 4 or 5 eigenmodes are in excellent agreement with those obtained by the direct numerical method. The similar results are obtained for the pressure time changes at the other points along the pipe and are shown in Fig. 9. Finally, the efficiency of the present ROM are confirmed when its CPU times are compared with the direct numerical method. Table I indicates the computational times for the present ROM and the direct method. It is declared that there is about 70% reduction in CPU time when the present ROM is used.

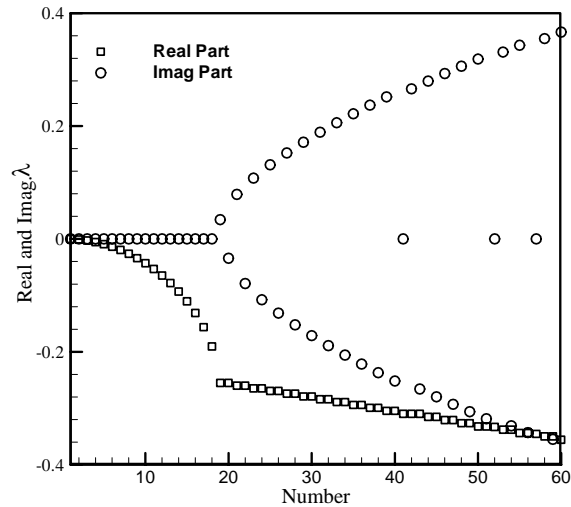


Fig.7 The first 60 eigenvalues in λ -plane

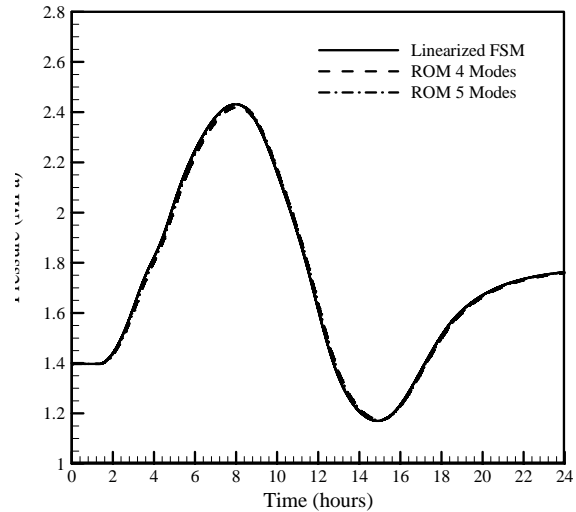


Fig.8 Results of the present ROM and the direct method for pressure history at the outlet

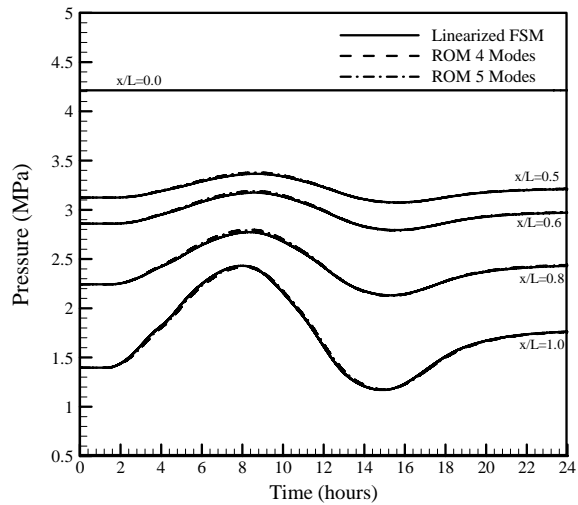


Fig.9 Results of the present ROM and the direct method for pressure history at different points of the pipe

Table I CPU times for the present ROM and the direct method

Method	Direct Simulation	ROM 4 Modes	ROM 5 Modes
CPU TIME	253 s	73 s	83 s
Time saving	-	71.14%	67.2%

VII. CONCLUSIONS

The present ROM can be used to analyze the transient flow of natural gas in pipelines, efficiently. Since the linearized forms of the governing equations can give satisfactory results with an enough degree of accuracy in many natural gas transient pipeflows, they can be used to construct proper reduced order models. The present eigenanalysis show that there is no any zero eigenvalue in the z -plane and therefore it is likely to construct reduced order models without the static correction requirement. It is indicated that the proposed reduced order model can efficiently gives satisfactory results for natural gas unsteady flow problems as accurate as the other direct numerical finite difference methods.

VIII. ACKNOWLEDGEMENTS

Khuzestan Gas Company and Shahid Chamran University are acknowledged for providing technical, administrative, and financial assistance.

REFERENCES

- [1] E. Tentis, D. Margaris, D. Papanikas, "Transient gas flow simulation using an Adaptive Method of Lines", *C. R. Mecanique*, Vol. 331, 2003, pp. 481–487.
- [2] W. Yow, "Analysis and Control of Transient Flow in Natural Gas Piping Systems", *Ph.D. Thesis, The University of Michigan*, 1971.
- [3] H. H. Rachford and T.A. Dupont , "A Fast Highly Accurate Means of modeling Transient Flow in Gas Pipelines by Variational Methods", *Society of Petroleum Engineers Journal*, 1974, pp. 356-362.
- [4] E. B. Wylie, M. A. Stoner and V. L. Streeter, "Network System Transient Calculations by Implicit Methods" *Society of Petroleum Engineers Journal*, Dec., 1971, pp. 356-362.
- [5] J. Zhou and M. A. Adewumi, "Simulation of Transient Flow in Natural Gas Pipelines", 27th Annual Meeting Pipeline Simulation Interest Group (PSIG), Albuquerque, New Mexico, Oct. 18-20, 1995.
- [6] E. H. Dowell, "Eigenmode Analysis in Unsteady Aerodynamics: Reduced-Order Models", *AIAA Journl*, Vol. 34, No. 8, August 1996, pp. 1578-1583.
- [7] M. C. Romanowski and E. H Dowell, "Using Eigenmodes to Forms an Efficient Euler Based Unsteady Aerodynamics Analysis" *Proceeding of the Special Symposium on Aeroelasticity and Fluid/Structure Interaction Problems*, ASME International Mechanical Engineering Congress and Exposition, Chicago Illions, AD-Vol. 44, 1994, pp. 147-160.
- [8] K. C. Hall, R. Florea and P. J. Lanzkorn, "A Reduced Order Model of Unsteady Flows in Turbomachinery", American Society of Mechanical Engineers, *ASME Paper 94-GT-291*, June 1994.
- [9] K. C. Hall, "Eigenanalysis of Unsteady Flows About Airfoils, Cascade and Wings", *AIAA Journal*, Vol. 32, No. 12, 1994, pp. 2426-2432.
- [10] E. H. Dowell and M. C. Romanowski, "Eigenmode Analysis in Unsteady Aerodynamics: Reduced-Order Models", *Appl .Mech. Rev.*, Vol. 50, No. 6, 1997, pp. 371-385.
- [11] V. Esfahanian and M. Behbahani-Nejad, "Reduced Order Modeling of Unsteady flows about Complex Configurations Using the Boundary Element Method" , *J. Fluid Eng-T ASME*, Vol. 124, 2002, pp. 988-993.
- [12] H. Shahverdi, A. S. Nobari, M. Behbahani-Nejad, H. Haddadpour, "An efficient reduced-order modelling approach based on fluid eigenmodes and boundary element method", *Journal of Fluids and Structures*, Vol. 23, 2006, pp. 143–153.
- [13] K. C. Hall, R. Florea and P. J. Lanzkorn, "A Reduced Order Model of Unsteady Flows in Turbomachinery", *AIAA Journal* Vol. 117, No. 3, 1995, pp. 375-383.
- [14] R. Florea, K. C. Hall and G. A. Cizmas, "Reduced Order Modeling of Unsteady Viscous Flow in a Compressor Cascade", *AIAA Journal*, Vol. 36, No. 6, 1998, pp. 1039-1048.
- [15] A. K. Hoffman, S. T. Chiang, "Computational Fluid Dynamics For Engineers", Wichita, Kansas, 2000.
- [16] T. D. Taylor, N. E. Wood, J. E. Power, "A Computer Simulation of Gas Flow in Long Pipelines", *Soc. Pet. Eng, Trans, AIME*, Vol. 225, 1962, pp. 297-302.
- [17] M. Behbahani-Nejad, H. Hadadpour, V. Esfahanian, "Reduced-Order Modeling of Unsteady Flows without Static Correction Requirement", *J. of Aircraft*, Vol. 42, No. 4, 2005.

ج. روابط مربوط به پارامترهای توابع تبدیل

$$\begin{aligned}\alpha(s) &= \alpha_1 + \alpha_2 s \\ \beta(s) &= \beta_1 s \\ \gamma(s) &= \gamma_1 + \gamma_2 s \\ b(s) &= \sqrt{\gamma^2 + 4\alpha\beta} / 2\end{aligned}\tag{۱}$$

ک

$$\begin{aligned}\alpha_1 &= |u^*|fL^*, \quad \alpha_2 = L/c, \quad \beta_1 = L/c, \\ \gamma_1 &= \frac{fL^*}{2}u^*|u^*| - \frac{g\Delta h}{c^2}, \quad \gamma_2 = 2u^*L/c\end{aligned}\tag{۲}$$

$$\hat{a}_1 = e^{\frac{\gamma_1}{2}} \left[\frac{1}{2} \alpha_1 \beta_1 \left(1 - \frac{1}{6} \gamma_1 + \frac{1}{24} \gamma_1^2 - \frac{1}{240} \gamma_1^3 + \dots \right) \right] - \frac{\gamma_2}{2}\tag{۳}$$

$$\begin{aligned}\hat{a}_2 &= e^{\frac{\gamma_1}{2}} \left[\frac{1}{24} \alpha_1^2 \beta_1^2 \left(1 - \frac{1}{10} \gamma_1 \right) + \right. \\ &\quad \left. \frac{1}{2} \alpha_2 \beta_1 \left(1 - \frac{1}{6} \gamma_1 + \frac{1}{24} \gamma_1^2 - \frac{1}{240} \gamma_1^3 + \dots \right) - \right. \\ &\quad \left. \frac{1}{12} \alpha_1 \beta_1 \gamma_2 \left(1 - \frac{1}{2} \gamma_1 - \frac{1}{16} \gamma_1^2 - \dots \right) \right] + \frac{1}{8} \gamma_2^2\end{aligned}\tag{۴}$$

$$k_1 = e^{\gamma_1}\tag{۵}$$

$$a_1 = \hat{a}_1 - \frac{1}{2} \gamma_2 \quad (\mathfrak{F})$$

$$a_2 = \hat{a}_2 + \frac{1}{8} \gamma_2^2 - \frac{1}{2} \gamma_2 \hat{a}_1 \quad (\mathbb{V})$$

$$k_2 = e^{\frac{\gamma_1}{2}} \alpha_1 \left(1 + \frac{1}{24} \gamma_1^2 + \frac{1}{1920} \gamma_1^4 \right) \quad (\mathfrak{K})$$

$$b_1 = \frac{\alpha_2}{\alpha_1} + \frac{\left(\alpha_1 \beta_1 + \frac{1}{12} \gamma_1 \gamma_2 \right) \left(1 + \frac{1}{40} \gamma_1^2 \right)}{1 + \frac{1}{4} \gamma_1^2 + \frac{1}{320} \gamma_1^4} \quad (\mathfrak{A})$$

$$\begin{aligned} b_2 &= \frac{1}{1 + \frac{1}{24} \gamma_1^2 + \frac{1}{1920} \gamma_1^4} \times \\ &\left\{ \frac{\alpha_2}{\alpha_1} \left(\frac{1}{6} \alpha_1 \beta_1 + \frac{1}{12} \gamma_1 \gamma_2 \right) \left(1 + \frac{1}{40} \gamma_1^2 \right) + \right. \\ &+ \frac{1}{120} \alpha_1^2 \beta_1^2 + \frac{1}{6} \alpha_2 \beta_1 \left(1 + \frac{1}{40} \gamma_1^2 \right) + \frac{1}{120} \alpha_1 \beta_1 \gamma_1 \gamma_2 + \\ &\left. + \frac{1}{4} \gamma_2^2 \left(\frac{1}{6} + \frac{1}{80} \gamma_1^2 \right) \right\} \end{aligned} \quad (\text{1}\cdot)$$

$$c_1 = e^{\frac{\gamma_1}{2}} \beta_1 \left(1 + \frac{1}{24} \gamma_1^2 + \frac{1}{1920} \gamma_1^4 \right) \quad (\text{1}\text{V})$$

$$c_2 = e^{\frac{\gamma_1}{2}} \beta_1 \left(\frac{1}{6} \alpha_1 \beta_1 + \frac{1}{12} \gamma_1 \gamma_2 \right) \left(1 + \frac{1}{40} \gamma_1^2 \right) \quad (\text{1}\mathfrak{V})$$

$$d_1 = \hat{a}_1 + \frac{1}{2} \gamma_2 \quad (\text{1}\mathfrak{V})$$

$$d_2 = \hat{a}_2 + \frac{1}{8} \gamma_2^2 + \frac{1}{2} \gamma_2 \hat{a}_1 \quad (\text{1}\mathfrak{F})$$

چ. تحلیل ویژه جریان گذرا ای گاز طبیعی درون خطوط

لوله (مقاله)

مرتضی ببهانی نژاد^۱، یونس شکاری^۲

^۱ استادیار گروه مکانیک، دانشگاه شهید چمران اهواز bnmorteza@scu.ac.ir

^۲ کارشناس ارشد مکانیک، دانشگاه شهید چمران اهواز shekari124@yahoo.com

معادلات حاکم بر این جریان شکل خاصی از معادلات اویلر بوده که اثر اصطکاک دیواره لوله به صورت یک عبارت چشمی وارد آنها شده، و باعث ناهمگن شدن این معادلات می‌شود. روش‌های متعددی به منظور تحلیل این جریان استفاده شده است. وایلی و همکاران یک روش تفاضل محدود ضمنی ارائه دانند و این روش را با روش مشخصه‌ها مقایسه کردند [۱]. راچفورد و داپونت^۱ از روش اجزا محدود گالرکین با در نظر گرفتن اجزا دو بعدی در زمان و مکان برای شبیه‌سازی جریان هم‌دما و گذرا ای گاز طبیعی استفاده کردند [۲]. کیچی^۲ یک روش تفاضل محدود کاملاً ضمنی برای حل جریان غیردائم و تراکم پذیر دما ثابت بدون در نظر گرفتن عبارت اینرسی در معادلات حاکم ارائه داد [۳]. ایشان این روش را به یک شبکه نمونه اعمال کردند. سیستم معادلات حاکم با استفاده از یک روش تفاضل محدود صریح TVD با استفاده از یک شبکه بسیار ریز و با در نظر گرفتن عبارت اینرسی مورد تحلیل قرار گرفته است [۴]. اخیراً روش خط‌ها^۳ (MOL) با استفاده از یک شبکه تطبیقی و با در نظر گرفتن عبارت اینرسی به معادلات حاکم اعمال شده است [۵]. در اغلب روش‌هایی که تا کنون مورد استفاده قرار گرفته‌اند، زمان محاسباتی تحلیل جریان بسیار زیاد می‌باشد. بنابراین این روش‌ها را نمی‌توان در سیستم کنترلی شبکه مورد استفاده قرار داد. لذا استفاده از روش‌های محاسباتی جدید که ضمن داشتن دقت مناسب، سرعت

چکیده

در مقاله حاضر تحلیل ویژه جریان گذرا ای گاز طبیعی درون خطوط لوله صورت پذیرفته است. روش ضمنی تجزیه بردار شار استیگر-وارمینگ به عنوان روش حل عددی مسئله انتخاب شده است. به منظور تحلیل ویژه جریان ابتدا مدل خطی شده این روش استخراج شده و سپس بر اساس این مدل، مسئله مقدار ویژه جریان تشکیل شده است و مودهای ویژه جریان محاسبه شده‌اند. در نهایت مدل سازی رتبه کاسته جریان بر اساس این مودها صورت پذیرفته و در ادامه کار تاثیر ضرب اصطکاک لوله بر فتار مقادیر ویژه جریان بررسی شده است. نتایج به دست آمده نشان می‌دهند که سیستم معادلات عددی حاکم پایدار می‌باشد و با افزایش ضرب اصطکاک لوله، اندازه مودهای غالب در صفحه λ کوچکتر می‌شوند.

کلمات کلیدی: مودهای ویژه، روش تجزیه بردار شار، جریان گذرا، خطوط لوله گاز طبیعی

مقدمه

اصولاً جریان درون خطوط لوله گاز طبیعی از نوع جریانهای گذرا می‌باشد. این جریان در اثر عوامل مختلفی مانند راهنمایی و یا از کار افتادن ایستگاه‌های تقویت فشار، تغییرات تقاضای مصرف در بین مصرف‌کنندگان و نشتی خطوط لوله و یا شکسته شدن آنها به وجود می‌آید. از مهمترین اهداف تحلیل این گونه جریان‌ها می‌توان به نمایش تغییرات لحظه‌ای فشار گاز درون خط لوله و طراحی بهینه شبکه‌های انتقال و توزیع گاز طبیعی اشاره کرد.

¹ Rachford and Dupont

² Kiuchi

³ Method of Lines

به منظور تحلیل عددی مسئله، ابتدا با استفاده از روش تفاضل محدود ضمنی تجزیه بردار شار استیگر-وارمینگ معادلات حاکم بر جریان گسسته سازی می‌شوند. به دلیل حضور عبارت غیرخطی اینترسی در معادلات حاکم و گسسته سازی شده، معادلات عددی به دست آمده حول حالت دائم خطی سازی شده و مسئله مقدار ویژه تشکیل و مقادیر ویژه جریان محاسبه و رفتار آنها بررسی می‌شوند. برای اولین بار بهبهانی نژاد و شکاری مقادیر ویژه جریان گذراي گاز طبیعی درون خطوط را محاسبه نمودند [۱۱]. با بررسی رفتار مقادیر ویژه جریان می‌توان برخی مفاهیم اساسی فیزیک جریان غیردائم را استخراج نمود. همچنین با محاسبه این مقادیر ویژه و استفاده از بردارهای ویژه متناظر با آنها به عنوان پایه‌های یک فضای مودال و تصویر فضای محاسباتی اصلی به این فضا، می‌توان تعداد درجات آزادی مسئله را به شدت کاهش داد. در واقع با محاسبه این مقادیر ویژه و بردارهای ویژه متناظر می‌توان مدل رتبه کاسته سیستم را به دست آورد. از طرفی پارامترهای هندسی و فیزیکی مسئله در شرایط دائم در چگونگی رفتار مقادیر ویژه جریان نقشی اساسی دارند.

در این مقاله ابتدا تحلیل عددی مسئله ارائه می‌شود سپس ضمن محاسبه مقادیر ویژه جریان گذراي گاز طبیعی، نتایج مدل سازی رتبه کاسته سیستم نیز به دست آید و در نهایت تاثیر اصطکاک لوله بر رفتار مقادیر ویژه بررسی می‌شود.

معادلات حاکم

معادلات حاکم بر رفتار غیردائم جریان درون خطوط لوله را می‌توان با استفاده از اصول بقای جرم و انرژی و قانون دوم نیوتون و با به کار گیری یک معادله حالت مناسب به دست آورد. بسته به اینکه جریان هم‌دما باشد یا آدیاباتیک، معادلات حاکم شکل متفاوتی خواهند داشت. در حالت هم‌دما نیازی به حل معادله انرژی نیست و با حل معادلات پیوستگی و مومنتوم و استفاده از یک معادله حالت مناسب می‌توان جریان را تحلیل نمود. زو و آدمی معادلات حاکم بر جریان گذراي گاز طبیعی در حالت هم‌دما را به صورت زیر ارائه کرده‌اند [۴]:

$$\frac{\partial \mathbf{Q}}{\partial t} + \frac{\partial \mathbf{E}(\mathbf{Q})}{\partial \mathbf{x}} - \mathbf{H}(\mathbf{Q}) = 0 \quad (1)$$

که در رابطه با

$$\mathbf{Q} = \begin{pmatrix} \rho \\ \rho u \end{pmatrix} \quad \mathbf{E} = \begin{pmatrix} \rho u \\ \rho u^2 + c^2 \rho \end{pmatrix} \quad \mathbf{H}(\mathbf{Q}) = \begin{pmatrix} 0 \\ -\rho f_g u |u| \\ \frac{\rho f_g u |u|}{2D} \end{pmatrix}$$

و در این رابطه ρ جرم مخصوص (دانسیته)، u متوسط سرعت جریان در هر مقطع عمود بر محور لوله، c سرعت صوت، D قطر لوله و f_g ضریب اصطکاک لوله می‌باشد.

شبیه‌سازی عددی

به منظور مدل سازی رتبه کاسته جریان، ابتدا بایستی یک روش حل عددی مناسب برای معادلات حاکم انتخاب نمود. بدین منظور در کار حاضر از روش ضمنی تجزیه بردار شار استیگر-وارمینگ استفاده

محاسباتی بالایی نیز داشته باشند، ضروری به نظر می‌رسد. مدل سازی رتبه کاسته می‌تواند راهکاری مناسب برای این مقصود قلمداد شود..

مدل سازی رتبه کاسته^۴ (ROM) یک روش جدید و از نظر محاسباتی کارا در محاسبه جریان‌های غیردائم به حساب می‌آید که اخیراً برای محاسبه جریان‌های توربوماشین‌ها مورد استفاده قرار گرفته است. در مدل سازی رتبه کاسته هدف، کاهش تعداد درجات آزادی مسائل عددی به گونه‌ای می‌باشد که دقت نهایی را تحت تاثیر چندانی قرار ندهد. این کار معمولاً با تبدیل فضای فیزیکی به یک فضای مودال که در آن تعداد کمی از درجات آزادی برای تخمین پاسخ سیستم مورد نیاز است، انجام می‌شود. با کاهش تعداد درجات آزادی سیستم، سرعت حل عددی با صرف هزینه محاسباتی کم، بالا می‌رود.

حال^۵ جریان غیردائم و تراکم‌ناپذیر حول ایرفویل، ریدی پره و بال تخت سه‌بعدی را با استفاده از مدل سازی رتبه کاسته در حوزه زمانی تحلیل نمود [۶]. وی برای به دست آوردن مودهای ویژه جریان از شبکه گردابه غیردائم استفاده کرد و نشان داد که برای دستیابی به یک جواب دقیق نیاز به تصحیح استاتیکی^۶ است. فلوره^۷ و همکاران مدل سازی رتبه کاسته را برای حل جریان غیردائم و لزج در ریدی پره‌های کمپرسور مورد استفاده قرار داده‌اند [۷]. هدف این محققین بررسی پدیده و امتدگی در پره‌های کمپرسور بوده است. آنها برای به دست آوردن مودهای ویژه از معادلات پتانسیل و معادلات لایه مرزی غیر دائم استفاده نمودند. همچنین در این کار اثر تعداد تصحیحات استاتیکی مورد بررسی قرار گرفته است. مدل سازی رتبه کاسته با استفاده از مودهای ویژه جریان در برخی از مسائل جواب‌های رضایت‌بخش ارائه نمی‌کند. در مرجع [۸] ذکر شده که این روش وقتی که به مسائل غیردائم حول ایرفویل‌ها و بال‌ها اعمال می‌شود، هنگامی نتایج رضایت‌بخش ارائه نمی‌کند که تعداد سیار زیادی از مودها در نظر گرفته شوند. بهبهانی نژاد نشان داد اعمال روش ذکر شده به جریان‌های غیردائم حول اجسام پیچیده، حتی با در نظر گرفتن تعداد زیادی از مودها نتایج مطلوبی به دست نمی‌دهد [۹]. وی دلیل این امر را با استفاده از تعداد مقادیر ویژه صفر، که از حل مسئله مقدار ویژه جریان به دست می‌آیند، توجیه می‌کند. در این مرجع نویسنده با بیان اینکه حداقل مودهایی که می‌تواند در مدل سازی رتبه کاسته مورد استفاده قرار گیرد، به تعداد مقادیر ویژه غیر صفر است، از روش تصحیح استاتیکی برای رفع این مشکل استفاده کرده است. روش عددی مورد استفاده در تحلیل جریان گذراي گاز طبیعی بایستی ضمن برخورداری از دقت بالا دارای زمان محاسباتی قابل قبولی نیز باشد. بدین منظور مدل سازی رتبه کاسته این جریان توسط بهبهانی نژاد و شکاری صورت پذیرفته است [۱۰].

⁴ Reduced Order Modeling

⁵ Hall

⁶ Static Correction

⁷ Florea

در نظر گرفتن $\mathbf{Q}^{n+1} = \mathbf{Q}^o + \hat{\mathbf{Q}}^{n+1}$ شکل خطی شده معادلات حاکم را می‌توان به صورت زیر نوشت:

$$\begin{aligned} & -\left(\frac{\Delta t}{\Delta x} \mathbf{A}_{j-1}^{o+}\right) \hat{\mathbf{Q}}_{j-1}^{n+1} + \left(\frac{\Delta t}{\Delta x} \mathbf{A}_{j+1}^{o-}\right) \hat{\mathbf{Q}}_{j+1}^{n+1} \\ & + \left(\mathbf{I} + \frac{\Delta t}{\Delta x} (\mathbf{A}_j^{o+} - \mathbf{A}_j^{o-}) - \Delta t \mathbf{B}_j^o\right) \hat{\mathbf{Q}}_j^{n+1} = \hat{\mathbf{Q}}_j^n \end{aligned} \quad (5)$$

اگر شرایط مرزی به گونه‌ای اعمال شوند که اثر مرز به صورت مستقیم در ماتریس ضرایب وارد نشود، در حالت کلی می‌توان به رابطه زیر رسید:

$$\mathbf{W}^o \hat{\mathbf{Q}}^{n+1} = \mathbf{I} \hat{\mathbf{Q}}^n + \mathbf{V}^{n+1} \quad (6)$$

در رابطه بالا \mathbf{W}^o در حالت دائم محاسبه می‌شود و \mathbf{V}^{n+1} اثرات مرز سیستم را در بر دارد. همچنین \mathbf{I} ماتریس یکه می‌باشد.

تحلیل ویژه جریان

به منظور تحلیل ویژه جریان‌های غیردائم بایستی مسئله مقدار ویژه جریان تشکیل شود. با درنظر گرفتن قسمت همگن معادله (۲) و با قرار دادن $\mathbf{x}_i e^{\lambda_i t} = \hat{\mathbf{Q}}_i$ در معادله حاصل و با فرض اینکه $z_i = e^{\lambda_i \Delta t}$ می‌توان به مسئله عمومی مقدار ویژه زیر رسید:

$$\mathbf{Z} \mathbf{W}^o \mathbf{X} = \mathbf{I} \mathbf{X} \quad (7)$$

در رابطه بالا \mathbf{Z} ماتریسی قطری است که عناصر آن مقدایر ویژه سیستم هستند. همچنین \mathbf{X} ماتریسی است که ستون‌های آن شامل بردارهای ویژه سمت راست مساله مقدار ویژه (۷) می‌باشند. همچنین بردارهای ویژه سمت راست و سمت چپ شرایط تعامل زیر را ارضا می‌کنند:

$$\mathbf{Y}^T \mathbf{W}^o \mathbf{X} = \mathbf{I} \quad (8)$$

$$\mathbf{Y}^T \mathbf{I} \mathbf{X} = \mathbf{Z}$$

با محاسبه مقایر ویژه جریان از رابطه (۷) می‌توان به بررسی پایداری روش حل عددی پرداخت. اگر همه مقایر ویژه در صفحه٪ درونه دایره واحد قرار گیرند و یا قسمت حقیقی همه مقایر ویژه در صفحه٪ منفی باشند آنگاه می‌توان نتیجه گرفت که روش حل عددی پایدار است. در غیر این صورت روش حل عددی ناپایدار خواهد بود.

مدل سازی رتبه کاسته

در بخش قبل تحلیل ویژه جریان‌های غیردائم تشریح گردید. در این قسمت هدف، انتخاب تعدادی از مودهای موثر جریان می‌باشد، به نحوی که بتوان توسط این مودها یک فضای مودال با ابعاد به مراتب کمتر از ابعاد مسئله اصلی تشکیل داد و جواب مسئله را در این فضای مودال پیدا نمود. به منظور یافتن جواب در فضای مودال ابتداء تعدادی از مودها را در نظر گرفته و جواب به شکل زیر در این فضای برداری تصویر می‌شود.

$$\hat{\mathbf{Q}} = \mathbf{X} \mathbf{c} \quad (9)$$

در رابطه فوق \mathbf{X} شامل M بردار ویژه سمت راست، متناظر با بزرگترین مقایر ویژه است که این بردارها ستون‌های این ماتریس را تشکیل می‌دهند. همچنین \mathbf{c} بردار مختصات مودهای نرمال می‌باشد. با قرار دادن معادله (۴) در رابطه (۹) و با ضرب طرفین رابطه به دست آمده در \mathbf{Y}^T از سمت چپ و با استفاده از شرایط

تعامد (۸) به رابطه زیر می‌توان رسید:

می‌شود. انتخاب این روش به دلیل پایداری آن در محدوده وسیعی از اعداد CFL می‌باشد. با استفاده از این ویژگی روش ذکر شده، می‌توان ضمن حفظ دقت مناسب، گام زمانی و فواصل مکانی را به اندازه کافی بزرگ در نظر گرفت و بنابراین زمان محاسبات را با حفظ دقت مناسب، کاهش داد. فرم دلتای معادلات گسته‌سازی شده حاکم را می‌توان به صورت زیر نوشت.

$$\begin{aligned} & -\left(\frac{\Delta t}{\Delta x} \mathbf{A}_{j-1}^+\right) \Delta \mathbf{Q}_{j-1} + \left(\frac{\Delta t}{\Delta x} \mathbf{A}_{j+1}^-\right) \Delta \mathbf{Q}_{j+1} \\ & + \left(\mathbf{I} + \frac{\Delta t}{\Delta x} (\mathbf{A}_j^+ - \mathbf{A}_j^-) - \Delta t \mathbf{B}_j\right) \Delta \mathbf{Q}_j = \\ & -\frac{\Delta t}{\Delta x} (\mathbf{E}_j^+ - \mathbf{E}_{j-1}^+ + \mathbf{E}_{j+1}^- - \mathbf{E}_j^-) + \Delta t \mathbf{H}_j \end{aligned} \quad (2)$$

که در رابطه بالا \mathbf{A}^+ و \mathbf{A}^- ، ماتریس‌های زاکوبین شار تجزیه شده بوده و عبارتنداز:

$$\begin{aligned} \mathbf{A}^+ &= \begin{pmatrix} \frac{c^2 - u^2}{2c} & \frac{u+c}{2c} \\ \frac{(u+c)^2(c-u)}{2c} & \frac{(u+c)^2}{2c} \end{pmatrix} \\ \mathbf{A}^- &= \begin{pmatrix} \frac{u^2 - c^2}{2c} & \frac{c-u}{2c} \\ \frac{(u+c)(c-u)^2}{2c} & \frac{(c-u)^2}{2c} \end{pmatrix} \end{aligned}$$

همچنین در رابطه (۲)، \mathbf{E}^+ و \mathbf{E}^- بردارهای شار تجزیه شده هستند و به صورت زیر بیان می‌شوند:

$$\mathbf{E}^+ = \begin{pmatrix} \frac{\rho(u+c)}{2} \\ \frac{\rho(u+c)^2}{2} \end{pmatrix} \quad \mathbf{E}^- = \begin{pmatrix} \frac{\rho(u-c)}{2} \\ \frac{\rho(u-c)^2}{2} \end{pmatrix}$$

ماتریس \mathbf{B} عبارت است از:

$$\mathbf{B} = \frac{\partial \mathbf{H}}{\partial \mathbf{Q}} = \begin{pmatrix} 0 & 0 \\ \frac{f_g}{2D} \frac{m|m|}{\rho^2} & -\frac{f_g}{D} \frac{|m|}{\rho} \end{pmatrix}$$

که در رابطه اخیر $m = \rho u$ می‌باشد. باید یادآور شد که $\frac{\partial \mathbf{E}}{\partial \mathbf{Q}}$ می‌باشد. با محاسبه $\Delta \mathbf{Q}$ در هر گام زمانی می‌توان متغیرهای مجھول آن گام را با استفاده از معادله زیر محاسبه کرد.

$$\mathbf{Q}^{n+1} = \mathbf{Q}^n + \Delta \mathbf{Q}^{n+1} \quad (3)$$

در حالت کلی با اعمال شرایط مرزی به گونه‌ای که متغیرهای مجھول در مرز به صورت مستقیم در ماتریس ضرایب وارد نشوند، می‌توان معادله (۲) را به صورت زیر نوشت:

$$\mathbf{W}^{n+1} \Delta \mathbf{Q} = \mathbf{RHS}^n + \mathbf{V}^{n+1} \quad (4)$$

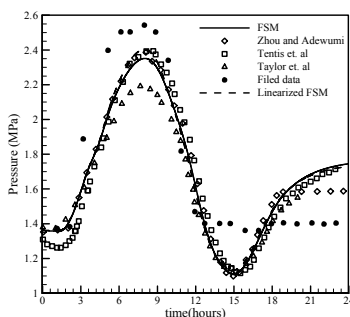
در رابطه بالا \mathbf{V}^{n+1} عبارتی است که اثرات شرایط مرزی تابع زمان را بیان می‌کند. \mathbf{W}^{n+1} و \mathbf{RHS}^n هم از معادله (۲) قابل محاسبه هستند.

معادلات تفاضل محدود خطی شده

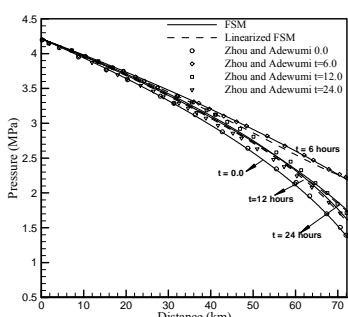
به دلیل حضور عبارت اینترسی معادلات تفاضل محدود حاکم غیر خطی هستند. بنابراین به منظور تحلیل ویژه جریان، بایستی معادلات عددی حاکم حول یک حالت پایه خطی سازی شوند. بدین منظور با

$$\mathbf{c}^{n+1} = \mathbf{Z}\mathbf{c}^n + \mathbf{Y}^T\mathbf{V}^{n+1} \quad (10)$$

در شکل (۲) تغییرات فشار در مقطع انتهایی لوله با استفاده از روش تجزیه بردار شار و مدل خطی شده این روش با نتایج ارائه شده توسط سایر محققین مقایسه شده است. ملاحظه می شود که روش تجزیه بردار شار بخوبی تغییرات فشار را پیش‌بینی کرده است. همچنین مدل خطی این روش با خطای ناچیزی و در حدود ۲/۲٪ نسبت به مدل غیرخطی توانسته است تغییرات فشار با زمان را تقریب بزند. همان‌گونه که در این شکل نشان داده شده است، تا ساعت ۱/۵ با مداد، با ثابت ماندن شار جرمی در مقطع خروجی هیچ‌گونه تغییر فشاری در این مقطع مشاهده نمی‌شود، پس از این ساعت با کاهش مصرف، فشار در مقطع خروجی شروع به افزایش می‌کند. این روند تا حدود ساعت ۸ صبح ادامه می‌یابد. پس از این ساعت با افزایش مصرف، فشار در مقطع خروجی کاهش می‌یابد. این روند تا ساعت ۱۵ ادامه می‌یابد. سپس با کاهش مصرف، روند افزایش فشار تا ساعت ۲۴ ادامه می‌یابد.



شکل ۲: مقایسه تغییرات فشار در مقطع انتهایی لوله با نتایج دیگر محققین



شکل ۳: مقایسه تغییرات فشار در امتداد لوله با نتایج ژو و آدمی [۴]

شکل (۳) نشان دهنده تغییرات فشار در امتداد لوله در ساعات مختلف شباهنگی روز می‌باشد. همان‌طور که در این شکل مشخص است، نتایج روش تجزیه بردار شار و نتایج ارائه شده توسط ژو و آدمی بسیار به هم نزدیک هستند. همچنین مدل خطی شده با خطای کمی توانسته است مدل غیرخطی را تقریب بزند.

در شکل‌های (۵) و (۶) نتایج تحلیل ویژه جریان ارائه شده است. شکل (۶) مقدار ویژه جریان را در صفحه % و شکل (۵) رفتار مقادیر ویژه جریان در صفحه λ را نشان می‌دهد. همان‌گونه که در

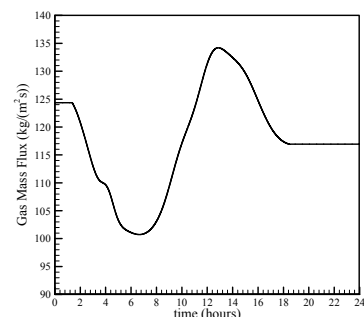
در رابطه بالا \mathbf{Y}^T ماتریسی است که ستون‌های آن شامل بردارهای ویژه سمت چپ می‌باشند و \mathbf{c} مختصات فضای رتبه کاسته می‌باشد. در رابطه اخیر \mathbf{Y}^T شامل M بردار ویژه سمت چپ می‌باشد که این بردارها سطرهای این ماتریس را تشکیل می‌دهند. همچنین \mathbf{Y}^T ، $M \times M$ یک ماتریس قطری Z ، $M \times N$ ماتریسی \mathbf{V} و $M \times M$ بردار سمت راست با بعد N می‌باشد. معادله (۱۰) به دلیل خاصیت تعامد مودهای ویژه یک سیستم غیروابسته و با بعد $M \ll N$ که M می‌باشد. با محاسبه \mathbf{c} در هر مرحله زمانی می‌توان با استفاده از رابطه (۹)، $\hat{\mathbf{Q}}$ را براحتی محاسبه کرد. با محاسبه $\hat{\mathbf{Q}}$ می‌توان براحتی مقدار \mathbf{Q} را در هر مرحله به دست آورد. بنابراین با استفاده از معادله (۱۰) و با در نظر گرفتن تعداد اندکی از مودهای غالب سیستم، تعداد درجات آزادی سیستم به شدت کاهش می‌یابد.

نتایج

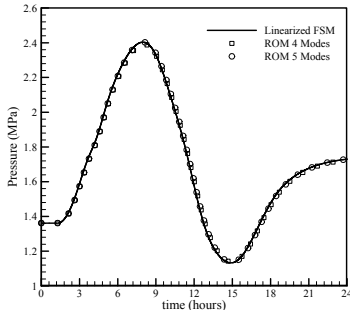
به منظور بررسی صحت نتایج به دست آمده ابتدا نمونه‌ای از جریان گاز طبیعی مورد تحلیل قرار می‌گیرد و نتایج حاصل از حل مستقیم (روش تجزیه بردار شار) و حل خطی شده با نتایج ارائه شده رتبه کاسته با نتایج مدل خطی مقایسه می‌شود تا نتایج به دست آمده از مدل رتبه کاسته مورد تجزیه و تحلیل قرار گیرد.

مسئله‌ای که مورد بررسی قرار گرفته است، لوله‌ای به طول $72259/5\text{ m}$ و قطر 207 mm می‌باشد که جریان گاز طبیعی با وزن مخصوص $675/6\text{ kgm}^{-1}\text{s}^{-1}$ در درجه حرارت 10°C و دمای $675/6\text{ °C}$ است و زبری لوله $11/84 \times 10^{-6}\text{ m}^4/\text{m}$ می‌باشد.

در اثر عدم وجود شرایط اولیه، شرایط حالت دائم جریان به عنوان شرایط اولیه در نظر گرفته می‌شوند. مقدار ضربه اصطکاک در همه زمان‌ها ثابت و برابر با همان مقدار حالت دائم در نظر گرفته می‌شود. برای شرایط مرزی هم، فشار در طول یک شباهنگی خود در اثر تغییر تقاضای مصرف در طول یک شباهنگی روز، تحت اثر تغییر شار جرمی مطابق شکل (۱) قرار می‌گیرد. تحلیل عددی این مساله در مراجع [۱۲] و [۱۳] مورد بررسی قرار گرفته است.

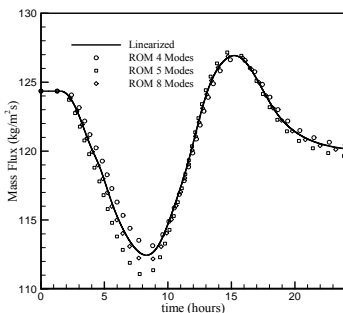


شکل ۱: شار جرمی در مقطع خروجی



شکل ۷: توزیع فشار در مقطع انتهایی لوله با استفاده از مدل رتبه کاسته

در شکل (۸) شار جرمی در مقطع میانی لوله با استفاده از مدل رتبه کاسته و حل خطی شده با یکدیگر مقایسه شده‌اند. ملاحظه می‌شود که مدل رتبه کاسته با تعداد درجات آزادی اندکی رفتار گذرای جریان را پیش‌بینی می‌کند، ولی نسبت به توزیع فشار بایستی تعداد مودهای بیشتری در نظر گرفته شود.

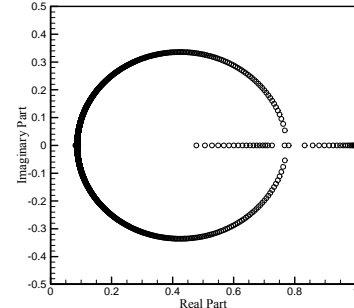


شکل ۸: تغییرات شار جرمی در مقطع میانی انتهایی لوله با استفاده از مدل رتبه کاسته

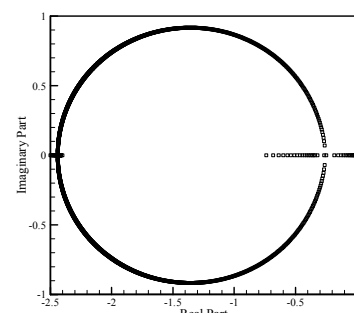
در ادامه کار به منظور بررسی نقش اصطکاک لوله بر رفتار مقادیر ویژه، سیستمی جدید با همان مشخصات هندسی و شرایط مزی سیستم قبل ولی با ضریب اصطکاکی کمتر در نظر گرفته می‌شود. شرایط دائم این مسئله جدید، به عنوان شرط اولیه در نظر گرفته می‌شود.

در شکل (۹) قسمت موهومنی ۱۰۰ مقدار ویژه اول برای جریان با دو ضریب اصطکاک متفاوت با یکدیگر مقایسه شده‌اند. ملاحظه می‌شود که هنگامی که ضریب اصطکاک افزایش می‌یابد، قسمت موهومنی مودهای غالب کوچکتر می‌شود. همچنین با افزایش ضریب اصطکاک تعداد مودهایی که قسمت موهومنی آنها صفر است افزایش می‌یابد. بنابراین می‌توان انتظار داشت که در این حالت مودهای غالب سریعتر تحریک شوند. و بتوان جریان را با تعداد مودهای کمتری تحلیل نمود.

شکل (۴) نشان داده شده است، همه مقادیر ویژه در صفحه λ درون دایره واحد قرار می‌گیرند و مطابق شکل (۵) قسمت حقیقی همه مقادیر ویژه در صفحه λ منفی می‌باشد. این رفتار مقادیر ویژه در صفحه‌های λ و λ^* نشان دهنده پایداری سیستم معادلات عددی به کار رفته می‌باشد.

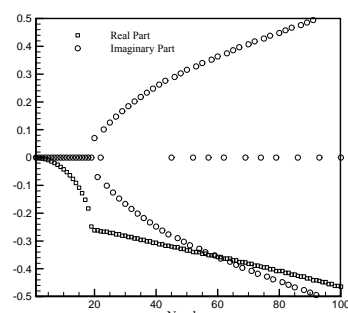


شکل ۴: مقادیر ویژه جریان در صفحه λ



شکل ۵: مقادیر ویژه جریان در صفحه λ

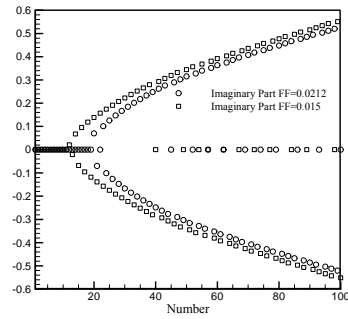
شکل (۶) قسمت حقیقی و موهومنی ۱۰۰ مقدار ویژه اول متناظر با مودهای ویژه غالب در صفحه λ را نشان می‌دهد. ملاحظه می‌شود که قدر مطلق قسمت‌های حقیقی و موهومنی این مودها در مقایسه با دیگر مودها اندازه کوچکتری دارند. بنابراین این مودها قبل از بقیه مودها تحریک می‌شوند.



شکل ۶: قسمت‌های حقیقی و موهومنی ۱۰۰ مود اول در صفحه λ

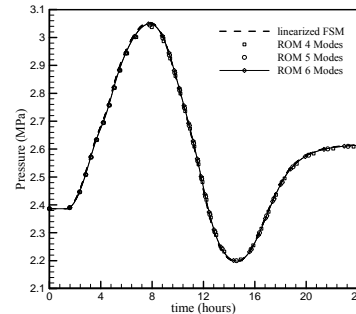
در شکل (۷) توزیع فشار در مقطع انتهایی لوله با استفاده از مدل رتبه کاسته و حل خطی شده با یکدیگر مقایسه شده‌اند. ملاحظه می‌شود که مدل رتبه کاسته با تعداد درجات آزادی اندکی رفتار جریان را پیش‌بینی می‌کند.

- Meeting Pipeline Simulation Interest Group (PSIG), Albuquerque, New Mexico, Oct. 18-20, 1995.
- [۵] Tentis, E., Margaris, D., Papanikas, D., “Transient gas flow simulation using an Adaptive Method of Lines”, C. R. Mecanique, Vol. 331, pp. 481-487, 2003.
- [۶] Hall, K.C., “Eigenanalysis of Unsteady Flows About Airfoils, Cascade and Wings”, AIAA Journal, Vol. 32, No. 12, 1994, pp. 2426-2432.
- [۷] Florea, R., Hall, K.C. and Cizmas, G.A., Reduced Order Modeling of Unsteady Viscous Flow in a Compressor Cascade, AIAA Journal, Vol. 36, No. 6, 1998, pp. 1039-1048.
- [۸] Hall, K.C., Florea, R. and Lanzkorn, P.J., “A Reduced Order Model of Unsteady Flows in Turbomachinery”, American Society of Mechanical Engineers, ASME Paper 94-GT-291, June 1994.
- [۹] بهبهانی نژاد، مرتضی، مدل سازی رتبه کاسته جریان های سه بعدی غیردائم با استفاده از مودهای ویژه جریان و روش المان های مرزی، رساله دکتری، دانشگاه تهران، اسفند ۱۳۸۰.
- [۱۰] M. Behbahani-Nejad, Y. Shekari, “Reduced Order Modeling of Natural Gas Transient Flow in Pipelines” 5th International Conference on Fluid Mechanics, ICFM08, Heidelberg, Germany, SEP. 2008.
- [۱۱] شکاری، یونس، مدل سازی رتبه کاسته جریان گذرا در خطوط لوله گاز طبیعی، پایان نامه کارشناسی ارشد، دانشگاه شیهد چمران، ۱۳۸۷.
- [۱۲] Taylor, T.D., Wood, N.E., Power, J.E., “A Computer Simulation of Gas Flow in Long Pipelines”, Soc. Pet. Eng, Trans, AIME, Vol. 225, 1962, pp. 297-302.



شکل ۴: قسمت موهومی ۱۰۰ مقدار ویژه اول در صفحه λ با استفاده از دو ضریب اصطکاک متفاوت

در شکل (۱۰) تغییرات فشار با زمان در مقطع انتهایی لوله با استفاده از مدل رتبه کاسته با تعداد مودهای مختلف ارائه شده است. ملاحظه می شود که با کاهش ضریب اصطکاک تعداد مودهای بیشتری برای تحلیل جریان نیاز است.



شکل ۷: توزیع فشار در مقطع انتهایی لوله با استفاده از مدل رتبه کاسته با ضریب اصطکاک $f_g = 15\%$

نتیجه گیری

با تحلیل ویژه جریان گذرا گاز طبیعی ملاحظه می شود که سیستم معادلات عددی حاکم پایدار بوده و همچنین با افزایش ضریب اصطکاک اندازه قسمت موهومی مودهای غالب سیستم کوچکتر می شود. به این ترتیب می توان با تعداد مودهای کمتری با استفاده از مدل رتبه کاسته جریان را تحلیل نمود.

مراجع

- [۱] Wylie, E.B., Stoner, M.A. and Streeter, V.L., “Network System Transient Calculations by Implicit Methods” Society of Petroleum Engineers Journal, Dec., 1971, pp. 356-362.
- [۲] Rachford, H.H., and Dupont, T.A., “A Fast Highly Accurate Means of modeling Transient Flow in Gas Pipelines by Variational Methods”, Society of Petroleum Engineers Journal, 1974, pp. 356-362.
- [۳] Kuichi, T., “An Implicit Method for Transient Gas Flow in Pipe Networks”, Int. J. Heat and Fluid Flow, Vol. 15, No.5, 1994, pp. 378-383.
- [۴] Zhou, J., Adewumi, M.A., “Simulation of Transient Flow in Natural Gas Pipelines”, 27th Annual

ح. مقایسه روش المان مرزی و روش مدار معادل در مدل سازی عددی سیستم های حفاظت کاتدیک خطوط لوله (مقاله)

Comparing BEM and Equivalent Circuit Method in Numerical Modeling of Pipelines CP Systems

Abstract

Two different approaches for numerical modeling of pipeline's cathodic protection (CP) systems are presented. The first approach is the boundary element method (BEM) and the other is a simpler one which is named here as equivalent circuit method (ECM). Impressed current which is needed to protect the underground pipe is calculated with the both methods. The nonlinear polarization curve has been used in BEM and the linearized one in ECM. The results obtained are compared with each other and advantages and disadvantages of each approach are discussed. It is concluded that ECM results depend strongly on the linearization of polarization curve. On the other hand, ECM can be applied when the anodes are placed far from the cathode, sufficiently.

Keywords: Cathodic Protection Modeling, Pipeline, Boundary Element Method, Equivalent Circuit Method

مقایسه روش المان مرزی و روش مدار معادل در مدل سازی عددی سیستم های حفاظت کاتدیک خطوط لوله

چکیده

در این مقاله دو روش مختلف برای مدل سازی عددی سیستم های حفاظت کاتدیک خطوط لوله ارائه شده است. روش اول، روش المان مرزی (BEM) و دیگری روشی ساده تر است که در اینجا از آن به عنوان روش مدار معادل (ECM) یاد شده است. جریان اعمالی لازم به منظور حفاظت خط لوله مربوطه با استفاده از هر دو روش محاسبه شده است. در روش المان مرزی از منحنی غیر خطی پلاریزاسیون و در روش مدار معادل منحنی پلاریزاسیون خطی شده مورد استفاده قرار گرفته است. نتایج بدست آمده از هر دو روش با یکدیگر مقایسه شده و مزایا و معایب هر کدام از روش ها مورد بحث قرار گرفته است. این نتیجه گیری بدست آمده است که نتایج روش مدار معادل شدیداً به نحوه خطی سازی وابسته است. از طرف دیگر، این روش تنها با فرض فاصله هی بسیار زیاد لوله و آند قابل استفاده می باشد.

واژه های کلیدی: مدل سازی حفاظت کاتدیک، خط لوله، روش المان مرزی، روش مدار معادل

مقدمه

یکی از راهکارهای متداول در حفظ سازه‌های فولادی از زنگزدگی و خوردگی گالوانیکی استفاده از روش حفاظت کاتدیک می‌باشد. با توجه به پیچیدگی‌های مسئله و لزوم طراحی بهینه‌ی سیستم‌های حفاظت کاتدیک استفاده از حل‌ها و مدل‌سازی‌های عددی بهشت احساس می‌شود. از این‌رو در دو دهی اخیر تحقیقات گسترده‌ای در این زمینه صورت گرفته است [۱-۴]. در کشور نیز با توجه به اهمیت موضوع در چند سال اخیر اقداماتی در زمینه مدل‌سازی عددی سیستم‌های حفاظت کاتدیک انجام شده است [۵-۹]. با مروری بر فعالیت‌های انجام گرفته در این زمینه می‌توان دریافت که روش عددی المان‌مرزی^۱ (BEM) از دقت و کارایی بالایی در زمینه مدل‌سازی عددی CP برخوردار می‌باشد [۹-۱]. این امر ناشی از قابلیت انعطاف‌پذیری و سهولت تعمیم بسیار زیاد این روش برای حل انواع مسائل مربوط به مدل‌سازی CP است.

در این مقاله هدف بررسی کارایی روشی دیگر در مدل‌سازی سیستم‌های حفاظت کاتدیک در مقایسه با روش المان‌مرزی می‌باشد. این روش که در اینجا با عنوان روش مدار معادل^۲ (ECM) نام‌گذاری شده، بر پایه استفاده از قوانین اهم و به کمک ساده‌سازی مسئله و استفاده از یک سری مقاومت‌های سری و موازی به تحلیل و مدل‌سازی سیستم حفاظت کاتدیک می‌پردازد. در ادامه با مروری مختصر بر روند حل به کمک روش BEM، روش ECM نیز معرفی شده و با حل یک مسئله نمونه به کمک هر دو روش نتایج آنها مورد ارزیابی قرار می‌گیرد.

معادلات حاکم

معادله‌ی حاکم بر پدیده‌ی خوردگی الکتروشیمیابی همان معادله‌ی لاپلاس مطابق با رابطه‌ی زیر می‌باشد.

$$\nabla^2 \phi = 0 \quad (1)$$

معادله فوق معادله حاکم بر میدان محاسباتی است. ϕ برابر با پتانسیل درون این ناحیه بوده و میدان محاسباتی مشتمل بر محیط الکتروولیتی که آند و کاتد در آن غوطه‌ورند، می‌باشد. مرزهای این میدان همان سطح آند و کاتد است. بهمنظور حل به کمک روش المان‌مرزی می‌بایست شرایط مرزی متناسب با مسئله تعريف شوند. این شرایط مرزی می‌تواند مقدار جریان، پتانسیل و یا رابطه‌ی بین این دو در این مرزها باشد. پیچیده‌ترین حالت در تعريف شرایط مرزی استفاده از رابطه‌ی غیرخطی بین جریان و پتانسیل روی مرزهاست که توسط منحنی پلاریزاسیون خوردگی فلز آند و کاتد بدست می‌آید. نمونه‌ای از این شرط مرزی برای فولاد کم‌کربن (کاتد) در الکتروولیت خاک به شکل زیر تعريف می‌شود. در رابطه‌ی ذیل i جریان بر حسب $\mu A/cm^2$ و ϕ پتانسیل بر حسب mV می‌باشد.

$$i = e^{(\phi+522)/25623} - \left(1 + e^{(\phi+172)/26492}\right)^{-1} - e^{-(\phi+942)/57328} \quad (2)$$

برای شرط مرزی روی آند نیز می‌توان از رابطه‌ی غیرخطی منحنی پلاریزاسیون و یا از شرط پتانسیل ثابت (در روش آند فداشونده) یا شرط جریان ثابت (در روش جریان اعمالی) استفاده نمود.

عموم روش‌های عددی نیاز به تولید شبکه در ناحیه‌ی محاسباتی خواهد داشت. از طرف دیگر در سیستم‌های حفاظت کاتدیک تنها مقادیر جریان و پتانسیل روی سازه اهمیت داشته و اطلاع از پتانسیل و جریان در کل ناحیه محاسباتی ضرورت چندانی ندارد.

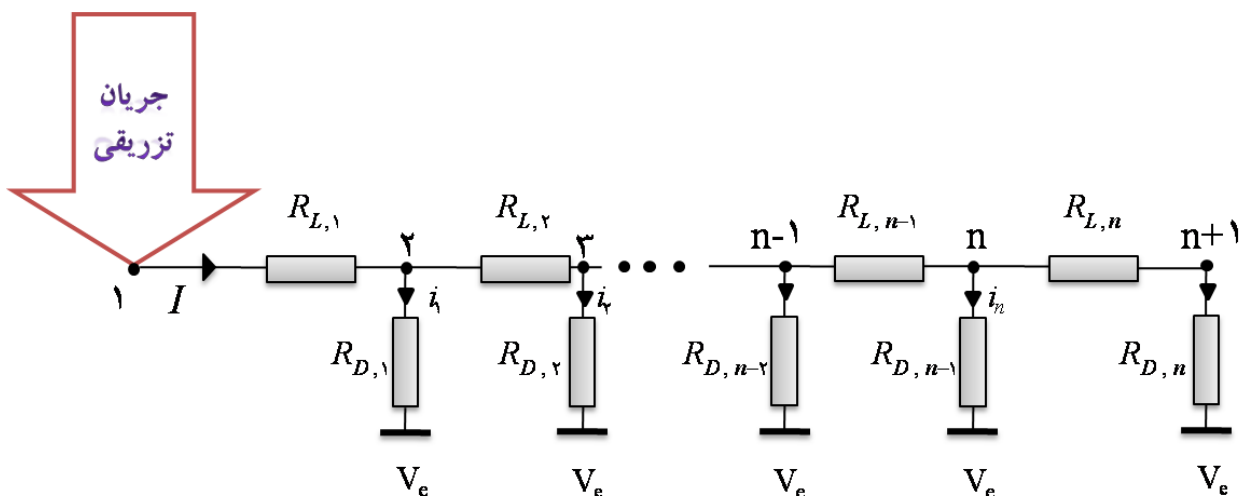
¹ Boundary Element Method

² Equivalent Circuit Method

بدین منظور به کمک روش المان مرزی و با استفاده از قابلیت این روش، تولید شبکه تنها به مرازهای ناحیه‌ی محاسباتی محدود می‌شود. در نهایت نیز پس از تولید شبکه روی مرازها (آند و کاتد) با توجه به شرط مرزی غیرخطی روی کاتد، مجهولات مسئله به کمک یک حلقه تکرار مشخص خواهد شد. روش حل مسئله به کمک روش المان مرزی و شرایط مرزی مختلف به تفصیل در منابع موجود ([۸] و [۹]) در دسترس می‌باشد.

روش مدار معادل (ECM)

یکی دیگر از روش‌های مدل‌سازی سیستم‌های حفاظت کاتدیک استفاده از ECM می‌باشد. در این روش لوله به عنوان یک هادی جریان بوده که در مقاطع مختلف جریان از آن خارج می‌گردد. طول لوله به چندین قسمت دلخواه (L_i) تقسیم می‌شود. این قسمت‌ها به صورت مقاومت‌های سری در طول لوله قرار می‌گیرند. در هر قسمت از لوله شارژ خروجی جریان وجود دارد که ناشی از عدم وجود روکش، خرابی آن و یا عدم مقاومت کافی روکش در برابر خروج جریان می‌باشد. مقاومت‌های موجود بر سر این جریان مشتمل بر مقاومت روکش، مقاومت پلاریزاسیون و مقاومت خاک است. شماتیک نحوه پیاده‌سازی مقاومت‌ها در شکل ۱ ارائه شده است.



الکتروولیت

شکل ۱- نحوه پیاده‌سازی مقاومت‌ها در طول لوله و در اتصال آنها به الکتروولیت

در شکل فوق $R_{L,i}$ برابر با مقاومت طولی در هر بخش و $R_{D,i}$ برابر با مقاومت در برابر خروج جریان از لوله می‌باشد. طبق قانون اهم، رابطه‌ی افت ولتاژ بین نقطه‌ی ۱ و الکتروولیت عبارت است از

$$V_1 - IR_{L,1} - i_1 R_{D,1} = V_e \quad (3)$$

این رابطه را به شکل دیگری مانند زیر نیز می‌توان نوشت

$$V_1 - IR_{L,1} - (I - i_1) R_{L,2} - i_2 R_{D,2} = V_e \quad (4)$$

حال شکل کلی رابطه (۴) را میتوان به صورت رابطه زیر ارائه کرد

$$V_i - V_e = I \sum_{j=1}^m R_{L,j} - \sum_{j=1}^{m-1} i_j \sum_{k=j+1}^m R_{L,k} + i_m R_{D,m} \quad (5)$$

با توجه به روابط فوق در نهایت می‌توان نتیجه گرفت که

$$IR_{L,i} + i_i R_{D,i} = +IR_{L,v} + (I - i_v)R_{L,v} + i_v R_{D,v} = I \sum_{j=1}^m R_{L,j} - \sum_{j=1}^{m-1} i_j \sum_{k=j+1}^m R_{L,k} + i_m R_{D,m} = V_i - V_e \quad (6)$$

با فرض اطلاع از میزان جریان تزریق شده به خط (I معلوم) و اطلاع از میزان مقاومت‌ها، مجہولات مسئله i_n و $V_i - V_e$ می‌باشند که در مجموع $n+1$ مجہول می‌باشند. رابطه (۶)، n معادله برای n گره نتیجه می‌دهد. معادله $n+1$ نیز به کمک قانون بقای جریان (۷) بدست می‌آید.

$$I = \sum_{j=1}^n i_j \quad (7)$$

با معلوم بودن جریان ورودی و مقدار مقاومت‌ها معادلات فوق حل شده و مقدار جریان خروجی در هر مسیر مشخص می‌شود. همانگونه که اشاره شد مقاومت‌های مدار معادل را می‌توان به دو دسته تقسیم نمود.

- مقاومت در برابر عبور جریان در راستای طول لوله ($R_{L,i}$)

- مقاومت در برابر خروج جریان از محیط لوله ($R_{D,i}$)

مقاومت‌های طولی را به کمک رابطه‌ی ذیل می‌توان محاسبه نمود.

$$R_{L,i} = \frac{\rho_i L_i}{S_i} \quad (8)$$

در رابطه فوق L_i برابر با طول هر بخش از لوله (در اختیار کاربر)، ρ_i برابر با مقاومت ویژه لوله و S_i برابر با سطح مقطع عرضی ضخامت لوله می‌باشد. مقاومت خروج جریان خود از ترکیب سه مقاومت خاک همراه با مقاومت پوشش و مقاومت پلاریزاسیون ناشی می‌شود. مقاوم خاک طبق رابطه‌ی زیر تعیین می‌شود [۱۰].

$$R_{soil,i} = \frac{\rho_{soil}}{2\pi L_i} \ln \frac{L_i}{hd} \quad (9)$$

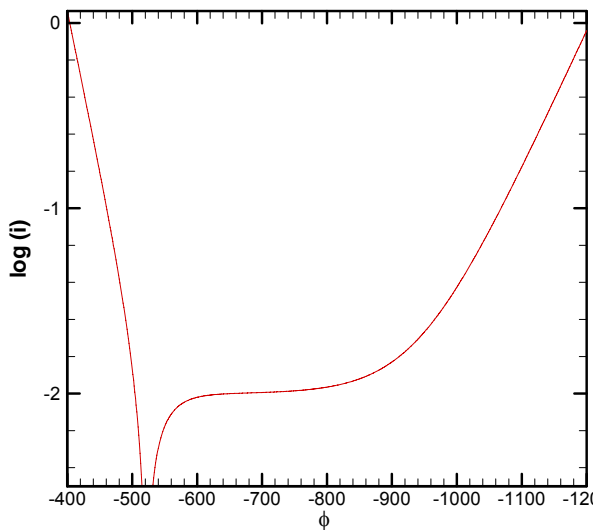
در رابطه فوق L_i برابر با طول هر بخش از لوله (در اختیار کاربر)، ρ_{soil} برابر با مقاومت ویژه خاک، d قطر لوله و h عمق قرارگیری لوله می‌باشد. مقاومت پوشش را نیز می‌توان به شکل زیر تعیین کرد [۱۰].

$$R_{por,i} = \frac{R_{ins,i}}{S_{out,i}} \quad (10)$$

$R_{ins,i}$ برابر با مقاومت پوشش بوده و $S_{out,i}$ برابر با سطح خارجی لوله می‌باشد. مقاومت پلاریزاسیون نیز به شکل زیر بدست می‌آید [۱۰].

$$R_{pol,i} = \left(\frac{\partial E}{\partial i} \right)_i / S_{ins,i} \quad (11)$$

برای محاسبه می‌بایست از رابطه‌ی (۲) استفاده نمود. با توجه به رابطه‌ی (۲) مشاهده می‌شود که رابطه‌ی غیرخطی بین جریان و پتانسیل امکان محاسبه‌ی مقاومت پلاریزاسیون را به طور مستقل نمی‌دهد. برای رفع این مشکل و ایجاد سهولت در حل می‌توان تنها شبیب بخشی از نمودار پلاریزاسیون (شکل ۲) را لحاظ نمود و یا با استفاده از روند تکرار در هر مرحله شبیب مربوط به هر بخش را محاسبه و از آن استفاده کرد.



شکل ۲- منحنی پلاریزاسیون

در رابطه (۱۱) مقدار $S_{ins,i}$ برابر با بخشی از سطح خارجی لوله می‌باشد که بدون روکش مانده و یا روکش آن معیوب می‌باشد.

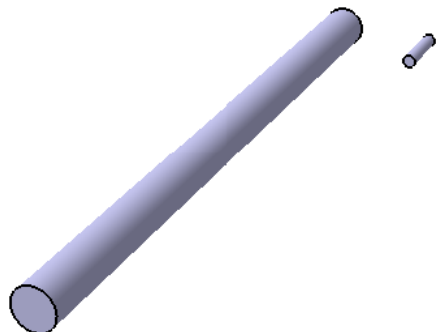
نتایج

در این قسمت سیستم حفاظت کاتدیک یک خط لوله نمونه به کمک هر دو روش مدل‌سازی شده و نتایج مورد بررسی قرار می‌گیرد. اطلاعات مربوط به این خط در جدول زیر ارائه شده‌است.

جدول ۱- اطلاعات مربوط به خط لوله مورد حفاظت

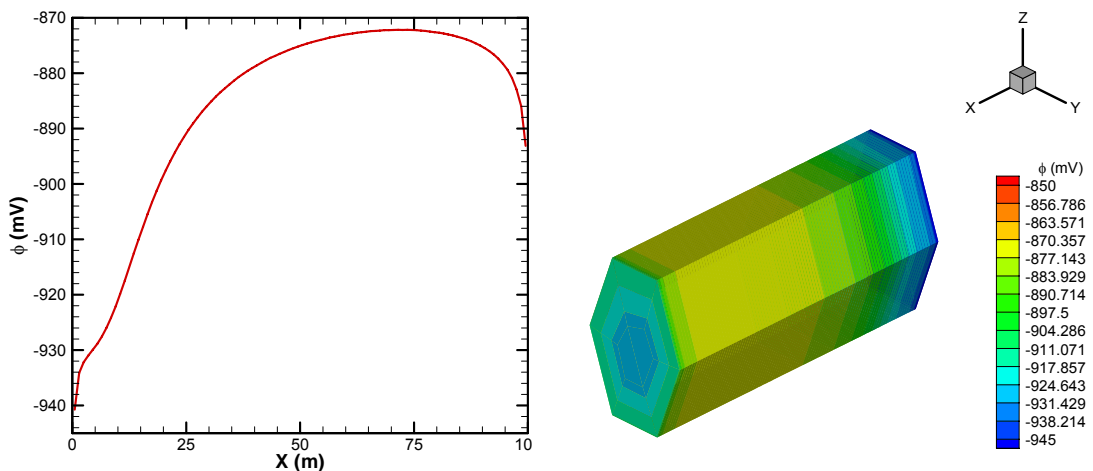
۱۰۰ متر	طول خط لوله
۱۰ متر	طول آند
۱۰ متر	فاصله‌ی ابتدای آند تا ابتدای لوله
موازی با لوله	موقعیت قرار گیری آند
۳۰۰ میلی‌متر	قطر لوله
۱ متر	طول هر بخش از لوله L_i
خاک	الکترولیت
۱۰۰۰ اهم. سانتی‌متر	مقاومت ویژه خاک
۷۲۰ نانو اهم. متر	مقاومت ویژه لوله

لوله بدون روکش بوده و ابتدا و انتهای آن عایق فرض شده است. شماتیکی از نحوه قرارگیری لوله و آند در شکل ۳ ارائه شده است.



شکل ۳- شماتیکی از نحوه قرارگیری آند و خط لوله

با فرض استفاده از روش جریان اعمالی نتایج حاصل از مدل سازی خط لوله‌ای با مشخصات ارائه شده در جدول ۱ به کمک روش المان مرزی در شکل ۴ و شکل ۵ ارائه شده است.



شکل ۵- تغییرات پتانسیل در راستای محور لوله

شکل ۴- تغییرات پتانسیل در سطح لوله

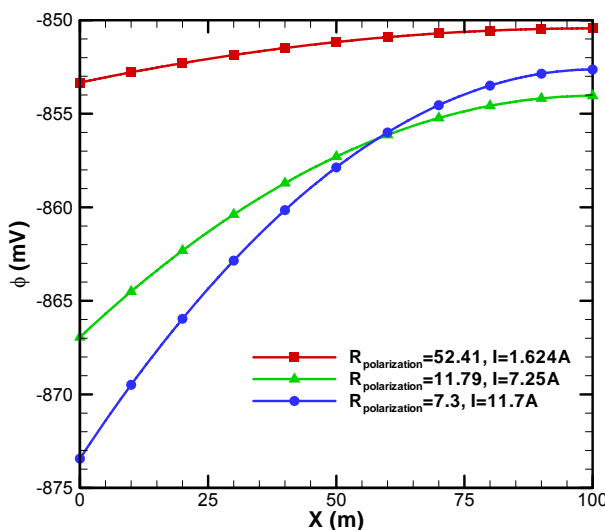
جریان لازم برای حفاظت لوله به کمک یک روند تکرار مشخص شده و این جریان در نهایت برابر با مقدار $1/36$ آمپر بدست آمده است.

برای استفاده از روش ECM نیز همانگونه که در قسمت قبل تشریح شد ابتدا می‌بایست مقاومت‌ها مشخص شوند. با فرض لخت بودن لوله مقاومت طولی و مقاومت خاک به کمک اطلاعات موجود در جدول ۱ برآحتی تعیین می‌شوند. برای تعیین مقاومت پلاریزاسیون همانگونه که در پیش اشاره شد می‌توان شبیه شیب تنها از نمودار پلاریزاسیون را در معادله استفاده نمود و یا از روند تکرار و تصحیح شبیه بهره‌گرفت. با فرض استفاده از شبیه تنها یک بخش از نمودار پلاریزاسیون، مقاومت‌های متناظر در حالات مختلف در جدول ۲ ارائه شده است.

جدول ۲- مقاومت‌های متناظر با شیب نمودار پلاریزاسیون

محاسبه‌ی شیب در بازه‌ی پتانسیل	مقدار مقاومت پلاریزاسیون متناظر
-۵۲۰ تا -۱۰۴۰	۷/۳۰۰۴ اهم
-۵۲۰ تا -۱۰۰۰	۱۱/۷۹ اهم
-۸۸۰ تا -۵۶۰	۵۲/۴۱ اهم

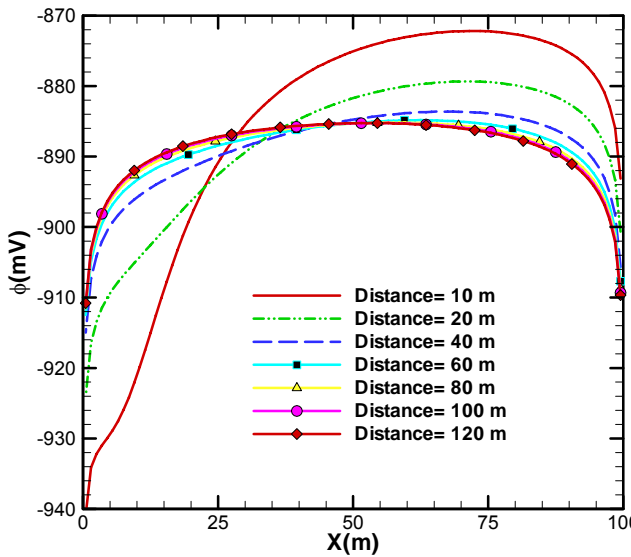
توزیع پتانسیل در طول لوله و جریان لازم برای حفاظت آن به ازای مقاومت‌های ارائه شده در جدول فوق در شکل ۶ ارائه شده است. جریان در ابتدای خط ($X=0$) تزریق شده است.



شکل ۶- توزیع پتانسیل در طول لوله به ازای مقاومت‌های مختلف پلاریزاسیون

با توجه به شکل ۶ مشاهده می‌گردد که انتخاب شیب مناسب و به عبارتی مقاومت پلاریزاسیون تاثیر چشمگیری در میزان جریان لازم جهت حفاظت خواهد داشت. به طوریکه گاه مقدار جریان لازم را تا ۱۰ برابر کاهش یا افزایش می‌دهد. از اینرو این روش شدیداً به فرآیند خطی‌سازی منحنی پلاریزاسیون وابسته می‌باشد. هر چه شیب نمودار در بازه‌ی کوتاهتری لحاظ شود، مقدار جریان کمتر می‌شود. نتایج شکل ۶ نشانگر اینست که جریان لازم برای حفاظت لوله مطابق با حالت سوم جدول ۲ تقریباً با جریان محاسبه شده توسط روش BEM برابر می‌باشد.

در روش المان مرزی اثر فاصله‌ی آند تا کاتد در توزیع پتانسیل را می‌توان بررسی نمود. با توجه به شکل ۱ در روش ECM الکتروولیت اطراف لوله دارای پتانسیل یکسان در سرتاسر لوله می‌باشد. این پدیده تنها با فرض فاصله‌ی بسیار زیاد آند و کاتد ممکن است. اثر فاصله در توزیع پتانسیل روی کاتد که به کمک روش المان مرزی محاسبه شده در شکل ۷ نشان داده شده است.



شکل ۷- توزیع پتانسیل در طول لوله به ازای فواصل مختلف آند از خط لوله

مطابق با شکل فوق افزایش فاصله‌ی آند و خط لوله به بیش از ۸۰ متر تاثیر چندانی در توزیع پتانسیل خط ندارد. از این‌رو در فواصل بیش‌تر از ۸۰ متر پتانسیل خاک در اطراف لوله یکسان بوده و می‌توان روش ECM را برای مسائلی با این شرط مورد استفاده قرار داد. با توجه به شکل ۷ و شکل ۶ می‌توان به این نتیجه رسید که حتی با اراضی شرط فاصله‌ی زیاد آندها تا کاتد هر یک از دو روش توزیع پتانسیل متفاوتی را روی کاتد نتیجه می‌دهند. علاوه بر موارد فوق با کمی دقت در شکل ۷ مشاهده می‌گردد که افزایش فاصله آند تا کاتد در این مسئله خاص باعث افزایش یکنواختی توزیع پتانسیل در خط لوله شده و حالت تقارن توزیع پتانسیل را در حالت فواصل بسیار دور ایجاد می‌نماید. همچنین با توجه به شکل مذکور مشاهده می‌گردد افزایش فاصله همانگونه که انتظار می‌رود باعث افزایش مقدار کمینه پتانسیل روی خط می‌شود. به عکس این افزایش فاصله سبب کاهش مقدار بیشینه پتانسیل شده که این حرکت در جهت مطلوب می‌باشد. به عنوان مثال برای فاصله‌ی ۱۰ متر بحرانی‌ترین نقطه دارای پتانسیلی در حدود -۸۷۵- میلی‌ولت بوده و این حد بحرانی برای فواصل بالاتر از ۶۰ متر برابر با -۸۸۵- میلی‌ولت می‌باشد. این امر بیانگر نیاز به جریان کمتر برای حفاظت خط در صورت جایگذاری آندها در فواصل دور می‌باشد.

نتیجه‌گیری

با توجه به مطالب ارائه شده در قسمت‌های پیش مزايا و معایب روش ECM را در مقایسه با روش المان مرزی به صورت زیر می‌توان برشمرد.

- مزاياي روش مدار معادل نسبت به روش المان مرزی
 ۱. سادگي روش و سهولت کاربرد
 ۲. عدم نياز به توليد شبکه روی مرزها
 ۳. تبديل مسئله سه‌بعدی به يك بعدی
 ۴. عدم نياز به روند تكرار (با فرض استفاده از يك شيب برای كل لوله) و سرعت بالاي حل که ناشي از حل يك سري معادلات خطى می‌باشد.
 ۵. سهولت بيشتر در مدل‌سازی شبکه‌ها
- معایب روش مدار معادل نسبت به روش المان مرزی

۱. نیاز به فرض اساسی دوری بسیار زیاد آندها از کاتد (وجود پتانسیل یکنواخت در الکتروولیت)
۲. عدم تطابق خطی‌سازی منحنی پلاریزاسیون با شرایط واقعی
۳. وابستگی شدید به خطی‌سازی منحنی پلاریزاسیون
۴. عدم و یا سختی بسیار برای استفاده در مدل‌سازی سیستم‌های حفاظت کاتدیک اجزای دیگر چون مخازن
۵. عدم کارایی در مدل‌سازی مسائل حفاظت کاتدیک از نوع آند فداشونده
۶. عدم کارایی در مدل‌سازی مسائل با شرایط آند و کاتد نزدیک به هم

مراجع

- [۱] R. B. Griffin, J. F. Yan, S. N. R. Pakalapati, T.V. Nguyen and R. E. White, "Mathematical Modeling of Cathodic Protection Using the Boundary Element Method with a Nonlinear Polarization Curve", *J. Electrochem. Soc.*, July 1992, Vol. 139, No. 7, pp. 1932-1936.
- [۲] K. J. Kennelley, L. Bone and M. E. Orazem, "Current and Potential Distribution on a Coated Pipeline with Holidays Part II-Comparison of the Effects of Discrete and Distributed Holidays", *Corrosion*, March 1993, Vol. 49, No. 3.
- [۳] M. E. Orazem, J. M. Esteban, K. J. Kennelley and R. M. Degerstedt, "Mathematical Models for Cathodic Protection of an Underground Pipeline with Coating Holidays: Part 1 – Theoretical Development", *Corrosion*, April 1997, Vol. 53, No. 4, pp. 264-272.
- [۴] I. A. Metwally, H. M. Al-Mandhai, A. Gastli, Z. Nadir, "Factors Affecting Cathodic-Protection Interference", *Engineering Analysis with Boundary Elements*, 2007, Vol. 31, pp. 485-493.
- [۵] بهبهانی‌نژاد، م.، چنگیزیان، م. و سببی، م.، "حفاظت کاتدیک لوله‌های گاز طبیعی با استفاده از روش المان مرزی" ، کنفرانس بین‌المللی لوله و صنایع وابسته، تهران، دوره یک، ۱۳۸۶
- [۶] بهبهانی‌نژاد، م.، چنگیزیان، م. و سببی، م.، " شبیه‌سازی عددی سیستم حفاظت کاتدیک و بررسی پارامترهای موثر در توزیع پتانسیل روی کاتد به روش المان مرزی" ، همایش مهندسی مواد و متالورژی ایران، نجف آباد، دوره هفت، ۱۳۸۶
- [۷] بهبهانی‌نژاد، م. و چنگیزیان، م.، " شبیه‌سازی سه‌بعدی سیستم حفاظت کاتدیک لوله‌های گاز مدفون در خاک به روش المان مرزی" ، همایش بین‌المللی گاز، تهران، دوره دو، ۱۳۸۷
- [۸] چنگیزیان، م.، " تحلیل عددی حفاظت کاتدیک خطوط لوله گاز طبیعی به روش المان مرزی" ، رساله جهت اخذ مدرک کارشناسی ارشد، دانشگاه شهید چمران، شهریور ۱۳۸۶
- [۹] بهبهانی‌نژاد، م.، " شبیه‌سازی عددی حفاظت کاتدیک لوله‌های گاز طبیعی " ، شرکت گاز استان خوزستان، دانشگاه شهید چمران اهواز، ۱۳۸۷
- [۱۰] V. E. Kasatkin, A. V. Gelman, A. I. Zarepov, I. V. Kasatkina and V. N. Dorofeeva, "Computer Simulation of Cathodic Protection Systems for Branched Pipelines", *Protection of materials*, 2003, Vol. 39, No. 3, pp 268-273.

خ. دقیق و سرعت محاسباتی روش‌های عددی مختلف برای تحلیل جریان گذراي گاز طبیعی (مقاله)

Accuracy and computational speed of various numerical methods for analysis of natural gas transient flow

Abstract

In the present research two numerical methods are assessed for analyzing the transient flow of natural gas in pipelines. Implicit Steger-Warming flux vector splitting method is applied to the governing equations as well as explicit Flux Corrected Transport (FCT) method. Two real cases are analyzed by these methods and their accuracies and computational speeds are compared. Obtained results show that Implicit Steger-Warming flux vector splitting method is more efficient than the flux corrected transport method with acceptable accuracy.

Keywords: transient flow, natural gas pipelines, flux vector splitting method, flux corrected transport

دقت و سرعت محاسباتی روش‌های عددی مختلف برای تحلیل جریان گذراي گاز طبیعی

چکیده

در این تحقیق دو روش برای تحلیل عددی جریان گذراي گاز طبیعی درون خطوط لوله مورد بررسی قرار گرفته است. روش اختلاف محدود ضمنی تجزیه بردار شار استیگر-وارمینگ و روش اختلاف محدود صریح انتقال تصحیحی شار به معادلات حاکم بر این جریان اعمال شده است. دو نمونه از جریان‌هایی که در عمل رخ می‌دهند، با استفاده از این دو روش تحلیل و سرعت محاسباتی روش‌های رفتہ به کار رفته با هم مقایسه شده‌اند. نتایج بدست آمده نشان می‌دهد که روش ضمنی تجزیه بردار شار زمان محاسباتی بسیار کمتری نسبت به روش انتقال تصحیحی شار دارد.

واژه‌های کلیدی: جریان گذرا، خطوط لوله گاز طبیعی، روش تجزیه بردار شار، روش انتقال تصحیح شار

مقدمه

طراحی بهینه خطوط لوله و صرفه‌جویی در هزینه‌های گازرسانی نیازمند داشتن اطلاعاتی دقیق در مورد افت فشار و نرخ جریان در خطوط لوله گاز می‌باشد. به دلایلی مانند تغییرات مصرف گاز در بین مصرف کنندگان، تغییر دمای محیط لوله، توقف و یا راهاندازی ایستگاهها و استفاده از تجهیزات ذخیره‌سازی گاز، جریان درون خطوط لوله گاز طبیعی، جریانی گذرا می‌باشد [۱]. تحلیل این جریان گذرا به روش‌های طراحی بهینه و اقتصادی خطوط لوله منجر می‌شود. معادلات حاکم بر چنین جریان گذرايی، همان معادلات اويلر هستند، که ماهیت آنها هذلولوی است. ترم اصطکاک بهصورت یک عبارت جداگانه وارد سیستم معادلات شده و باعث ناهمگن شدن آنها می‌شود. این معادلات در حالت دما ثابت با استفاده معادله بقای جرم، معادله مومنتوم و معادله حالت گاز بهدست می‌آیند.

شیوه مناسب برای حل چنین سیستمی بایستی دقیق و تا حد امکان دارای هزینه محاسباتی کم و سرعت محاسباتی بالا باشد. شیوه‌های سنتی برای تحلیل چنین جریانی غالباً شامل روش مشخصه‌ها^۱، (MOC) و تعدادی روش اختلاف محدود صریح [۲] و روش‌های اختلاف محدود کاملاً ضمنی مانند کرانک نیکلسون می‌باشند [۳]. همچنین سیستم معادلات حاکم با استفاده از یک روش صریح TVD با استفاده از یک شبکه بسیار ریز و با در نظر گرفتن عبارت اینرسی مورد تحلیل قرار گرفته است [۴]. اخیراً روش خط‌ها^۲ (MOL) با استفاده از یک شبکه تطبیقی و با در نظر گرفتن عبارت اینرسی به معادلات حاکم اعمال شده است [۱].

در کار حاضر دو روش اختلاف محدود صریح و ضمنی بدون صرف نظر کردن از عبارت اینرسی در معادله مومنتوم به معادلات حاکم بر جریان گذراي گاز طبیعی اعمال می‌شود. بدین منظور پس از معرفی معادلات حاکم، هر کدام از این روش‌ها معرفی شده و نتایج تحلیل دو نمونه جریان گذرا در حالت دما ثابت ارائه خواهد شد.

معادلات حاکم

معادلات حاکم بر جریان یک بعدی غیردائم و همدما، درون یک لوله افقی، بدون صرف نظر کردن از هیچ ترمی توسط ژو و آدمی ارائه شده است [۴]. این معادلات را که ماهیت هذلولوی دارند می‌توان بهصورت زیر بیان کرد:

$$\frac{\partial \mathbf{Q}}{\partial t} + \frac{\partial \mathbf{E}(\mathbf{Q})}{\partial \mathbf{x}} - \mathbf{H}(\mathbf{Q}) = 0 \quad (1)$$

که در رابطه بالا

$$\mathbf{Q} = \begin{pmatrix} \rho \\ \rho u \end{pmatrix} \quad \mathbf{E} = \begin{pmatrix} \rho u \\ \rho u^2 + c^2 \rho \end{pmatrix} \quad \mathbf{H} = \begin{pmatrix} 0 \\ -\frac{\rho f_g u |u|}{2D} \end{pmatrix} \quad (2)$$

در معادله (۲) سرعت جریان با u و چگالی با ρ نشان داده شده است. همچنین در این معادله c سرعت صوت، D قطر لوله و f_g ضریب اصطکاک می‌باشد.

^۱Method of Characteristic

^۲Method of Lines

روش‌های حل غیردائم جریان گاز

برای حل جریان غیردائم گاز طبیعی روش‌های مختلفی به صورت عددی، استفاده از فضای حالت و یا تحلیل مستقیم وجود دارد که در ادامه به برخی از مهم‌ترین آنها اشاره می‌گردد.

روش تجزیه بردار شار

در روش ضمنی تجزیه بردار شار استیگر – وارمینگ، مشتق نسبت به زمان با استفاده از تفاضل پس‌رو حول گام زمانی $n + 1$ بسط داده می‌شود. سپس، به دلیل حضور عبارات غیرخطی، فرآیند خطی‌سازی معادله تفاضل محدود به دست آمده حول گام زمانی n با استفاده از بسط تیلور صورت می‌پذیرد. پس از این مرحله با استفاده مشتق زنجیره‌ای شکل خاصی از معادله تفاضل محدود حاکم به نام فرمول‌بندی دلتا به دست آمده و پس از آن ماتریس‌های ژاکوبین شار تشکیل می‌شوند. با تجزیه ماتریس ژاکوبین شار با استفاده از مشخصه‌های مثبت و منفی، و با استفاده از شکل‌های پس‌رو و پیش‌روی مشتقات مکانی، نوعی روش پادبادسوس^۳ به دست می‌آید. این روش را روش تجزیه بردار شار گویند که توسط استیگر و وارمینگ^۴ پیشنهاد شده است [۵]. شکل تفاضل محدود نهایی این روش برای معادلات حاکم بر جریان گذرا به صورت زیر قابل بیان است:

$$\begin{aligned} & -\left(\frac{\Delta t}{\Delta x} A_{j-1}^+\right) \Delta Q_{j-1} + \left(I + \frac{\Delta t}{\Delta x} (A_j^+ - A_j^-) - \Delta t B_j\right) \Delta Q_j = \\ & + \left(\frac{\Delta t}{\Delta x} A_{j+1}^-\right) \Delta Q_{j+1} = -\frac{\Delta t}{\Delta x} (E_j^+ - E_{j-1}^+ + E_{j+1}^- - E_j^-) + \Delta t H_j \end{aligned} \quad (3)$$

که در رابطه بالا A^+ و A^- ، ماتریس‌های ژاکوبین شار تجزیه شده هستند. این ماتریس‌ها عبارتند از:

$$A^+ = \begin{pmatrix} \frac{c^2 - u^2}{2c} & \frac{u + c}{2c} \\ \frac{(u + c)^2(c - u)}{2c} & \frac{(u + c)^2}{2c} \end{pmatrix} \quad A^- = \begin{pmatrix} \frac{u^2 - c^2}{2c} & \frac{c - u}{2c} \\ \frac{(u + c)(c - u)^2}{2c} & \frac{-(c - u)^2}{2c} \end{pmatrix} \quad (4)$$

همچنین E^+ و E^- بردارهای شار تجزیه شده هستند و به صورت زیر بیان می‌شوند:

$$E^+ = \begin{pmatrix} \frac{\rho(u + c)}{2} \\ \frac{\rho(u + c)^2}{2} \end{pmatrix} \quad E^- = \begin{pmatrix} \frac{\rho(u - c)}{2} \\ \frac{\rho(u - c)^2}{2} \end{pmatrix} \quad (5)$$

همچنین ماتریس B عبارت است از:

^۳ Upwind

^۴ Steger and Warming

$$\mathbf{B} = \frac{\partial \mathbf{H}}{\partial \mathbf{Q}} = \begin{pmatrix} 0 & 0 \\ \frac{f_g}{2D} \frac{m|m|}{\rho^2} & -\frac{f_g}{D} \frac{|m|}{\rho} \end{pmatrix} \quad (6)$$

در رابطه بالا $m = \rho u$ می‌باشد. باید یادآور شد که $\mathbf{A} = \frac{\partial \mathbf{E}}{\partial \mathbf{Q}}$ برای هر کدام از نقاط شبکه و

با اعمال شرایط مرزی می‌توان به یک دستگاه سه‌قطري بلوكی رسید. با حل این دستگاه برای هر گام زمانی متغيرهای جريان در آن گام محاسبه می‌شوند. برای حل معادلات فوق به چهار شرط مرزی نياز است. بايستى دو شرط مرزى بر روی مرزها معلوم باشند. از طرفى چون مسأله مورد نظر دو مشخصه حقیقی دارد، دو شرط مرزی دیگر از طریق برونویابی از درون میدان جريان محاسباتی تعیین می‌شوند. در حالت کلی با اعمال شرایط مرزی به‌گونه‌ای که متغيرهای مجھول در مرز به صورت مستقيم در ماترييس ضرائب وارد نشوند، می‌توان معادله (۳) را به صورت زير نوشت:

$$\mathbf{W}^{n+1} \Delta \mathbf{Q} = \mathbf{RHS}^n + \mathbf{V}^{n+1} \quad (7)$$

در رابطه فوق \mathbf{V}^{n+1} عبارتی است که اثرات شرایط مرزی تابع زمان را بيان می‌کند. \mathbf{RHS}^n هم از معادله (۳) قابل محاسبه هستند. با محاسبه $\Delta \mathbf{Q}$ در هر گام زمانی می‌توان متغيرهای مجھول آن گام را با استفاده از معادله زير محاسبه کرد.

$$\mathbf{Q}^{n+1} = \mathbf{Q}^n + \Delta \mathbf{Q} \quad (8)$$

روش انتقال تصحيحي شار (FCT)

روش دوم، روش صريح انتقال تصحيحي شار^۵ می‌باشد که اولين بار توسط بوک و بوريس^۶ [۶] ارائه شده و بعد از آن توسط زالساک^۷ [۷] تكميل گردیده است. ايده اصلی، ترکيب يك روش با دقت بالا با روشی دارای دقت پايين است که در آن، روش با دقت بالا در نواحي هموار جريان اعمال می‌شود در حالی که روش با دقت پايين نزديك ناپيوستگي‌ها (به جهت دستيابي به يك راه حل يكتوا^۸) اعمال می‌گردد. برای دستيابي به روش و استفاده از آن، فرم بقائي معادلات مورد نياز می‌باشد. گام‌های روش تكمالي FCT (الگوريتم زالساک) به شرح زير می‌باشد [۷]:

- شار انتقالی روش با دقت پايين ($f_{i+1/2}^L$) با استفاده از يك روش با دقت پايين مانند روش لكس یا لكس-وندروف مرتبه اول برای تضمين رفتار يكتوابي روش محاسبه می‌گردد.

^۵ Flux Corrected Transport (FCT)

^۶ Book and Boris

^۷ Zalesak

^۸ Monotone

- شار انتقالی روش با دقت بالا ($f_{i+1/2}^H$) با استفاده از یک روش با دقت بالا همانند الگوریتم وارمینگ-کاتلر-لومکس (WKL) یا روش‌های TVD به منظور تضمین انجام تحلیلی با دقت بالا، محاسبه می‌شود، اما این کار می‌تواند باعث بروز برخی رفتارهای نوسانی و دیگر رفتارهای نامناسب عددی در حل گردد که این نوسان‌ها از ویژگی‌های بسیاری از روش‌های مرتبه دوم به بالا می‌باشد.

- حل انتقالی و پخشی جدید و مرتبه پایین محاسبه می‌شود.

$$u_i^{TD} = u_i^n - \frac{\Delta t}{\Delta x_i} (f_{i+1/2}^L - f_{i-1/2}^L) \quad (9)$$

- شار ضد پخشی که معادل مقدار شار انتقالی یکنواختی تعریف می‌شود که بایستی قبل از تصحیح متغیرهای مرحله سوم محدود شود.

$$f_{i+1/2}^{AD} = f_{i+1/2}^H - f_{i+1/2}^L \quad (10)$$

- شارهای ضد پخشی به نحوی محدود می‌گردند که u^n محاسبه شده در مرحله چهارم عاری از بالاروی یا پایین‌روی^۹ (همانند u_i^{TD}) باشد. به عبارت روش‌تر:

$$f_{i+1/2}^C = C_{i+1/2} f_{i+1/2}^{AD} \quad , \quad 0 \leq C_{i+1/2} \leq 1 \quad (11)$$

- این شار ضد پخشی محدود شده برای مقدار جدید u_i^{n+1} اعمال می‌گردد. یعنی

$$u_i^{n+1} = u_i^{TD} - \frac{\Delta t}{\Delta x} (f_{i+1/2}^C - f_{i-1/2}^C) \quad (12)$$

نتایج

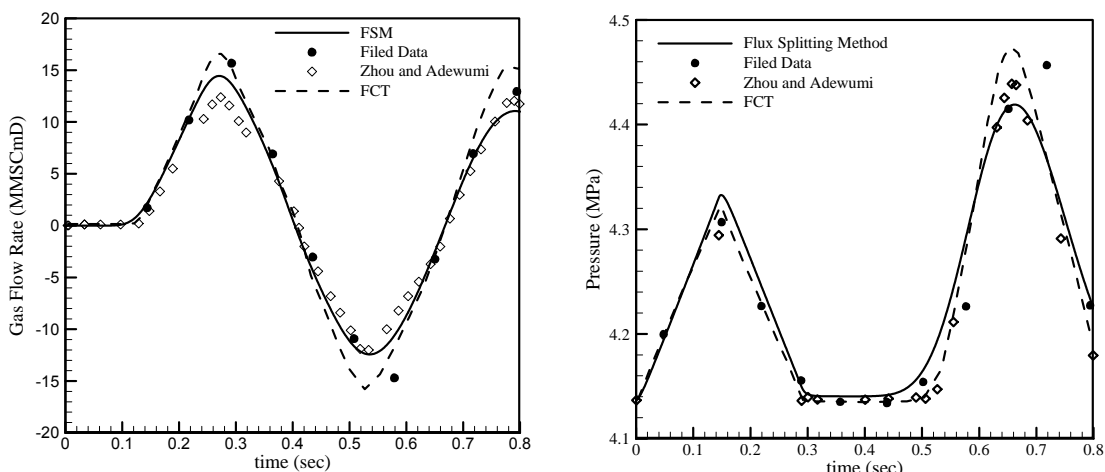
در این قسمت با استفاده از روش‌های ذکر شده، دو نمونه جریانی که در عمل رخ می‌دهند، تحلیل و نتایج به دست آمده با نتایج ارائه شده توسط سایر محققین مقایسه می‌شوند.

^۹ Over- and Undershoots

خط لوله با انتهای بسته

نمونه اولی که بررسی می‌شود، نمونه‌ای است که در [۸] نیز مورد بررسی قرار گرفته است. این مثال توسط ژو و آدومی [۴] هم تحلیل شده است. لوله‌ای به طول $91/44\text{ m}$ و به قطر $61/61\text{ m}$ که انتهای آن بسته است و در ابتداء فشار $4/136\text{ MPa}$ درون آن برقرار است، در ورودی خود تحت اثر تغییر شار جرمی به صورت یک پالس مثلثی قرار می‌گیرد. مدت زمان کل انجام آزمایش $8/0\text{ s}$ می‌باشد. این پالس به‌گونه‌ای است که از لحظه صفر جریان ورودی به صورت خطی در مدت زمان $1/45\text{ s}$ تا مقدار $196\frac{\text{m}^3}{\text{s}}$ در شرایط استاندارد^{۱۰}، افزایش می‌باید. سپس به صورت خطی در مدت زمان $1/45\text{ s}$ تا صفر کاهش می‌باید. همچنین سرعت دما ثابت $348/1\frac{\text{m}}{\text{s}}$ می‌باشد. همچنین مقدار ضریب اصطکاک ثابت و برابر با $3/0\text{ }^\circ$ در نظر گرفته شده است. علاوه بر این مقادیر شار جرمی در ورودی و خروجی معلوم است بنابراین بایستی مقادیر جرم مخصوص در مرزها برونو بابی شوند.

نتایج به‌دست آمده با استفاده از روش تجزیه بردار شار و FCT



شکل ۲- نرخ جریان گاز در مقطع میانی لوله با استفاده از روش تجزیه بردار شار و FCT و مقایسه آن با نتایج ارائه شده توسط سایر محققین

شکل ۱- تغییرات فشار در ورودی لوله با استفاده از روش تجزیه بردار شار و FCT و مقایسه آن با نتایج ارائه شده توسط سایر محققین

شکل ۱ تغییرات فشار با زمان در مقطع ورودی لوله را نشان می‌دهد. همان‌گونه که در این شکل مشخص است نتایج به‌دست آمده از روش تجزیه بردار شار به داده‌های میدانی، و نتایج به‌دست آمده توسط ژو و آدومی، بسیار نزدیک است. همچنین روش FCT نیز توانسته است فشار در مقطع ورودی لوله را به خوبی تقریب بزند. فشار در ابتداء در مدت زمان $1/45\text{ s}$ به مقدار بیشینه خود می‌رسد، سپس در زمان $29/0\text{ s}$ به مقدار بیشینه خود به مقدار $4/136\text{ MPa}$ می‌رسد و تا زمان $45/0\text{ s}$ در این مقدار

^{۱۰} در شرایط استاندارد دما $25^\circ C$ و فشار 100 kPa می‌باشد.

باقي می‌ماند. این افزایش و کاهش ناگهانی فشار به دلیل اعمال پالس مثلثی نرخ حجمی جریان گاز در ورودی لوله می‌باشد. پس از این زمان به دلیل برگشت جریان فشار تا حدود $4 / 41 \text{ MPa}$ در زمان 78 ° افزایش می‌باید و پس از آن فشار دوباره کاهش می‌باید. شکل ۲ نمایش دهنده نرخ تغییرات جریان گاز در نقطه میانی لوله با زمان می‌باشد. در اینجا نیز نتایج به دست آمده از روش تجزیه بردار شار و FCT به داده‌های میدانی، و نتایج به دست آمده توسط ژو و آدومی، بسیار نزدیک است. در ابتدا در حدود $16s$ ° هیچ‌گونه تغییری در این نقطه مشاهده نمی‌شود. این بدان علت است که در این مدت زمان، این نقطه هیچ تحریکی از بالا دست جریان حس نکرده است. با گذر زمان و با منتقل شدن تحریک اعمال شده به پایین دست جریان، نرخ حجمی گاز در نقطه میانی شروع به افزایش می‌کند. با عبور تحریک اعمال شده از این نقطه نرخ جریان گاز در این نقطه شروع به کاهش می‌کند. تا اینکه در زمانی حدود $4s$ ° این مقدار به صفر می‌رسد. در اثر برگشت جریان از انتهای لوله به ابتدا نرخ جریان در جهت منفی افزایش می‌باید. تا اینکه با گذر جریان برگشتی نرخ جریان گاز رو به کاهش می‌رود و در زمانی حدود $65s$ ° مقدار آن به صفر می‌رسد و پس از آن دوباره نرخ جریان گاز افزایش می‌باید.

جدول ۱ - مقایسه کارایی دو روش تجزیه بردار شار و FCT

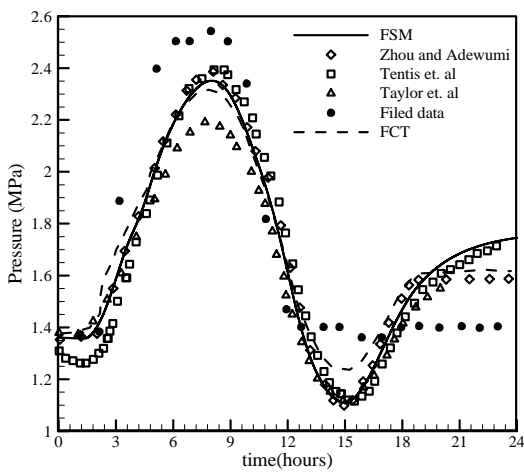
روش	تجزیه بردار شار	FCT
وضعیت پایداری	همیشه پایدار	در محدوده عدد کورانت، پایدار
CPU TIME	$0 / 25s$	$15 / 47s$

در جدول ۱ کارایی دو روش تجزیه بردار شار و FCT در ارتباط با زمان محاسباتی برای مثال اول با یکدیگر مقایسه شده‌اند. ملاحظه می‌شود که زمان محاسباتی روش ضمنی تجزیه بردار شار در مقایسه با روش FCT بسیار کمتر است.

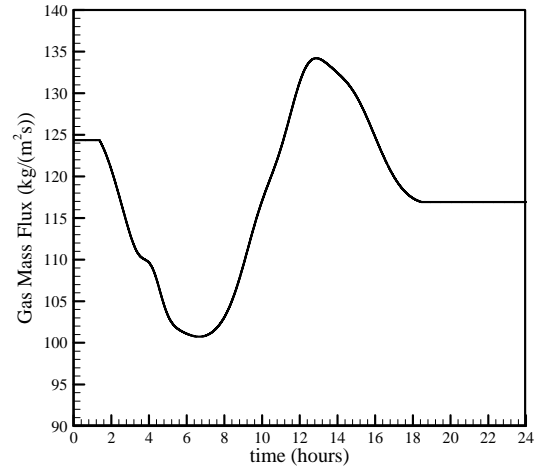
خط لوله با خروجی مشخص

دومین نمونه جریانی که بررسی می‌شود، نمونه‌ای است که در مرجع [۶] نیز مورد بررسی قرار گرفته است. سیستم، لوله‌ای به طول $5m$ و قطر $20.7m$ ° می‌باشد که جریان گاز طبیعی با وزن مخصوص 675 ° و دمای 10°C درون آن برقرار است. لزجت گاز $kgm^{-1}s^{-1} \times 10^6 = 11 / 84$ است و زبری لوله 617 mm ° می‌باشد. در اثر عدم وجود شرایط اولیه، شرایط حالت دائم‌جریان به عنوان شرایط اولیه در نظر گرفته می‌شوند. مقدار ضریب اصطکاک ثابت و برابر با همان مقدار حالت دائم‌نظر گرفته می‌شود. برای شرایط مرزی هم، فشار در ورودی ثابت در نظر گرفته می‌شود، در حالی که لوله در خروجی خود در اثر تقاضای مصرف‌کنندگان، تحت اثر تغییر شار جرمی مطابق شکل ۳ در طول یک شباهنگی قرار می‌گیرد. این مساله توسط ژو و آدومی هم با استفاده از یک روش TVD مورد بررسی قرار گرفته است [۴]. همچنین این مساله تنتیس و همکاران با استفاده از روش خط‌ها^{۱۱} و یک شبکه تطبیقی تحلیل شده است [۱].

^{۱۱} Method of Lines



شکل ۴- تغییرات فشار در انتهای لوله با استفاده از روش تجزیه بردار شار و FCT و مقایسه آن با نتایج ارائه شده توسط سایر محققین



شکل ۳- شار جرمی در مقطع خروجی

شکل ۴ تغییرات فشار گاز با زمان در مقطع خروجی لوله در مدت یک شب‌نوروز را نشان می‌دهد. همان‌گونه که در این شکل نشان داده شده است، تا ساعت ۱/۵ بامداد، با ثابت ماندن شار جرمی در مقطع خروجی هیچ‌گونه تغییر فشاری در این مقطع مشاهده نمی‌شود، پس از این ساعت با کاهش مصرف، فشار در مقطع خروجی شروع به افزایش می‌کند. این روند تا حدود ساعت ۸ صبح ادامه می‌یابد. پس از این ساعت با افزایش مصرف، فشار در مقطع خروجی کاهش می‌یابد. این روند تا ساعت ۱۵ ادامه می‌یابد. سپس با کاهش مصرف، روند افزایش فشار تا ساعت ۲۴ ادامه می‌یابد.

جدول ۲- مقایسه کارایی دو روش تجزیه بردار شار و FCT

روش انتقال تصحیحی شار		روش تجزیه بردار شار	
CPU TIME	گام زمانی	CPU TIME	گام زمانی
۱۴۶۸۸۳/۲s	۰/۰۰۰۰۱s	۲۵۶/۵۹s	۱s
۷۸۴۱۲/۱s	۰/۰۰۰۱s	۱۲/۶۵s	۲۰s
۳۵۸۸۹/۸s	۰/۰۰۱s	۴/۰۵s	۶۰s
۲۷۵۴۰/۰s	۰/۰۱s	۰/۸۷۵s	۳۰۰s

در جدول ۲ کارایی دو روش تجزیه بردار شار و FCT در ارتباط با زمان محاسباتی برای مثال دوم با یکدیگر مقایسه شده‌اند. ملاحظه می‌شود که زمان محاسباتی روش ضمنی تجزیه بردار شار در مقایسه با روش FCT بسیار کمتر است. سرعت محاسباتی روش تجزیه بردار شار را می‌توان به دو عامل زیر نسبت داد.

- کم بودن حجم عملیات ریاضی و تعداد مراحل تحلیل در یک گام زمانی نسبت به FCT
 - بزرگتر بودن گام زمانی در روش تجزیه بردار شار
- نتیجه‌گیری**

با بررسی جداول و شکل‌های ارائه شده ملاحظه می‌شود که روش تجزیه بردار شار ضمن برخورداری از دقت مناسب، به دلیل داشتن سرعت محاسباتی بالاتر نسبت به روش FCT برای تحلیل جریان درون خطوط انتقال و شبکه‌های توزیع گاز طبیعی مناسب‌تر است.

مراجع

- [1] Tentis, E., Margaris, D., Papanikas, D., 2003, "Transient gas flow simulation using an Adaptive Method of Lines", C. R. Mecanique ,Vol. 331, pp. 481–487.
- [2] Zucrow, M.J., Hofman., J.D., 1976, "Gas Dynamics", Willey, Vol. I & II.
- [3] Rachford, H.H., Dupont, T.A., 1974, "A Fast Highly Accurate Means of modeling Transient Flow in Gas Pipelines by Variational Methods", Society of Petroleum Engineers Journal, pp. 356-362.
- [4] Zhou, J., Adewumi, M.A., 1995 "Simulation of Transient Flow in Natural Gas Pipelines", 27th Annual Meeting Pipeline Simulation Interest Group (PSIG), Albuquerque, New Mexico, Oct. 18-20.
- [5] Steger, J.L., Warming, R.F., 1979, "Flux Vector Splitting of the Inviscid Gasdynamic Equation with Application to Finite Difference Methods", NASA TM 78605.
- [6] Book, D.L., Boris, J.P., Hain, K., 1975, "Flux-corrected transport II: Generalizations of the method", J.Comput. Phys. 18, pp. 248-278.
- [7] Zalesak, S.T., 1979, "Fully multidimensional flux-corrected transport algorithms for fluids", J. Comput. Phys. 31, pp. 335-362.
- [8] Dempsey, R.J., Rachford, H.H., Nolen, J.S., "Gas Supply Analysis-States of the Arts", Paper Presented at AGA Conf, San Francisco, 1972
- [9] Taylor, T.D., Wood, N.E., Power, J.E., "A Computer Simulation of Gas Flow in Long Pipelines", Soc. Pet. Eng, Trans, AIME, Vol. 225.

د. غرفه دفتر پژوهش شرکت گاز استان خوزستان از نمای دوربین



شکل ۱: عکس‌هایی از غرفه دفتر پژوهش ۱



شکل ۲: عکس هایی از غرفه دفتر پژوهش ۲



شکل ۳: عکس هایی از غرفه دفتر پژوهش ۳



شکل ۴: عکس هایی از غرفه دفتر پژوهش ۴



شکل ۵: عکس هایی از غرفه دفتر پژوهش ۵



شکل ۶: عکس‌هایی از غرفه دفتر پژوهش ۶

ر. سeminارهای ارائه شده در هفته پژوهش

ر.۱ وضعیت حال و آینده ایستگاه‌های گاز شهری

دفتر پژوهش شرکت گاز استان خوزستان



وضعیت حال و آینده ایستگاه‌های گاز شهری

مهندس علی باقری
کارشناسی ارشد مهندسی مکانیک
دانشگاه شهید چمران اهواز

۱۳۸۷

فهرست مطالب

- معرفی ایستگاه‌های مختلف در امر گازرسانی
- وضعیت حال ایستگاه‌ها
- وضعیت آتی مورد انتظار ایستگاه‌ها
- ارائه راهکارهای سازنده جهت ادامه تدوین استانداردها و طراحی ایستگاه‌ها

معرفی ایستگاه‌های مختلف در امر گازرسانی

- انواع ایستگاه‌ها بر حسب کاربرد :
 - ایستگاه‌های تقلیل فشار شامل :
 - ایستگاه دروازه شهری بزرگ (City Gate Station- CGS) با تقلیل از ۴۰۰ به ۲۵۰ پوند بر اینچ مربع
 - ایستگاه محدوده شهری کوچک (Town Boarder Station- TBS) با تقلیل از ۶۰ به ۲۵ پوند بر اینچ مربع
 - ایستگاه‌های اندازه گیری
 - ایستگاه با تقلیل فشار خاص جهت موارد خاص صنعتی

معرفی ایستگاه‌های مختلف در امر گازرسانی



● انواع ایستگاه‌ها بر حسب نوع استقرار :

- ایستگاه‌های کاینتی
- ایستگاه‌های مسطح
- ایستگاه‌های زیرزمینی

بازگشت به فرت

وضعیت حال ایستگاه‌ها

● همواره با توجه به نوع کاربرد و فشار گاز ورودی به ایستگاه، نوع ایستگاه انتخاب می‌شود و با توجه به پارامترهای اصلی زیر طراحی ایستگاه تقلیل

فشار انجام می‌پذیرد:

- فشار و دمای عملیاتی گاز ورودی
- فشار و دمای عملیاتی گاز خروجی
- فشار طراحی و تست
- سرعت گاز داخل لوله
- مقدار جریان حجمی گاز

وضعیت حال ایستگاهها

در شکل کلی، تمامی ایستگاههای تقلیل فشار از حیث شکل ظاهری و نوع اجزا یکسان می‌باشند. برای نمونه:

- رگولاتور
- شیر عایقی از نوع مخروطی
- شیر عایقی از نوع توپی
- شیر اطمینان قطع کننده جریان
- فیلتر خشک عمودی (ایستاده) گاز
- شیر اطمینان تعليمه گاز
- دبی سنج توربینی گاز
- سیستم بودار کننده
- شاخص اندازه گیر دما
- شیر کنترلی
- شاخص اندازه گیر فشار
- شیر سماوری

هر کدام از اجزای فوق دارای استانداردهای مخصوص خود در شرکت ملی گاز ایران (IGS) یا در سطح بین‌المللی (ASME, ANSI,...) هستند

وضعیت حال ایستگاهها



وضعیت حال ایستگاهها

نمونه‌هایی از استانداردهای حال حاضر شرکت گاز:

- ضد زنگ و آستر کاری اجزا و در مورد فیلترها، ساقمه‌پاشی و ماسه‌زنی باید مطابق با استاندارد سوئدی sts 055900 Grade SA3 یا S.I.S 05590-LATEST بوده و دارای یک پوشش روی-کرومات با ضخامت خشک ۳ میلی‌متر به همراه پوششی میانی از اکسید آهن میکادار خاکستری با ضخامت ۲.۵ میلی‌متر باشند
- صفحه نام و مشخصاتی روی اجزا حاوی اطلاعات ذیل باید جوش بخورد:
 - نام تولید کننده، شماره سریال و سال تولید
 - مدل و نوع
 - اندازه
 - فشار کاری-فشار طراحی-فشار تست
 - دمای کاری
 - وزن و حجم
- قطعات قابل انفكاك بایستی بعد از تنفس زدایی نصب گردند

وضعیت حال ایستگاهها

- نمونه هایی از استانداردهای حال حاضر شرکت گاز:
 - کلیه فلنج کاری ها و لوله کاری های فولادی مطابق استاندارد ANSI-B16.5
 - جوش کاری ها و فیت کاری ها بایستی مطابق با استاندارد ANSI-B16.11
 - اتصالات چفتی و جوشی مطابق استاندارد ANSI- B16.11
 - واشرها (گسکت ها): ANSI-B 16.20
 - پیچ و مهره ها: ANSI-B 18.2 , B 2.2
 - شیرآلات: NIGC-IGS-MS-PL-010, 019
 - لوله کشی: ANSI-B31.8, B31.3
 - رنگ کاری: NIOC-IPS-E-TP-100
 - لوله فولادی بدون درز: ASTM A106
 - پوشش های اپوکسی: NIOC-IPS-M-TP-215, 220, 225 (1993)

بازگشت به فهرست

وضعیت آتی مورد انتظار ایستگاهها

- ایستگاه های مسطح در آینده به طور کامل منسوخ و به جای آنها دو ایستگاه

زیر جایگزین می گردد:

- ایستگاه های کایبتی
- ایستگاه های زیر زمینی

این امر بخاطر مشکلات کمی باشد؛ البته ممکن است مشکلاتی بوجود آیند و از جمله آنها اینکه این ایستگاهها مشکل دسترسی به یک جزء خاص برای تعویض یا نگهداری خواهند داشت.

بازگشت به فهرست

راهکارهایی جهت ادامه تدوین استانداردها و طراحی ایستگاهها

- تدوین استانداردهای جدید و مرتبط با ایستگاههای جدید
- سویچ از ایستگاههای قدیمی مسطح به انواع جدید با بررسی موانع و مشکلات احتمالی
- ایجاد یک مجموعه کامل و نرمافزاری از تیپ‌های ایستگاههای کابینتی و مسطح

راهکارهایی جهت ادامه تدوین استانداردها و طراحی ایستگاهها

- استانداردسازی باید مطابق با موارد ذیل انجام پذیرد:
 - محافظت در برابر خوردگی
 - محافظت ایستگاه و پرسنل از رعد و برق
 - ایجاد سیستم‌های قطع فعالیت اتوماتیک
 - استحکام سازه‌ها بخصوص سازه‌ها و تجهیزات زیرزمینی
 - بررسی راه‌های جمع‌آوری و کنترل آبهای سطحی و هرزآبها و مخلوط آبروغن‌ها
 - ارتعاشات لوله‌ای به هنگام انبساط و انقباض و فعالیت ایستگاه
 - هواکش و سیستم تهویه
 - روشنایی
 - حصارکشی
- طرح و موقعیت‌سنجی اولیه ایستگاه قبل از پیاده‌سازی
- ایمنی در برابر آتش‌سوزی

پایان



ز. استاندارد انتخاب روکش IGS

IGS-R-TP-024(0)

Jan. 2009

APPROVED



شرکت ملی گاز ایران - مدیریت پژوهش و فناوری

امور تدوین استانداردها

IGS
Iranian Gas Standards

راهنمای انتخاب پوشش

راهنمای انتخاب پوشش خارجی برای خطوط لوله گاز (مدفون)

Recommended Practice for Selection of Suitable External Coatings
for Underground (Burried) Gas Pipelines

تاریخ: ۱۳۸۷/۱۰/۱۶
شماره: ۱۴۹۹۶ - ۷۵۰/۰/۰



دفتر مدیر عامل



ابلاغ مصوبه هیأت مدیره

۱- اصل مصوبات حم.
۲- نسخه مختصر گاز ایران
جست اطلاع
۳- ۱۴۹۹۶ پکریت

مدیر محترم پژوهش و فناوری

بسلام،

به استحضار می رسانند در جلسه ۱۳۸۷/۱۰/۱۱ مورخ ۱۳۸۷ هیأت مدیره، نام شماره ۱۱۰۴۸۱/۰۰۹ مورخ ۸۷/۹/۱۳ آن مدیریت در مورد دستورالعمل راهنمای انتخاب انواع پوشش های خطوط لوله گاز ازجمله قیر اصلاح شده (با نام تجاری بیتوسیل) و پلی اتیلن سه لایه با حضور رئیس امور تدوین استانداردها و رئیس امور بازرگانی فنی شرکت انتقال گاز مطرح و مورد تصویب قرار گرفت.

همچنین مقرر گردید انتخاب نهایی پوشش خطوط لوله اجرائی با رعایت استانداردهای مندرج در دستورالعمل فوق الذکر به عهده هیأت مدیره شرکت ذیربطر باشد و در پیمانهای اجرائی خطوط لوله نیز با پیشنهاد طراح و تائید نهایی هیأت مدیره شرکت ذیربطر انجاء پذیرد.

ناصر آبغون

دیپر هیأت مدیره

رونوشت: مدیر عامل محترم شرکت ملی گاز ایران و قائم مقام رئیس هیأت مدیره

: اعضای محترم هیأت مدیره / مدیر محترم توسعه منابع انسانی / مدیر عامل محترم

شرکت انتقال گاز ایران / رئیس محترم امور حسابرسی داخلی / رئیس محترم

امور حقوقی / رئیس محترم روابط عمومی

FOREWORD

This standard is intended to be mainly used by NIGC and contractors and has been prepared on interpretation recognized standards , technical documents , knowledge , backgrounds and experiences in gas industries at national and international levels .

Iranian gas standards (IGS) are prepared , reviewed and amended by technical standard committees within NIGC Standardization division and submitted to the NIGC's "STANDARDS COUNCIL" for approval .

IGS Standards are subject to revision , amendment or withdrawal , if required , thus the latest edition of IGS shall be checked/inquired by NIGC users .

This standard must not be modified or altered by the end users within NIGC and her contractors . Any deviation from normative references and/or well known manufacturers specifications must be reported to Standardization division .

Any comments from concerned parties on NIGC distributed IGS are welcome to technical standards committees and will receive serious attention and consideration should a revision to standards is recommended .

GENERAL DEFINITIONS :

Throughout this standard the following definitions , where applicable , should be followed :

1- "STANDARDIZATION DIV." has been organized to deal with all aspects of industrial standards in NIGC . Therefore , all queries for clarification or amendments are requested to be directed to mentioned div.

2- "COMPANY" : refers to national Iranian gas company .

3- "SUPPLIER" : refers to a firm who will supply the service , equipment or material to IGS specification whether as the prime producer or manufacturer or a trading firm .

4- "SHALL " : is used where a provision is mandatory .

5- "SHOULD" : is used where a provision is advised only .

6- "MAY" : is used where a provision is completely discretionary .

Website : <http://igs.nigc.ir>

E-mail : nigc igs@ nigc.org

CONTENT	PAGE
0. INTRODUCTION	1
1. SCOPE	3
2. REFERENCES	3
3. DEFINITIONS	5
4. GENERAL REQUIREMENTS	5
5. MANDATORY REQUIREMENTS	7
6. SELECTION REQUIREMENTS	7
Annex A – "ACS-15"	16
Annex B – "PIPELINE REHABILITATION COATING SYSTEMS"	17
Annex C – "TP 206 (ALEYSKA SHEAR STRESS TEST)"	19

0. INTRODUCTION

The majority of gas transmission and distribution pipework and associated fittings is buried and therefore needs to be protected against corrosion.

All metallic pipelines should be provided with an external coating and, for buried or submerged sections, cathodic protection.

The possibility of external corrosion occurring shall be determined on the basis of pipeline operating temperatures and the external conditions along the pipeline.

Typical environments which shall be considered when evaluating the possibility of external corrosion include:

- Atmosphere (marine/industrial/rural);
- Sea water (tidal zone/shore approach);
- Fresh or brackish water;
- Marshes and swamps;
- River crossings;
- Dry or wet soil;
- Inside tunnels, sleeves or caissons.
- Human Interference

Environmental parameters which should be considered include:

- ambient air temperatures;
- resistivity, salinity and oxygen content of the environment;
- bacterial activity;
- water current (ground water depth);
- degree of burial;
- potential in-growth of tree roots;
- potential soil pollution by hydrocarbons and other pollutants.

The evaluation of corrosion measures should take into account the probable long-term corrosiveness of the environment rather than be solely confined to the as-installed corrosiveness. For a pipeline on land, due consideration should be given to any known planned changes in the use of the land traversed by the pipeline route which may alter the environmental conditions and thus soil corrosiveness, e.g. irrigation of land previously arid or of low corrosiveness.

The possible effect of the PH of the environment and possible sources of stray and alternating currents shall be evaluated for pipelines on land.

The types of external corrosion damage to be considered shall include:

- general metal loss and degradation;
- localized corrosion, e.g. pitting under deposit or crevice attack;
- microbiologically induced corrosion;
- stress-corrosion cracking , e.g. carbonate / bicarbonate attack.

In a review of 50 years of literature on pipeline coatings, the following concepts emerged:

- Selection of a suitable coating and proper application of the coating both in the factory and in the field are very important for the pipelines intended service life.
- CP must supplement the coating in underground applications to ensure 100% protection.
- Field test results are more indicative of the long term suitability than laboratory tests.
- Results of adhesion tests do not correlate with those of cathodic disbondment tests.
- Cathodic disbondment tests are the best tests to measure coating performance.
- The current required for CP is the best measure of coatings performance when buried.
- Optimizing coating thickness is important.
- Soil stress on the coating is one of the main problems associated with buried pipelines.
- Resistance to cathodic disbondment and soil stresses are very important requirements of a pipe coating . For a pipe coating to be effective, it should meet these criteria: adhesion, adequate thickness, low moisture absorption / transfer, chemical resistance (especially alkalis from CP), and flexibility.
- The initial selection of a suitable coating system is very important, and also, perhaps the most important factor is that the coating system shall be applied as per the required specification.

1. SCOPE

This recommended practice defines the minimum requirements for selection of external coating systems for buried steel pipeline and piping (including associated fittings and appurtenances) and also gives guidance on the performance characteristics of these coatings.

NOTE:

1 - This standard will refer only to coating systems which are known to be successful when used by NIGC and major internationally well-known oil & gas companies.

2 - Additions will be made from time to time to the information available in order to cover products which are less widely used and new products which are considered to be of sufficient interest.

2. REFERENCES

Throughout this standard specification, the following standards and codes that are in effect at the time of issues of this specification (2008) shall, to the extent specified herein, form part of this specification.

The applicability of changes in standards and codes that occur after the date of standards that referred shall be mutually agreed upon by the purchaser and supplier and / or manufacturer.

ISO 21809-2	Petroleum and natural gas industries – External Coatings for buried or submerged pipelines Used in pipeline transportation systems Part 2: Fusion Bonded Epoxy Coatings
ISO 13623	Petroleum and natural gas industries – pipeline transportation systems
ASTM D 1000	Test method for pressure-sensitive adhesive-coated tapes used for electrical and electronic applications
AWWA C 203	Coal tar protective coatings and linings for steel water pipeline – Enamel and tape – Hot applied
NACE RP 01 05-2005	Liquid–epoxy coatings for external repair, Rehabilitation, and weld joints on buried steel pipelines
NACE RP 04 02-2002	Field –Applied Fusion Bonded Epoxy (FBE) pipe coating system for Girth Weld Joints: Application, Performance, and Quality Control

NACE SP 01 69-2007 Control of External corrosion on Underground or Submerged Metallic piping Systems

BS 4164 Specification for coal-tar-based hot-applied coating materials for protecting iron and steel, including a suitable primer

BS 7873 Code of Practice for application and testing of hot enamel external and/or internal coating of iron and steel pipes

BS EN 10300 Bitumen hot applied material coating for external coating

BS ISO 11359 Plastics – thermomechanical analysis (TMA)

IPS-M-TP-317 Hand applied petrolatum tape and primer

IPS-M-TP-311 Cold – applied laminated plastic tape as outer – layer tape

IGS-M-TP-010-1&2 3 layer PE coating system

IGS-M-TP-014-2-A Polymer modified bitumen membrane

IGS-M-TP-014-2-C 3ply Cold applied plastic tape

IGS-M-TP-014-4 Hand applied laminated plastic tape

IGS-M-TP-014-5 Hand applied laminated bituminous tape

IGS-M-TP-014-3(1) High temperature heat shrinkable sleeves

IGS-M-TP-014-6 Heat shrinkable sleeves (hot melt adhesive)

IGS-M-TP-014-7 Heat shrinkable sleeves (mastic adhesive)

IGS-M-TP-016 Modified bitumen enamel coating system

IGS-M-TP-020-1 Polyurethane coating for pipeline rehabilitation

– Control of pipeline corrosion: A.W. Peabody

– Uhligs Corrosion Handbook

– FBE : Allen Kehr

3. DEFINITIONS

3.1 For definitions, please refer to the relevant section of the standards referred in section 2 above.

3.2 Abbreviated items:

ACS	Approved coating system
3LPE	Three Layer Polyethylene
FBE	Fusion Bonded Epoxy
CP	Cathodic Protection
SCC	Stress Corrosion Cracking

4. GENERAL REQUIREMENTS

4.1 The effectiveness in providing the required protection and the possible hazards during application and service shall be considered when selecting external coatings.

4.2 Parameters to be considered when evaluating the effectiveness of external coatings include:

- electrical resistivity of coating;
- moisture permeation and its relation to temperature;
- ability to resist development of holidays with time(gouge resistance);
- ability to maintain substantially constant electrical resistivity with time ;
- ease of repair
- non-toxic interaction with the environment :
- required adhesion between the coating and the pipeline base material;
- required resistance to shear forces between the coating and additional coating, insulation or environment;
- resistance to cathodic disbondment and soil stress ;
- resistance to ageing , brittleness and cracking ;
- possible detrimental effects on the pipe material ;
- possible thermal cycling ;
- UV resistance(for above ground pipelines or long term storage)
- low/high temperature bending
- impact resistance
- soil stress resistance
- CP shielding

4.3 In addition to the above characteristics, the following typical factors should be considered when selecting a pipe coating.

- type of environment
- maximum (upset) operating temperature
- pipeline OD
- ambient temperatures during application, storage, shipping, construction, and installation
- geographical and physical location
- type of coating on existing pipeline(if any)
- equipment and location(i.e. shop or field) required for coating
- installation methods
- costs
- pipe surface preparation requirements
- Logistics

4.4 The following typical factors should be considered when selecting a girth-weld coating system.

- Application requirements:
 - Surface preparation
 - Speed of installation(application cycle time)
 - Applicator --skill requirements
 - Crew size
 - Equipment requirements
- Compatibility with main pipeline coating
- Pipeline construction and installation methods
- Material and application cost
- Pipeline environmental and operation conditions
- Required life span for the pipeline(longevity requirements)
- Routine maintenance budget for the pipeline
- Compatibility with cathodic protection requirements
- Local health, safety, and environmental (HSE) requirements and regulations
- Pipeline operating temperature/duty cycle
- Salinity and soil resistivity
- Pipeline movement and likelihood of soil stress/settlement
- Ground conditions/soil type
- Pipeline OD

5. MANDATORY REQUIREMENTS

- 5.1 External coatings of line pipe shall be factory-applied, except for field weld joints, rehabilitation of existing pipelines and other special points which shall be coated on site.**
- 5.2 Field joints should be protected with a coating system which is compatible with the line-pipe coating. The field joint should meet or exceed the line-pipe coating specification and allow satisfactory application under the predicted field conditions.**
- 5.3 Plant piping and other above grade pipelines in industrial or marine atmospheres shall be externally coated.**
- 5.4 Paint systems shall not be used as the primary external coating on buried pipelines (including field girth welds).**
- 5.5 Hand-applied tapes of the "primer activated" type shall not be used.
Hand-applied tape wraps shall be of the "pressure sensitive" type, meaning they can be applied over dry primer or no primer without adverse effect on adhesion.**

6. SELECTION REQUIREMENTS

- 6.1 The NIGC's approved pipeline / field weld joint coating systems are given in table 1.**
- 6.2 Selection of the appropriate coating system for a particular coating situation should be made by reference to tables 2 and 3.**
- 6.3 The products identified in table 4 specify the preferred field-weld joint coating considered the most compatible with the various types and combinations of factory / field applied coatings.
Where site or operating conditions preclude the use of the preferred product, options are given where appropriate. In addition, the nominated contractor is permitted to submit a detailed technical proposal for alternative solution for the written approval of NIGC prior to use.**
- 6.4 The main factory coating systems identified in tables 2&3 will require repair when damaged. The preferred repair materials are given in table 5.**
- 6.5 The general characteristics of approved pipeline coatings are given in table 6.**

TABLE 1: DESCRIPTION OF APPROVED COATING SYSTEMS (ACS)

Index	Title	Reference Standard
ACS-1	Three layer polyethylene coating for line pipe	IGS-M-TP-010 (Parts1&2)
ACS-2	Fusion Bonded Epoxy for line pipe	ISO 21809-2
ACS-3	Modified bitumen enamel coating for line pipe	IGS-M-TP-016
ACS-4A	Coal tar enamel coating for line pipe	BS 4164 & BS 7873
ACS-4B	Bitumen enamel coating for line pipe	BS EN 10300
ACS-5	Hand applied 3PLY tape	IGS-M-TP-014-2-C
ACS-6	Hand applied laminated bituminous tape	IGS-M-TP-014-5
ACS-7	Hand applied laminated tape	IGS-M-TP-014-4
ACS-8	Shop or field applied two-component EP	NACE RP 01 05
ACS-9	Shop or field applied two-component PUR	IGS-M-TP-020
ACS-10	High temperature 3-Layer heat shrinkable sleeve system for service temperature up to 80 ° C.	IGS-M-TP-014-3(1)
ACS-11	3-Layer heat shrinkable sleeve system (hot melt adhesive) for service temperature up to 60 ° C.	IGS-M-TP-014-6
ACS-12	2-Layer heat shrinkable sleeve (mastic adhesive) for service temperature up to 50°C.	IGS-M-TP-014-7
ACS-13	Polymer modified bitumen membrane	IGS-M-TP-014-2-A
ACS-14	Hand applied petrolatum tape	IPS-M-TP-317
ACS-15	Pressure sensitive , hand applied laminated tape for elevated temperatures	See ANNEX A
ACS-16	Field Applied FBE for field girth welds	NACE RP 04 02

TABLE 2: EXTERNAL PIPE COATINGS, HIGH PRESSURE LARGE DIAMETER GAS TRANSMISSION PIPELINES (OD ≥ 24")

Categories	Approved coating systems	Remarks
Pipe body	ACS-1 ACS-2 ACS-3	<p>ACS-2 is recommended to be used in the following conditions:</p> <ul style="list-style-type: none"> - non-rocky terrains - Where handling of line pipes from pipe coating plant to construction site is done in controlled-manner with limited damage to pipe surface. * <p>ACS-3 is not recommended to be used in the following conditions :</p> <ul style="list-style-type: none"> - In tropical environments. - On line pipes larger than 30" OD. **
Field girth welds	ACS-8 ACS-10 ACS-13 ACS-16	ACS-13 should be used only with ACS-3 ACS-8 & ACS-16 should be used only with ACS-2.
Buried pipes , Fittings, appurtenances and spool pieces (in stations)	ACS-5 ACS-8 ACS-9 ACS-10 ACS-13 ACS-15 ACS-16	
Buried Valves	ACS-8 ACS-9 ACS-14	The valves body should preferably factory coated.

* In rocky areas the FBE coating system shall be used with rockguard materials (Rockshield) and dual layer FBE have been developed for harsher pipeline environments (procedures shall be required for the transportation, storage and construction of FBE coated line pipes).

**The ACS- 3 coating system overcoated with Polypropylene extruded sheet having 1 mm thickness(min.) have been used on some 48" projects with satisfactory results, although additional investigation is under process for final decision.

TABLE 3: EXTERNAL PIPE COATINGS, BRANCH AND SERVICE LINES (OD< 24")

Categories	Approved coating systems	Remarks
Pipe body	ACS-1 ACS-2 ACS-3 ACS-4A ** ACS-4B **	ACS-2 is recommended to be used in the following conditions: - non-rocky terrains - Where handling of line pipes from pipe coating plant to construction site is done in controlled-manner with limited damage to pipe surface._* ACS-3, ACS-4A and ACS-4B coating systems are not recommended to be used in tropical environments. ACS-4B coating systems is not recommended to be used on line pipes larger than 12"OD.
Field girth welds	ACS-5 ACS-6 ACS- 8 ACS-11 ACS-12 ACS-13 ACS-16	ACS-6 should be used only with ACS-4A & ACS-4B. ACS-13 should be used with ACS-3 & ACS- 4B. ACS-8 & ACS-16 should be used with ACS-2.
Buried pipes , Fittings, appurtenances and spool pieces (in stations)	ACS-5 ACS-6 ACS-8 ACS-9 <u>ACS-13</u> <u>ACS-16</u>	Use ACS-5 , ACS-6 & ACS-16 when these coating systems are used on the pipe body.
Buried Valves	ACS-8 ACS-9 ACS-14	The valves body should preferably factory coated.

* In rocky areas the FBE coating system shall be used with rockguard materials (Rockshield). Dual-layer FBE have been developed for harsher pipeline environments. Procedures shall be required for the transportation, storage and construction of FBE coated line pipes.

** It is recommended that the ACS- 4A and ACS-4B coating systems to be selected in conditions where the using of other coating systems is not applicable.

TABLE 4: RECOMMENDED MATERIALS FOR PROTECTION OF FIELD GIRTH WELDS

Possible components of differing types of coating on each side of a weld		Choice of field girth welds coating	
		Preferred	Option
ACS-1	ACS-1	ACS-10* ACS-11* ACS-12**	ACS-5**
ACS-1	ACS-2		
ACS-1	ACS-8		
ACS-1	ACS-9		
ACS-1	ACS-4A	ACS-6	
ACS-1	ACS-4B		
ACS-2	ACS-2	ACS-8 ACS-16 ACS-10* ACS-11*	ACS-10 ACS-11
ACS-2	ACS-8		
ACS-2	ACS-9		
ACS-8	ACS-8	ACS-8	
ACS-8	ACS-9	ACS-8 or ACS-9	ACS-10 ACS-11
ACS-9	ACS-9	ACS-9	
ACS-4A or ACS-4B	FBE	ACS-6	ACS-8***
ACS-4A or ACS-4B	ACS-8 or ACS-9		
ACS-4A or ACS-4B	ACS-4A or ACS-4B		
ACS-3	ACS-2	ACS-13	ACS-6
ACS-3	ACS-8 or ACS-9		
ACS-3	ACS-3		
ACS-3	ACS-1		
ACS-5 or ACS-7	ACS-1	ACS-5	ACS-7
ACS-5 or ACS-7	ACS-2		
ACS-5 or ACS-7	ACS-8 or ACS-9		
ACS-5 or ACS-7	ACS-5 or ACS-7		
ACS-5 or ACS-7	ACS-4A or ACS-4B	ACS-6	

* NIGC strongly recommends use of the induction heater post-heating method for applying H.S.Sleeves on pipeline with OD greater than 24 inches.

** This option is recommended for Branch & Service lines(see table 3).

*** The junction of ACS-4A or ACS-4B and two – component liquids (ACS-8 or ACS-9) shall be over wrapped with ACS-6.

TABLE 5: RECOMMENDED REPAIR SYSTEM

Existing factory/ field applied coatings	Repair systems	
	Preferred	Option
ACS-1	Melt stick , repair patch (with filler mastic) , heat shrinkable Sleeve(see ACS-10 , ACS-11 & ACS-12)	-
ACS-2	ACS-16 ACS-8(Spray or brush/ trowel applied)	Heat shrinkable sleeve/ repair patch(see ACS-10 & ACS-11)
ACS-3	ACS-13	-
ACS-4A	ACS-6	Hot enamel dope
ACS-4B	ACS-6	Hot enamel dope
ACS-8	ACS-8 (Spray or brush/ trowel applied)	-
ACS-9	ACS-9 (Spray or brush/ trowel applied)	-
ACS-5	ACS-5	-
ACS-7	ACS-7	-
ACS-15	ACS-15	-

TABLE 6: TYPES OF APPROVED PIPELINE COATING AND THEIR CHARACTERISTICS

Coating System	Advantages	Limitations
ACS-1	<ul style="list-style-type: none"> - Lowest current requirements - Excellent resistance to cathodic disbondment - Excellent adhesion to steel - Excellent resistance to hydrocarbons - High impact and abrasion resistance - High electrical insulation resistance - High resistance to water permeation - Is not affected by soil stress - Easy handling during transportation and construction activities - Resistant to many chemicals, environmental and bacterial attack - Excellent bendability - Service temperature: -20 to +80°C 	<ul style="list-style-type: none"> - Factory coating application parameters are very critical requiring strict quality control - Higher initial cost - Shielding of CP current is possible (possibility of coating disbondment) - If the FBE layer fails the entire coating system affected. - Repairs are difficult and susceptible to soil stress - Due to the main corrosion protection layer being hidden under other layers difficult to determine if application is good(the polyethylene can hide many faults)
ACS-2	<ul style="list-style-type: none"> - Low current requirements - Excellent resistance to cathodic disbondment - Excellent adhesion to steel - Excellent resistance to hydrocarbons - Excellent soil stress resistance - No known instances of SCC - Coating is visible and easy to inspect, application issues are solved immediately - Pipeline can be coated for full length with same coating material - Non shielding of CP - Excellent chemical resistance - Excellent oxygen barrier - Service temperature: -20 to +120°C 	<ul style="list-style-type: none"> - High moisture absorption - UV rays can cause the FBE to chalk when stored in direct sunlight for long periods of time (top coatings available for UV protection) - Lower impact and abrasion resistance(compared to 3LPE) - Susceptible to damage during transportation and backfilling - Not suitable for use in rocky environments as stand-alone coating - Exacting application parameters - FBE Field joint application parameters are critical and require trained operators and QC

TABLE 6: Continued...

ACS-3	<ul style="list-style-type: none"> - Minimum holiday susceptibility (due to self healing properties) - Low current requirement for cp - Good resistance to cathodic disbondment - The coating system with the same quality field joint coating - Good adhesion to steel - Ease of application - Non polluting - Easy repair procedure using the same coating material that is on the pipe body - Plant applied(compared to ACS-4A and ACS-4B) - Very good electrical insulating properties - No known instances of CP shielding - No known instances of cold flow - No known instances of SCC - No known instances of Soil Stress 	<ul style="list-style-type: none"> - Limited bendability at higher ambient temperatures - Low chemical resistance, - Limited manufacturers - Limited applicators - Limited ambient temperature resistance - Max. operating temp. : unknown - Limited track record of using for underground or submerged metal corrosion protection in the world - Handling and installation restrictions in tropical environments
ACS-4A	<ul style="list-style-type: none"> - Minimum holiday susceptibility - Lower current requirements with respect to ACS-4B - Good resistance to cathodic disbondment - Good adhesion to steel - Very good electrical insulating properties - Low water permeation - Resists bacterial attack and root penetration 	<ul style="list-style-type: none"> - Limited manufacturers - Health and air quality concerns - Soil stress may cause the coating to wrinkle, crack, disbanded and expose steel surfaces - CP requirements increases as the coating ages . - Operating temperatures are normally limited to 65° c. - "Cold flow" (leaving the top of the pipe without adequate coating especially on high temperature pipelines) - Low soil stress resistance - Susceptible to SCC - Limited bendability

TABLE 6: Continued...

ACS-4B	<ul style="list-style-type: none">- Good adhesion to steel- Good electrical insulating properties- Non polluting environment	<ul style="list-style-type: none">- Soil stress may cause the coating to wrinkle, crack, disbond and expose steel surfaces- CP requirements increases as the coating ages- Operating temperatures are normally limited to 60 °C- "cold flow" (leaving the top of the pipe without adequate coating especially on high temperature pipelines)- Low soil stress resistance- Susceptible to SCC- Root penetration- Low chemical resistance- Brittle at low ambient temperatures- Sags at high ambient temperatures- Limited bendability- Handling and installation restrictions in tropical environments
--------	--	--

Annex A

ACS-15

I. TYPE OF COATING

Pressure-sensitive, hand-applied tape-wrap for elevated temperature service

II. GENERAL DATA

- a) uses: for onshore buried services. Primarily used for in-plant piping and for pipeline coating renovation on lines operating in the temperature range 55 to 100 °C.
- b) coating system: primer
 - inner wrap tape
 - outer wrap tape
- c) Not suitable for: continuous contact with hydrocarbons, including oil – contaminated ground water.
- d) service limitations:
 - temperature: min. -30 °C
 - max. +100 °C
- e) Purchase specification or other product/performance requirements:
 - Minimum tape thickness = 0.64 mm.
 - Polyethylene backing.
 - Butyl rubber adhesive with minimum TMA softening point equal to 100 °C (Test method: ISO 11359).
 - Minimum allowable 180 degrees peel strength per ASTM D1000 shall be 1 N/mm for tape-to-tape and 2 N/mm tape-to-steel when applied over dry primer.
 - Maximum allowable slippage in Alyeska tape shear test shall be 15 mm at 80 °C (Test method: TP-206)*.

III. SURFACE PREPARATION AND COATING APPLICATION REQUIREMENTS

- a) Commercial blast, Sa2. Double wrap required. Outer wrap required for all services.
- b) Compatible repair coatings : ACS-15

* See Annex C.

Annex B (Informative)

PIPELINE REHABILITATION COATING SYSTEMS

B.1 coating materials

There are a number of coating materials available for using in pipeline rehabilitation, each with its own particular set of advantages and disadvantages. The most common materials type and characteristics are listed in table B1.

TABLE B1: TYPES OF COATING FOR USEING IN PIPELINE REHABILITATION

Type	Advantages	Limitations
ACS-5	<ul style="list-style-type: none"> - Minimum surface preparation - Backfill time - Ease of application - High electrical resistance - Minimum holiday susceptibility - Very good adhesion to steel - Low energy required for application 	<ul style="list-style-type: none"> - Tenting at weld seam is unknown - Shielding CP from soil is unknown - Soil stress resistance is unknown - Susceptibility to SCC is unknown - Susceptible to bacterial attack (due to butyl rubber adhesive) - Limited max. operating temperature (<50 °C)
ACS-9	<ul style="list-style-type: none"> - Fast curing - Low temperature cure - Good soil stress resistance - No known instances of SCC - Lower backfill time than ACS-8 	<ul style="list-style-type: none"> - Less resistant to cathodic disbondment than ACS-8 - Adversely affected by moisture or high humidity - Higher moisture absorption compared to ACS-8 - Acid / alkali attack - Limited max. operating temperature (<60 °C)
ACS-8	<ul style="list-style-type: none"> - Good adhesion - Good mechanical properties - Good soil stress resistance - Immersion resistance - Good cathodic disbondment resistance - Good performance in wet conditions - No known instances of SCC - Suitable for pipelines with operating temperature of higher than 60°C 	<ul style="list-style-type: none"> - Longer cure time compared to ACS-9 - slow cure below 5 °C

B.2 Materials selection: liquid epoxy / liquid polyurethane

With all coating systems, there are trade-offs in application and performance characteristics. Through improvements in chemistry, rehabilitation materials for pipeline – coating replacement have properties approaching that of premium-grade, plant applied FBE materials (see table B2). Selection depends on balancing factors like requirements for backfill time, material cost, and performance. Typically, epoxy is the coating of choice, unless the temperature at the time of application is too low or the time to backfill is critical.

TABLE B2: REHABILITATION COATINGS NOW HAVE PERFORMANCE PROPERTIES APPROACHING THOSE OF PREMIUM – GRADE FBE MATERIALS

Test /Property	ACS-2	ACS-8	ACS-9
Cathodic disbondment resistance – 14 days, 65 °C, 1.5 V, mm radius	4.3	6.5	9
Impact – ASTM G-14, 16mm tup, 23±2 °C(Jules)	2.4	2.8	3.2
Material cost per unit volume	X	3.1 X	2.6 X
Moisture vapor transmission G/ (mil) (square inches) (24 h)	1.8	1.8	4.3
Time to backfill at 23±2 °C (minutes)	-	160	30

Annex C **(TP 206)**

ALEYSKA SHEAR STRESS TEST

4.1.1 The purpose of this test is to determine if the sleeve has adequate resistance to shear stresses that might result from friction between the coating and the ground during pipe movement . The normal and shear loads simulate the forces experienced actual operation due to back–fill and to pipe movement .

4.1.2 The test set–up is shown schematically in figure 1 .

4.1.3 A strip cut from a heat shrink sleeve is bonded to a degreased steel plate by applying a load of approximately 34 kPa (5 psi) and placing in an oven at the vendor–recommended application temperature (typically about 150°C) for a minimum of 4 hours . After removal from the oven , the joint shall remain at room temperature for one day before testing . The 34 kPa load shall remain on the test joint during cool down . The bonded strip of heat shrink sleeve shall be trimmed to a final size of 15.2 cm (6.0 inch) long by 3.1 cm (1.2 inch) wide . The test fixture , the coated plate , and the weights are then conditioned in an oven at the test temperature for 5 hours prior to testing .

4.1.4 The coating plate is fixed in place on the text fixture . The 18.6 kg normal load and the 6.8 kg shear load are applied (Note: the 18.6 kg weight has coarse sandpaper (120 grit) bonded to it , rough side exposed , so that is will not slip on the coating during the test) .

4.1.5 A dial indicator , reading to the nearest 0.025 mm (0.001 inch) is set in contact with the upper , moveable weight and zeroed . Readings are taken after 18 hours , 25 hours , and 50 hours and reported to the nearest 0.025 mm .

4.1.6 The test report shall include the dimensions of the coating strip , weights used , test temperature (including tolerance) , surface preparation of the steel panels , amount of movement after the time intervals given in paragraph 4.1.5 , and the time to complete failure (if complete failure occurs within the 50 hour test period) .

Figure 1 – Test setup for TP-206 – Alyeska Shear Stress test

